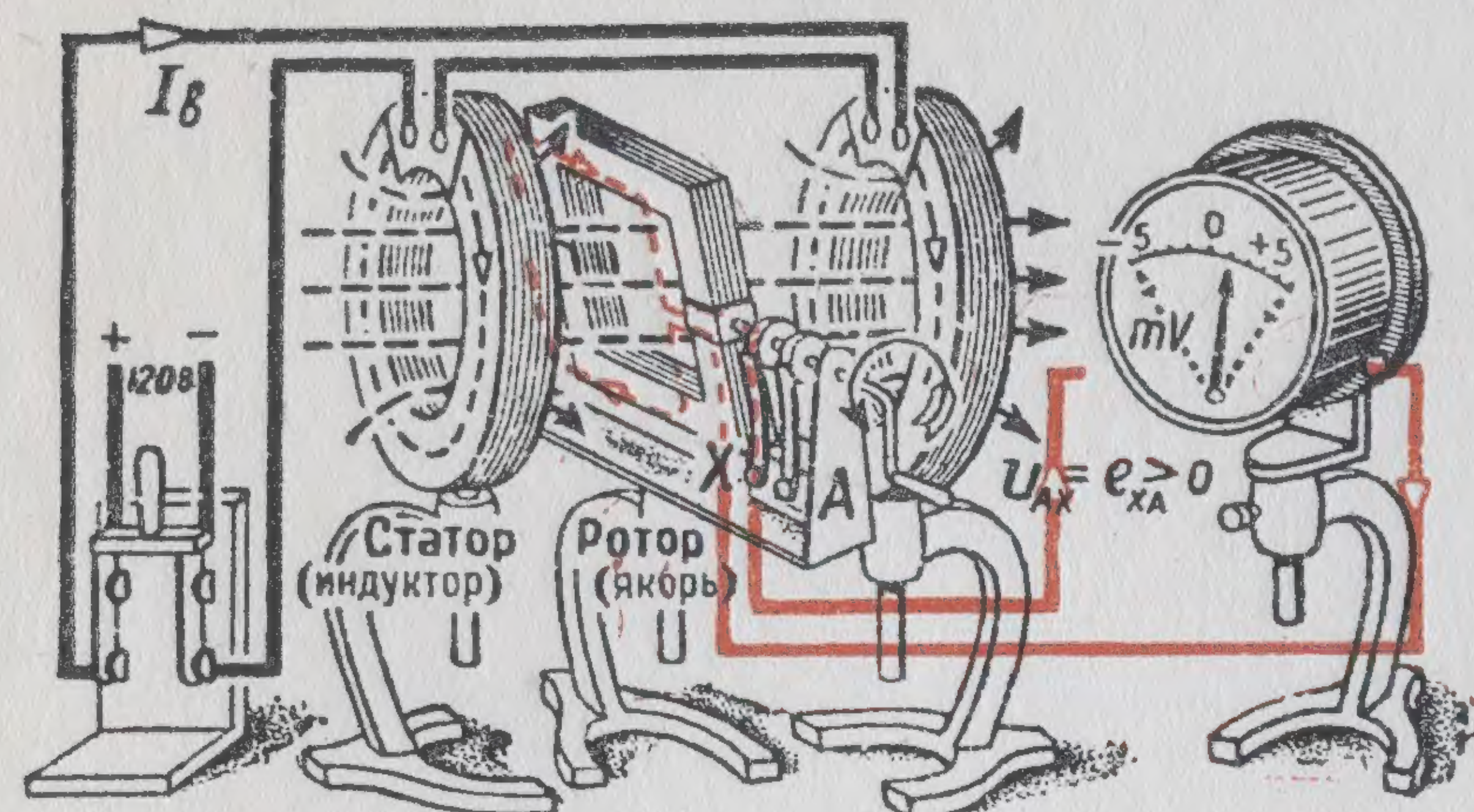
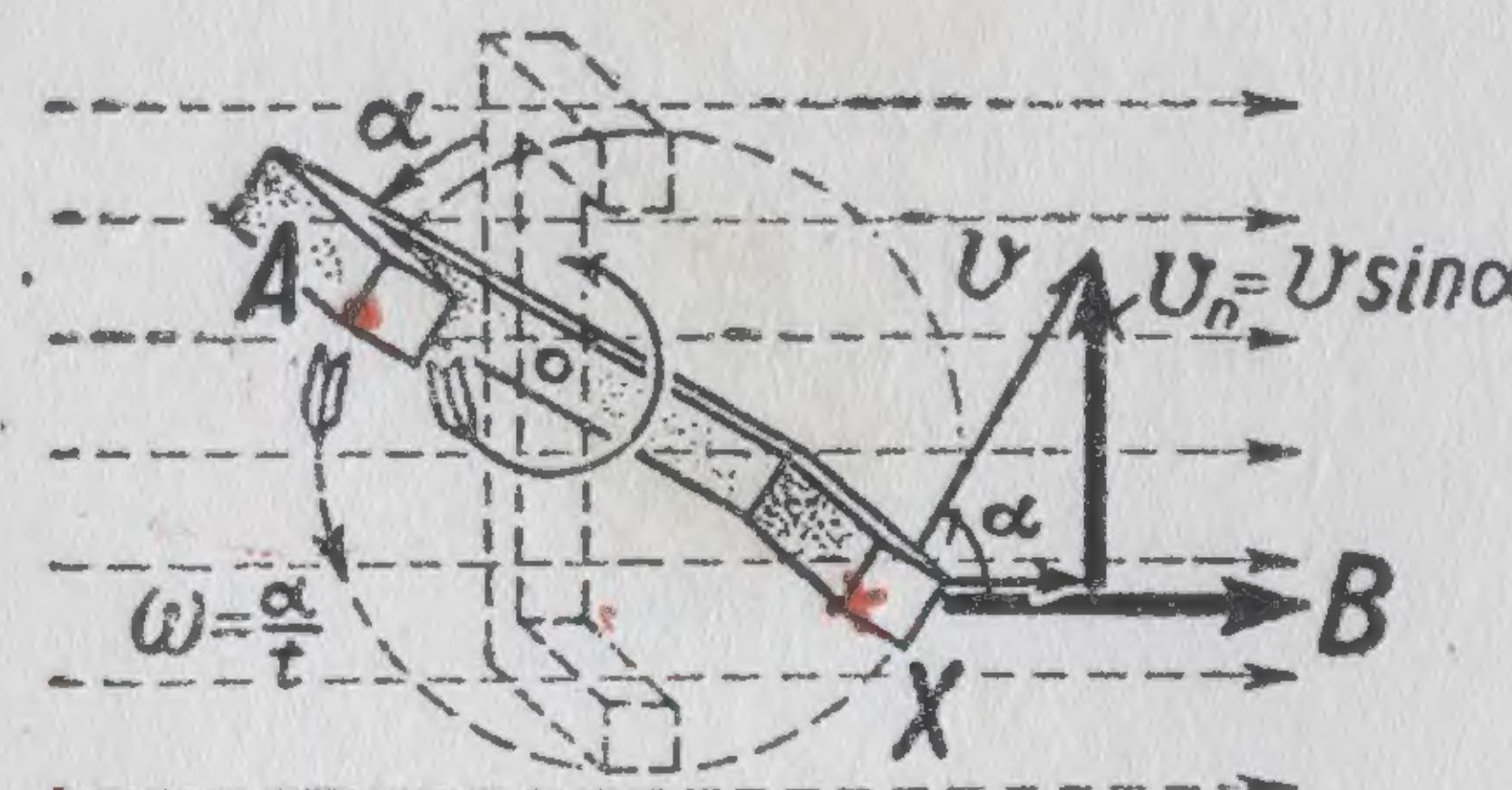


# ПОЛУЧЕНИЕ ПЕРЕМЕННОГО ТОКА

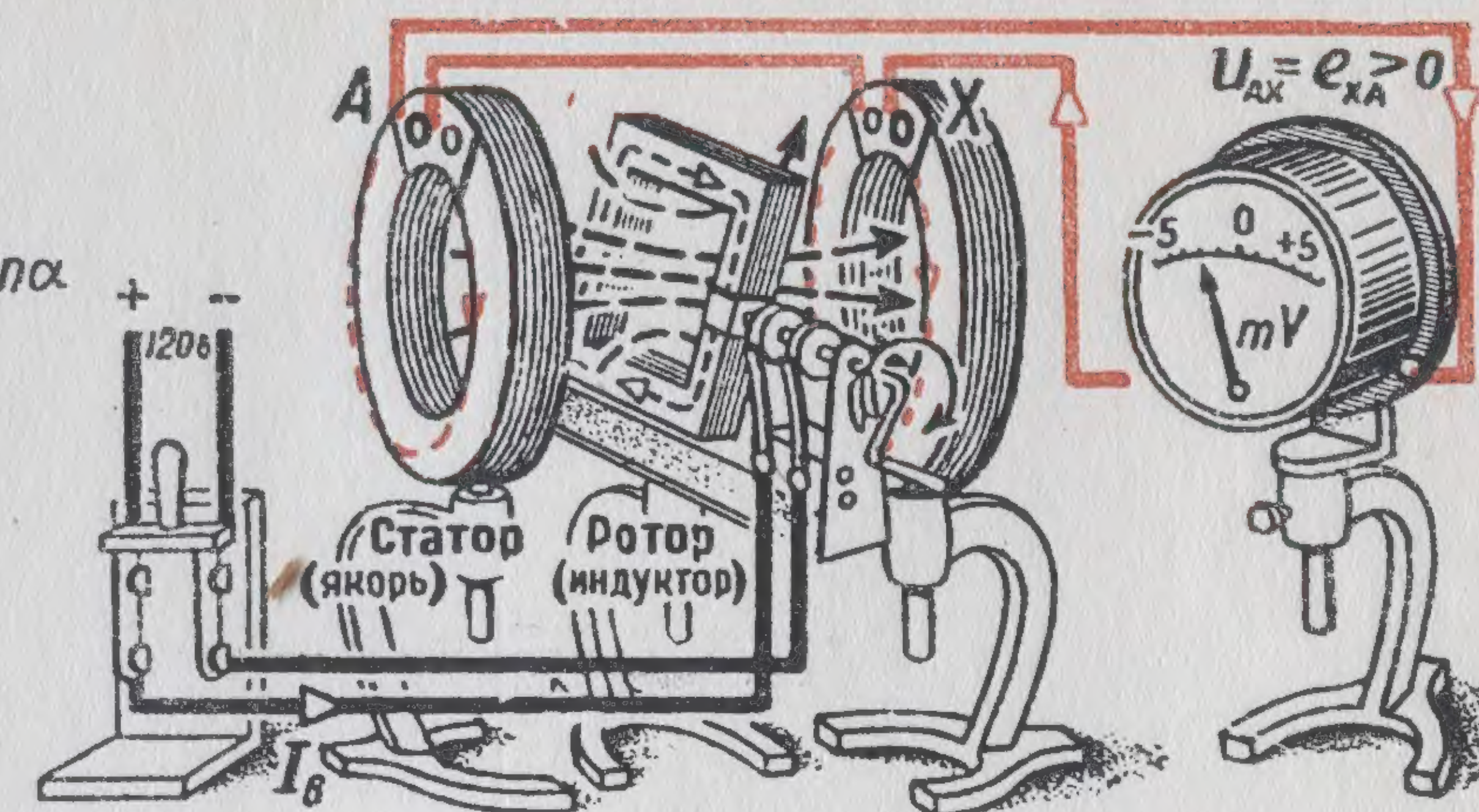


Наведение э.д.с. в якоре, вращающемся в магнитном поле неподвижного индуктора

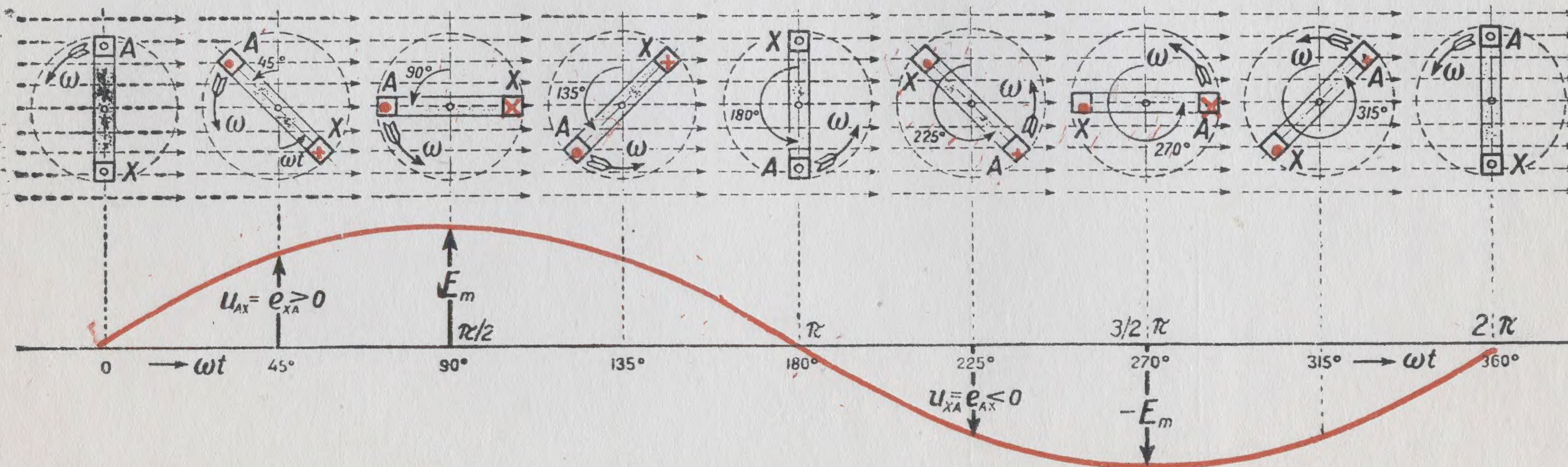


$$e = Blv_n = Blv \sin \alpha = E_m \sin \omega t$$

Э.д.с., наводимая в витке, равномерно вращающемся в однородном магнитном поле



Наведение э.д.с. в неподвижном якоре при вращающемся индукторе

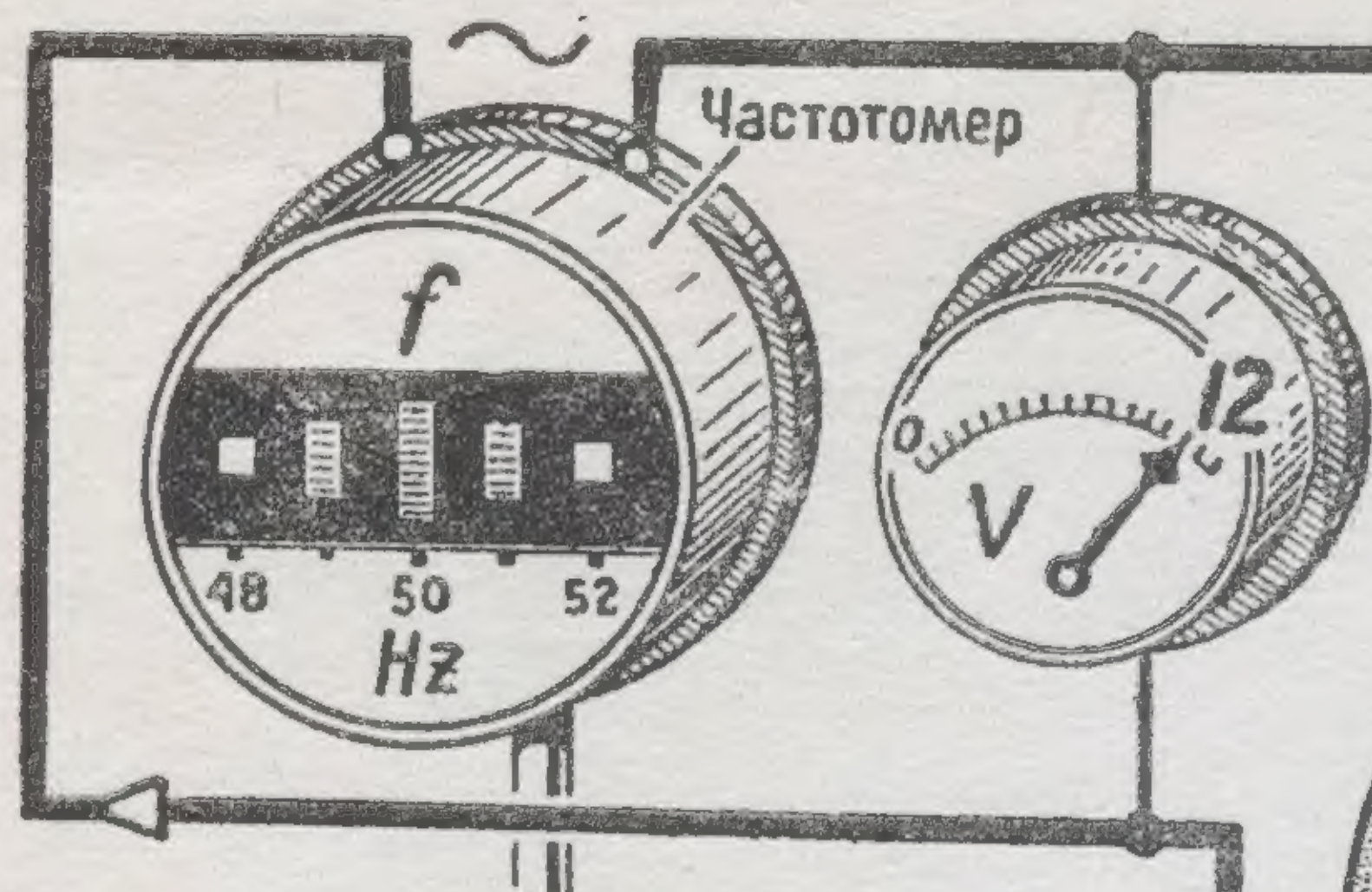


Синусоидальная кривая изменения э.д.с., индуктируемой в обмотке, равномерно вращающейся в однородном магнитном поле

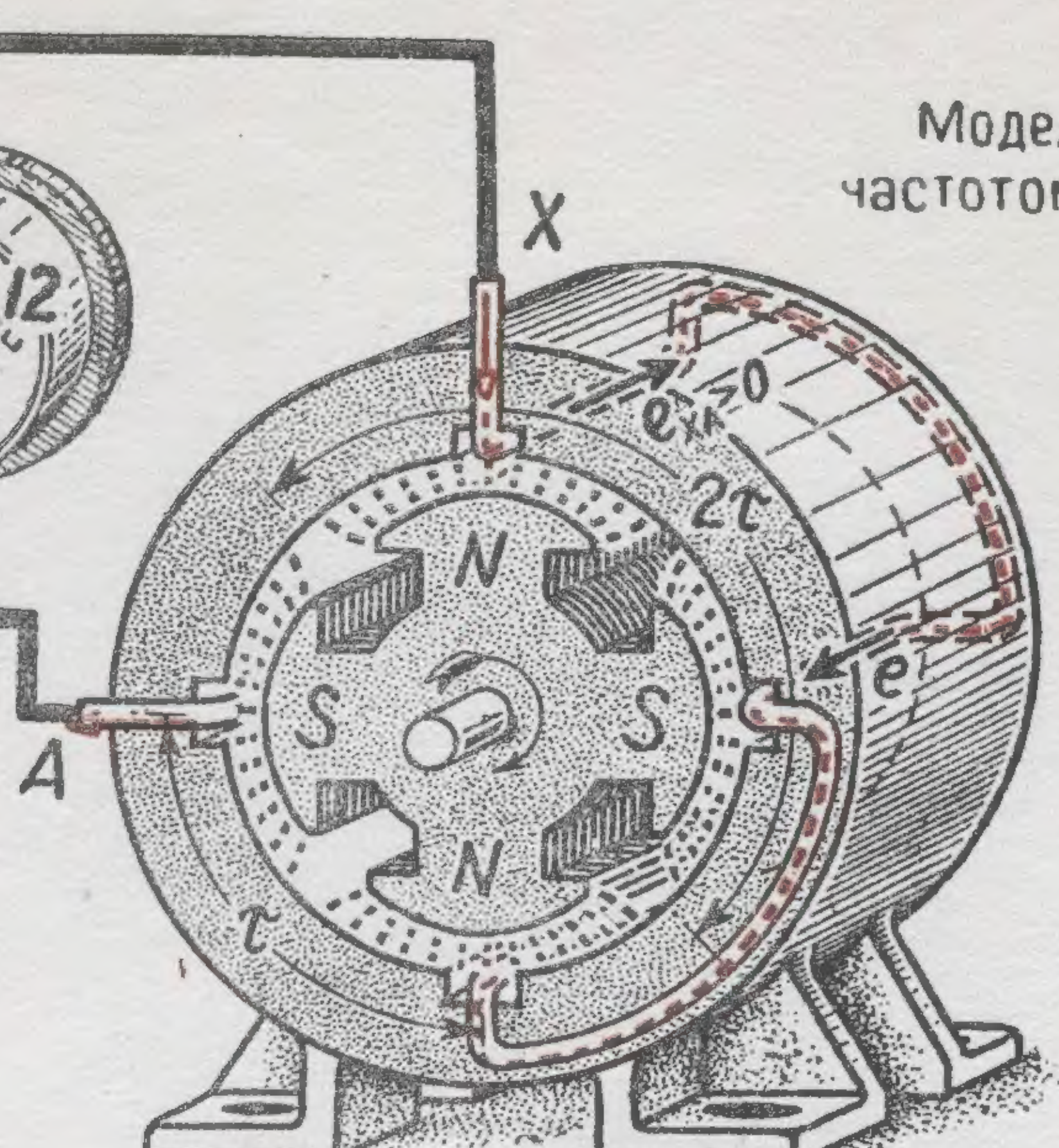
Э.И. Расовский



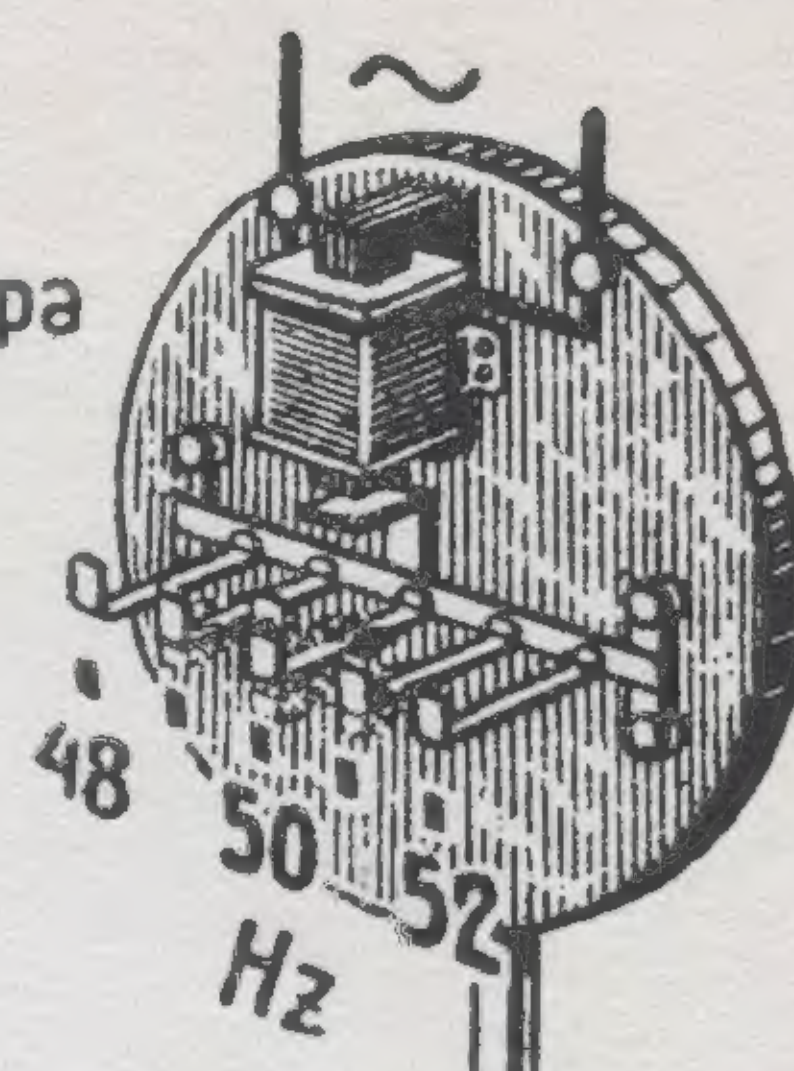
# ПРОСТЕЙШИЙ ГЕНЕРАТОР ПЕРЕМЕННОГО ТОКА



$2p=2; n=3000$  об/мин.  
Двухполюсный генератор



$2p=4; n=1500$  об/мин.  
Четырехполюсный генератор



$2p=6; n=1000$  об/мин.  
Шестиполюсный генератор

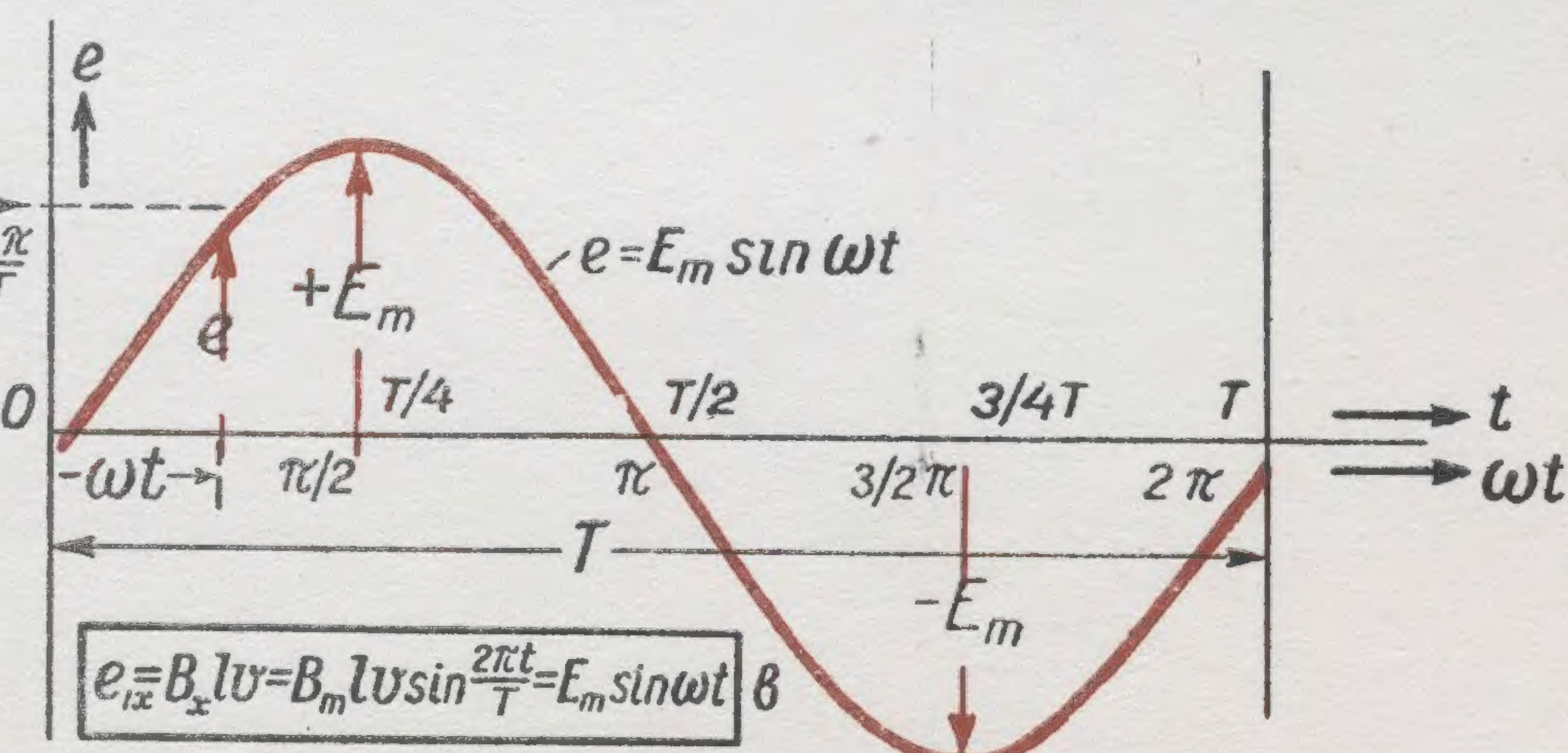
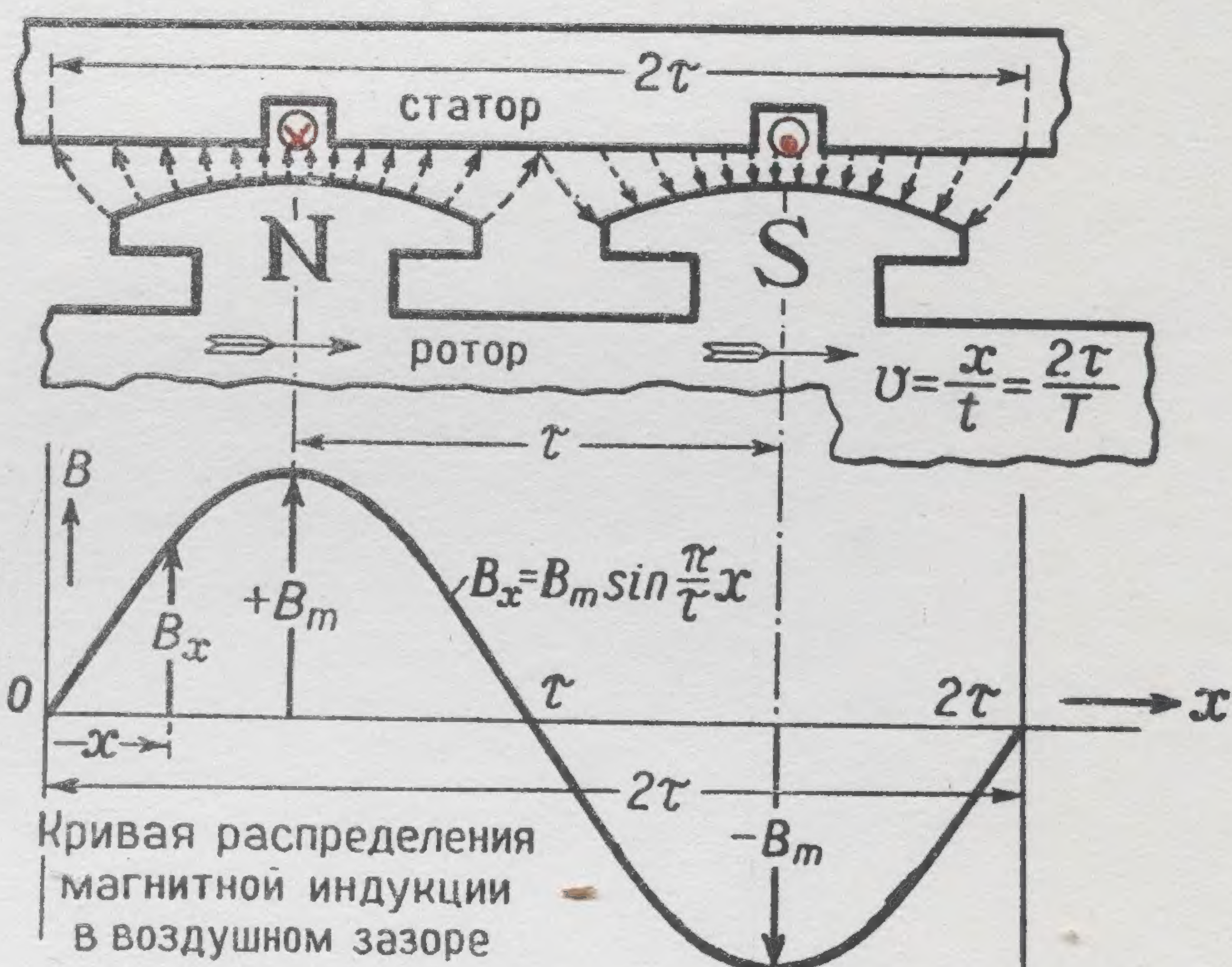
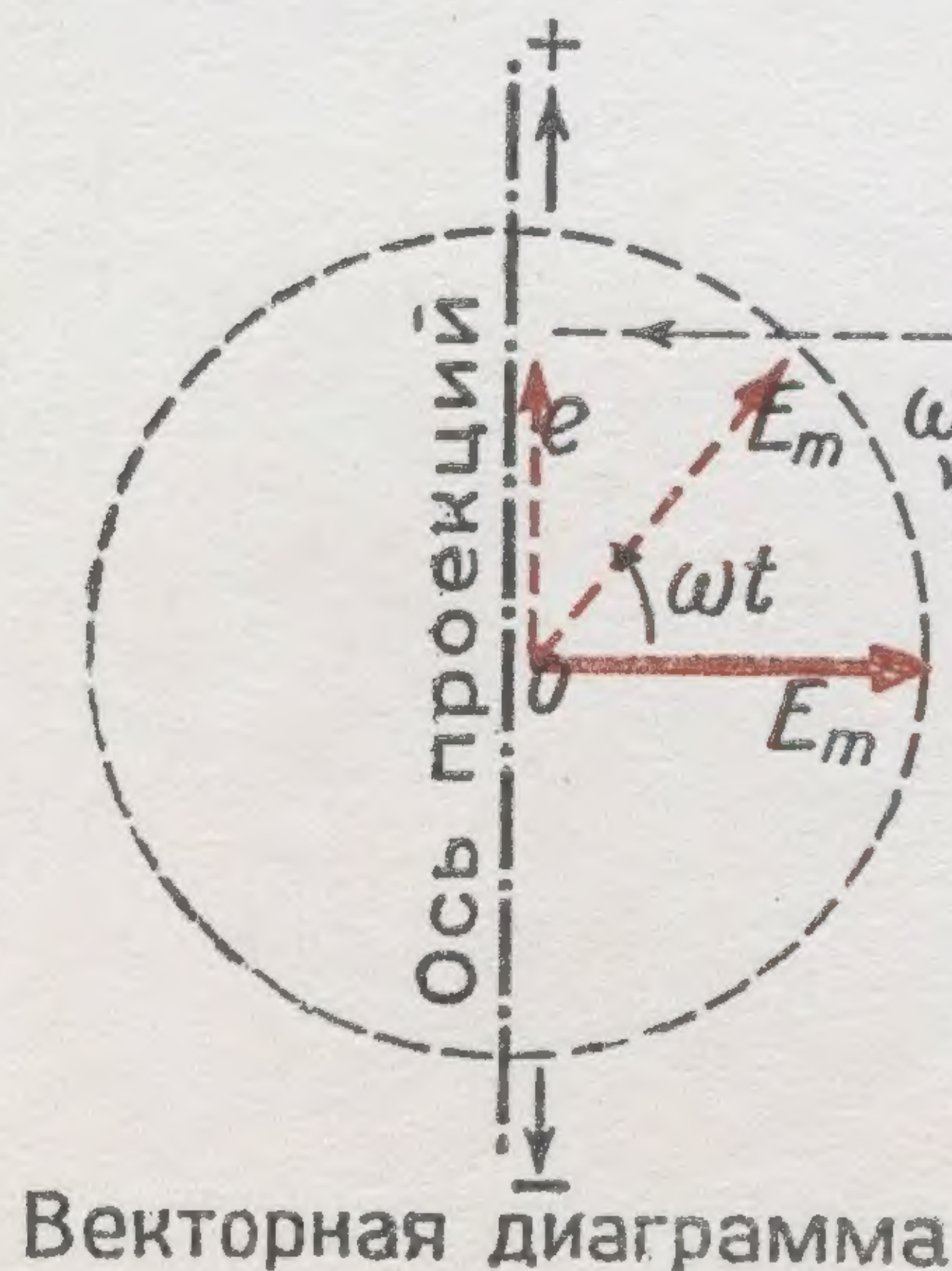
Частота  $f = \frac{pn}{60}$  гц

Период  $T = \frac{1}{f}$  сек

Угловая частота  $\omega = 2\pi f$  сек<sup>-1</sup>

При стандартной частоте  
 $f=50$  гц:  $T=0,02$  сек;  $\omega=314$  сек<sup>-1</sup>

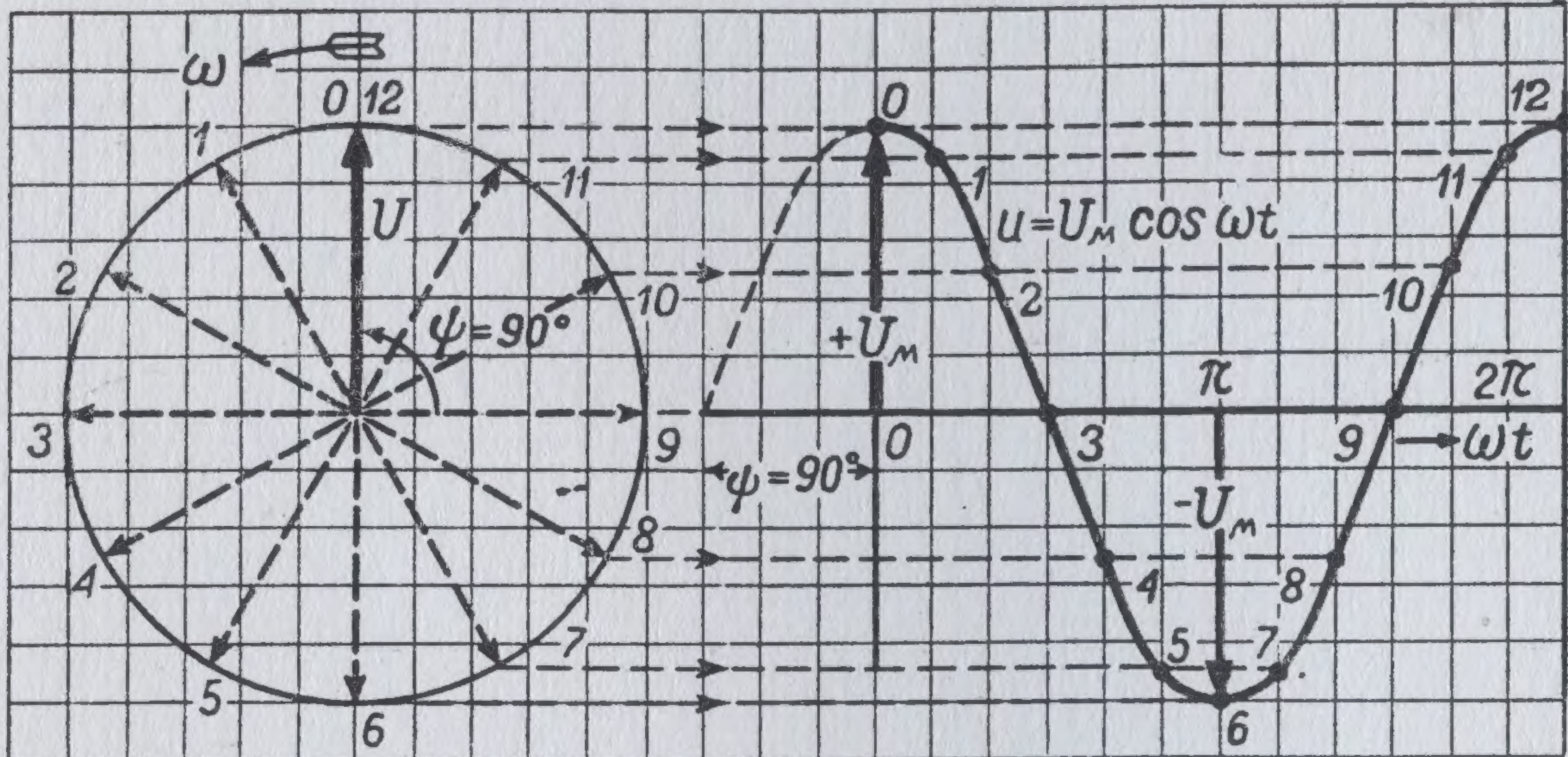
$e$  — мгновенная ЭДС  
 $E_m$  — амплитуда  
 $\omega t$  — фаза



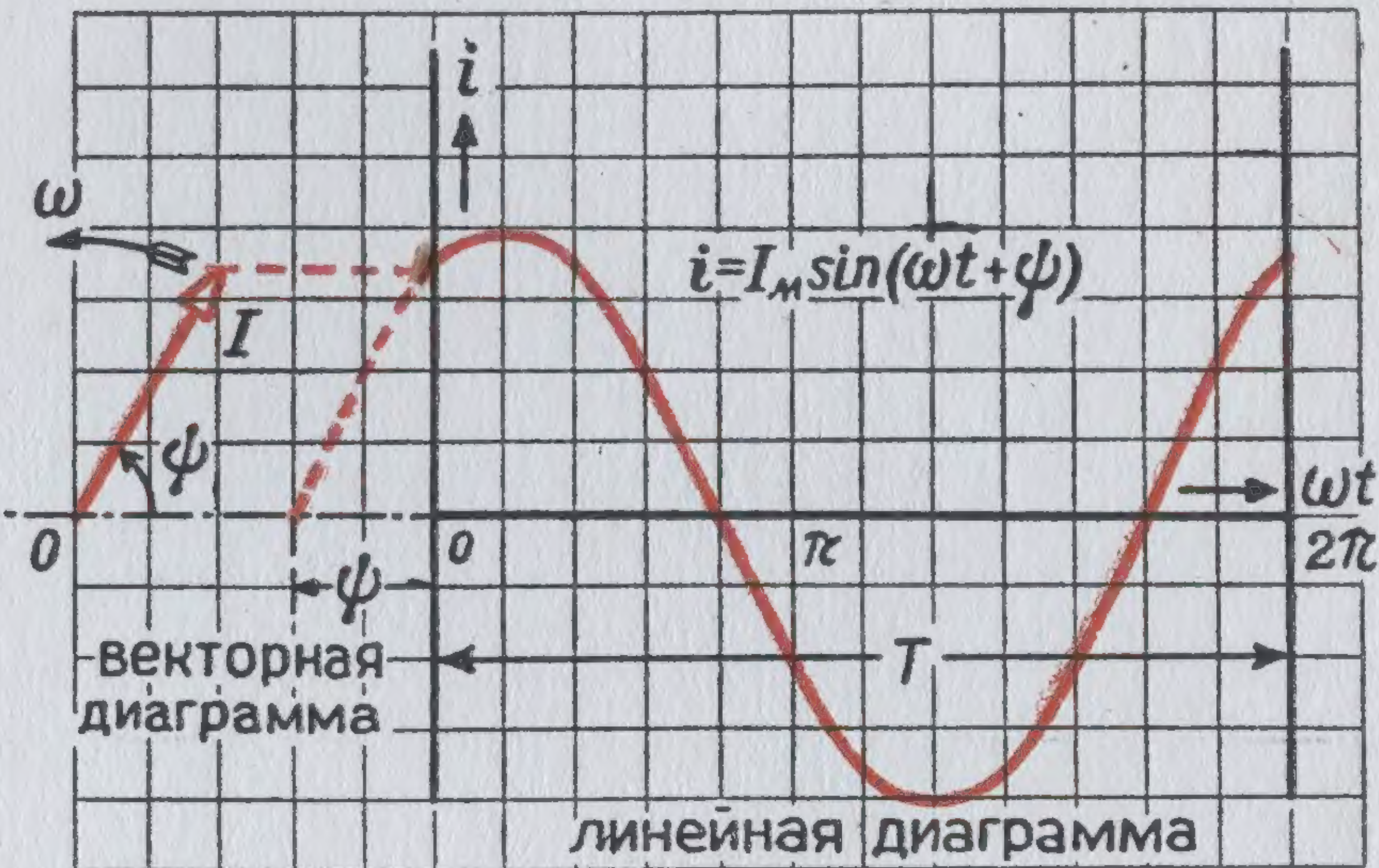
Кривая изменения во времени индуцируемой э.д.с.  
(линейная диаграмма)



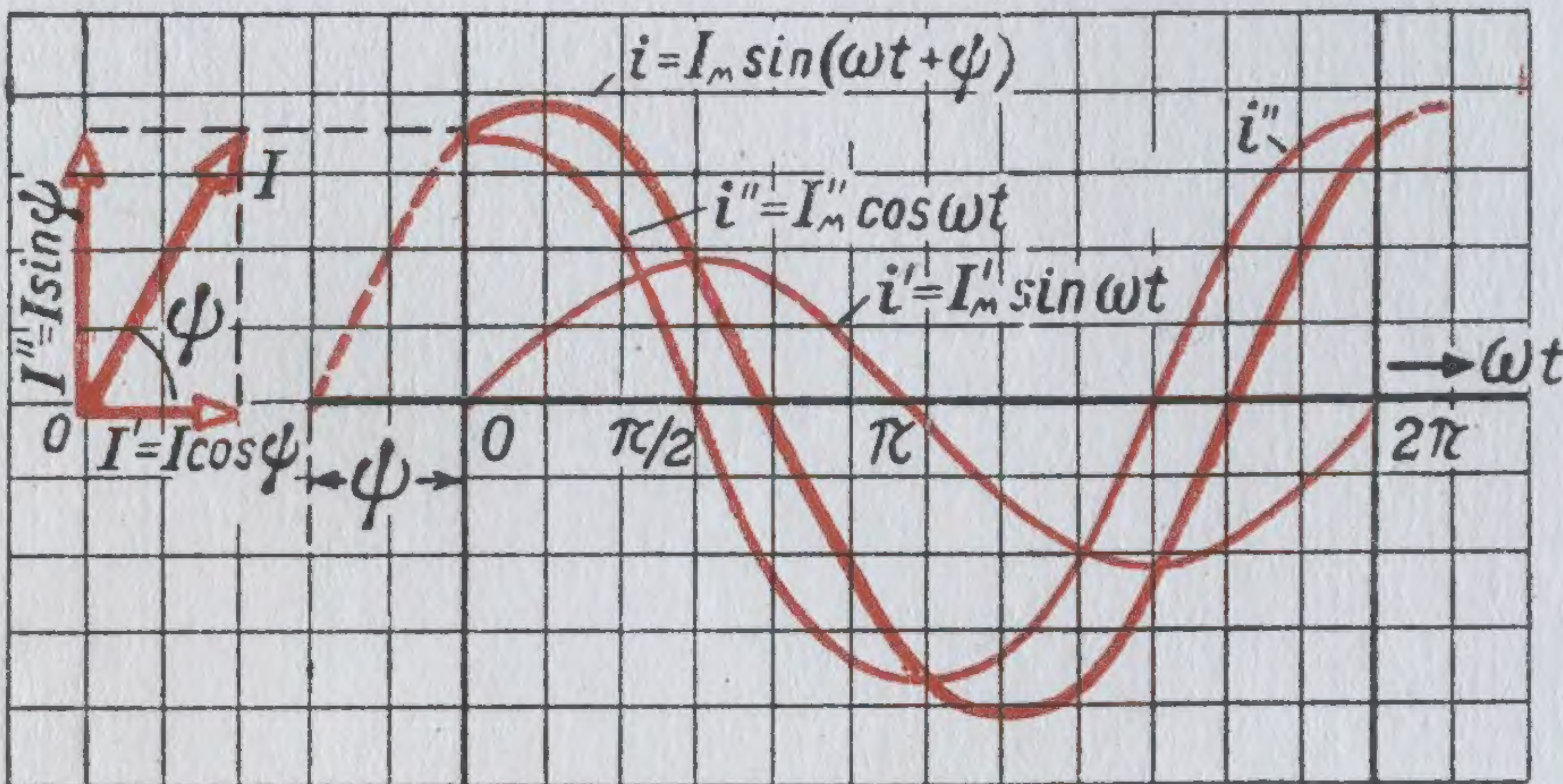
# ВЕКТОРНЫЕ И ЛИНЕЙНЫЕ ДИАГРАММЫ



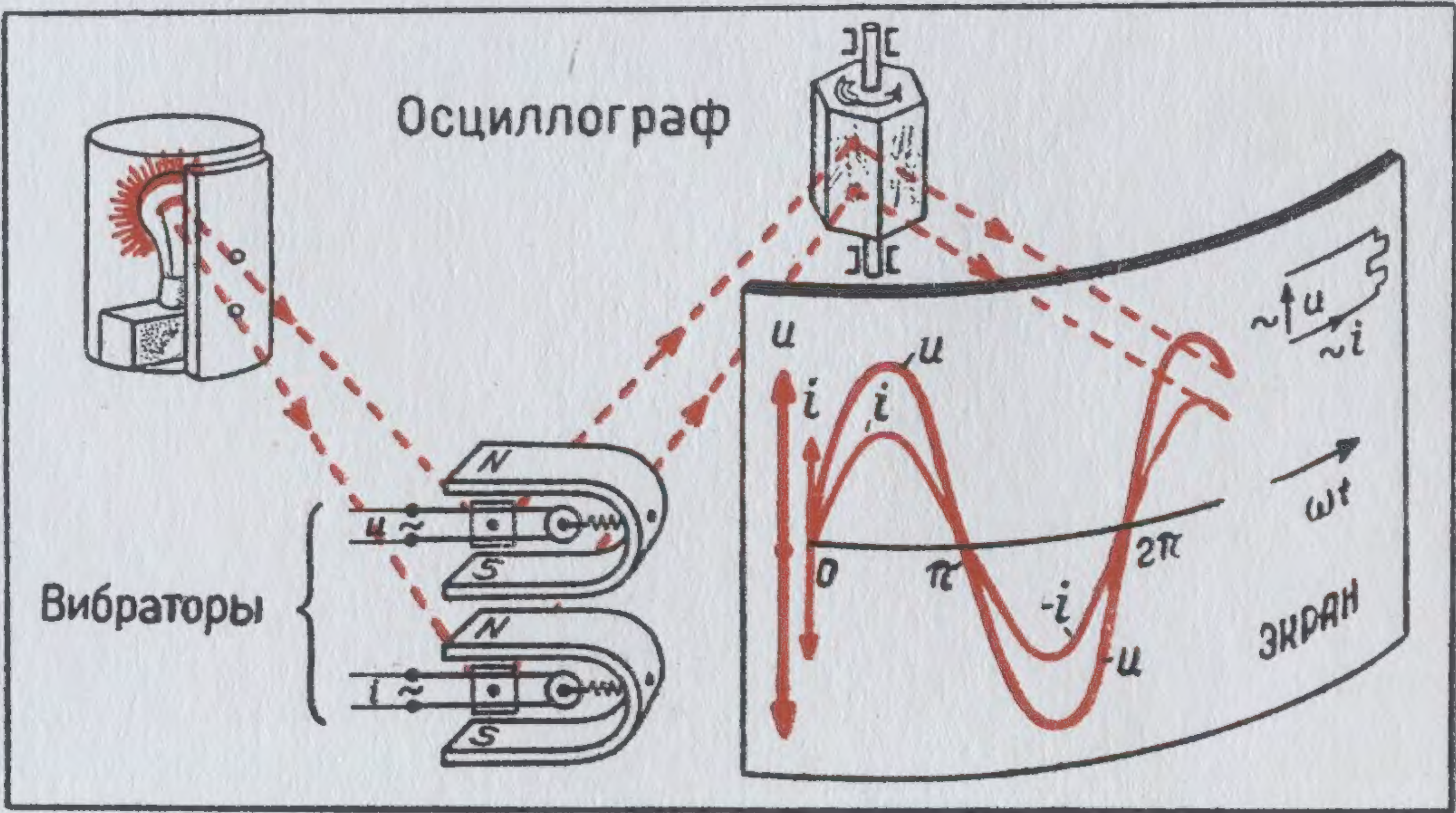
Синусоида с начальным фазовым углом в 90° (косинусоида)



Синусоида с начальным фазовым углом ψ



Разложение синусоиды с начальным фазовым углом на составляющие синусоиду и косинусоиду

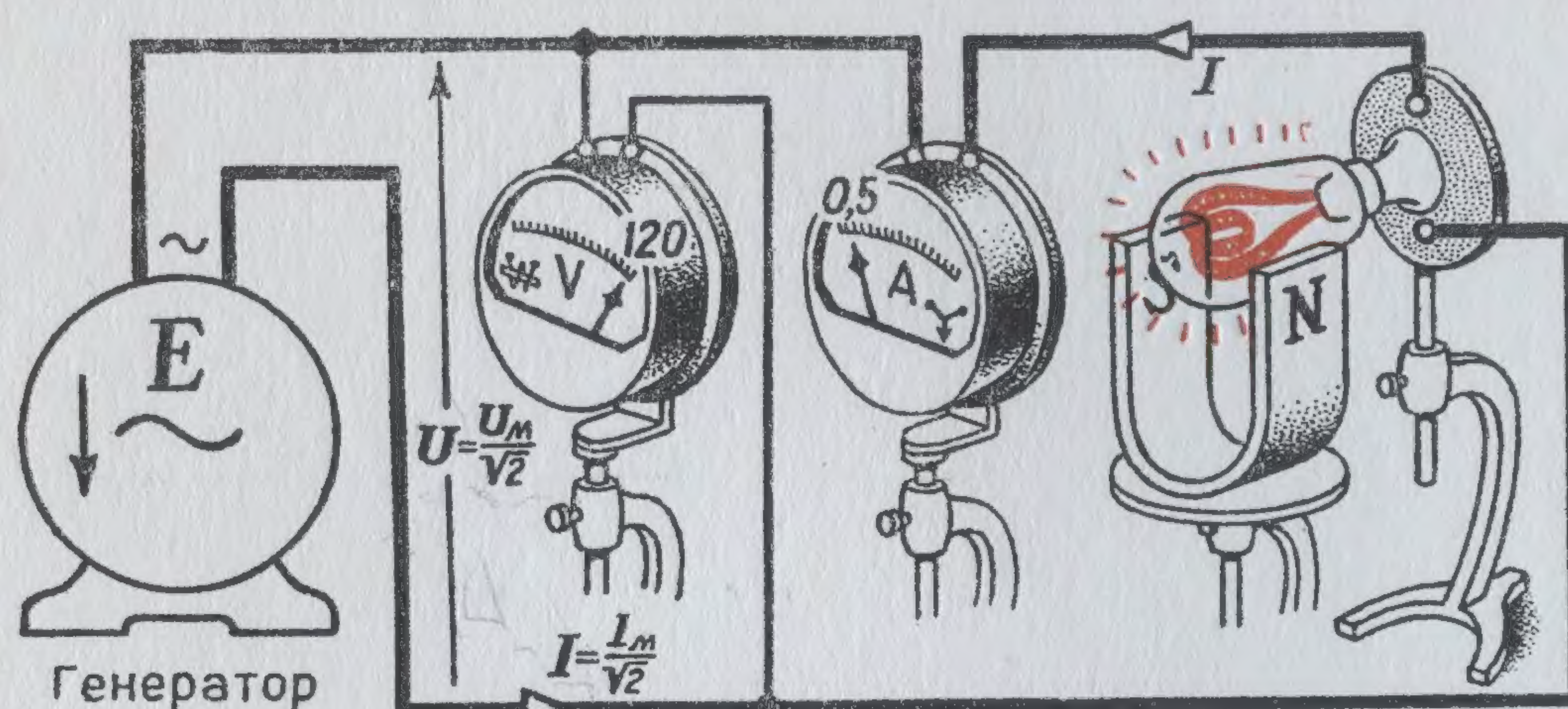


Получение кривых тока и напряжения

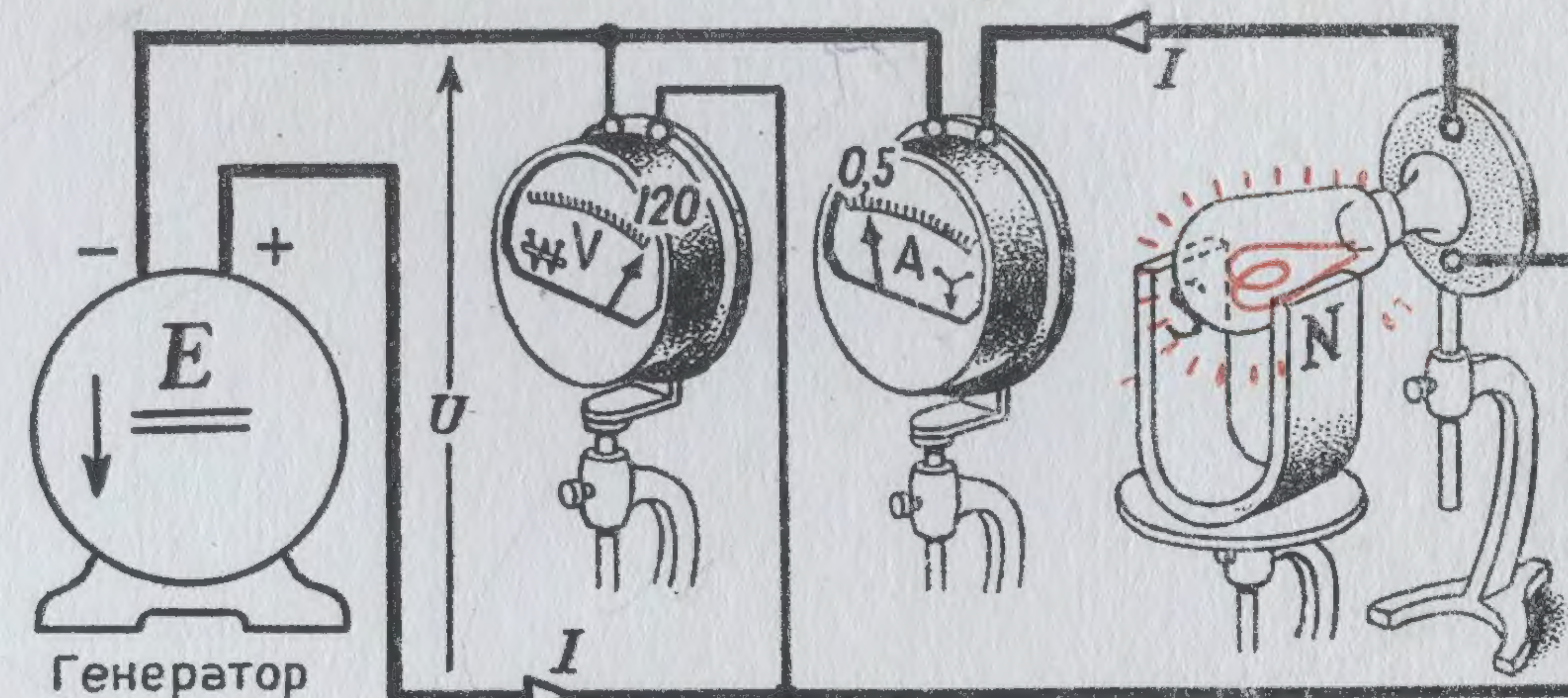
Э.И.Расовский



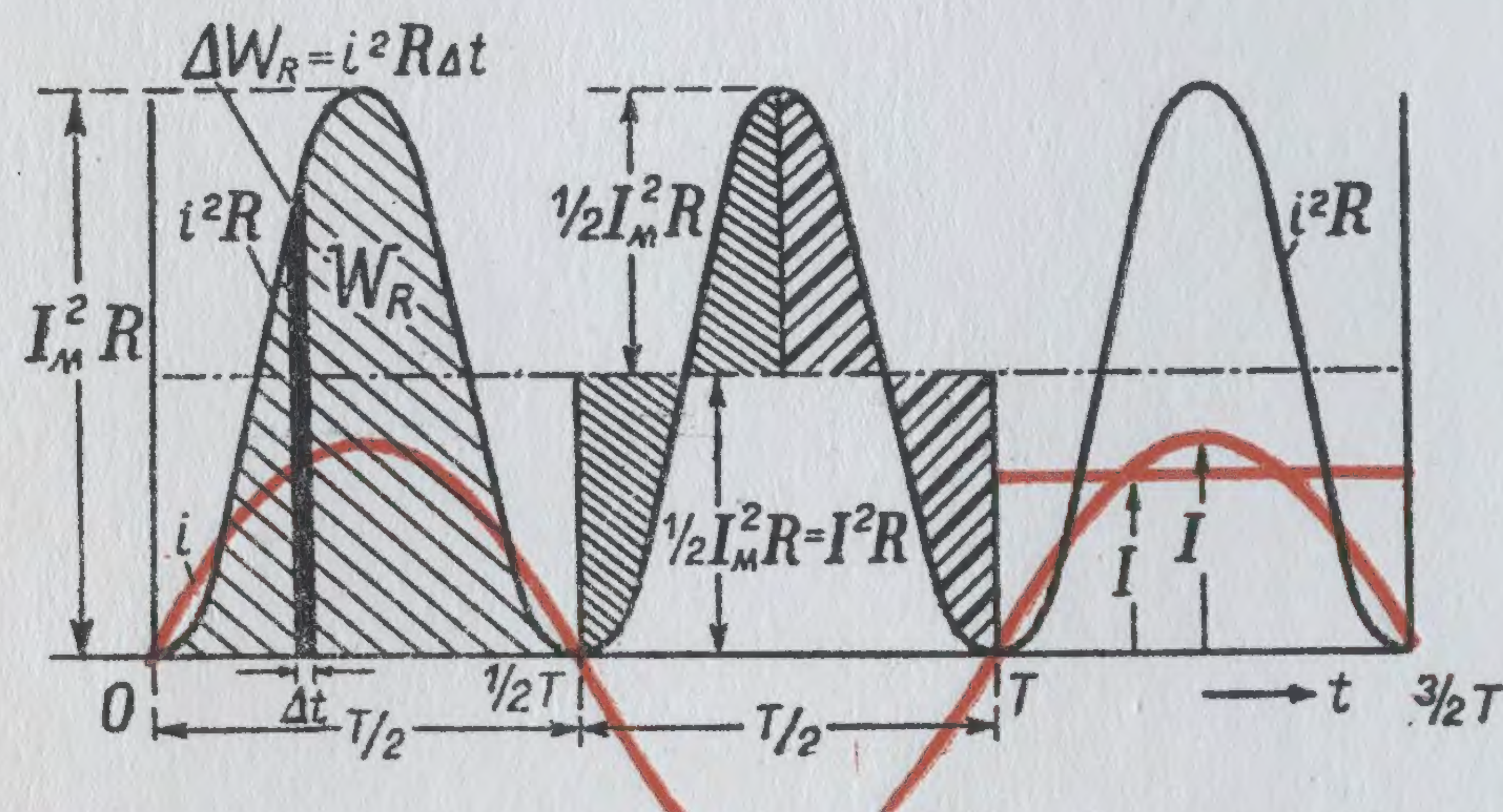
# ДЕЙСТВУЮЩЕЕ И СРЕДНЕЕ ЗНАЧЕНИЯ ПЕРЕМЕННОГО ТОКА И НАПРЯЖЕНИЯ



Действующие значения переменного тока и напряжения



Эквивалентный постоянный ток

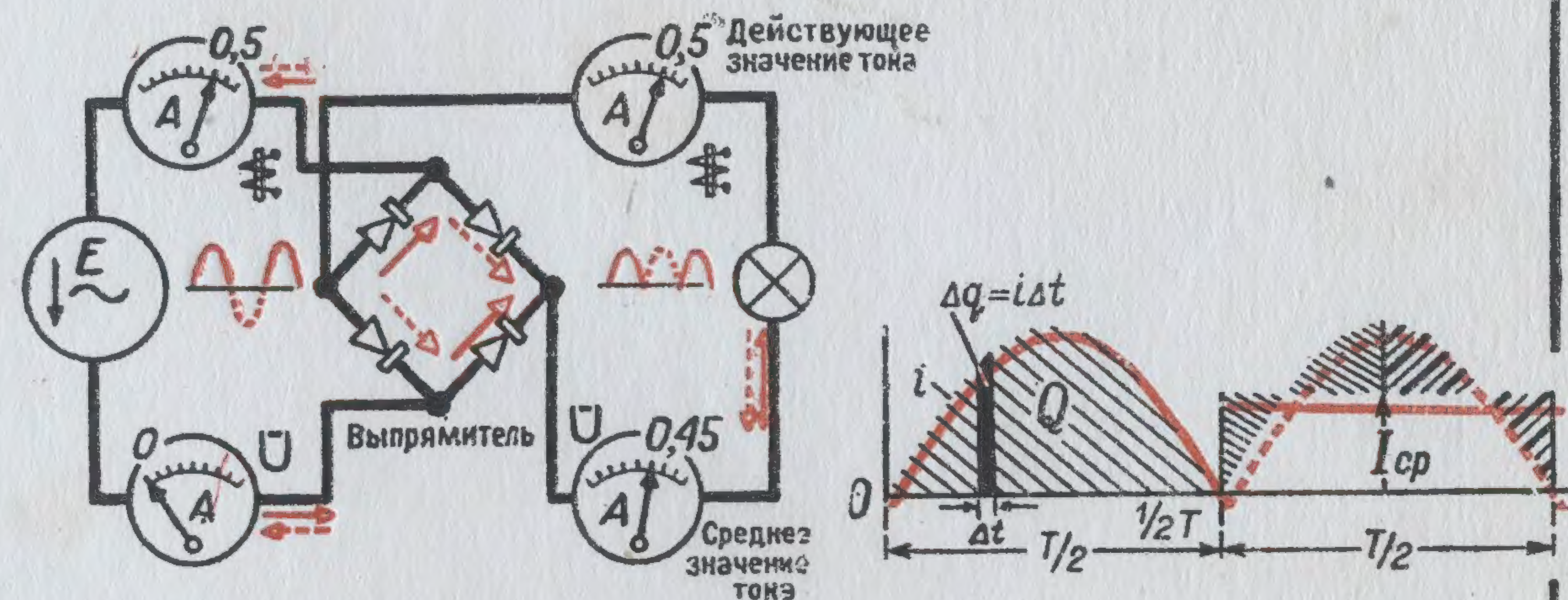


$$I^2 R = \frac{1}{T} \sum_0^T i^2 R \cdot \Delta t = \frac{1}{2} I_m^2 R$$

от

$$I = \frac{I_m}{\sqrt{2}} = 0,707 I_m \quad \alpha$$

**ДЕЙСТВУЮЩИМ** (эффективным) значением переменного тока называется величина эквивалентного постоянного тока, который в течение периода производит то же тепловое и динамическое действие, что и рассматриваемый переменный ток



$$I_{cp} = \frac{1}{T} \sum_0^T i \cdot \Delta t = \frac{Q}{T} = \frac{I_m}{\pi/2} = 0,636 I_m = 0,9 I \quad \alpha$$

$$\frac{1}{T} \sum_0^T i \cdot \Delta t = 0 \quad \alpha$$

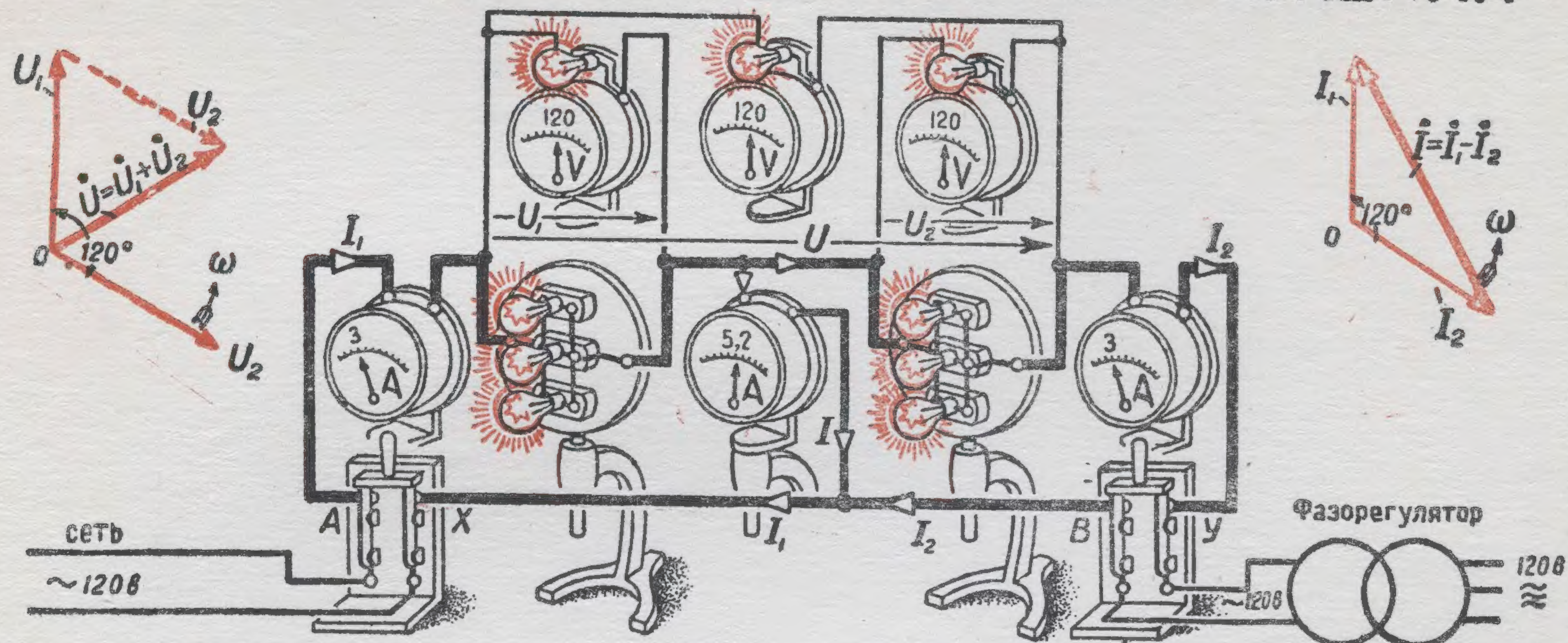
**СРЕДНИМ** значением переменного тока называется величина эквивалентного постоянного тока, при котором за полпериода, начиная с нуля, по цепи протекает такое же количество электричества, что и при рассматриваемом переменном токе.

Среднее значение переменного тока за целый период равно нулю

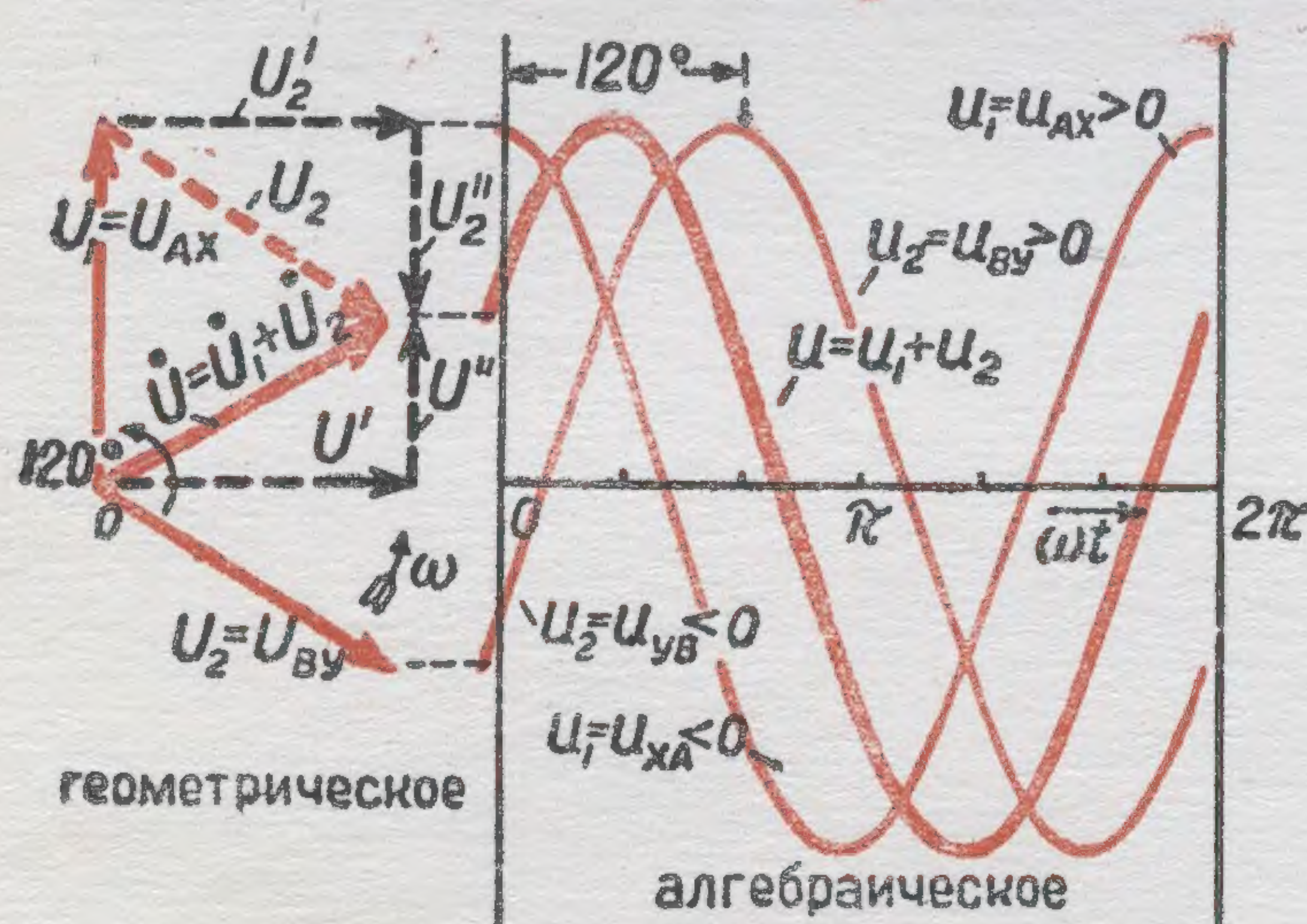
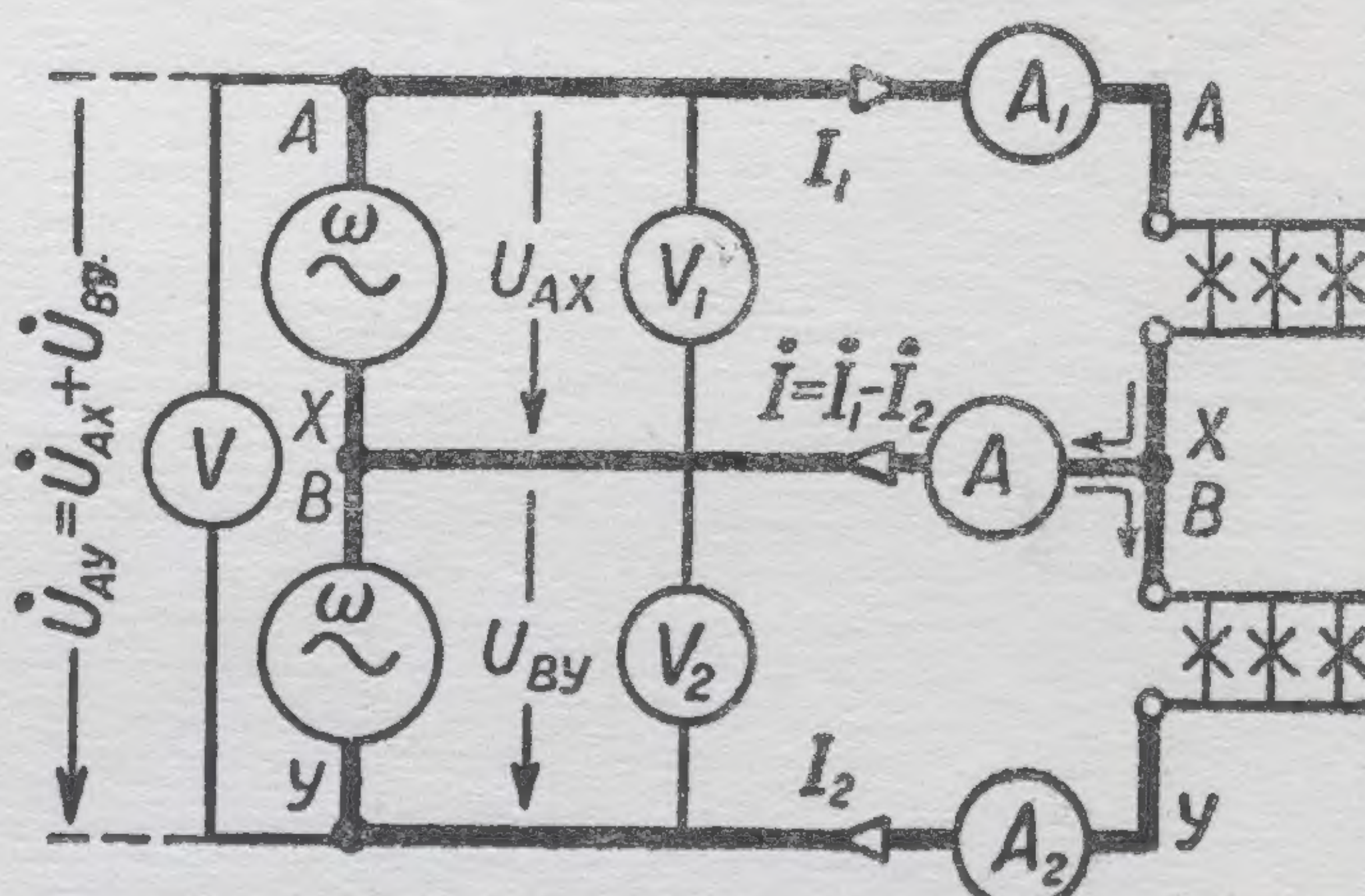
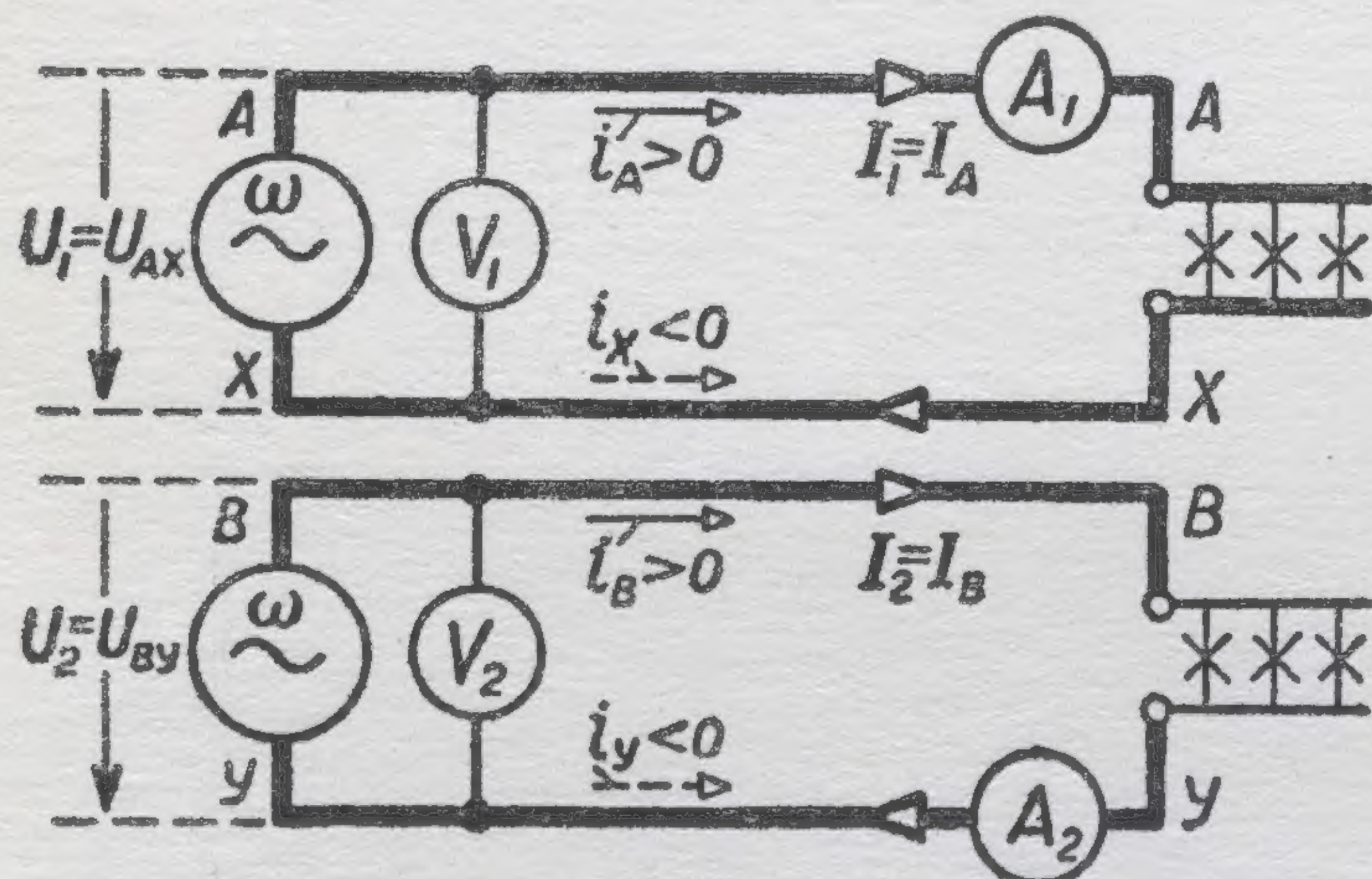
Э. И. Расовский



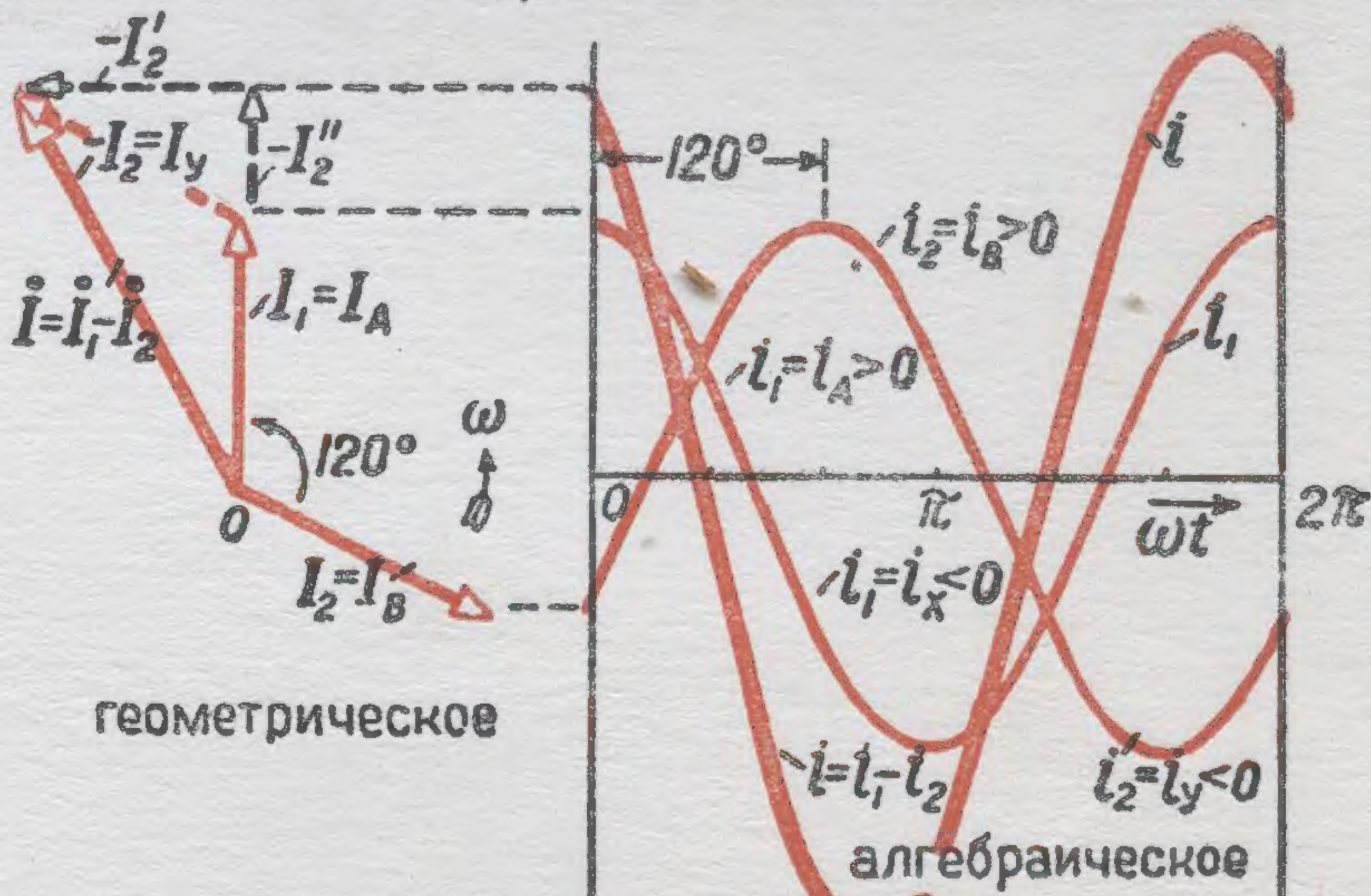
# СЛОЖЕНИЕ И ВЫЧИТАНИЕ ПЕРЕМЕННЫХ ТОКОВ ИЛИ НАПРЯЖЕНИЙ



Сложение напряжений и вычитание токов, сдвинутых по фазе на  $120^\circ$



Сложение напряжений, сдвинутых на  $120^\circ$



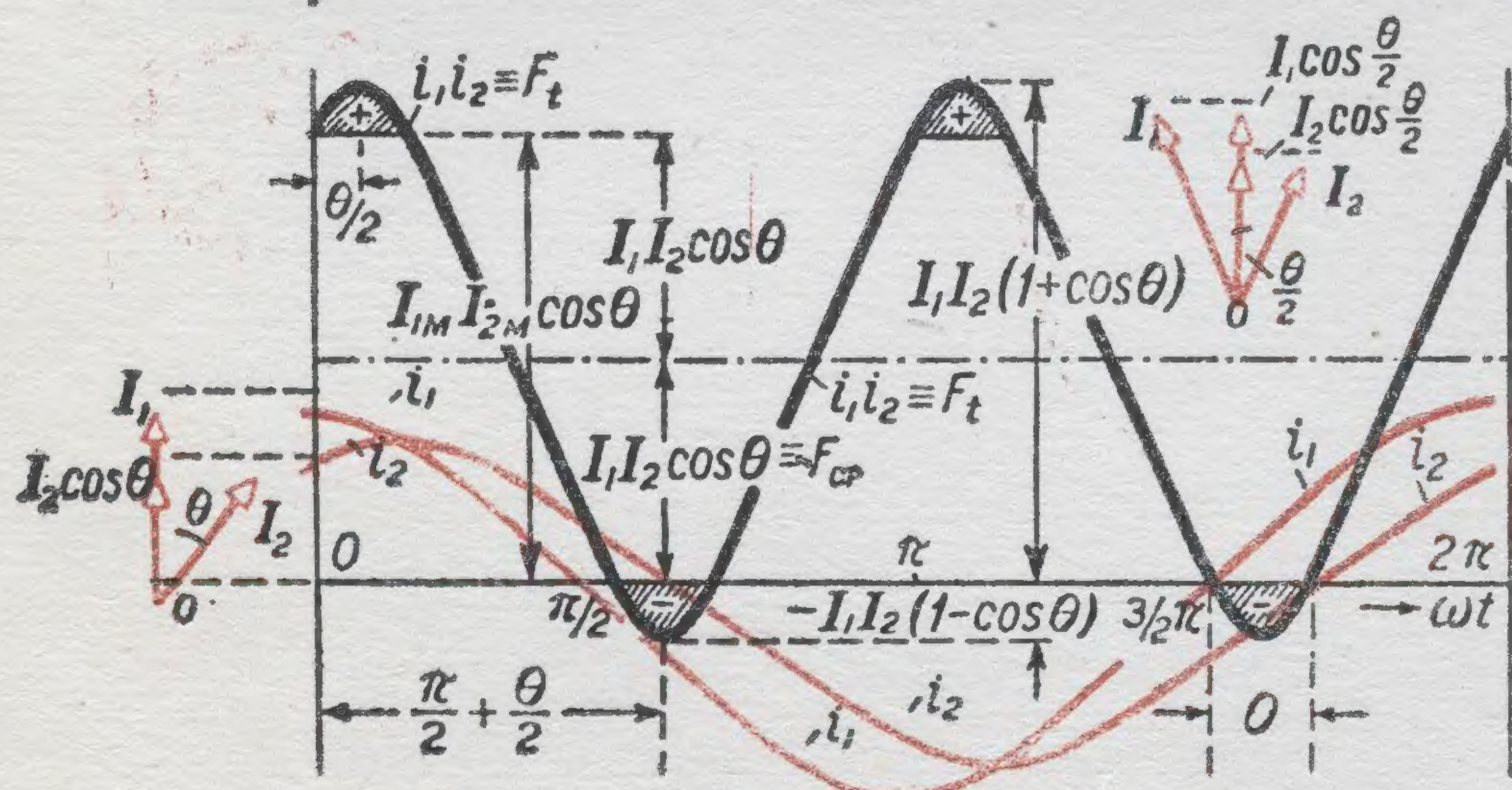
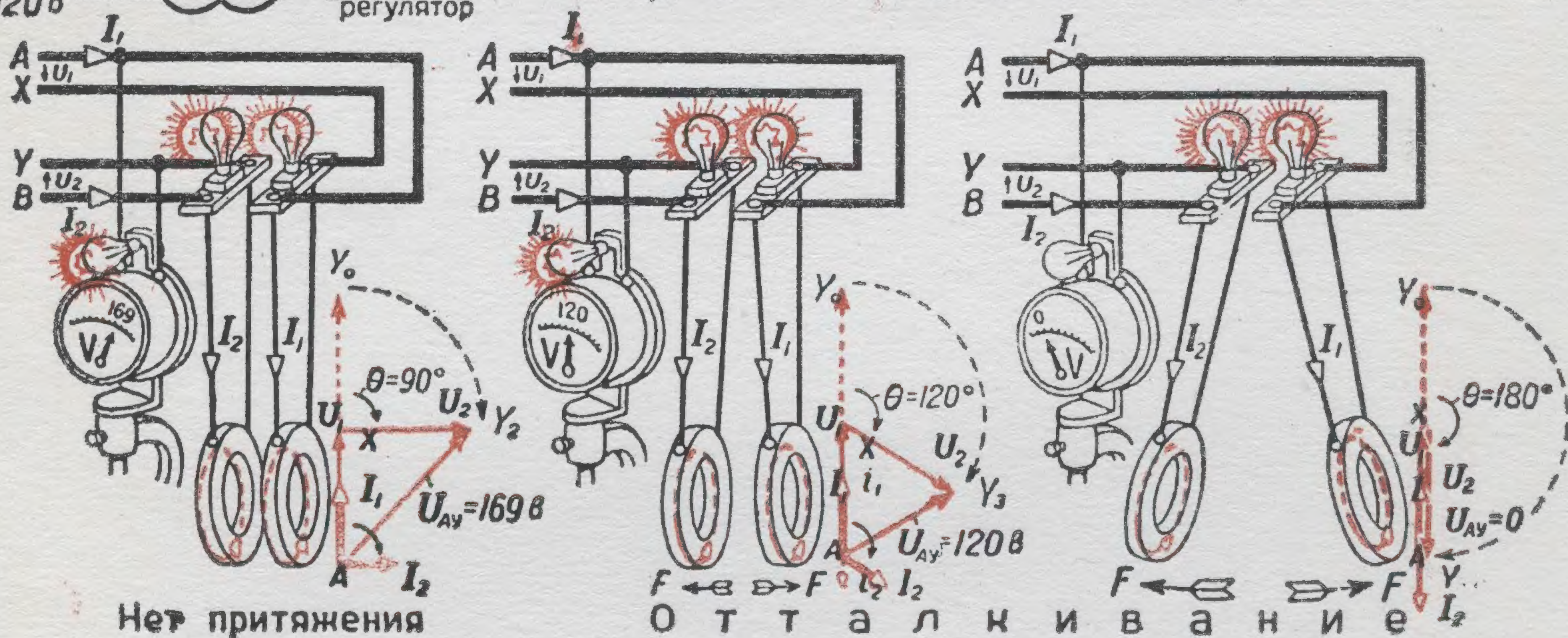
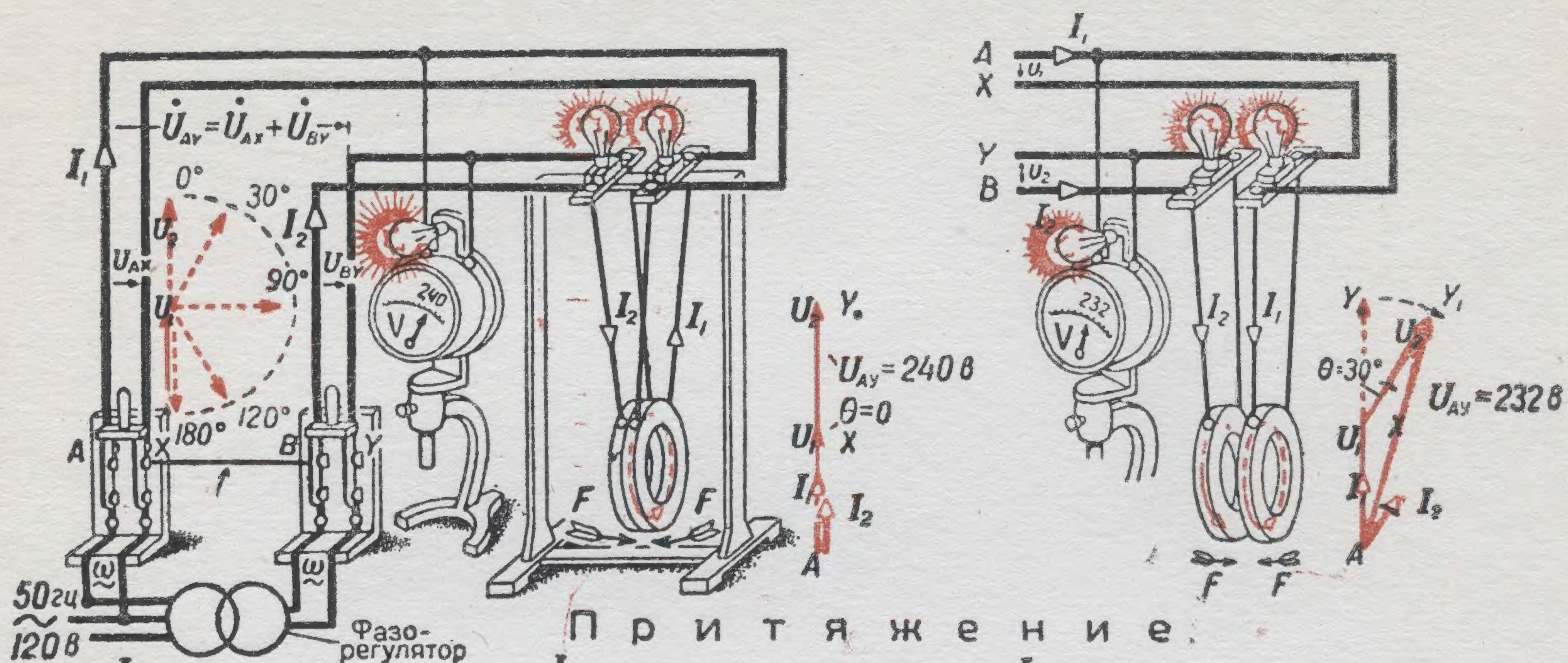
Вычитание токов сдвинутых на  $120^\circ$

При сложении и вычитании переменных токов или напряжений одинаковой частоты необходимо задаться: их положительным направлением в цепи, величиной и фазой

Мгновенные значения ( $u, i$ ) складываются **алгебраически**,  
действующие значения ( $U, I$ ) — **геометрически**



# ВЗАИМОДЕЙСТВИЕ ПЕРЕМЕННЫХ ТОКОВ



Среднее значение силы взаимодействия

$$I_{1M} \cos \frac{\theta}{2} \cdot I_{2M} \cos \frac{\theta}{2} = I_1 I_2 (1 + \cos \theta)$$

$$I_2 \sin \frac{\theta}{2} \cdot I_1 \sin \frac{\theta}{2} = I_1 I_2 (1 - \cos \theta)$$

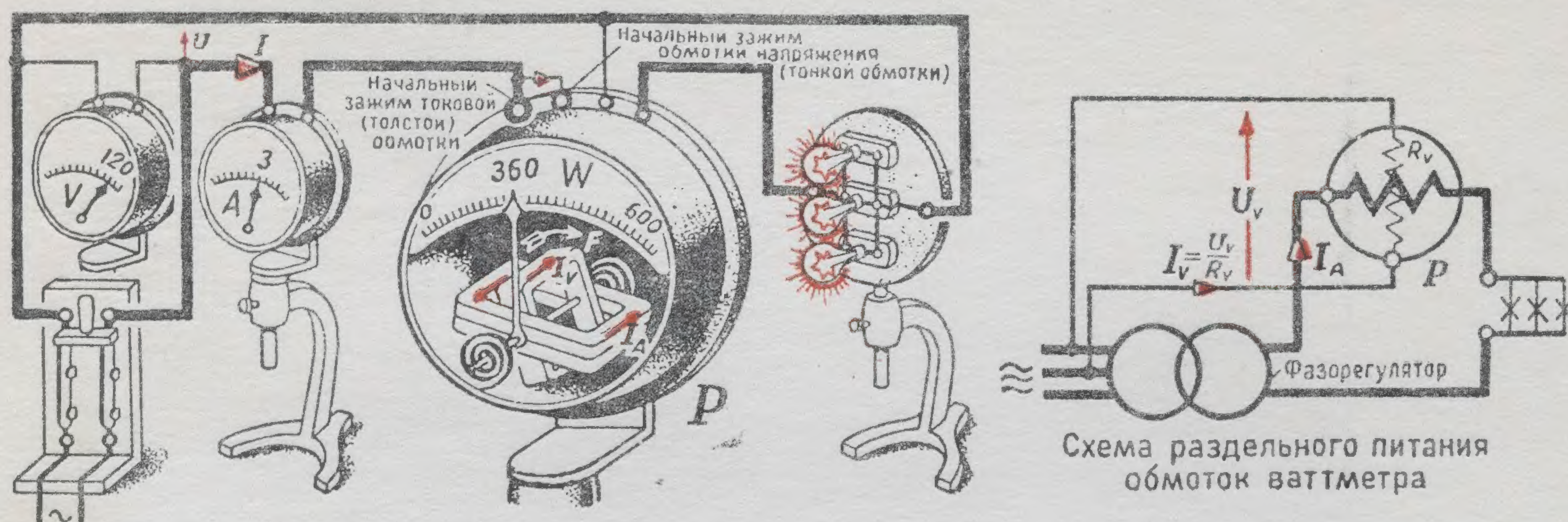
$$I_{1M} \sin \frac{\theta}{2} \cdot I_{2M} \sin \frac{\theta}{2} = I_1 I_2 (1 - \cos \theta)$$

$$F_{ср} = I_1 I_2 \cos \theta \quad \frac{дж}{м}$$

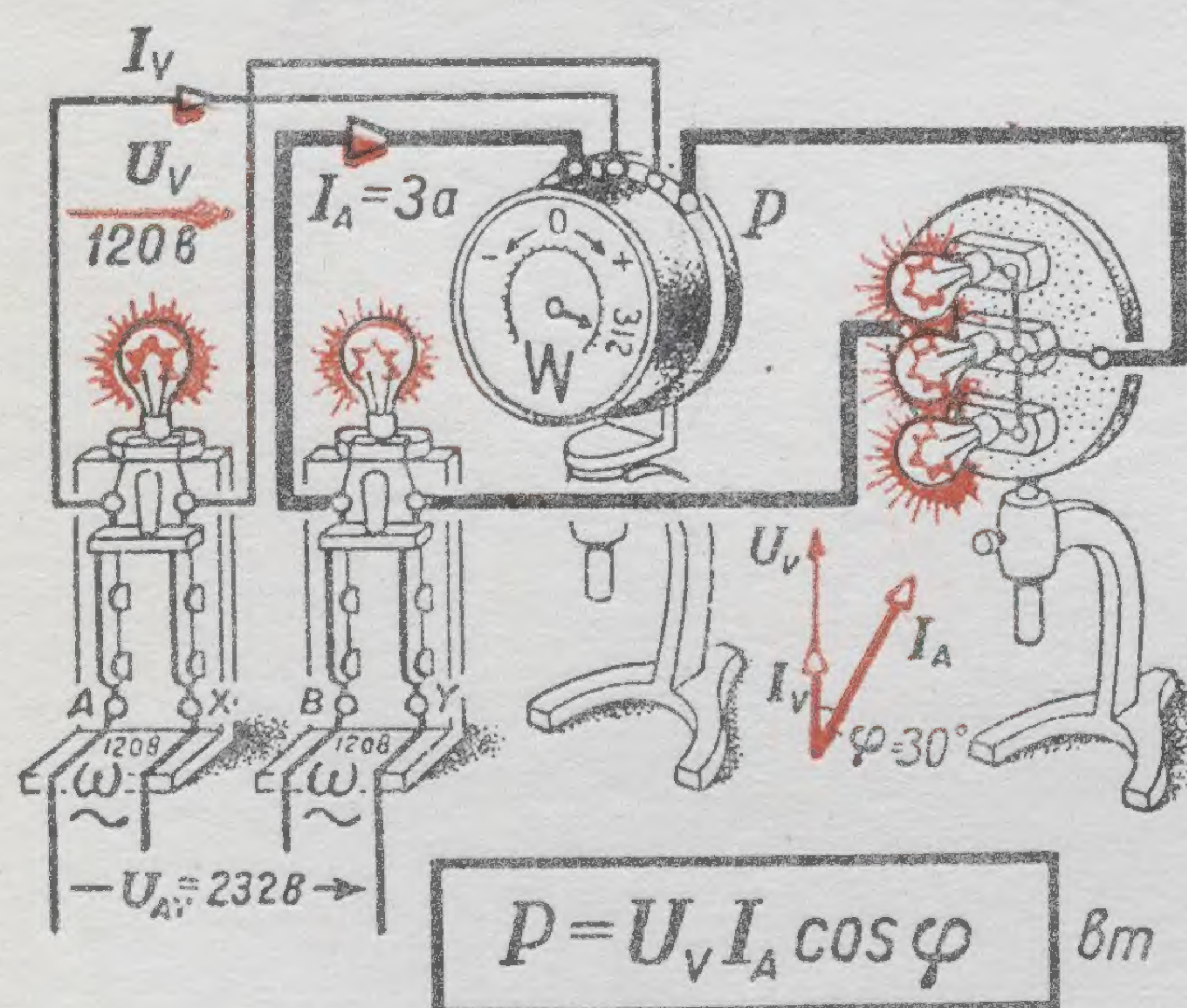
Среднее значение силы взаимодействия двух переменных токов пропорционально произведению действующих значений этих токов и косинуса угла сдвига фаз между ними



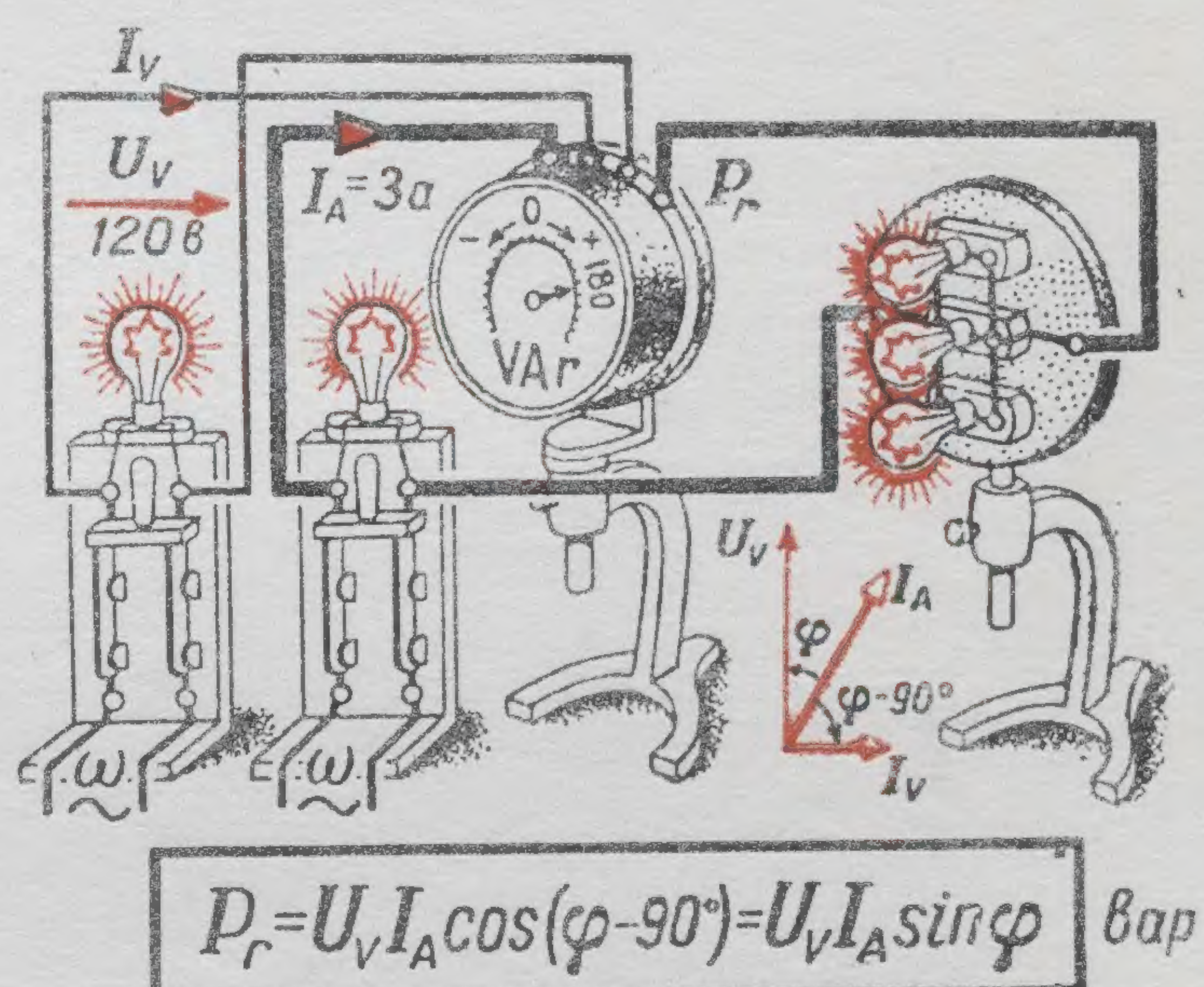
# ВАТТМЕТР В ЦЕПИ ПЕРЕМЕННОГО ТОКА



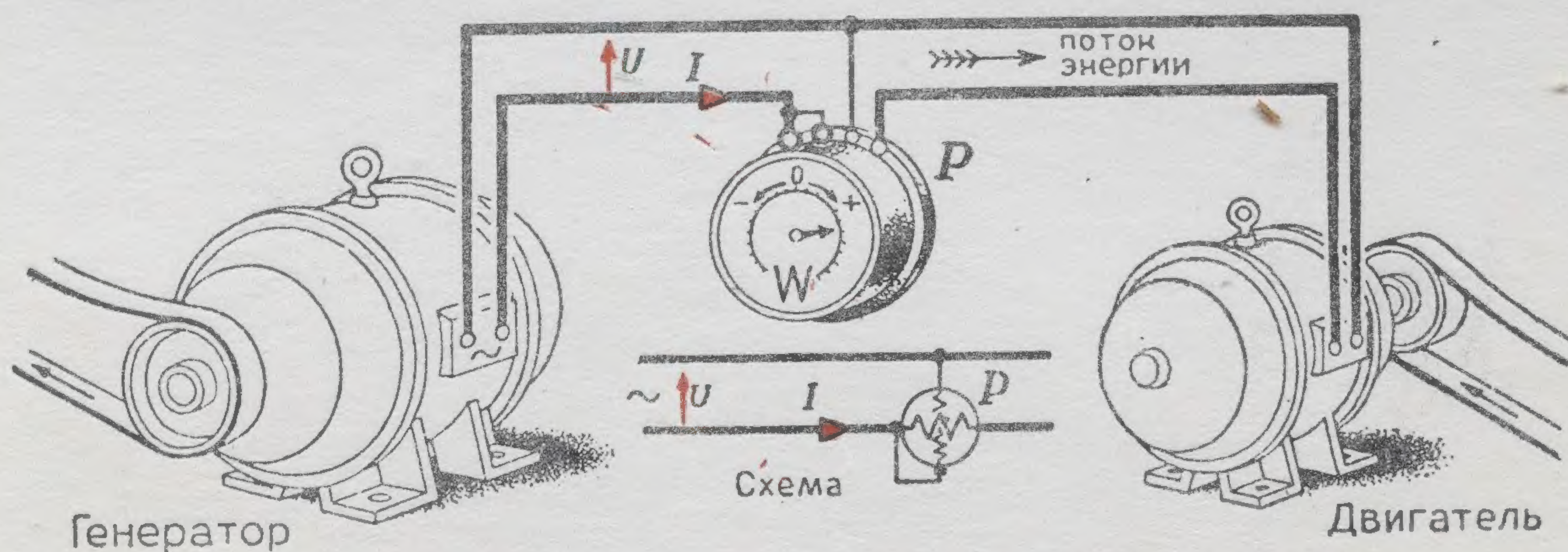
Взаимодействие обмоток электродинамического ваттметра



Раздельное питание обмоток ваттметра при искусственно созданном сдвиге фаз в  $30^\circ$  между токами в толстой и тонкой обмотках.



Раздельное питание обмоток реактивного, синусного, ваттметра (со специальным сдвигом фаз в  $90^\circ$  в цепи его тонкой обмотки).



Включение ваттметра в цепь переменного тока.

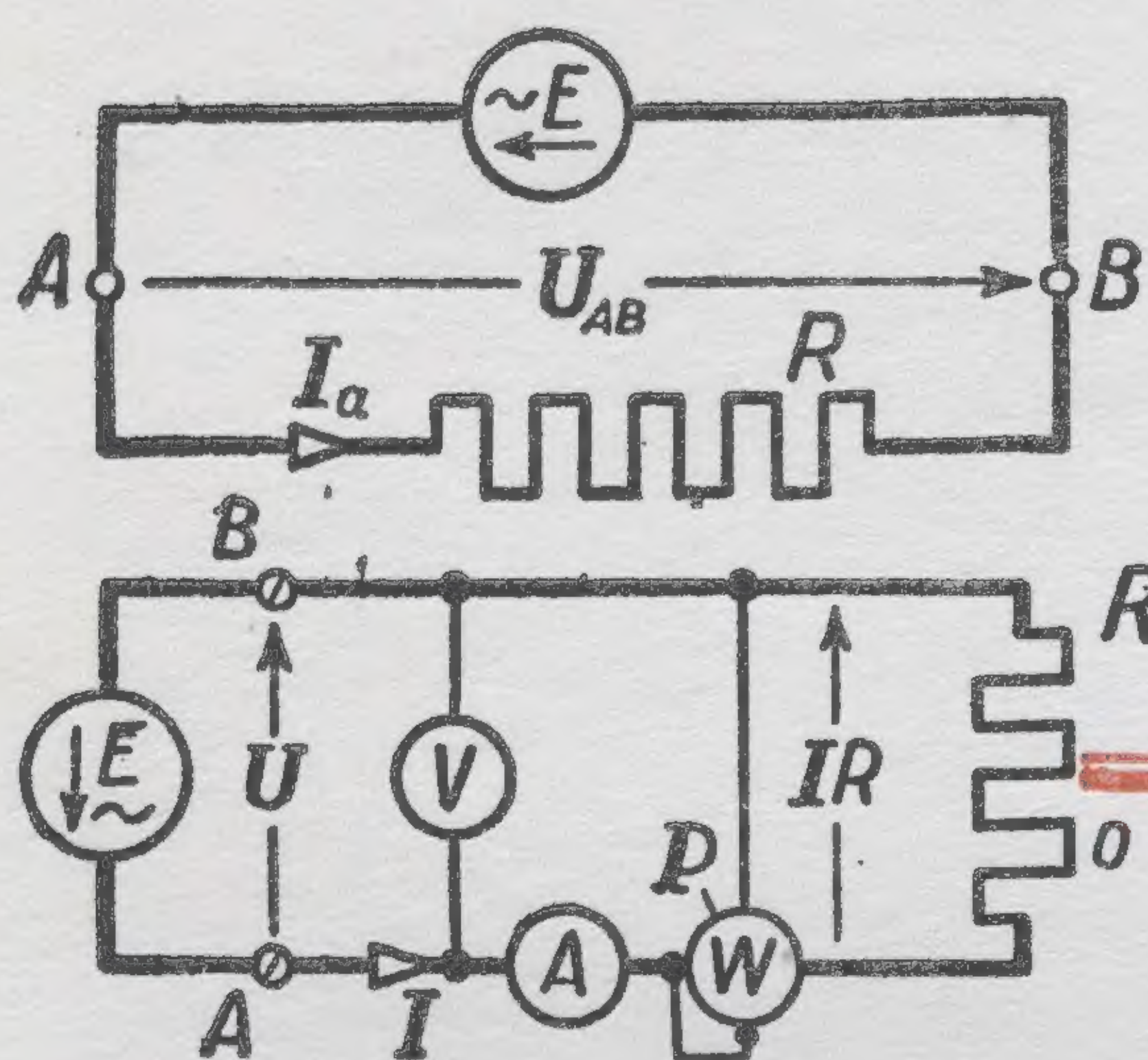
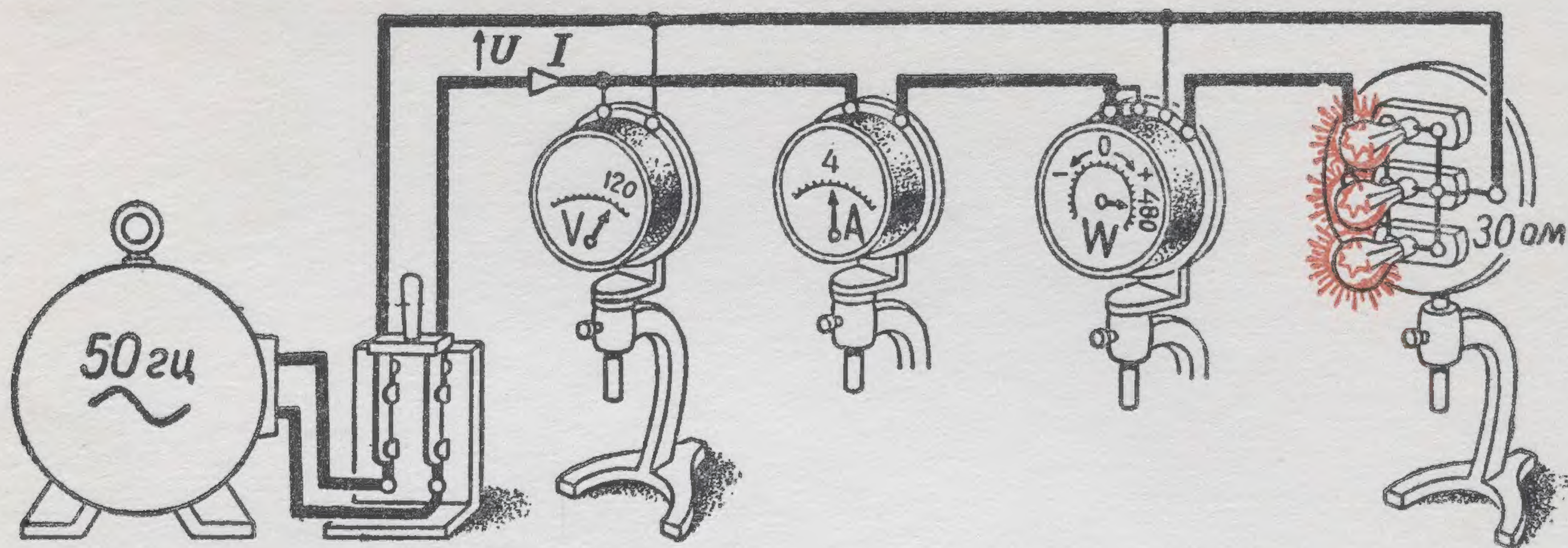
$$P = UI \cos \varphi \text{ Вт}$$

Показание ваттметра

Показание ваттметра равно произведению напряжения, приложенного к зажимам тонкой обмотки, на ток в толстой обмотке и на косинус угла сдвига фаз между ними.



# ЦЕПЬ ПЕРЕМЕННОГО ТОКА С АКТИВНЫМ СОПРОТИВЛЕНИЕМ

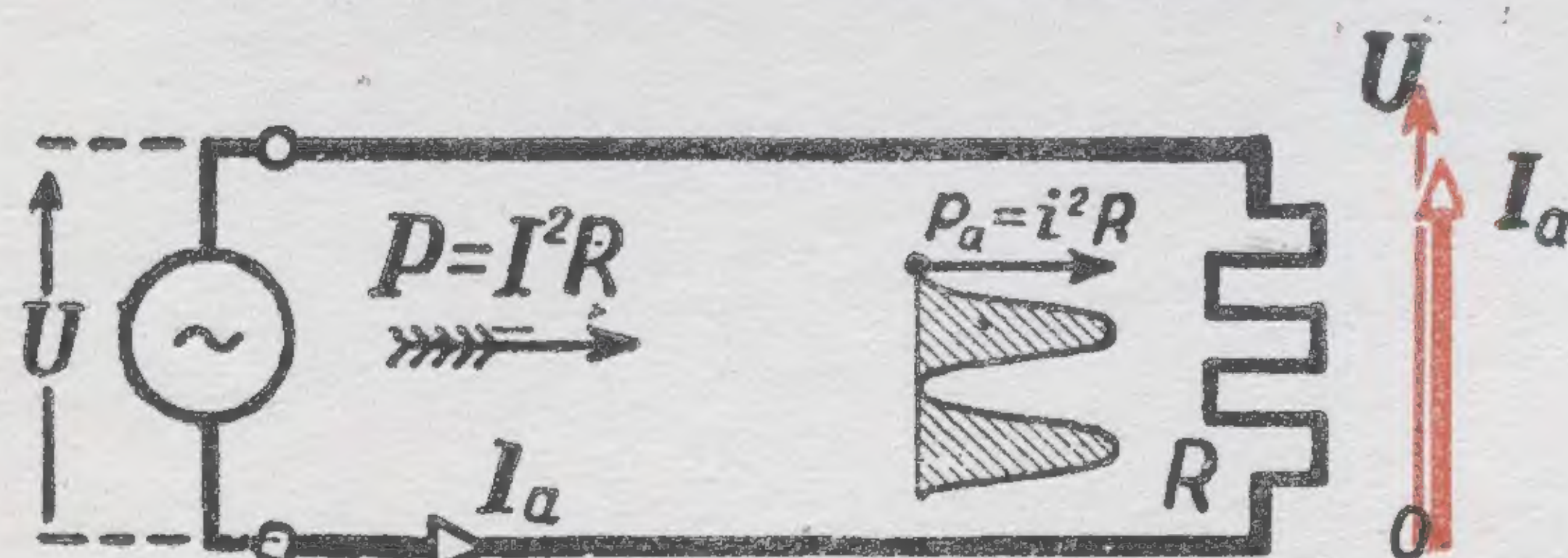


$$R = \frac{U}{I_a} = \frac{P}{I^2} \text{ Ом}$$

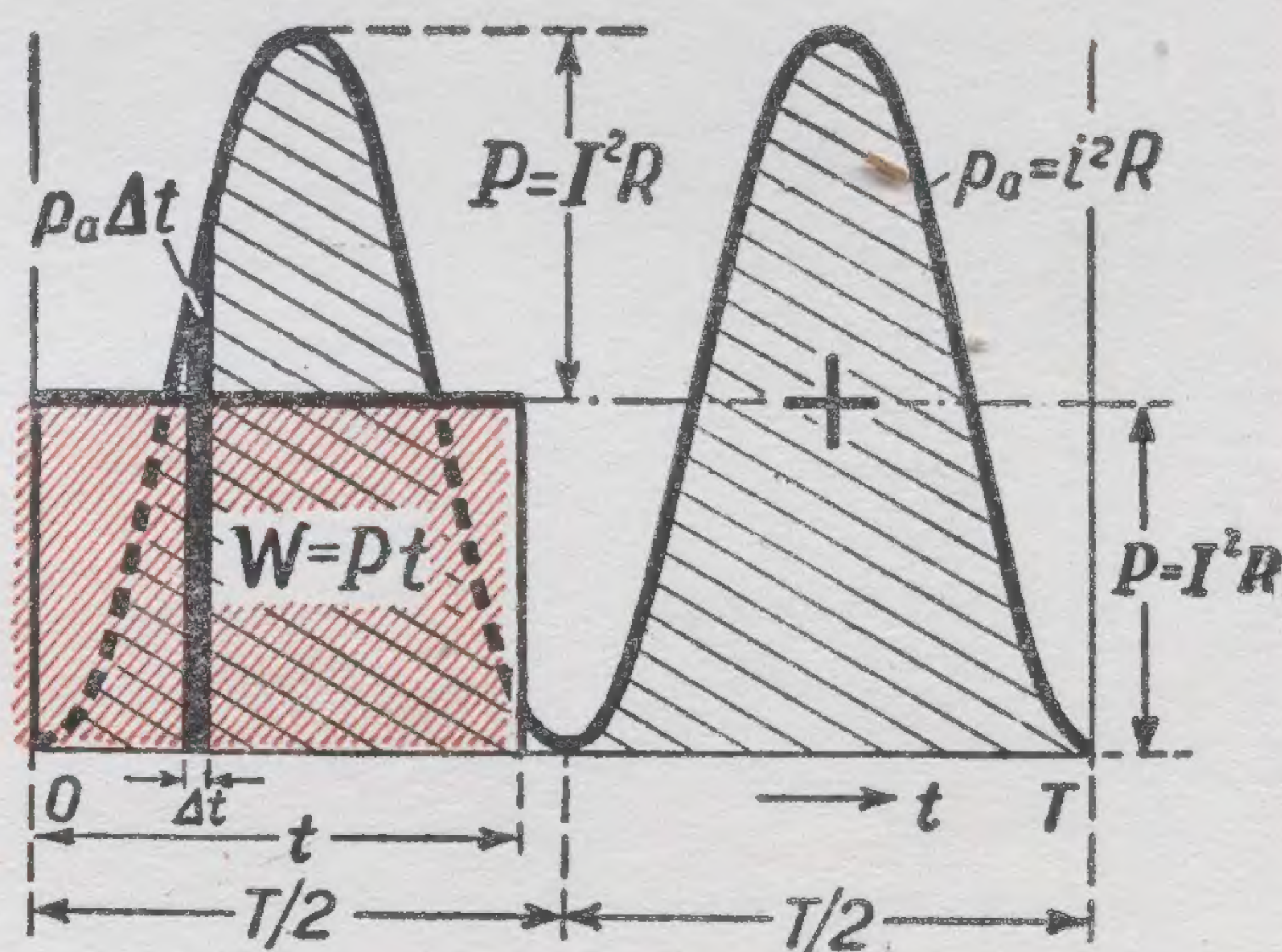
Активное сопротивление

$$g = \frac{1}{R} = \frac{I_a}{U} = \frac{P}{U^2} \text{ 1/Ом}$$

Активная проводимость



Активное сопротивление — приемник активной мощности и активной энергии („приемник“ активного тока)



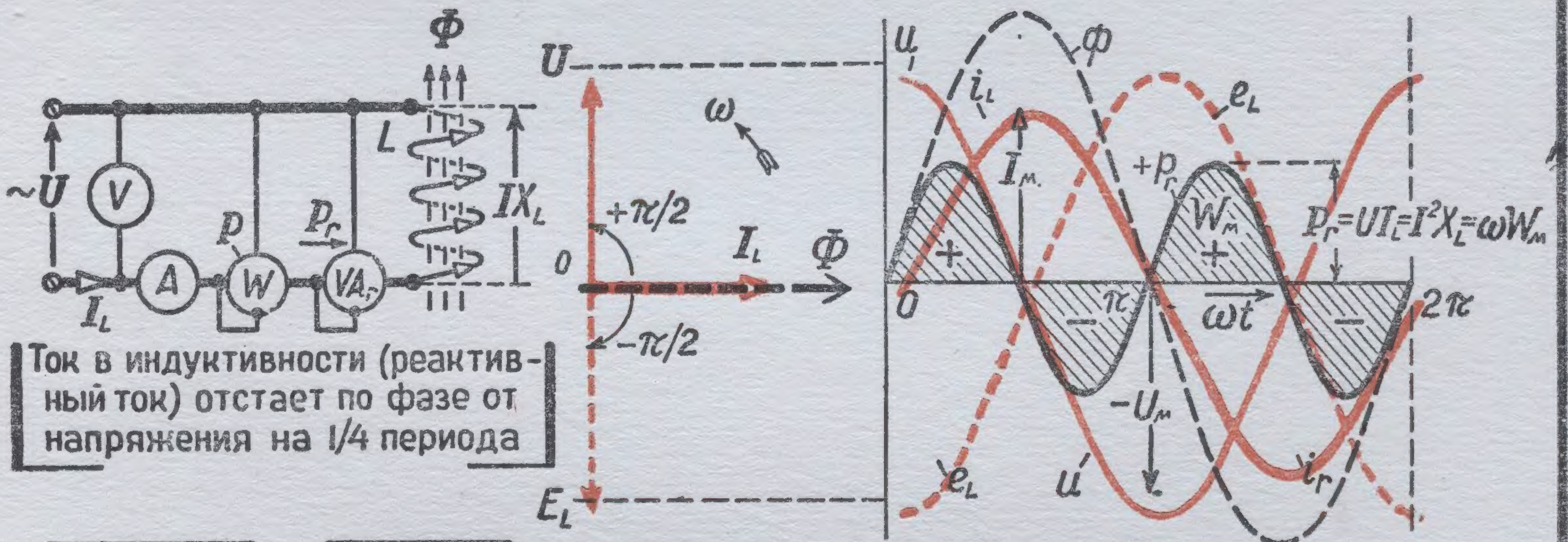
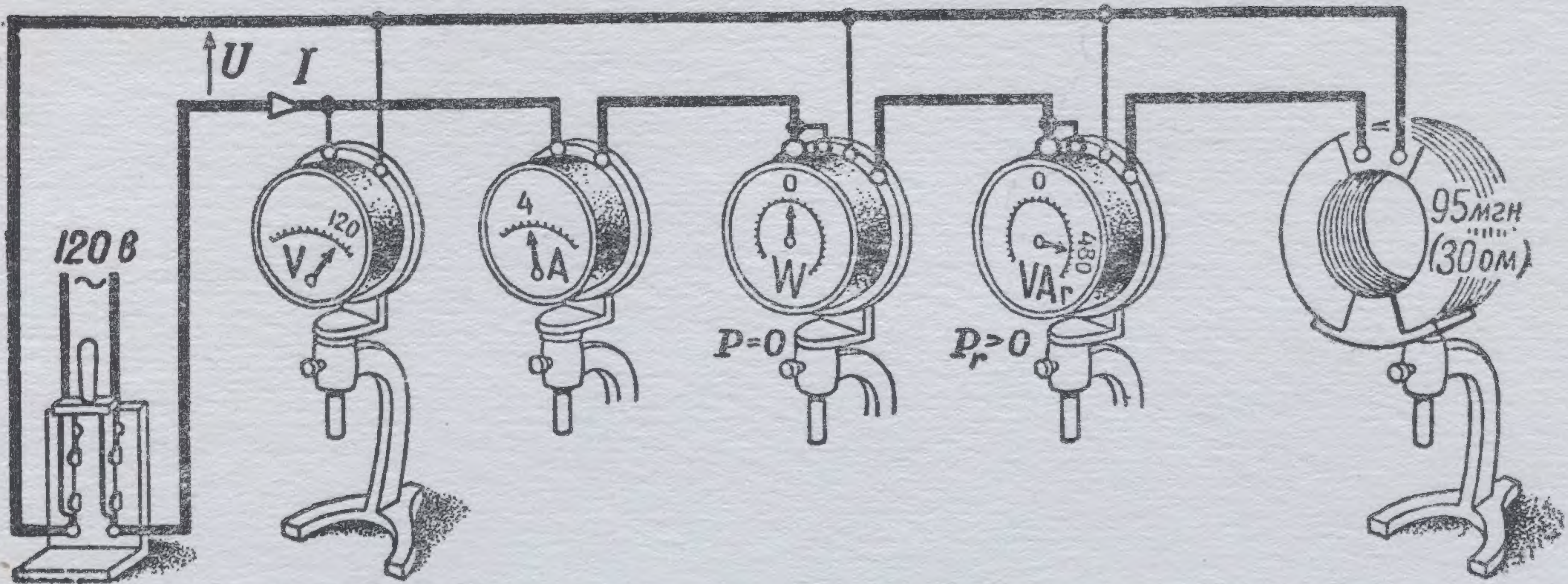
$$P = \frac{1}{T} \sum_0^T i^2 R \cdot \Delta t = I^2 R = U^2 g = UI_a \text{ Вт}$$

Активная мощность есть среднее значение мгновенной мощности за период (показание ваттметра)

З.И. Расовский



# ЦЕПЬ ПЕРЕМЕННОГО ТОКА С ИНДУКТИВНОСТЬЮ



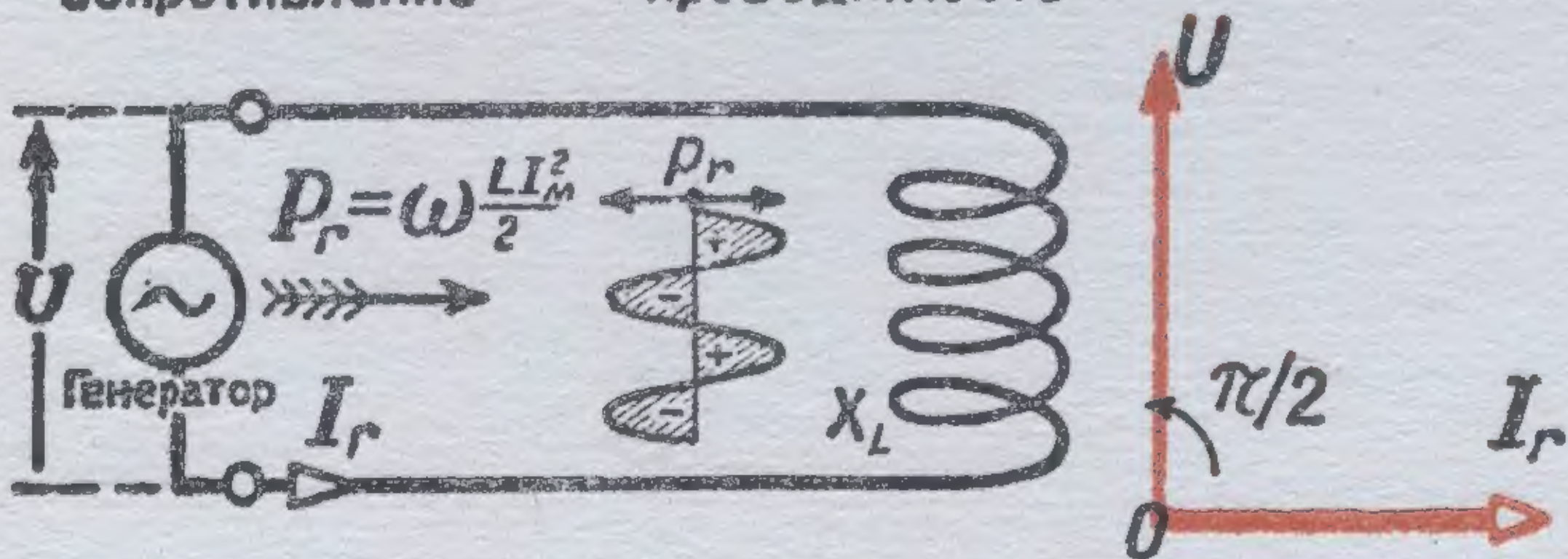
$$X_L = \omega L = \frac{U}{I_r} \text{ Ом}$$

Индуктивное сопротивление

$$B_L = \frac{1}{X_L} = \frac{I_r}{U} \text{ 1/Ом}$$

Индуктивная проводимость

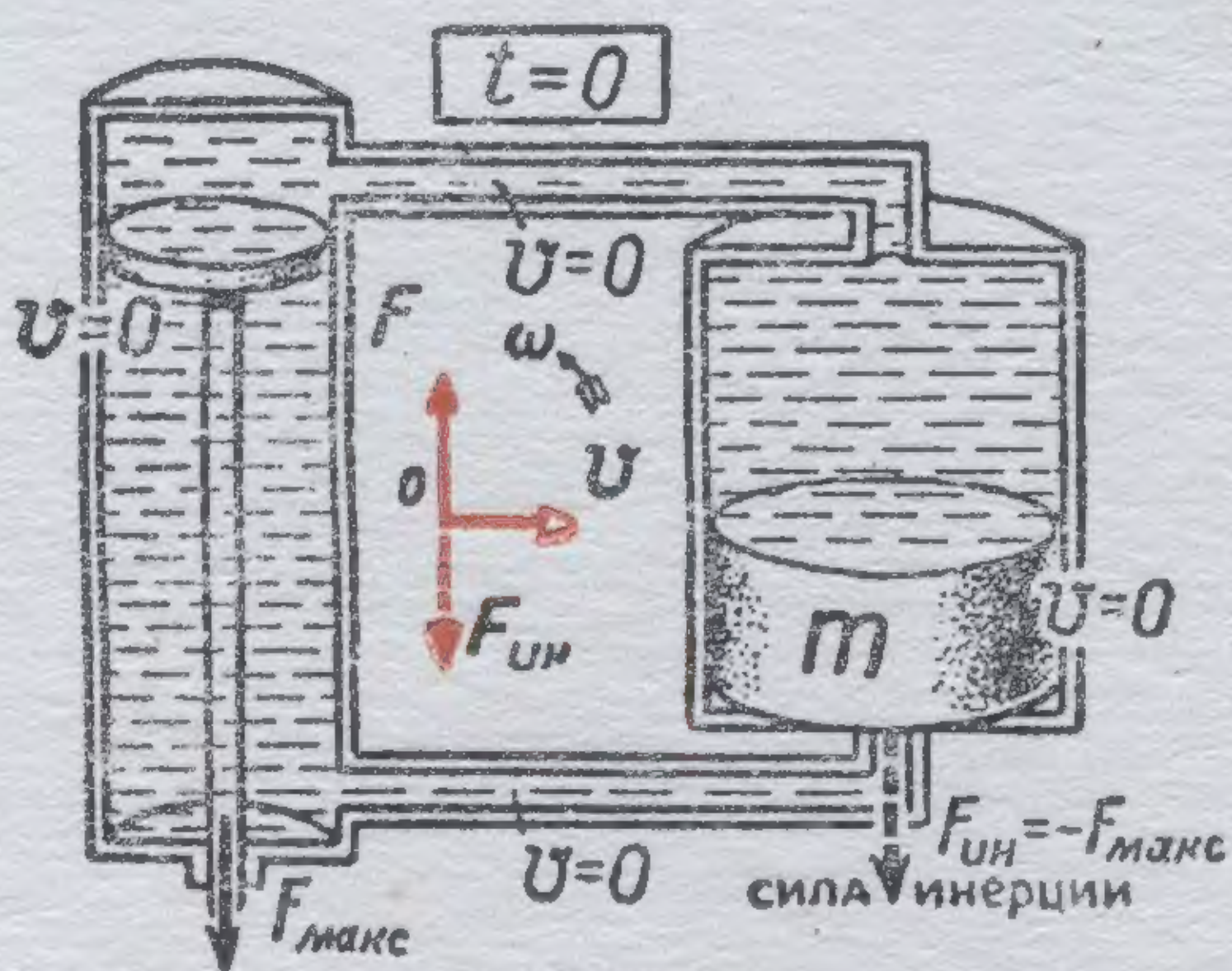
Из-за инерции переменный ток в индуктивности не поспевает за изменениями напряжения



$$P_r = UI_r = U^2 B_L = I^2 X_L = I^2 \omega L = \omega \frac{LI_m^2}{2} = \omega W_m \text{ вар}$$

Реактивная мощность – мера колеблющейся в цепи энергии (показание реактивного ваттметра)

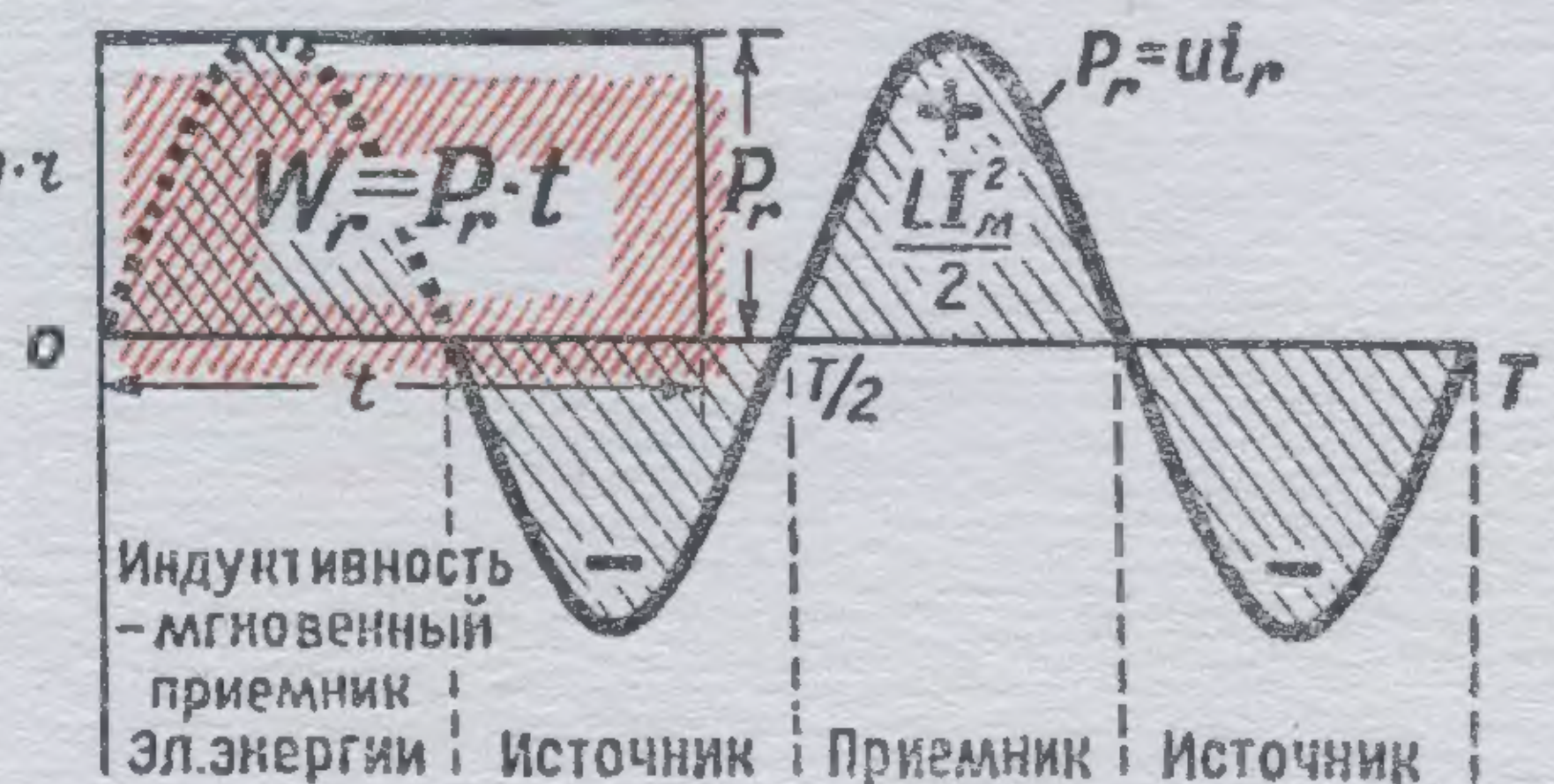
Индуктивность – условный приемник реактивной мощности и реактивной энергии („приемник“ реактивного, отстающего, тока)



Гидравлическая аналогия

$$W_r = P_r \cdot t = \omega \frac{LI_m^2}{2} t \text{ вар} \cdot \text{с}$$

Реактивная энергия, „потребляемая“ индуктивностью



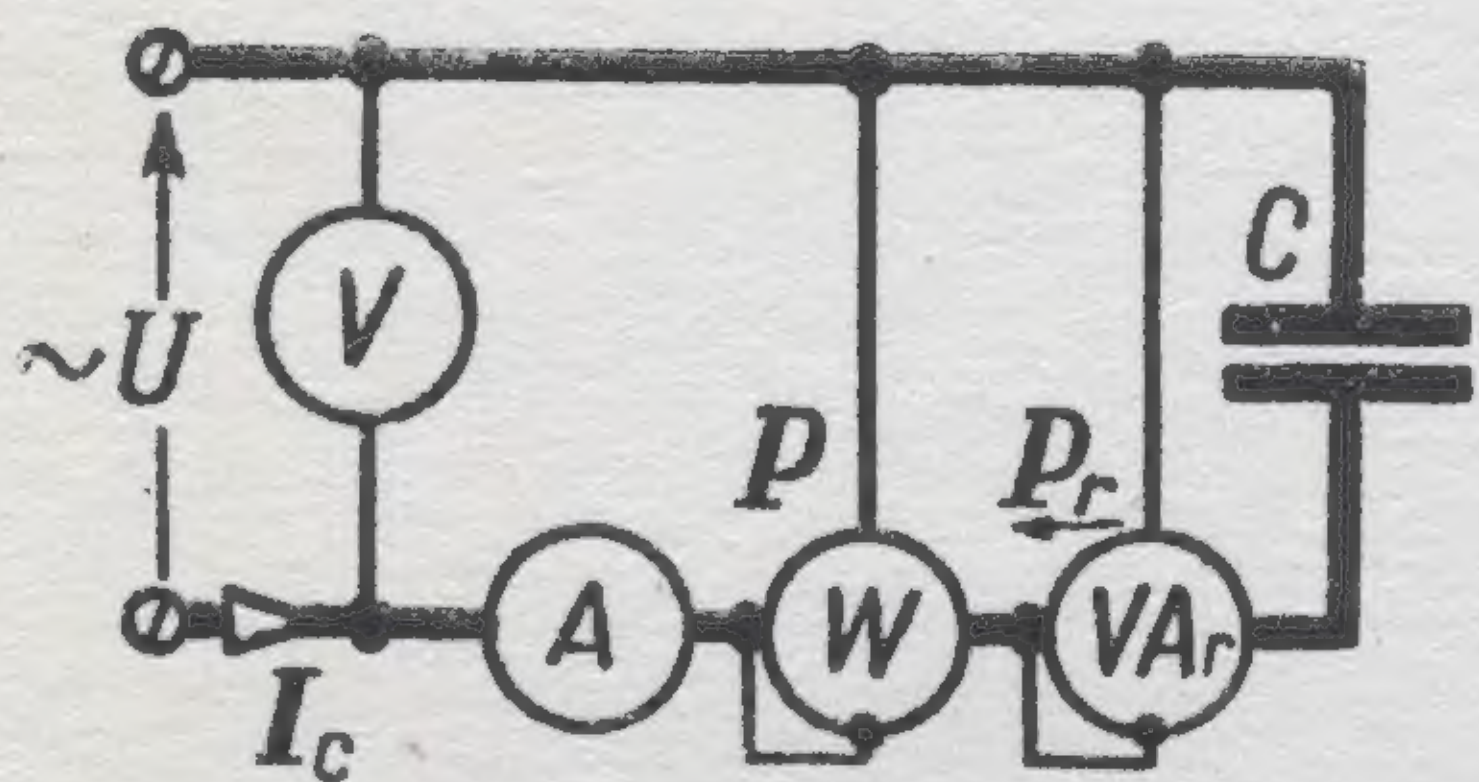
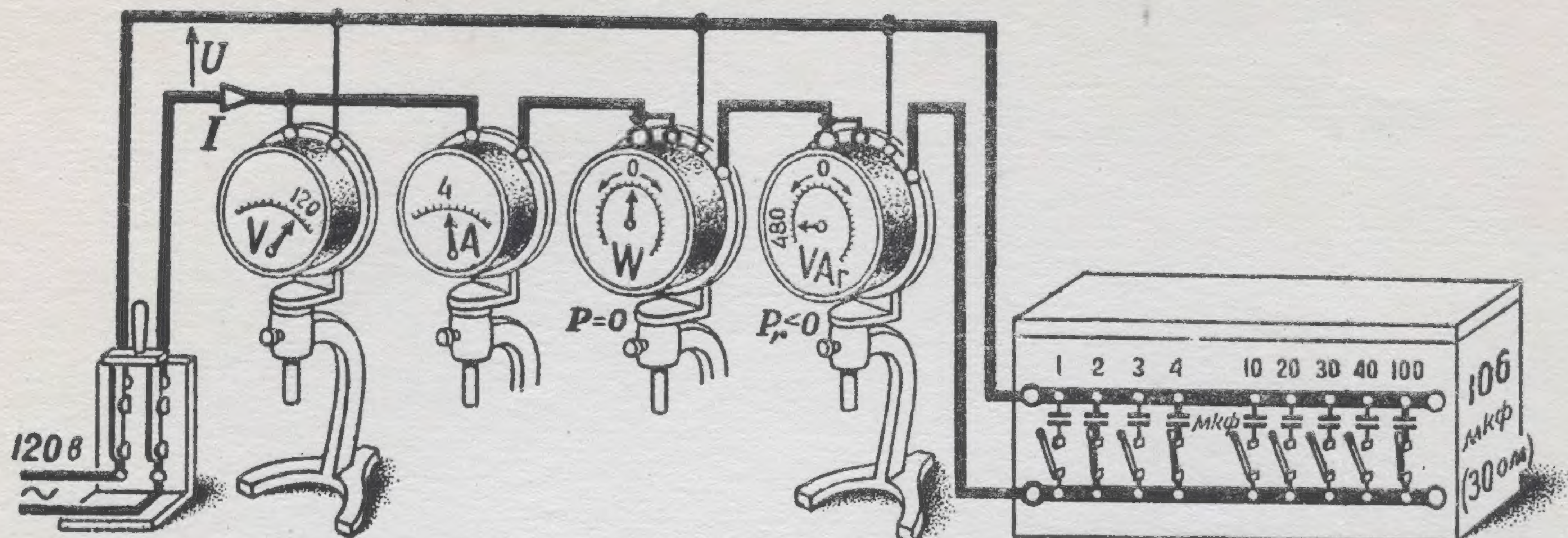
Колебание энергии в цепи

Э.И. Расовский.

Худ. А.Меньшиков



# ЦЕПЬ ПЕРЕМЕННОГО ТОКА С ЕМКОСТЬЮ



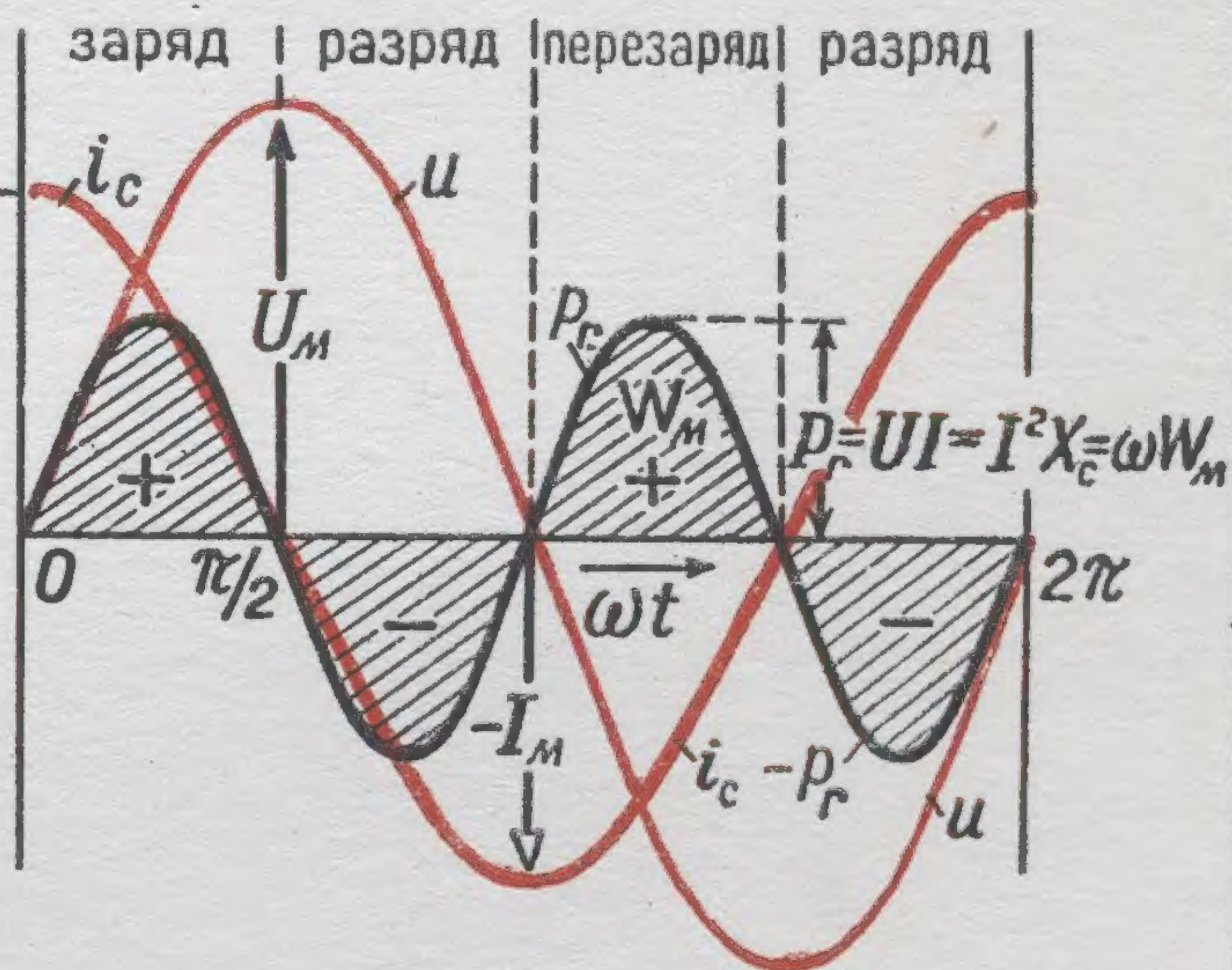
Емкостный ток опережает напряжение по фазе на 1/4 периода

$$X_c = \frac{1}{\omega C} = \frac{U}{I_c} \text{ ом}$$

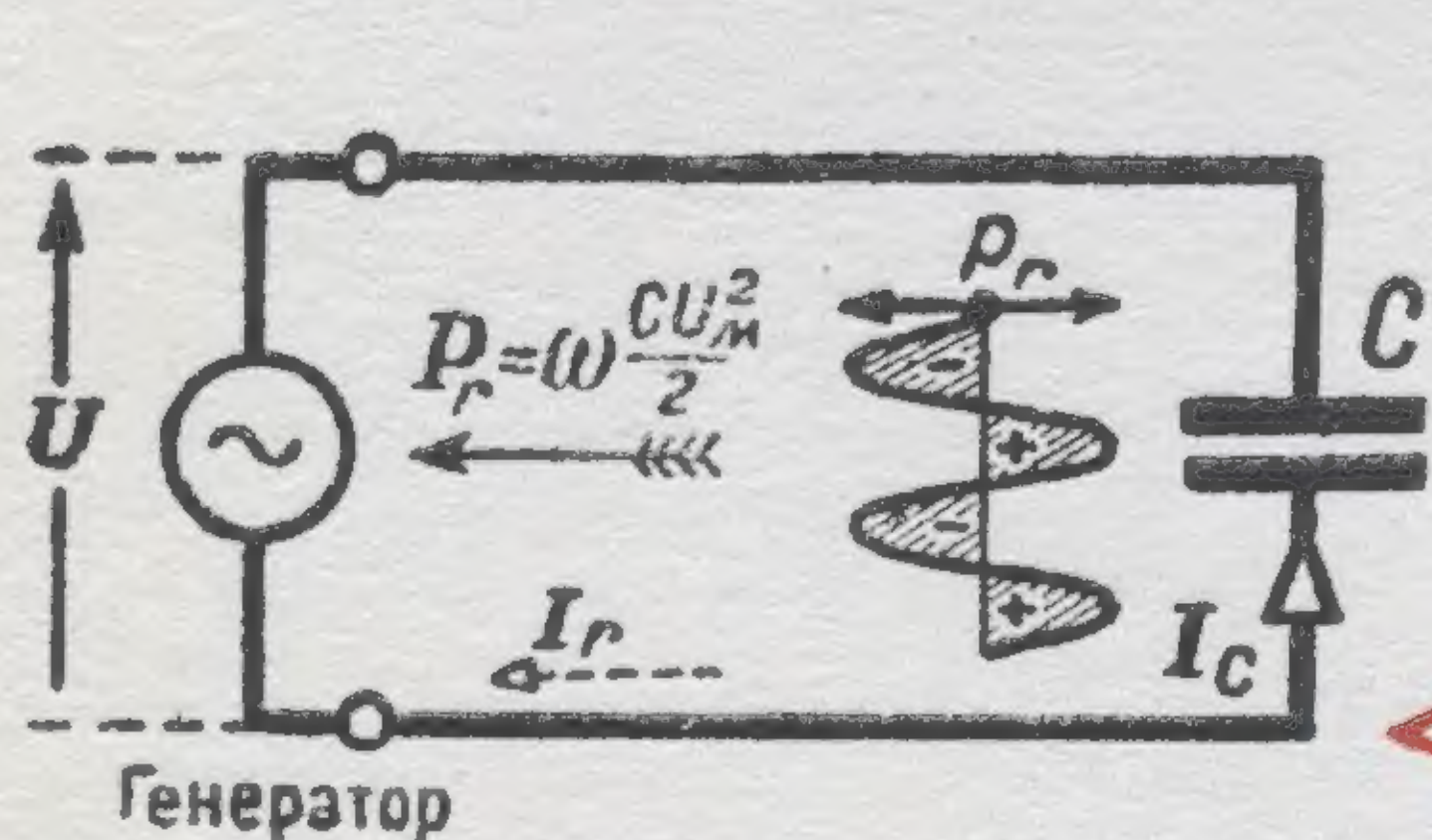
Емкостное сопротивление

$$B_c = \frac{1}{X_c} = \omega C = \frac{I_c}{U} \text{ 1/ом}$$

Емкостная проводимость



Зарядный ток конденсатора зависит от скорости нарастания напряжения

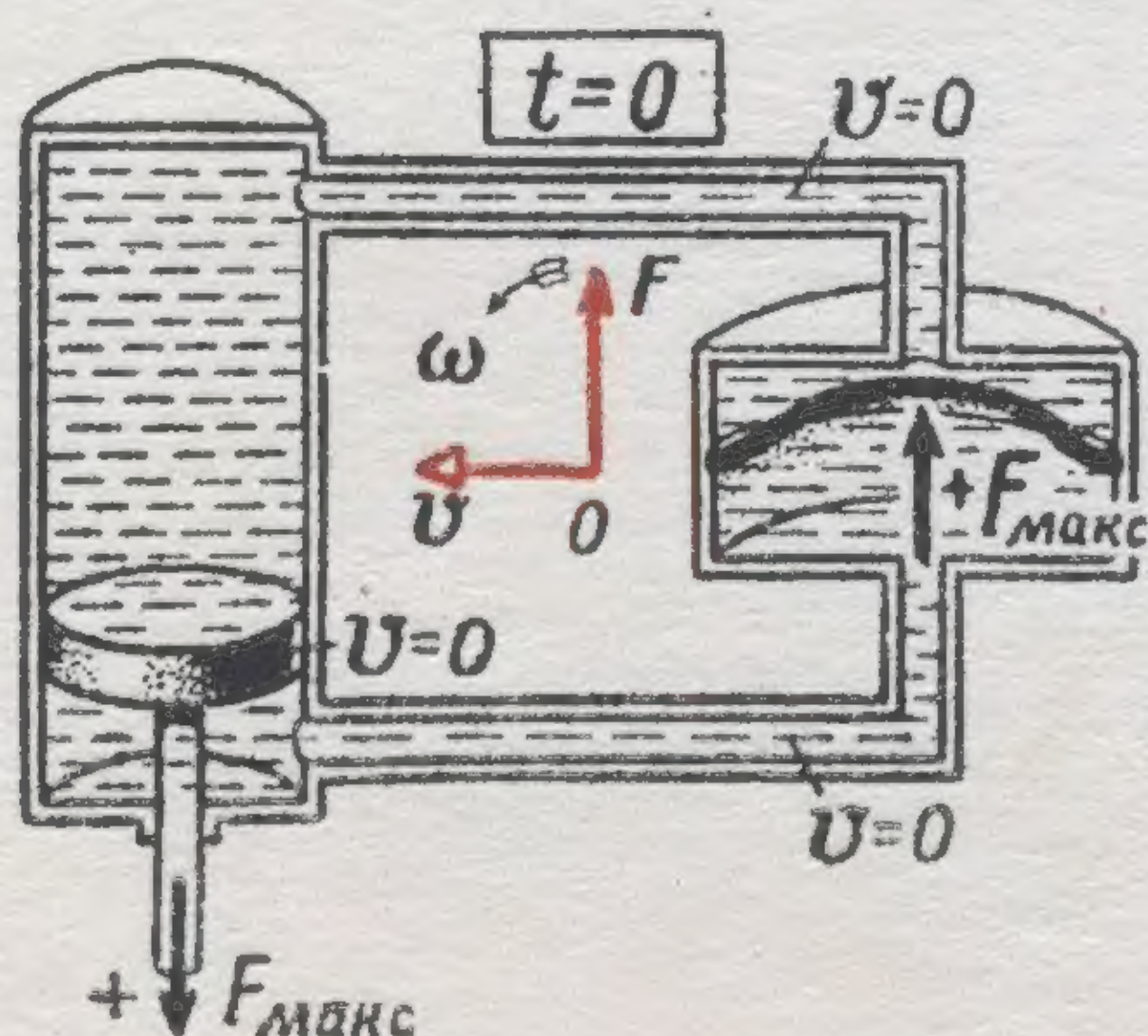


Генератор

$$P_r = UI_c = I^2 X_c = U^2 \omega C = \omega \frac{CU_m^2}{2} = \omega W_{\text{макс}} \text{ вар}$$

Реактивная мощность — мера колеблющейся в цепи энергии (отрицательное показание реактивного ваттметра)

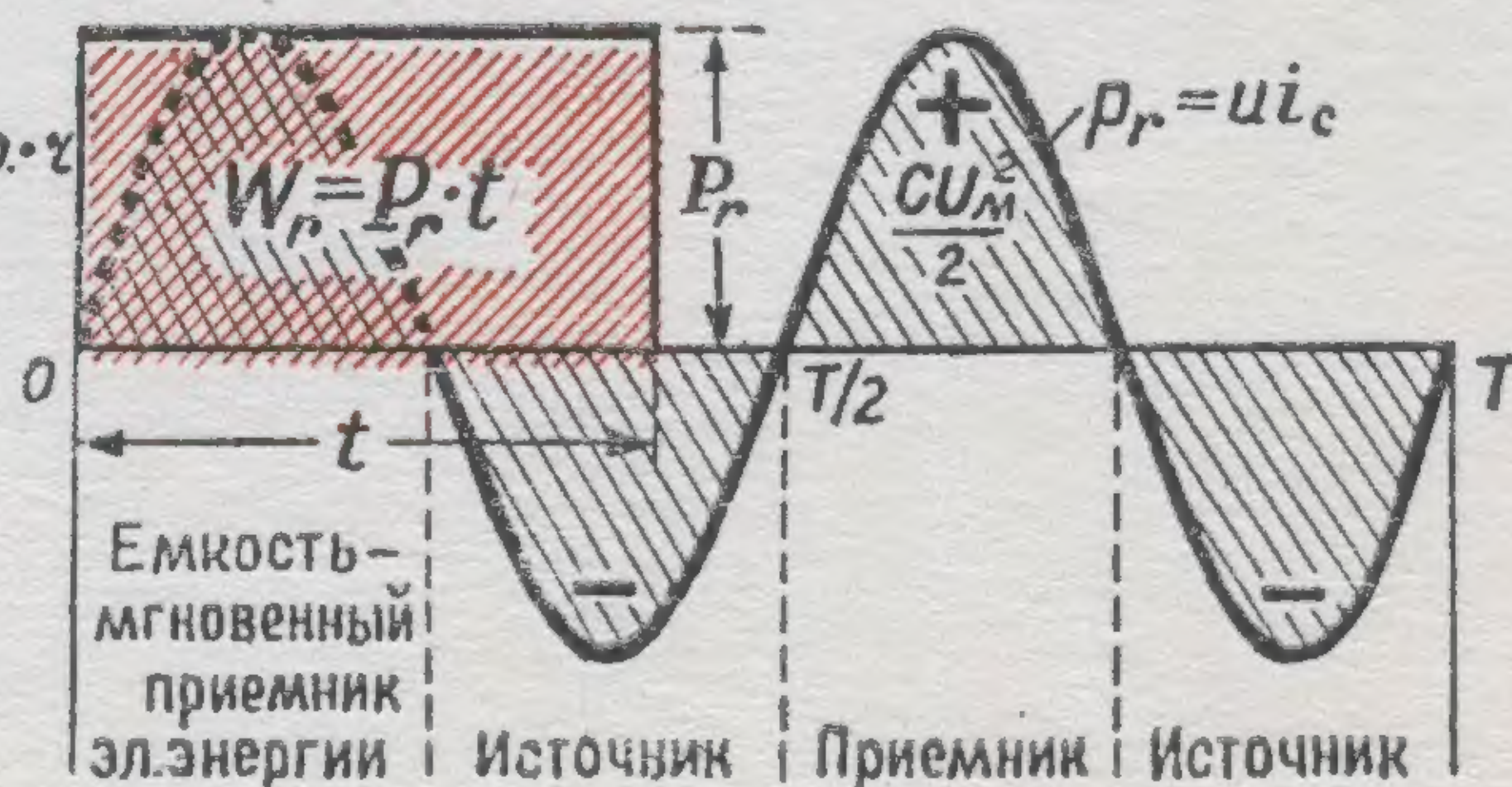
Емкость — условный источник реактивной мощности и реактивной энергии  
(„источник” реактивного, отстающего, тока или „приемник” емкостного, опережающего, тока)



Гидравлическая аналогия.

$$W_r = P_r \cdot t = \omega \frac{CU_m^2}{2} \cdot t \text{ вар} \cdot \text{с}$$

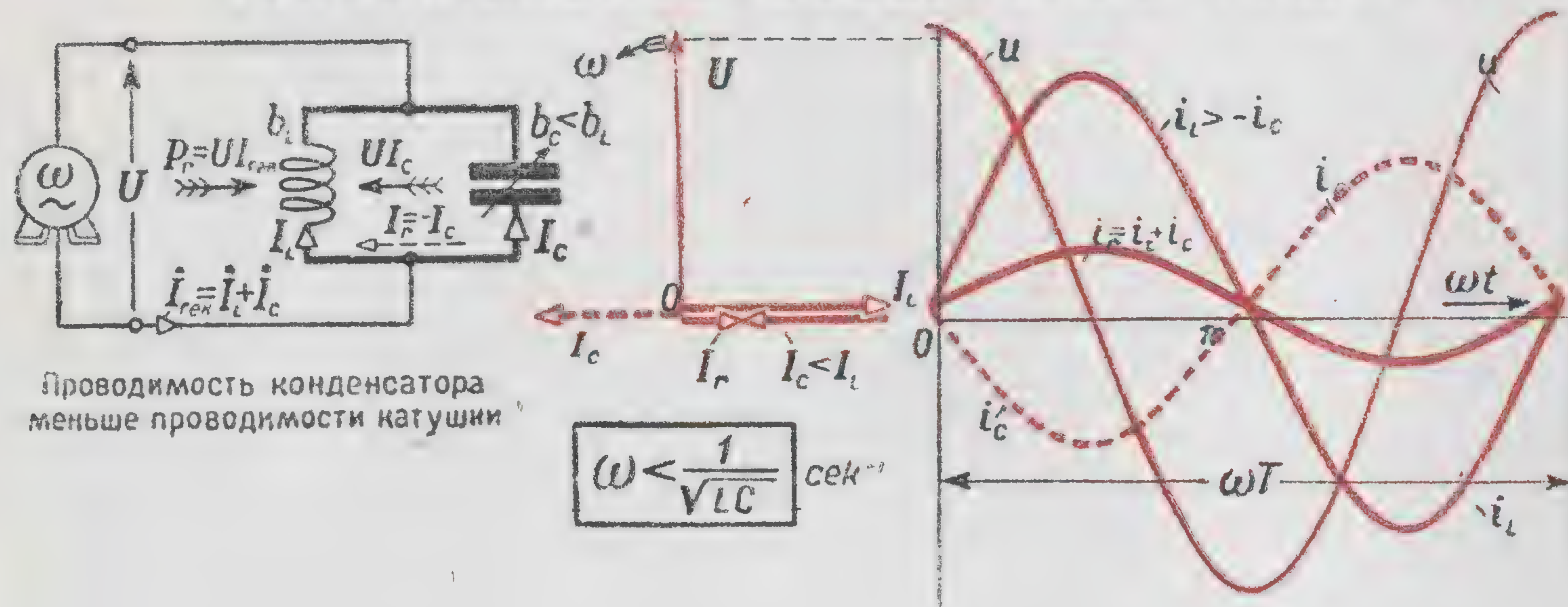
Реактивная энергия, „отдаваемая” емкостью



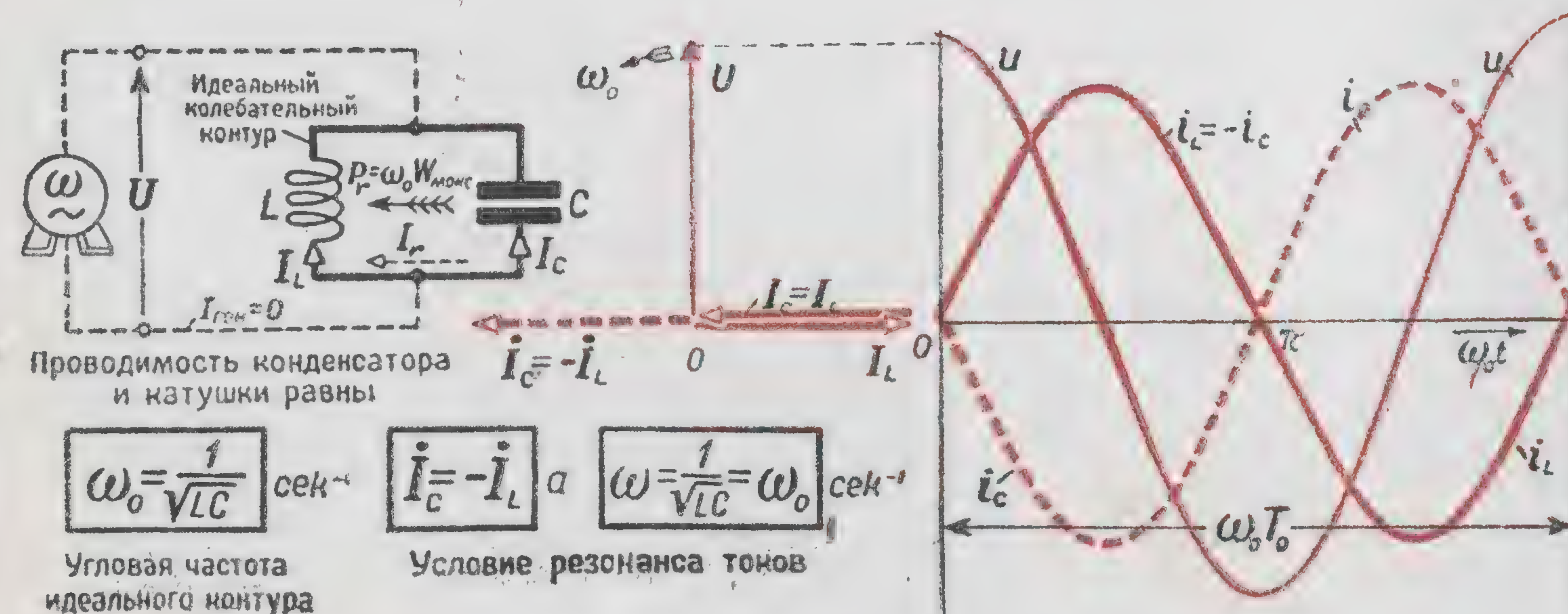
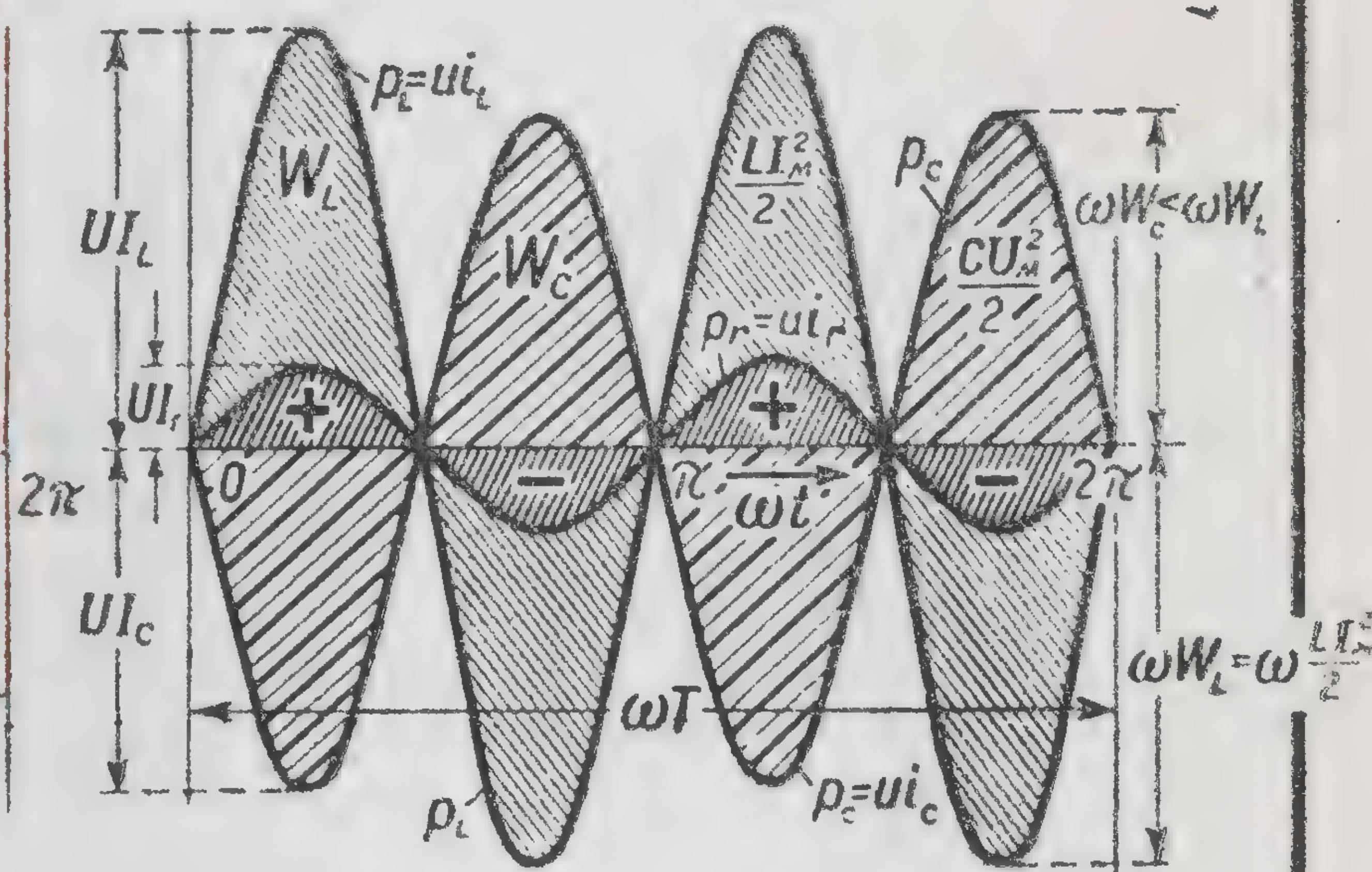
Колебание энергии в цепи



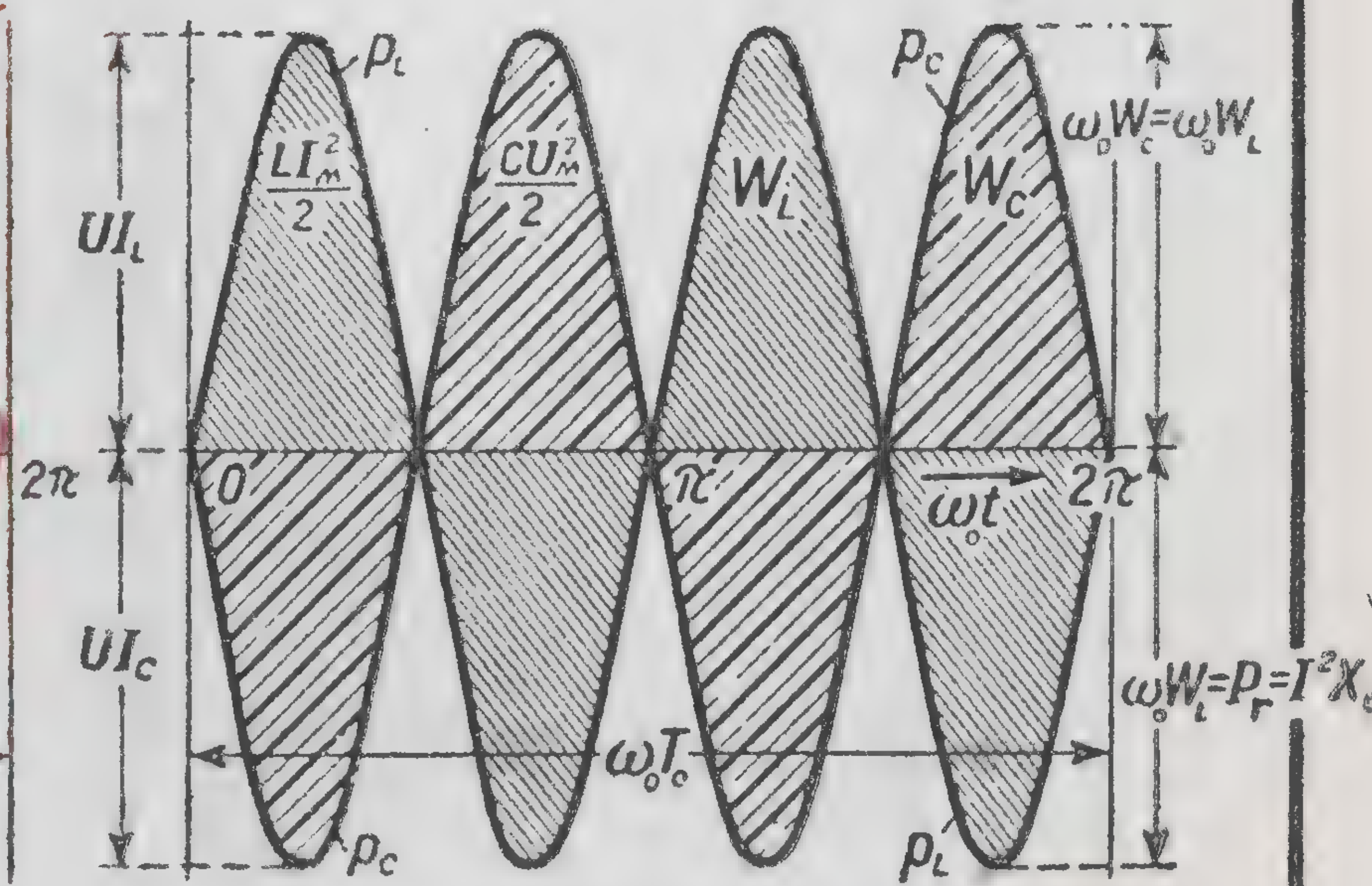
# ПАРАЛЛЕЛЬНОЕ СОЕДИНЕНИЕ ИНДУКТИВНОСТИ И ЕМКОСТИ



Проводимость конденсатора меньше проводимости катушки



Проводимость конденсатора и катушки равны

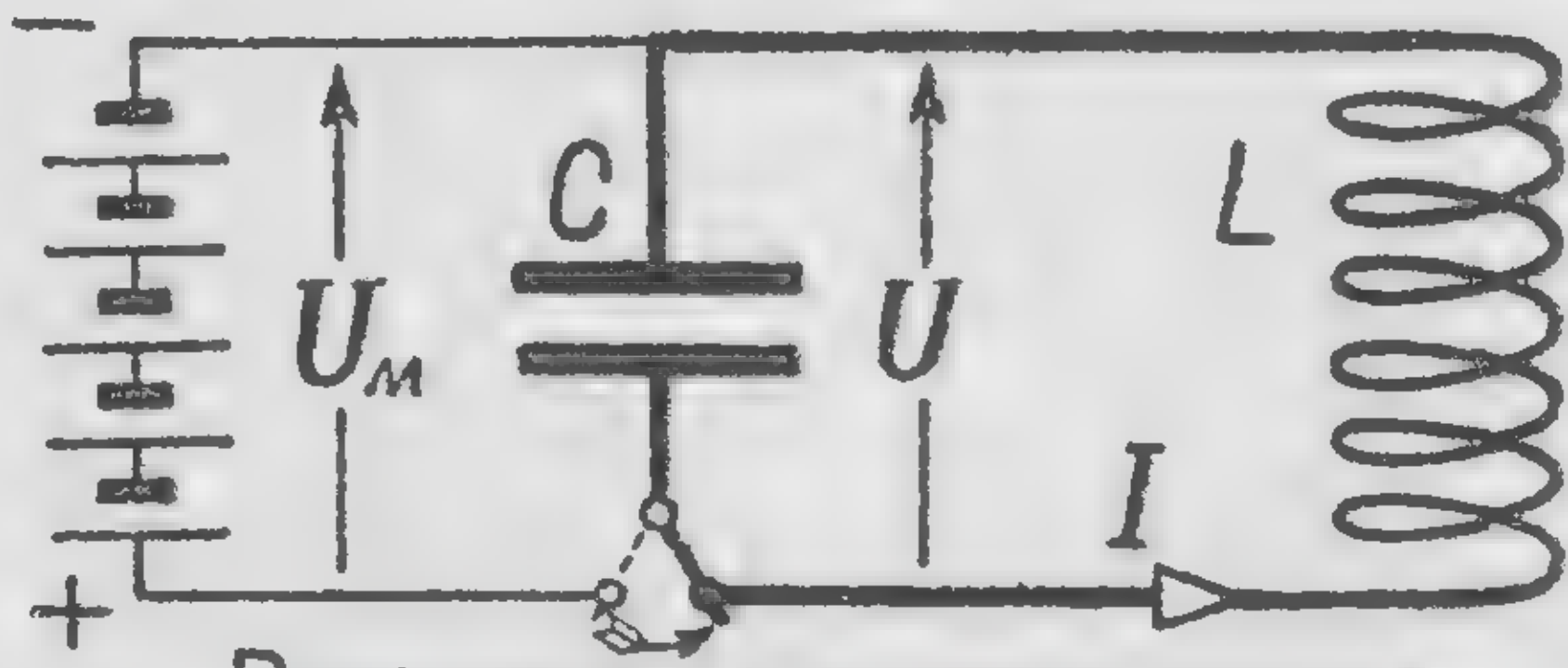


Колебание энергии между магнитным полем катушки и электрическим полем конденсатора

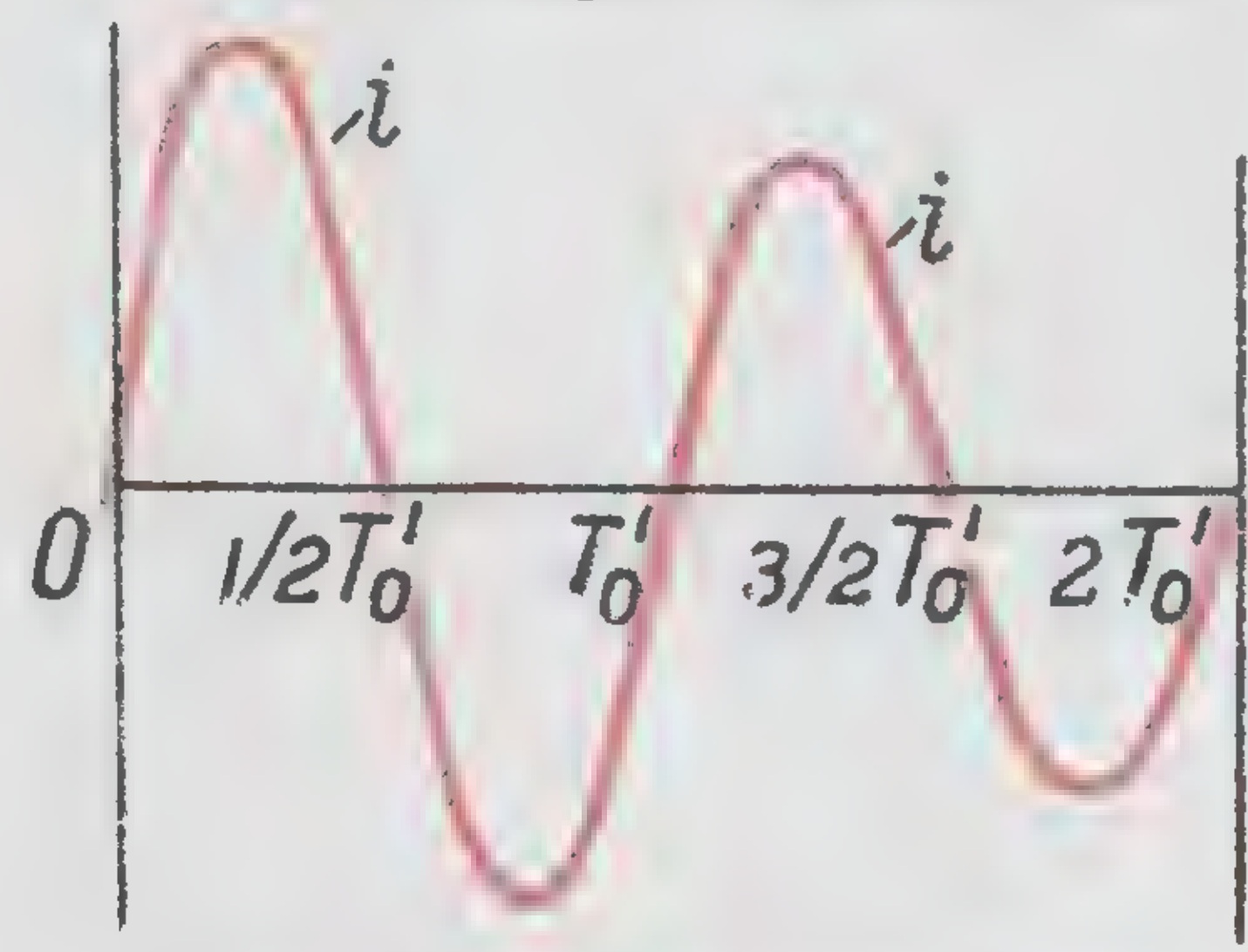
З.И.Расовский



# ЭЛЕКТРИЧЕСКИЙ КОЛЕБАТЕЛЬНЫЙ КОНТУР



Разряд конденсатора на индуктивность



Затухающие колебания в контуре с потерями

$$W = \frac{CU_m^2}{2} = \frac{LI_m^2}{2}$$

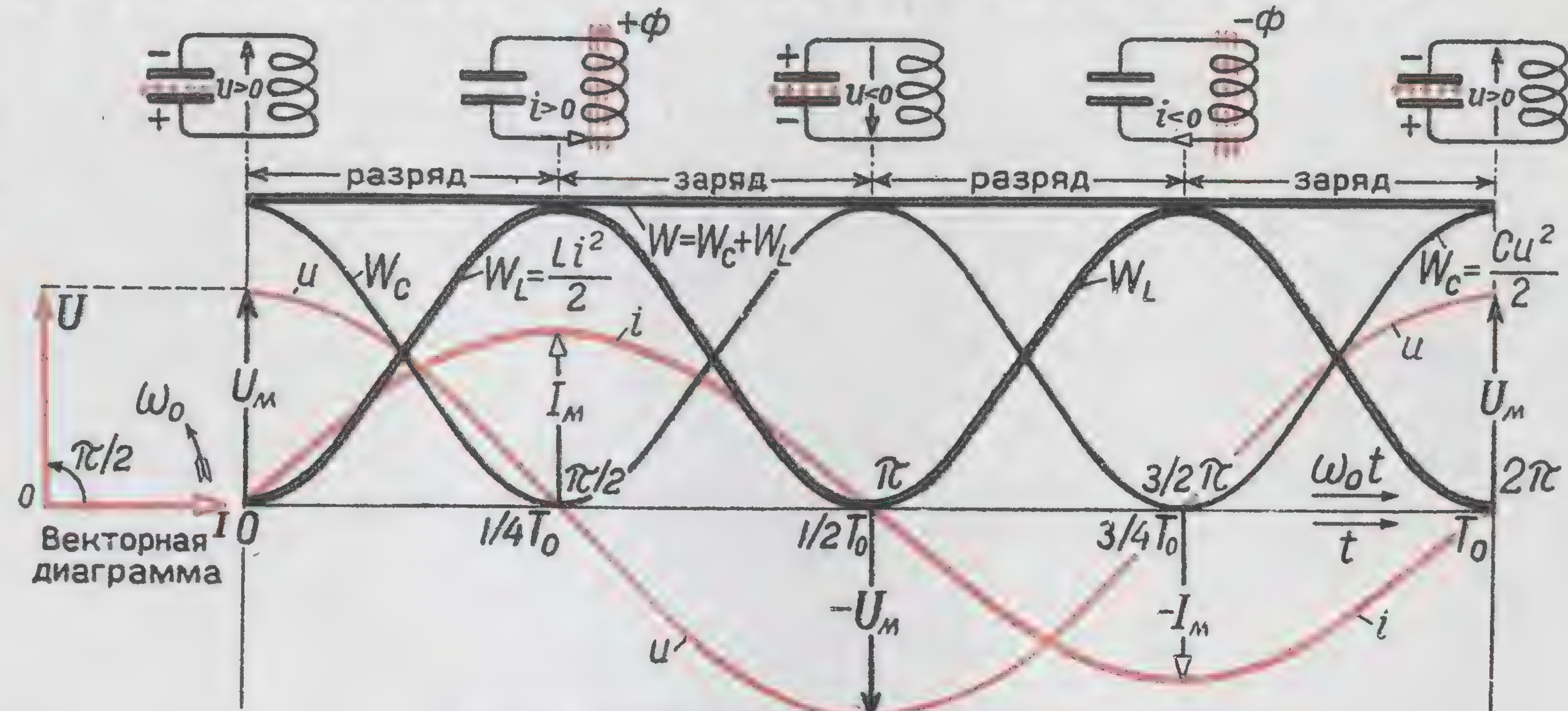
Запас энергии в идеальном контуре

$$\sqrt{\frac{L}{C}} = \frac{U}{I} \text{ Ом}$$

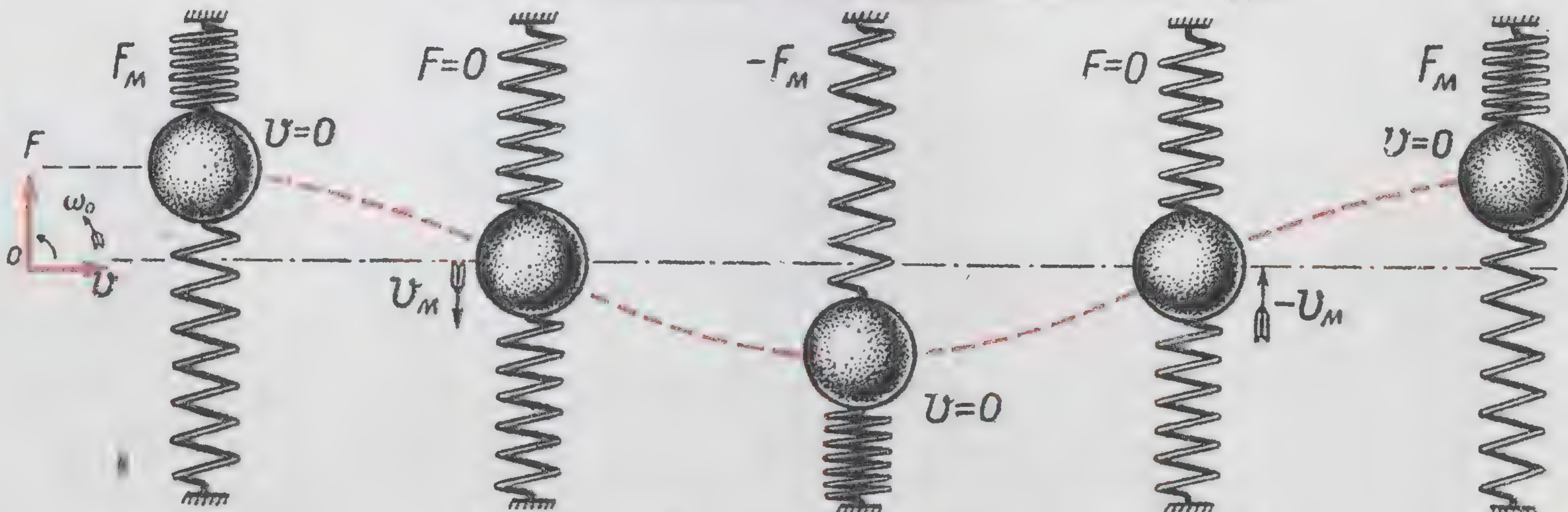
Характеристика контура

$$T_0 = 2\pi\sqrt{LC} \text{ сек}$$

Период собственных колебаний идеального контура



Колебание энергии в идеальном контуре

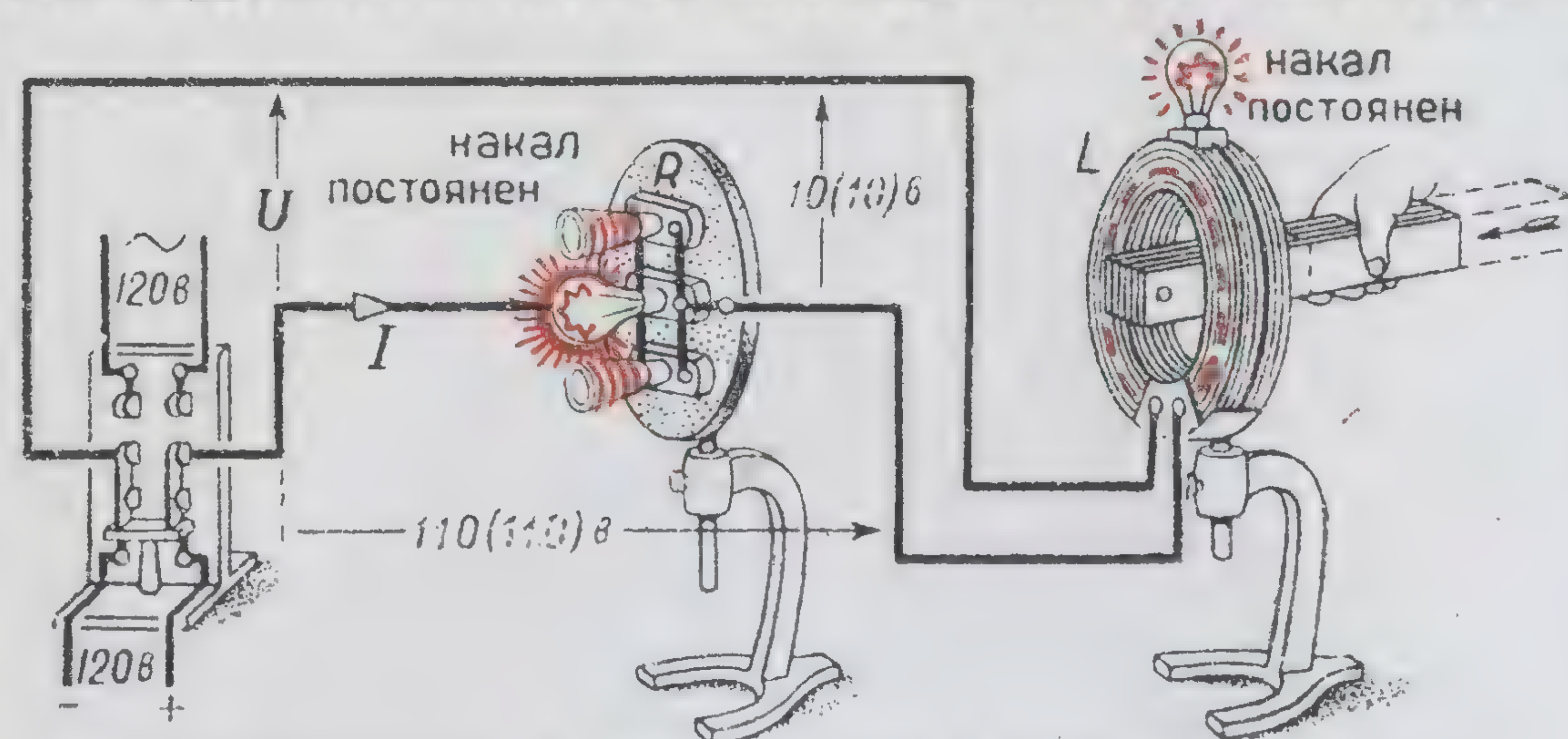


Механические колебания (аналогия)

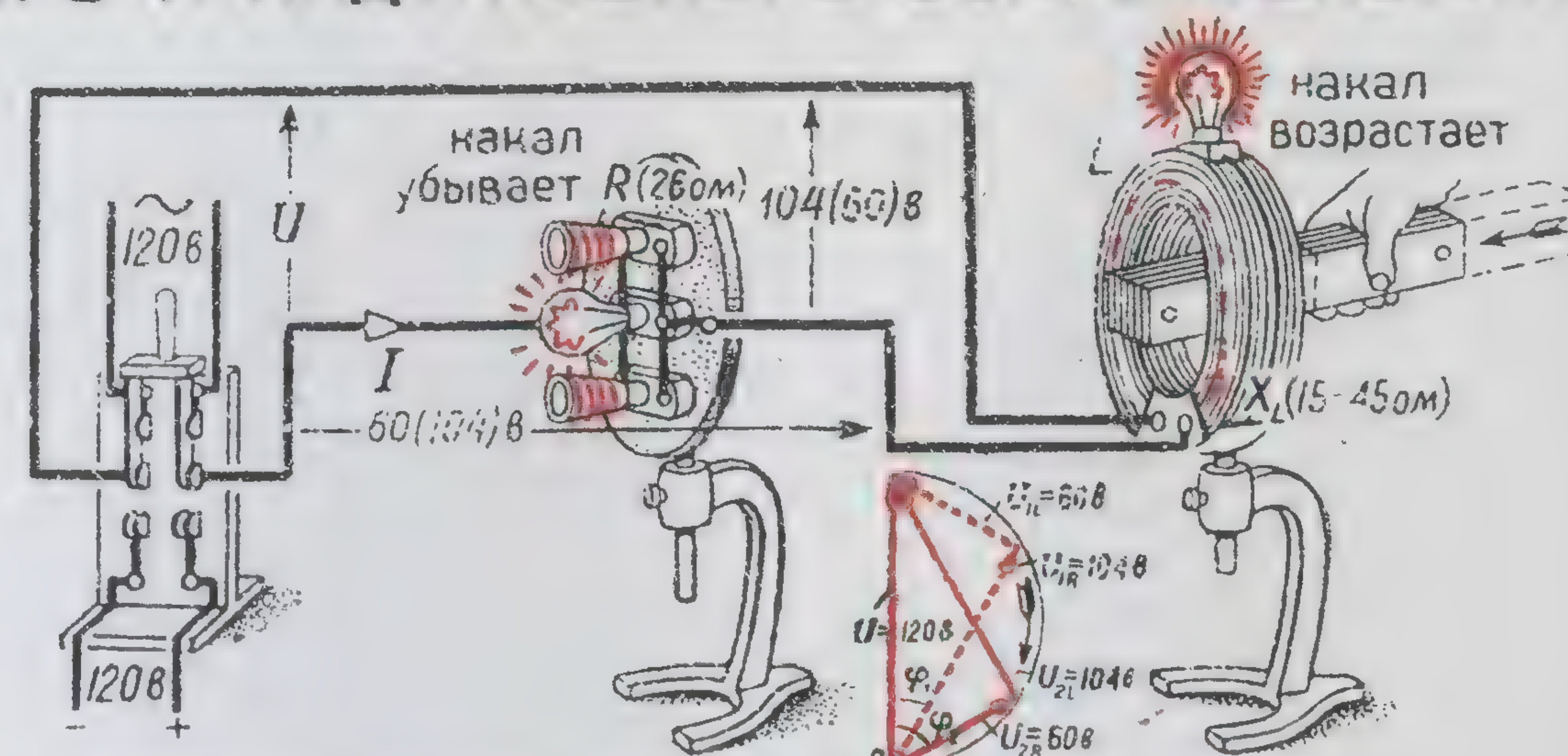
Э.И.Расовский



# ПОСЛЕДОВАТЕЛЬНОЕ СОЕДИНЕНИЕ АКТИВНОГО И ИНДУКТИВНОГО СОПРОТИВЛЕНИЙ



Присоединение к постоянному напряжению



Присоединение к переменному напряжению

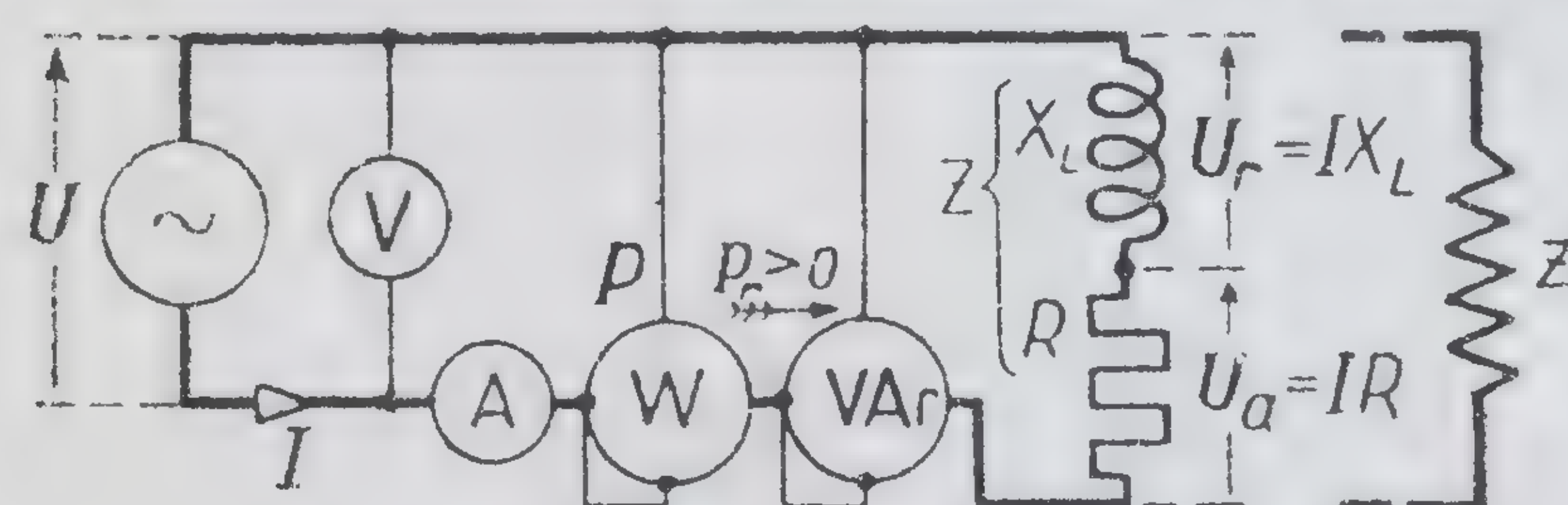
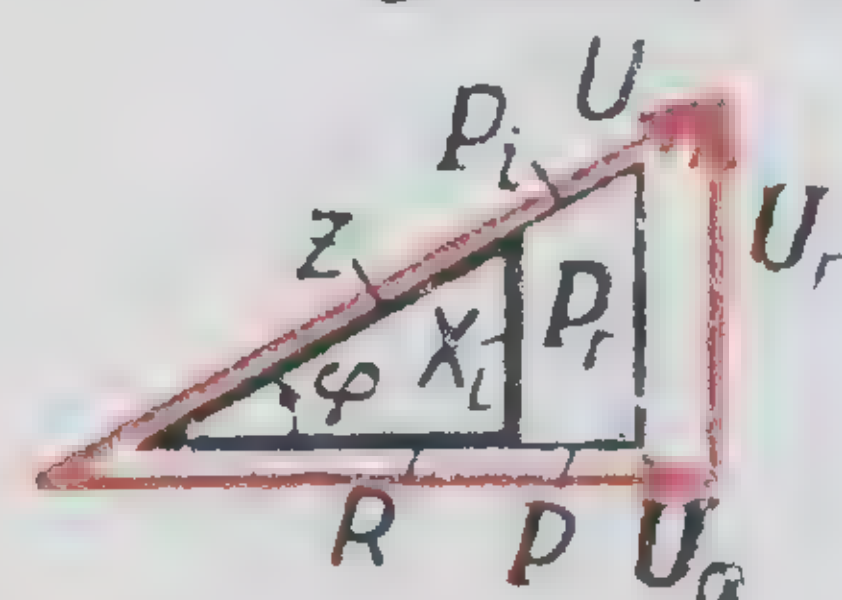
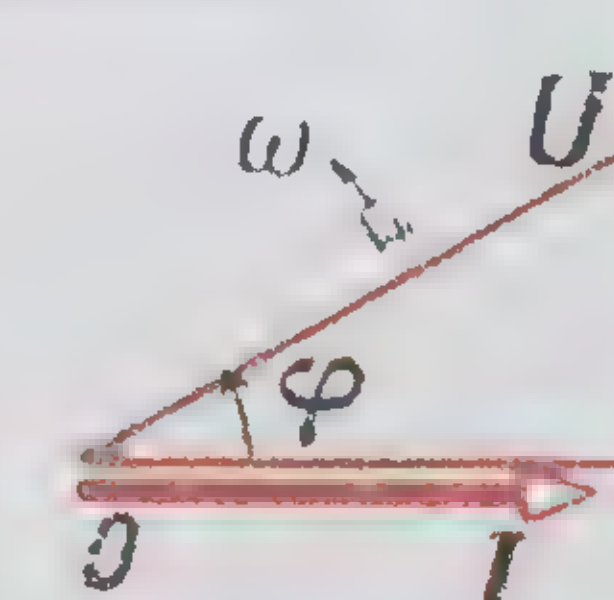


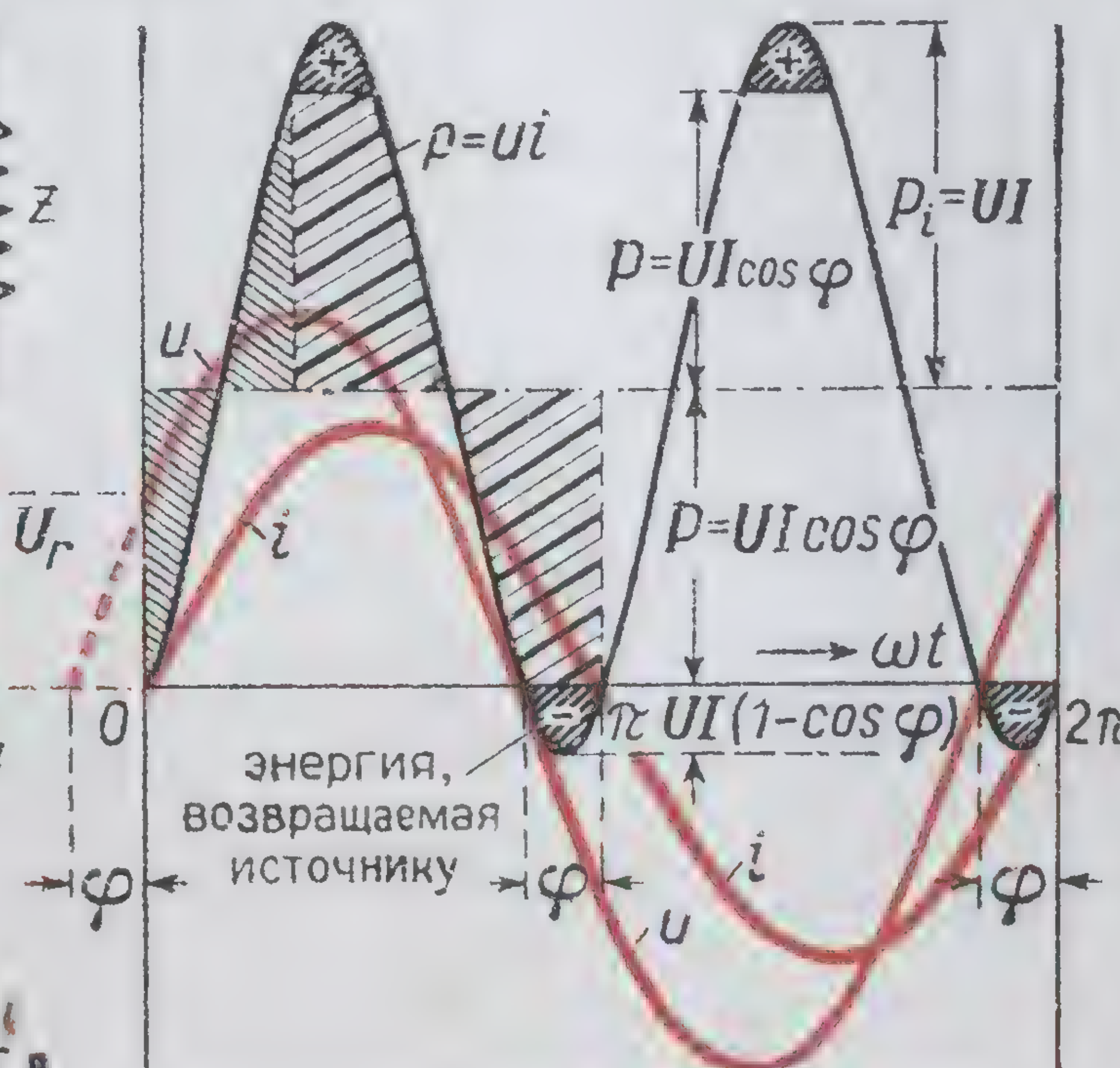
Схема соединений



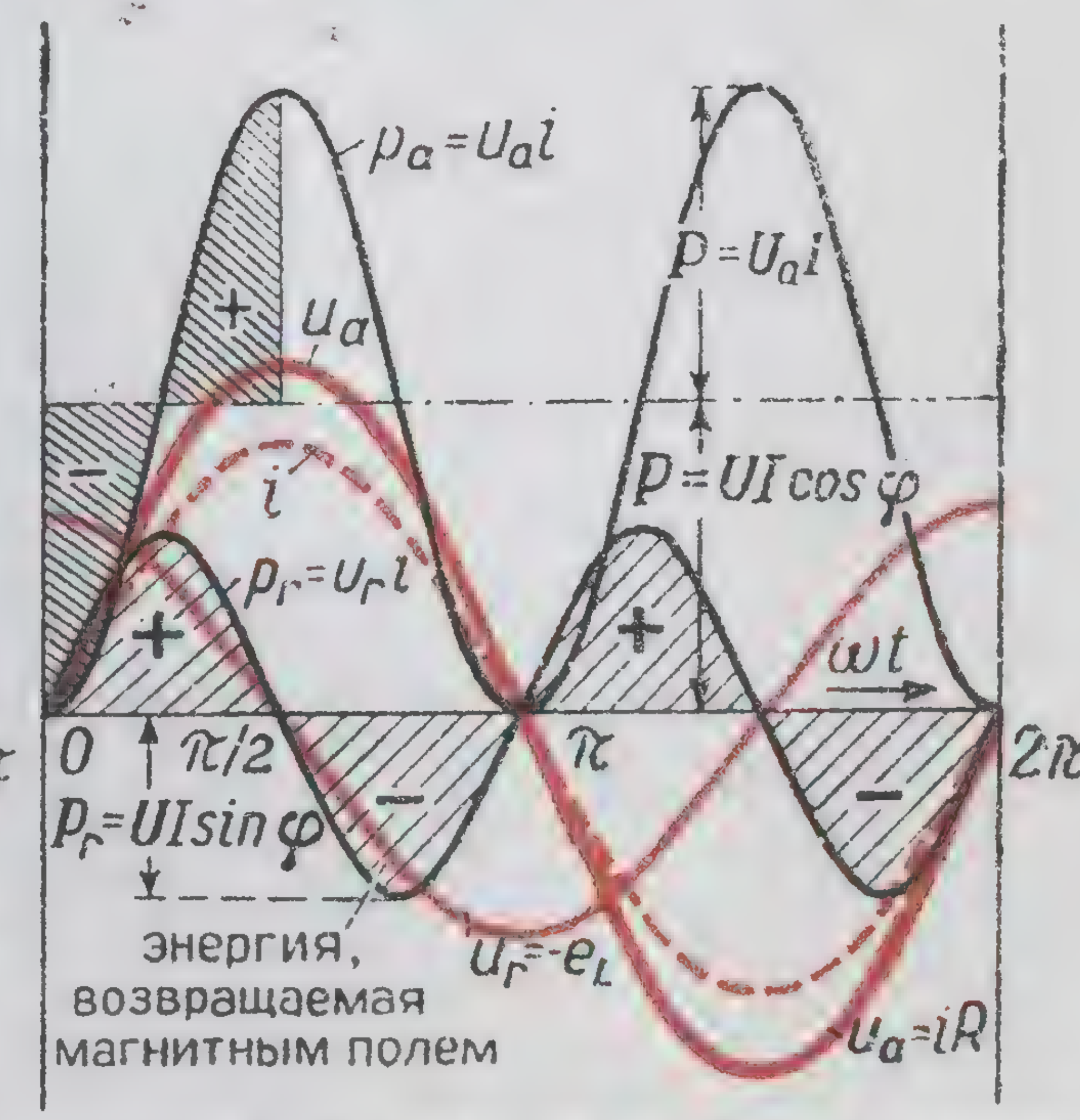
Подобные треугольники напряжений, сопротивлений и мощностей



Векторная диаграмма



Кривые тока, напряжения и общей мощности

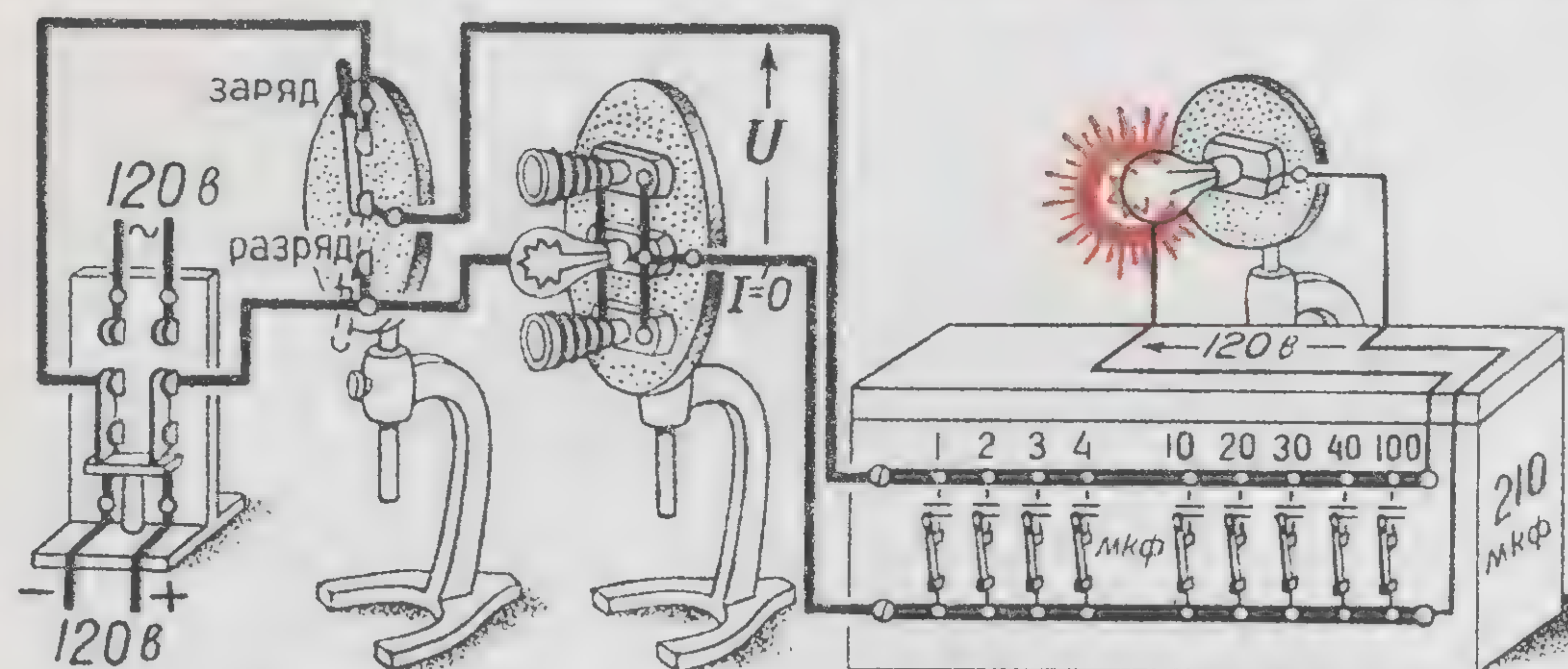


Кривые активных и реактивных слагающих напряжения и мощности

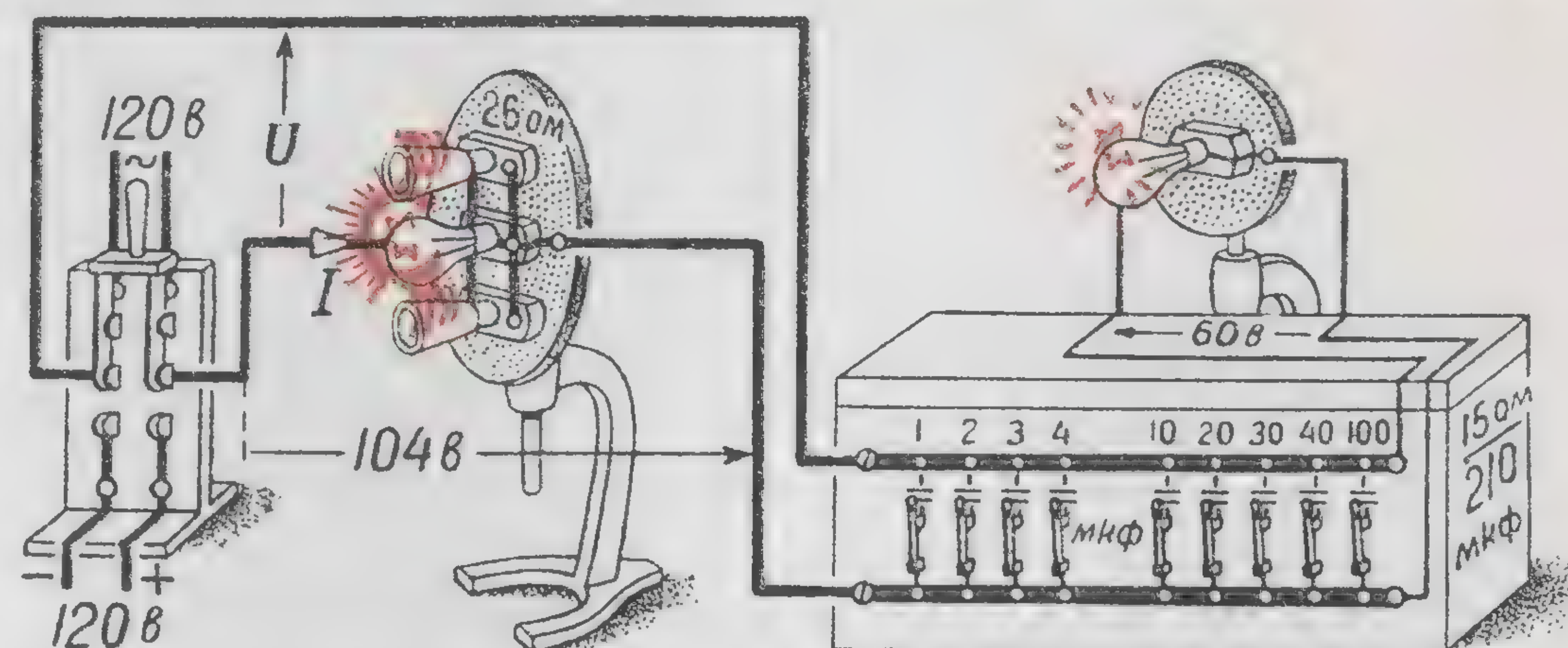
З.И. Расовский



# ПОСЛЕДОВАТЕЛЬНОЕ СОЕДИНЕНИЕ АКТИВНОГО И ЕМКОСТНОГО СОПРОТИВЛЕНИЙ



Присоединение к постоянному напряжению



Присоединение к переменному напряжению

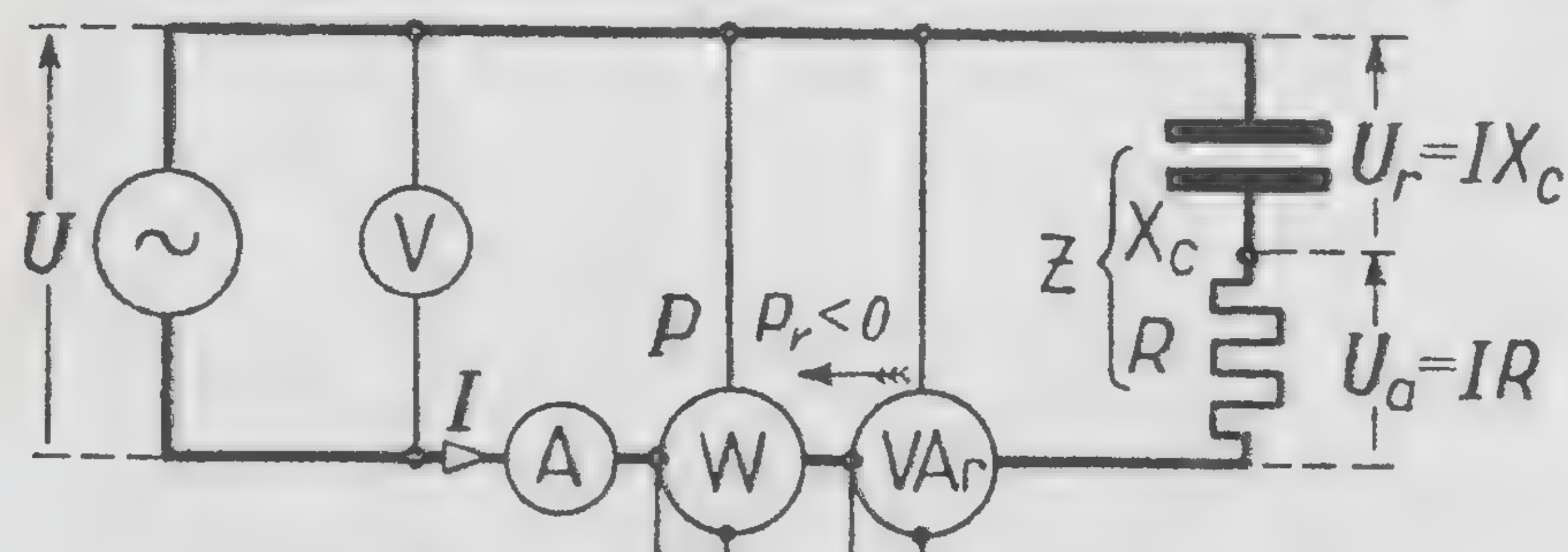
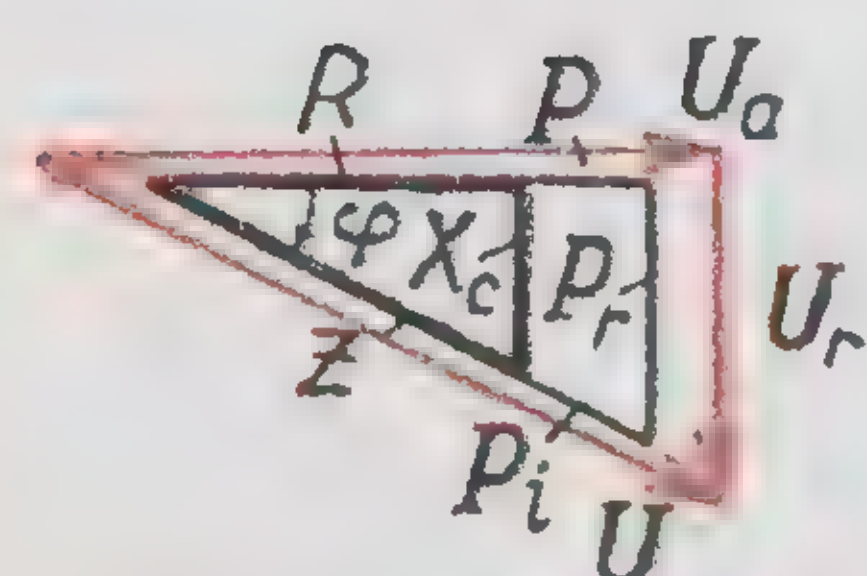
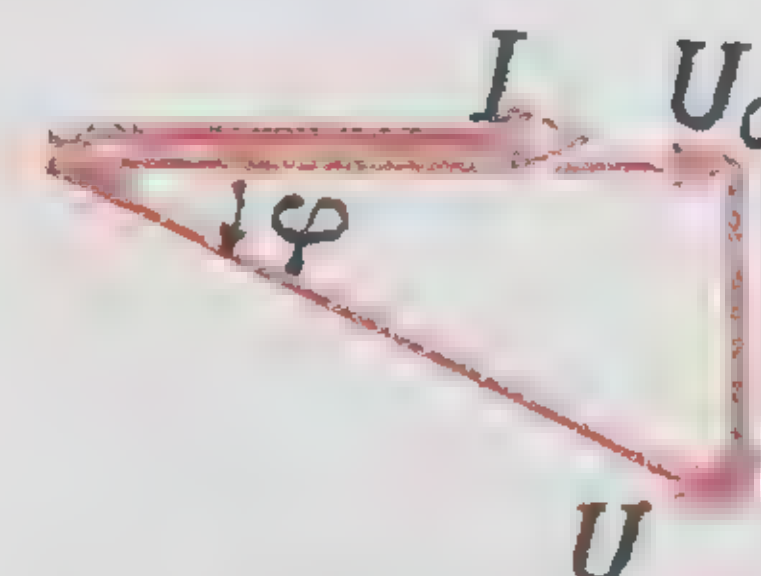


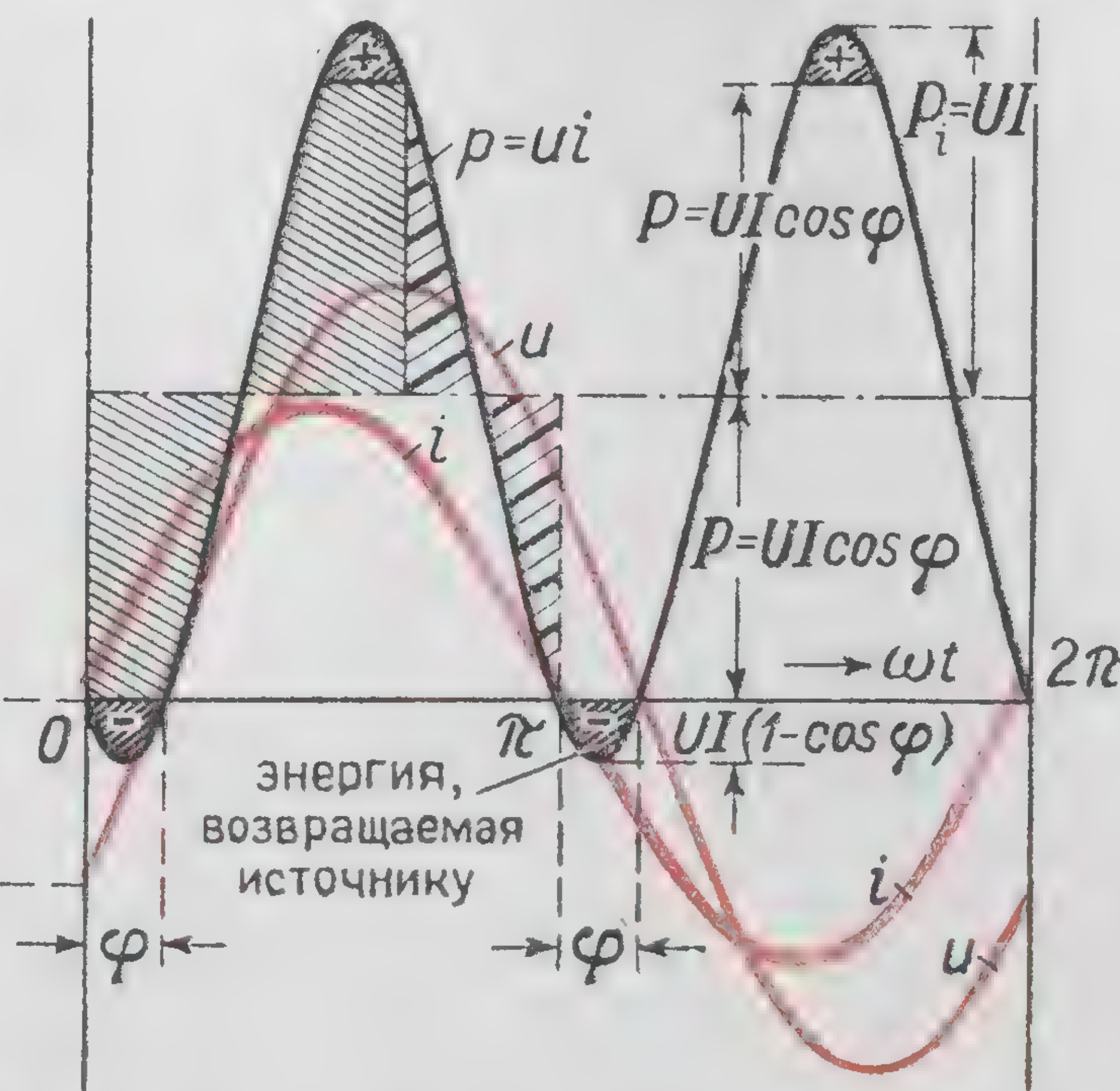
Схема соединений



Подобные треугольники напряжений, сопротивлений и мощностей



Векторная диаграмма



Кривые тока, напряжения и общей мощности

## Напряжения

активное  $U_a = U \cos \varphi = IR$   
реактивное  $U_r = U \sin \varphi = IX$  в  
общее  $U = \sqrt{U_a^2 + U_r^2} = IZ$

## Сопротивления

активное  $R = Z \cos \varphi = U_a / I$   
реактивное  $X = Z \sin \varphi = U_r / I$  ом  
полное  $Z = \sqrt{R^2 + X^2} = U / I$

## Мощности

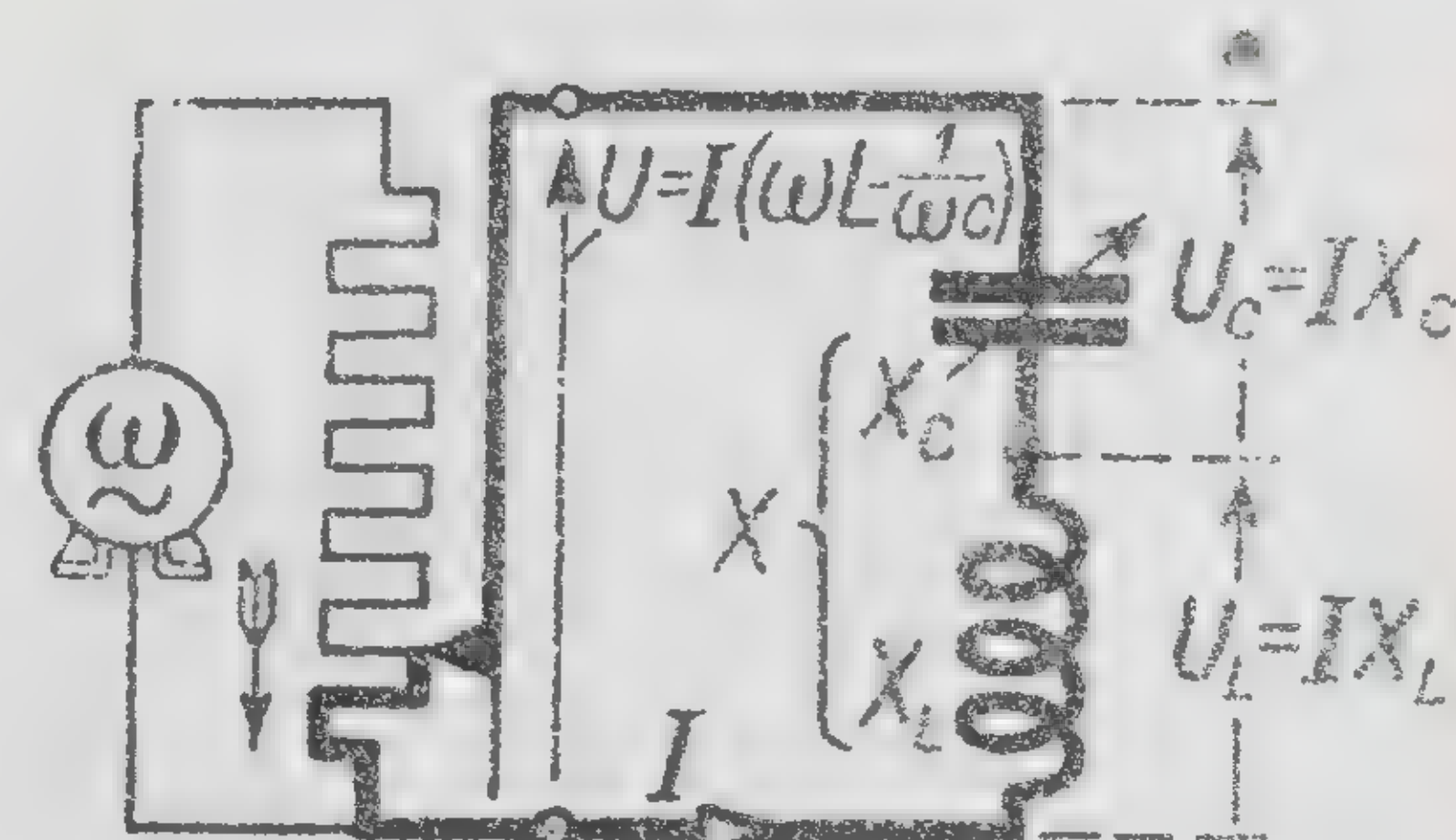
активная  $P = UI \cos \varphi = U_a I = I^2 R$  вт  
реактивная  $P_r = UI \sin \varphi = U_r I = I^2 X$  вар  
нашающаяся  $P_i = UI = \sqrt{P^2 + P_r^2} = I^2 Z$  ва

## Коэффициент мощности

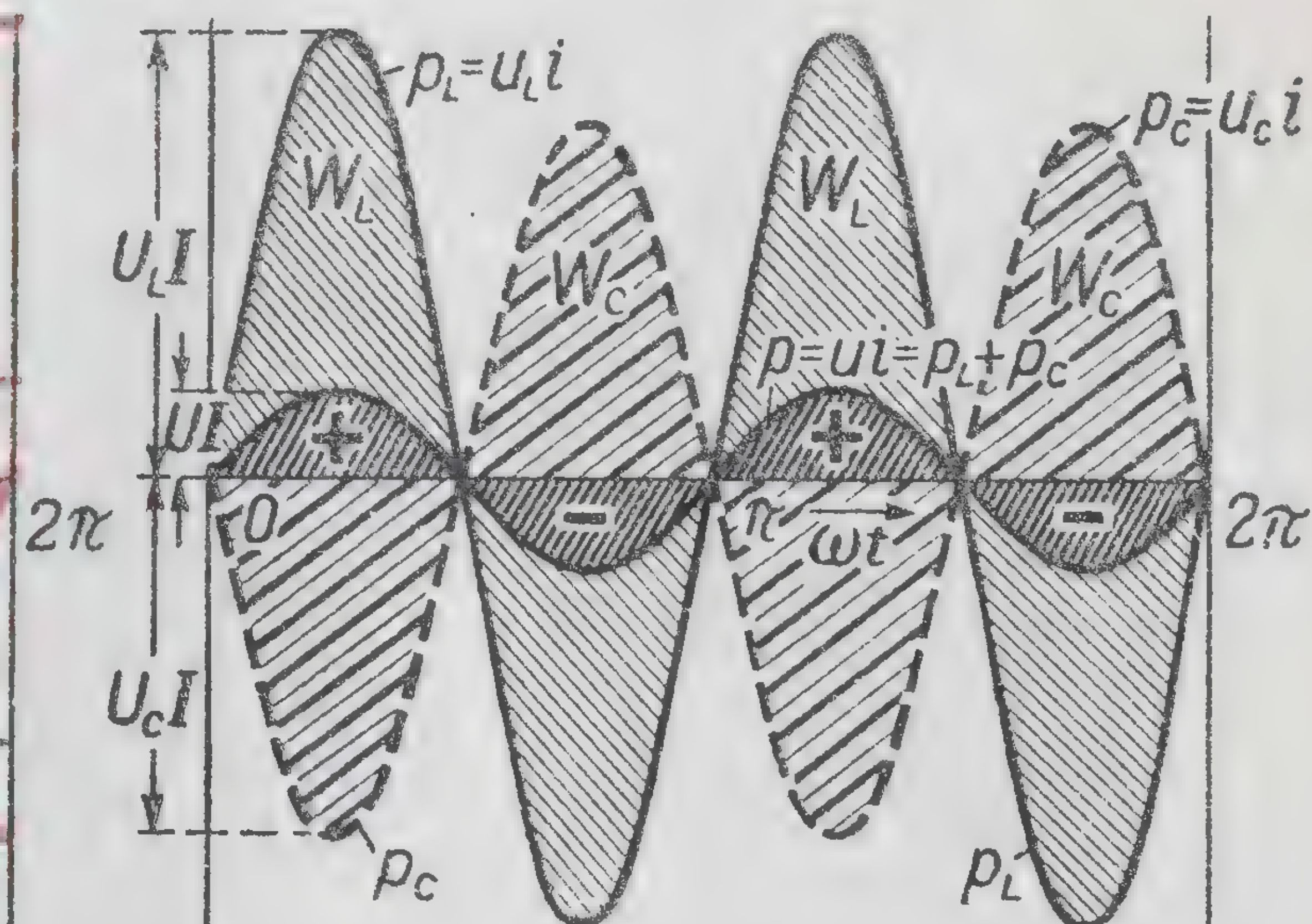
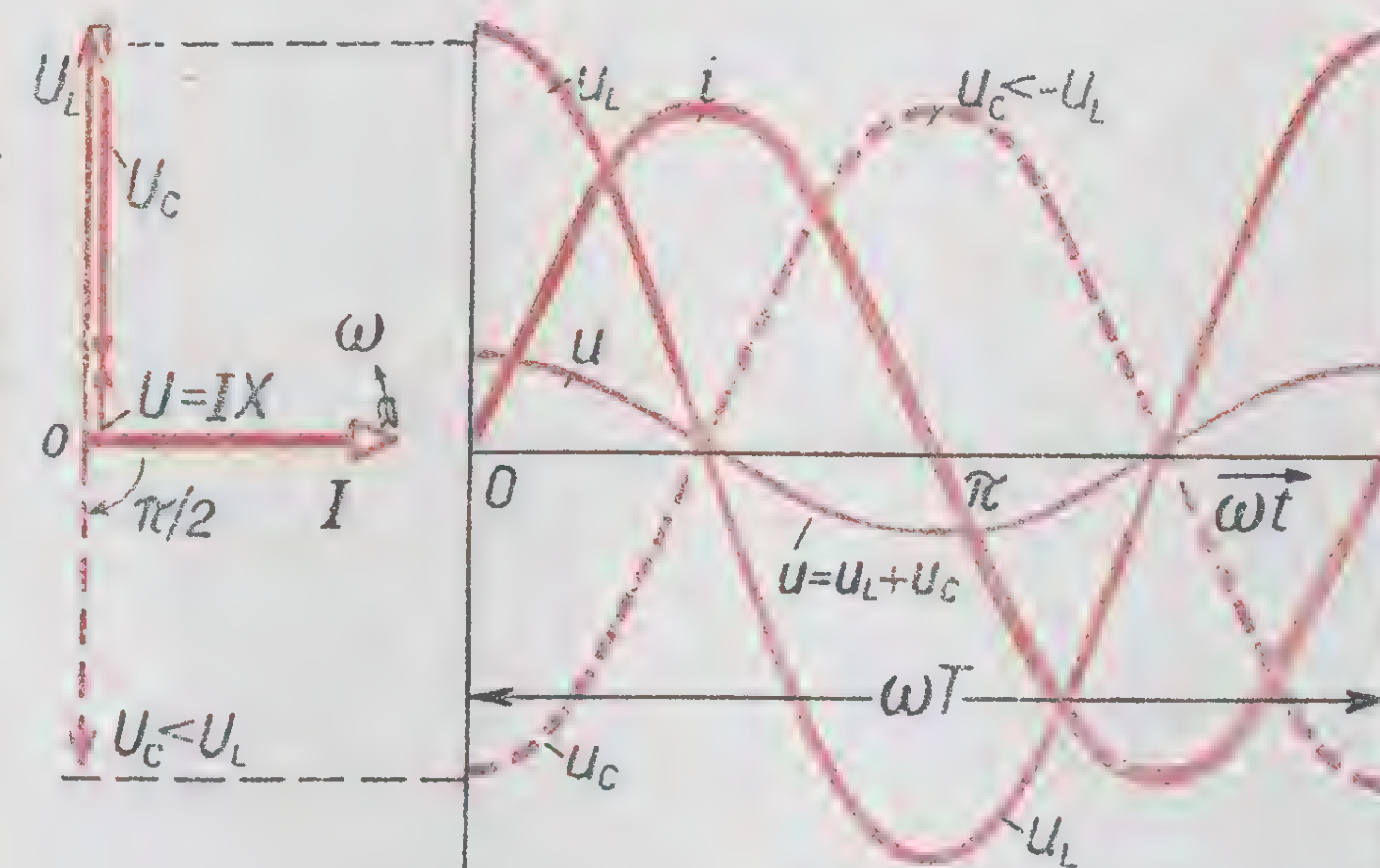
$\cos \varphi = P / UI = U_a / U = R / Z$



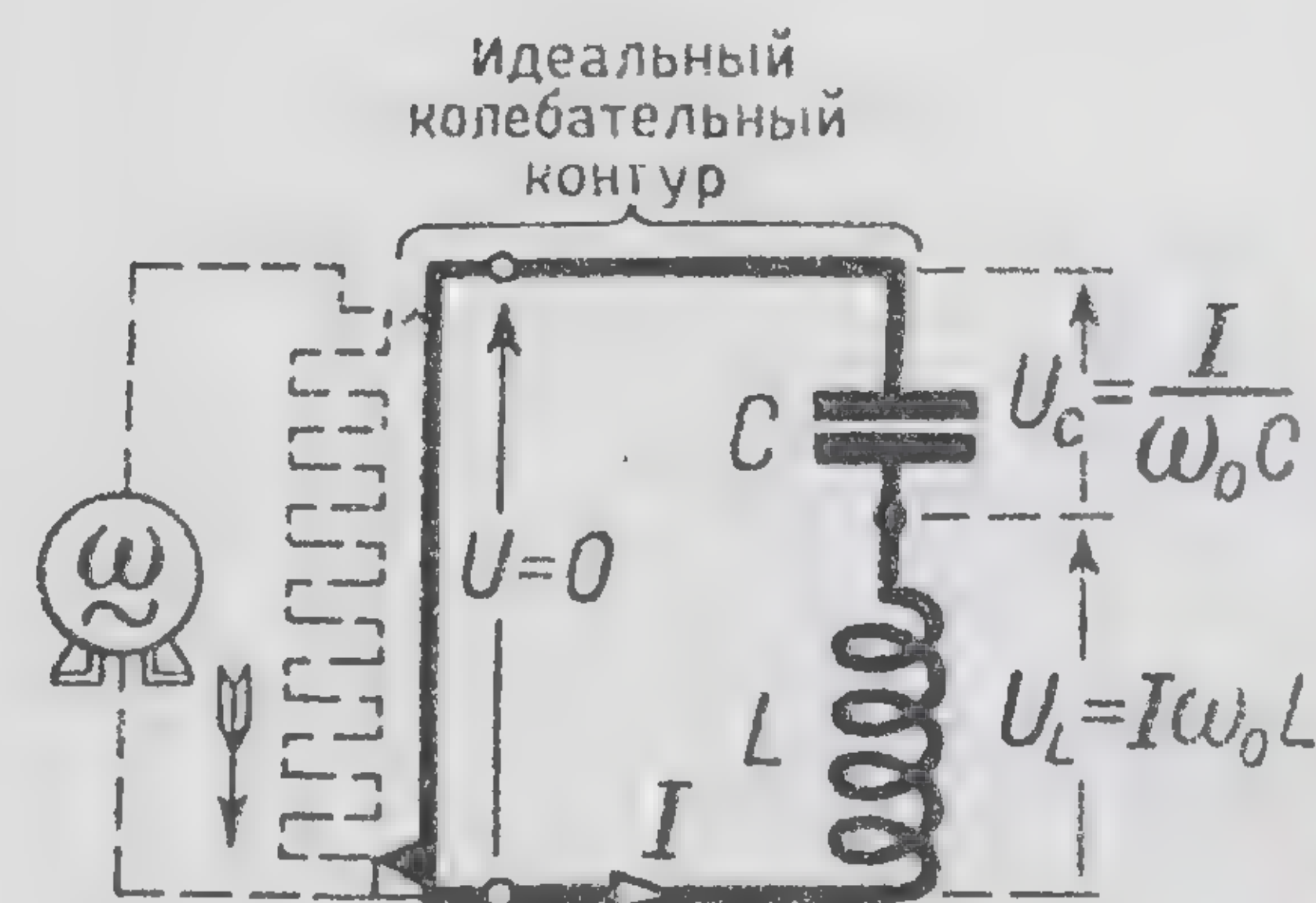
# ПОСЛЕДОВАТЕЛЬНОЕ СОЕДИНЕНИЕ ИНДУКТИВНОСТИ И ЕМКОСТИ



Емкостное сопротивление меньше индуктивного



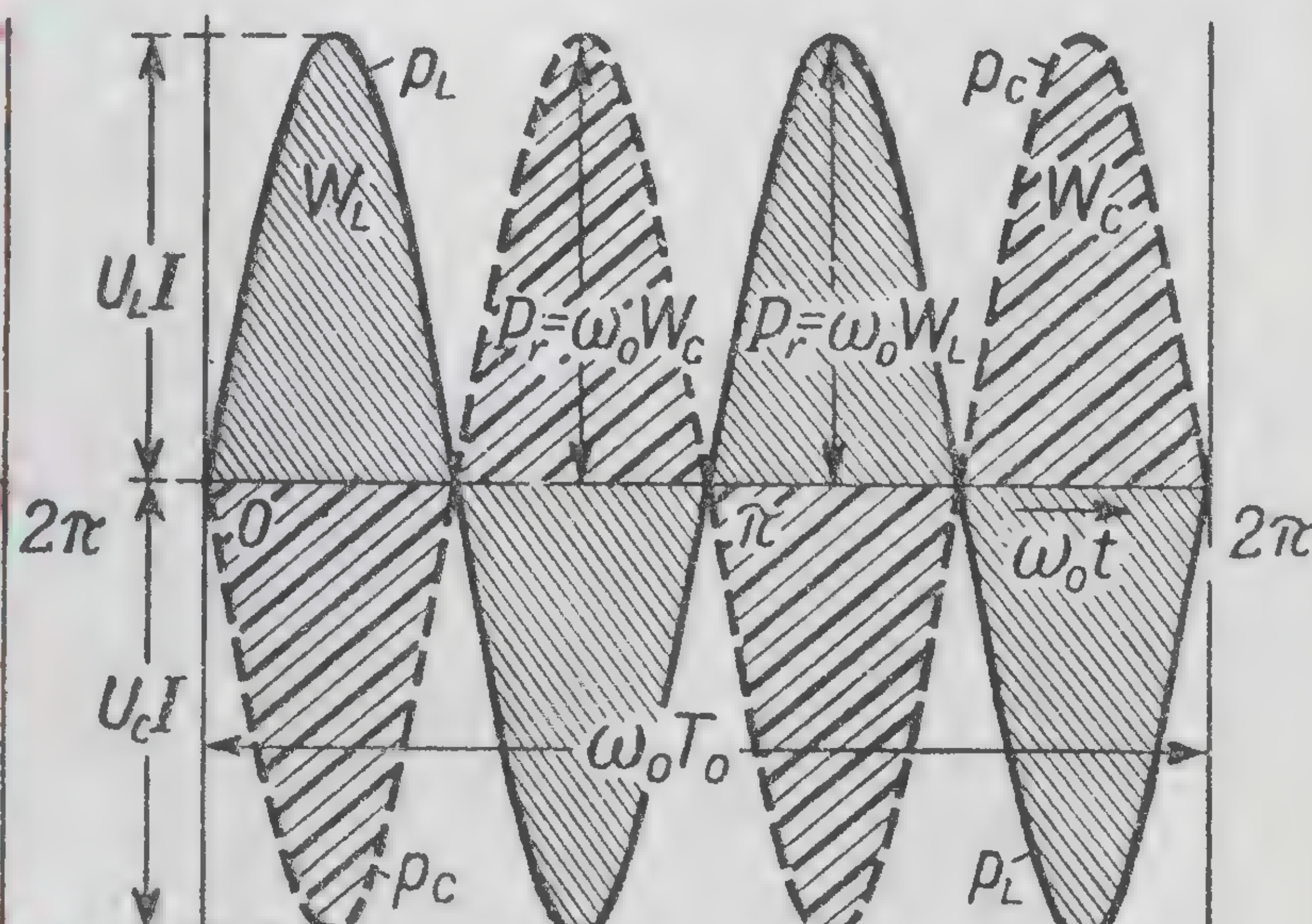
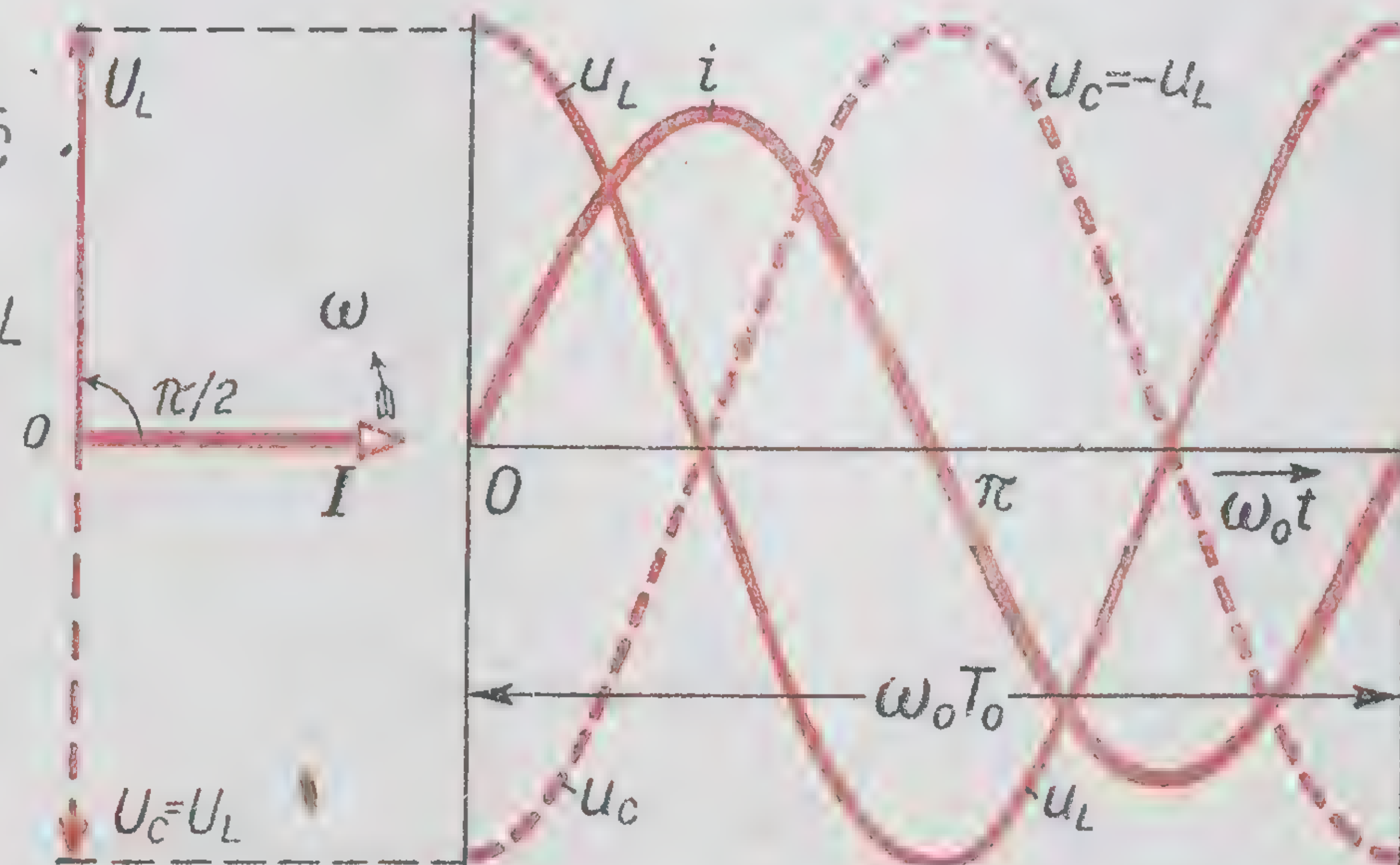
Диаграммы при емкостном сопротивлении, меньшем индуктивного



Емкостное сопротивление равно индуктивному

$$\omega_0 = \frac{1}{\sqrt{LC}} = \omega \text{ сек}^{-1}$$

Угловая частота идеального контура

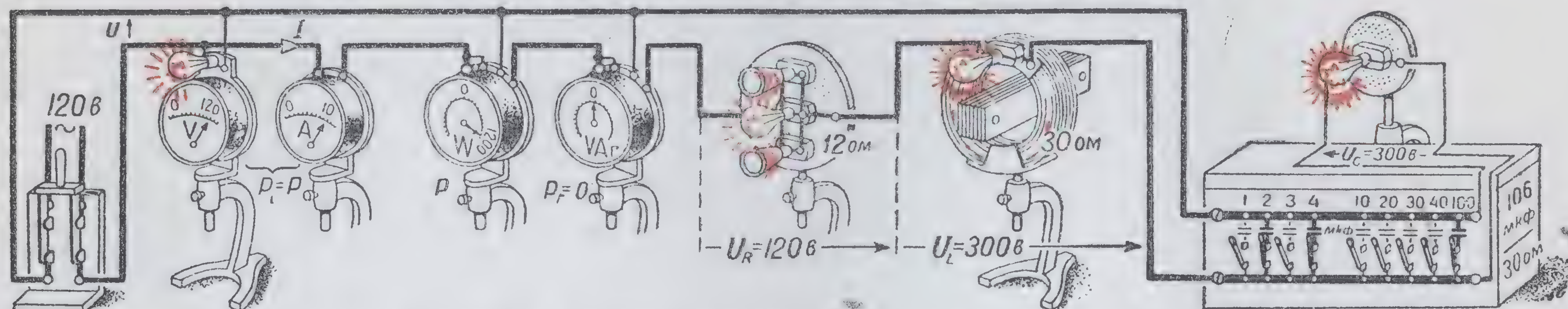


Диаграммы при емкостном сопротивлении, равном индуктивному

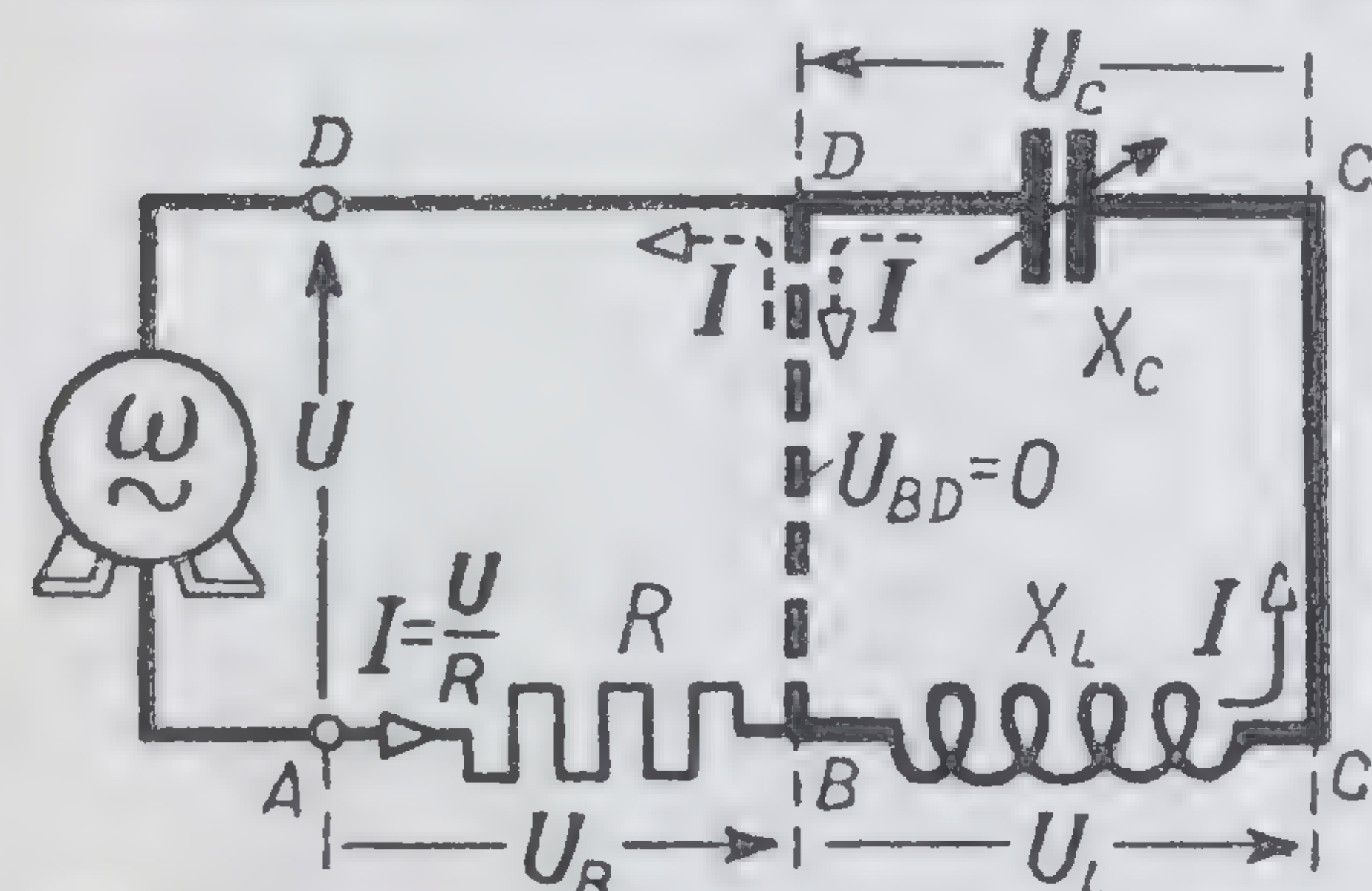
Э.И.Расовский



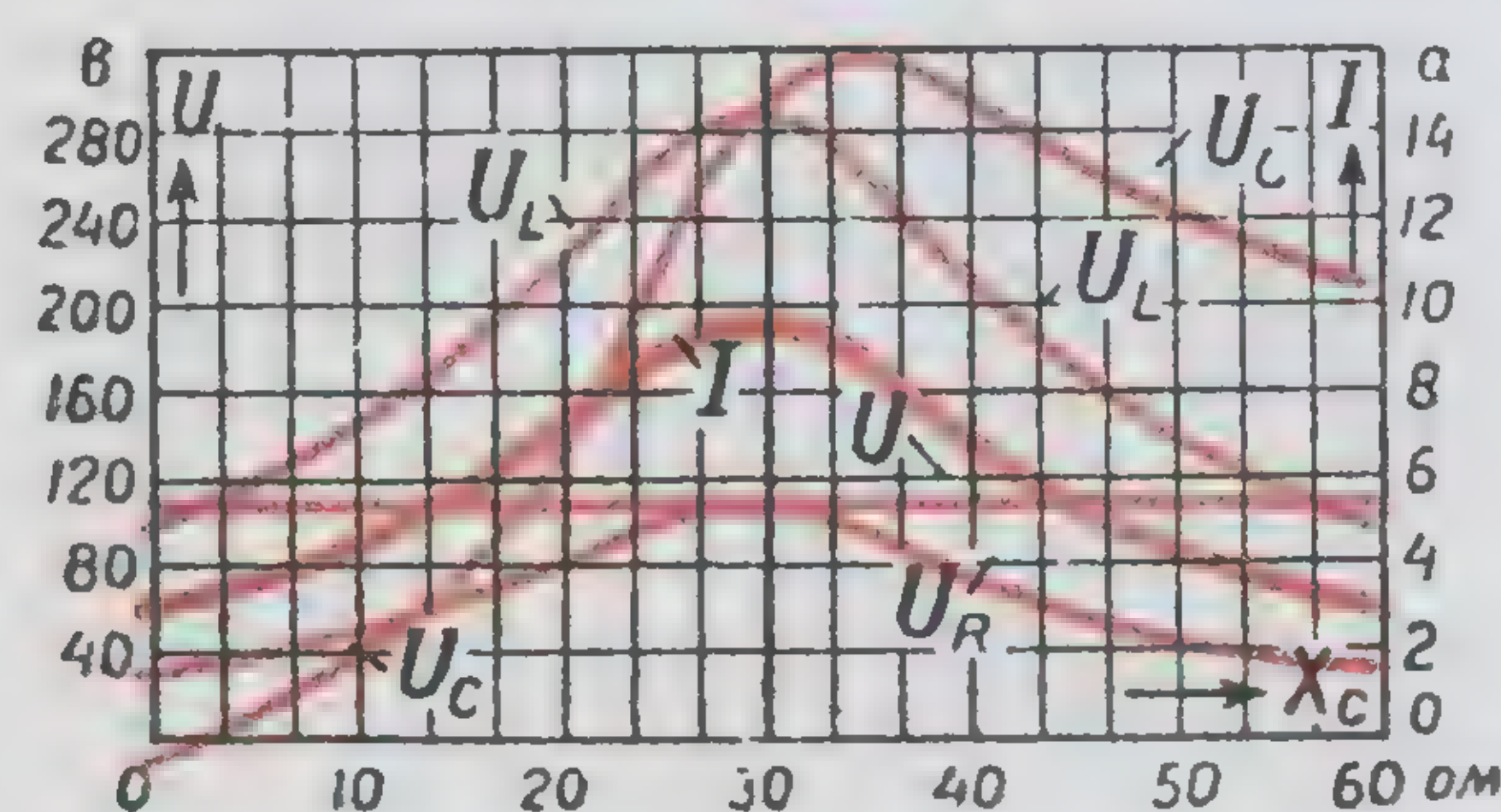
# РЕЗОНАНС НАПРЯЖЕНИЙ



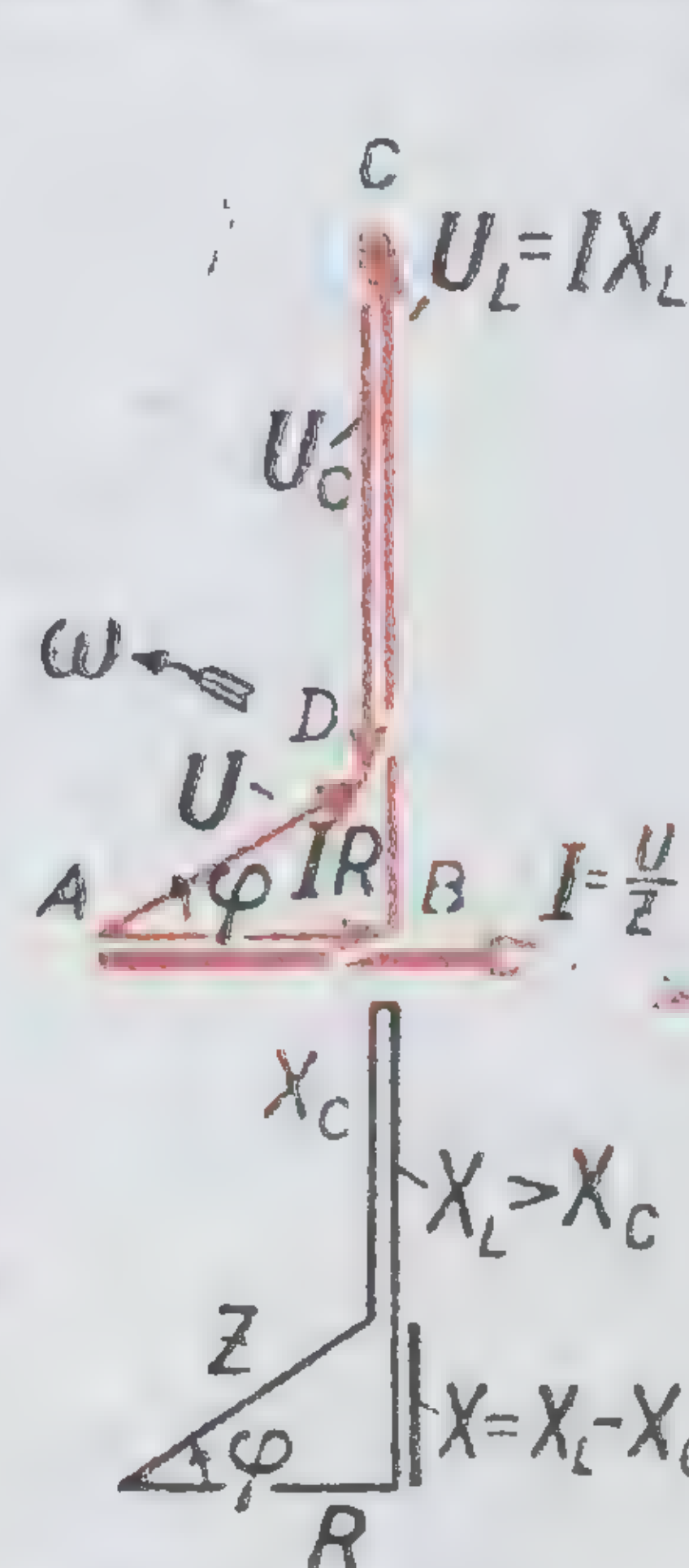
Последовательное соединение лампового реостата, реактивной катушки и конденсатора переменной ёмкости.



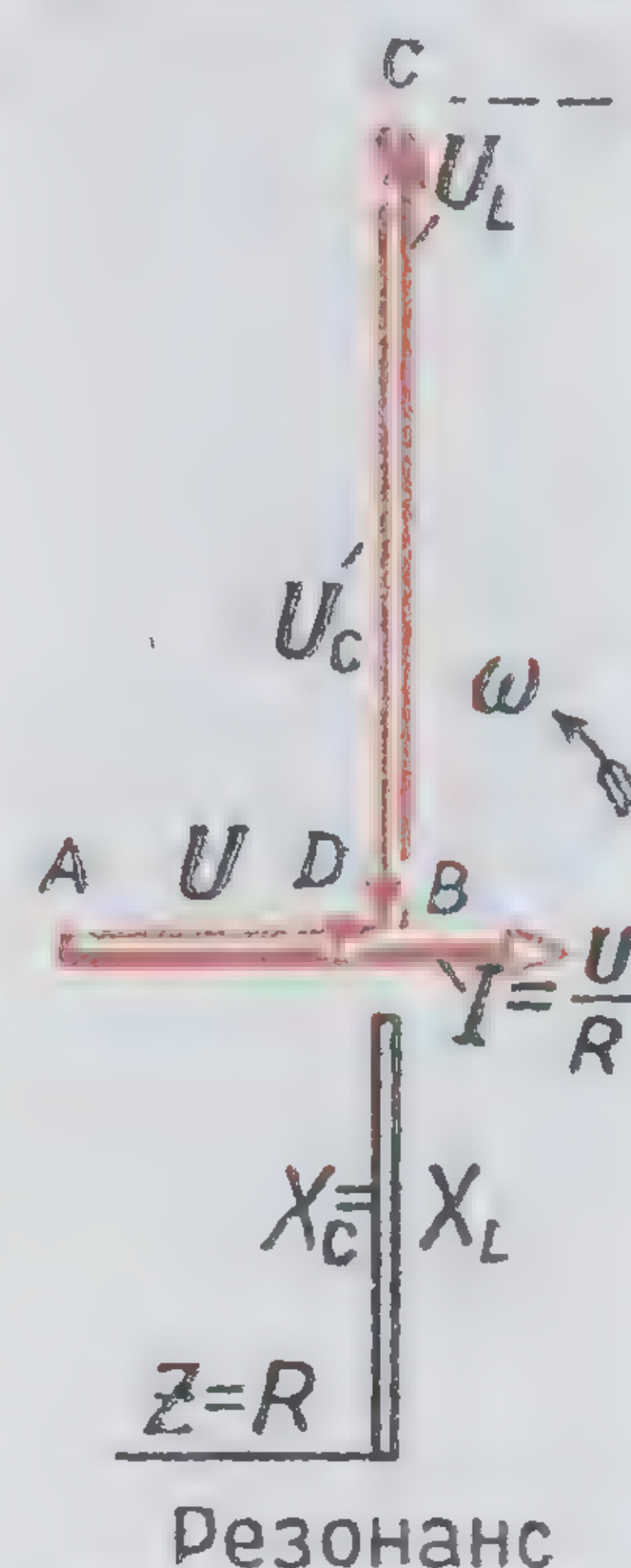
Последовательная цепь при резонансе



Кривые резонанса при переменной ёмкости



Диаграммы напряжений и сопротивлений до резонанса

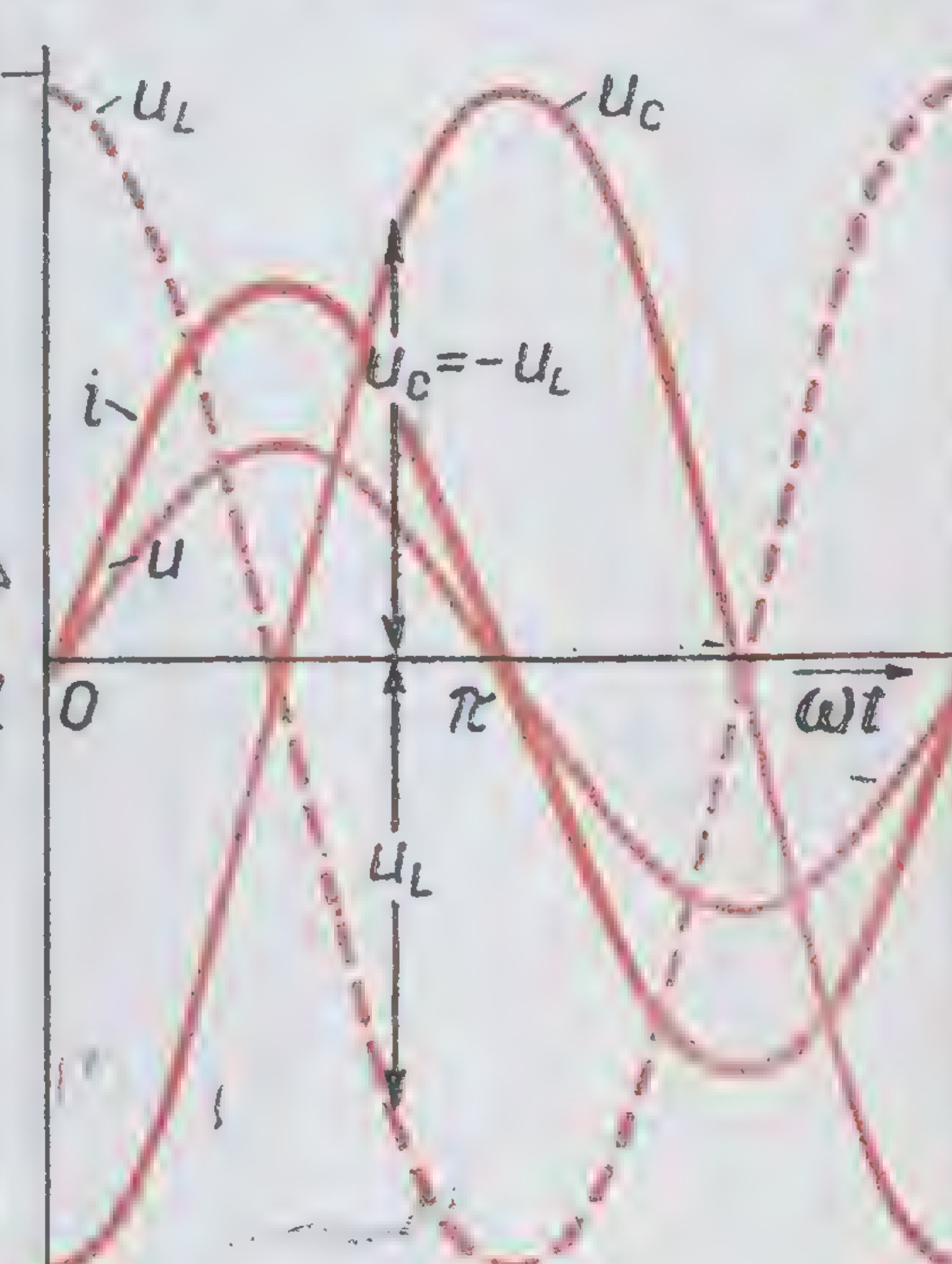


Резонанс

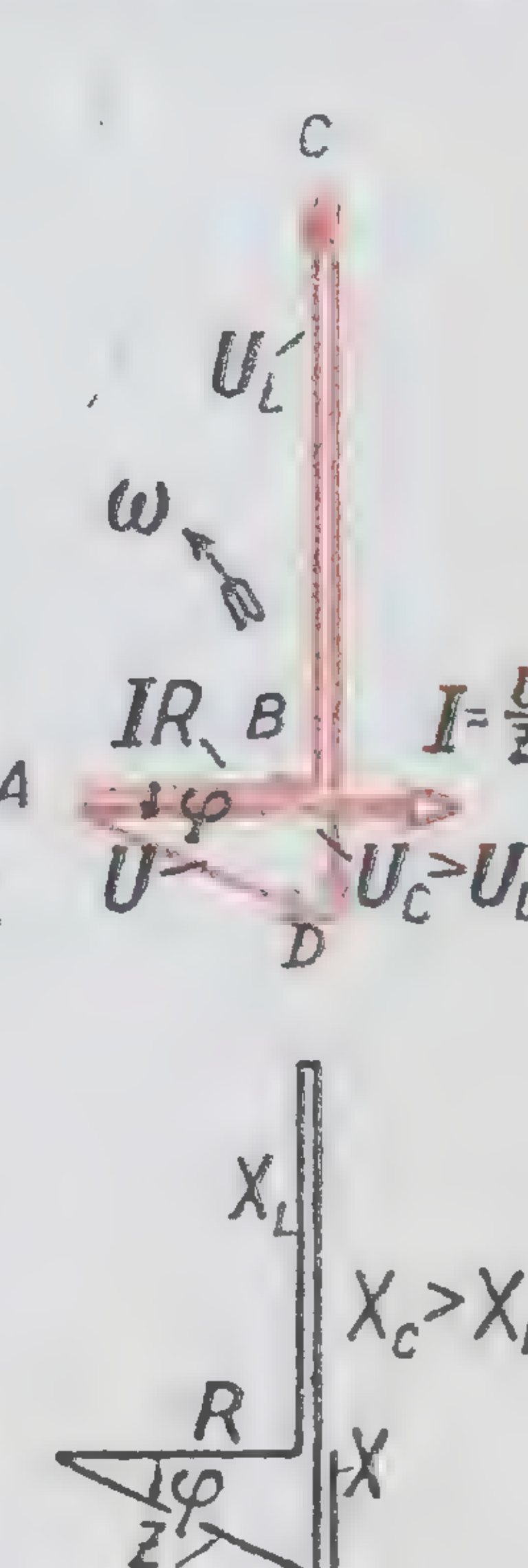
$$\omega L = \frac{1}{\omega C}$$

$$\omega = \frac{1}{\sqrt{LC}} = \omega_0$$

Условие резонанса



При резонансе ёмкостное напряжение равно индуктивному по величине, но противоположно ему по знаку

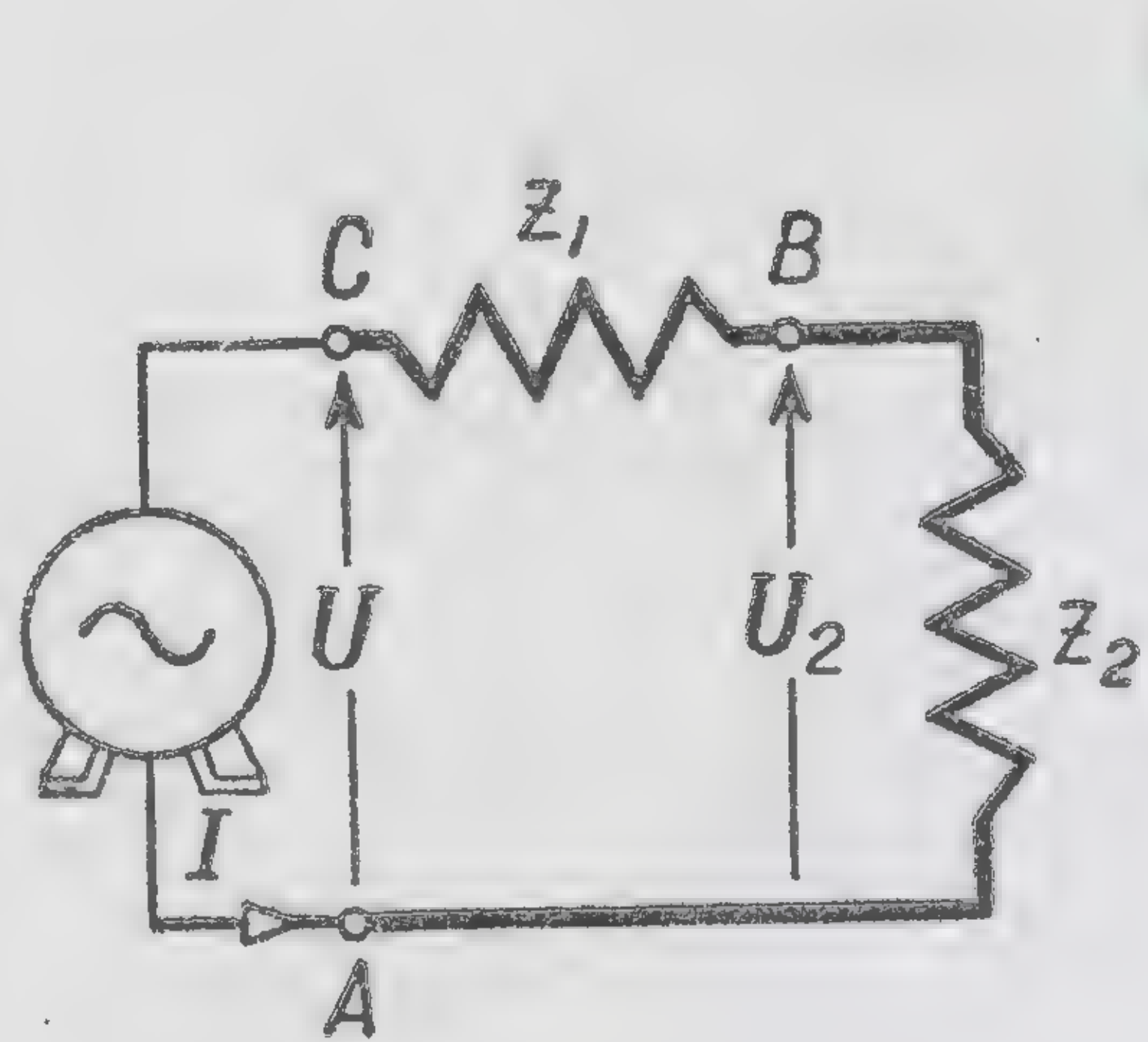


После резонанса

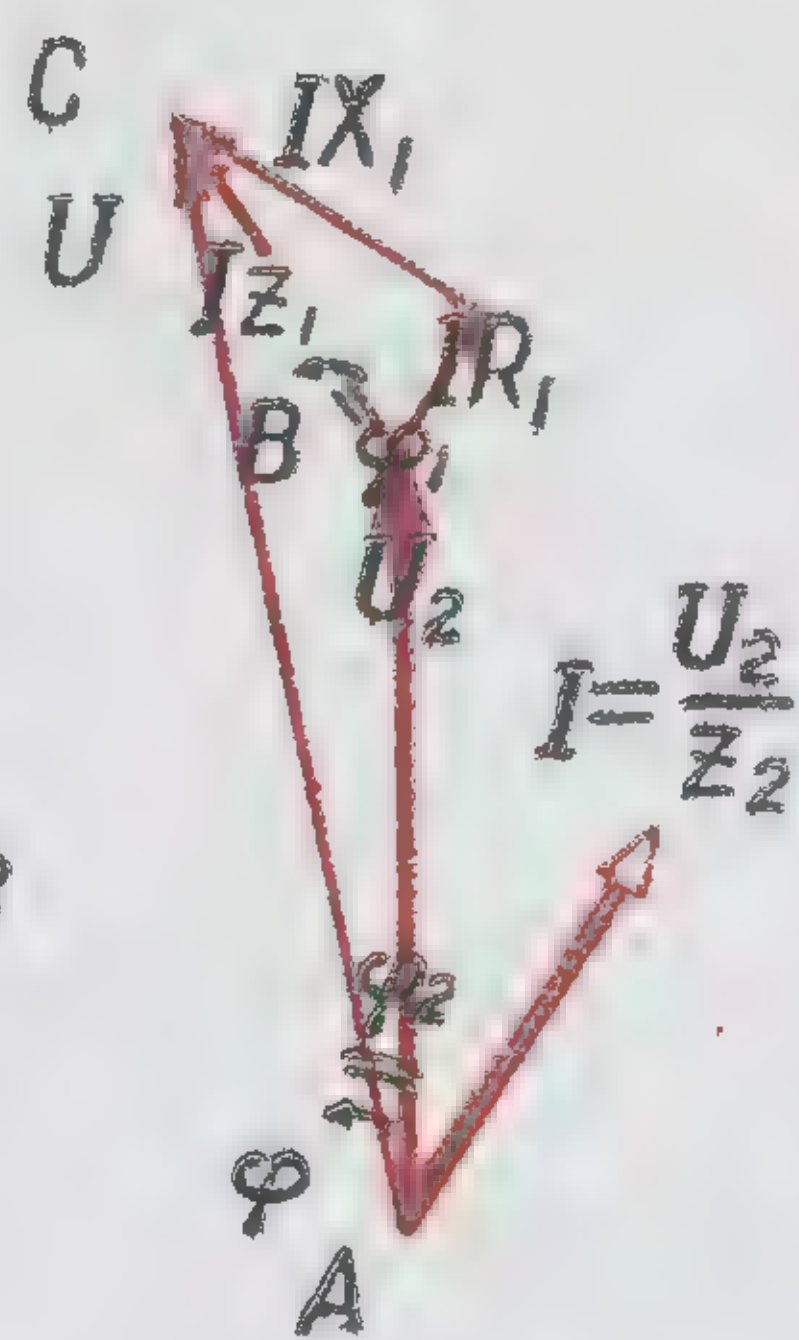
З. И. Расовский



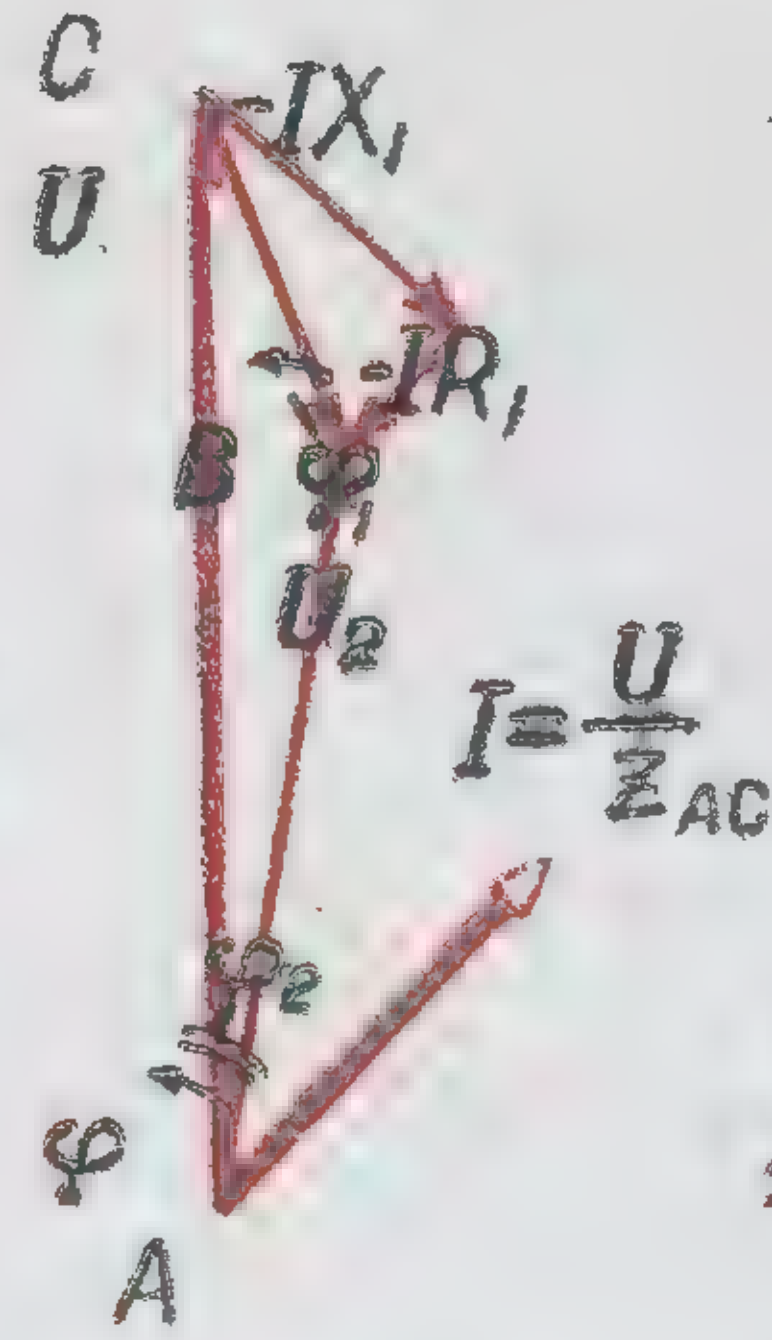
# ПОСЛЕДОВАТЕЛЬНАЯ ЦЕПЬ ПЕРЕМЕННОГО ТОКА



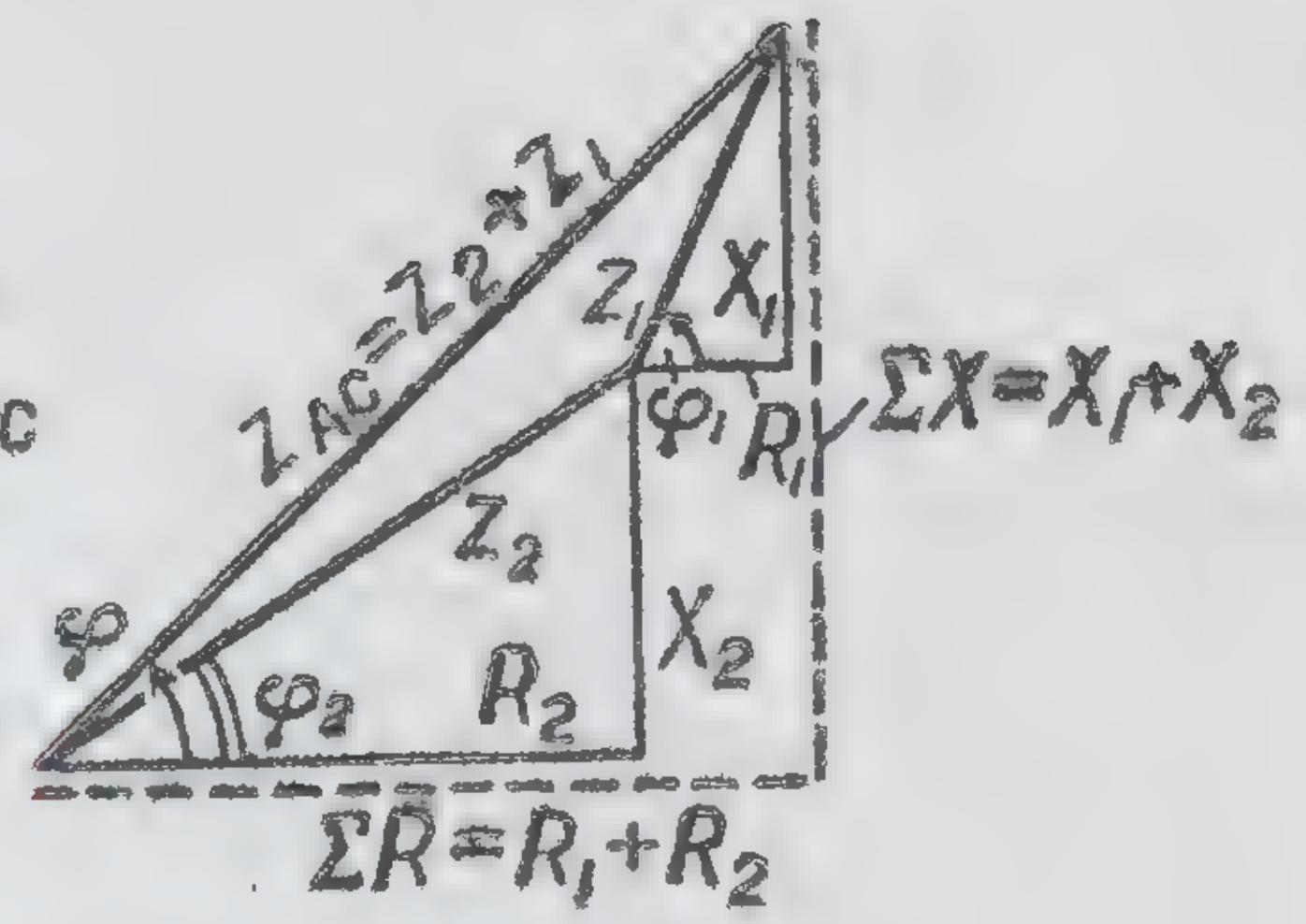
Два последовательно включенных участка



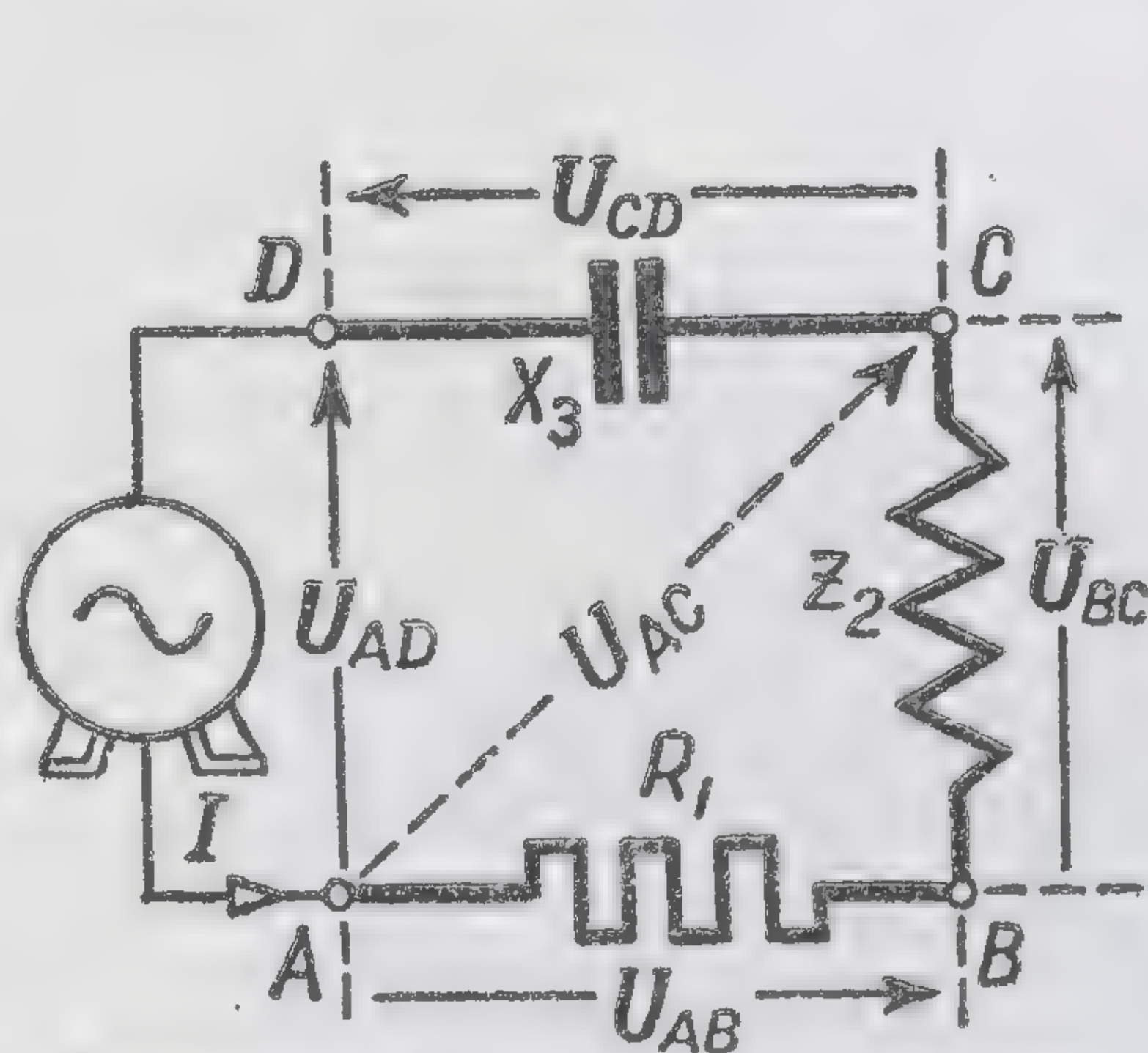
Векторная диаграмма при заданном  $U_2$



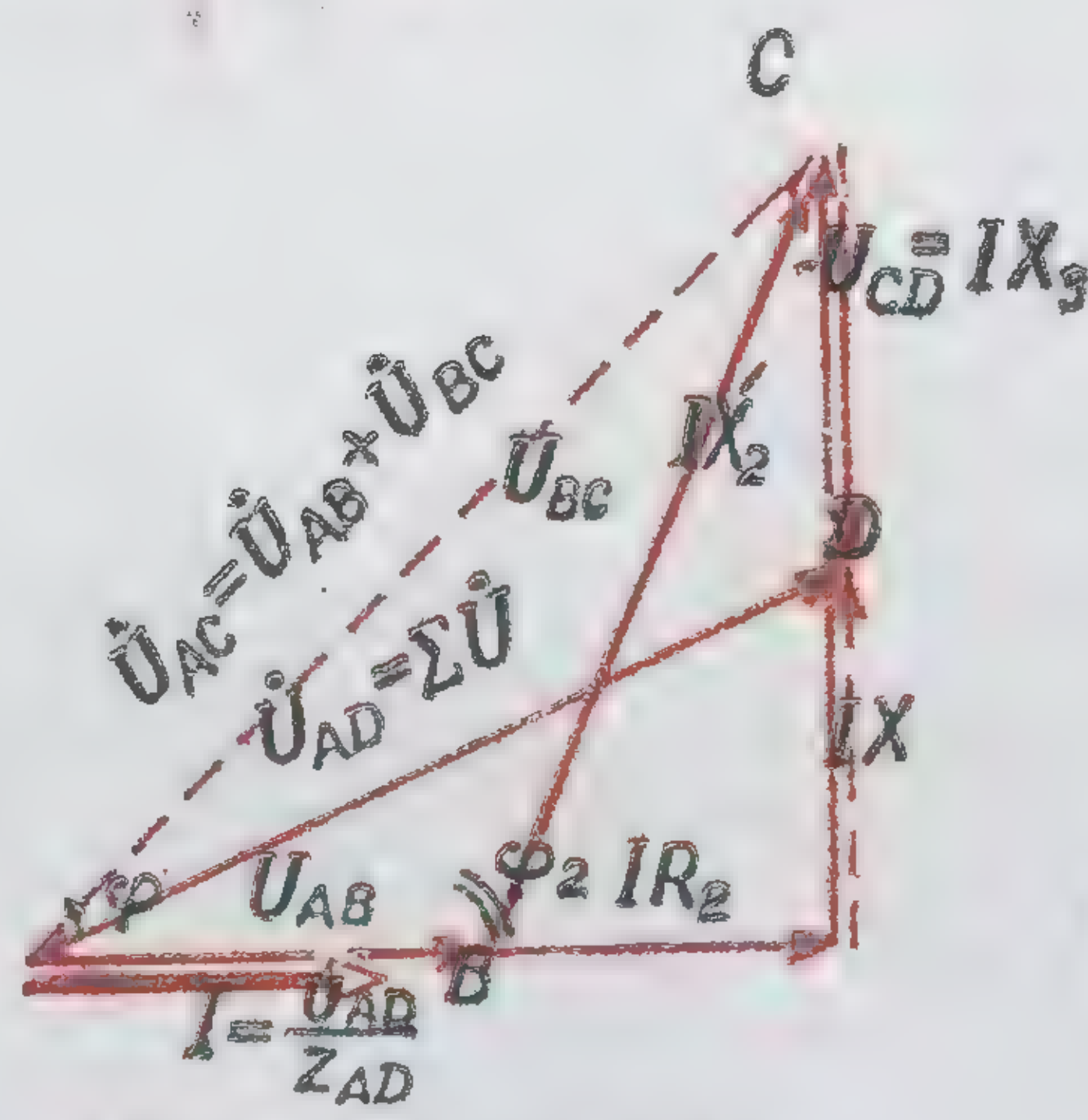
Векторная диаграмма при заданном  $U$



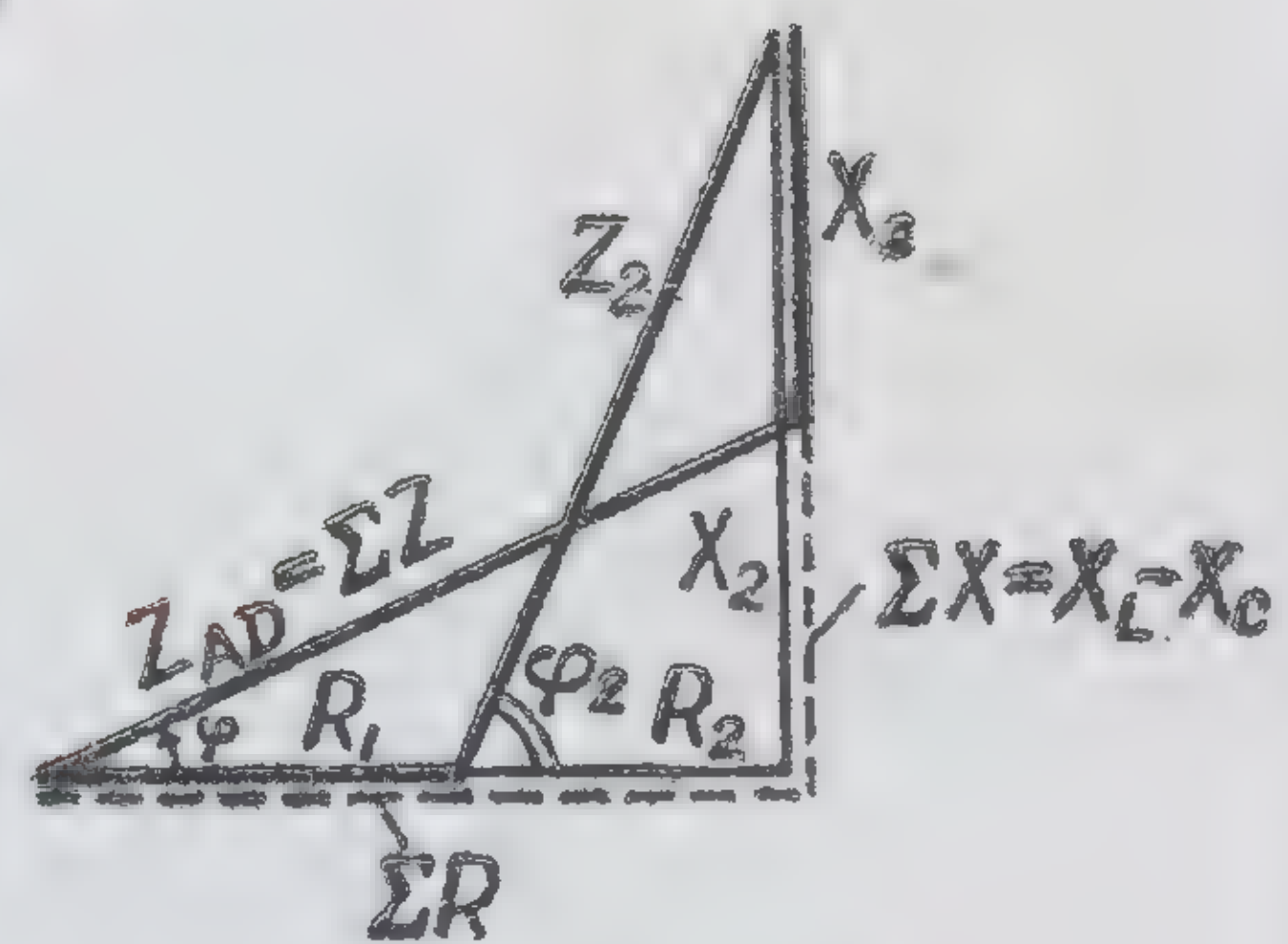
Определение общего сопротивления  $Z_{AC}$



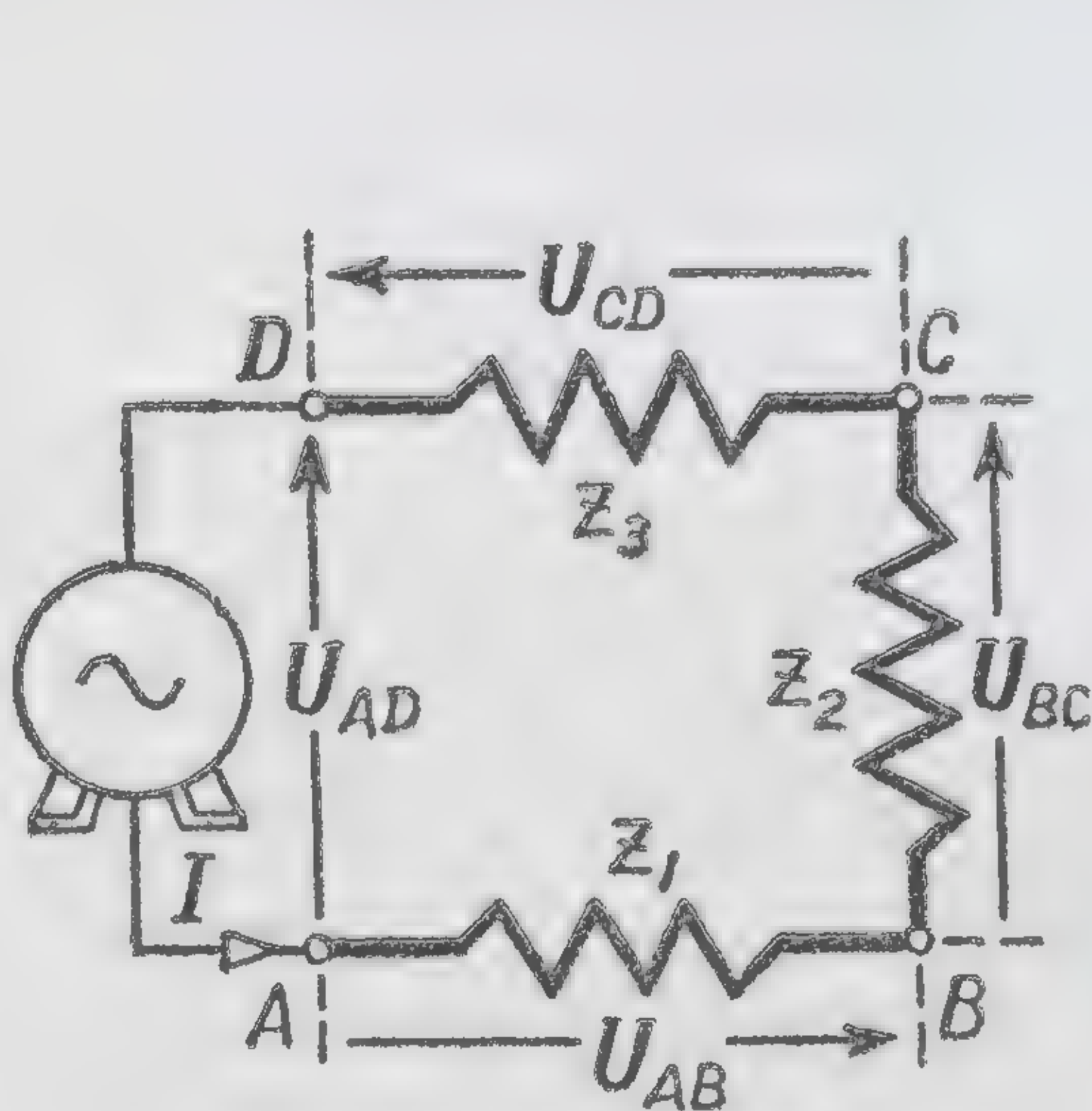
Последовательное соединение активного, индуктивного и емкостного сопротивлений



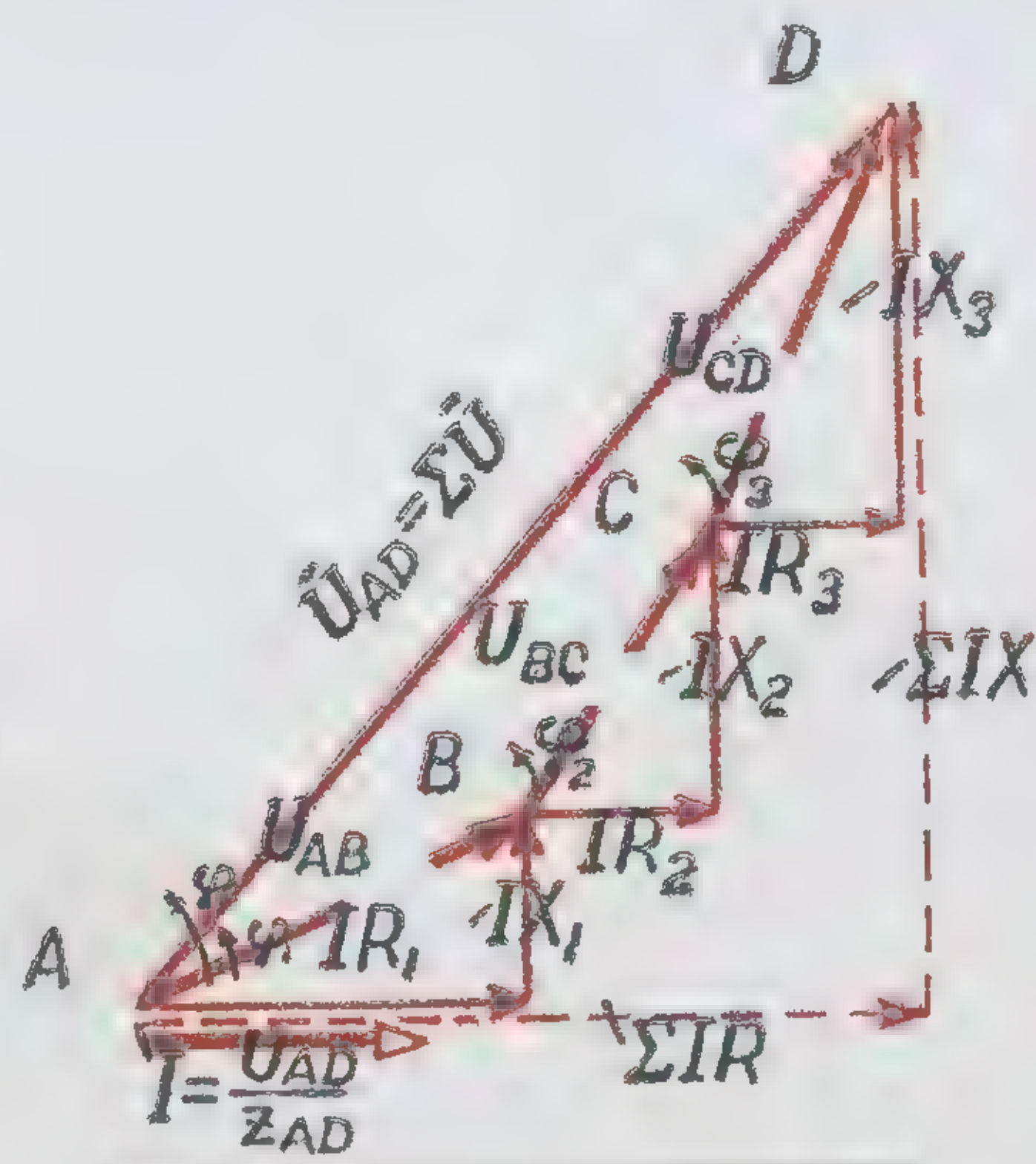
Геометрическое сложение напряжений



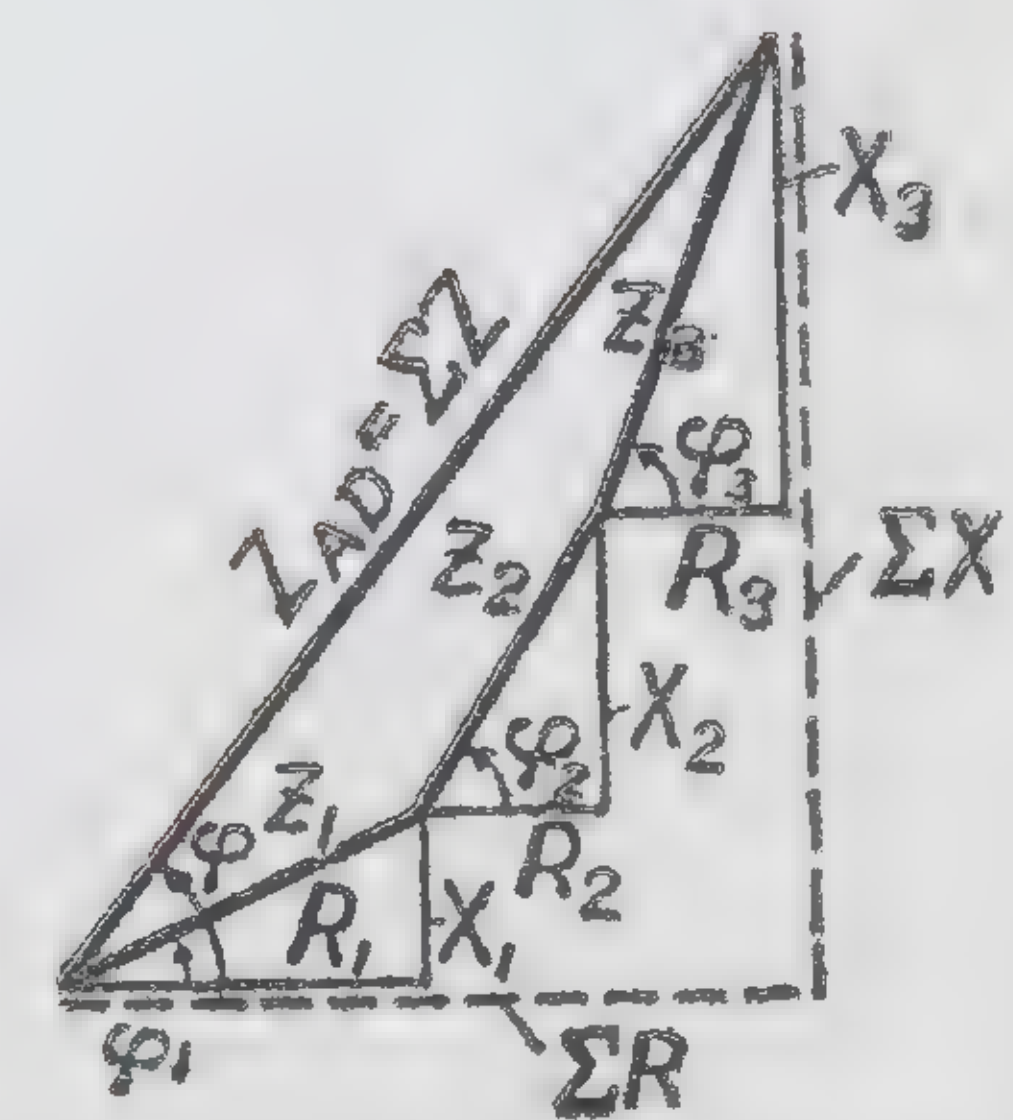
Геометрическое сложение сопротивлений



Последовательное соединение трёх катушек



$$U = \sqrt{(\Sigma IR)^2 + (\Sigma IX)^2} \text{ В}$$



$$Z = \sqrt{(\Sigma R)^2 + (\Sigma X)^2} \text{ Ом}$$

В последовательной цепи напряжения и сопротивления складываются ГЕОМЕТРИЧЕСКИ



# ПАРАЛЛЕЛЬНОЕ СОЕДИНЕНИЕ АКТИВНОГО СОПРОТИВЛЕНИЯ И ИНДУКТИВНОСТИ

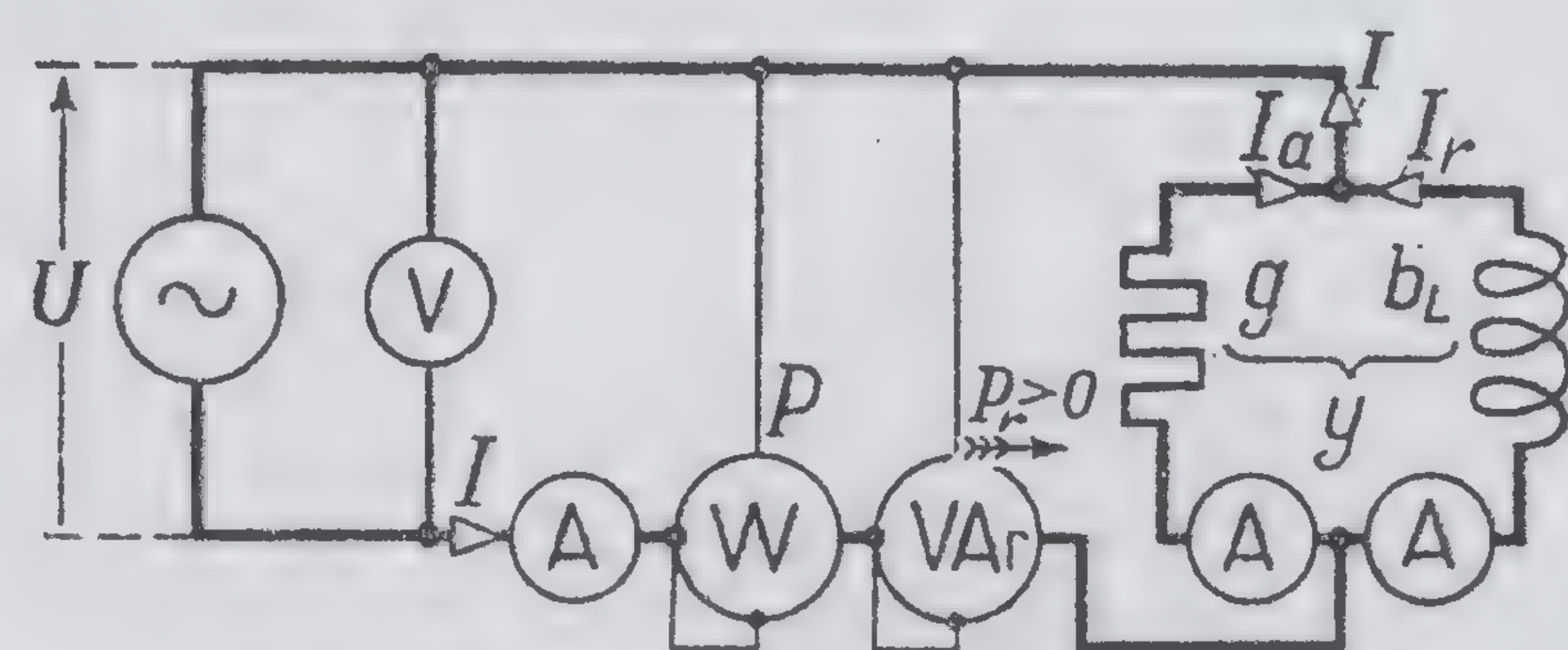
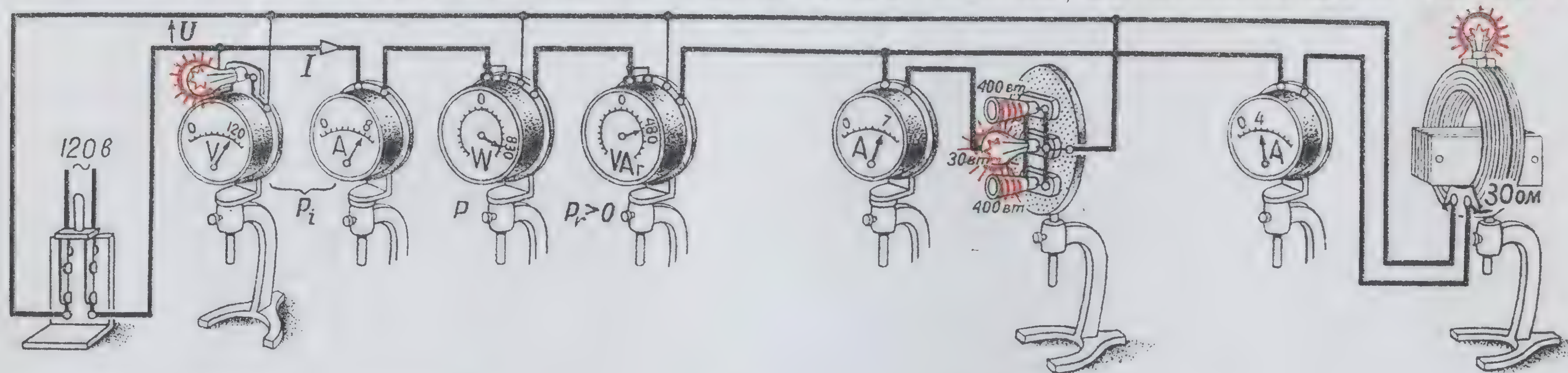
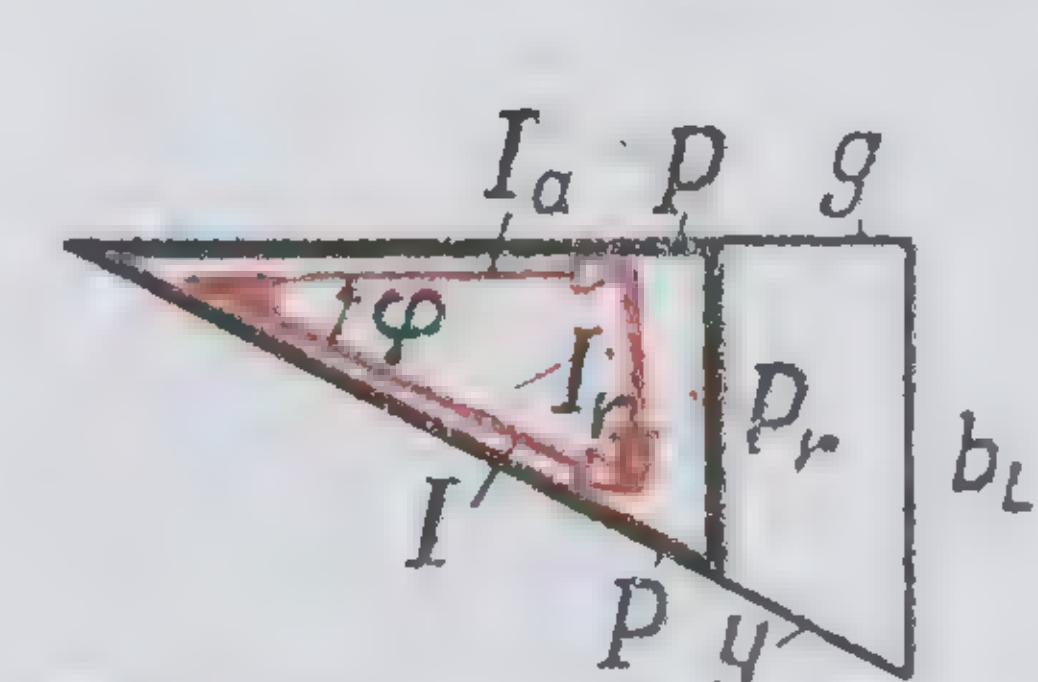
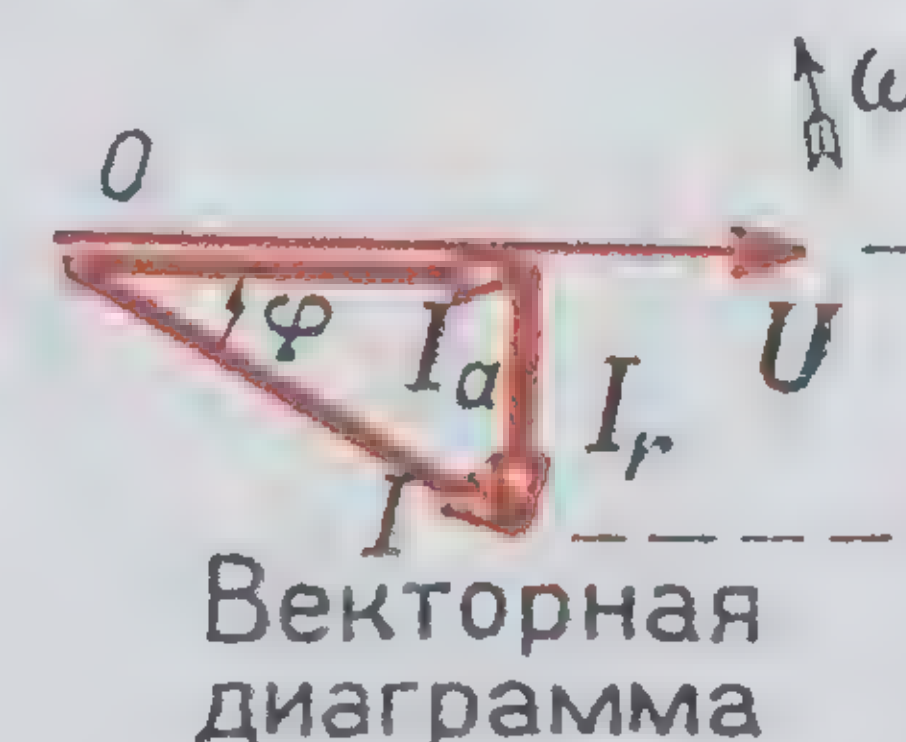


Схема соединений



Подобные треугольники токов, проводимостей и мощностей

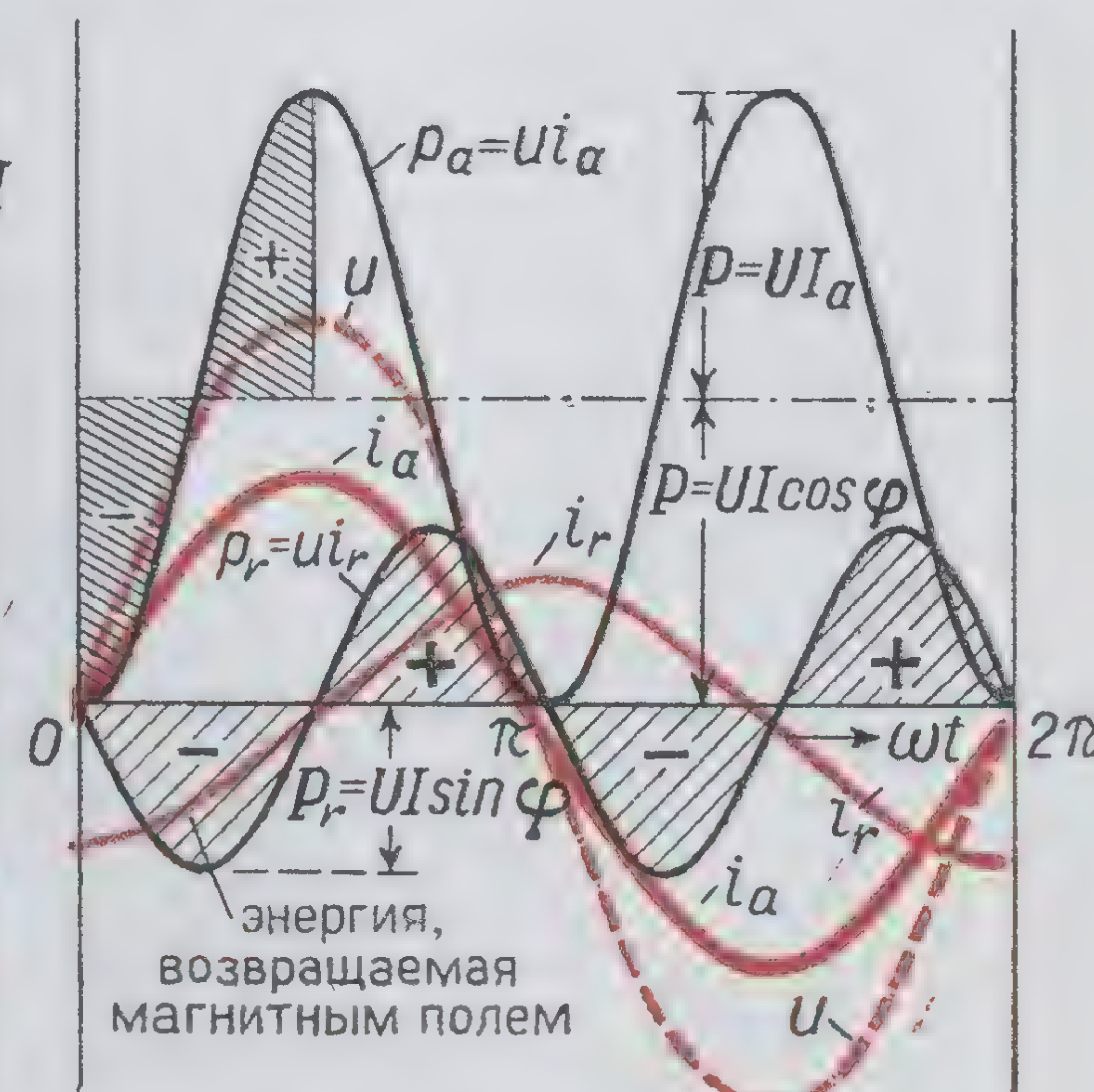


Векторная диаграмма

Общий ток отстает по фазе от напряжения на угол  $\varphi$



Кривые напряжения, тока и общей мощности

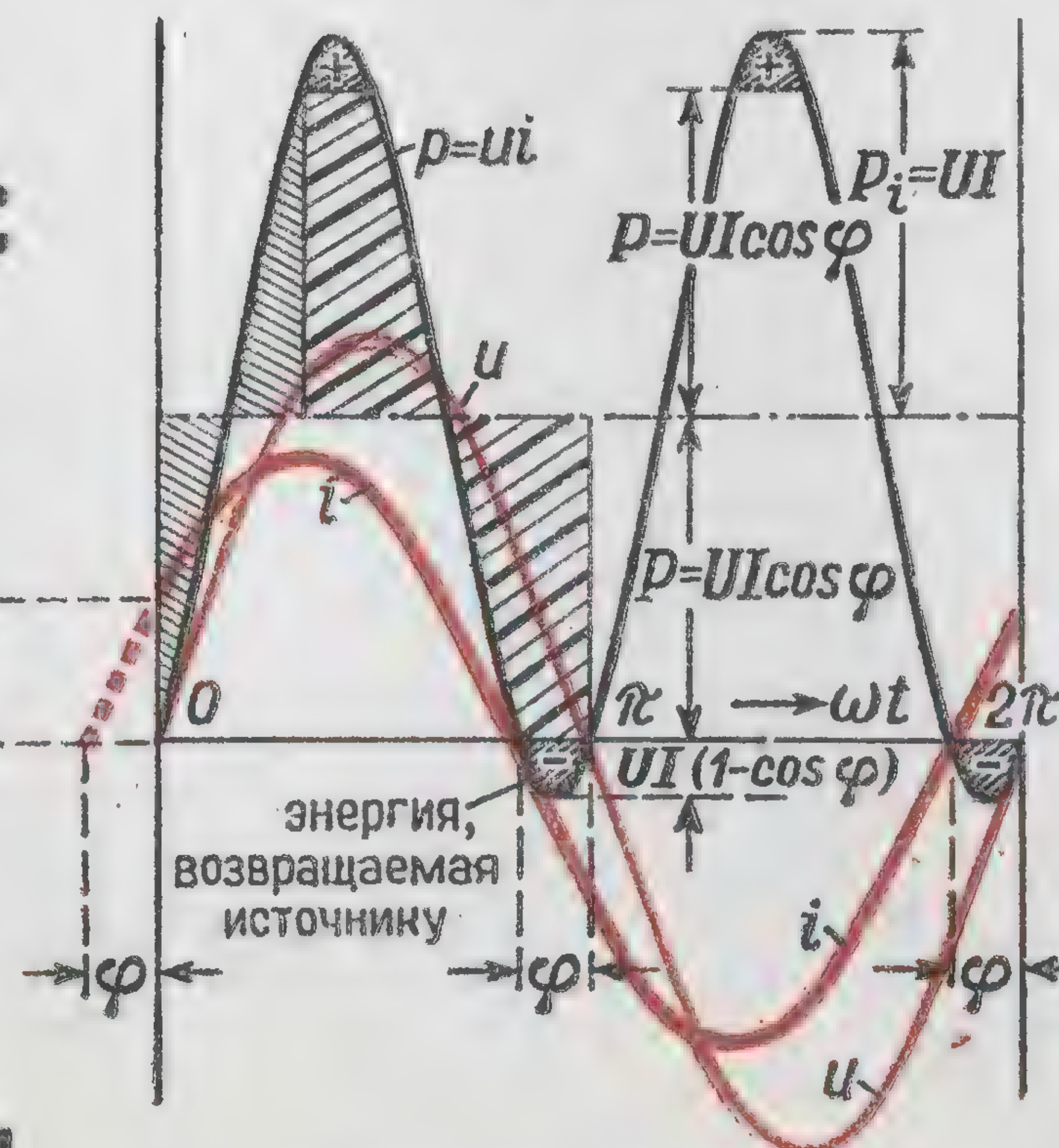
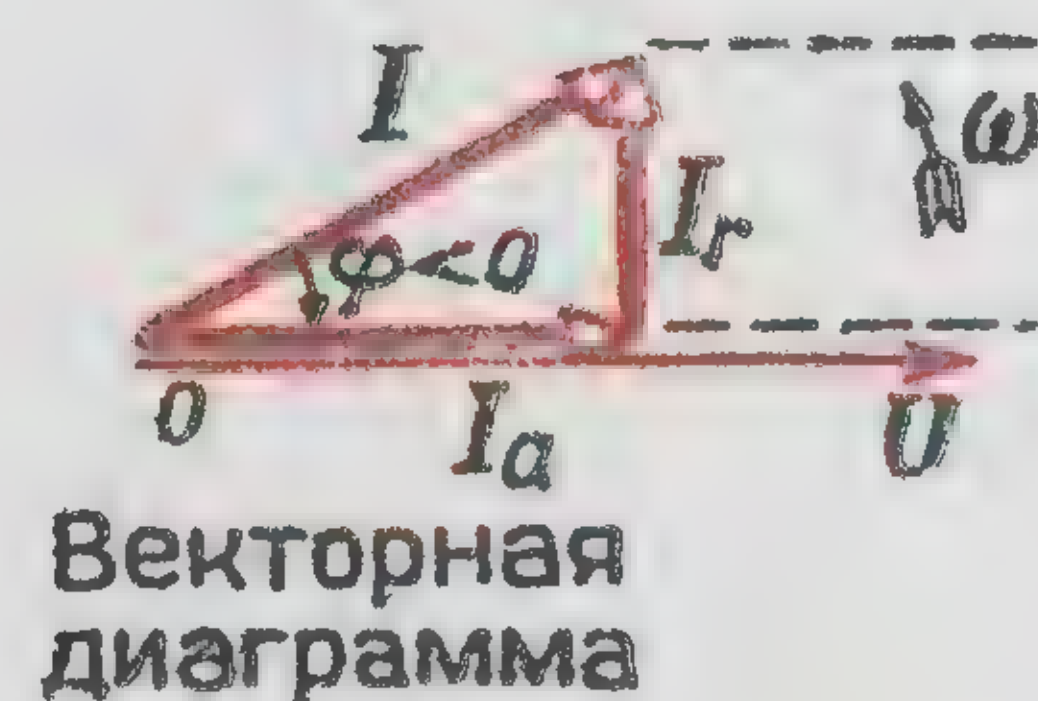
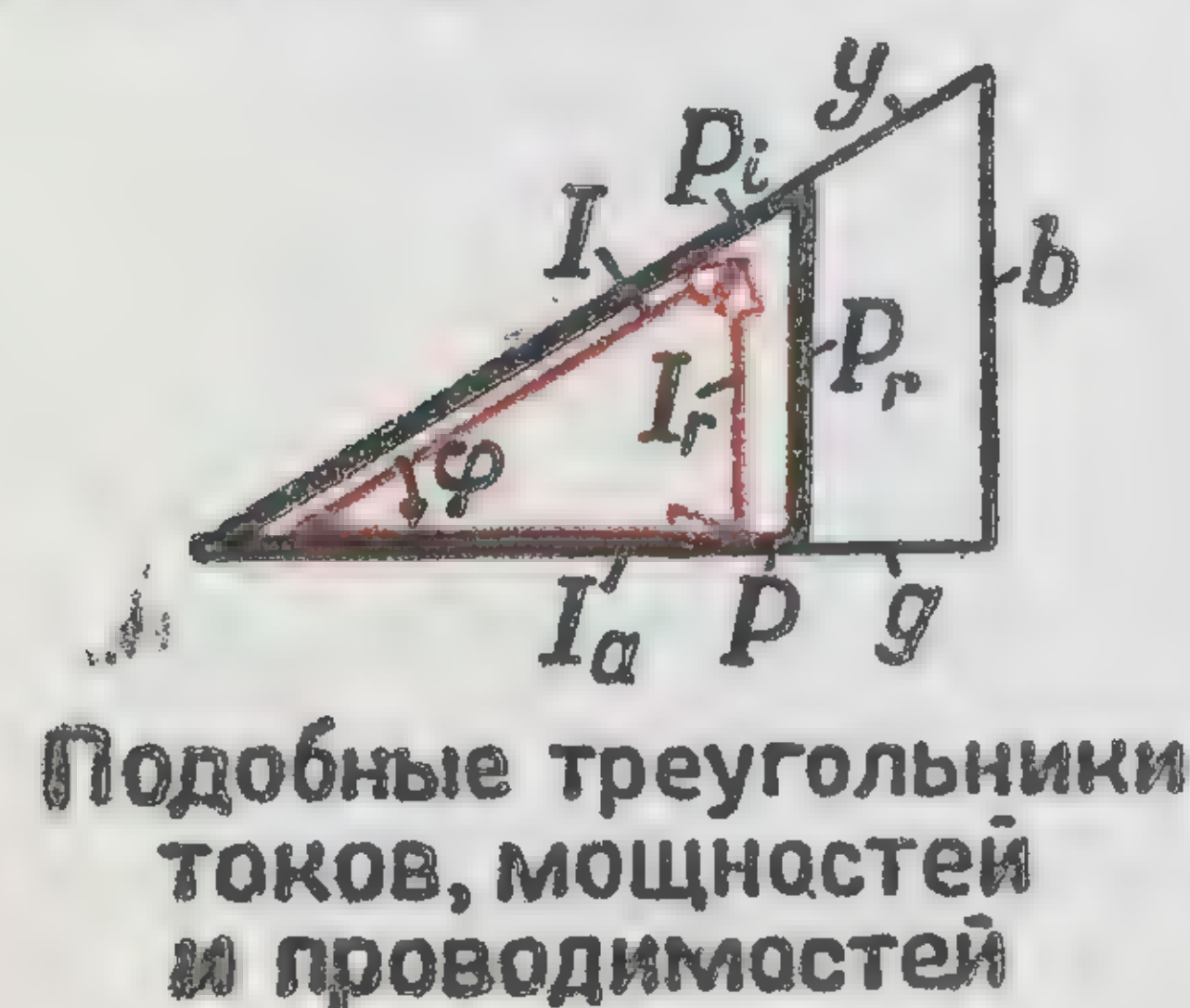
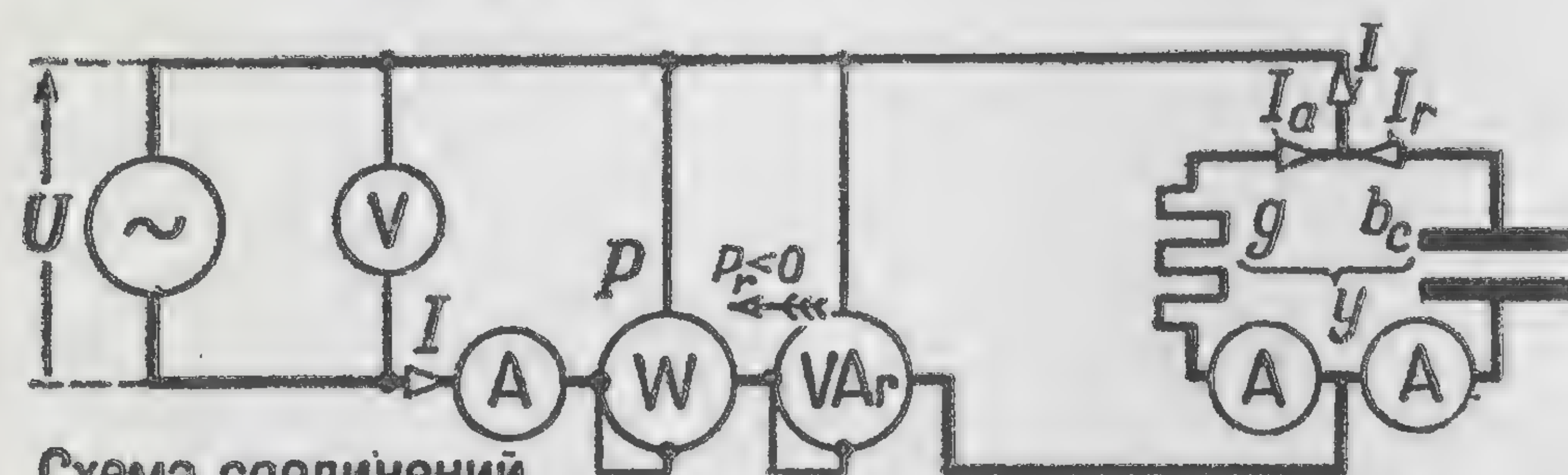
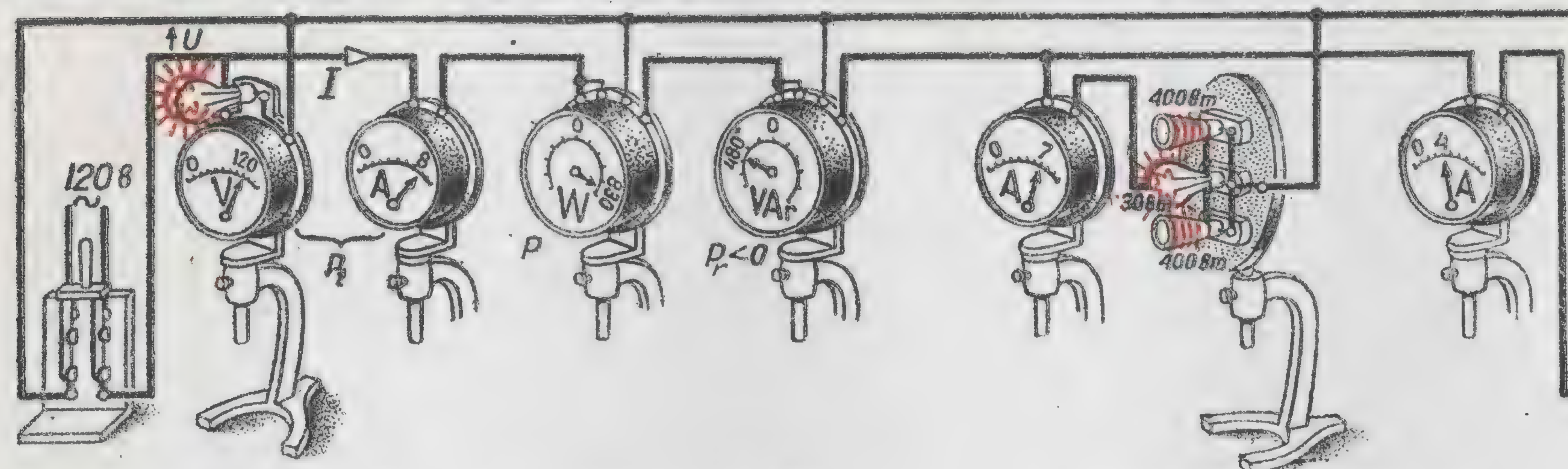


Кривые активных и реактивных слагающих тока и мощности

Э. И. Расовский.



# ПАРАЛЛЕЛЬНОЕ СОЕДИНЕНИЕ АКТИВНОГО СОПРОТИВЛЕНИЯ И ЕМКОСТИ



Токи

активный  $I_a = I \cos \varphi = Ug$   
 реактивный  $I_r = I \sin \varphi = Ub$   
 общий  $I = \sqrt{I_a^2 + I_r^2} = Uy$

Проводимости

активная  $g = y \cos \varphi = I_a / U$   
 реактивная  $b = y \sin \varphi = I_r / U$   
 полная  $y = \sqrt{g^2 + b^2} = I / U$

Мощности

активная  $P = UI \cos \varphi = UI_a = U^2 g$   
 реактивная  $P_r = UI \sin \varphi = UI_r = U^2 b$   
 кажущаяся  $P_i = UI = \sqrt{P^2 + P_r^2} = U^2 y$

Коэффициент мощности

$\cos \varphi = P / UI = I_a / I = g / y$

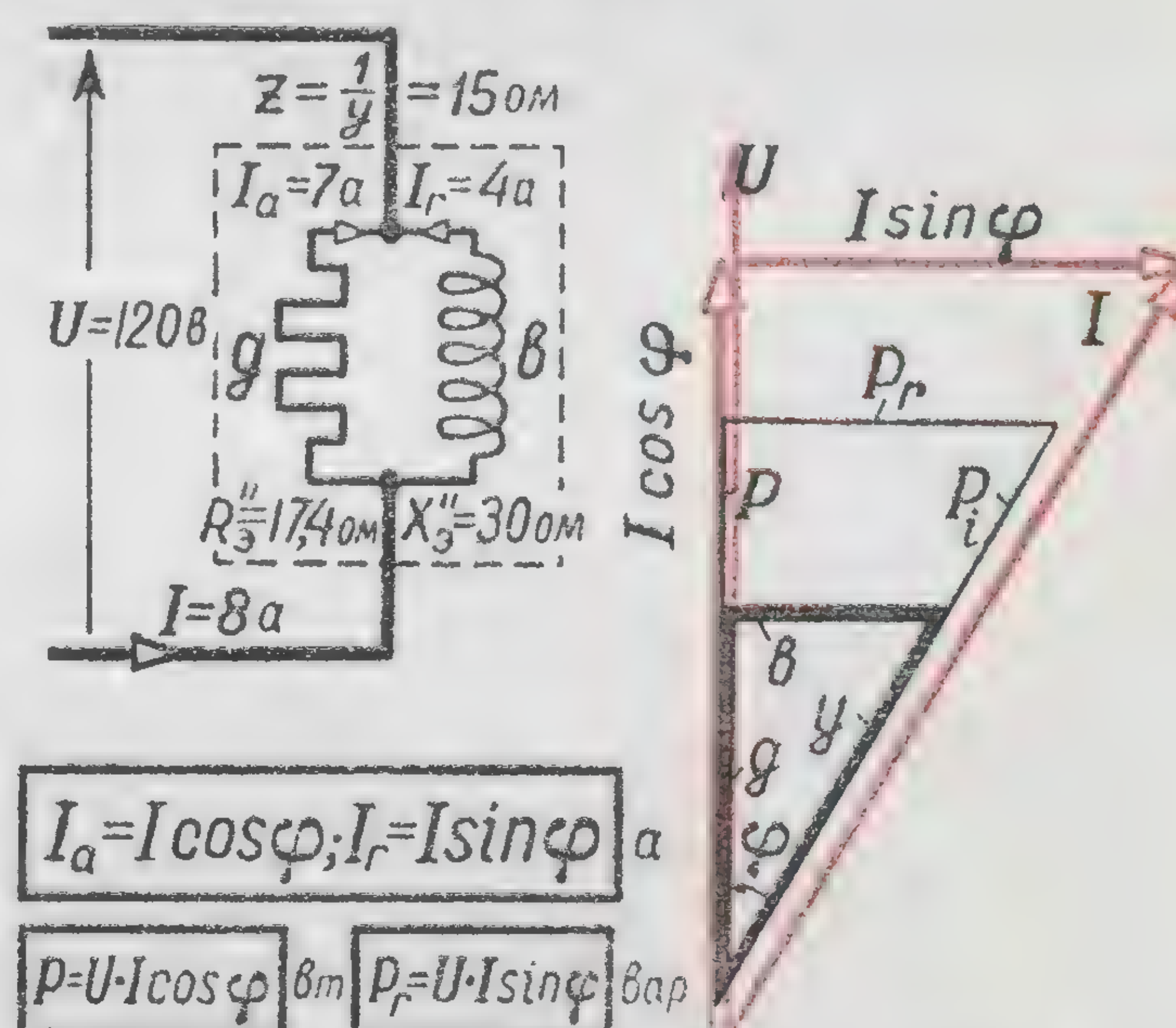
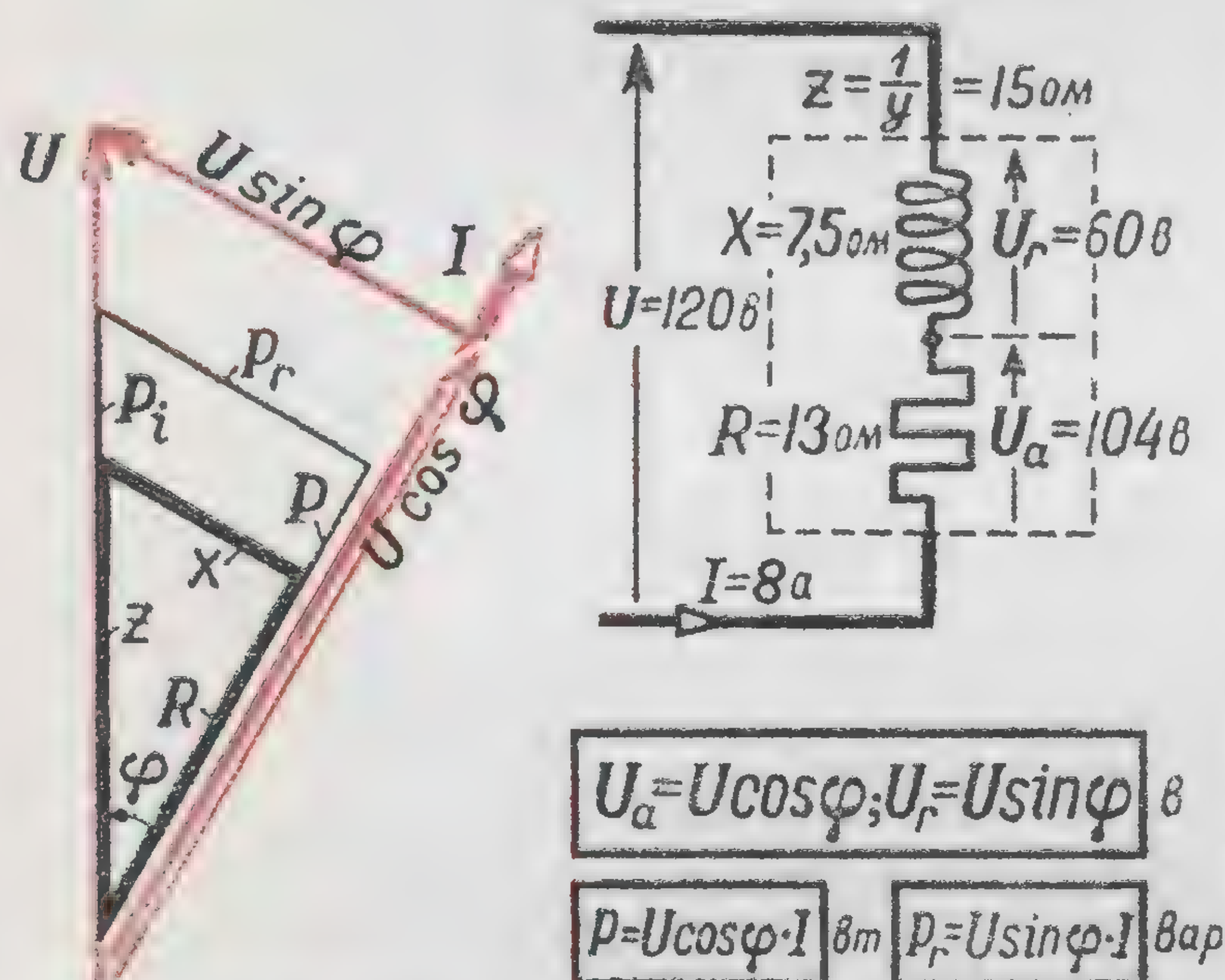
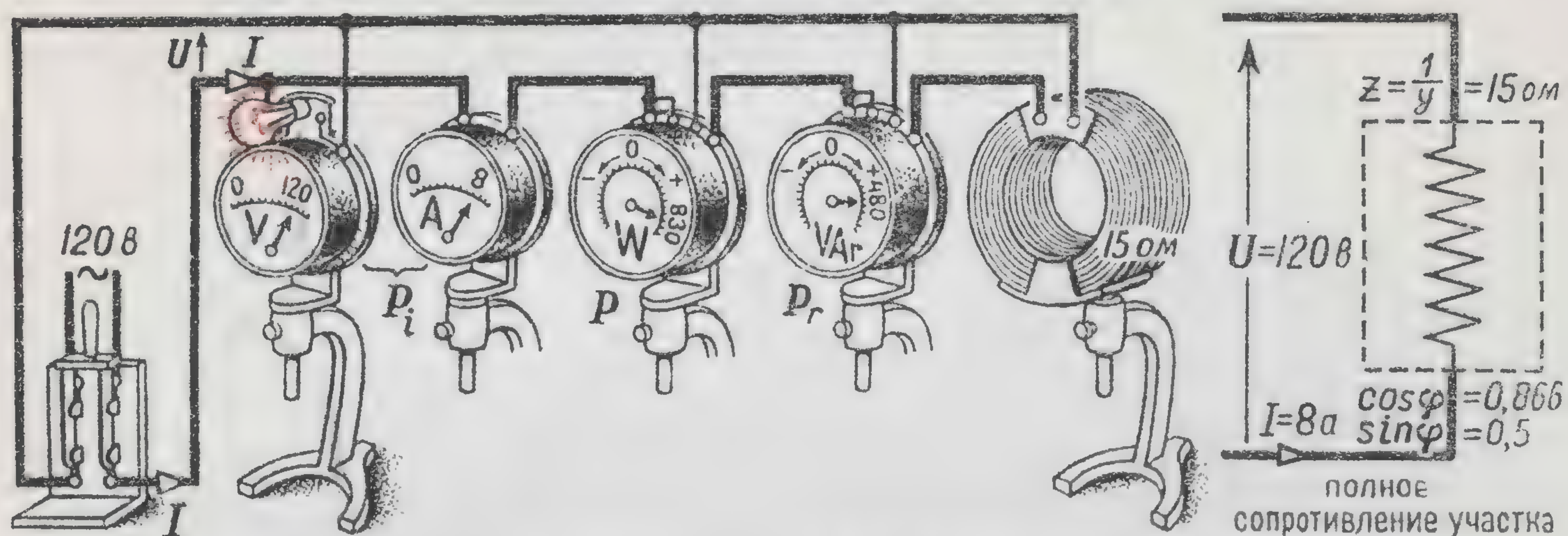
Общий ток опережает напряжение по фазе на угол  $\varphi$

Кривые напряжения, тока и общей мощности

Э.И. Расовский

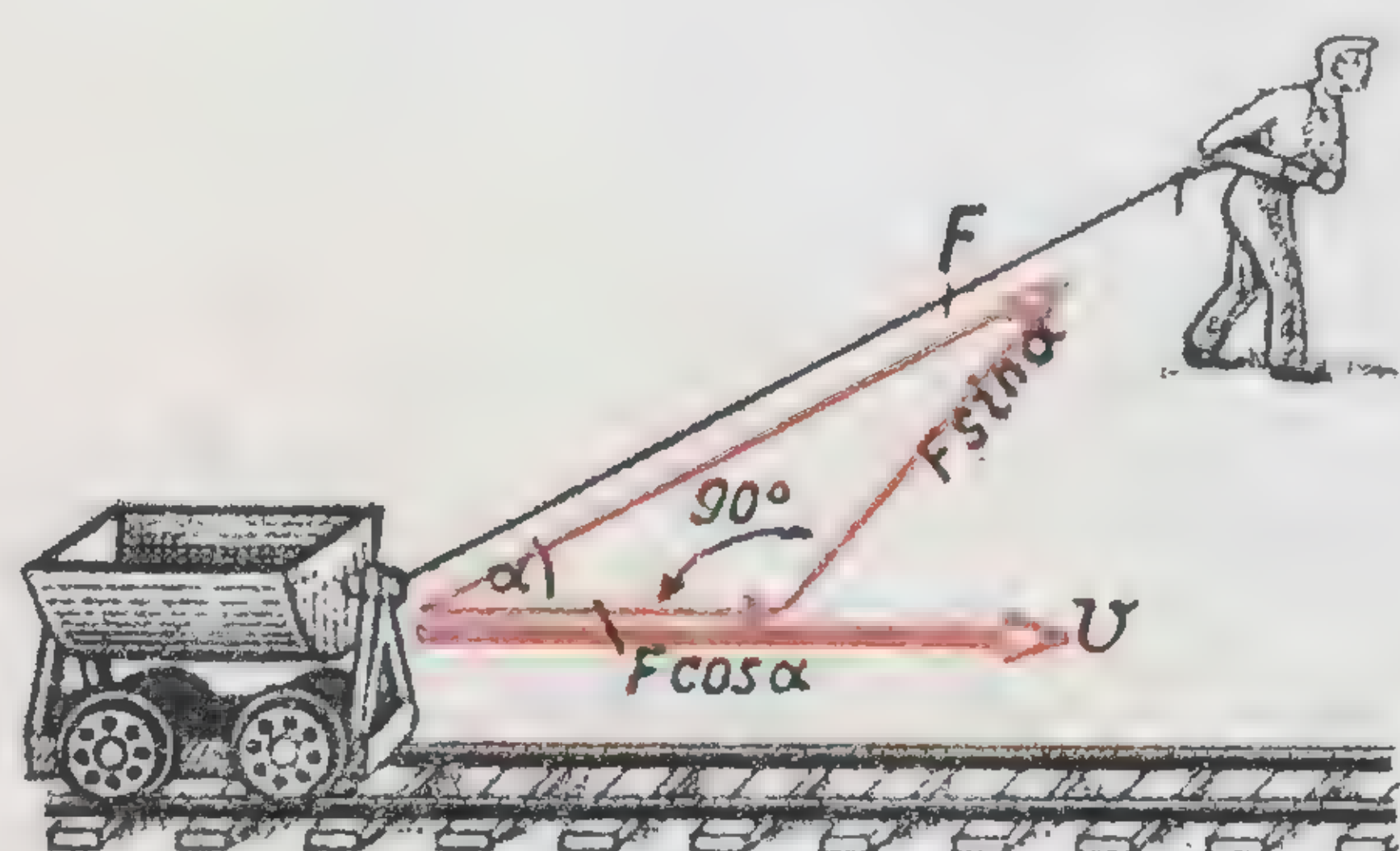


# АКТИВНАЯ И РЕАКТИВНАЯ СЛАГАЮЩИЕ ОБЩЕГО НАПРЯЖЕНИЯ ИЛИ ТОКА.

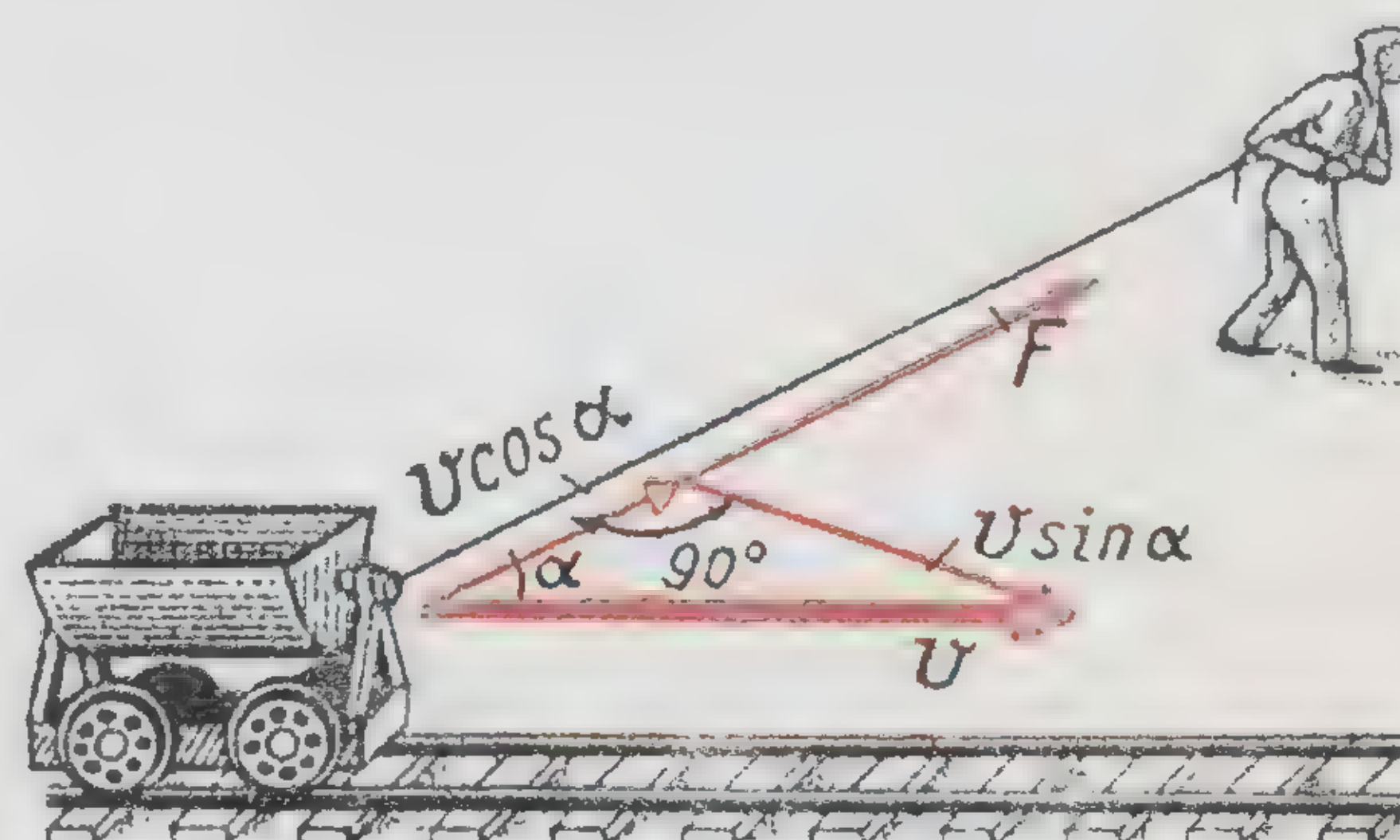


$$y = \frac{1}{z}; g = \frac{R}{z^2}; b = \frac{X}{z^2} \quad \frac{1}{\text{Ом}} \quad \frac{1}{g} = R'' = \frac{R}{\cos^2 \varphi}; \frac{1}{b} = X'' = \frac{X}{\sin^2 \varphi} \quad \text{Ом} \quad z = \frac{1}{y}; R = \frac{g}{y^2}; X = \frac{b}{y^2} \quad \text{Ом}$$

Соотношения между сопротивлениями и проводимостями участка цепи при определённой частоте



$$P_{\text{мех}} = F \cos \alpha \cdot v = F_v \cdot v \quad \text{Вт}$$



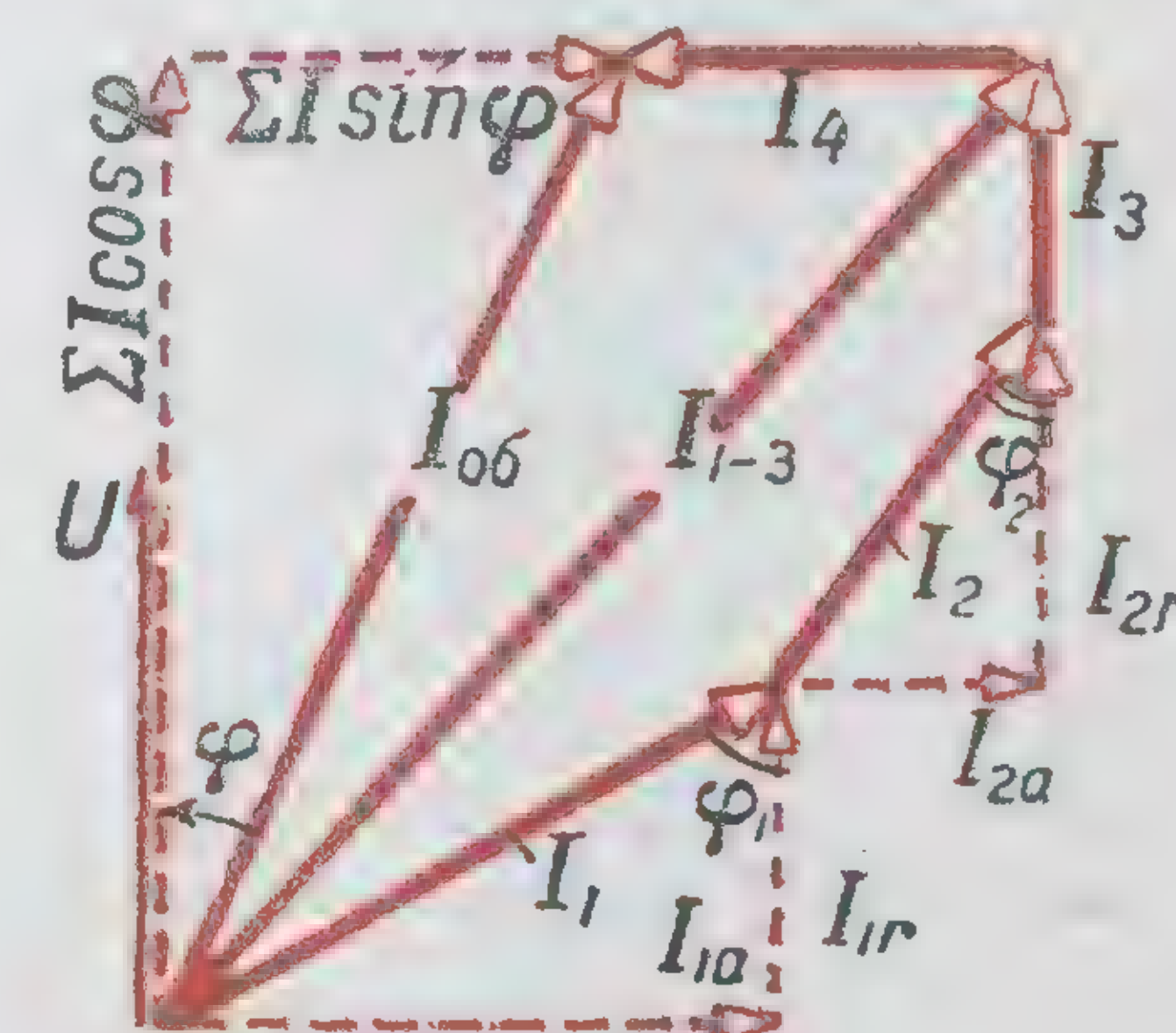
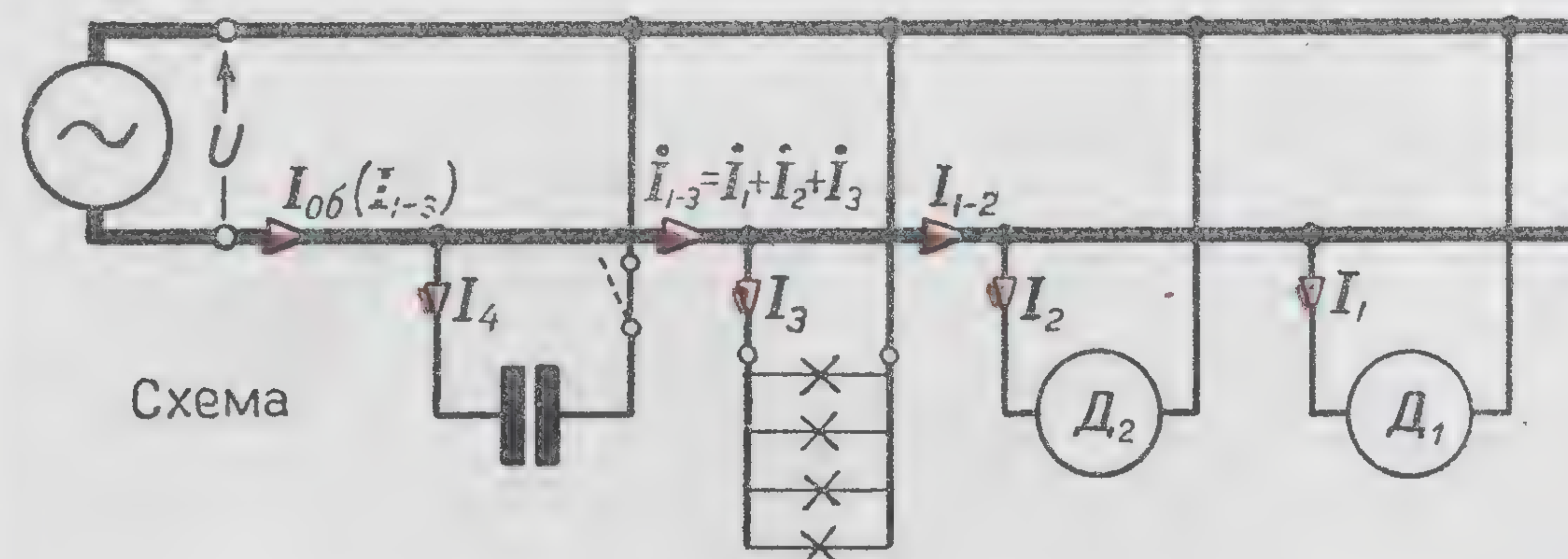
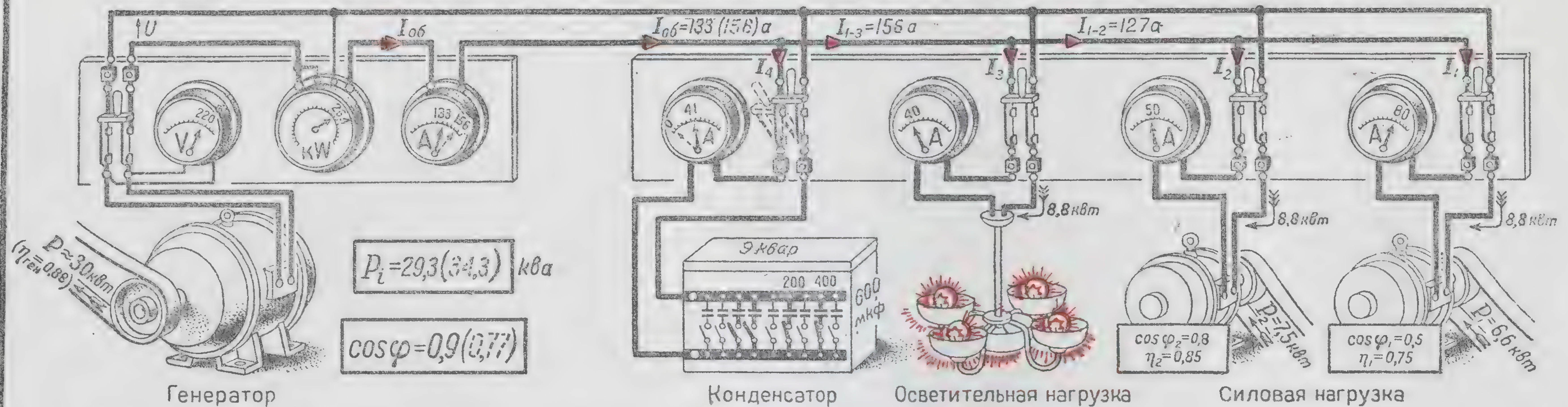
$$P_{\text{мех}} = F \cdot U \cos \alpha = F \cdot U_F \quad \text{Вт}$$

Механическая мощность (аналогия)

Э.И. Расовский



# ПАРАЛЛЕЛЬНОЕ СОЕДИНЕНИЕ ПОТРЕБИТЕЛЕЙ ПЕРЕМЕННОГО ТОКА



$$P = UI \cos \varphi \text{ Вт}$$

$$P_r = UI \sin \varphi \text{ Вар}$$

Активная и реактивная мощности отдельного потребителя

$$P = \sum UI \cos \varphi \text{ Вт}$$

$$P_r = \sum UI \sin (\pm \varphi) \text{ Вар}$$

$$I = \sqrt{(\sum I \cos \varphi)^2 + (\sum I \sin \varphi)^2} \text{ а}$$

$$P_i = UI = \sqrt{P^2 + P_r^2} \text{ Ва}$$

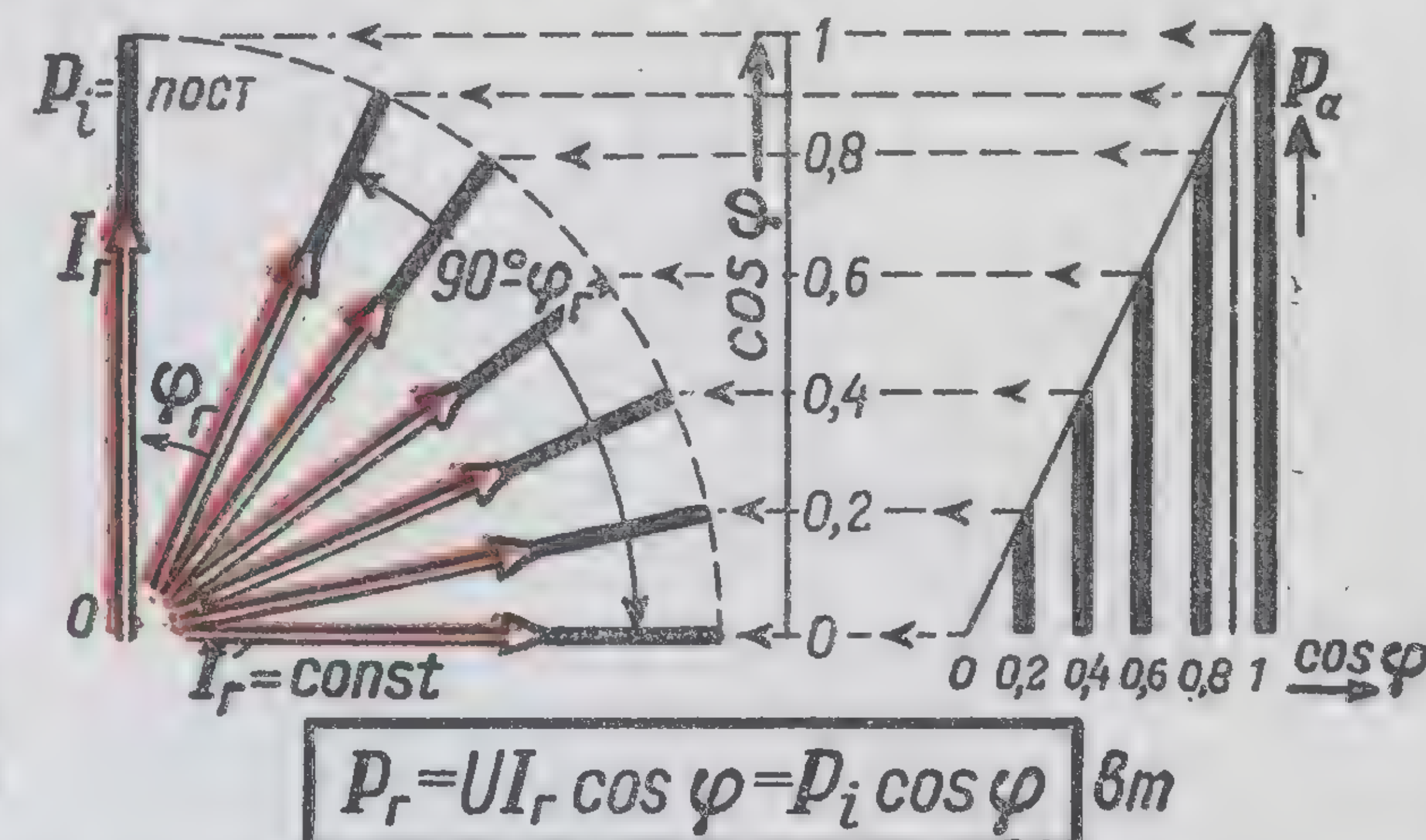
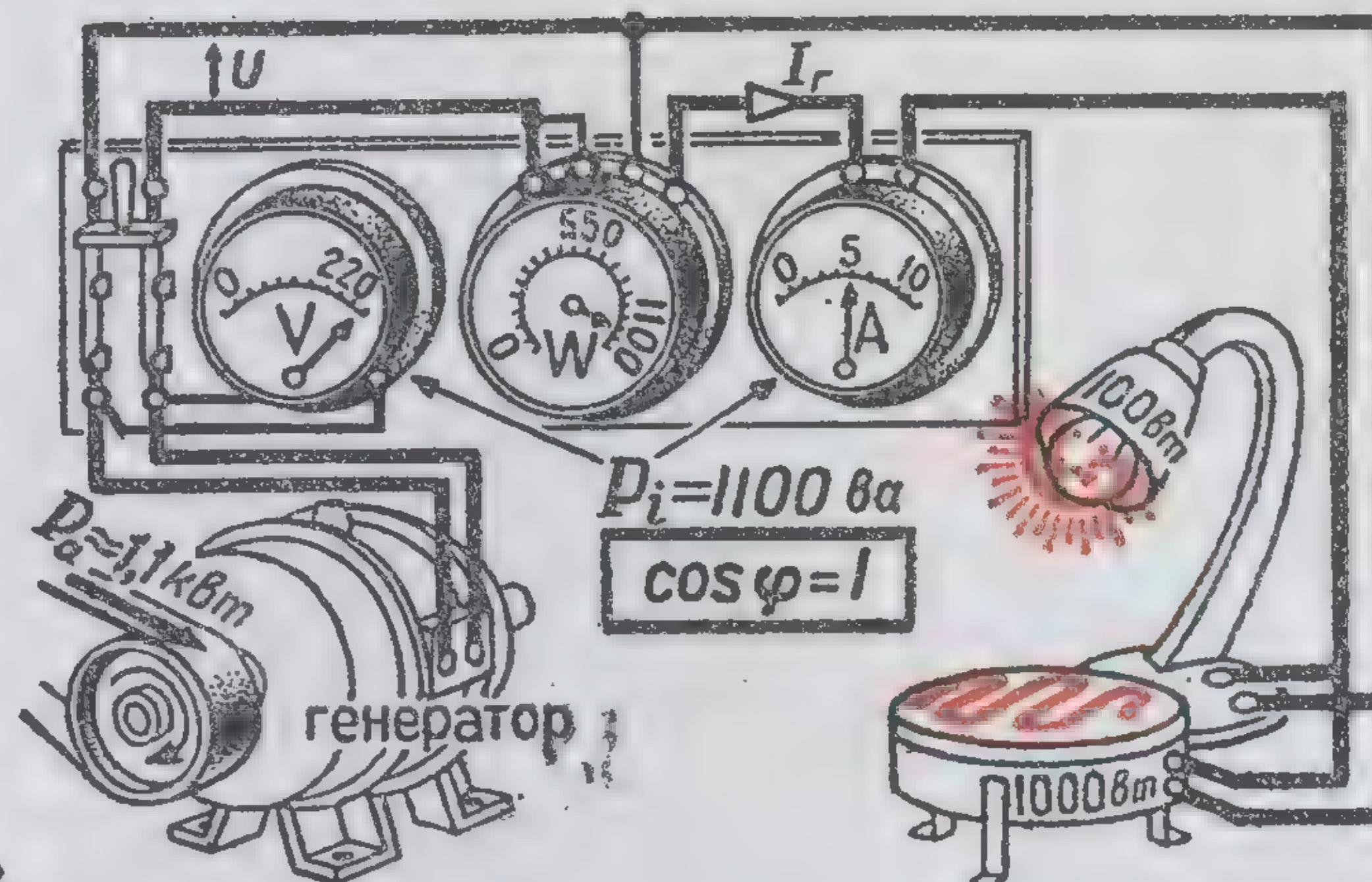
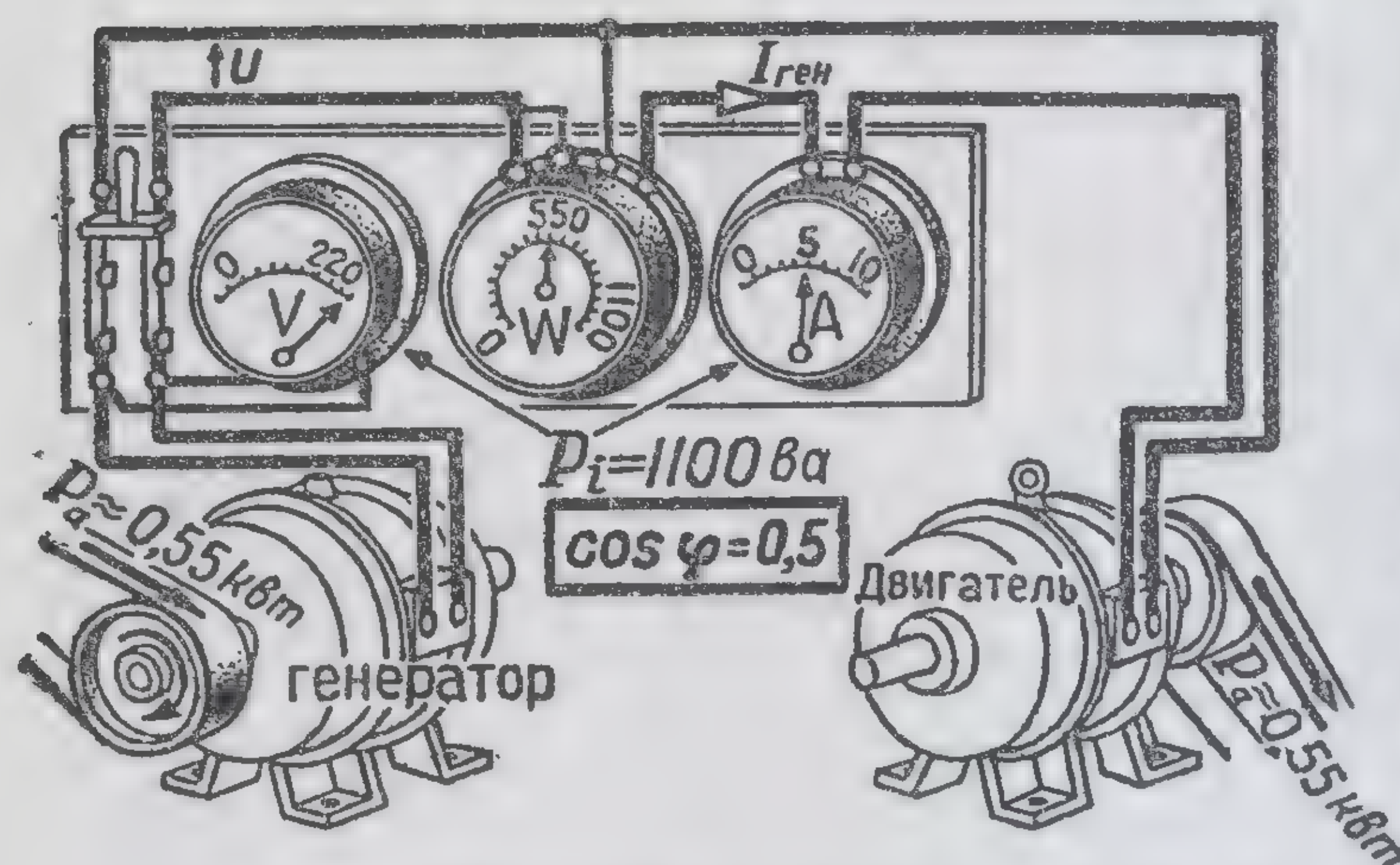
$$\cos \varphi = \frac{P}{UI}$$

Активные мощности потребителей складываются арифметически, реактивные мощности — алгебраически.

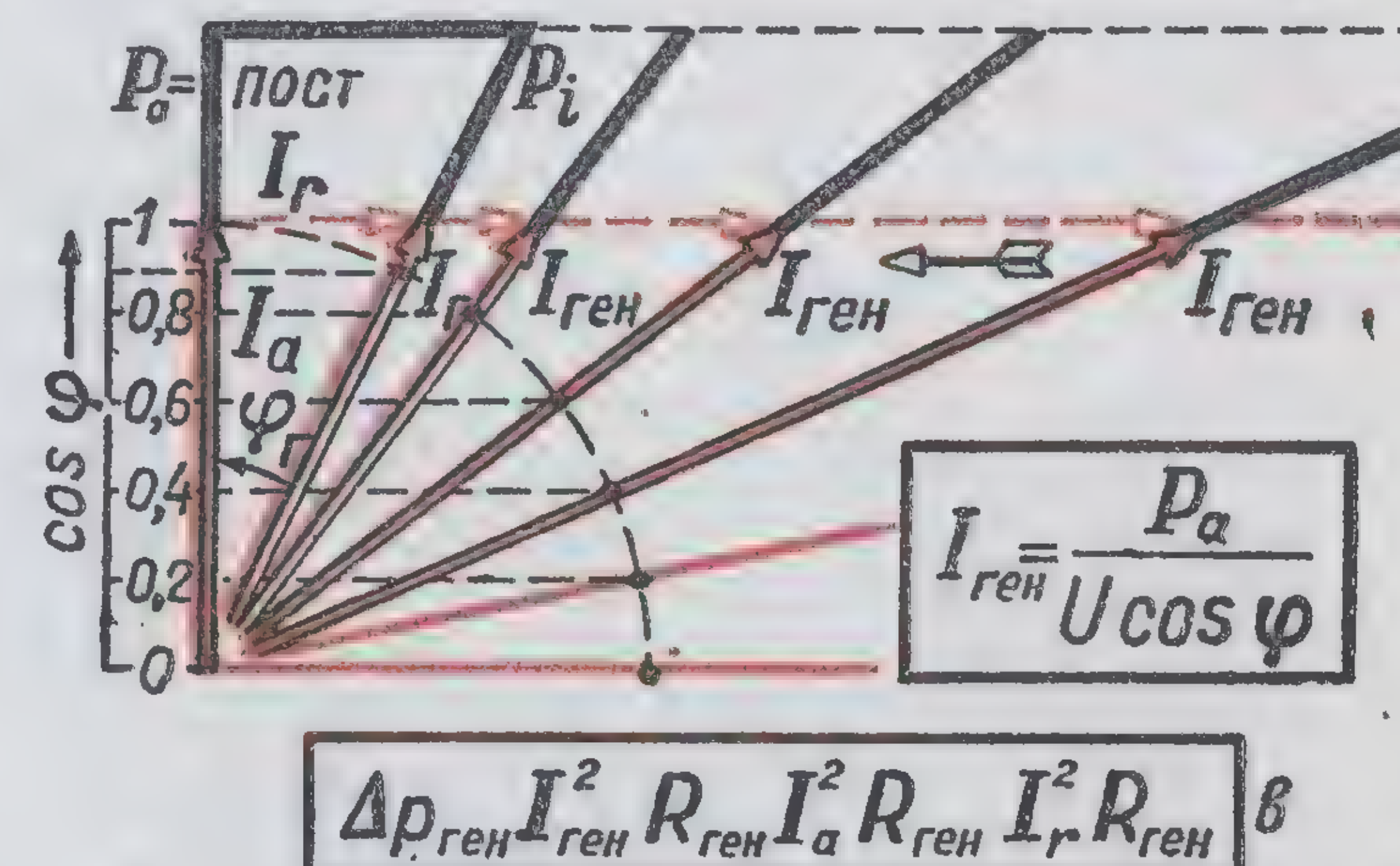
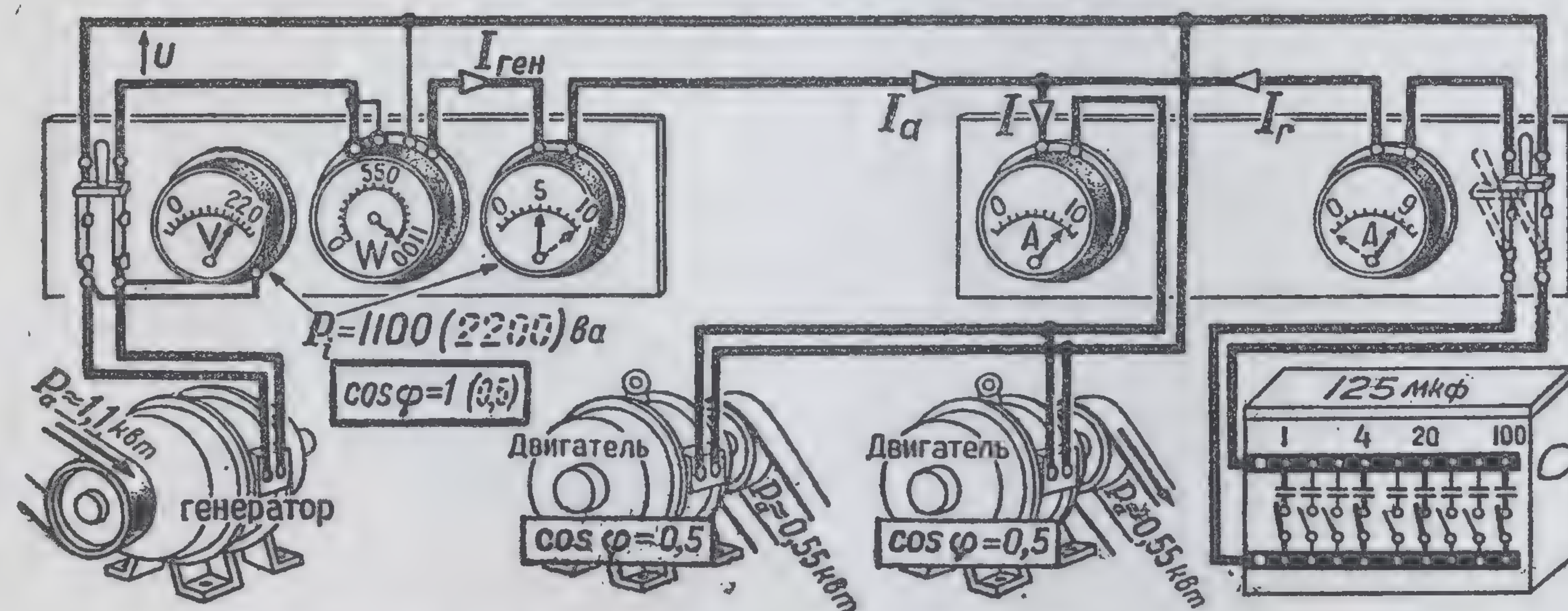
Токи и кажущиеся мощности складываются геометрически



# КОЭФФИЦИЕНТ МОЩНОСТИ ( $\cos \varphi$ )



Повышение  $\cos \varphi$  при одном и том же токе нагрузки ведет к возрастанию отдаваемой активной мощности (к загрузке первичного двигателя)



Нагрев обмотки генератора обусловлен как активным, так и реактивным током нагрузки

Повышение  $\cos \varphi$  при одной и той же отдаваемой активной мощности ведет к уменьшению тока генератора (к уменьшению потерь и к возможности подключения дополнительной нагрузки, т.е. к лучшему использованию мощности первичного двигателя)

$$P_i = UI \text{ ватт}$$

Каждущаяся мощность — мера электромагнитной нагрузки машины

$$P_a = UI \cos \varphi \text{ ватт}$$

Активная мощность — мера механической нагрузки машины

$$P_r = UI \sin \varphi \text{ ватт}$$

Реактивная мощность — мера энергии, колеблющейся в цепи

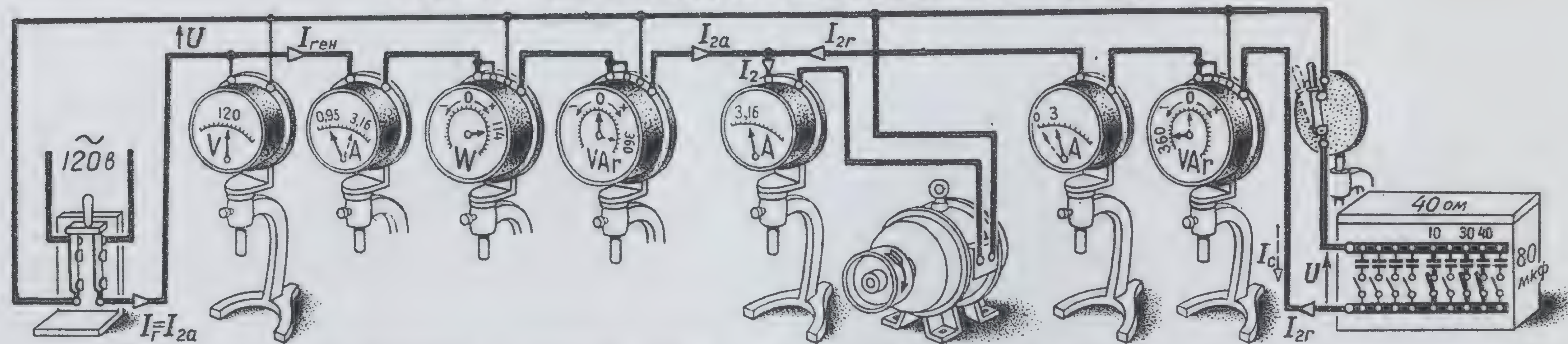
$$\cos \varphi = P/UI$$

Коэффициент мощности — показатель использования мощности генератора

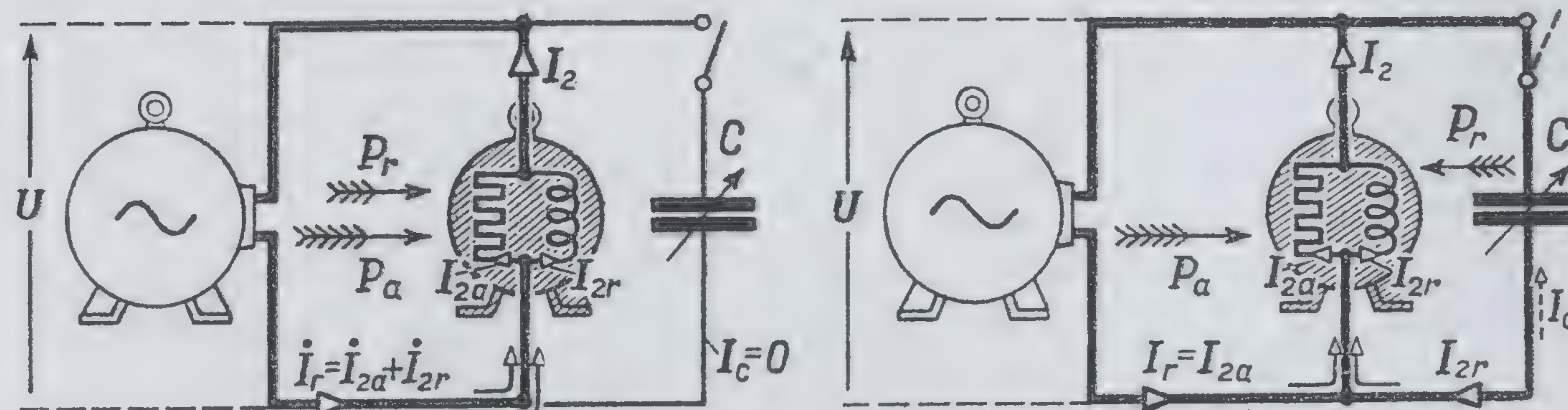
Э.И.Расовский



# КОМПЕНСАЦИЯ СДВИГА ФАЗ

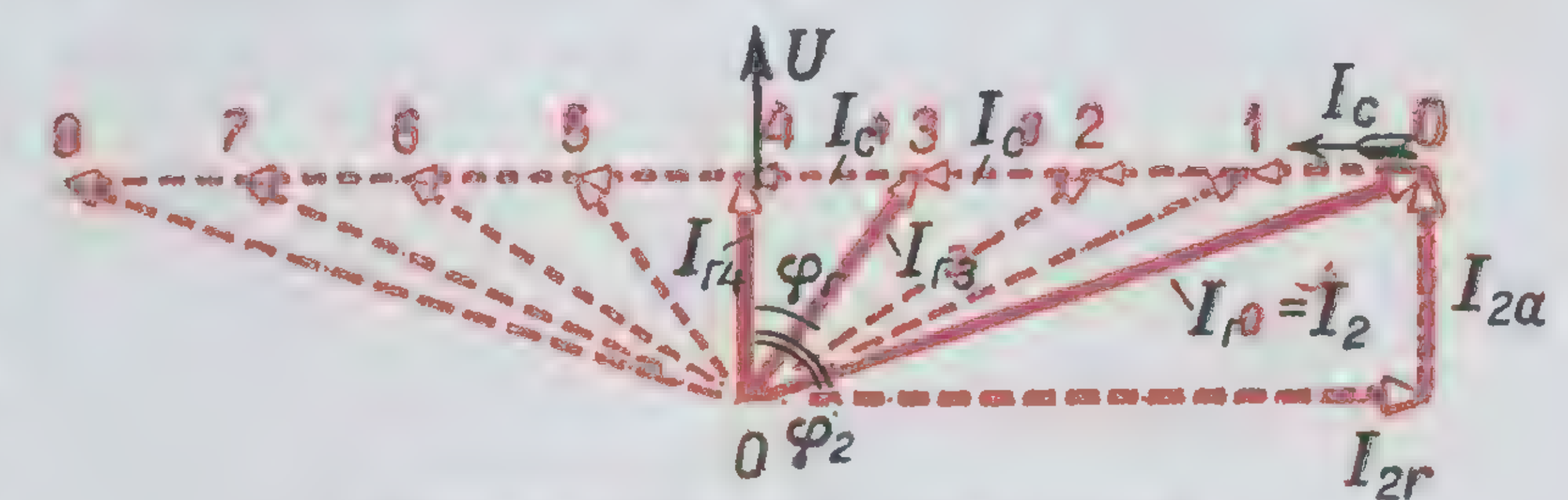


Параллельное соединение двигателя и конденсатора переменной емкости

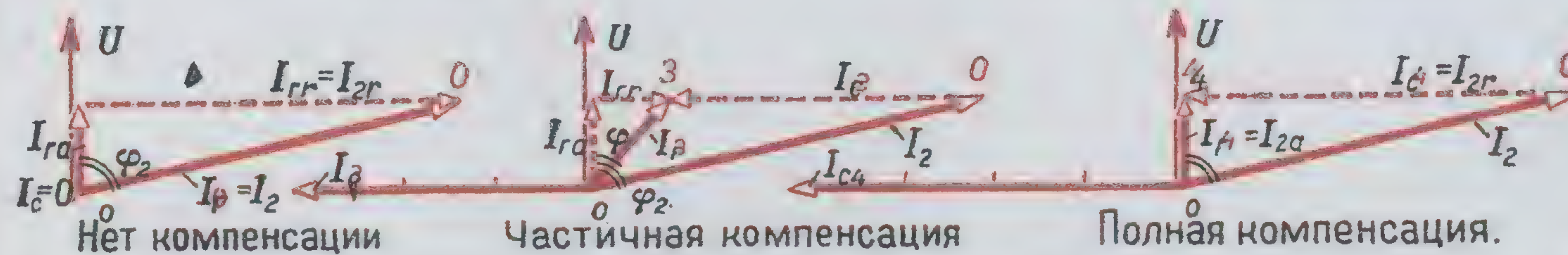


Нет компенсации

Полная компенсация



Изменение тока генератора при возрастании емкостного тока

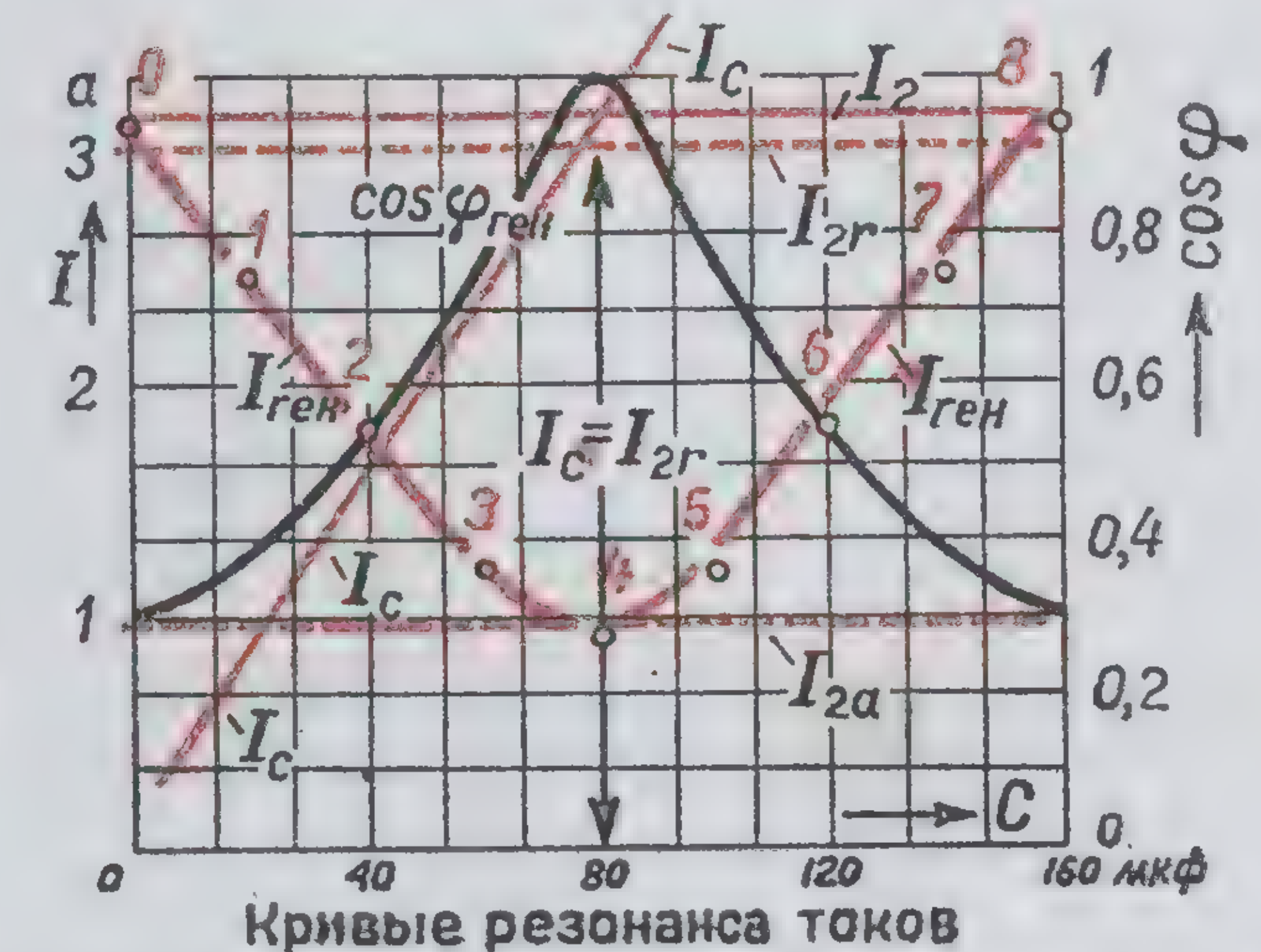


$$I_c = U\omega C = I_{2a}(tg\varphi_2 - tg\varphi_r)$$

Условие частичной компенсации

$$\cos\varphi_{ген} = 1; I_c = U\omega C = I_{2r}$$

Условие полной компенсации



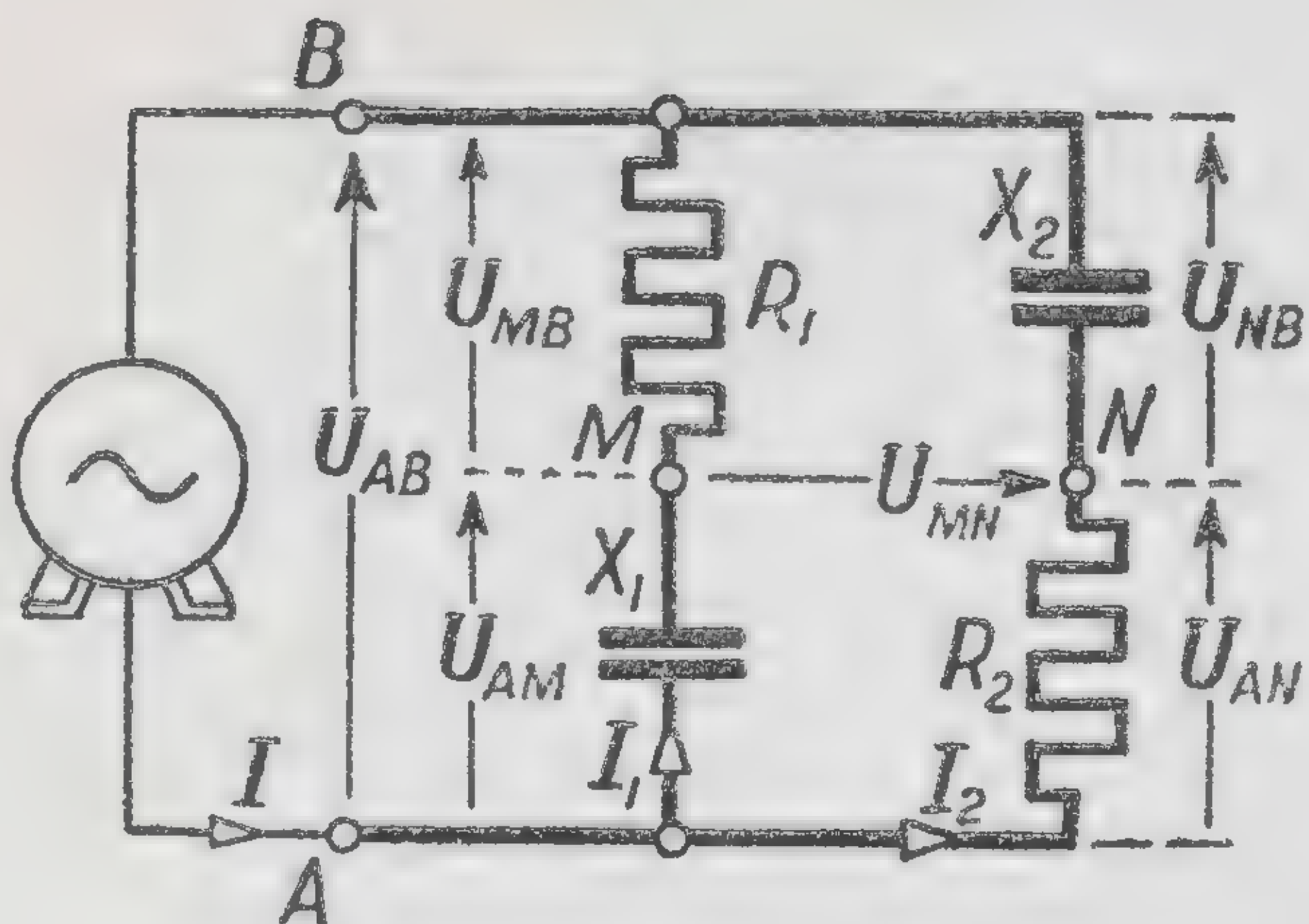
Кривые резонанса токов

Компенсация сдвига фаз достигается подключением статических конденсаторов или синхронных компенсаторов (см. часть II)

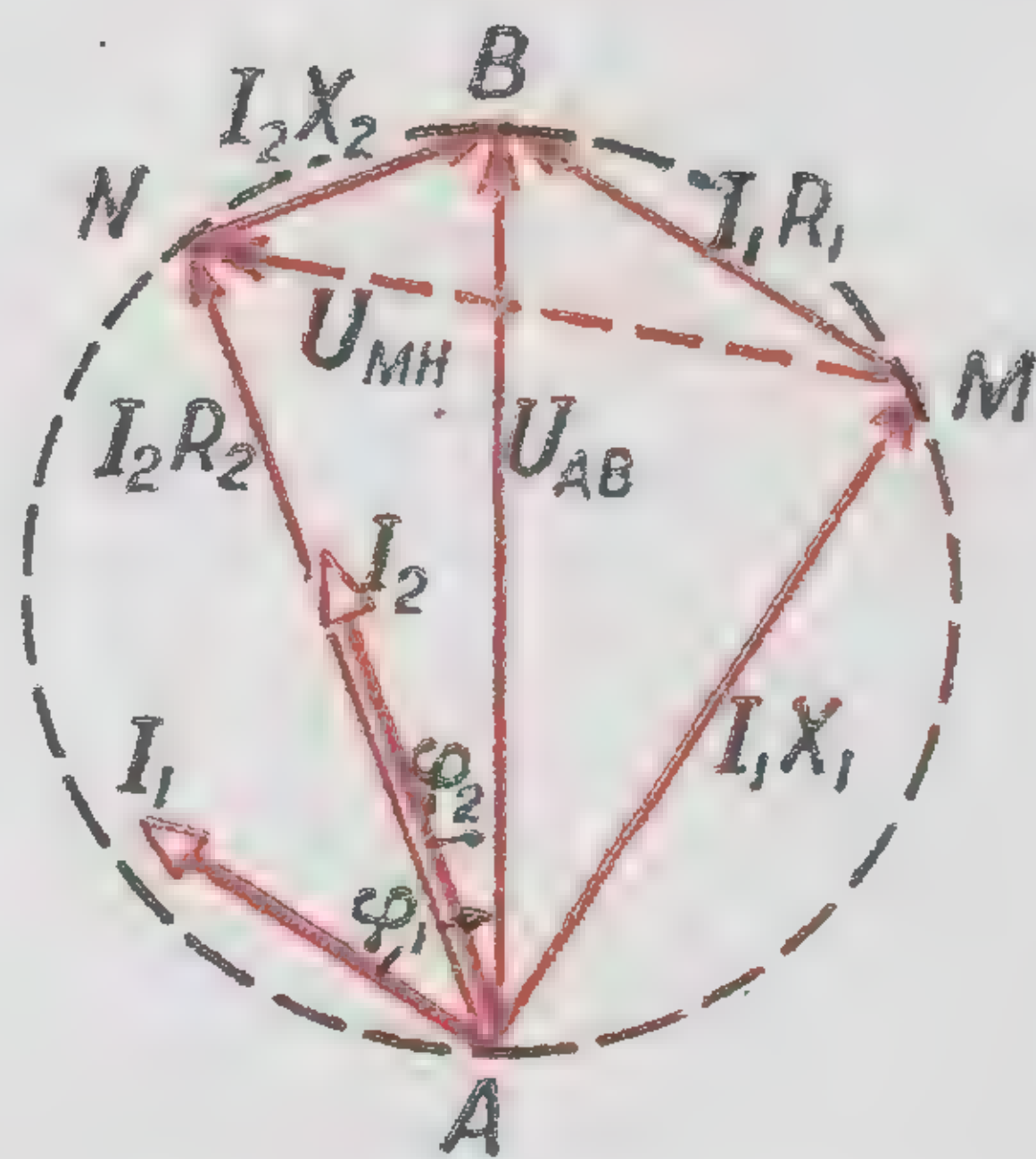
Э.И.Расовский



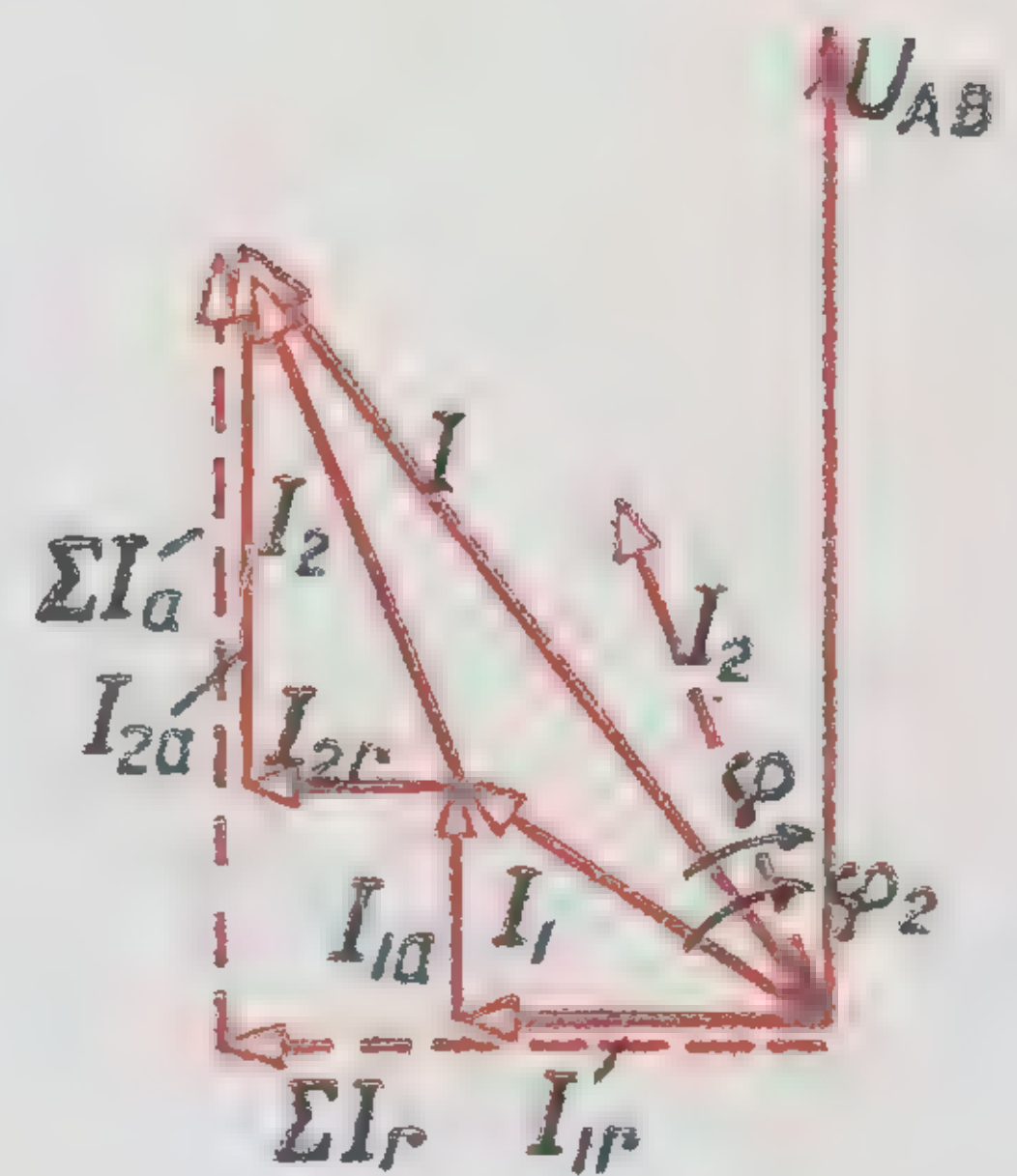
# ПАРАЛЛЕЛЬНЫЕ ЦЕПИ ПЕРЕМЕННОГО ТОКА



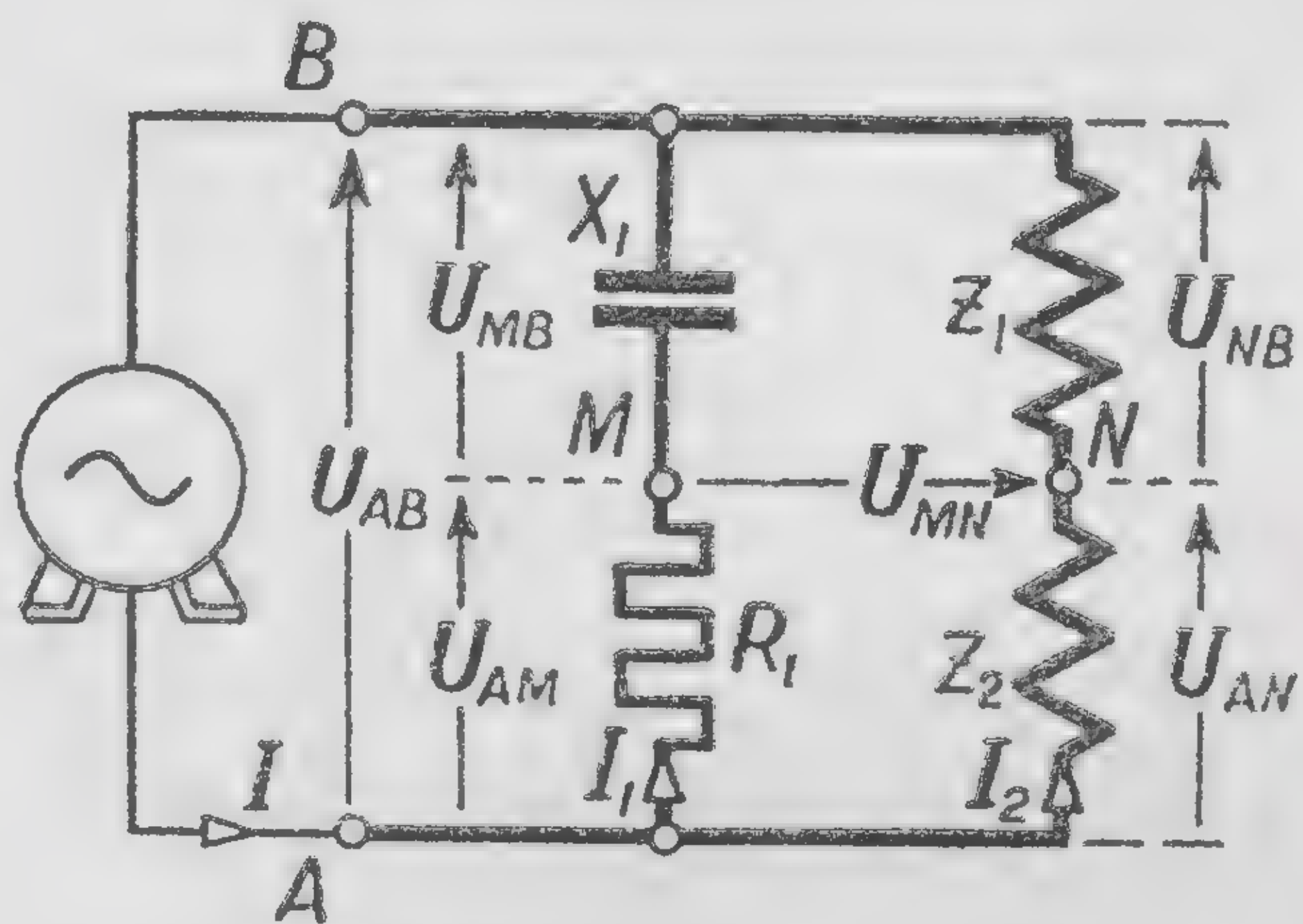
Параллельное соединение двух цепей



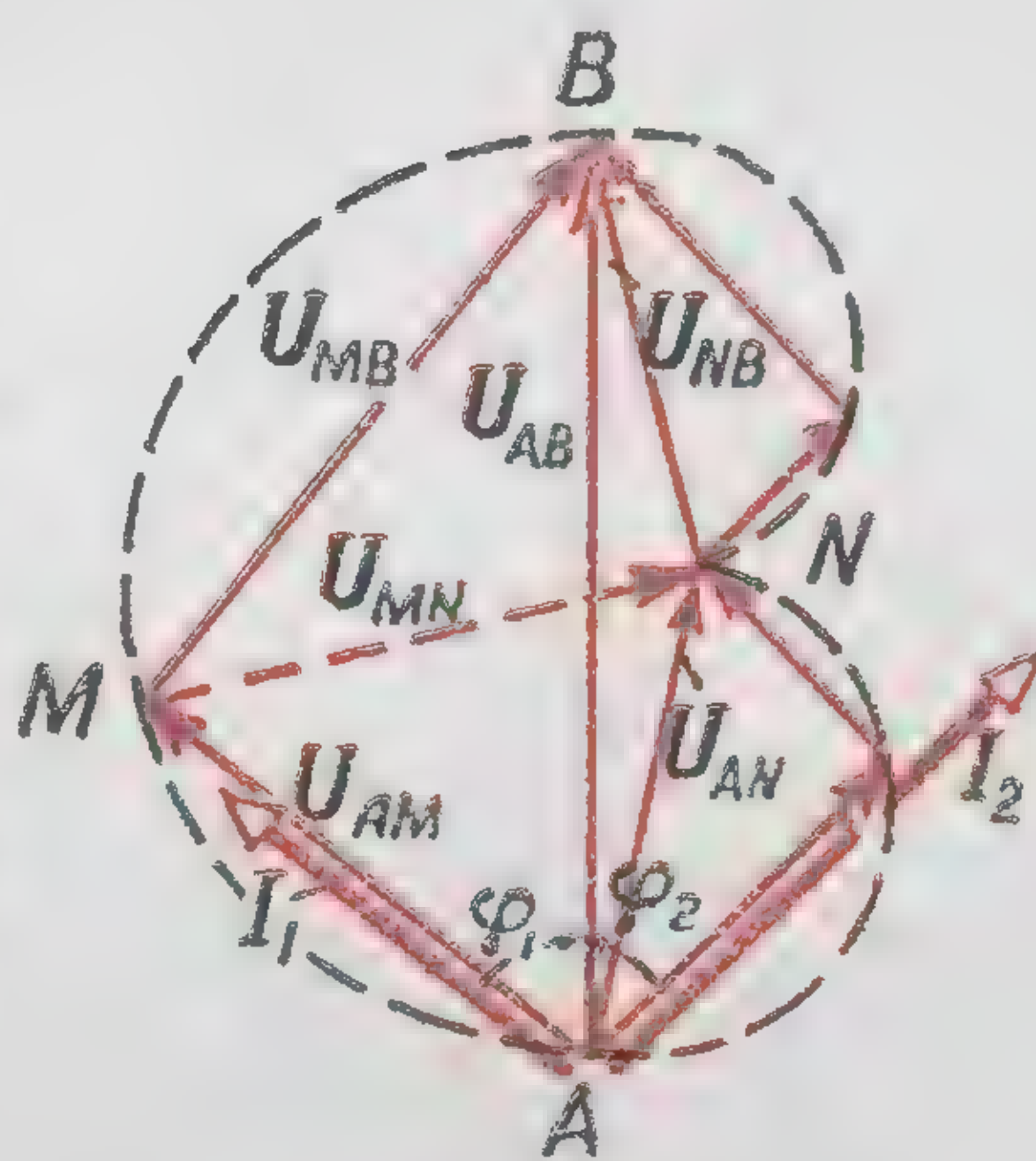
Топографическая векторная диаграмма



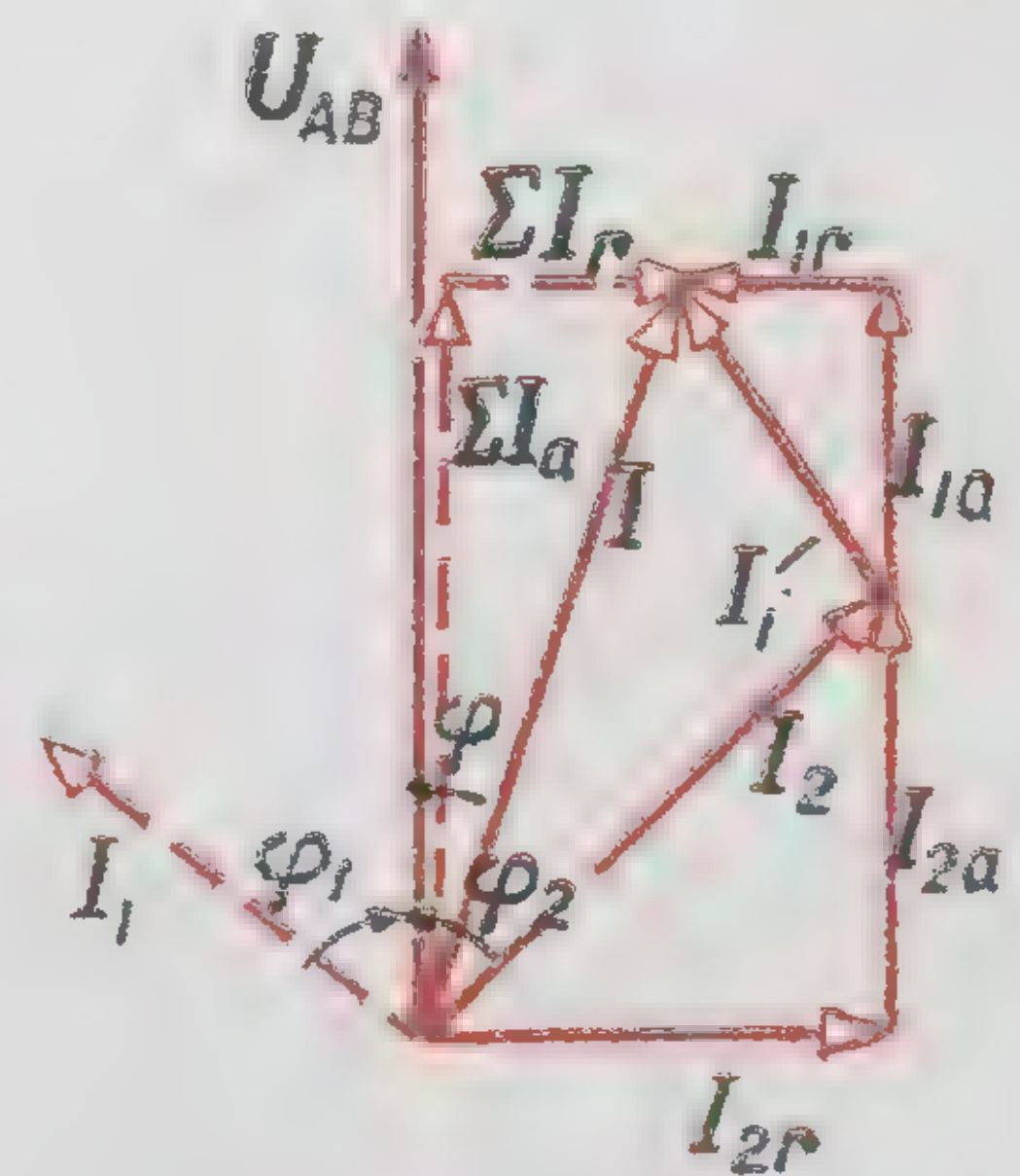
Геометрическое сложение токов



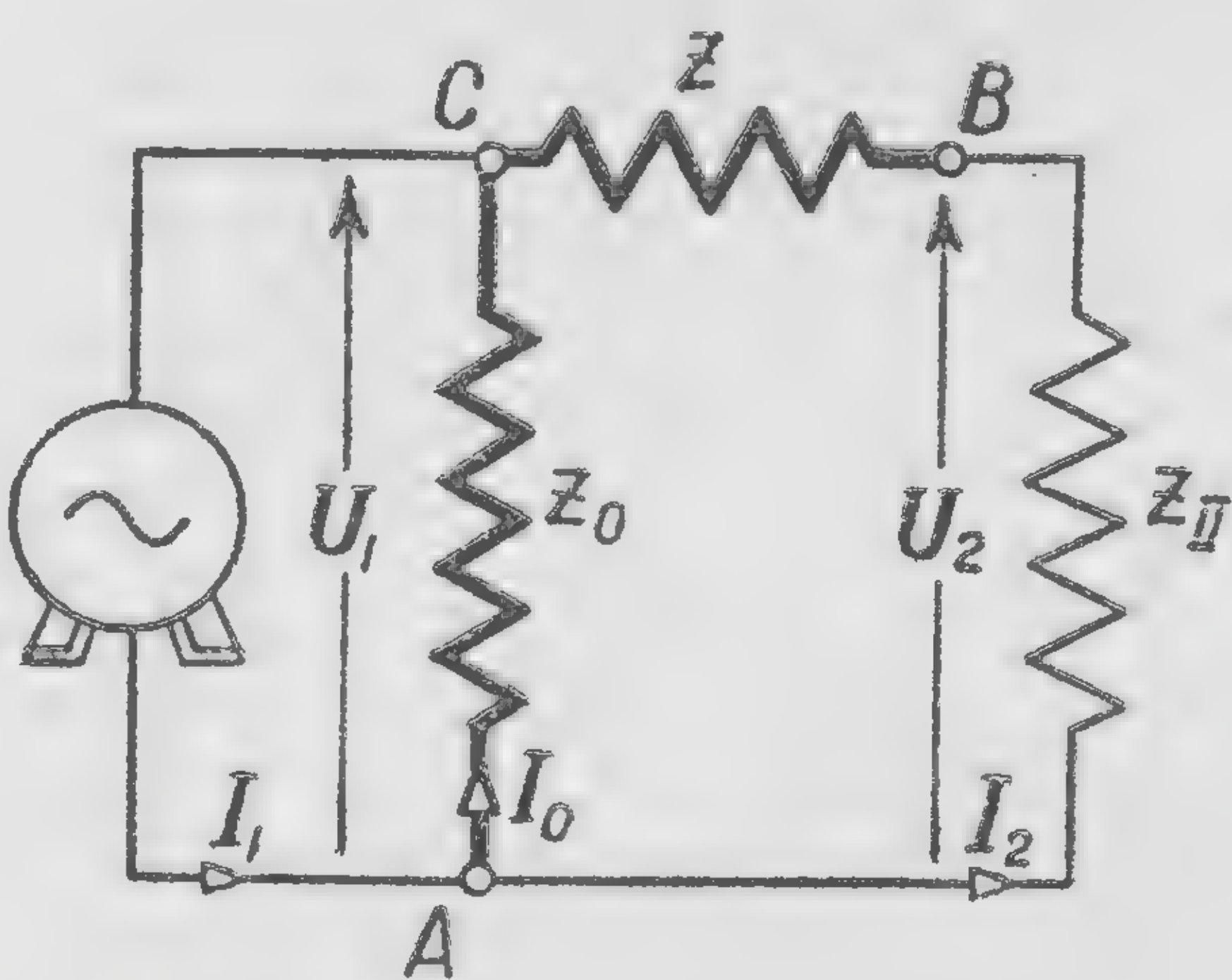
Параллельные ветви с емкостью и индуктивностью



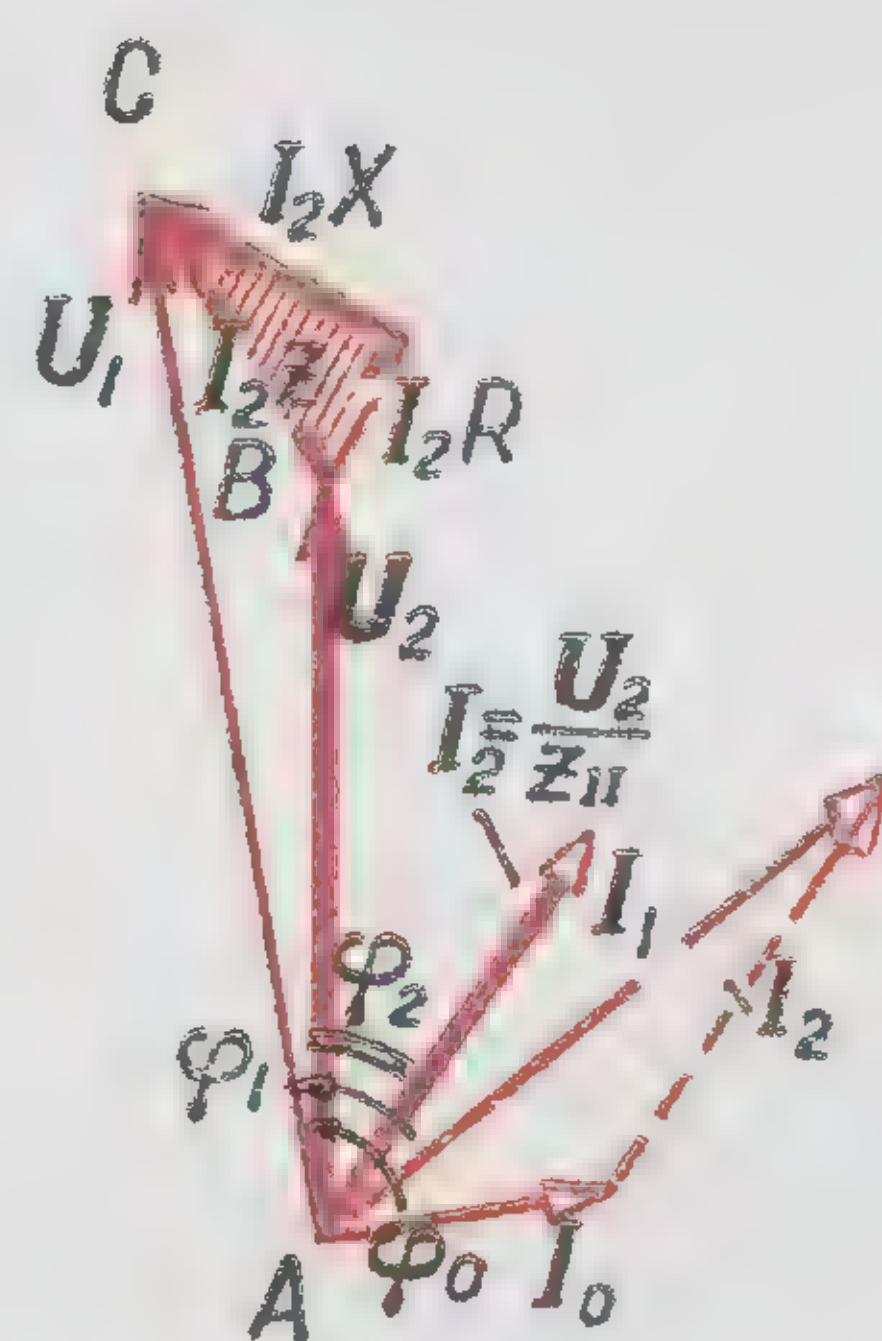
Топографическая векторная диаграмма



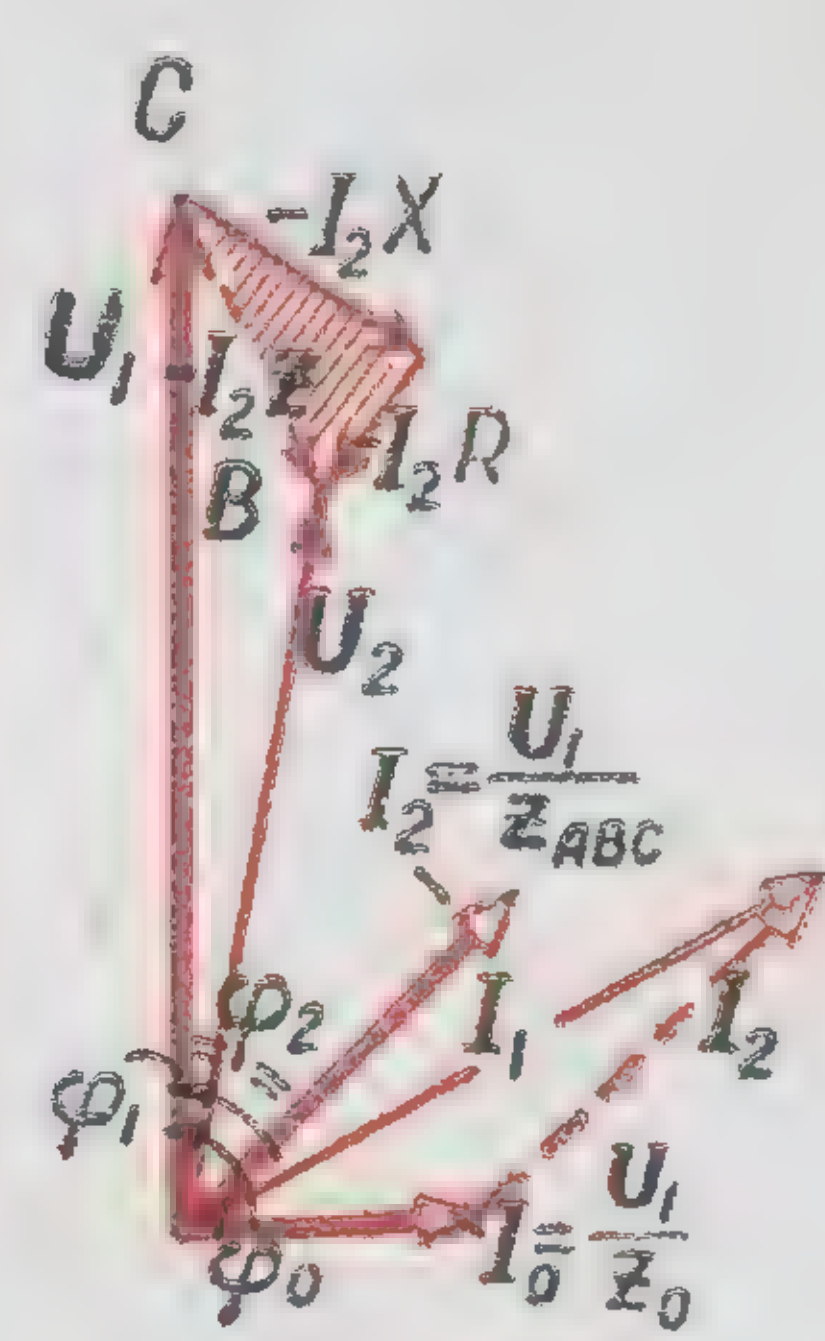
Геометрическое сложение токов



Г-образная схема



а Векторная диаграмма при заданном  $U_2$



б Векторная диаграмма при заданном  $U_1$

$$\dot{I} = \dot{I}_1 + \dot{I}_2 + \dot{I}_3 + \dots$$

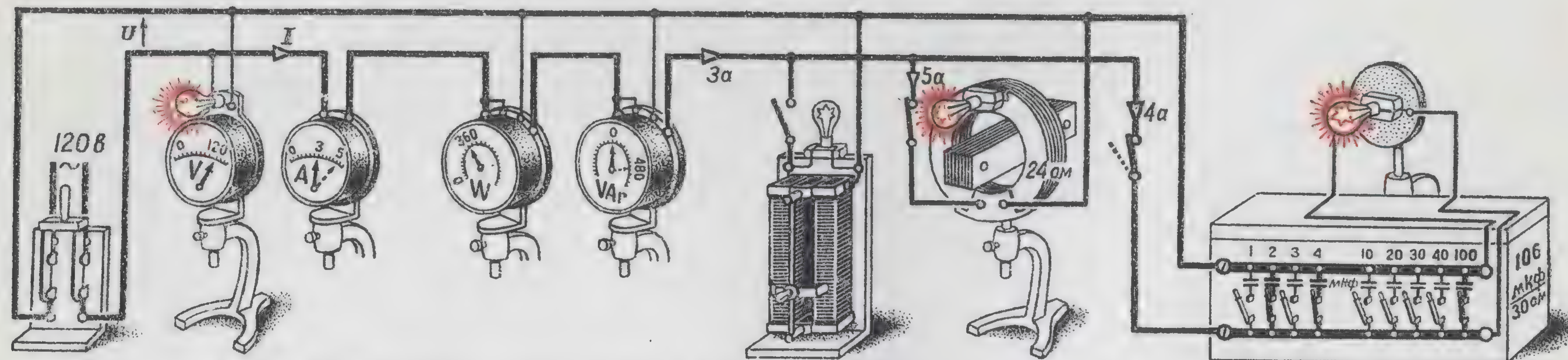
$$I = \sqrt{(\Sigma I_a)^2 + (\Sigma I_r)^2}$$

$$\cos \varphi = \frac{\Sigma I_a}{I}$$

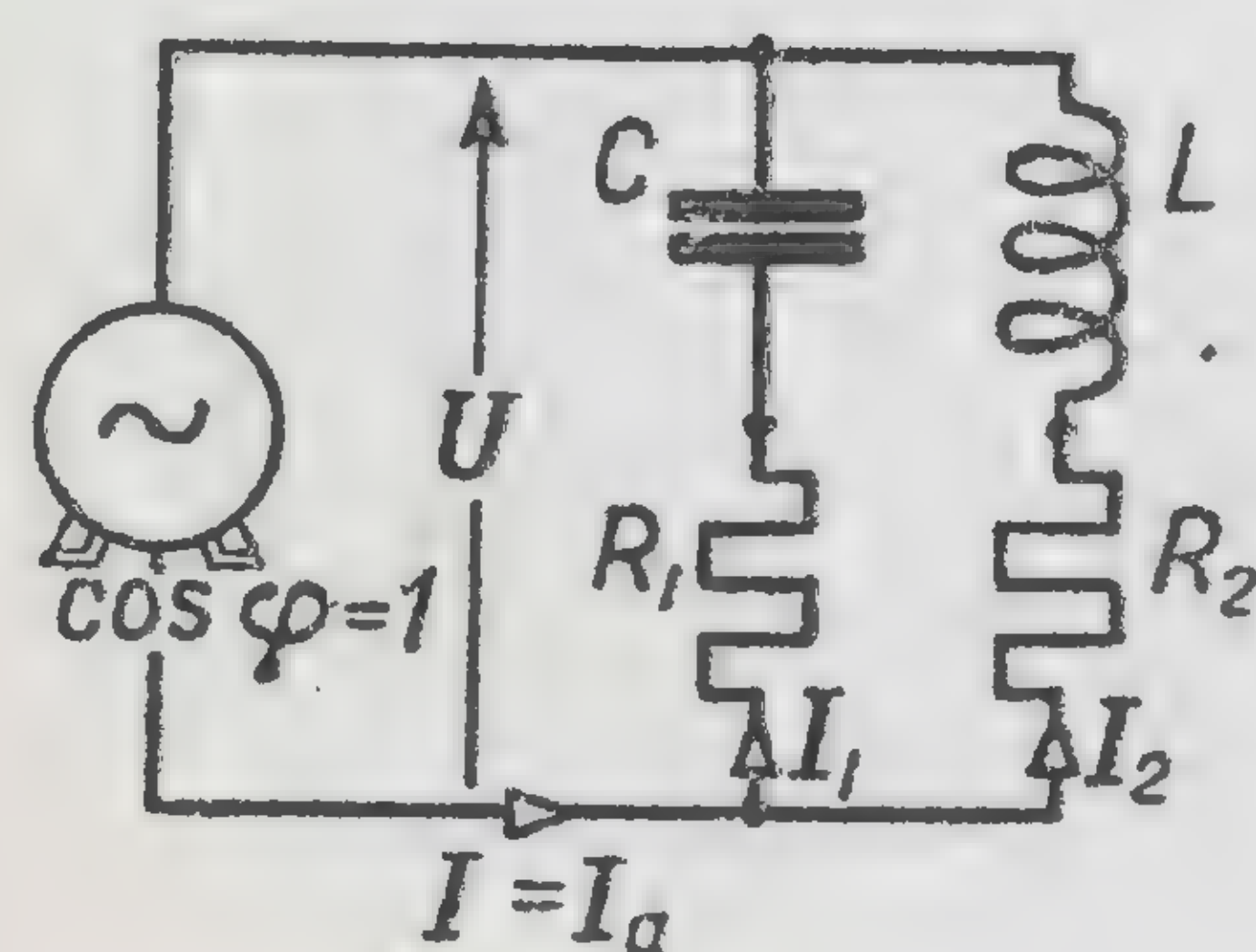
Токи параллельных ветвей складываются ГЕОМЕТРИЧЕСКИ



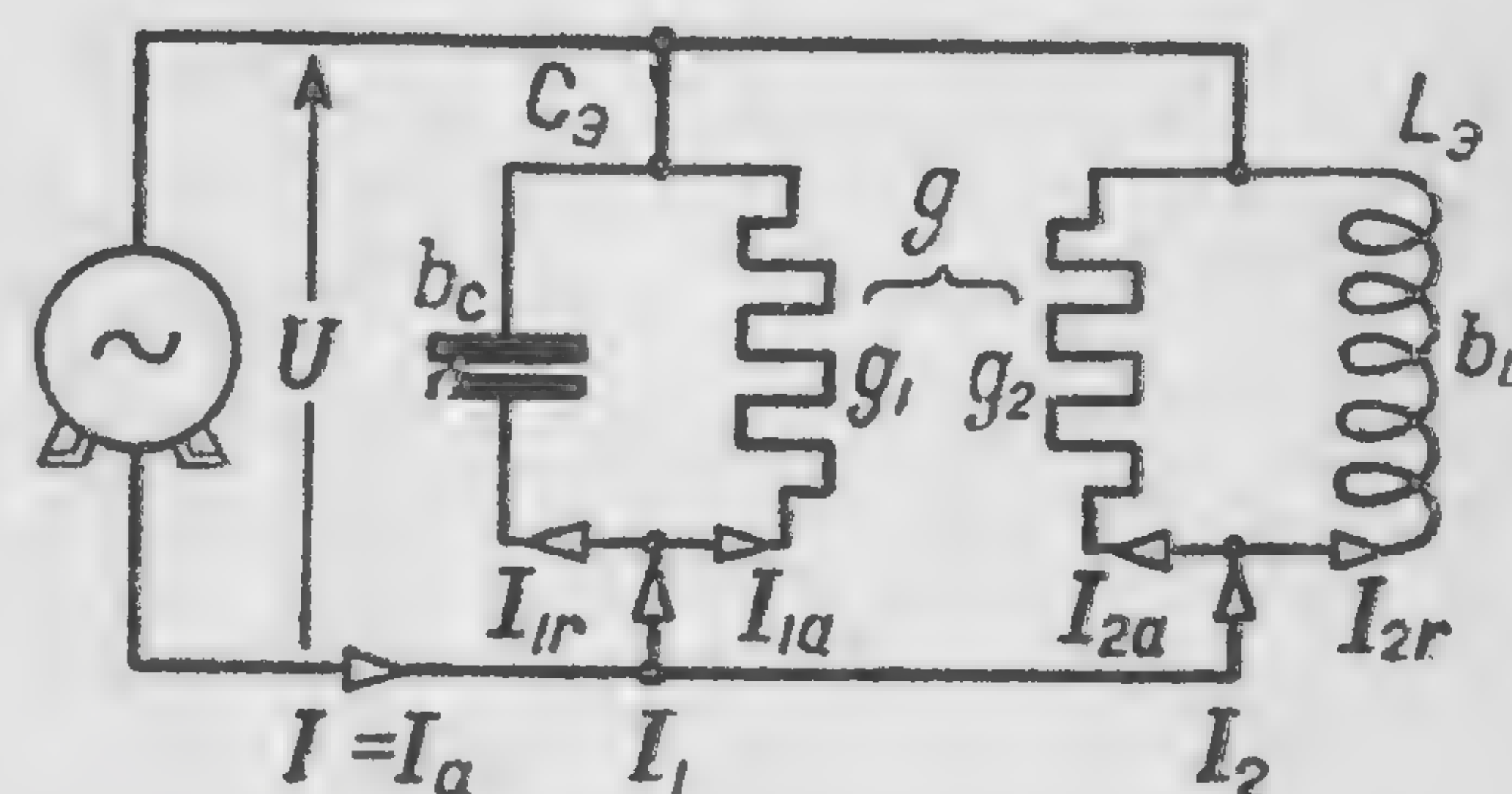
# РЕЗОНАНС ТОКОВ



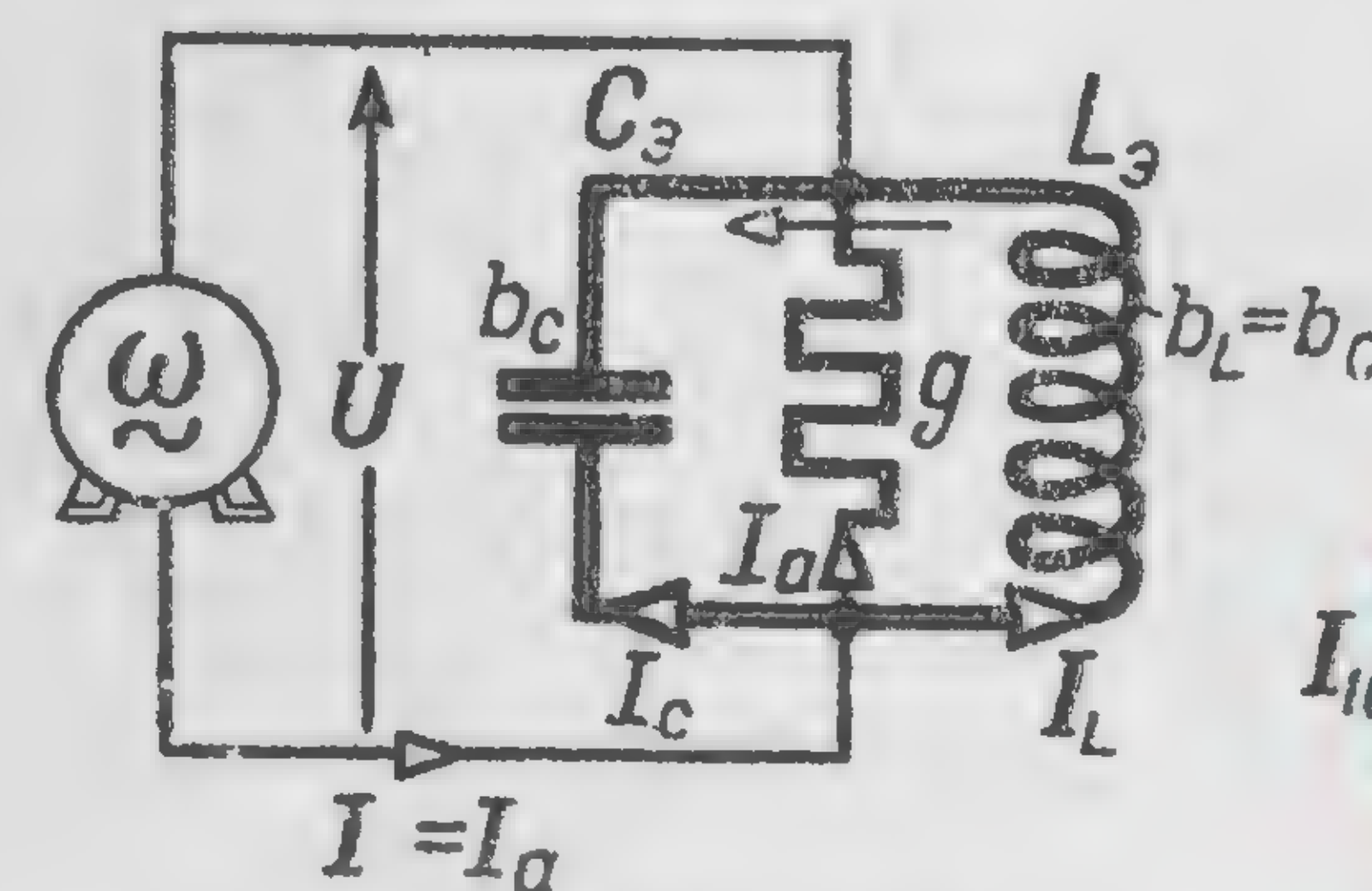
Параллельная цепь из реостата, катушки и конденсатора



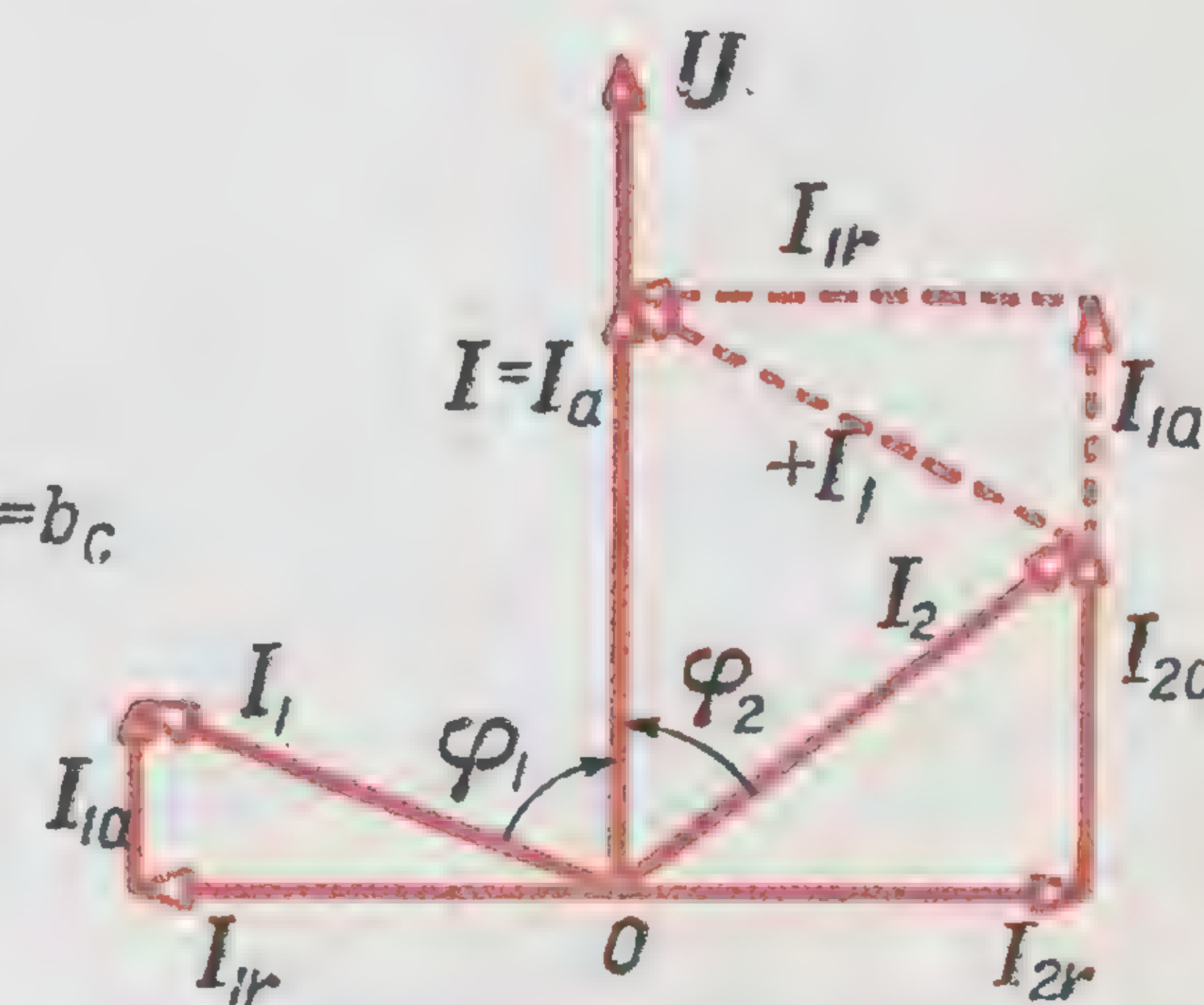
Исходная схема



Эквивалентная схема



Эквивалентный колебательный контур



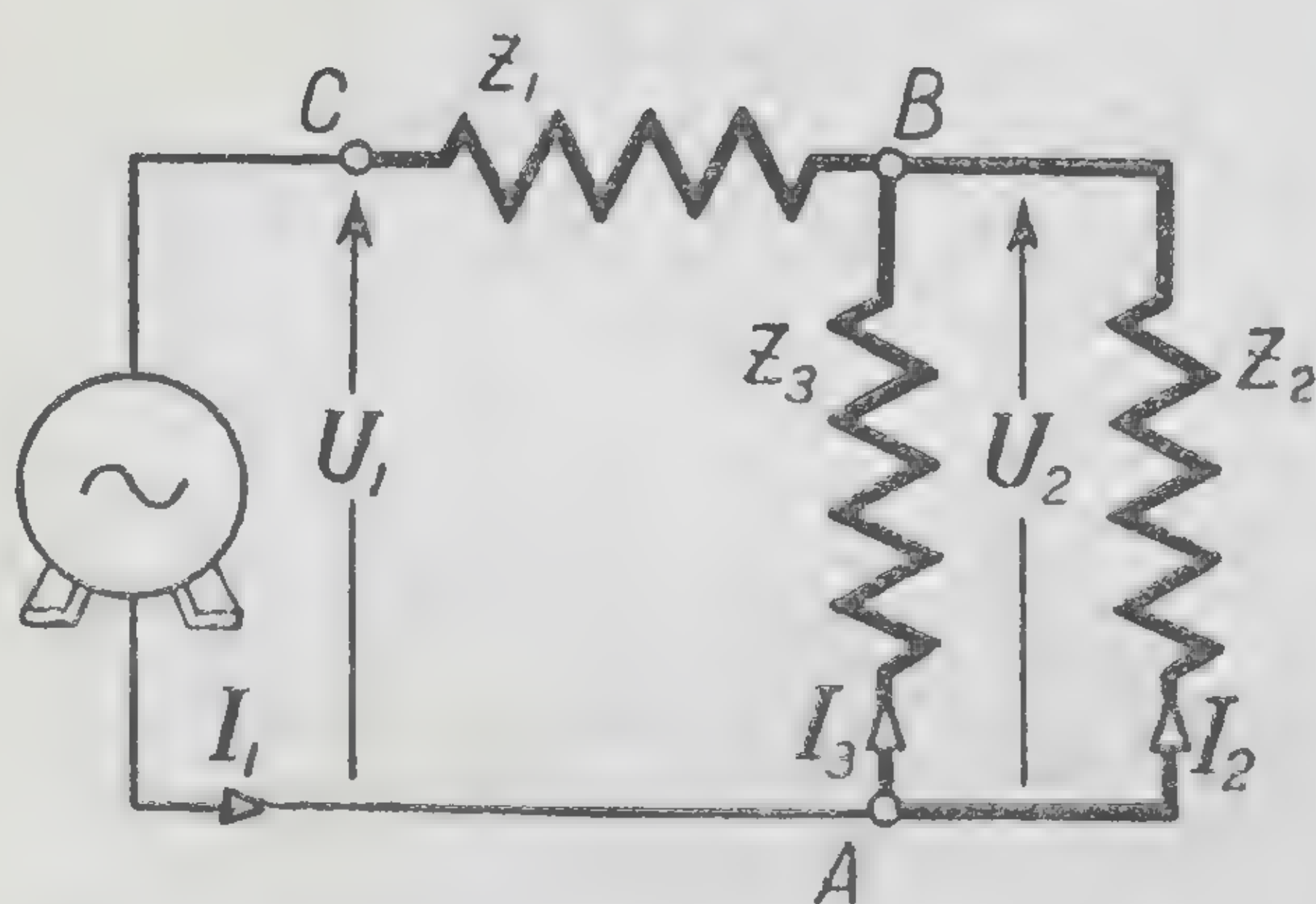
$$\begin{aligned} \dot{I}_{1r} &= -\dot{I}_{2r}; b_L = b_C \\ \omega &= \frac{1}{\sqrt{L_3 C_3}} = \omega_{03} \end{aligned}$$

Условие резонанса токов

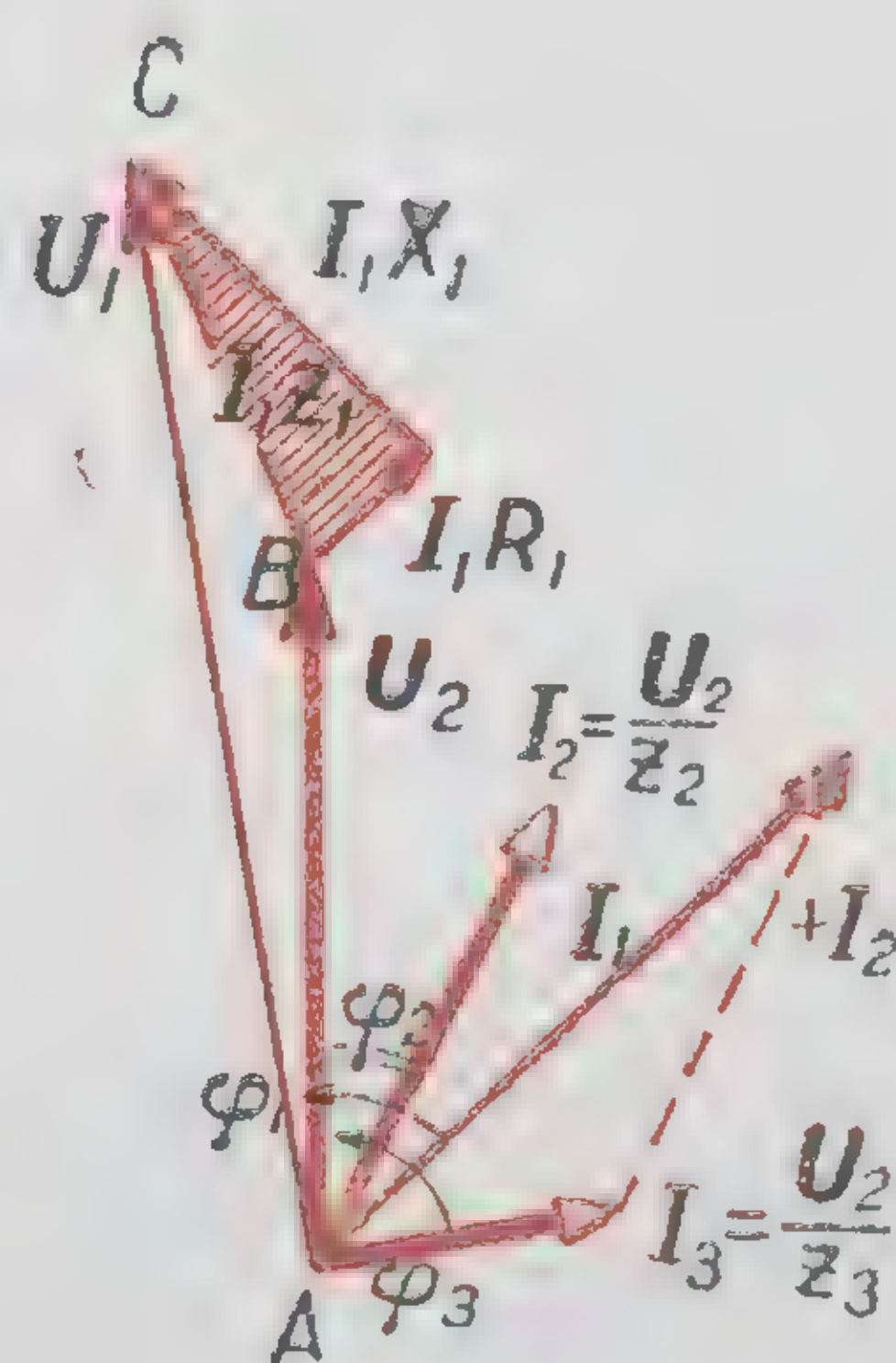
Параллельное соединение двух ветвей при резонансе токов



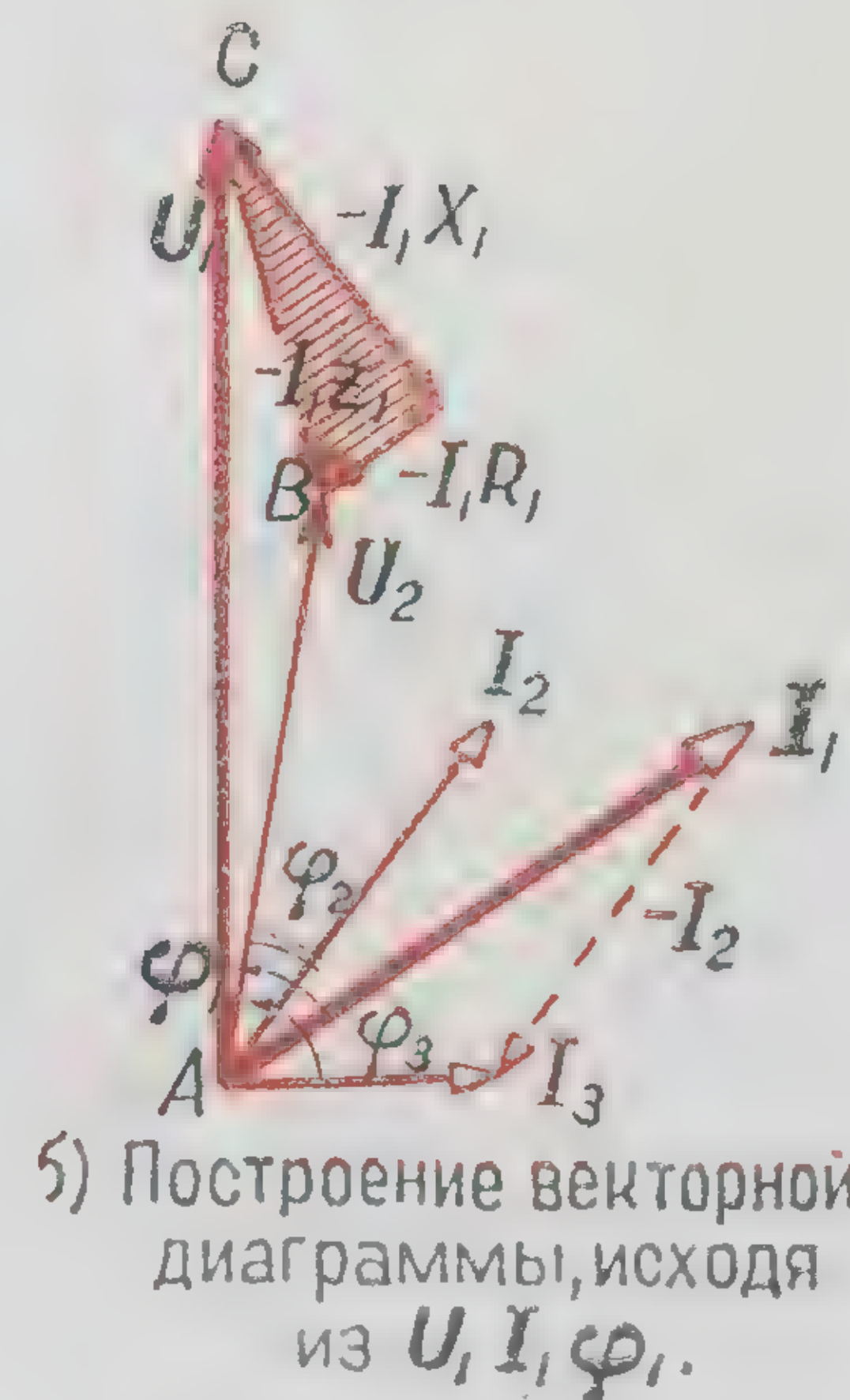
# ПОСЛЕДОВАТЕЛЬНО-ПАРАЛЛЕЛЬНЫЕ ЦЕПИ ПЕРЕМЕННОГО ТОКА



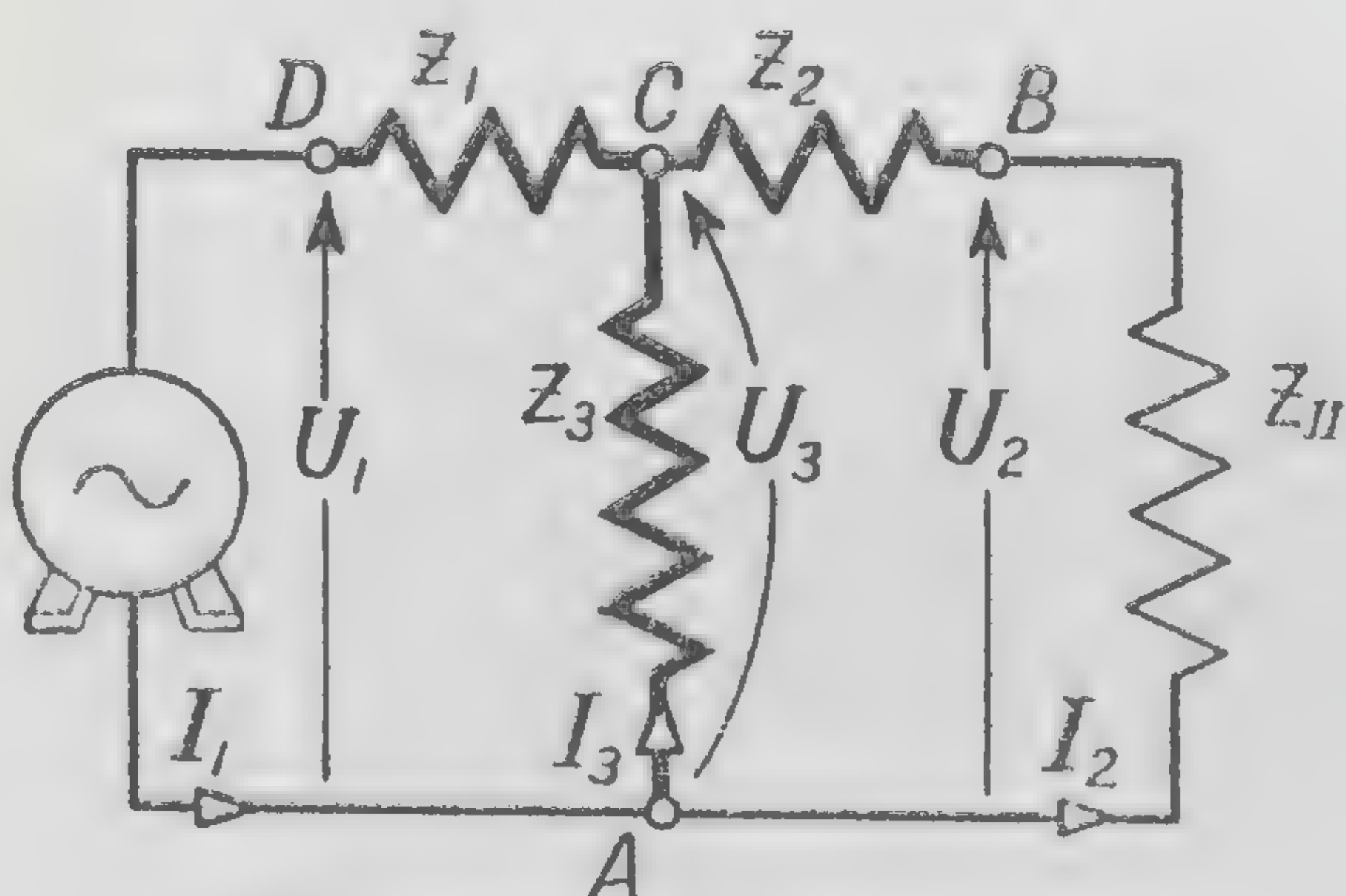
Последовательно-параллельное соединение трех участков.



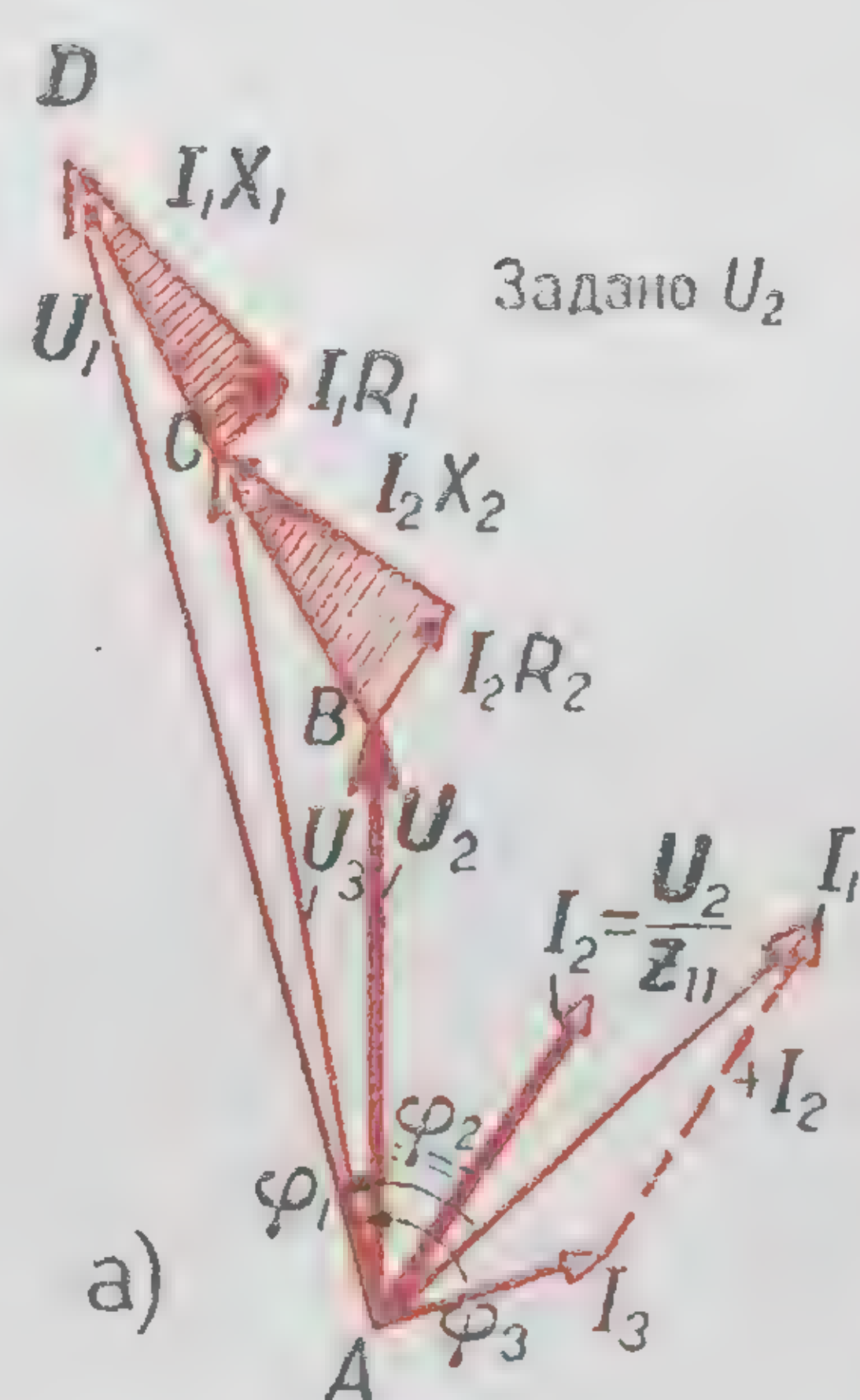
а) Векторная диаграмма при заданном  $U_2$



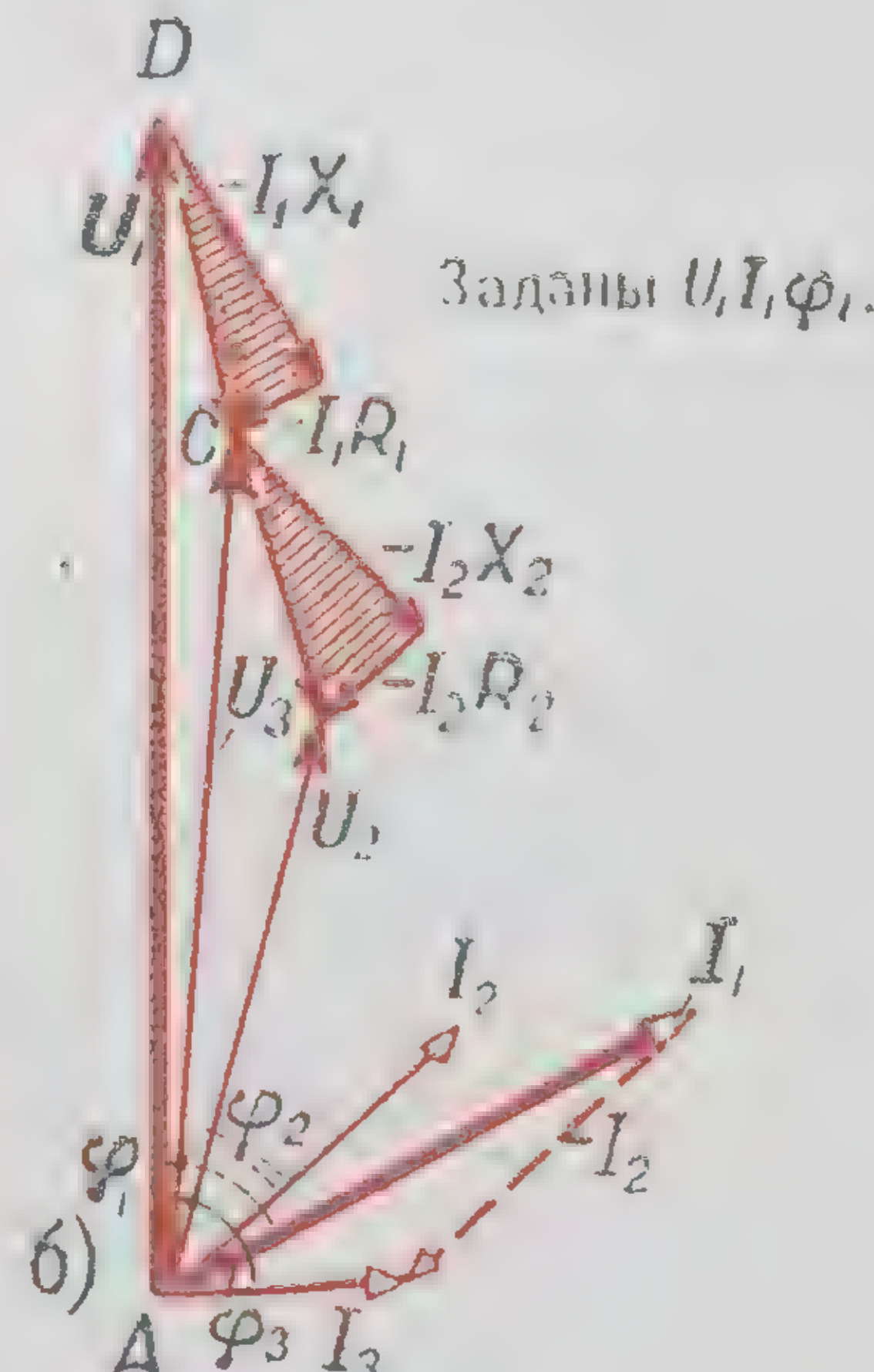
б) Построение векторной диаграммы, исходя из  $U_1, I_1, \varphi_1$ .



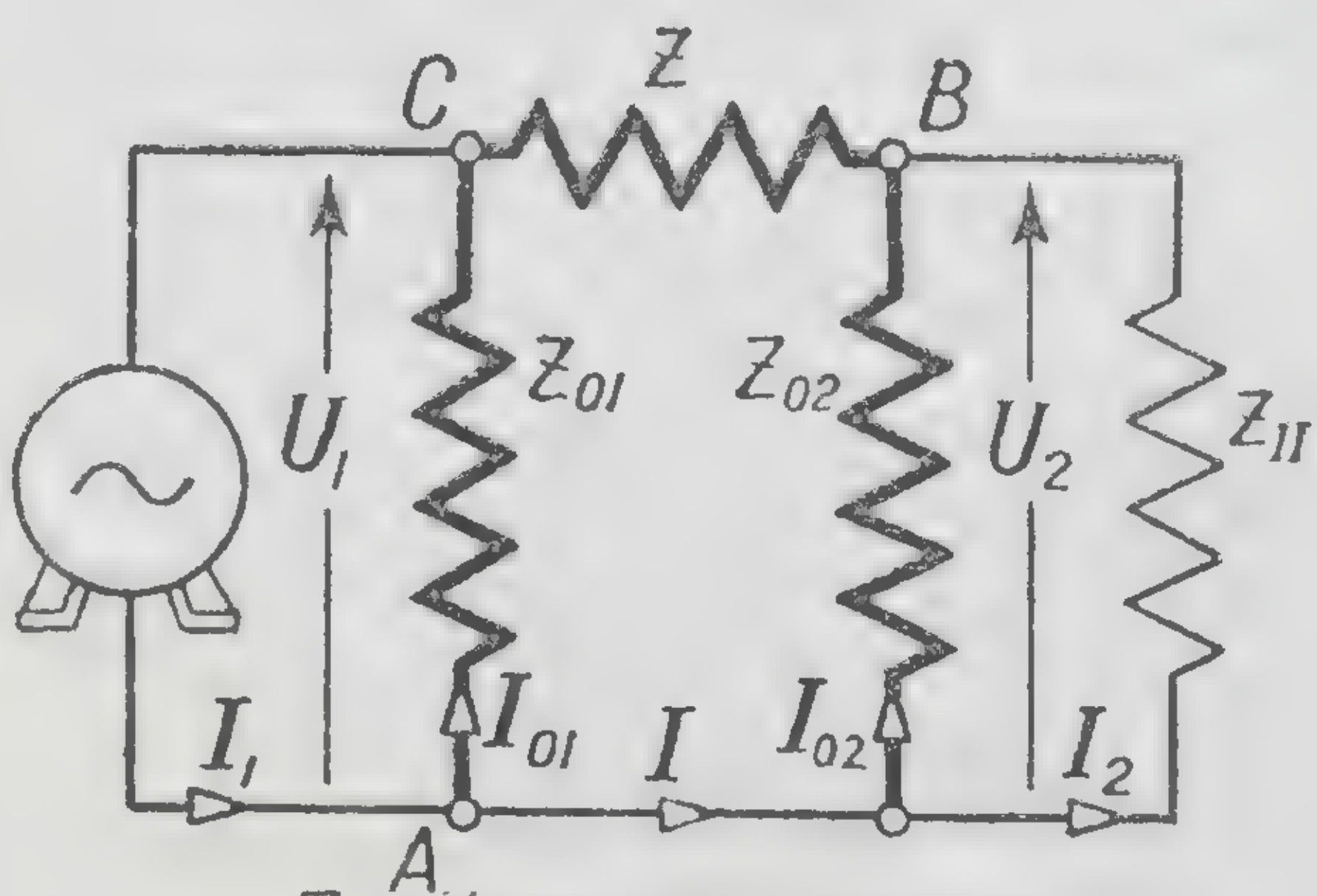
Т-образная схема



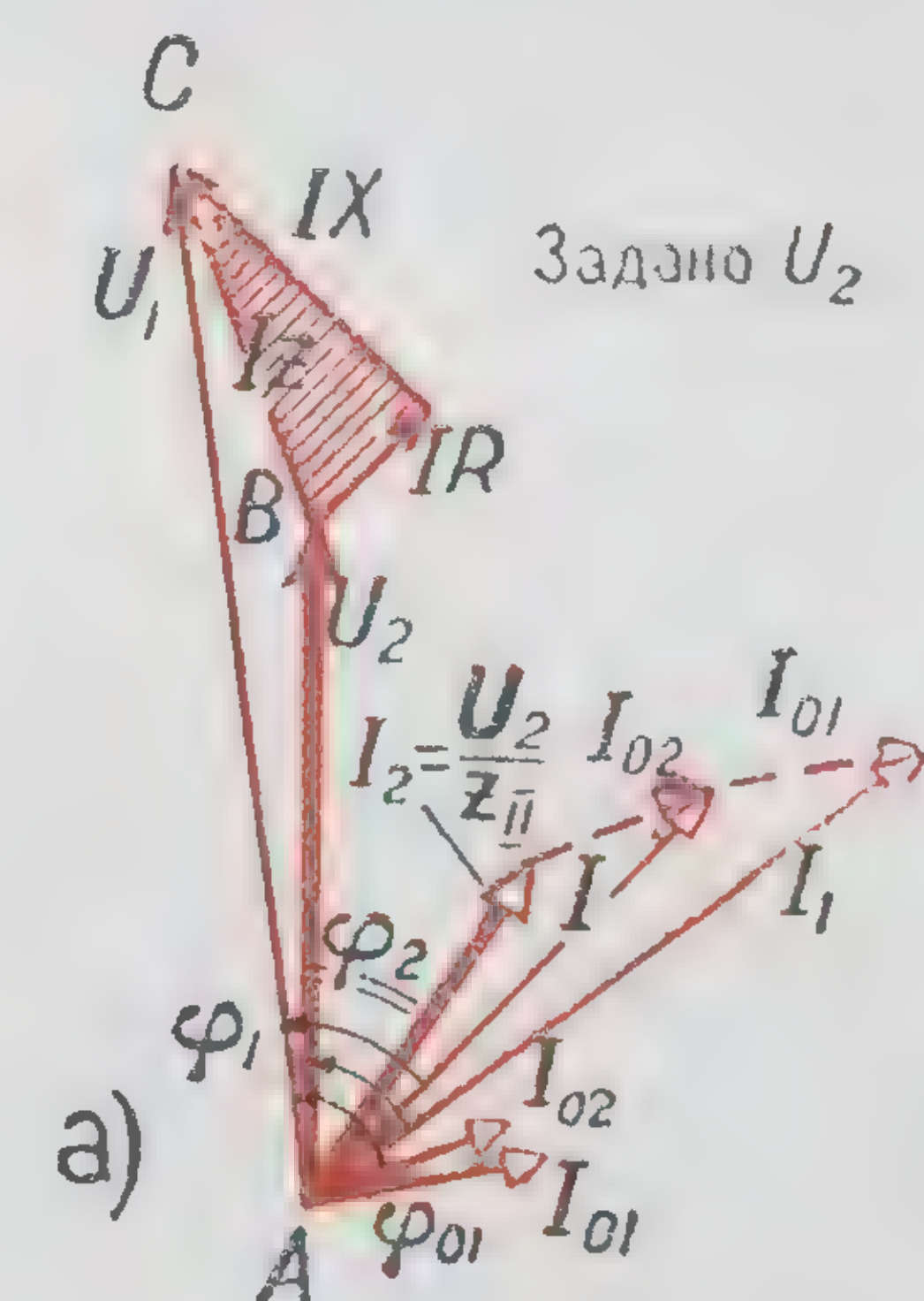
а)



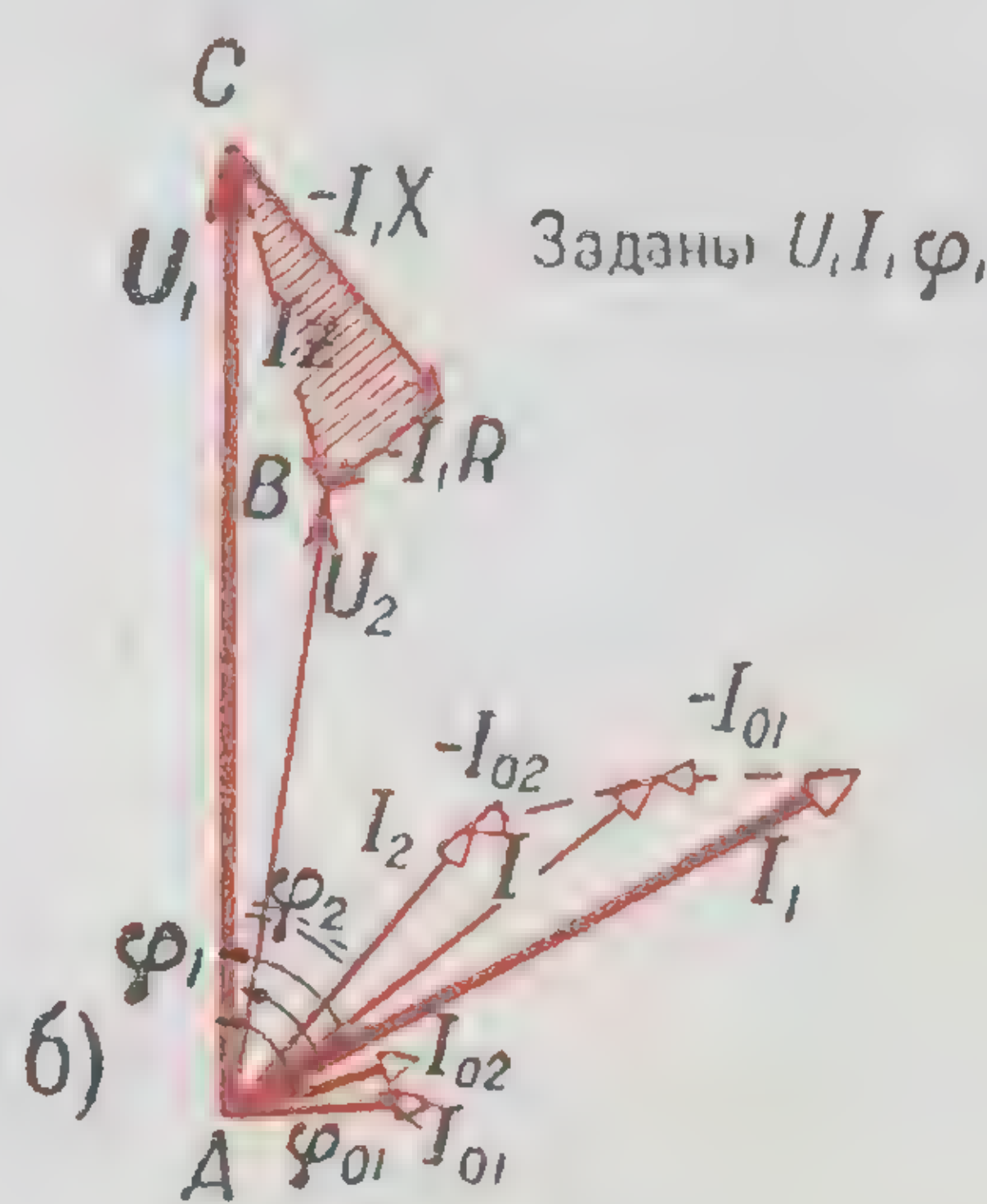
б)



П-образная схема



а)

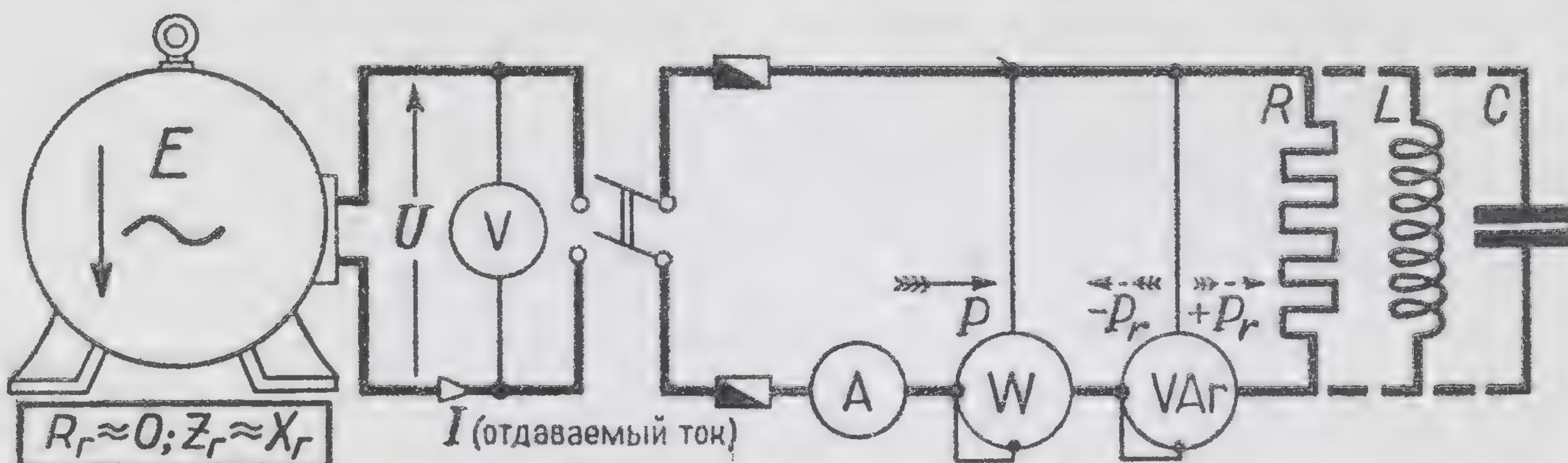


б)

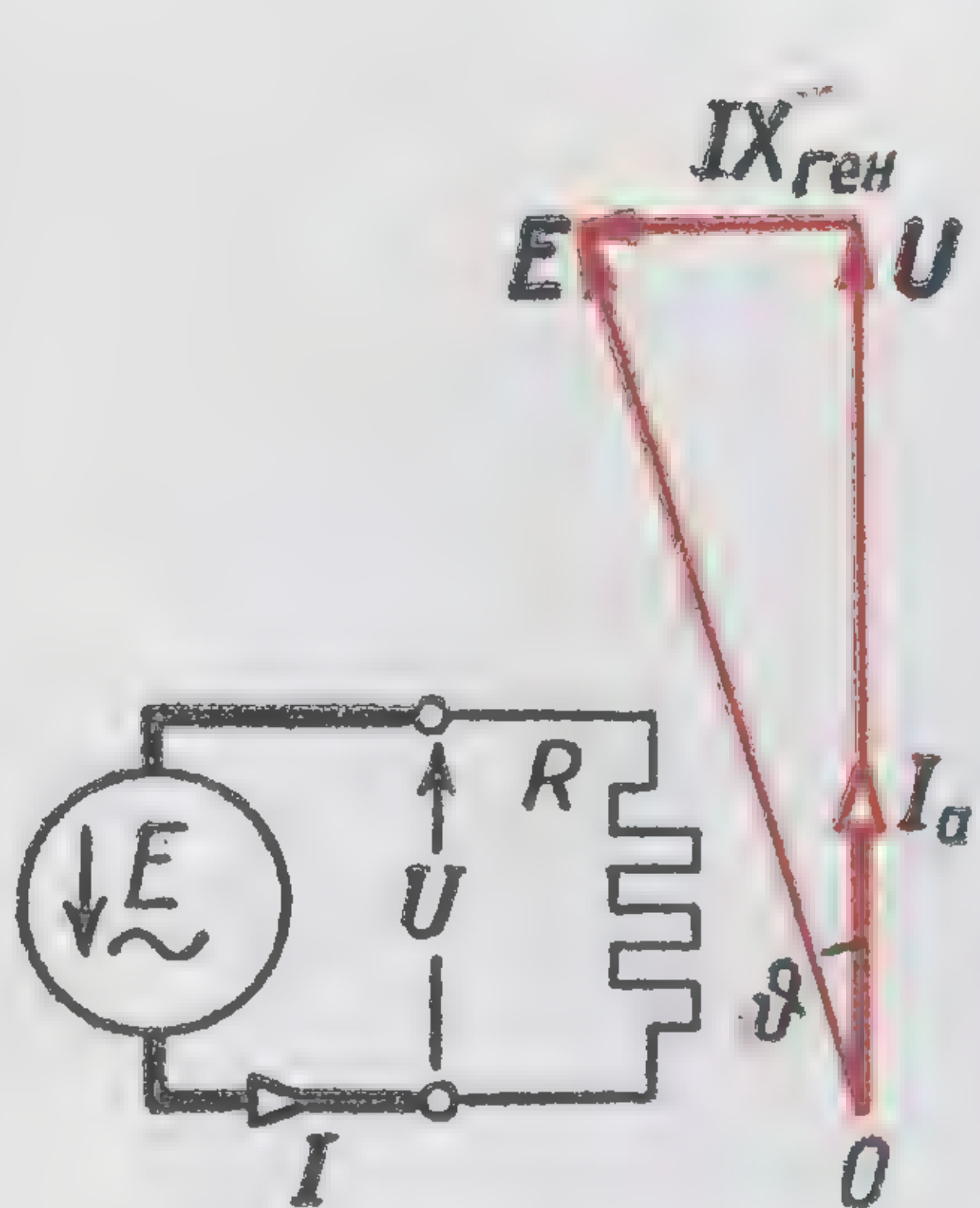
При заданном  $U_2$  токи и напряжения определяются непосредственно из векторной диаграммы.  
При известном  $U_1$  задача может быть решена методом подобия:  
полагают  $U_2 = 100\text{ В}$ ; найденные при этом условия величины  $I_2', I_1', U_1'$  пересчитывают в отношении  $\frac{U_1}{U_1'}$ .



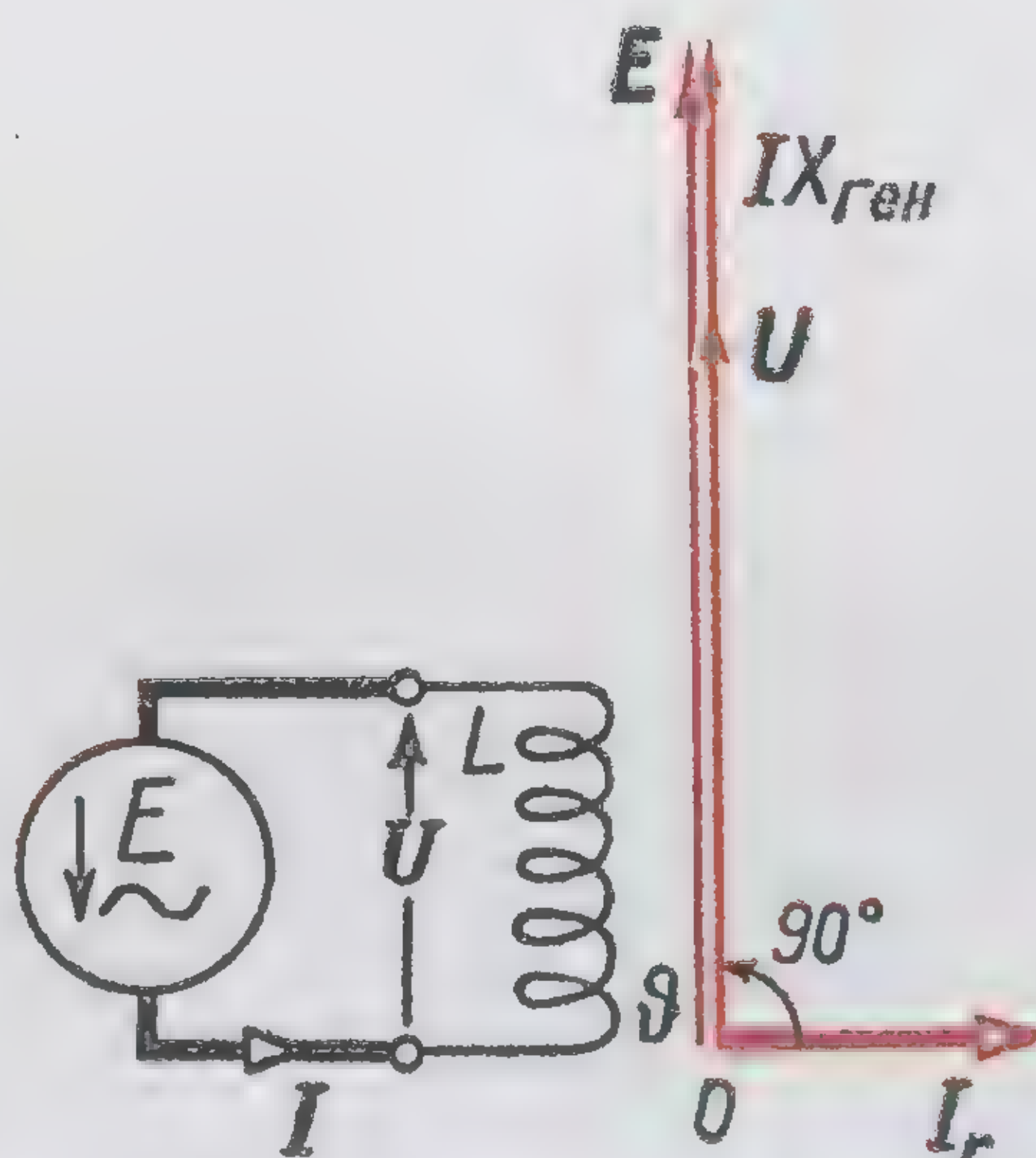
# ЭЛЕКТРОДВИЖУЩАЯ СИЛА И НАПРЯЖЕНИЕ ГЕНЕРАТОРА ПЕРЕМЕННОГО ТОКА.



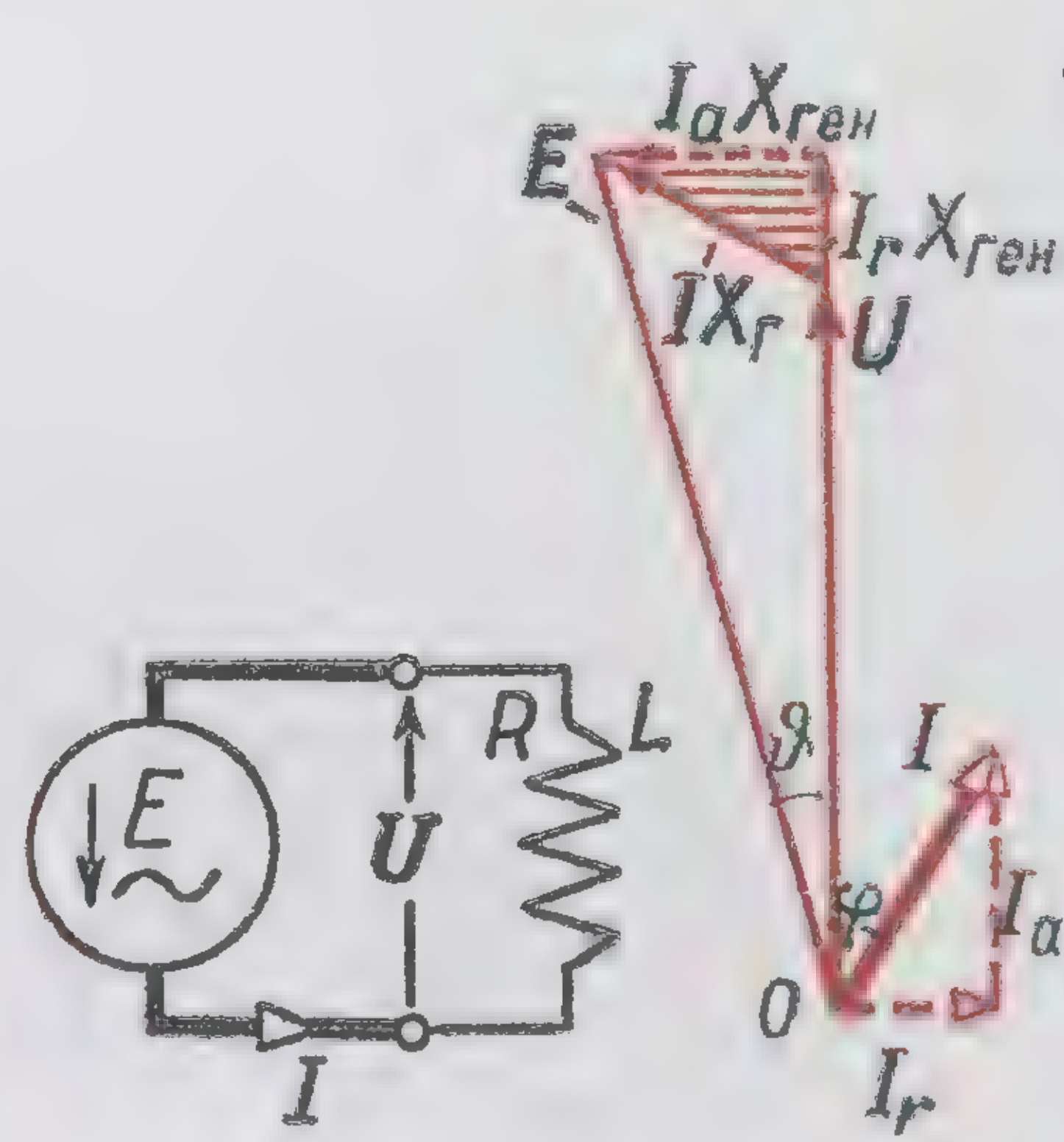
Электрический генератор – источник активной и реактивной мощности  
(„источник“ активного и реактивного тока)



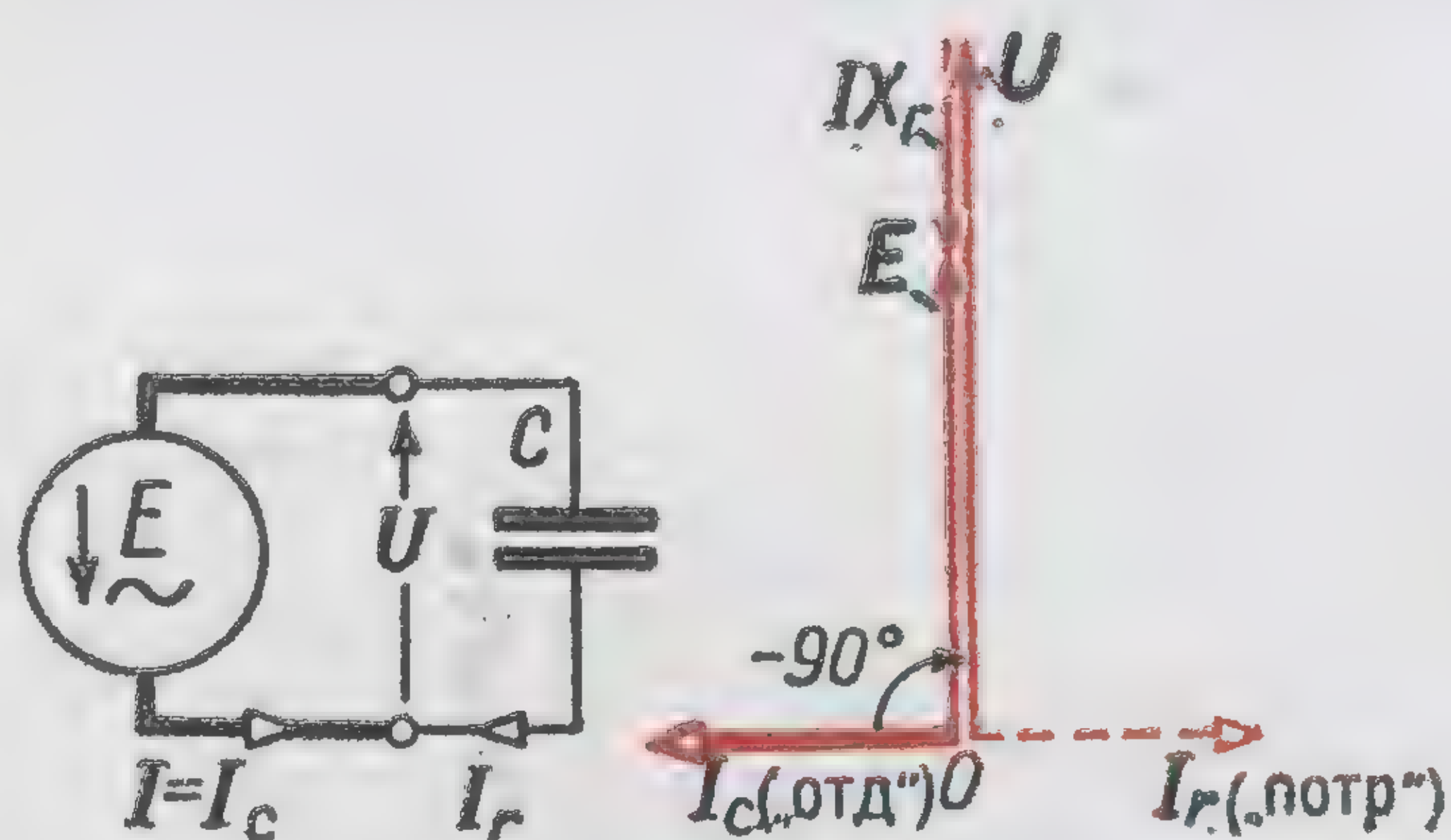
Генератор отдаёт активную мощность („отдаёт“ активный ток)



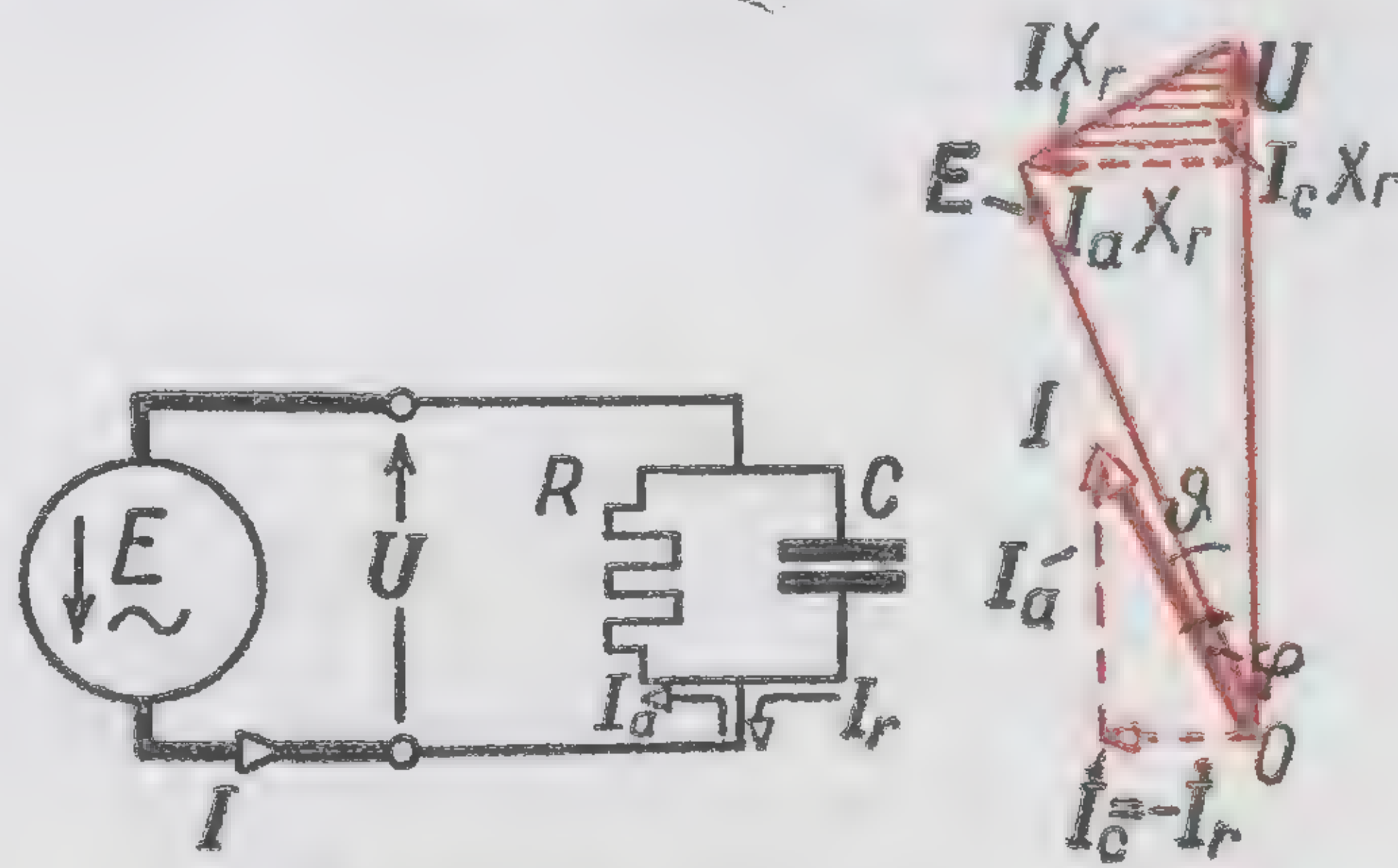
Генератор отдаёт реактивную мощность („отдаёт“ реактивный ток)



Генератор отдаёт активную и реактивную мощность („отдаёт“ и активный и реактивный ток)



Генератор „отдаёт“ ёмкостный (опережающий) ток или „потребляет“ реактивный (отстающий) ток



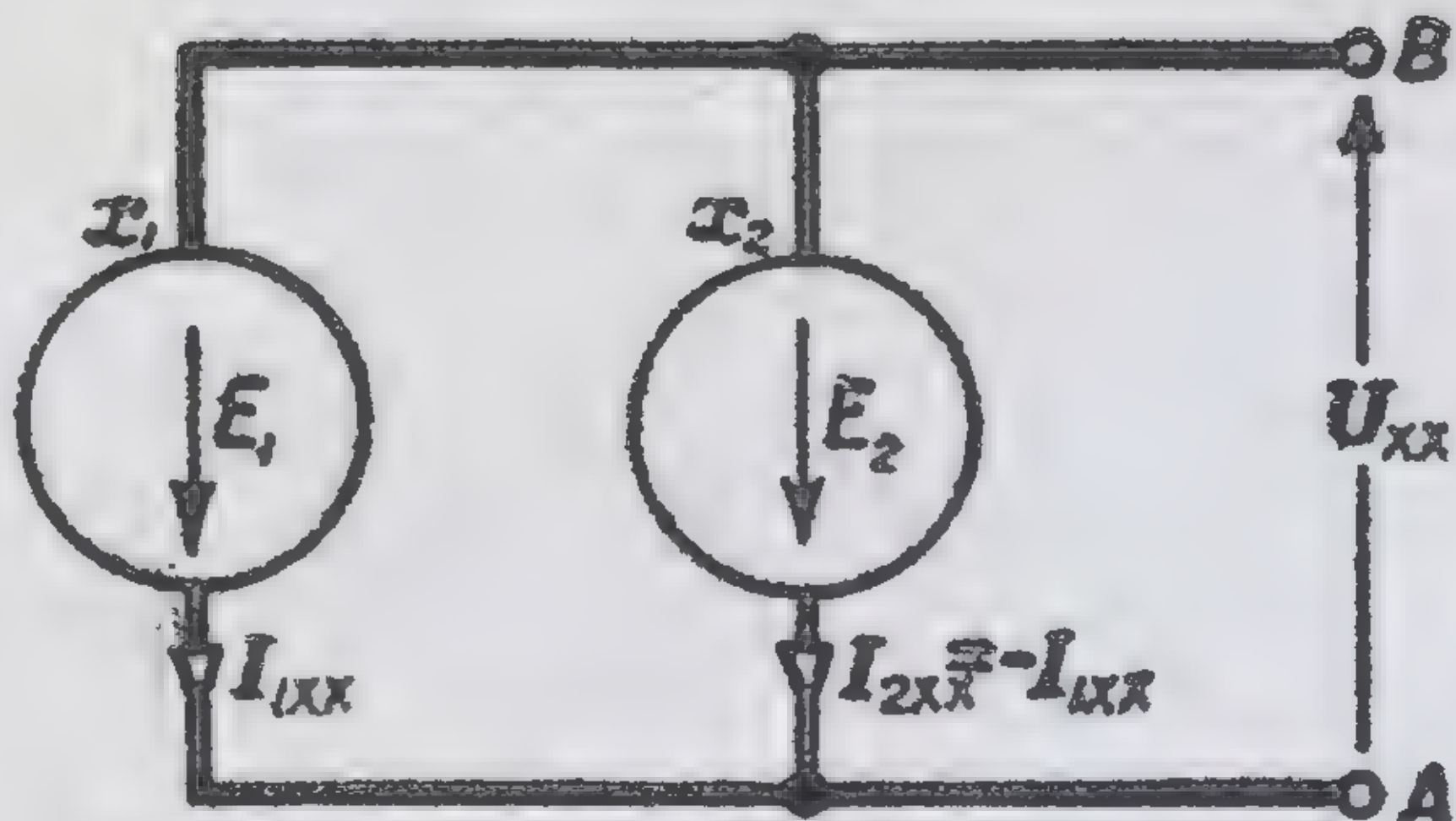
Генератор „отдаёт“ активный и „потребляет“ реактивный ток

$$\dot{E} = \dot{U} + I\dot{X}_r \quad \text{В}$$

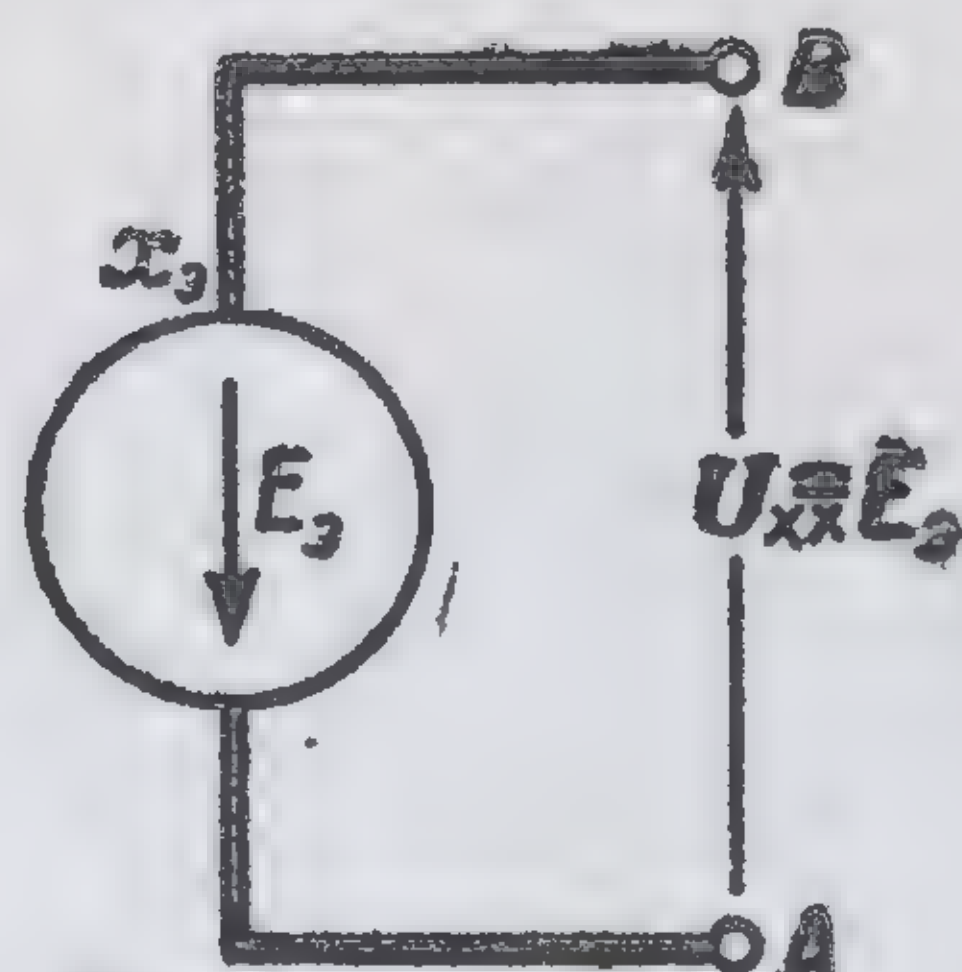
Электродвижущая сила генератора  
равна геометрической сумме напряжения на зажимах  
и падения напряжения в его обмотке



# ПАРАЛЛЕЛЬНОЕ СОЕДИНЕНИЕ ГЕНЕРАТОРОВ



Параллельное соединение генераторов при холостом ходе



Эквивалентный генератор



$$\Delta \dot{E} = \dot{E}_1 - \dot{E}_2 \quad \text{в}$$

Разность э.д.с.

$$I_{1xx} = \frac{\Delta E}{x_1 + x_2} \quad \text{а}$$

Уравнительный ток

$$I_{1xx} \cdot x_1 = \Delta E \frac{x_1}{x_1 + x_2} \quad \text{б}$$

Падение напряжения

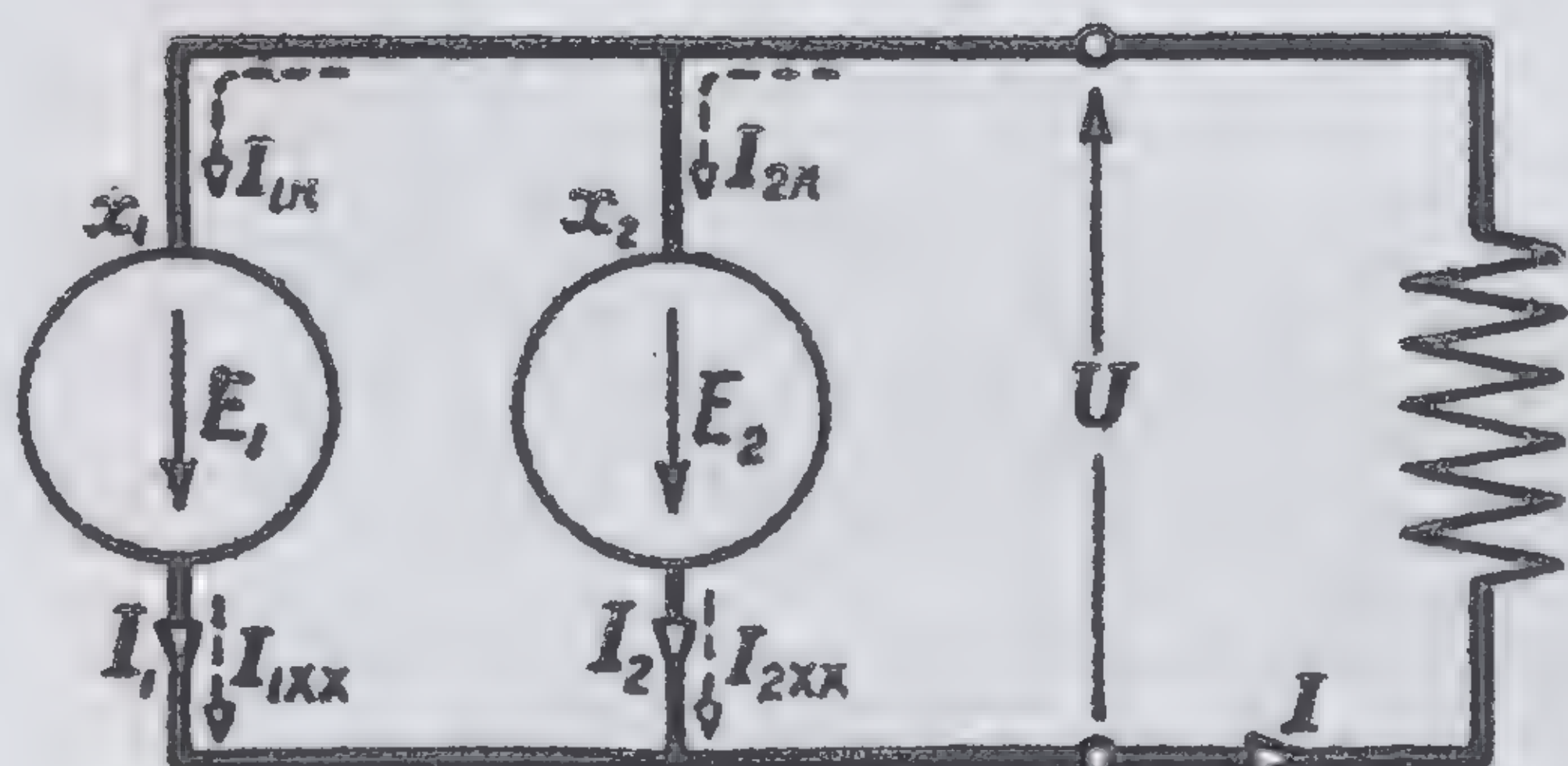
$$U_{xx} = \dot{E}_3 = \dot{E}_1 - \Delta \dot{E} \frac{x_1}{x_1 + x_2} = \frac{\dot{E}_1 x_2 + \dot{E}_2 x_1}{x_1 + x_2} \quad \text{в}$$

Напряжение холостого хода (э.д.с. эквивалентного генератора)

$$x_3 = \frac{x_1 x_2}{x_1 + x_2} \quad \text{ом}$$

Сопротивление эквивалентного генератора

## ХОЛОСТОЙ ХОД ПАРАЛЛЕЛЬНО СОЕДИНЕННЫХ ГЕНЕРАТОРОВ



Параллельное соединение при нагрузке

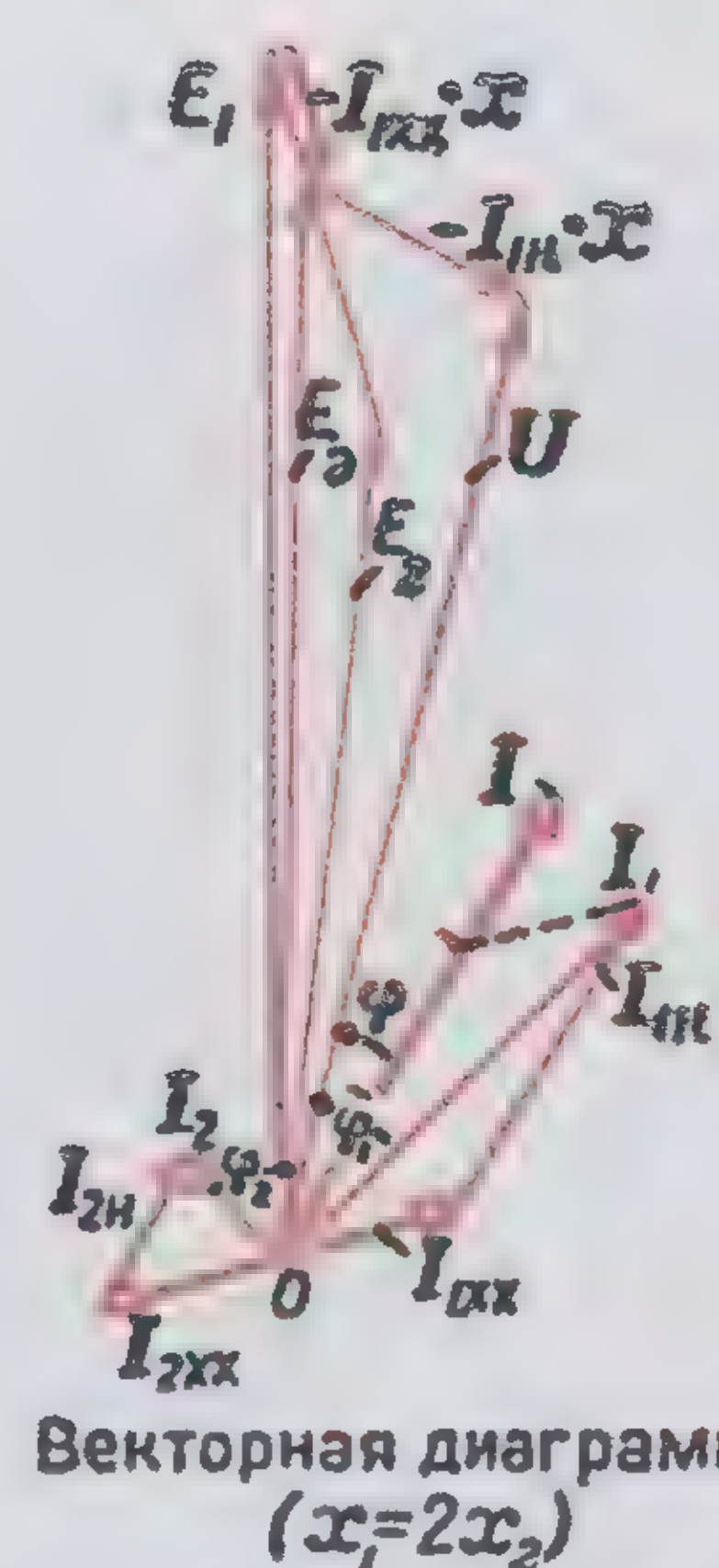
$$I_{1H} : I_{2H} = I \frac{x_1}{x_1 + x_2} : I \frac{x_2}{x_1 + x_2} = x_2 : x_1$$

Распределение тока нагрузки между генераторами

$$\dot{I}_1 = \dot{I}_{1xx} + \dot{I}_{1H} \quad \text{а}$$

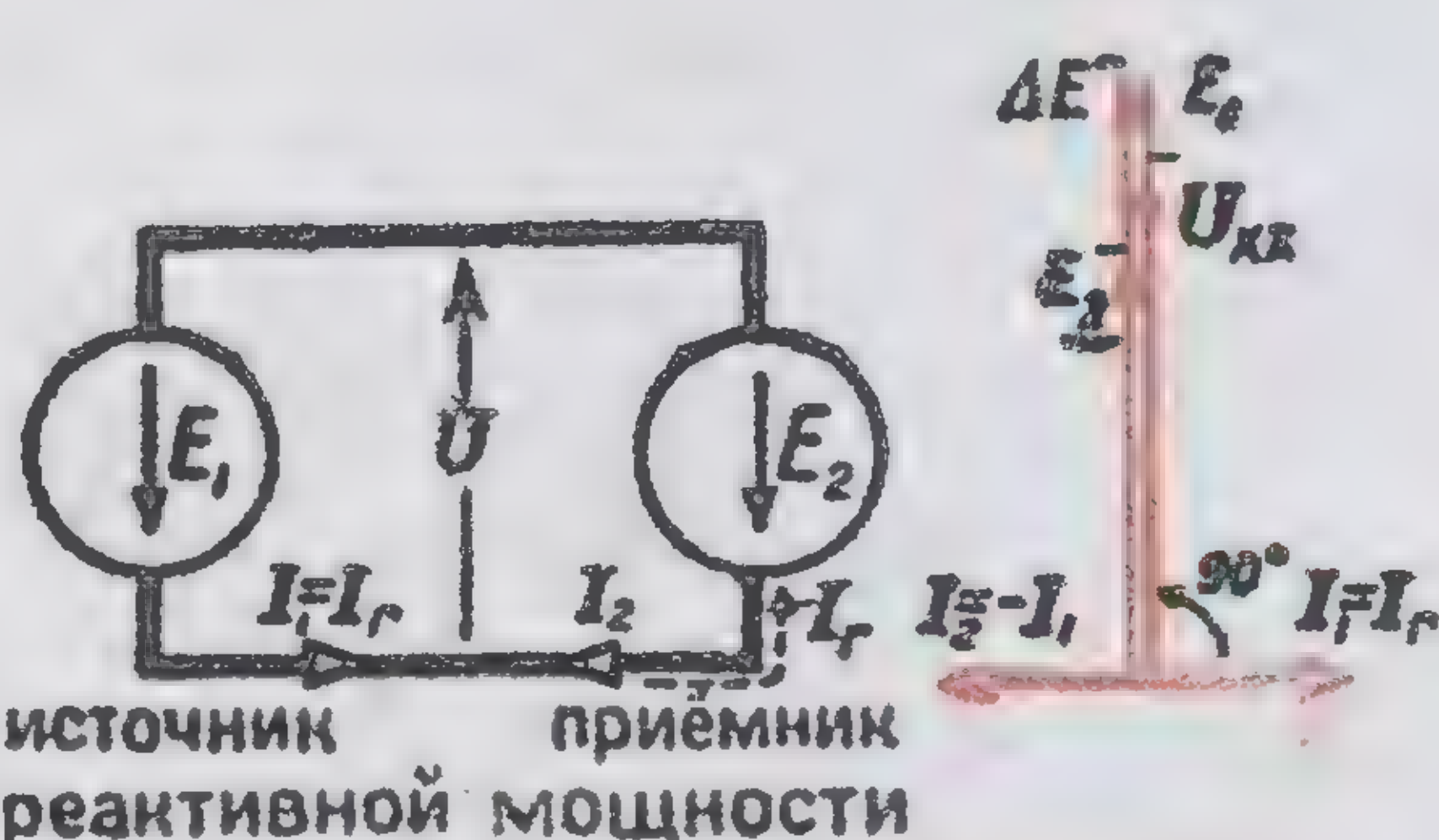
Токи генераторов.

$$\dot{I}_2 = \dot{I}_{2xx} + \dot{I}_{2H} \quad \text{а}$$

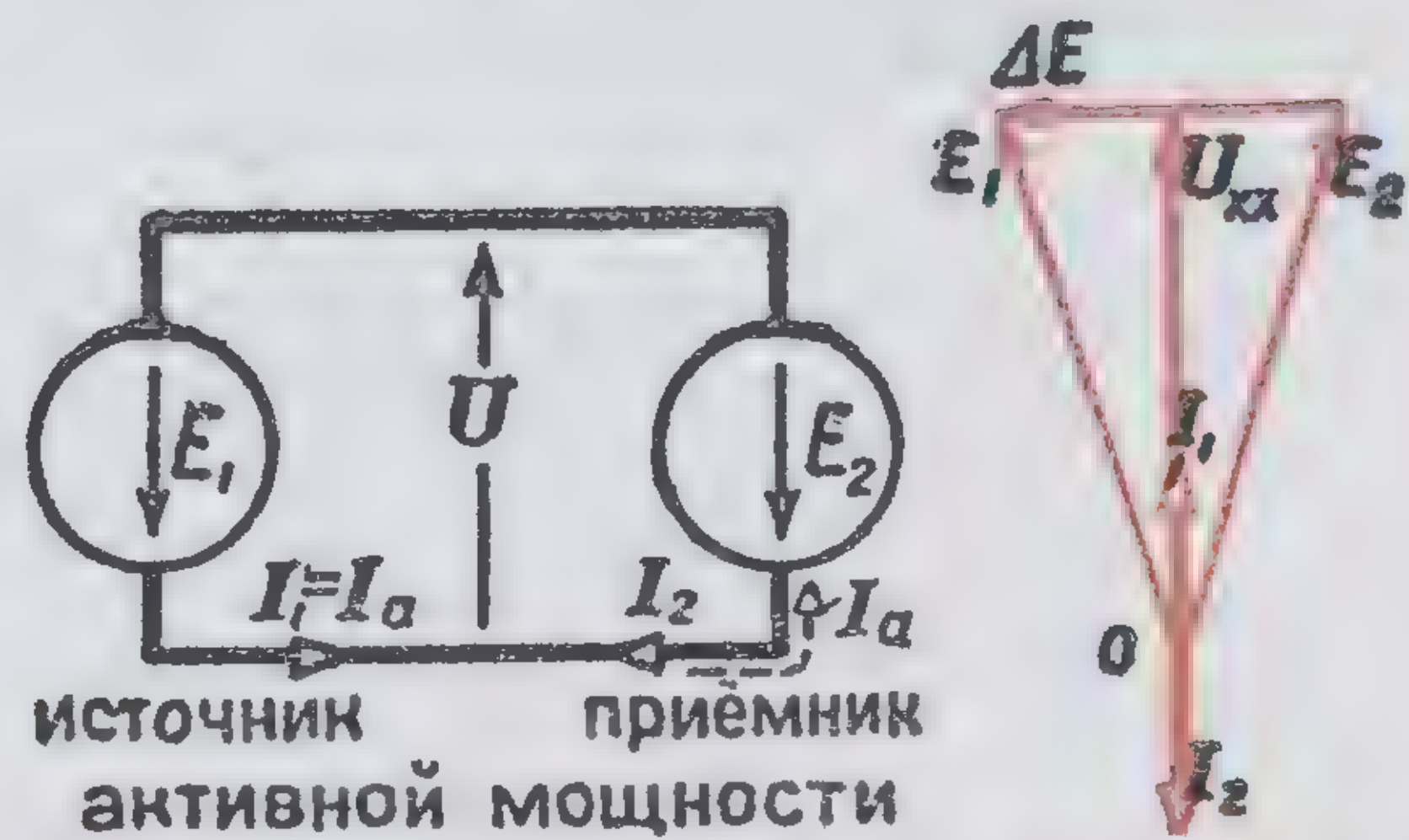


Ток параллельно включенного генератора при нагрузке состоит из уравнительного тока холостого хода и доли общего тока нагрузки, распределяющегося между генераторами обратно пропорционально их сопротивлениям

## НАГРУЗКА ПАРАЛЛЕЛЬНО СОЕДИНЕННЫХ ГЕНЕРАТОРОВ



источник реактивной мощности

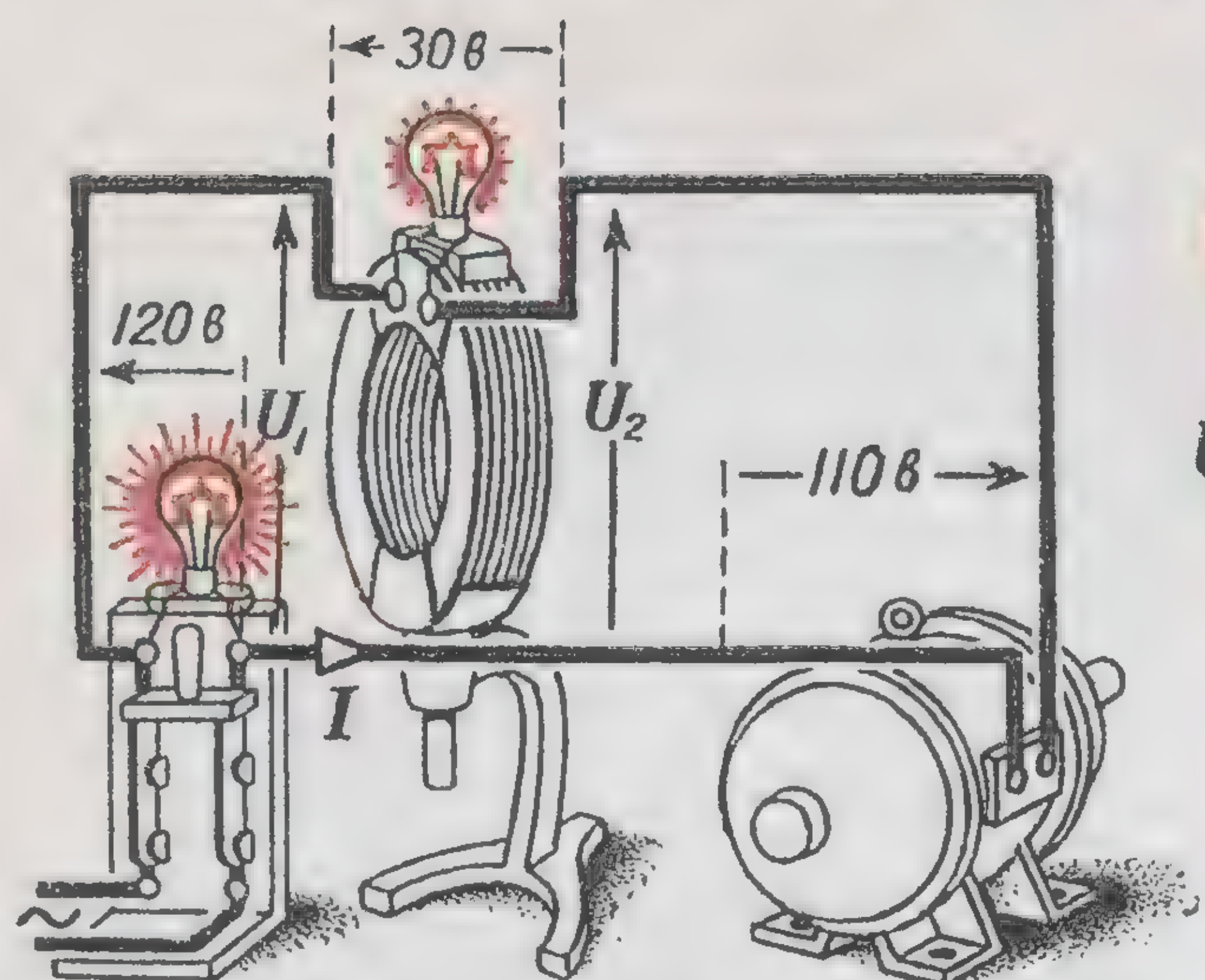


источник активной мощности

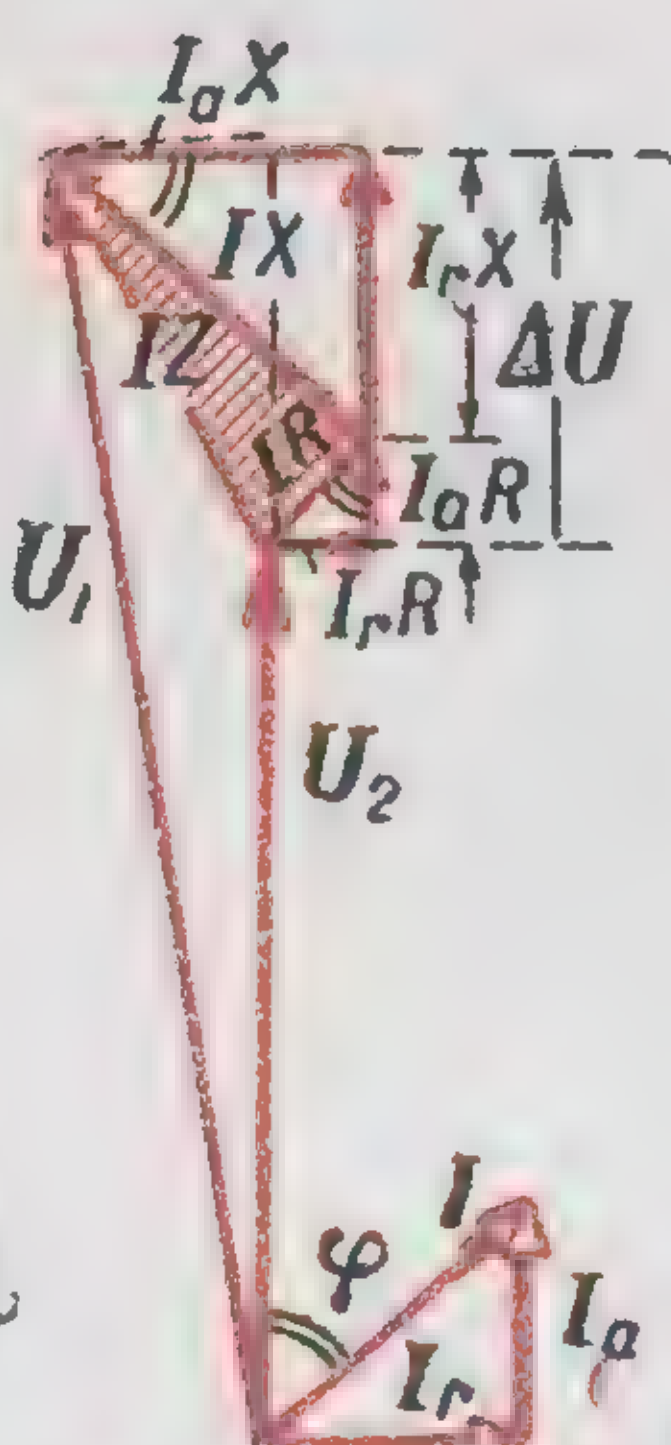
## ЧАСТНЫЙ СЛУЧАЙ ХОЛОСТОГО ХОДА ОДИНАКОВЫХ МАШИН ( $x_1 = x_2$ )



# ПАДЕНИЕ И ПОТЕРЯ НАПРЯЖЕНИЯ



Питание силовой нагрузки через реактивную катушку



Векторная диаграмма

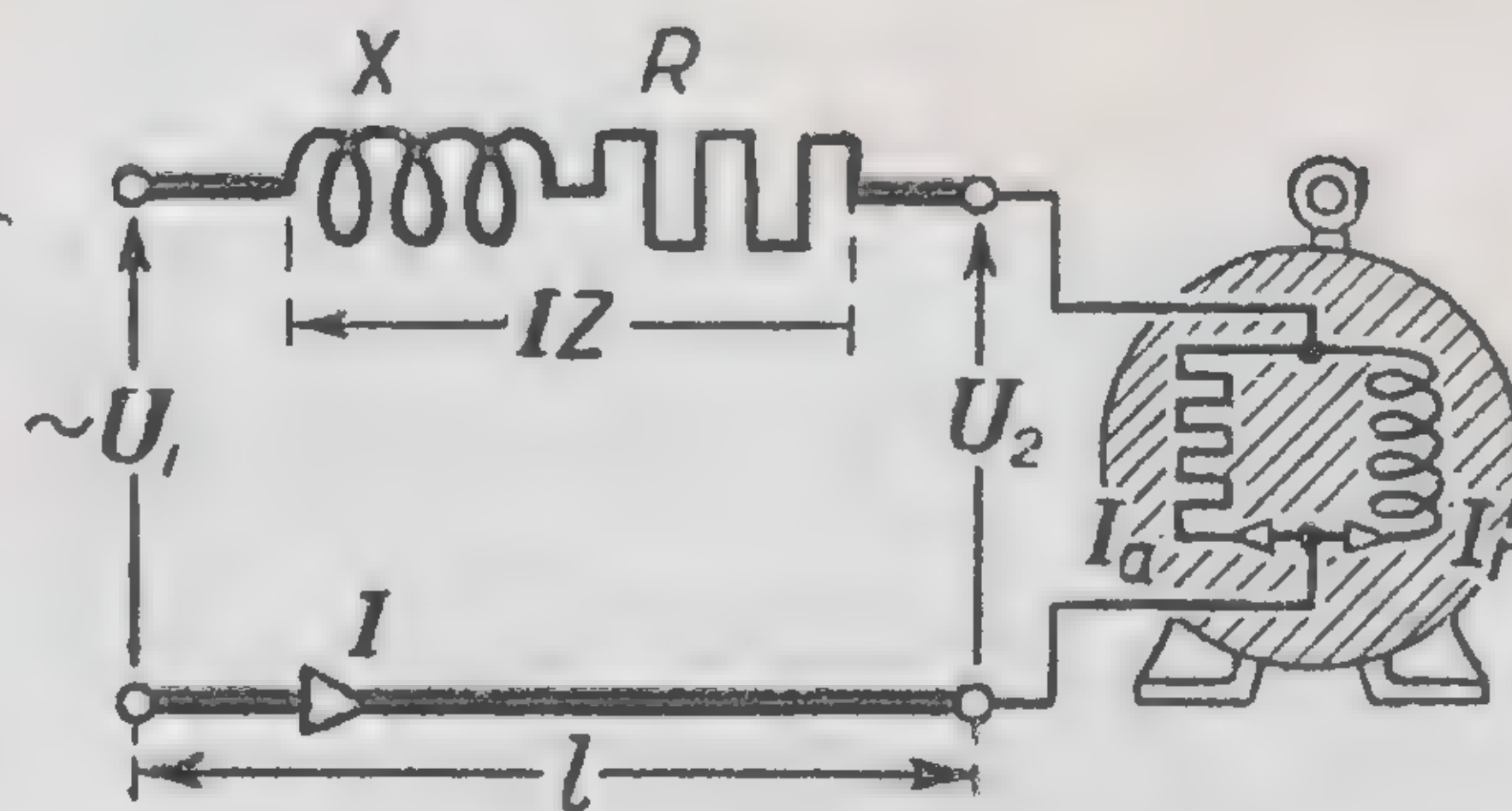


Схема замещения линии без учета ее емкости

$$U_1 - U_2 = \Delta U \text{ В}$$

$$\dot{U}_1 - \dot{U}_2 = \dot{I} \dot{Z} \text{ В}$$

Потеря напряжения (арифметическая разность)

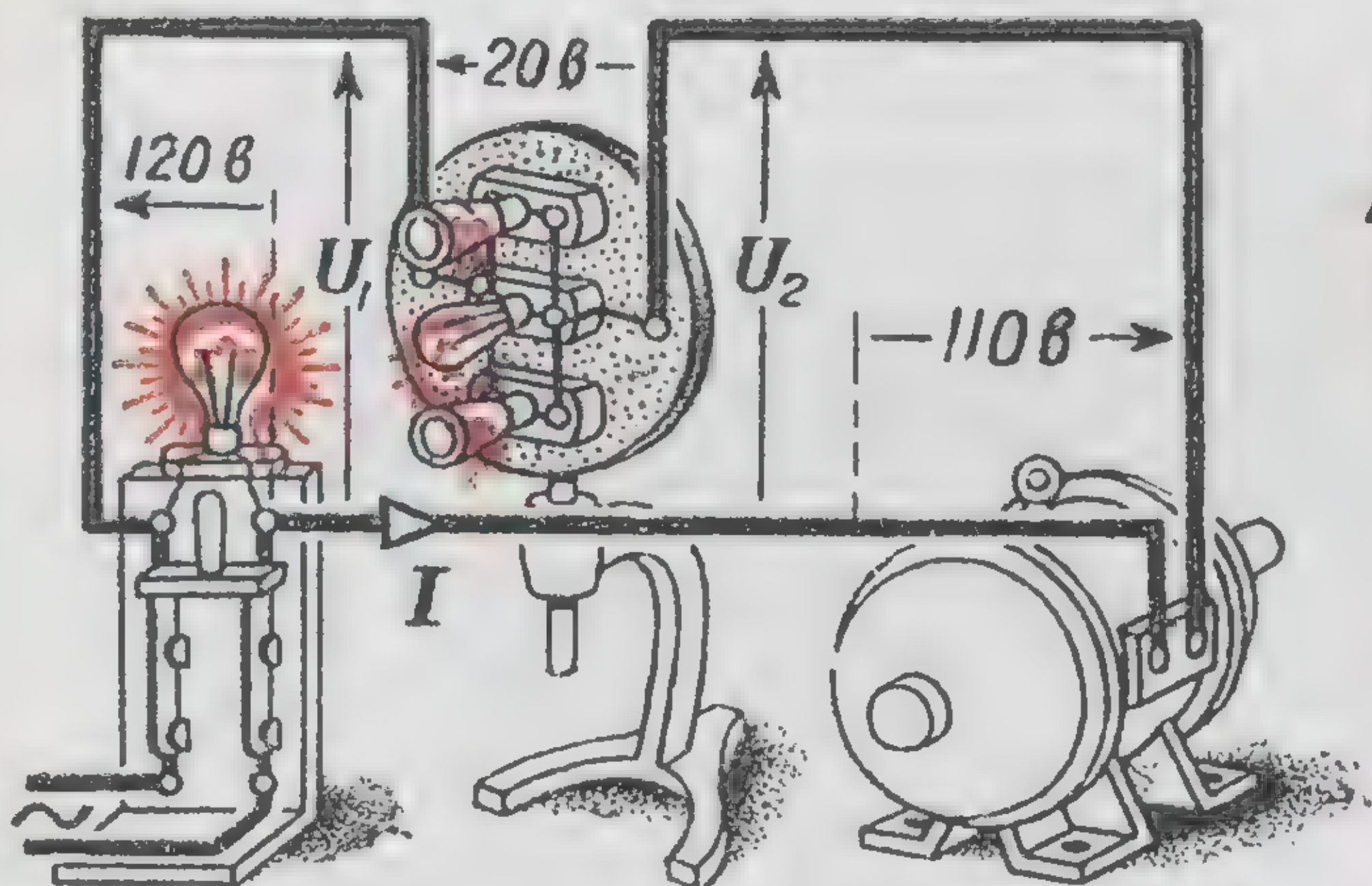
Падение напряжения (геометрическая разность)

$$\Delta U \approx IR \cos \varphi + IX \sin \varphi = I_a R + I_r X \text{ В}$$

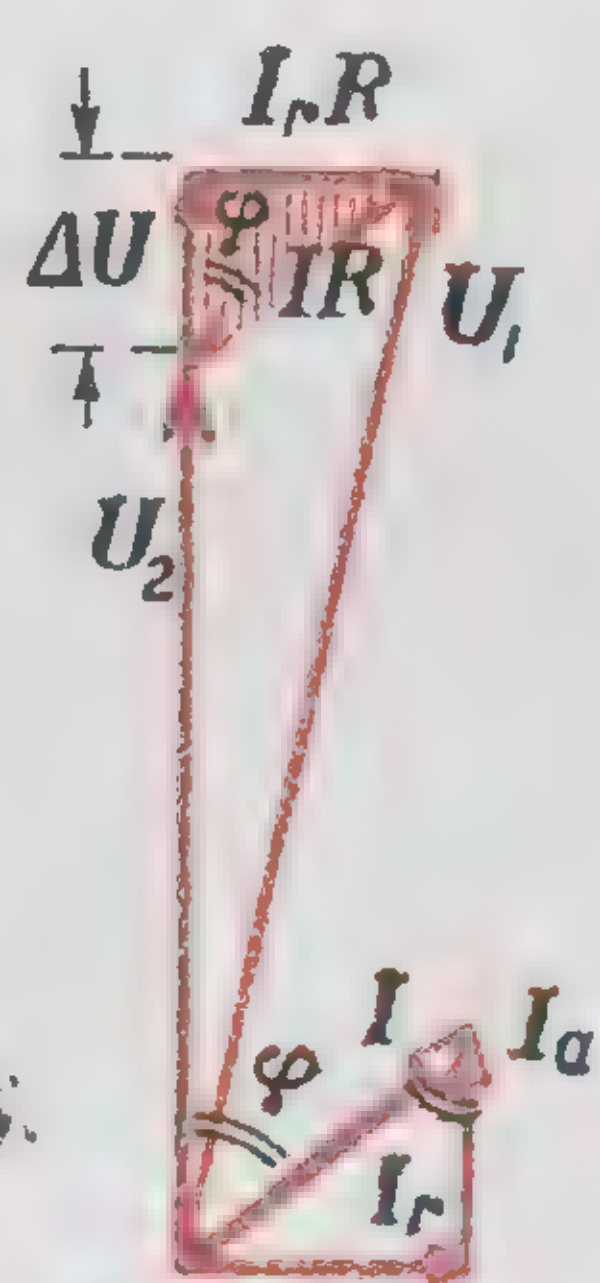
Потеря напряжения в линии

$$\Delta p = I^2 R = I_a^2 R + I_r^2 R = I_a^2 R (1 + \operatorname{tg}^2 \varphi) \text{ Вт}$$

Потеря мощности в линии



Питание силовой нагрузки через активное сопротивление



Векторная диаграмма

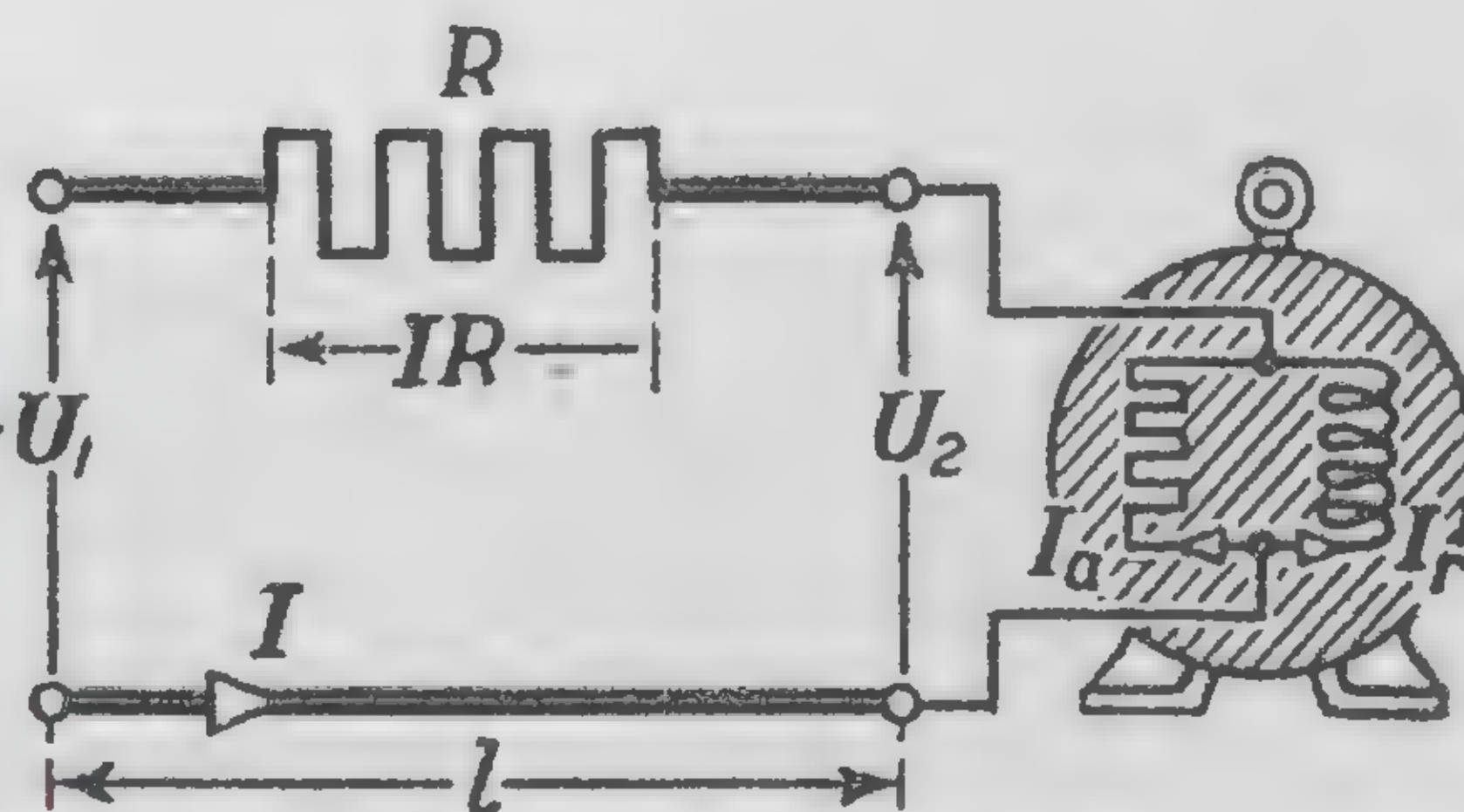
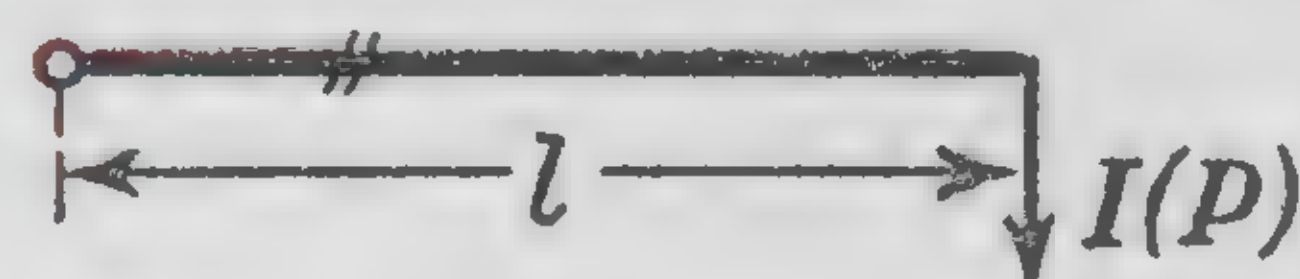


Схема замещения безреактивной линии



Однолинейная схема двухпроводной линии

$$S = \frac{2}{\gamma \Delta U} I \cos \varphi l \text{ мм}^2$$

$$S = \frac{200}{\gamma \Delta U \% U^2} P l \text{ мм}^2$$

$$S = \frac{200}{\gamma \Delta p \% U^2 \cos^2 \varphi} P l \text{ мм}^2$$

Расчет безреактивных проводов по потере напряжения в вольтах ( $\Delta U$ ), по потере напряжения в процентах ( $\Delta U \%$ ) и по потере мощности в процентах ( $\Delta p \%$ )

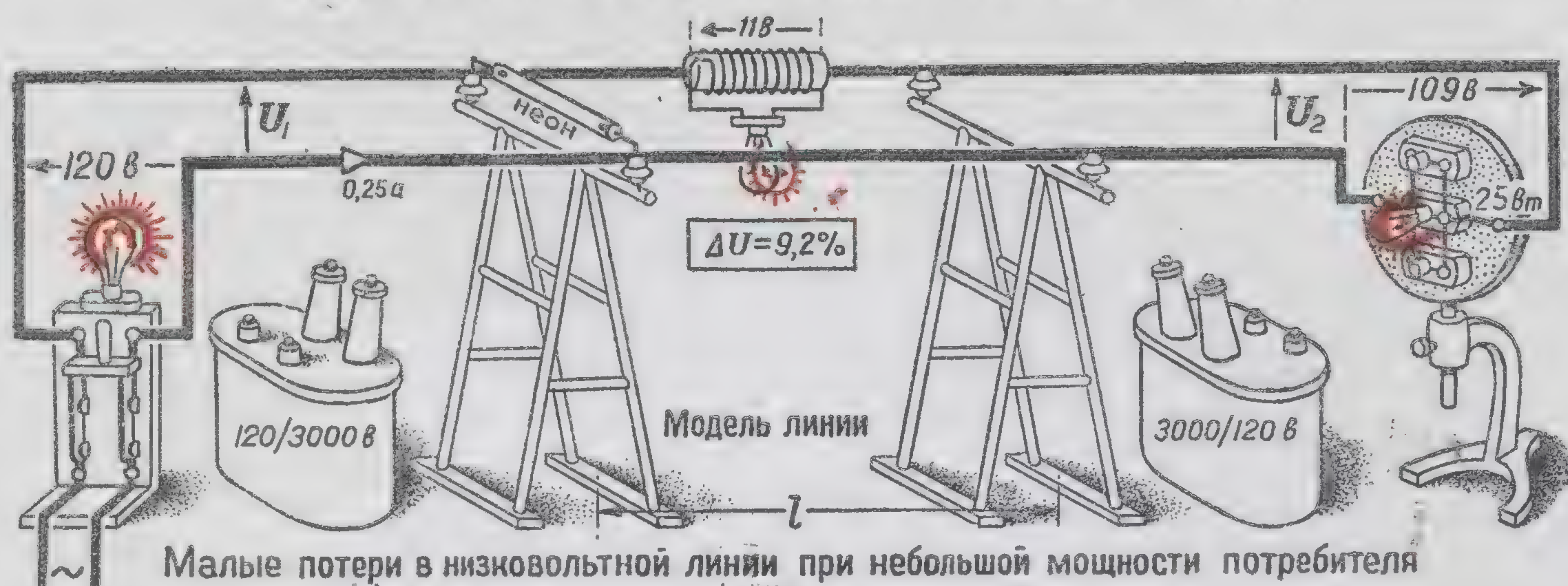
**ПАДЕНИЕ НАПРЯЖЕНИЯ** и **ПОТЕРЯ МОЩНОСТИ** в линии вызываются полным током нагрузки.

**ПОТЕРЯ НАПРЯЖЕНИЯ** складывается:

из потери в активном сопротивлении от активного тока и из потери в реактивном сопротивлении линии от реактивного тока нагрузки



# ПЕРЕДАЧА ЭНЕРГИИ ПЕРЕМЕННЫМ ТОКОМ (ДЕМОНСТРАЦИОННАЯ УСТАНОВКА)



Малые потери в низковольтной линии при небольшой мощности потребителя



Значительные потери в низковольтной линии при наличии мощного потребителя



Ничтожные потери в высоковольтной линии при наличии мощного потребителя

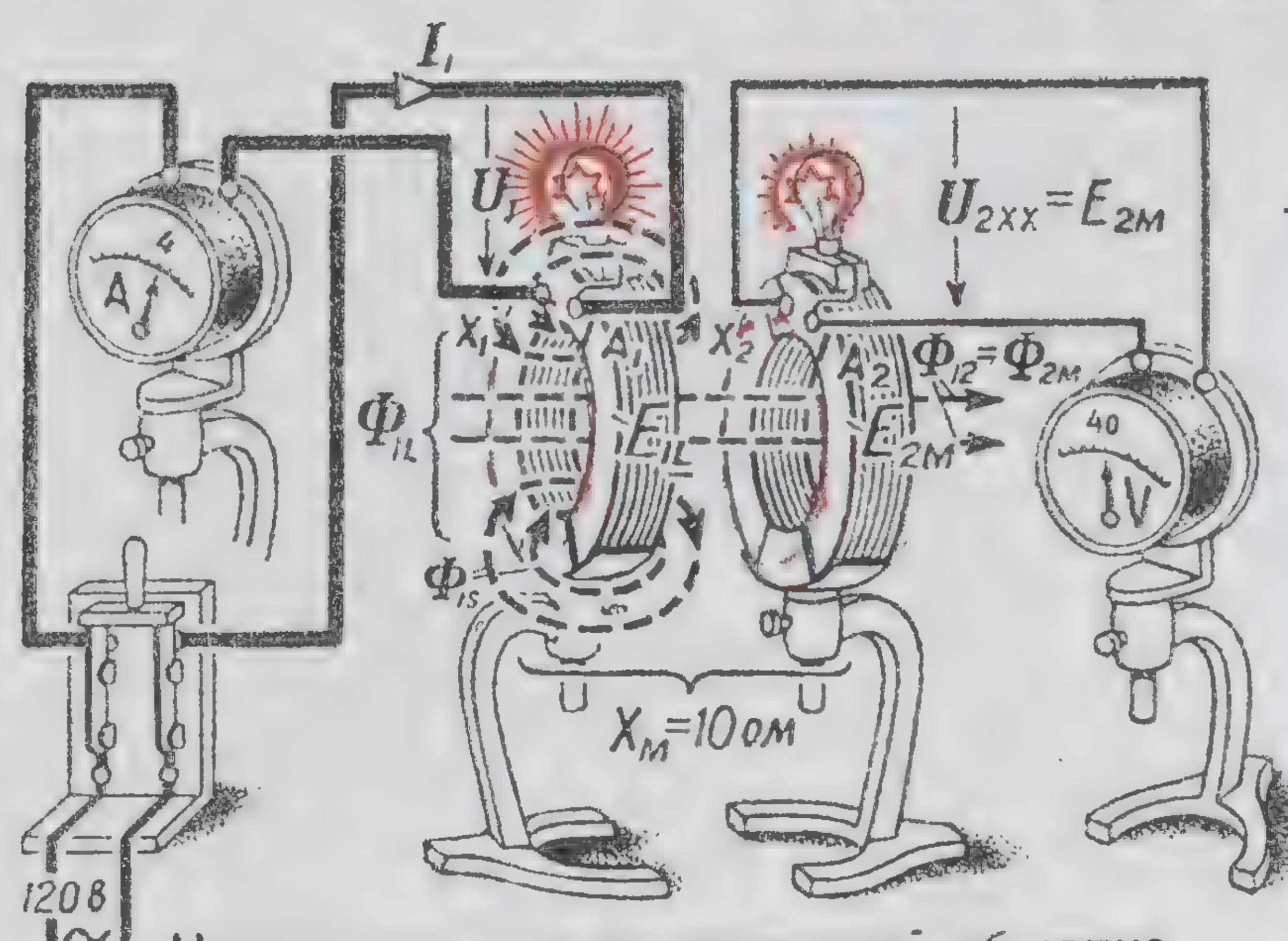


Небольшие потери в высоковольтной линии при значительной мощности нагрузки

Э.И.Расовский.



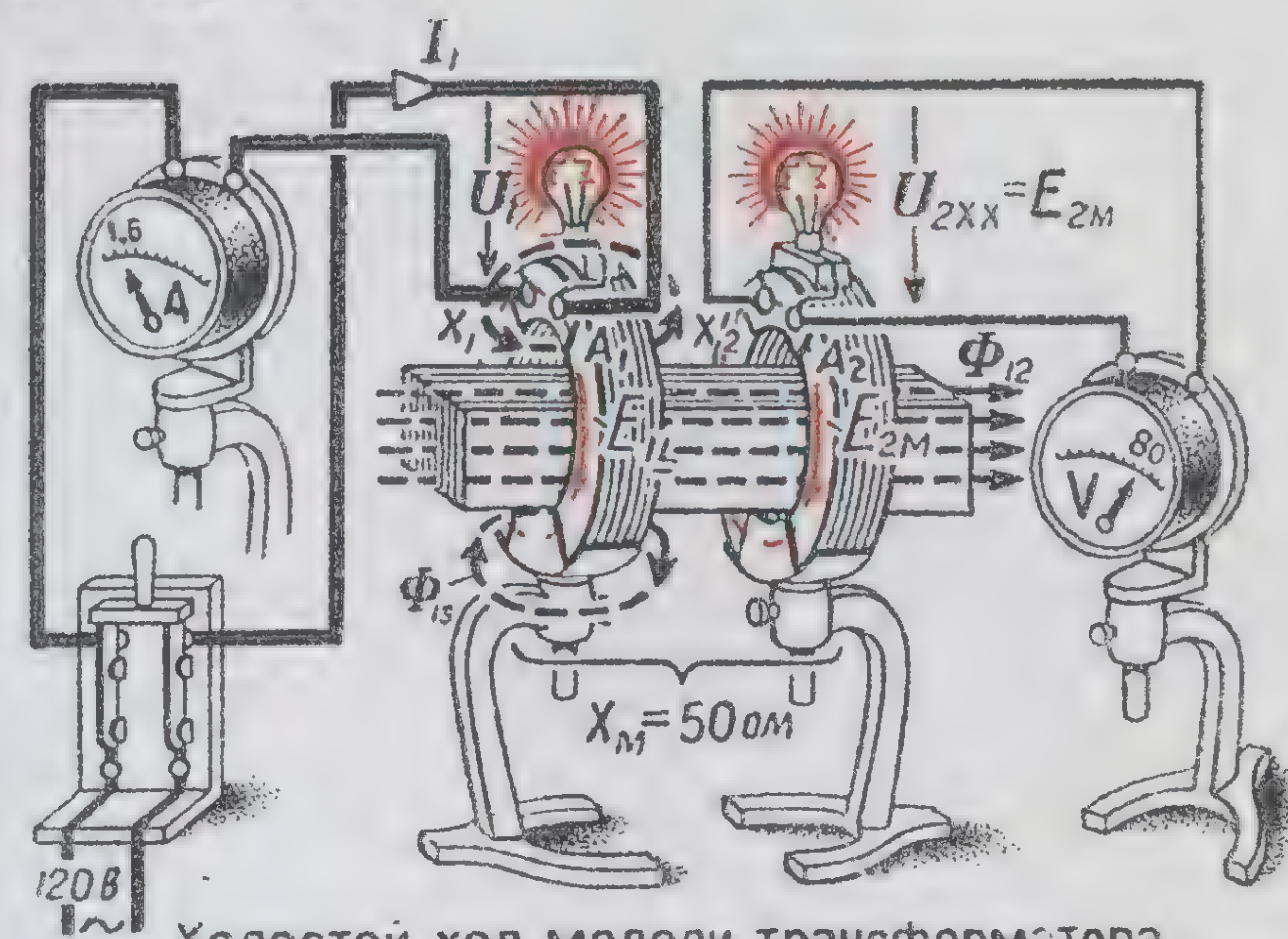
# ЦЕПИ С ВЗАИМОИНДУКЦИЕЙ



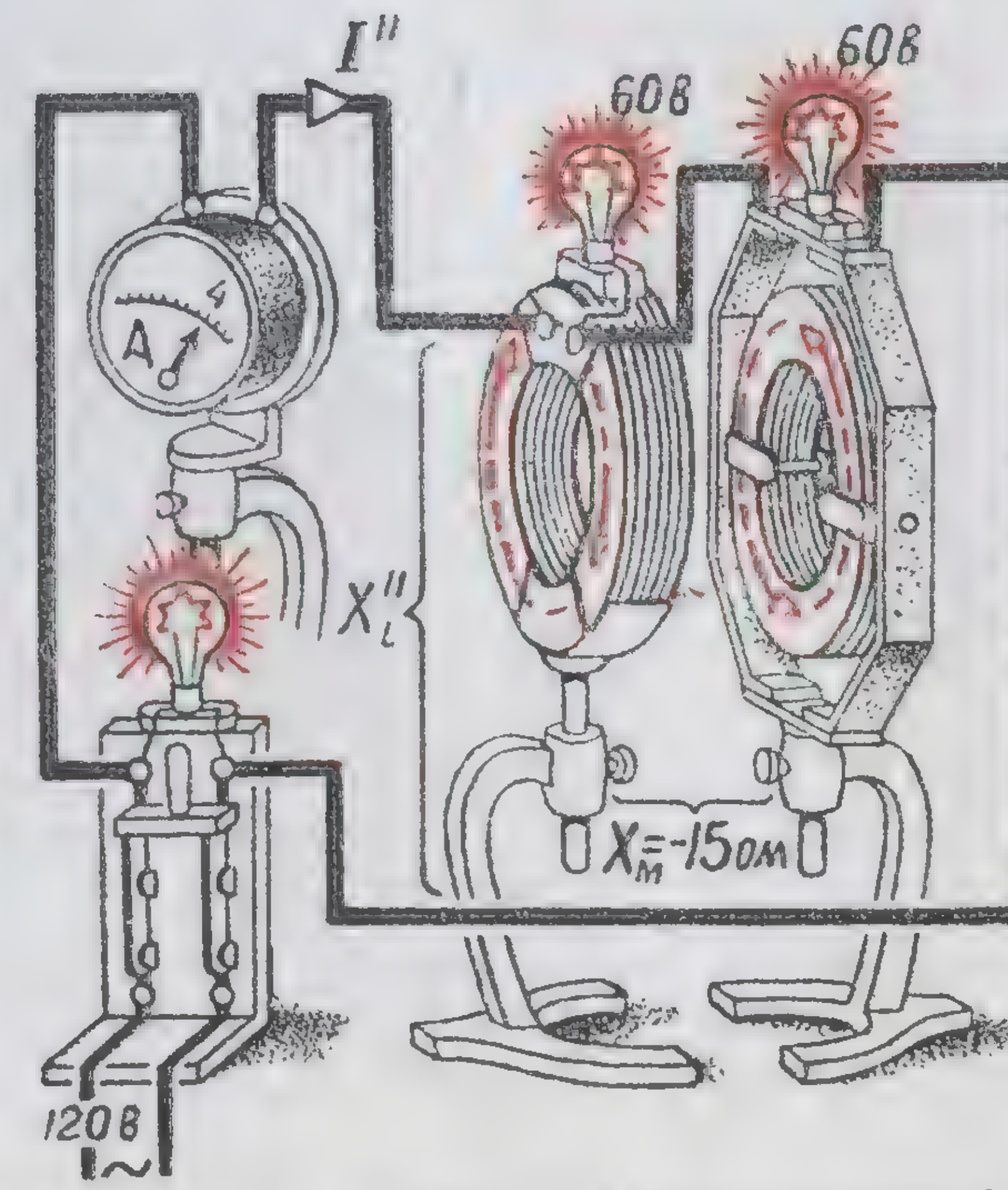
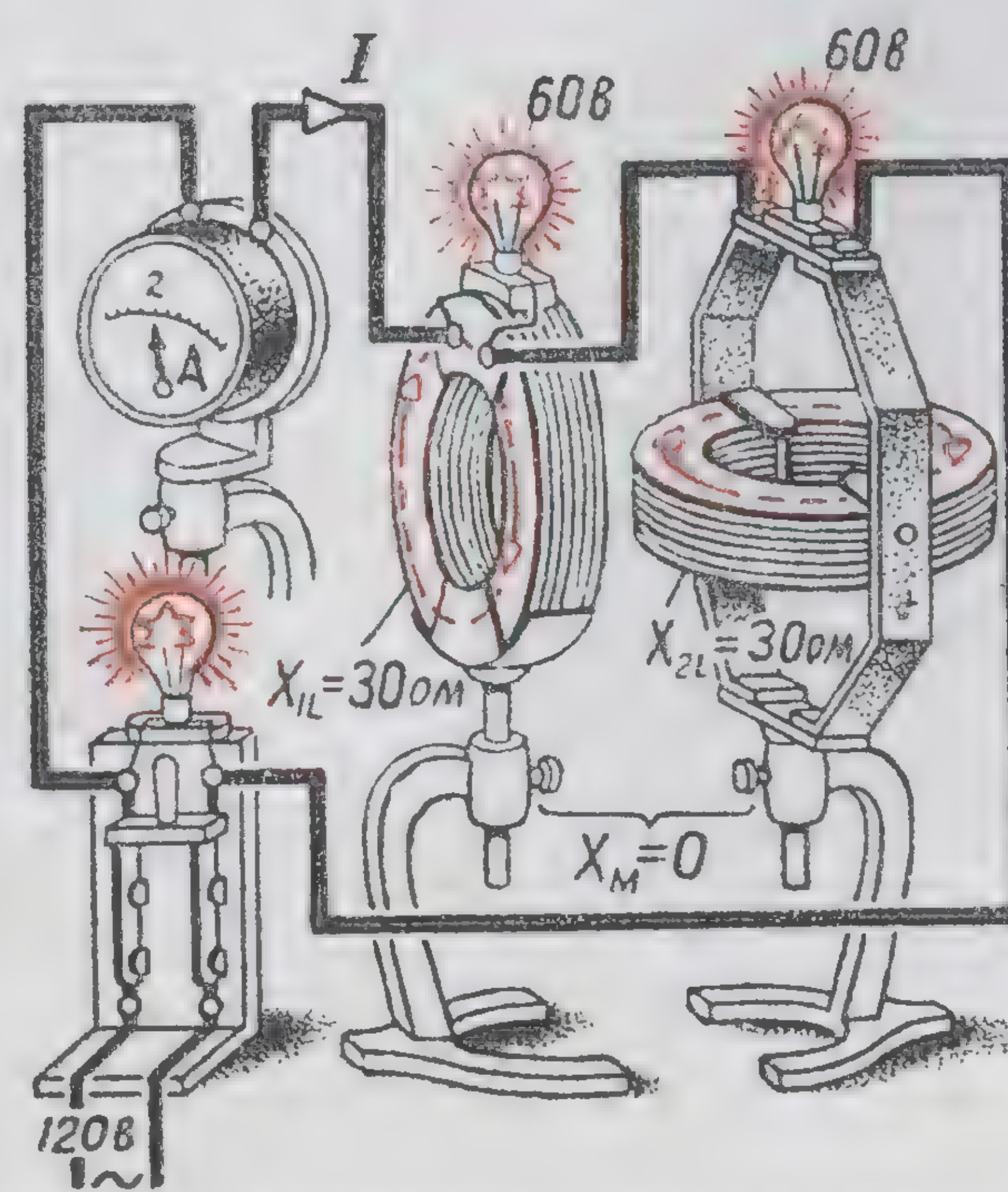
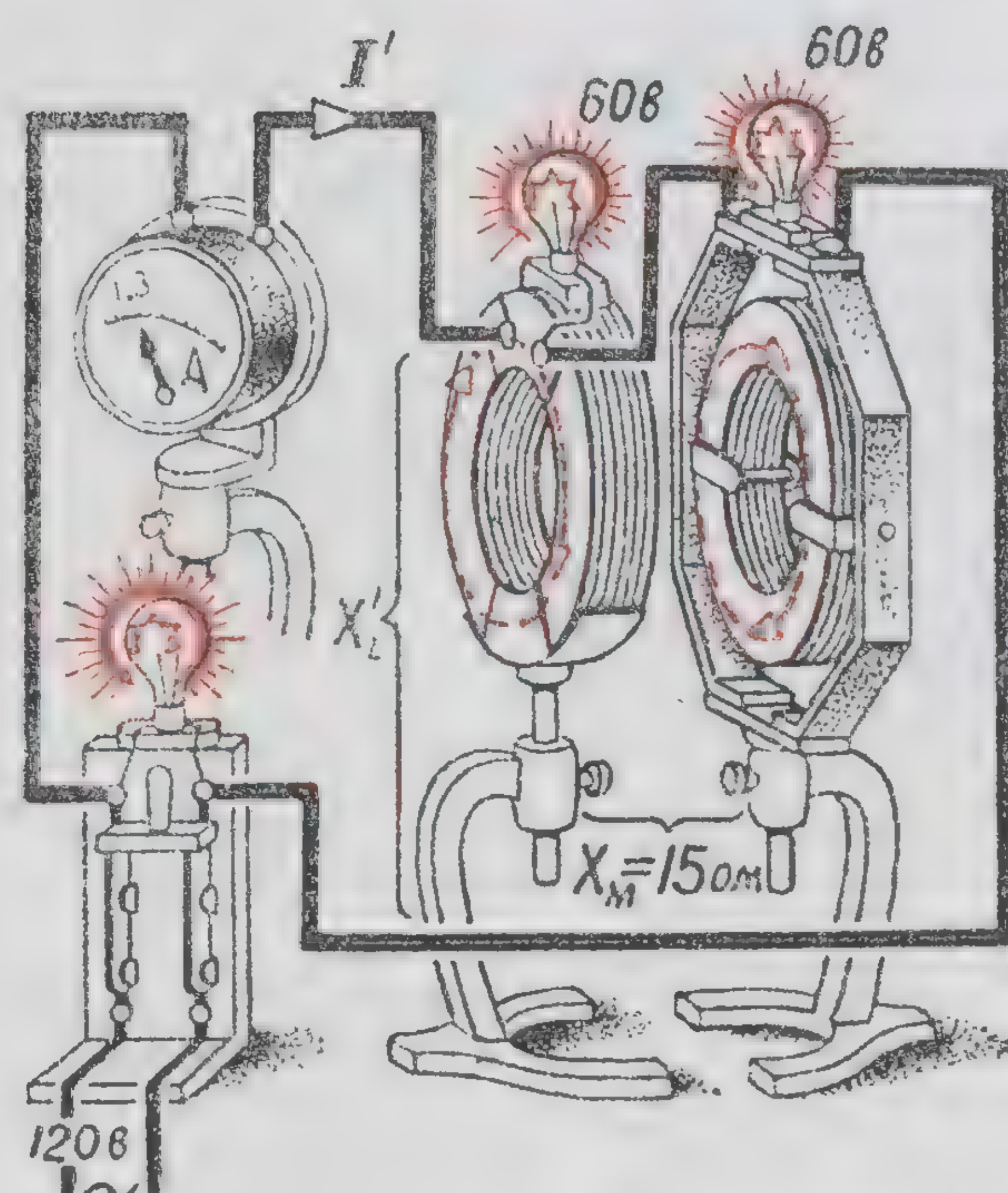
Наведение э.д.с. во вторичной обмотке воздушного трансформатора



сопротивление взаимной индукции



Холостой ход модели трансформатора со стальным сердечником



$$X' - X'' = 4X_M \text{ Ом}$$

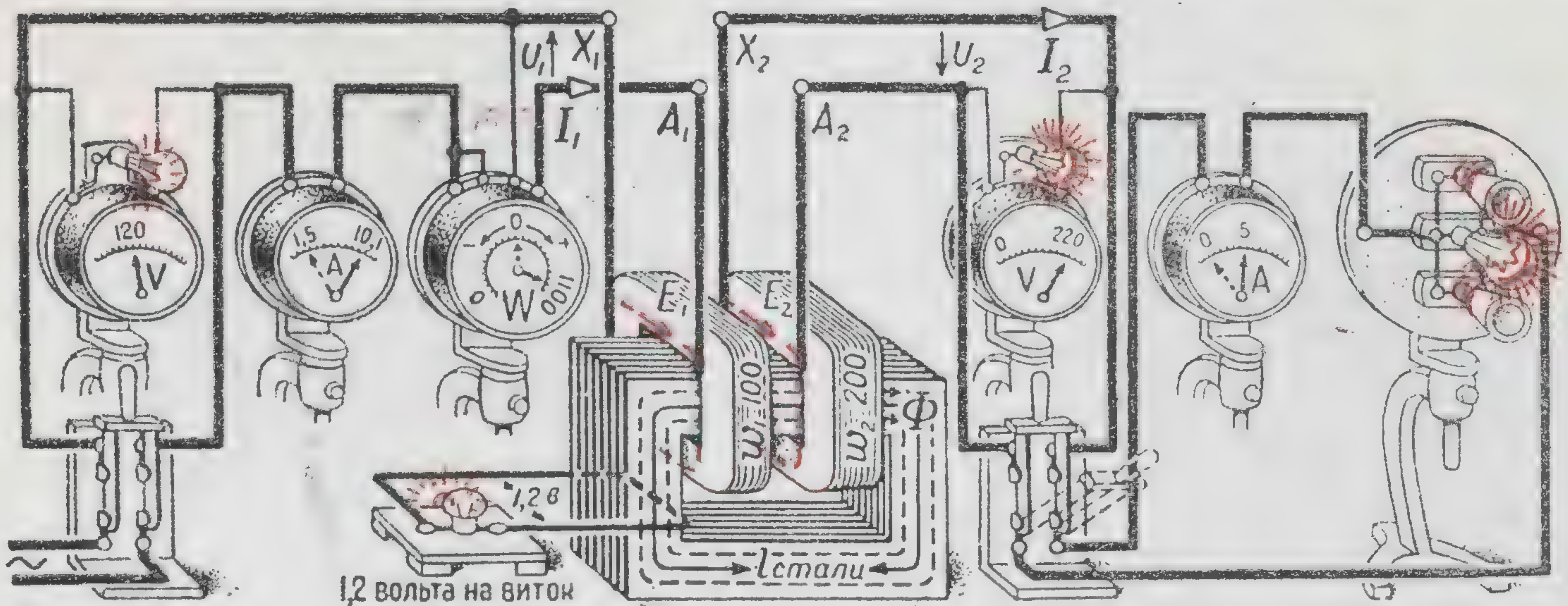
Пределы изменения индуктивного сопротивления цепи

Последовательное соединение индуктивно связанных цепей (вариометр)

З.И. Расовский.



# ПРЕОБРАЗОВАНИЕ ЭНЕРГИИ В ТРАНСФОРМАТОРЕ



Холостой ход и нагрузка идеального трансформатора

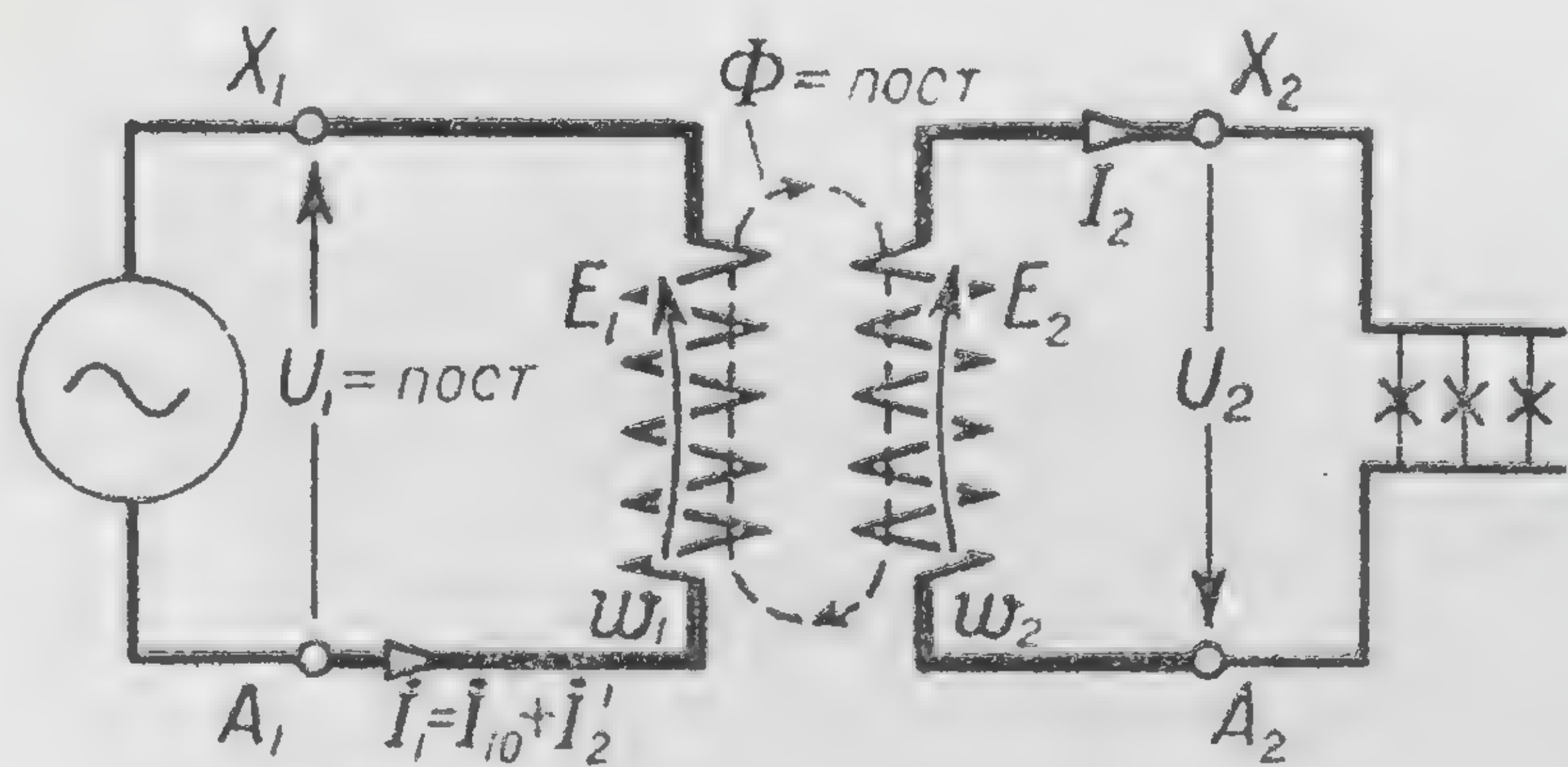


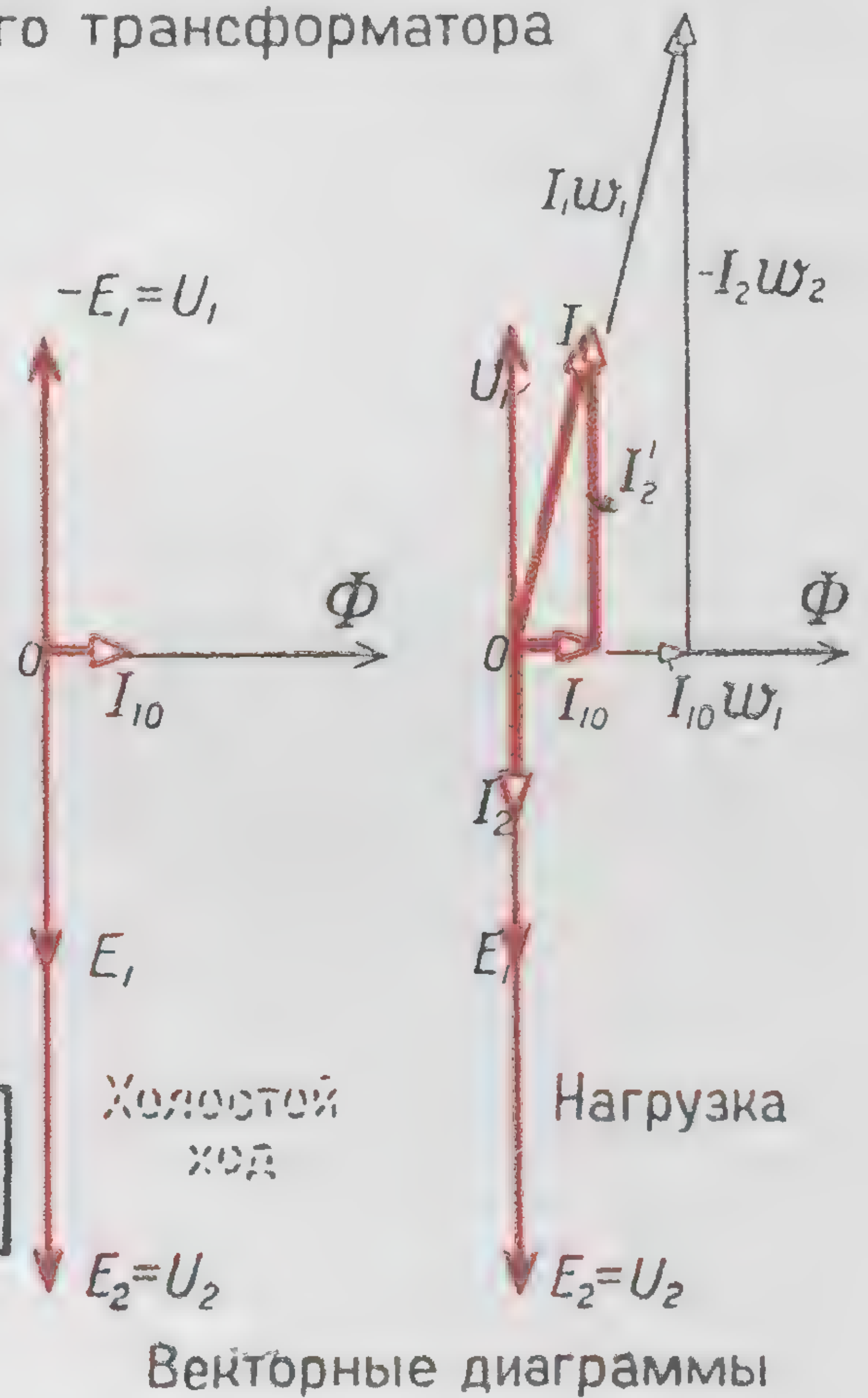
Схема трансформатора

$$\frac{E}{w} = 4,44 f \Phi_{\text{макс}} \quad \text{в}$$

Число вольт на виток

$$K_{12} = \frac{E_1}{E_2} = \frac{w_1}{w_2} \approx \frac{I_2}{I_1}$$

Коэффициент трансформации



Векторные диаграммы

$$I_{10} = I_{\mu} = \frac{\Sigma H_m l_{\text{ст}}}{w_1 \sqrt{2}} \quad \alpha$$

Первичный ток холостого хода

$$I_1 w_1 + I_2 w_2 = I_{10} w_1 = \text{const} \quad \alpha$$

„Баланс” ампервитков при нагрузке

$$I_1 = I_{10} - I_2 \frac{w_2}{w_1} = I_1' + I_2' \quad \alpha$$

Первичный ток при нагрузке

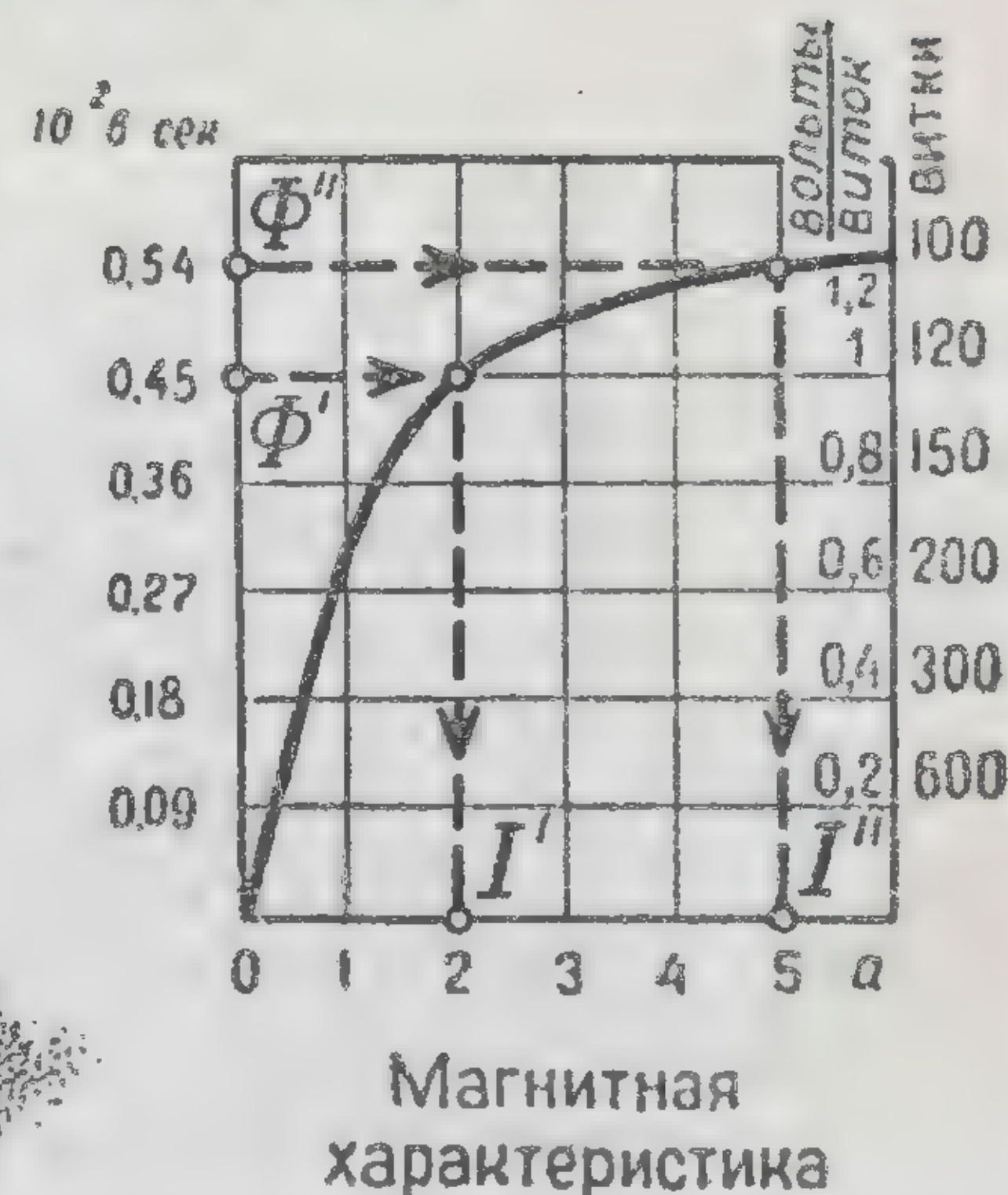
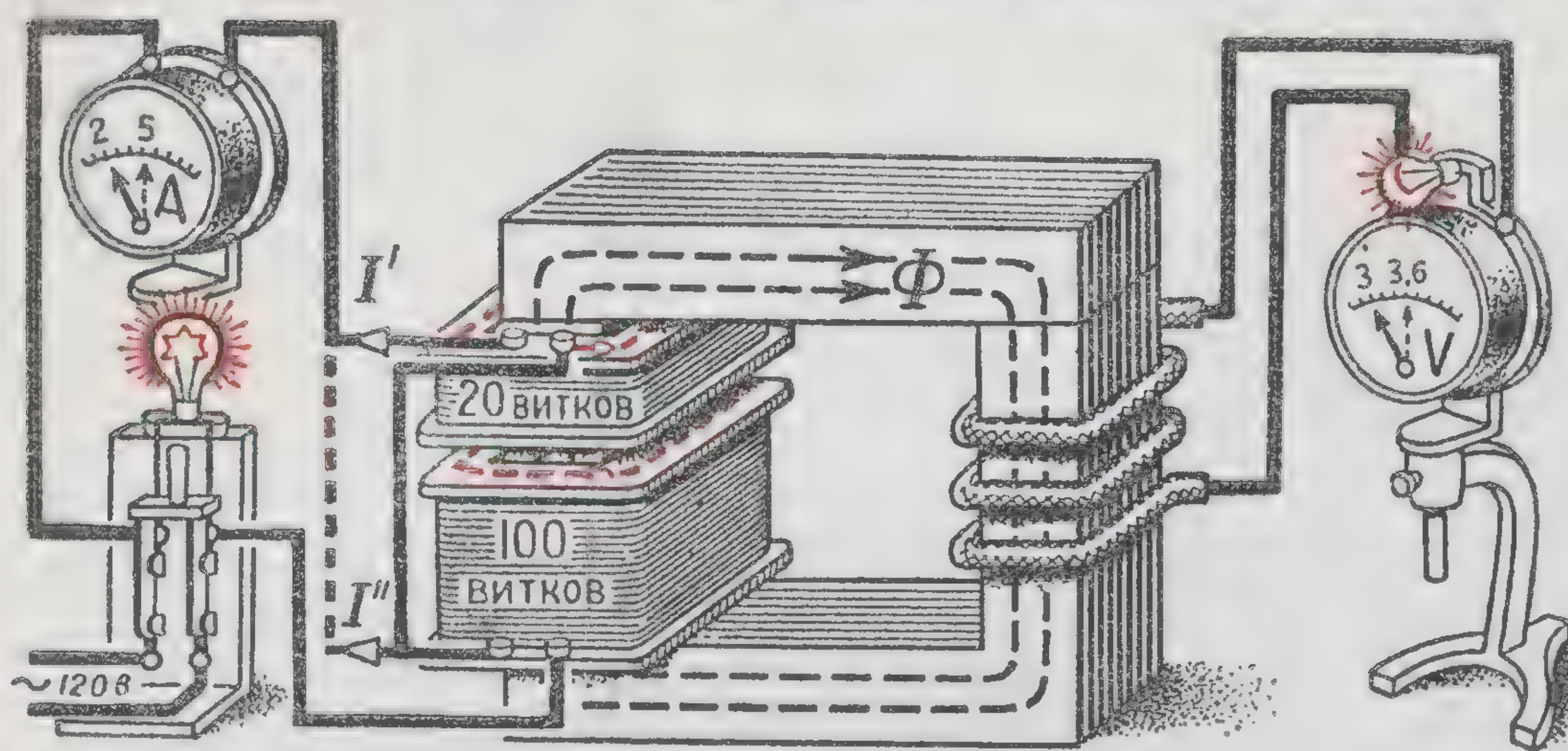
При нагрузке трансформатора ( $I_2 > 0$ ) в первичной обмотке появляется дополнительный ток  $I_2'$ , компенсирующий размагничивающее действие вторичного тока  $I_2$

Трансформатор изобретен П.Н. Яблочковым в 1876 г.

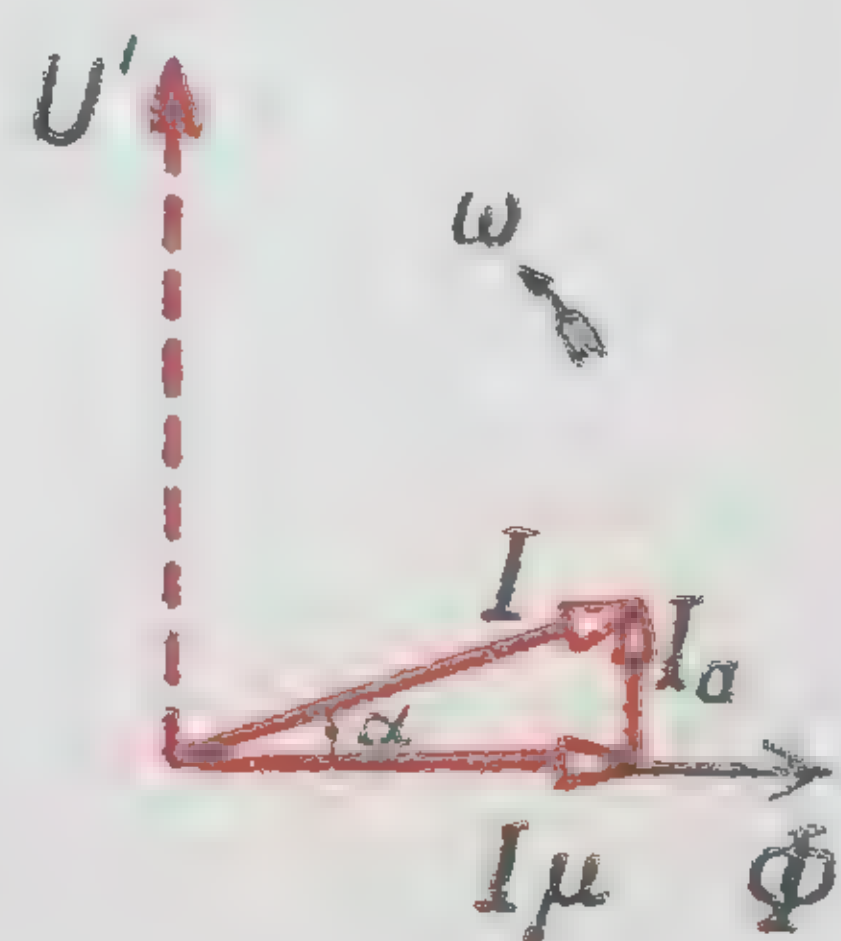
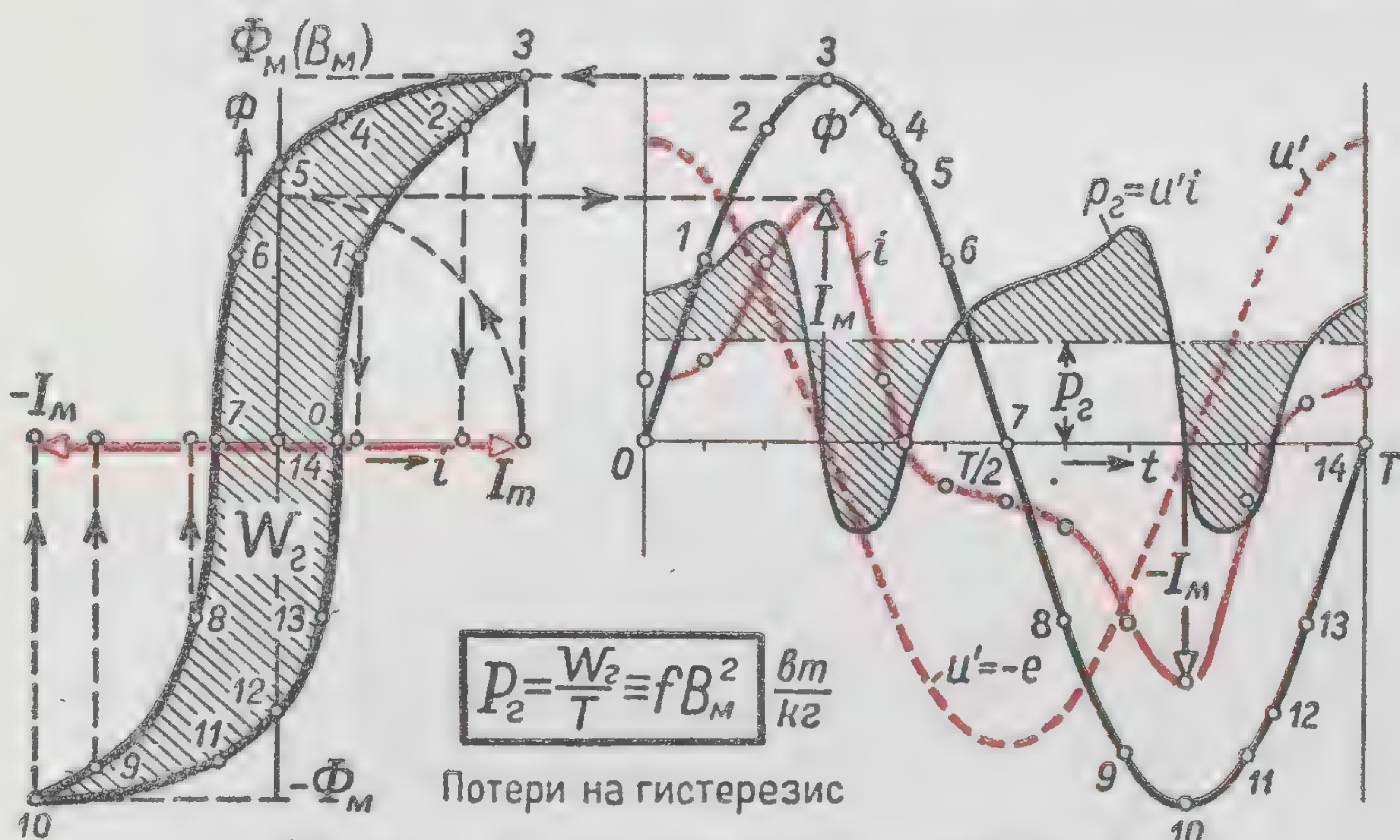
Э.И. Расовский.



# ЦЕПИ, СОДЕРЖАЩИЕ СТАЛЬ

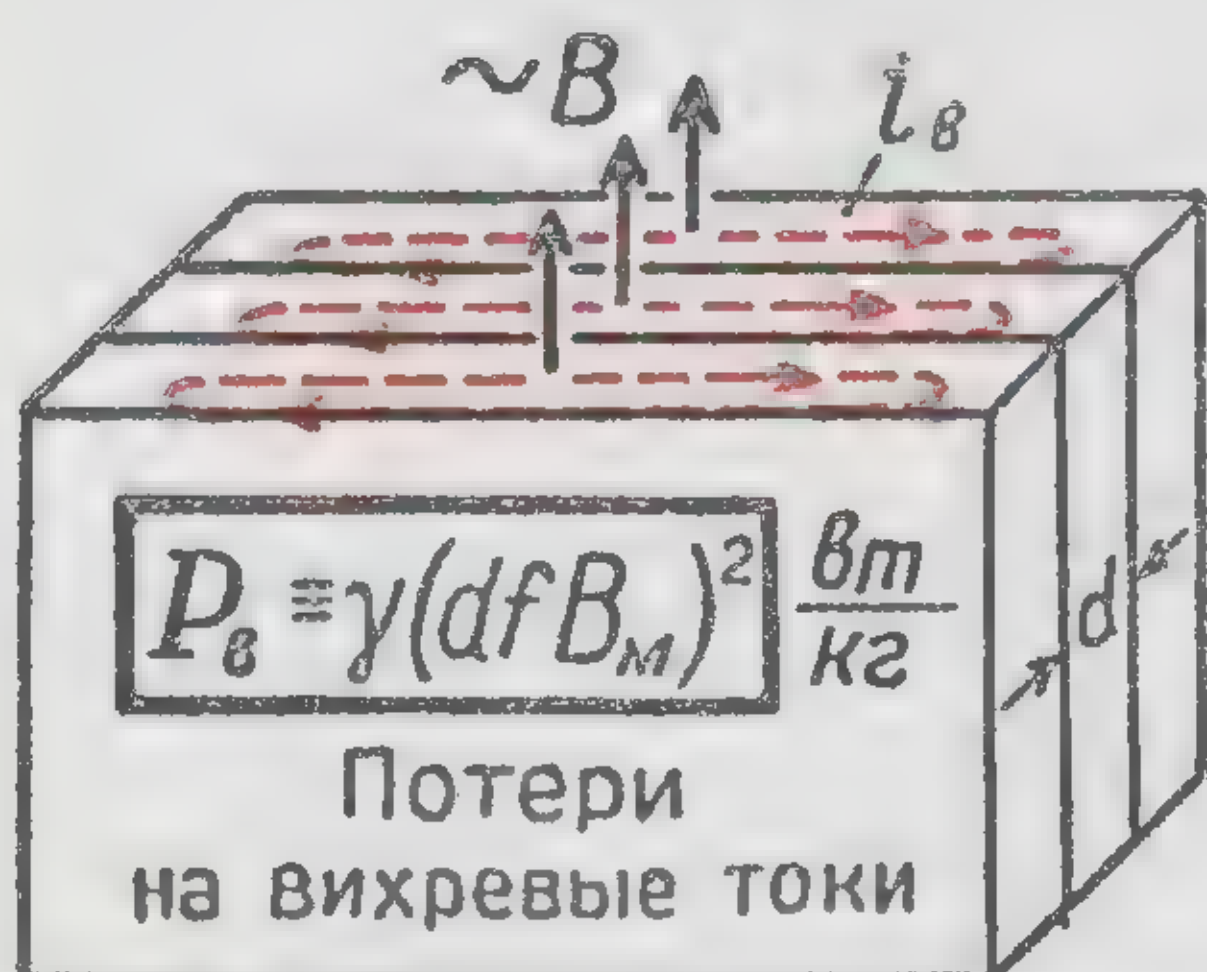


Возрастание магнитного потока и намагничивающего тока с уменьшением числа витков



Векторная диаграмма эквивалентной синусоиды

Искажение намагничивающего тока



$$P_{ст} = P_2 + P_8 = \left[ K_2 \frac{f}{100} + K_8 \left( \frac{f}{100} \right)^2 \left( \frac{B_M}{10000} \right)^2 \right] \frac{B_M}{K_2}$$

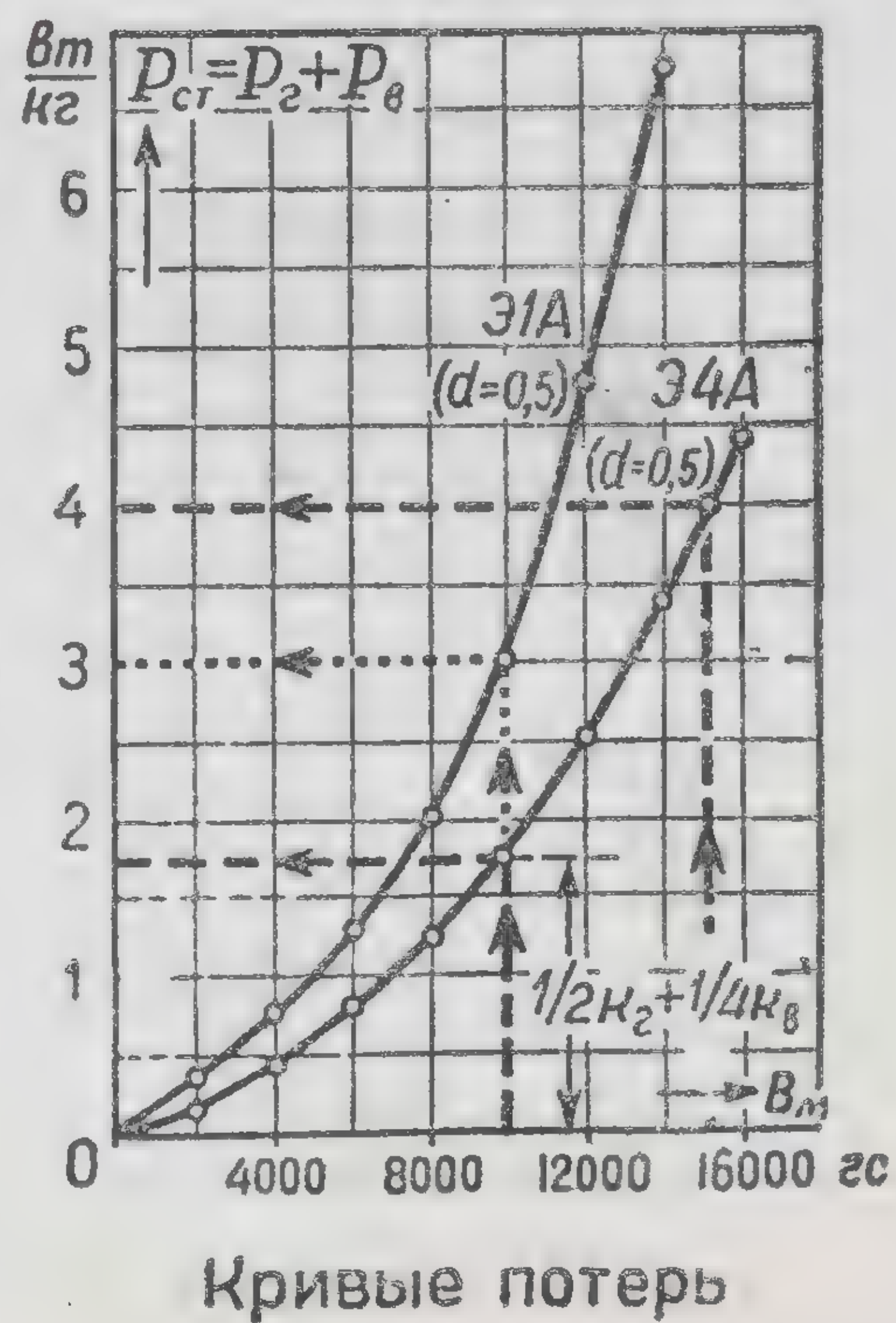
Потери в стали на гистерезис и вихревые токи

$$I_\mu = \frac{I_M}{K_A} \text{ а } I_a = \frac{P_{ст}}{U'}$$

Реактивная (намагничивающая) слагающая Активная слагающая

$$I = \sqrt{I_a^2 + I_\mu^2} \text{ а}$$

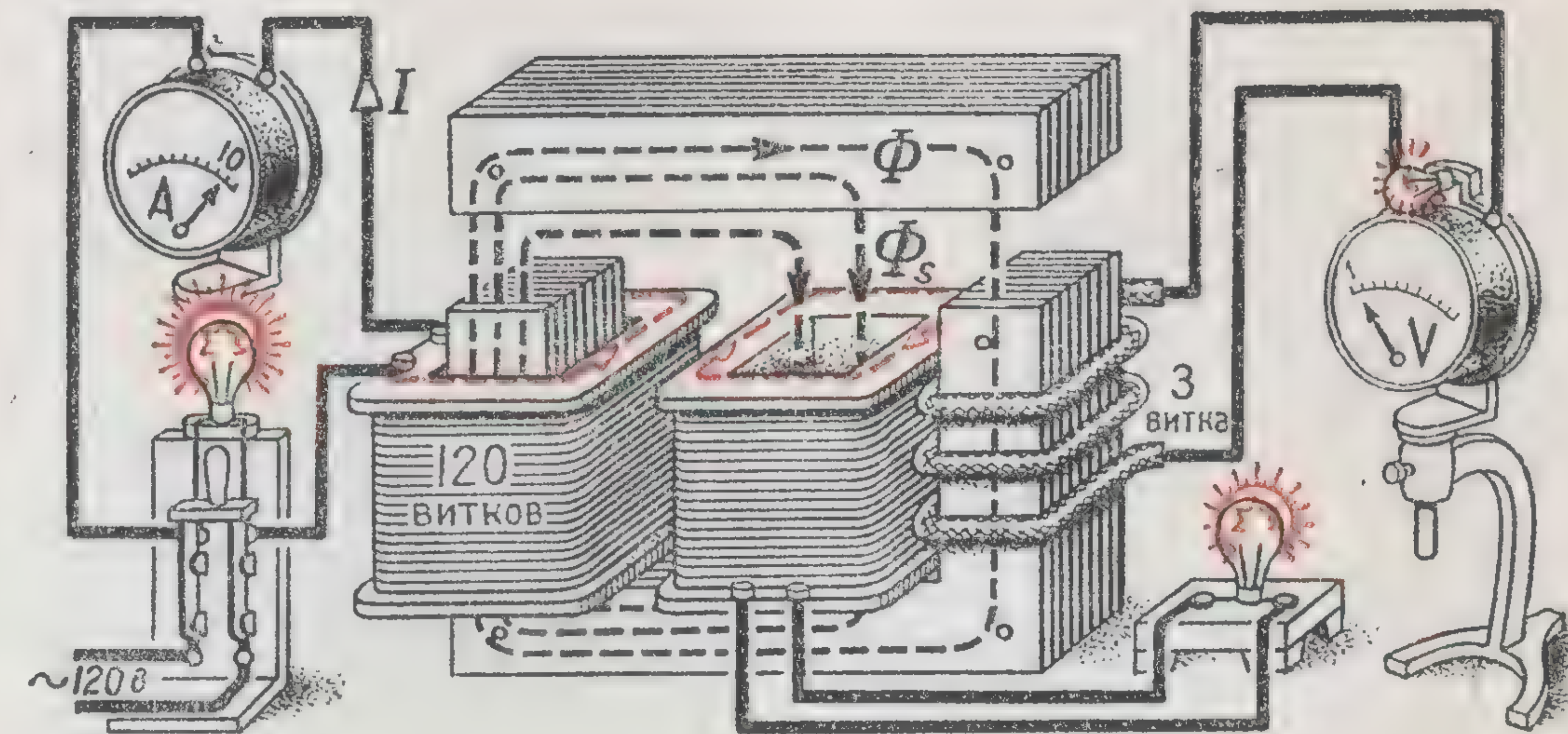
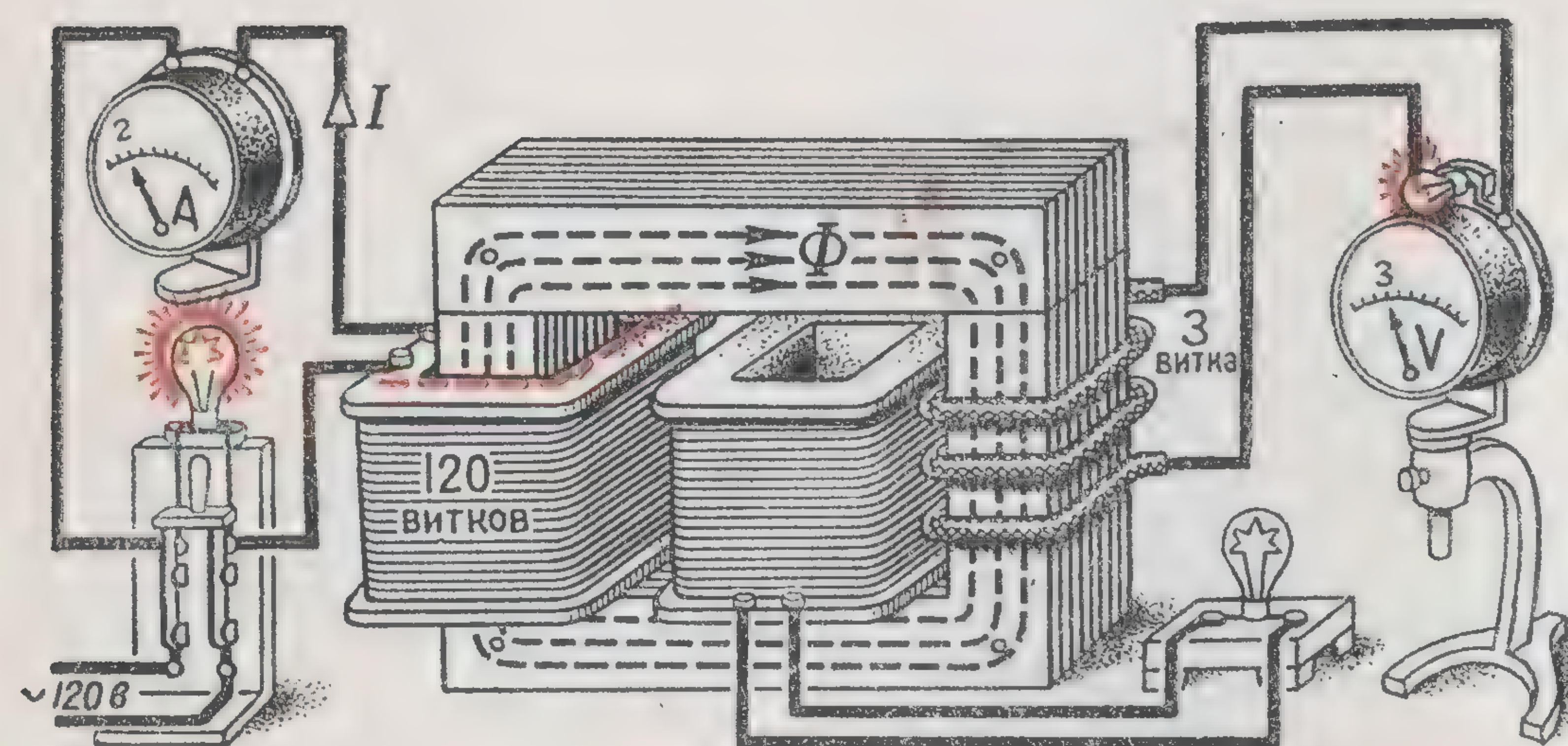
Эквивалентный синусоидальный ток



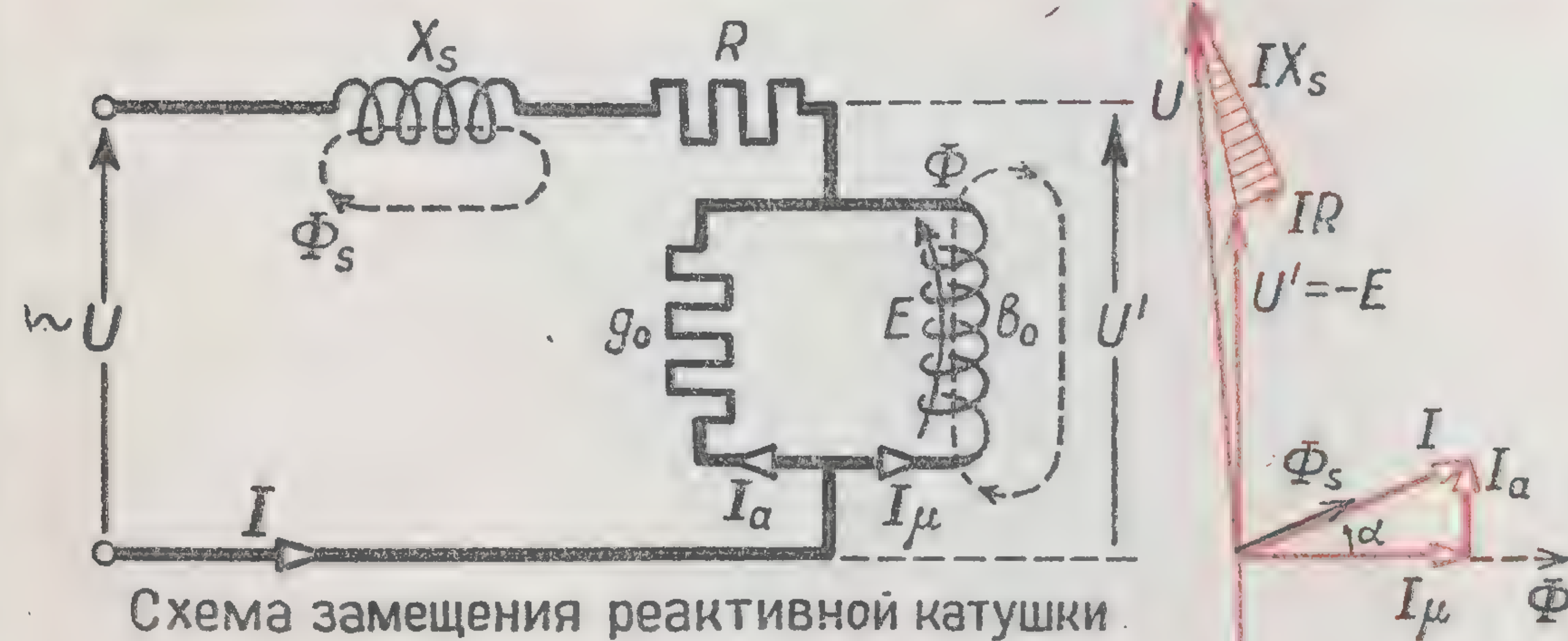
Э.И.Расовский.



# РЕАКТИВНАЯ КАТУШКА



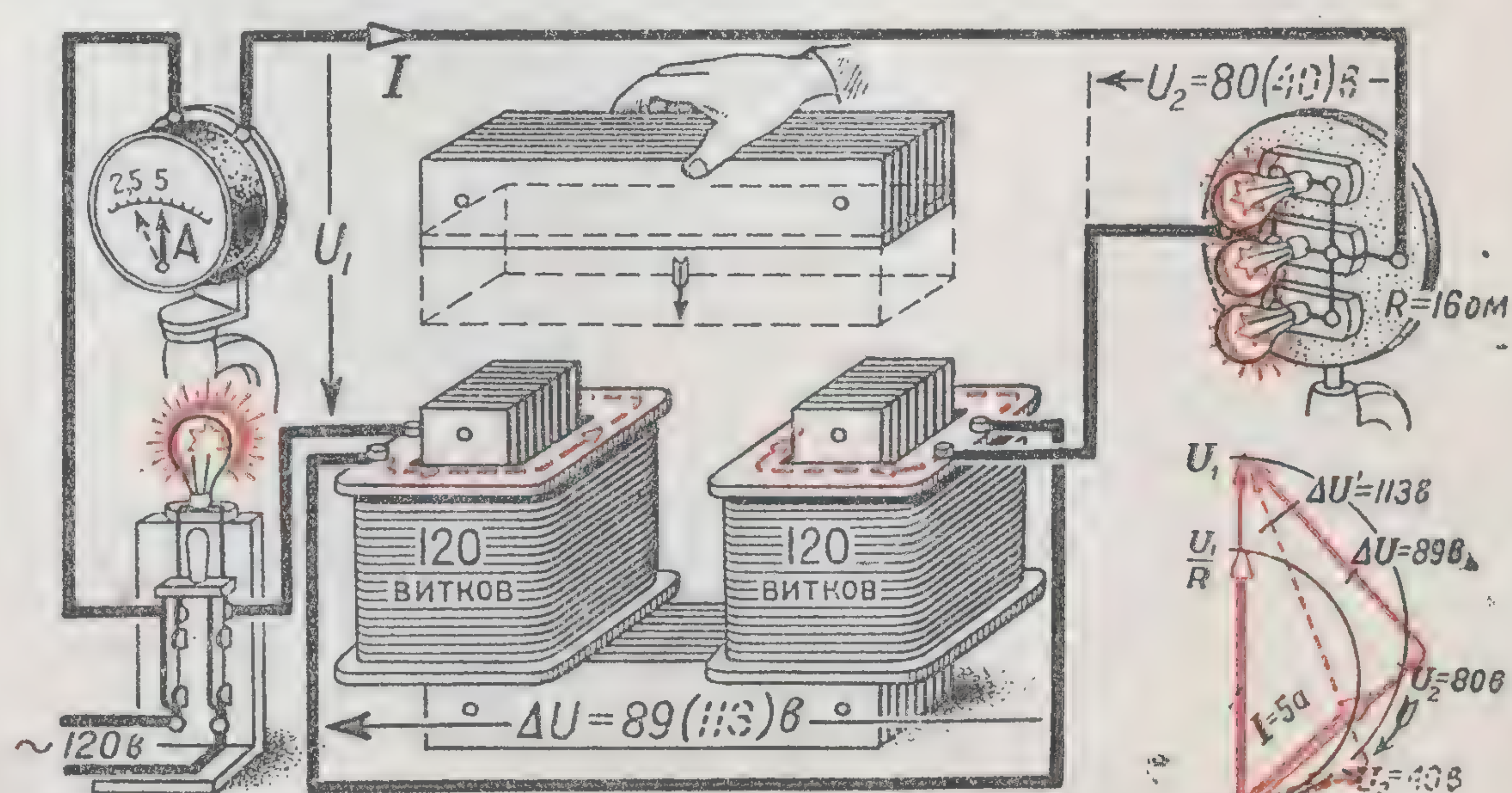
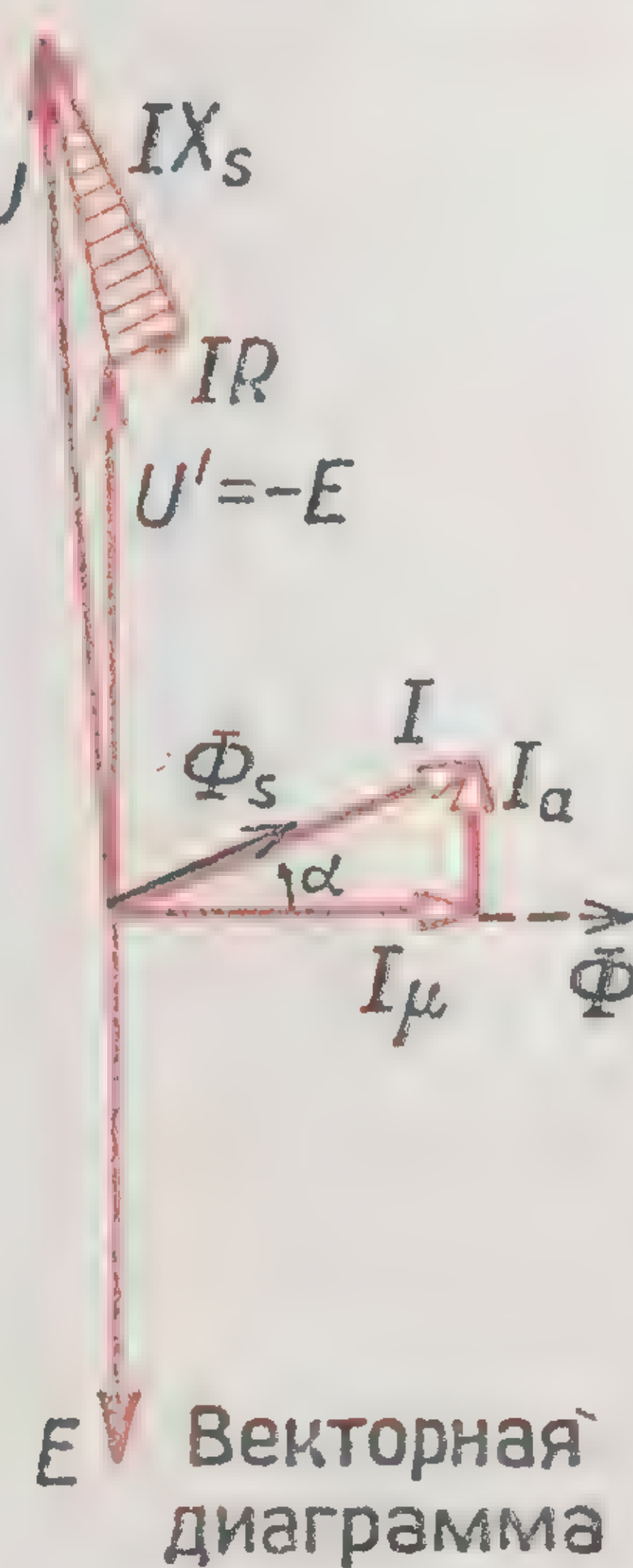
Возрастание намагничивающего тока и потока рассеяния реактивной катушки с увеличением воздушного зазора



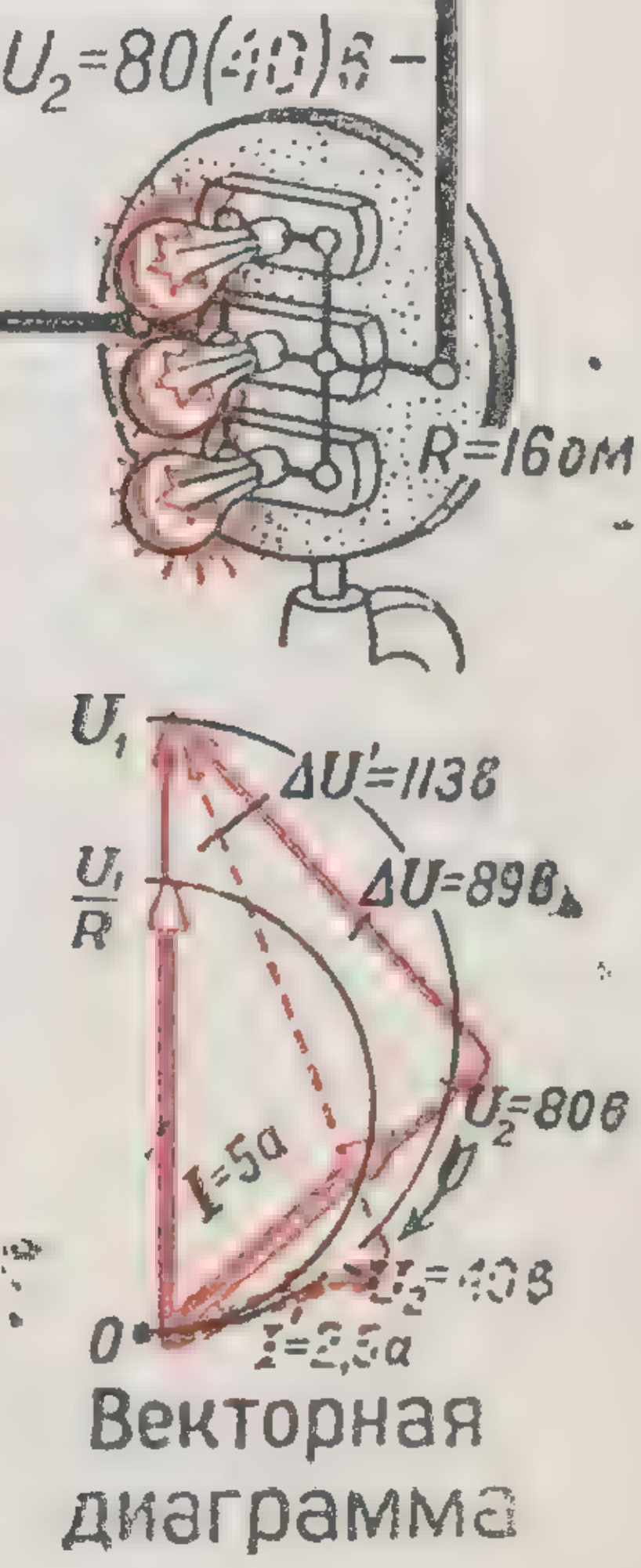
$$g_o = \frac{I_a}{U'} = \frac{P_{ср}}{U'^2} \quad \frac{1}{\Omega}$$

$$b_o = \frac{I_\mu}{U'} \quad \frac{1}{\Omega}$$

Активная и реактивная проводимости



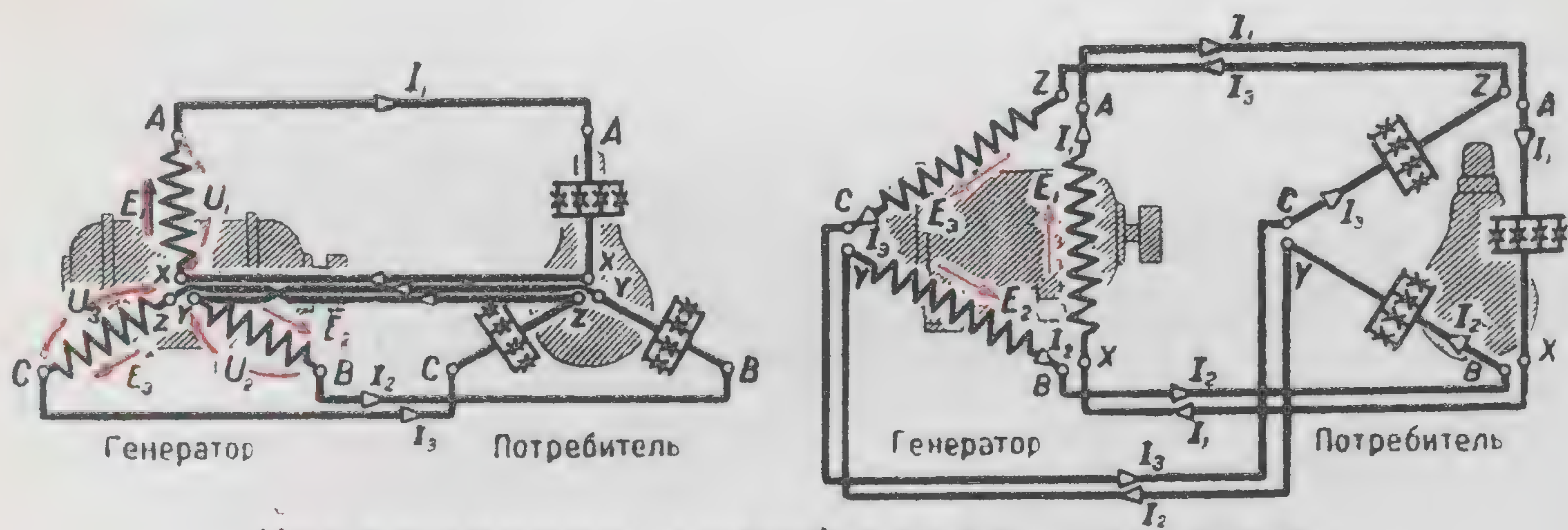
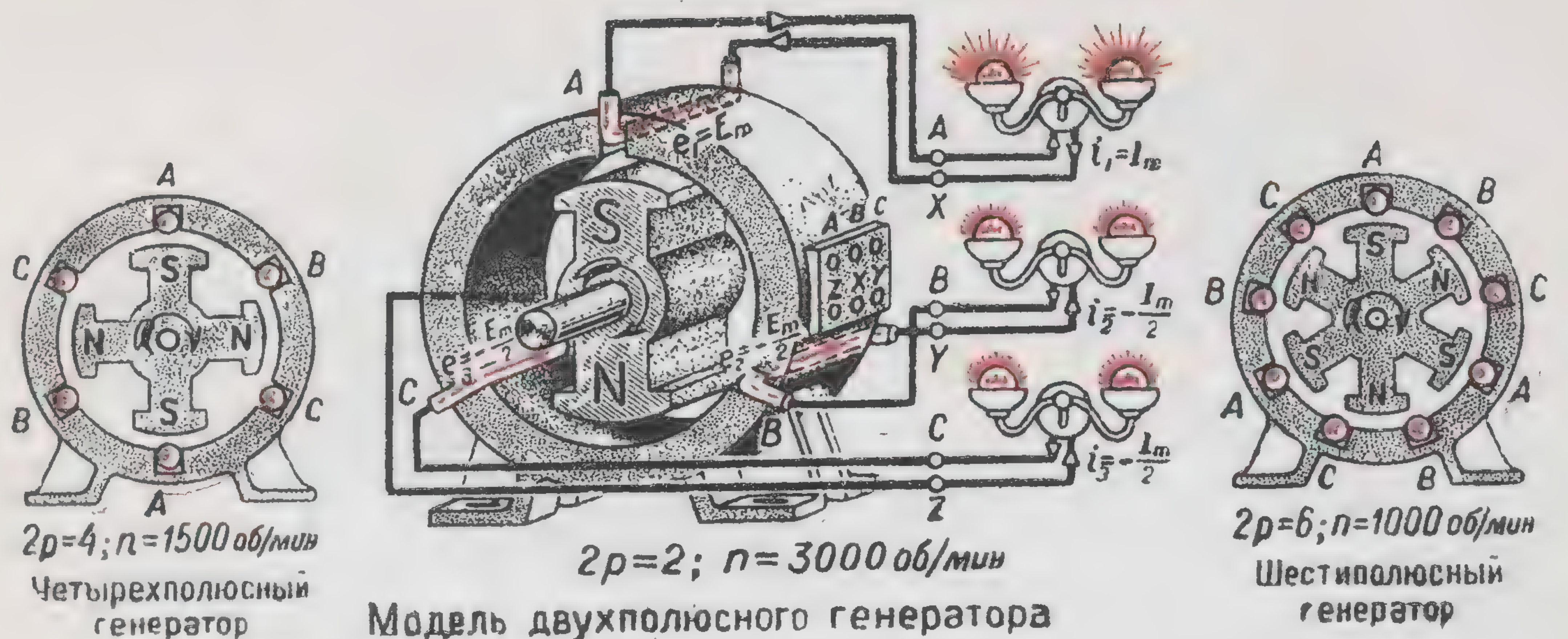
Понижение напряжения на лампах при помощи реактивной катушки (дресселя)



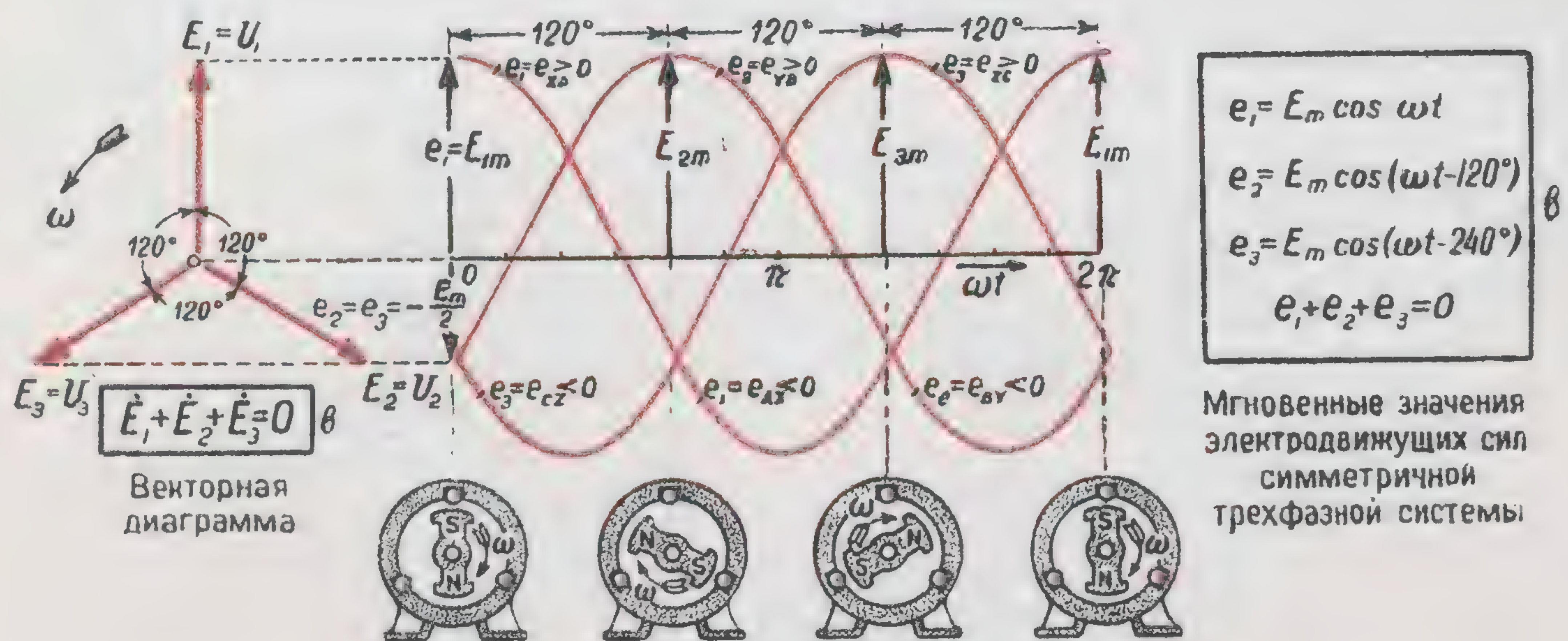
Э.И. Расовский



# ПРОСТЕЙШИЙ ГЕНЕРАТОР ТРЕХФАЗНОГО ТОКА



Несвязанная трехфазная система



Кривые электродвижущих сил

Основоположником техники трехфазного тока является  
М.О. Доливо — Добровольский

Э.И. Расовский



# ХОЛОСТОЙ ХОД ТРЕХФАЗНОГО ГЕНЕРАТОРА.

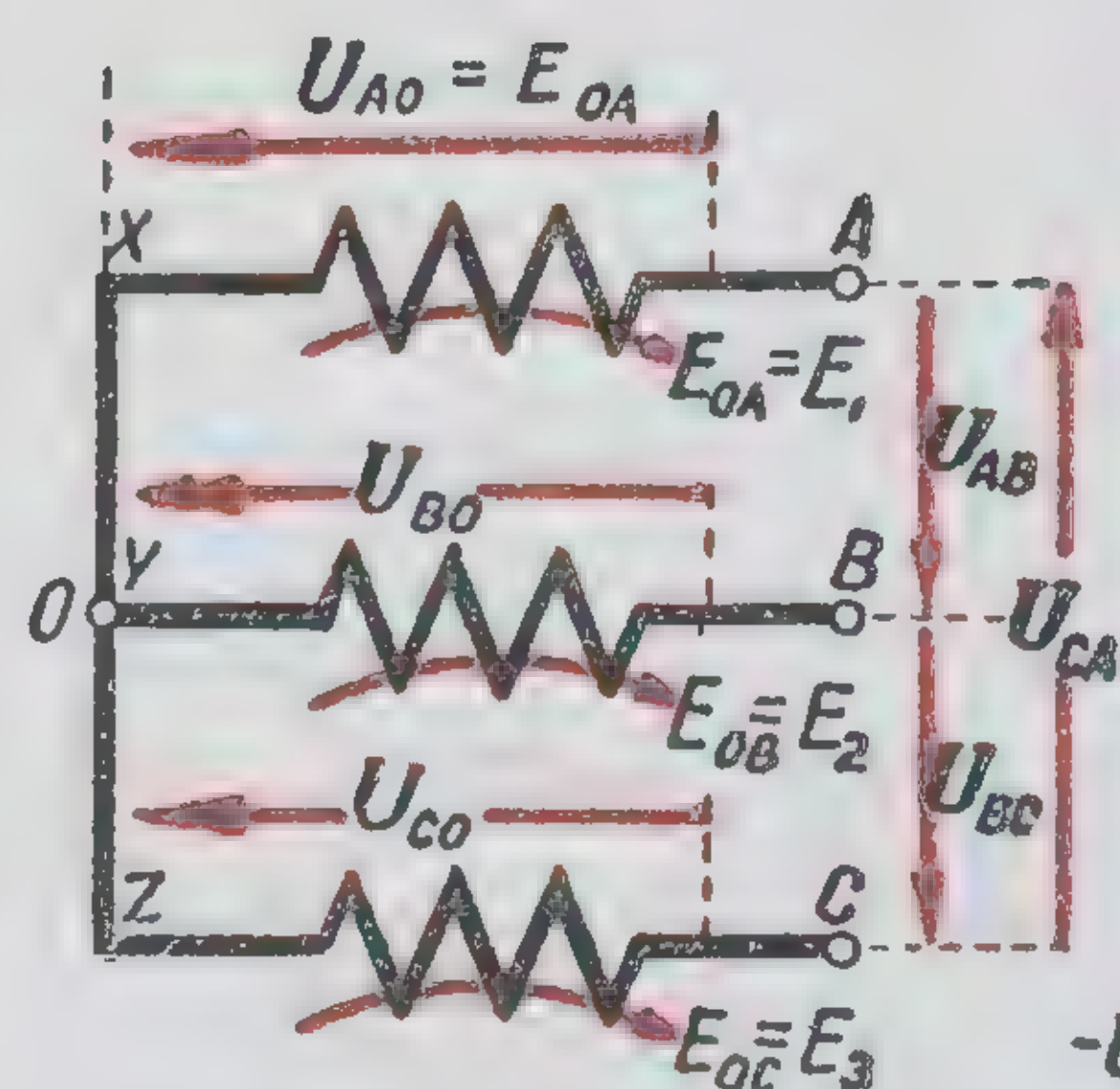
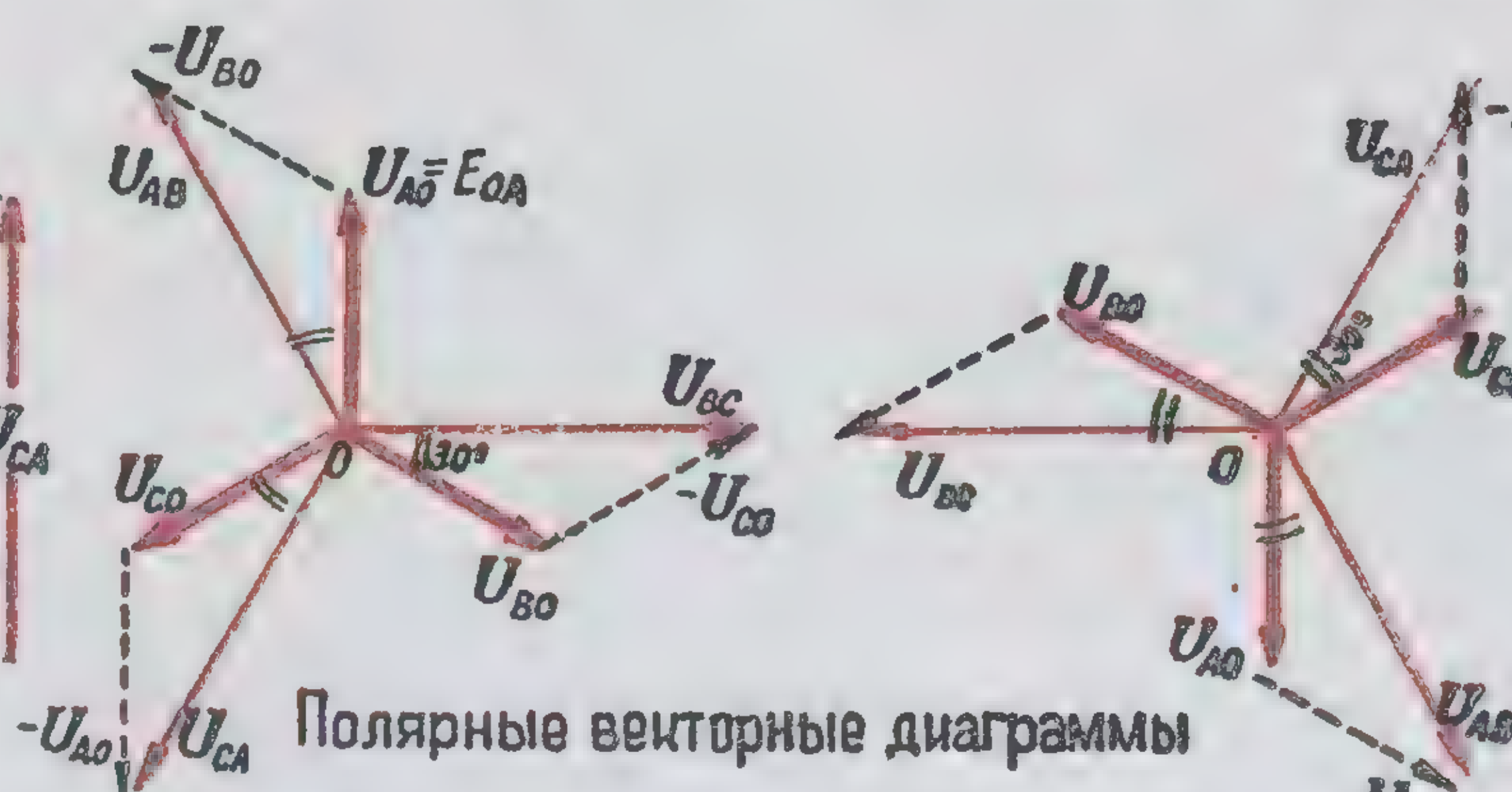


Схема соединения обмоток генератора звездой



Полярные векторные диаграммы

$$\dot{U}_{AO} = \dot{E}_{OA}; \quad \dot{U}_{BO} = \dot{E}_{OB}; \quad \dot{U}_{CO} = \dot{E}_{OC} \quad \text{В}$$

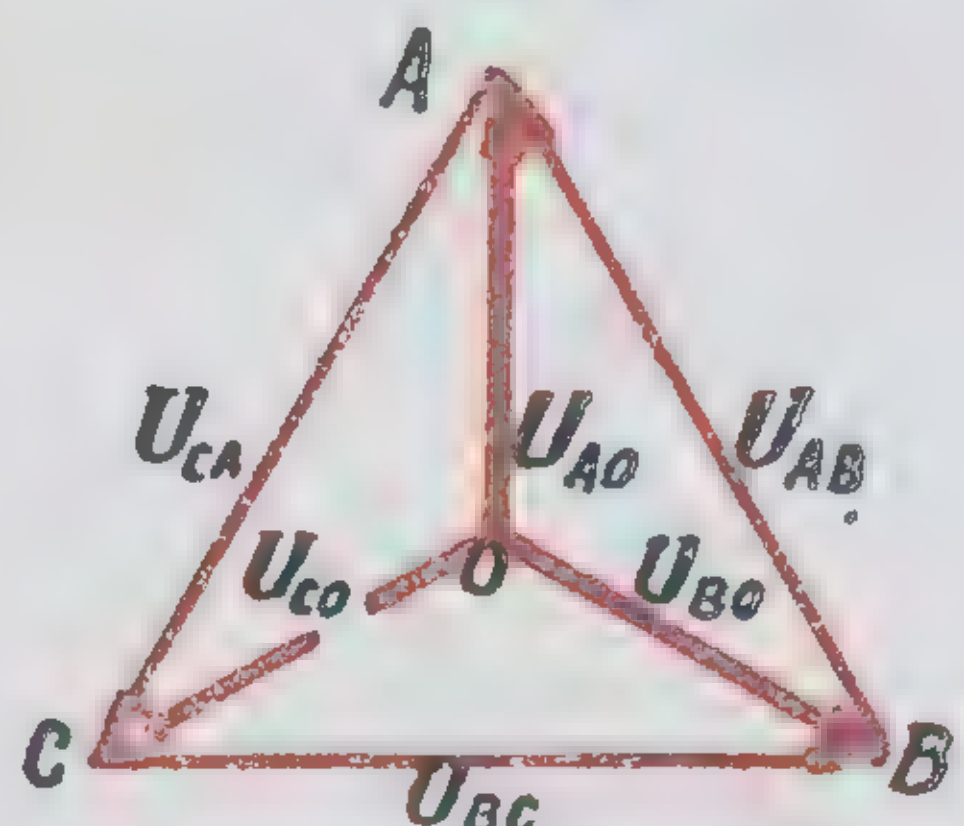
Фазовые напряжения генератора при холостом ходе

$$\dot{U}_{AB} = \dot{U}_{AO} - \dot{U}_{BO}; \quad \dot{U}_{BC} = \dot{U}_{BO} - \dot{U}_{CO}; \quad \dot{U}_{CA} = \dot{U}_{CO} - \dot{U}_{AO} \quad \text{В}$$

Линейные напряжения

$$\dot{U}_{AB} + \dot{U}_{BC} + \dot{U}_{CA} = 0 \quad \text{В}$$

Векторы линейных напряжений образуют замкнутый треугольник



Топографическая векторная диаграмма напряжений (классическая)

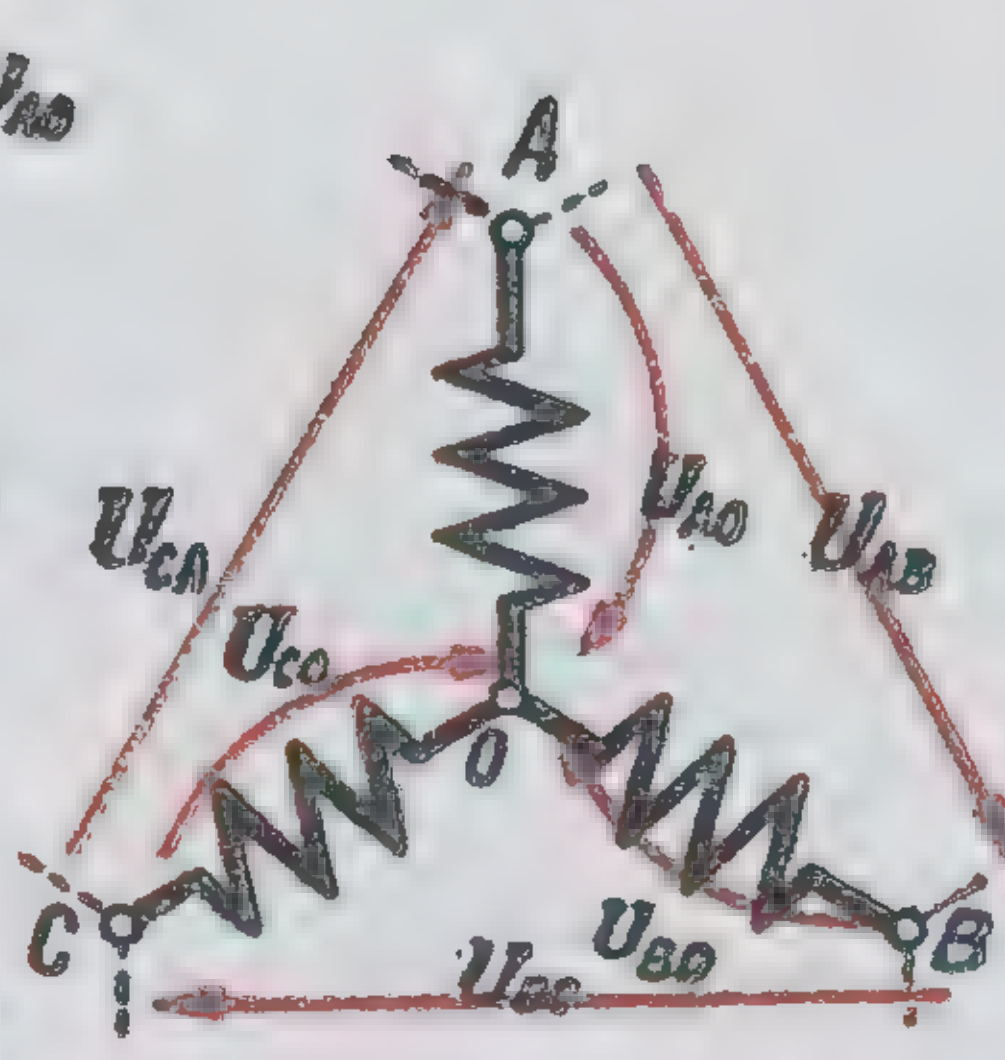
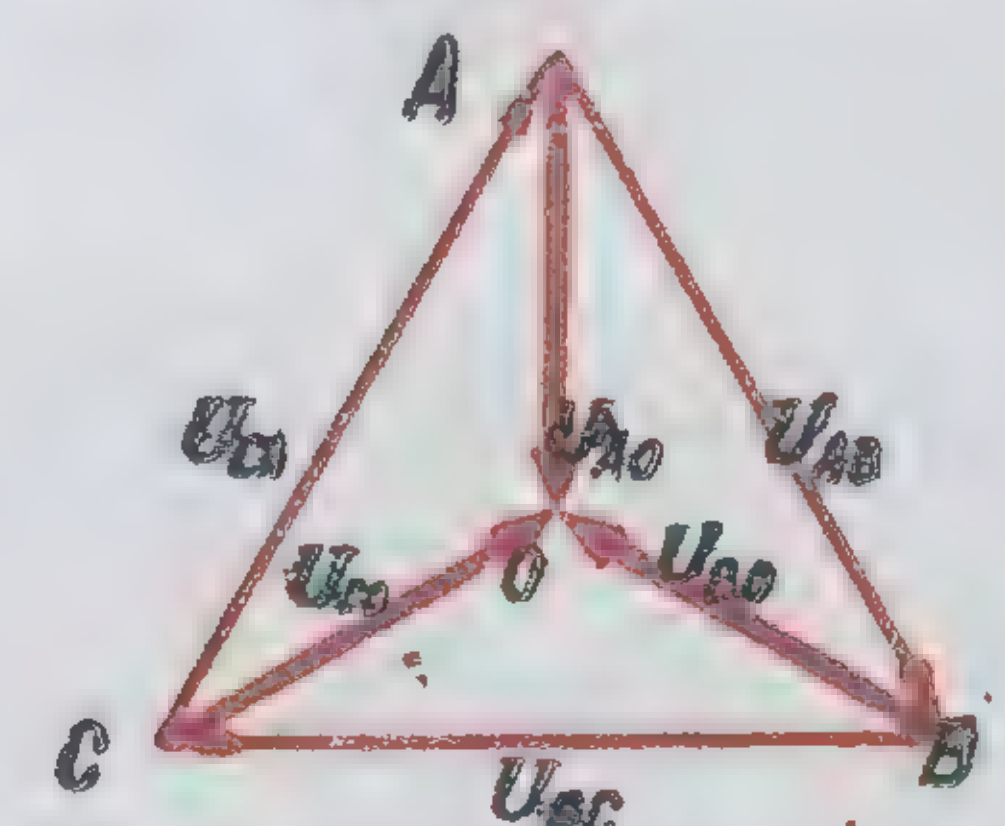


Схема соединения обмоток генератора звездой



Топографическая векторная диаграмма напряжений (рационализированная)

## Соединение генератора звездой.

(соединение концов X Y Z трех обмоток, фаз, в одну общую точку — нейтраль)

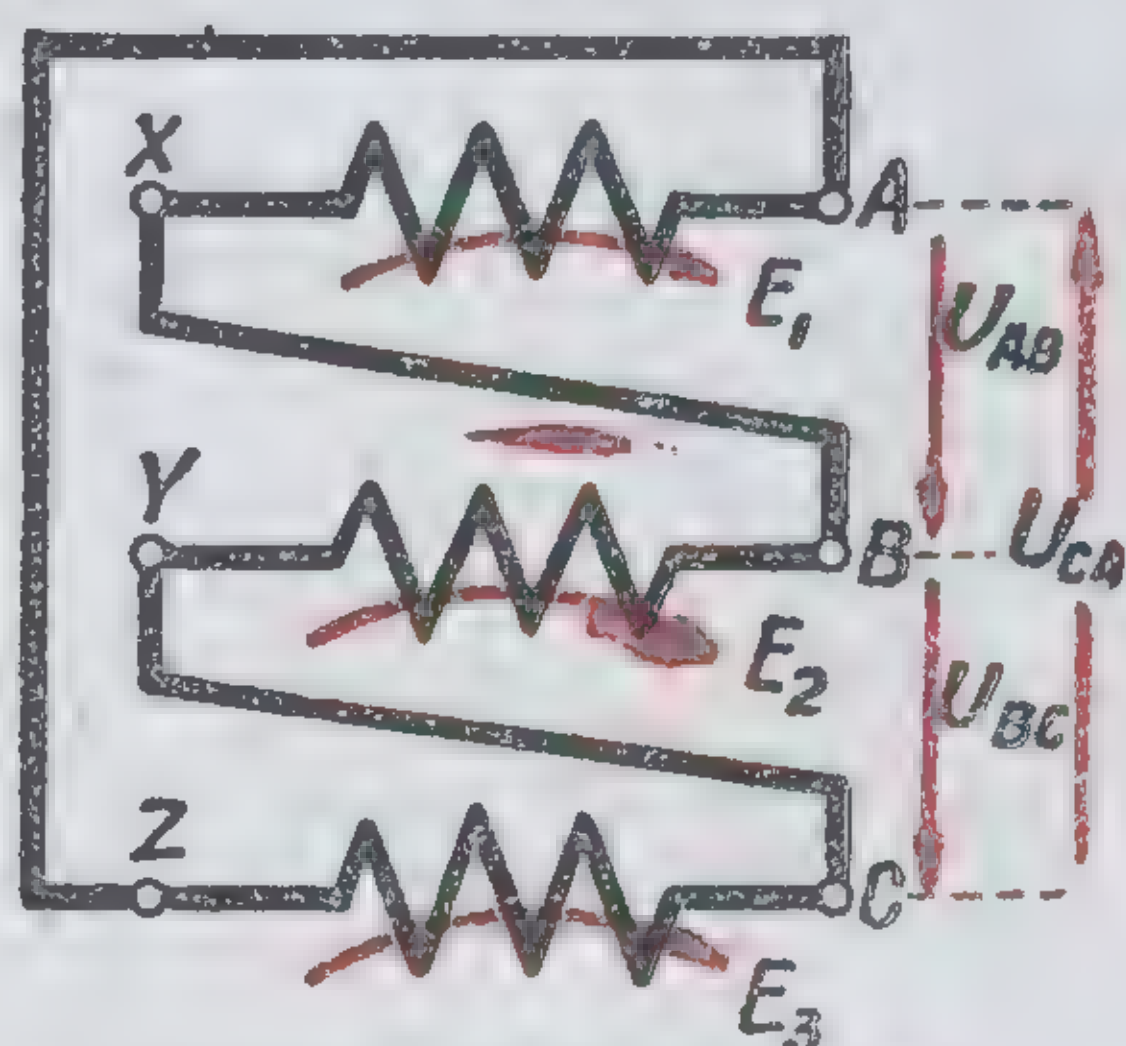
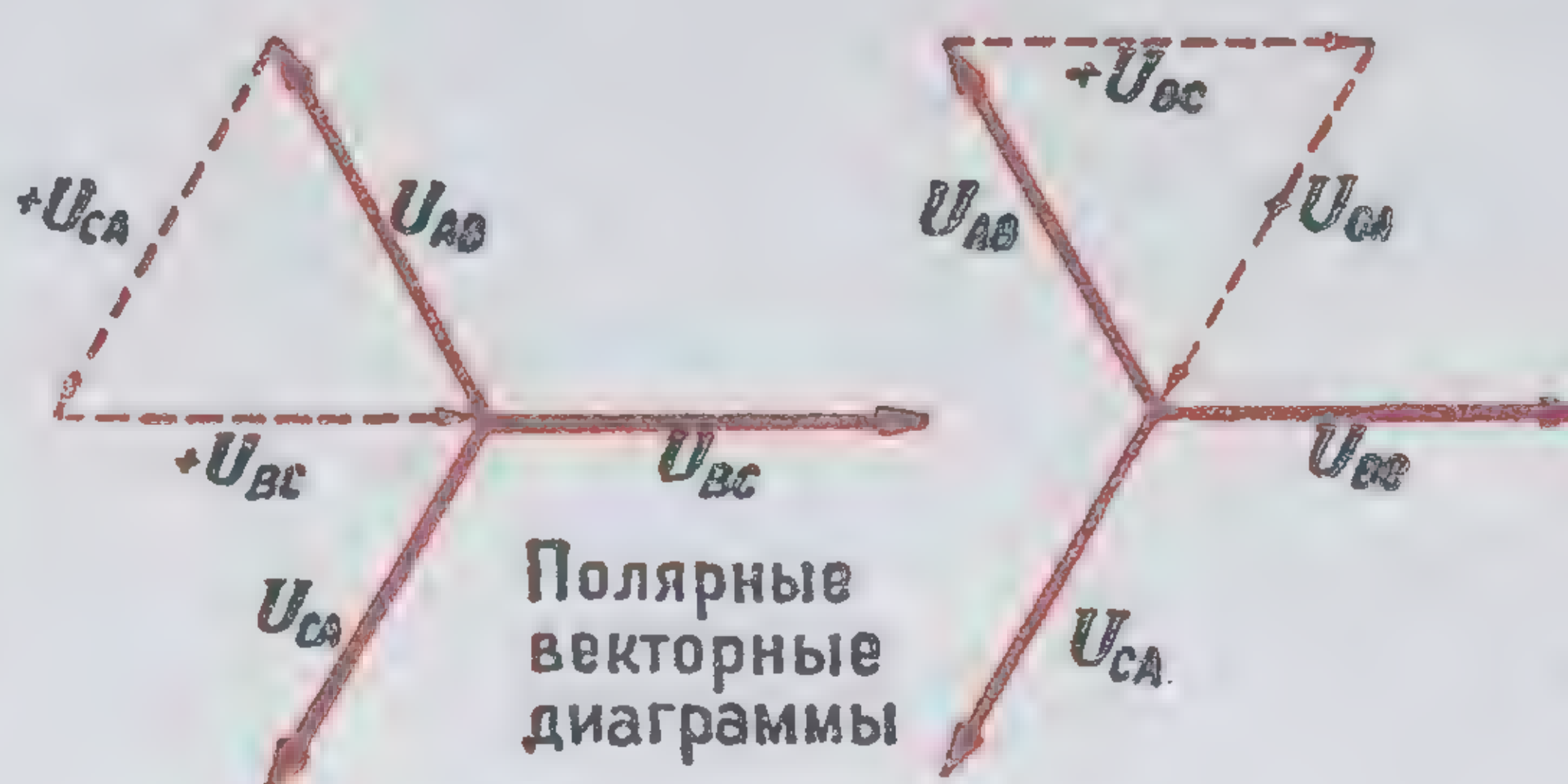


Схема соединения обмоток генератора треугольником

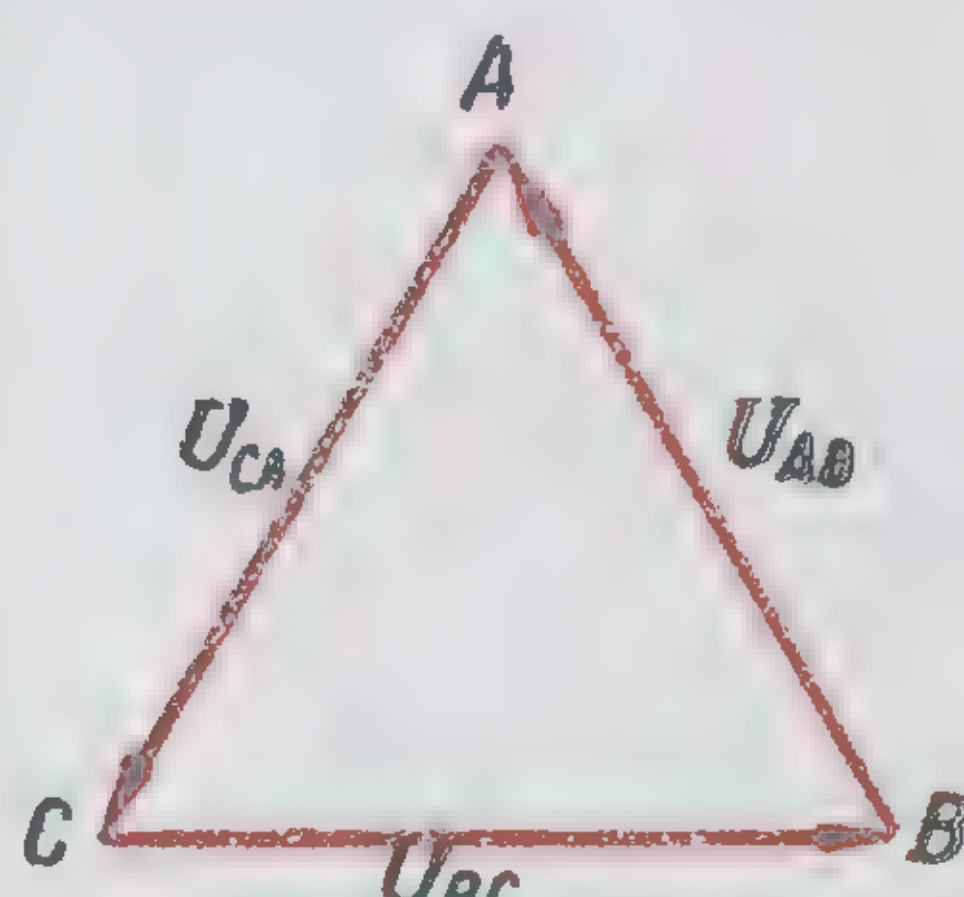


$$\dot{E}_1 + \dot{E}_2 + \dot{E}_3 = 0 \quad \text{В}$$

В симметричном генераторе, соединенном треугольником, сумма трех его э.д.с. равна нулю и при отсутствии нагрузки тока в нем не будет.

$$\dot{U}_{AB} + \dot{U}_{BC} + \dot{U}_{CA} = 0 \quad \text{В}$$

Векторы линейных напряжений образуют замкнутый треугольник.



Топографическая векторная диаграмма напряжений (классическая)

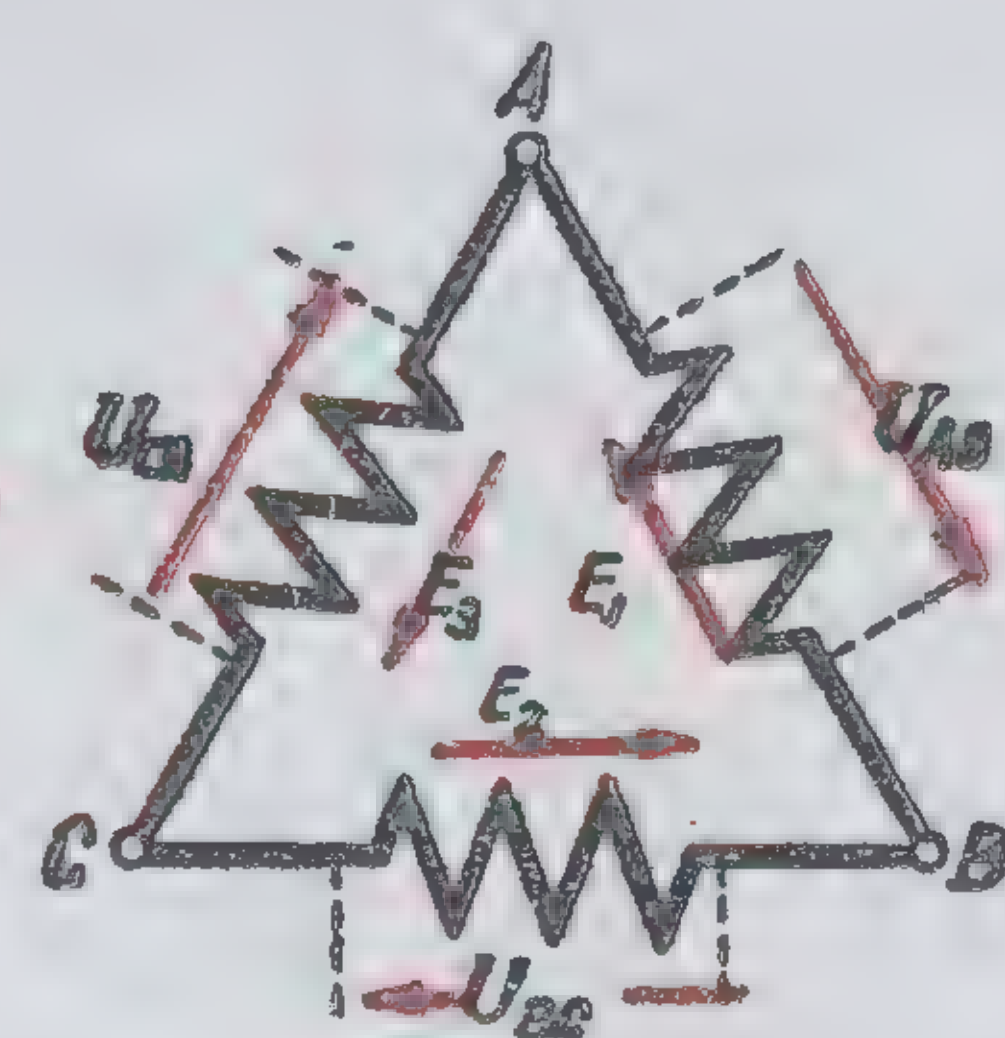
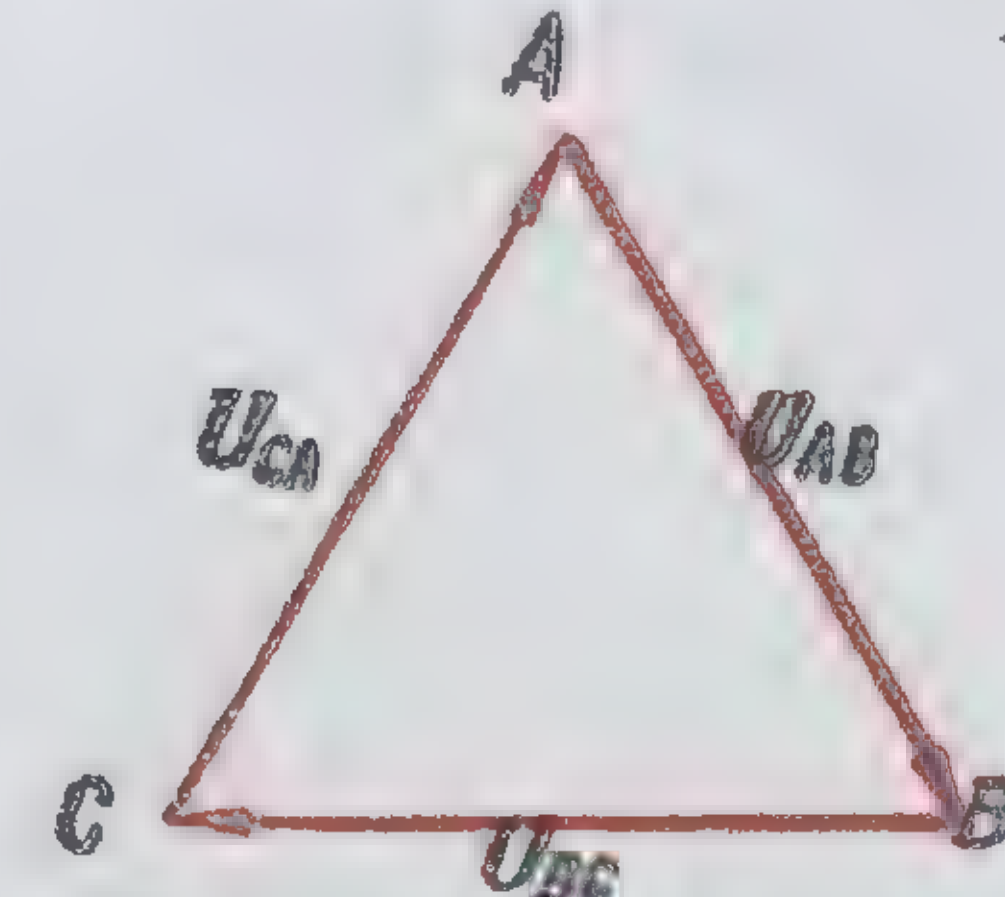


Схема соединения обмоток генератора треугольником



Топографическая векторная диаграмма напряжений (рационализированная)

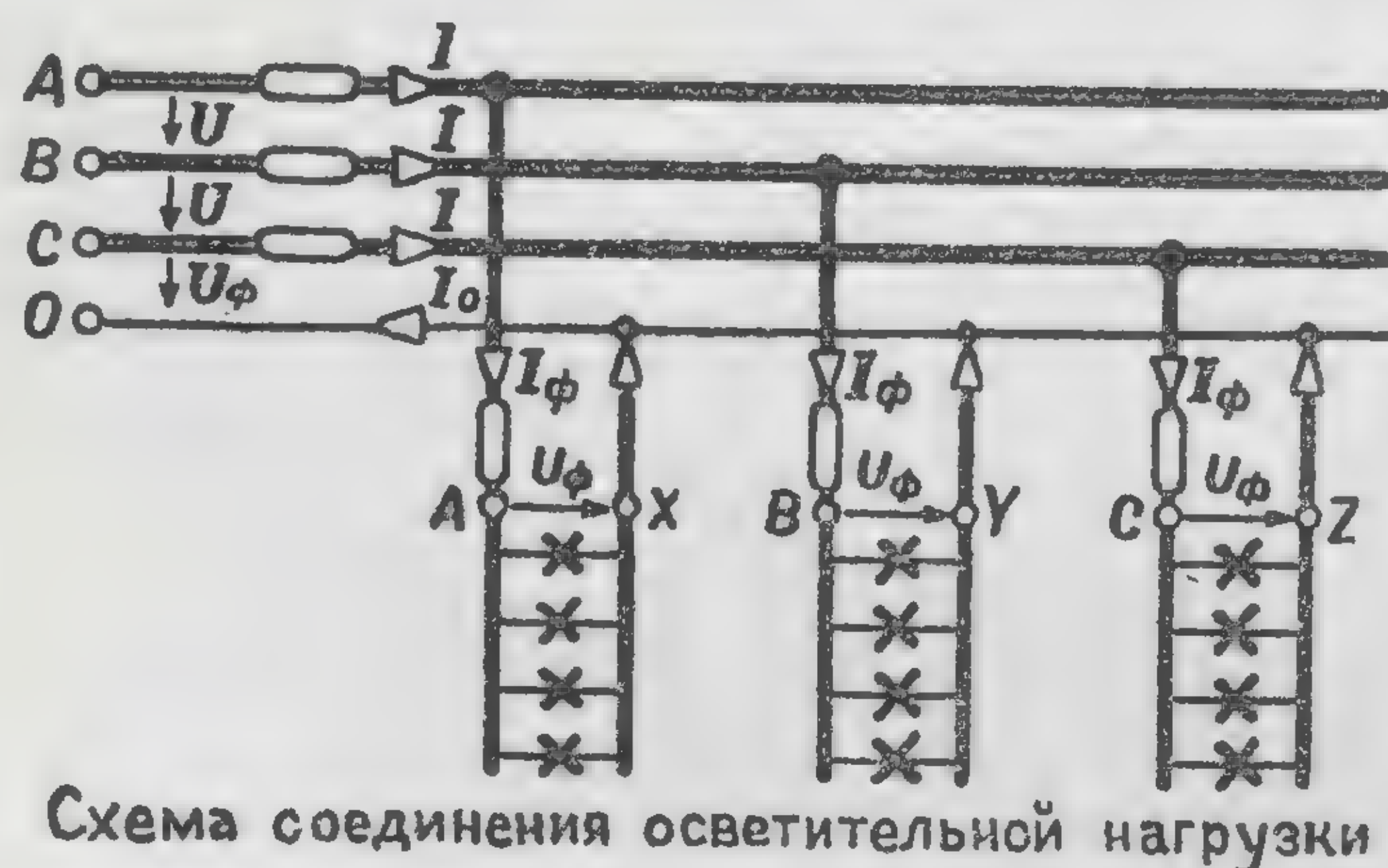
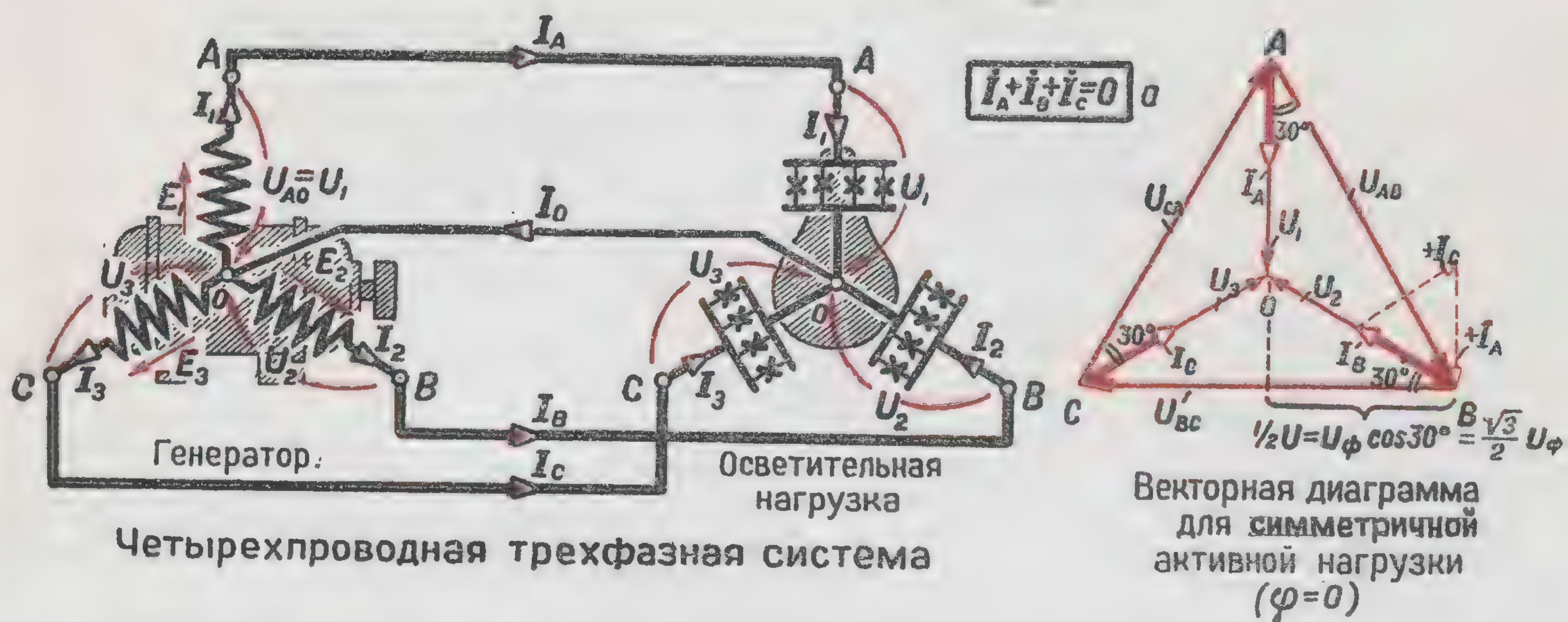
## Соединение генератора треугольником

(соединение трех обмоток, фаз, в замкнутую последовательную цепь)

Обмотки трехфазного генератора соединяются, как правило, звездой



# СОЕДИНЕНИЕ ЗВЕЗДОЙ (Y)



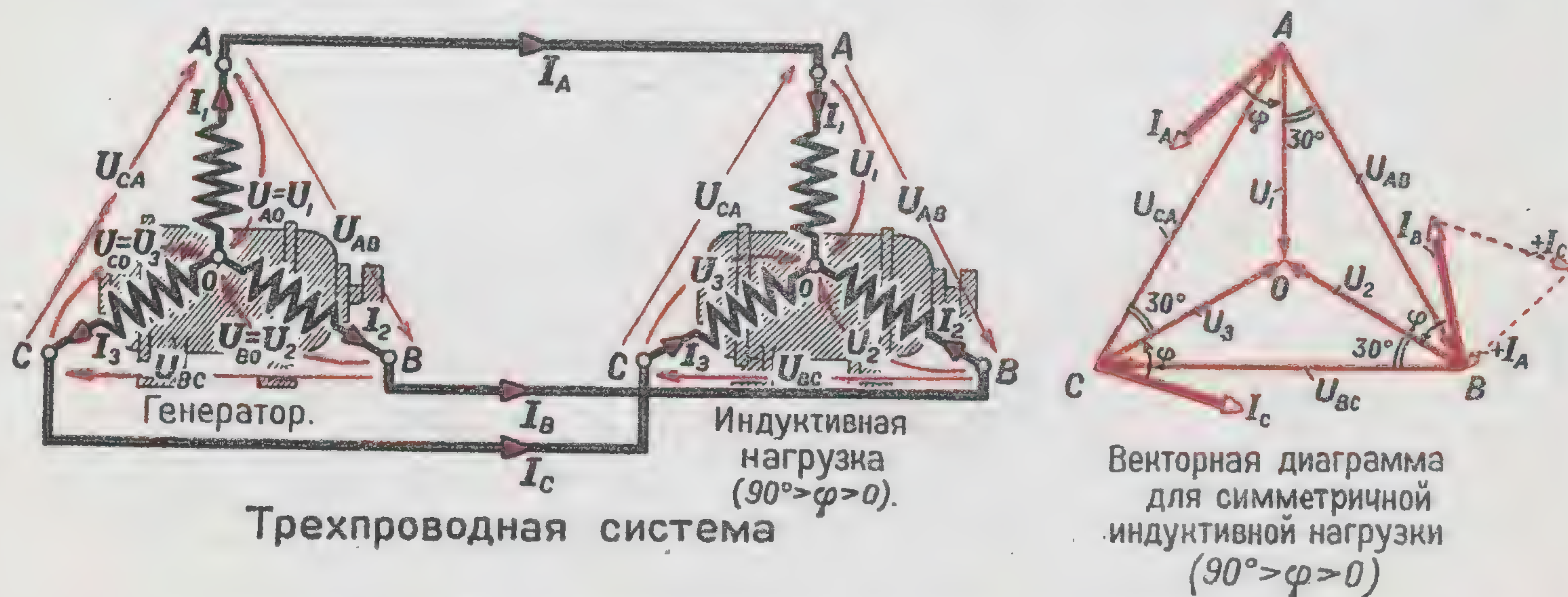
$$I_A = I_\phi; I_B = I_\phi; I_C = I_\phi (I = I_\phi); I_0 = I_A + I_B + I_C \quad a$$

$$\dot{U}_{AB} = \dot{U}_A - \dot{U}_B; \dot{U}_{BC} = \dot{U}_B - \dot{U}_C; \dot{U}_{CA} = \dot{U}_C - \dot{U}_A \quad b$$

Соотношения между линейными и фазовыми токами и напряжениями

При соединении звездой линейный ток ( $I$ ) является фазовым ( $I_\phi$ ), а линейное напряжение ( $U$ ) равно геометрической разности двух смежных фазовых напряжений ( $U_\phi$ )

|| При симметричной нагрузке фаз ток в нулевом проводе отсутствует и надобность в этом проводе отпадает ||



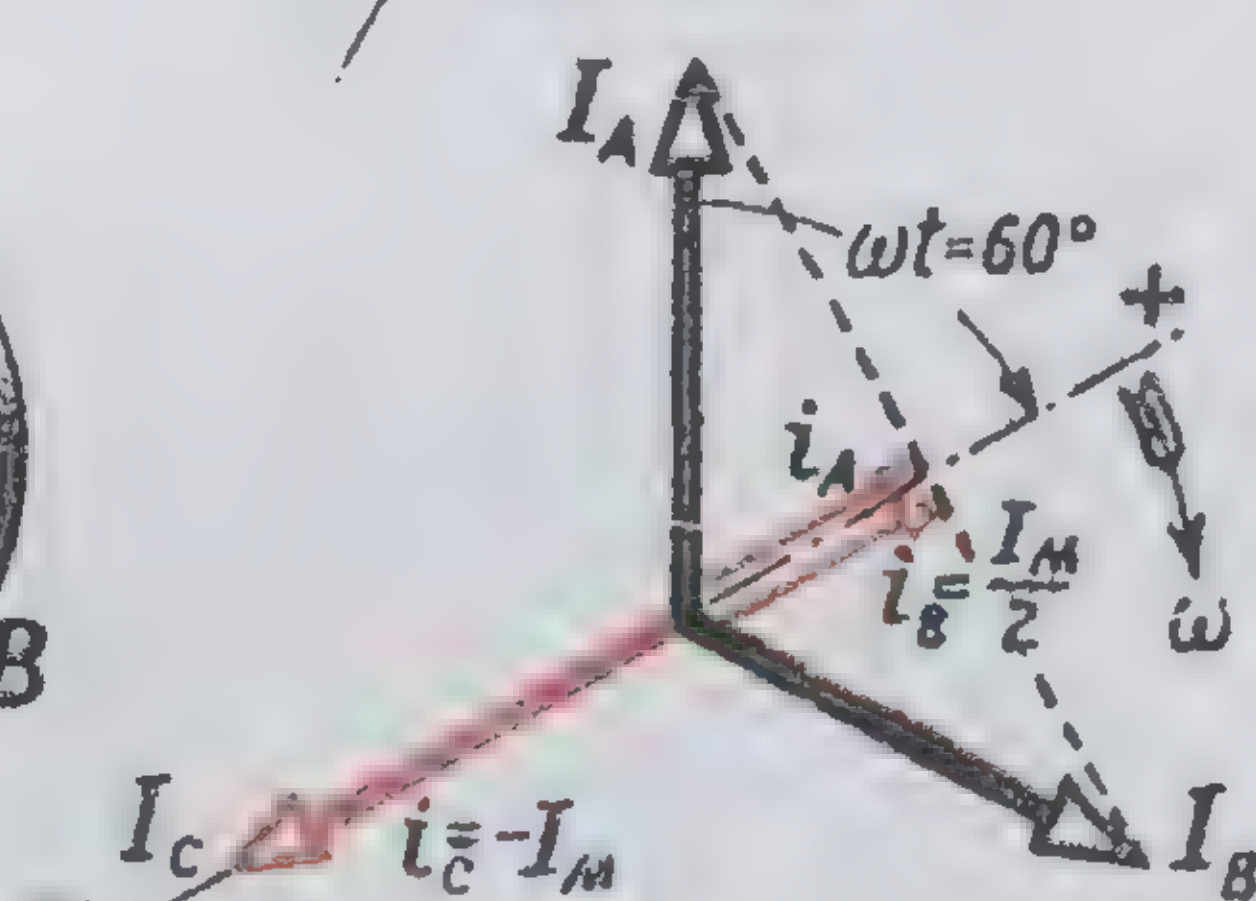
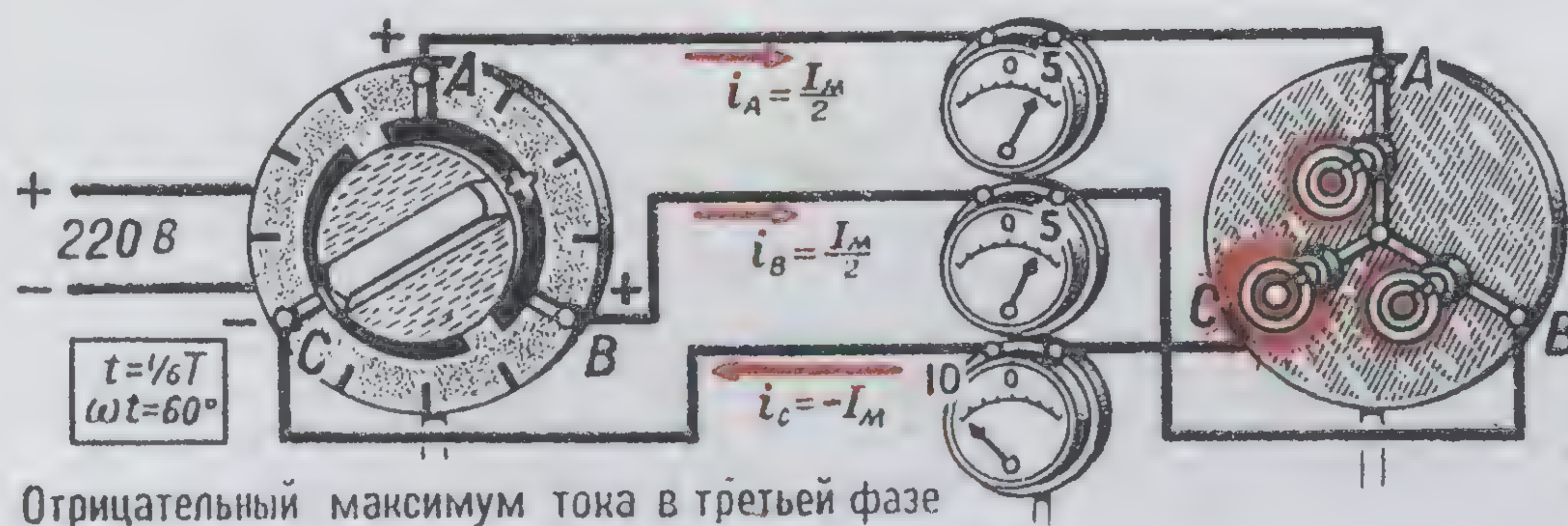
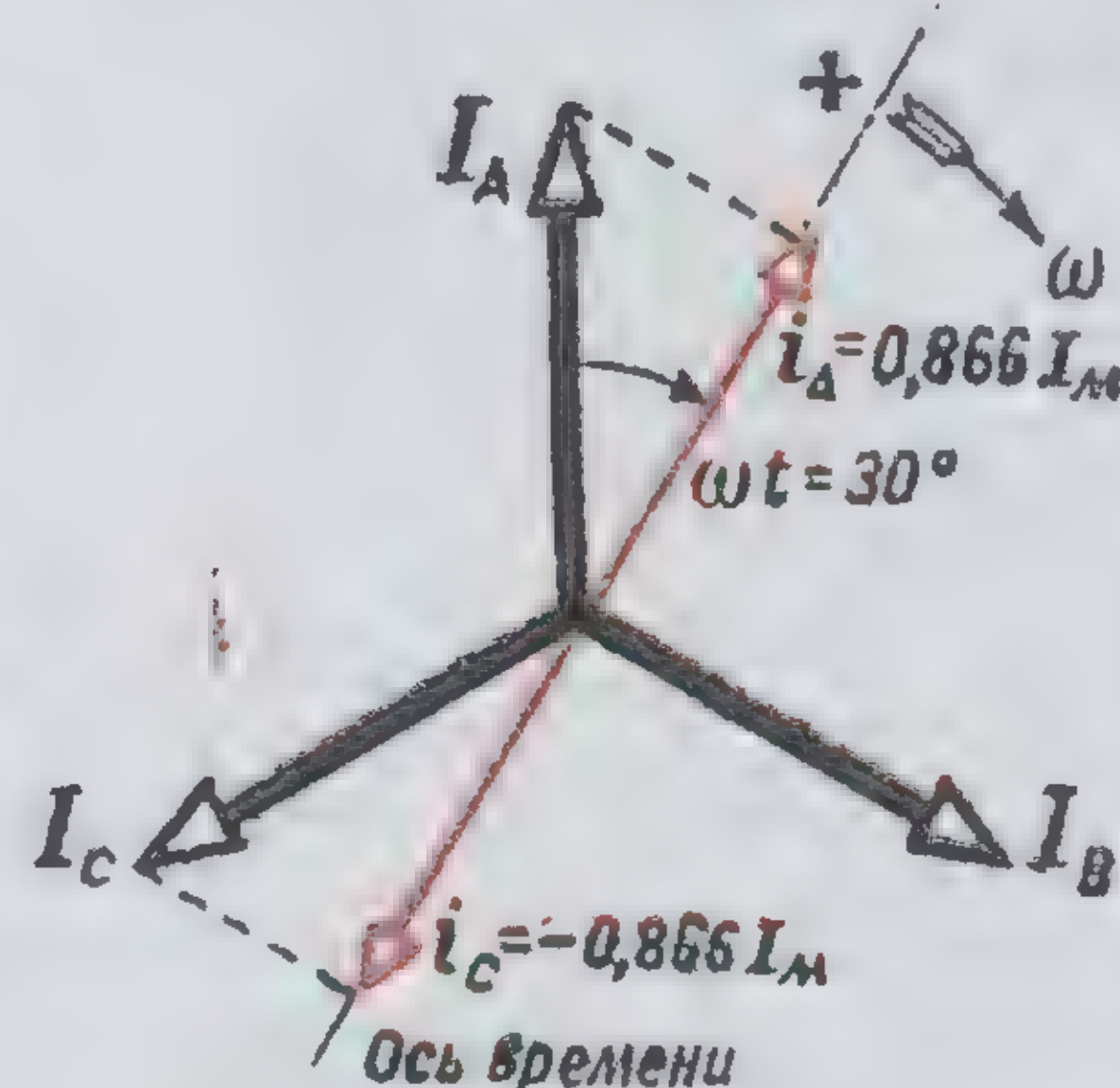
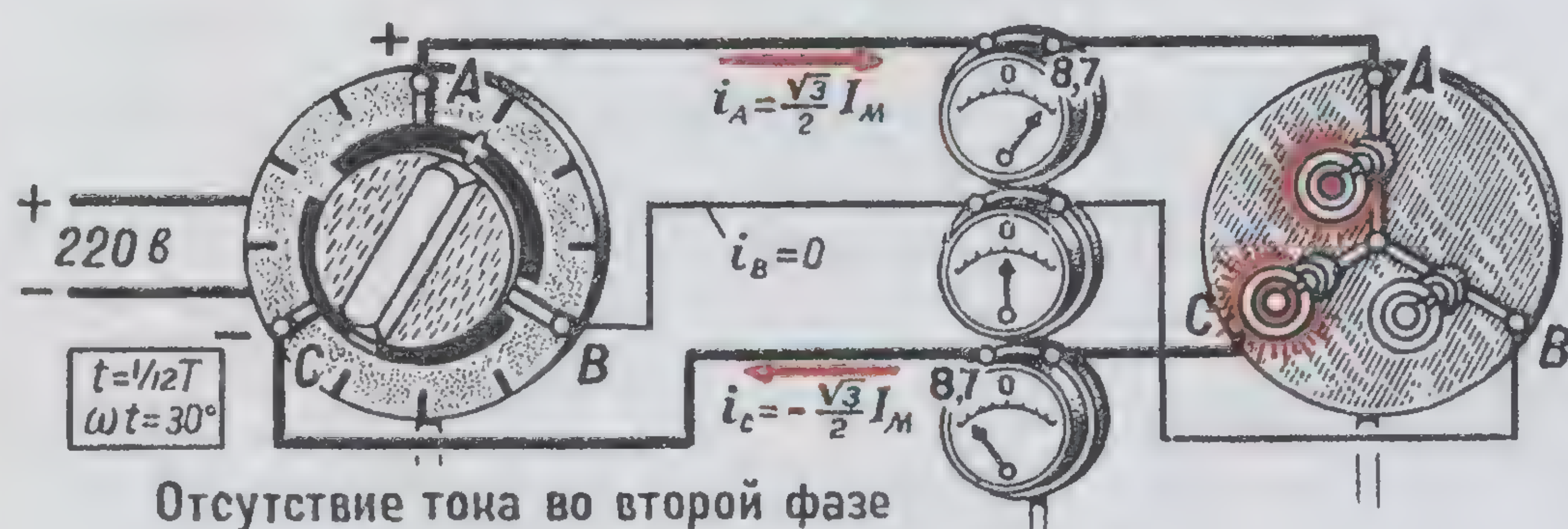
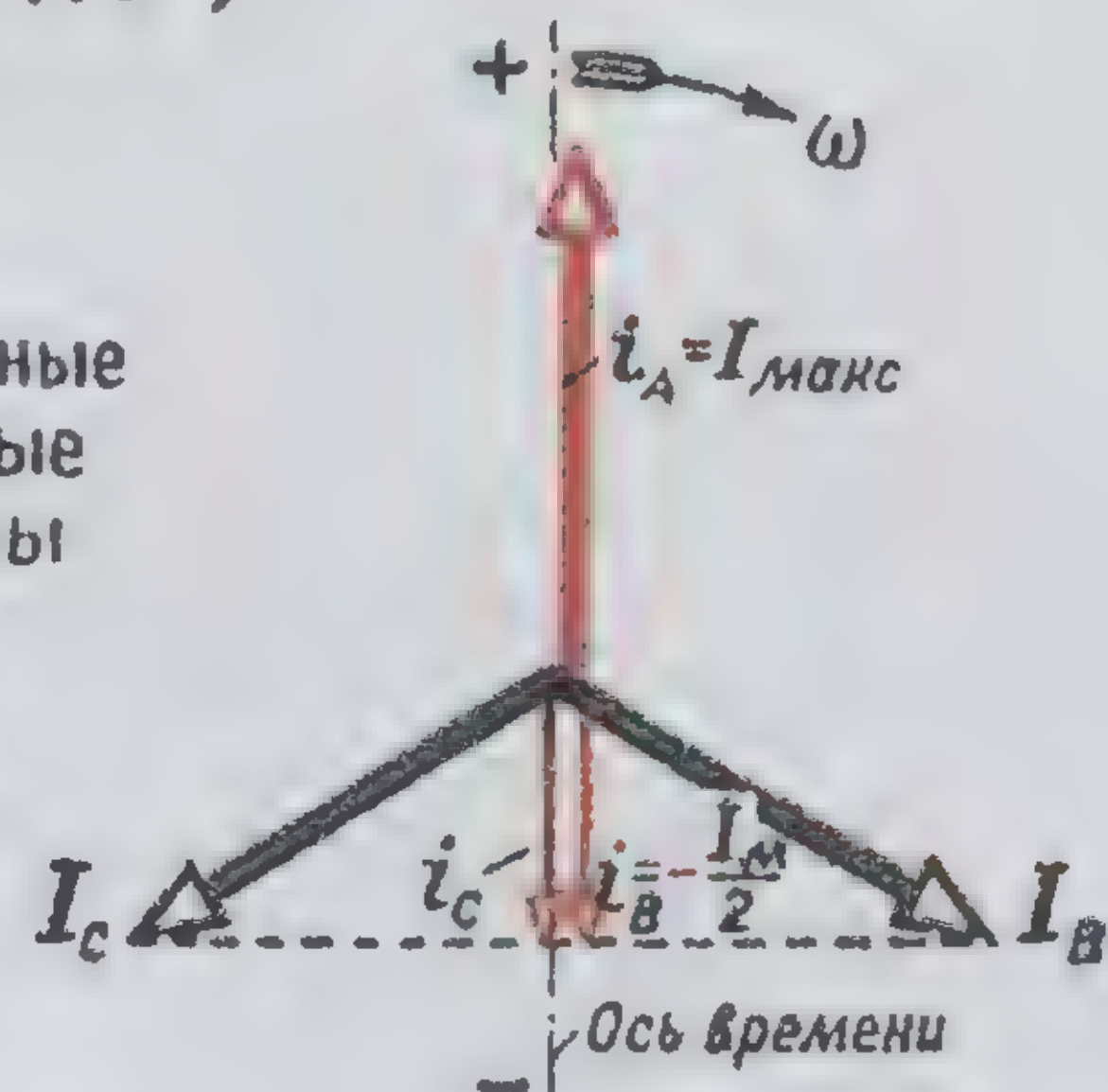
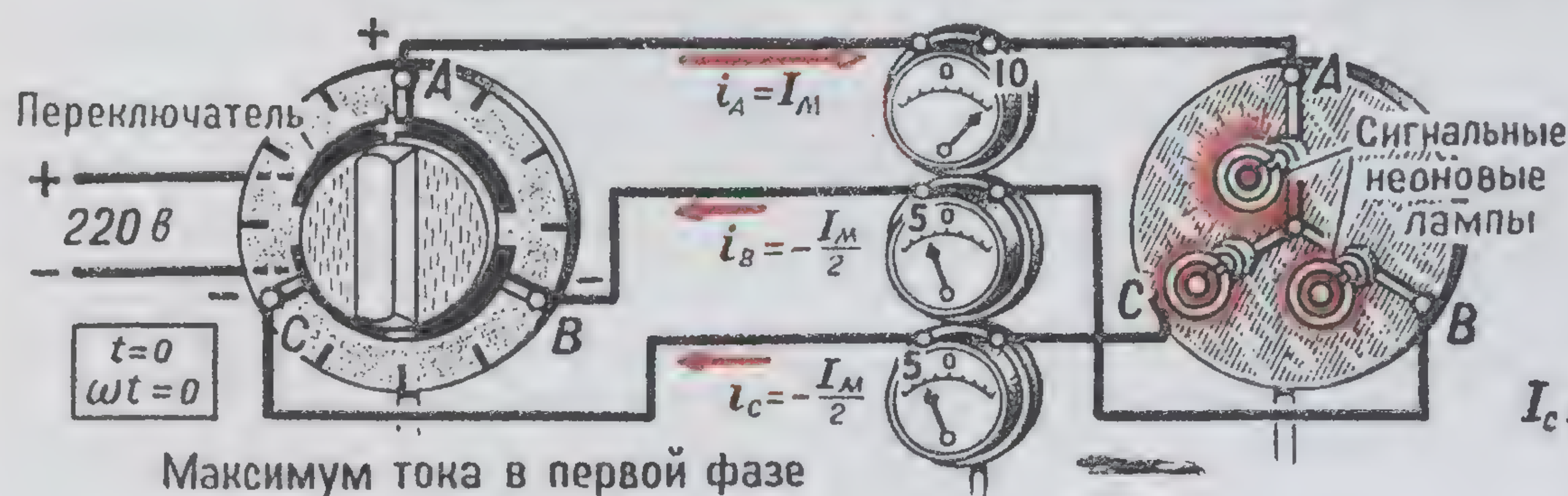
$$U = \sqrt{3} U_\phi \quad b$$

В симметричной системе, соединенной звездой, линейное напряжение больше фазового в  $\sqrt{3}$  раз и опережает его по фазе на  $30^\circ$

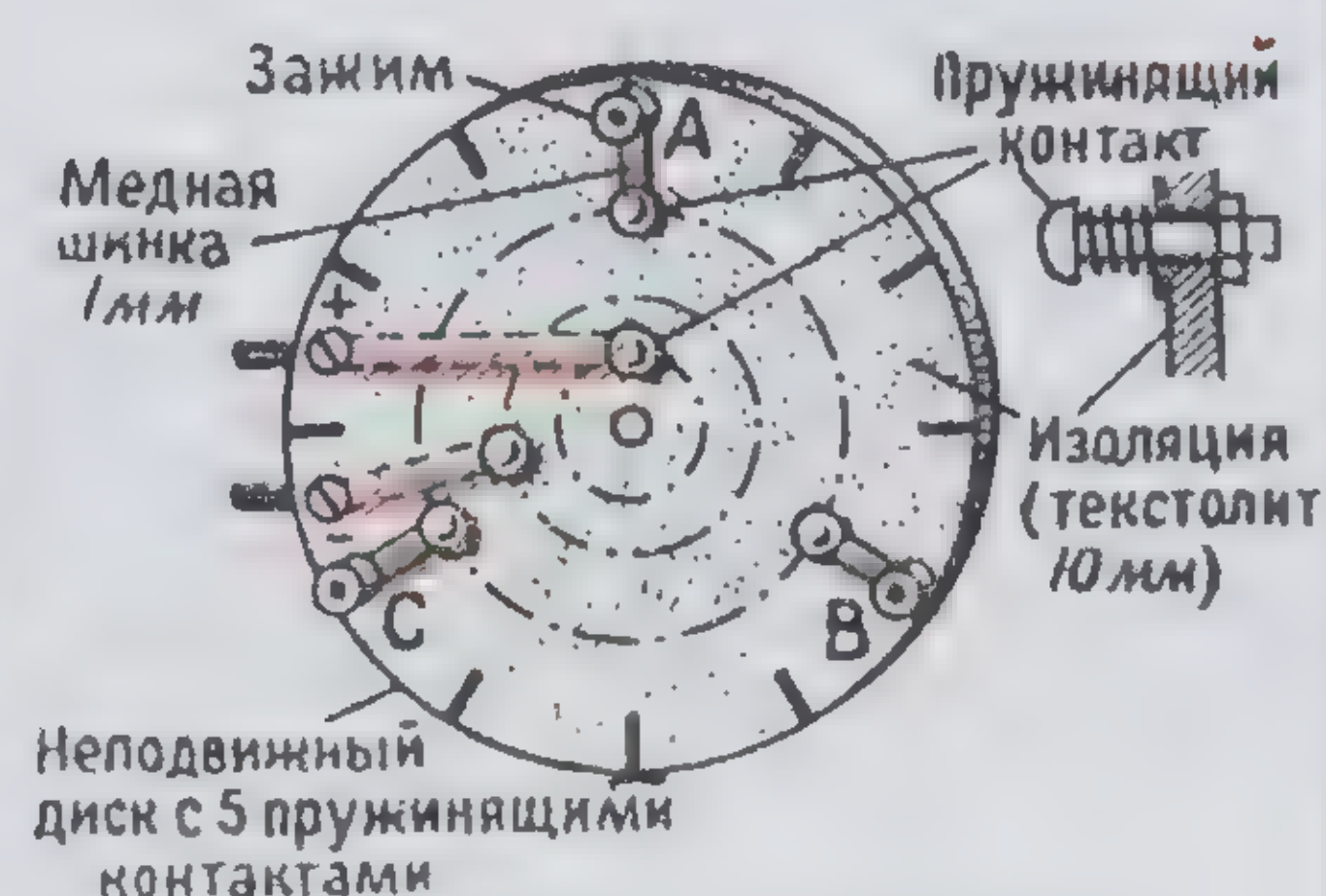
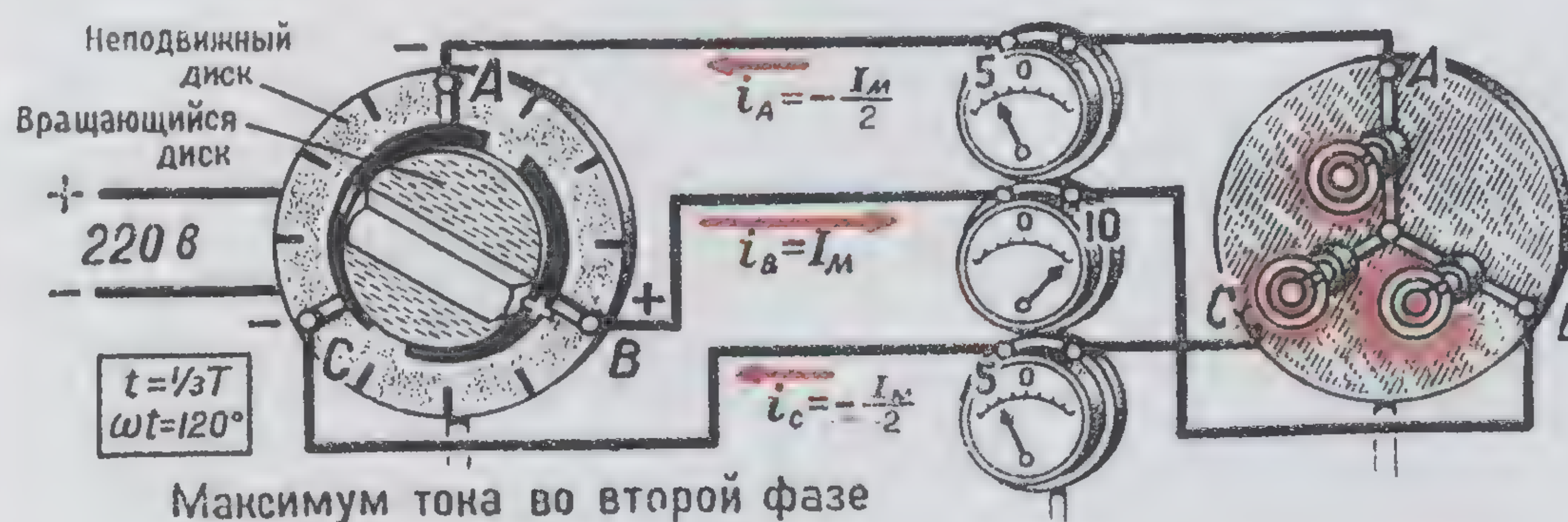
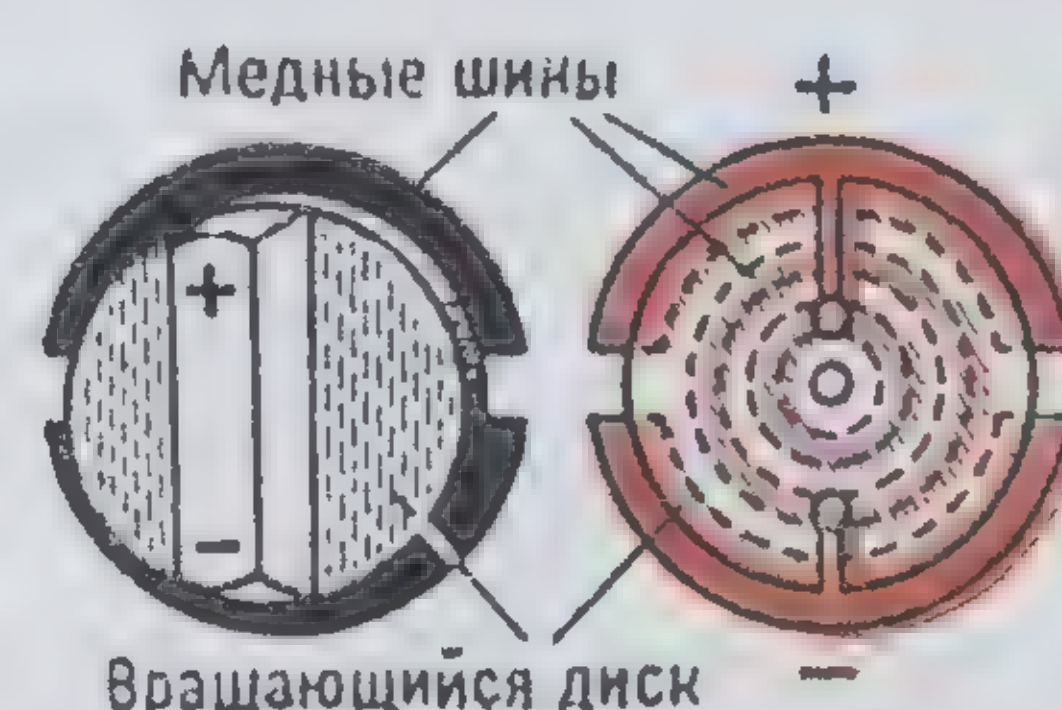
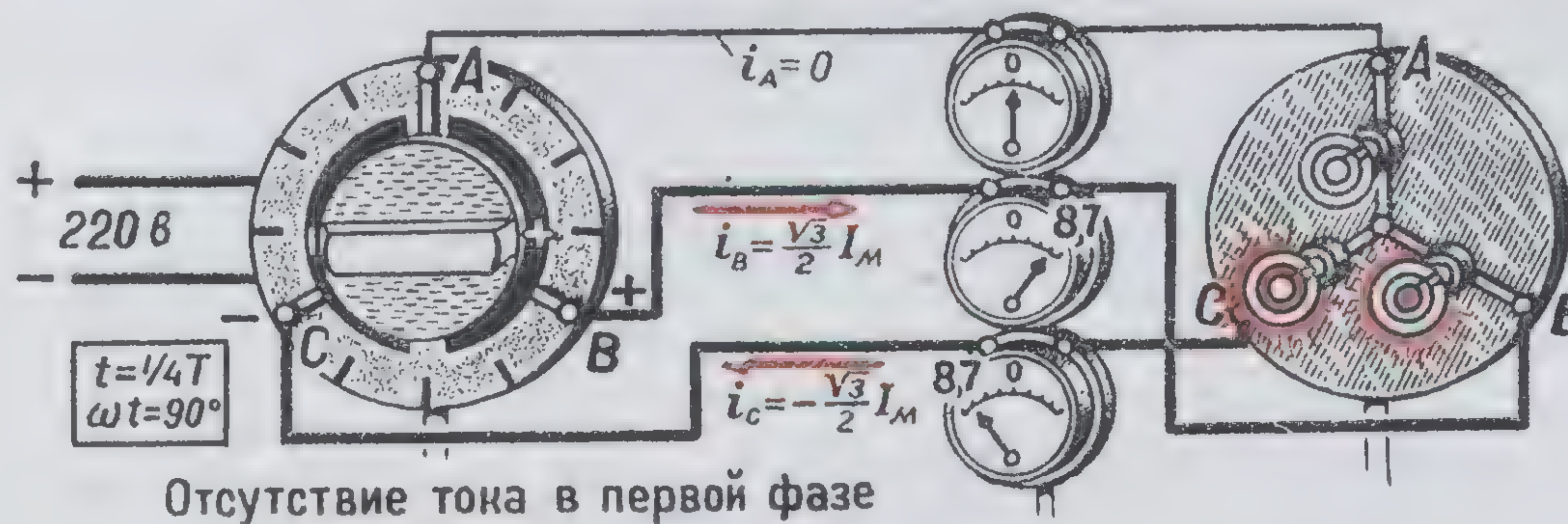


# МГНОВЕННОЕ ТОКОРАСПРЕДЕЛЕНИЕ ПРИ СОЕДИНЕНИИ ЗВЕЗДОЙ

(демонстрационная установка)



Векторные диаграммы



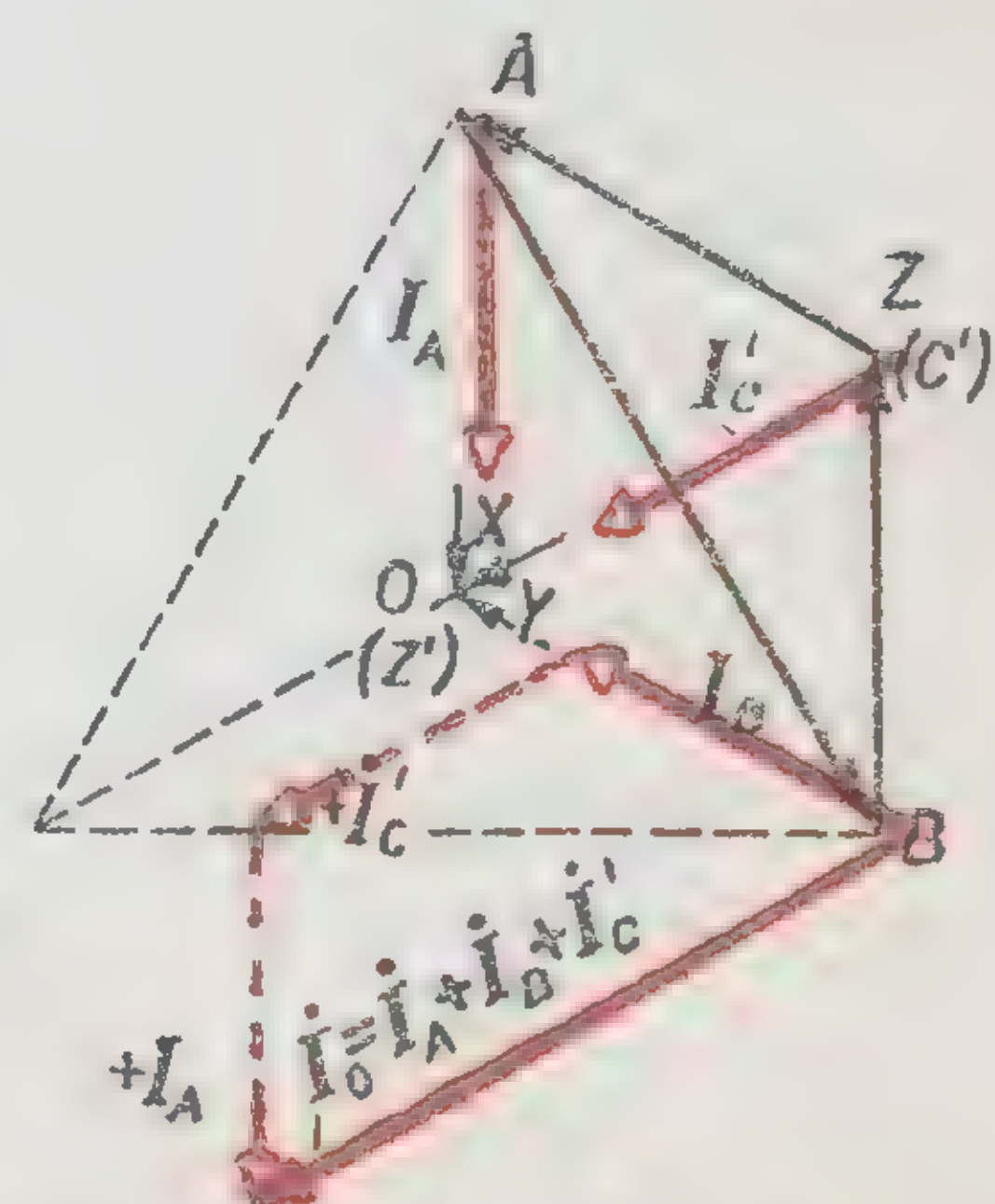
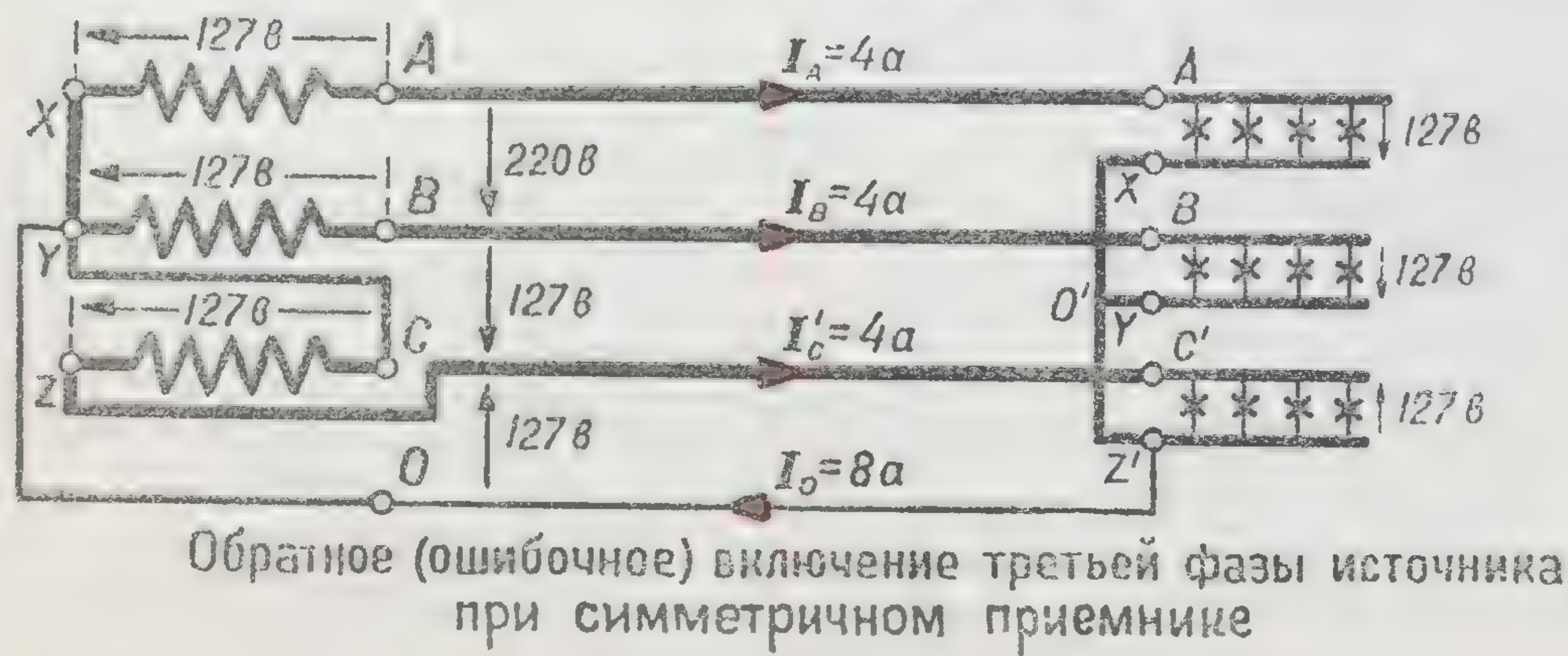
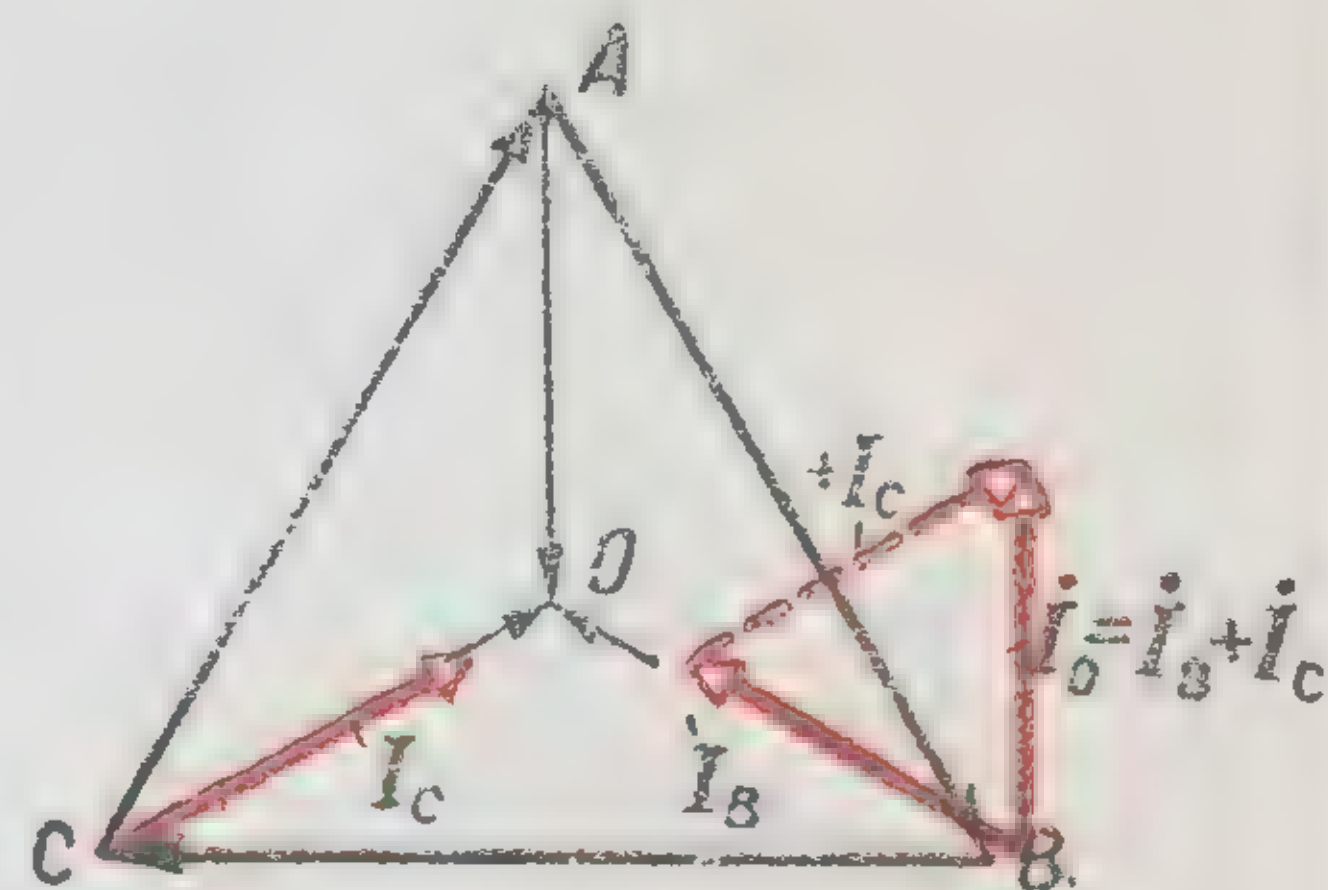
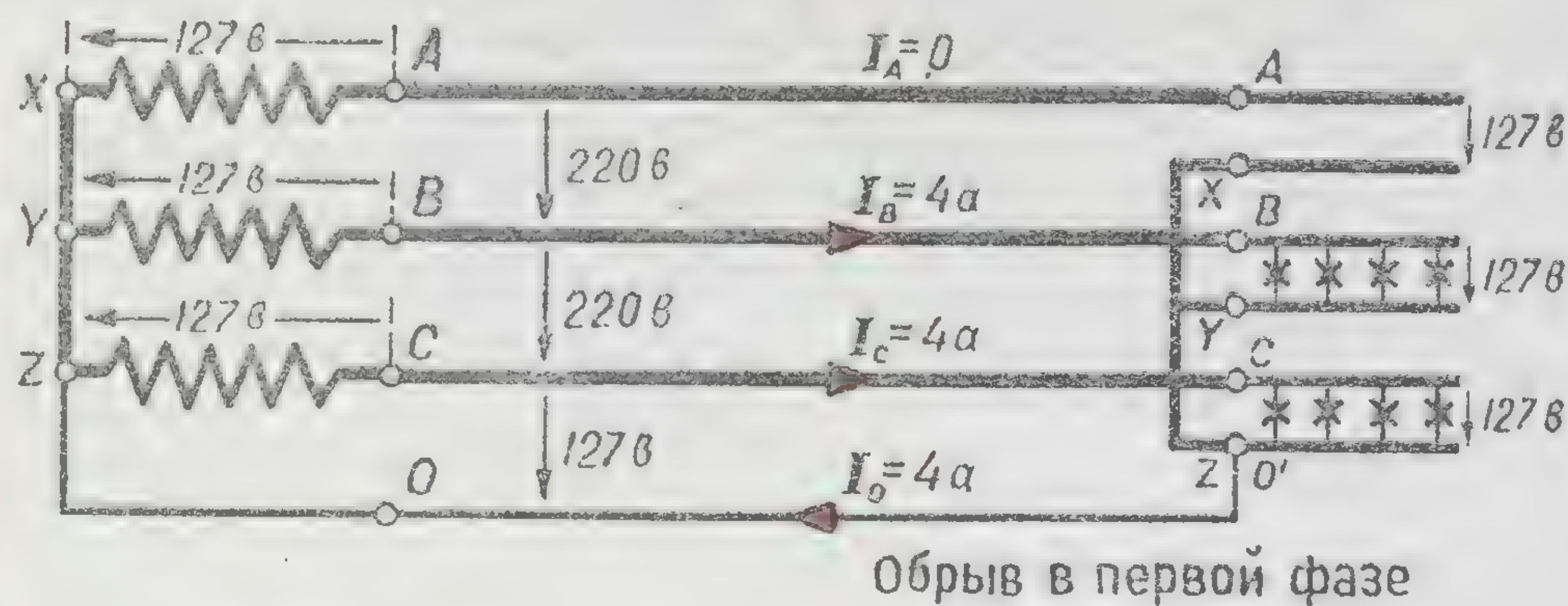
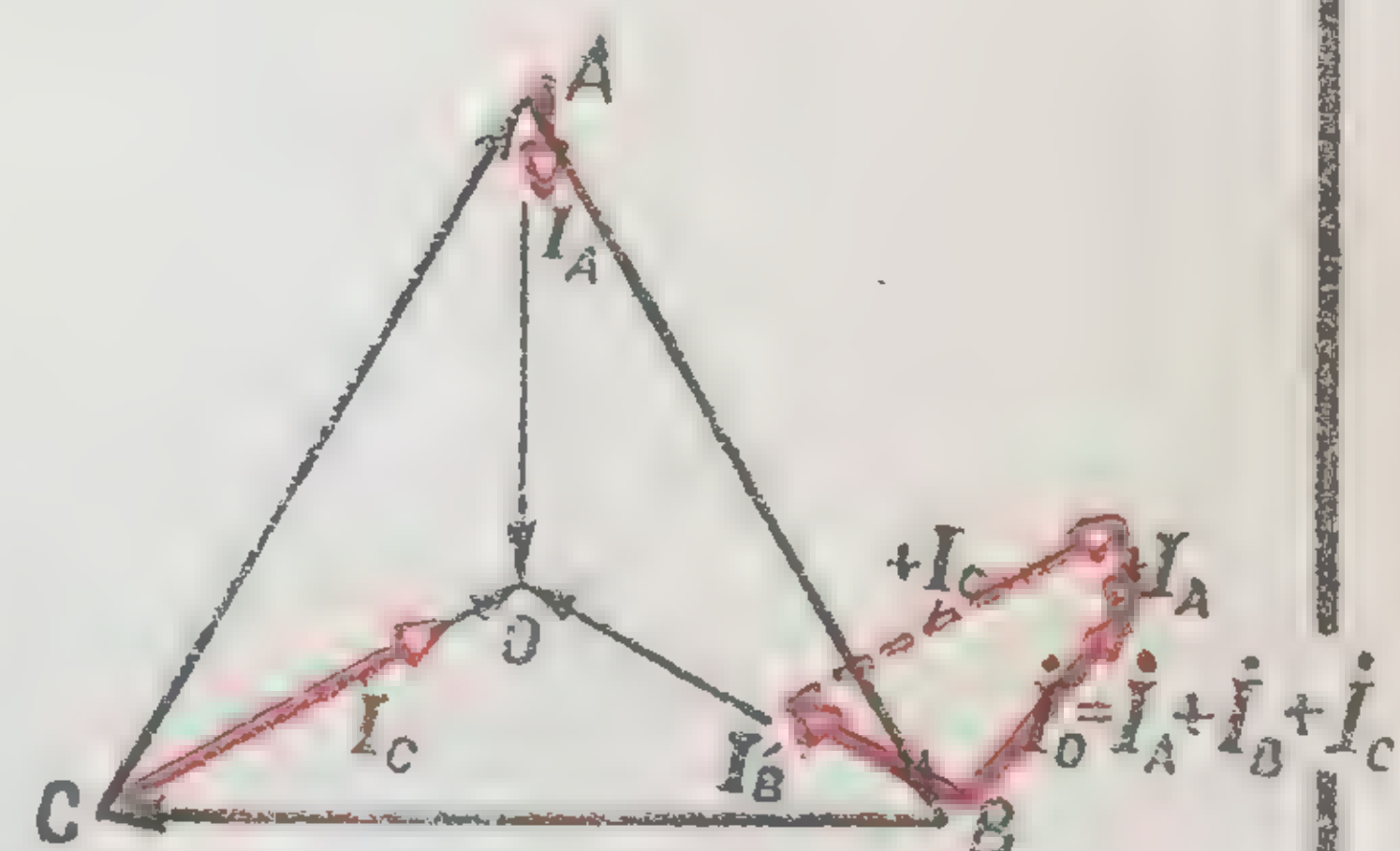
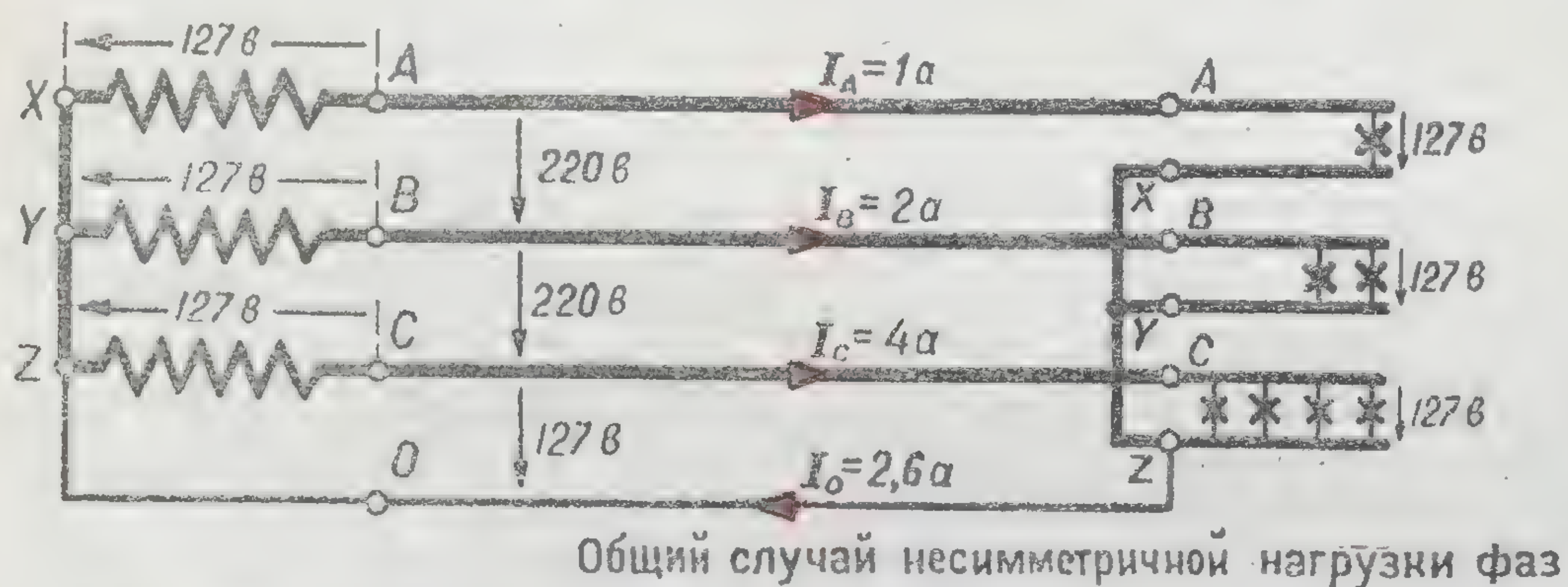
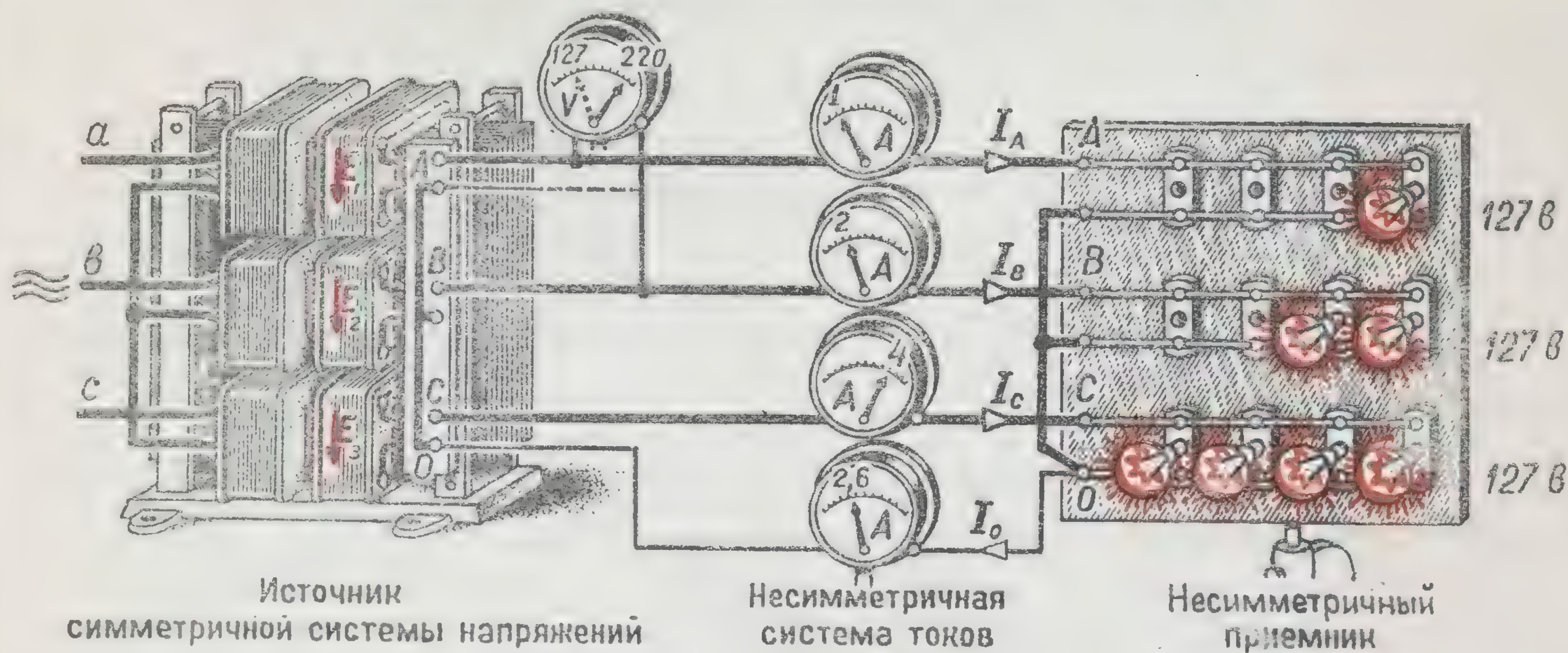
Устройство переключателя

Мгновенные значения токов в отдельных фазах  
через интервалы в 1/12 периода (30°)

Э. И. Расовский



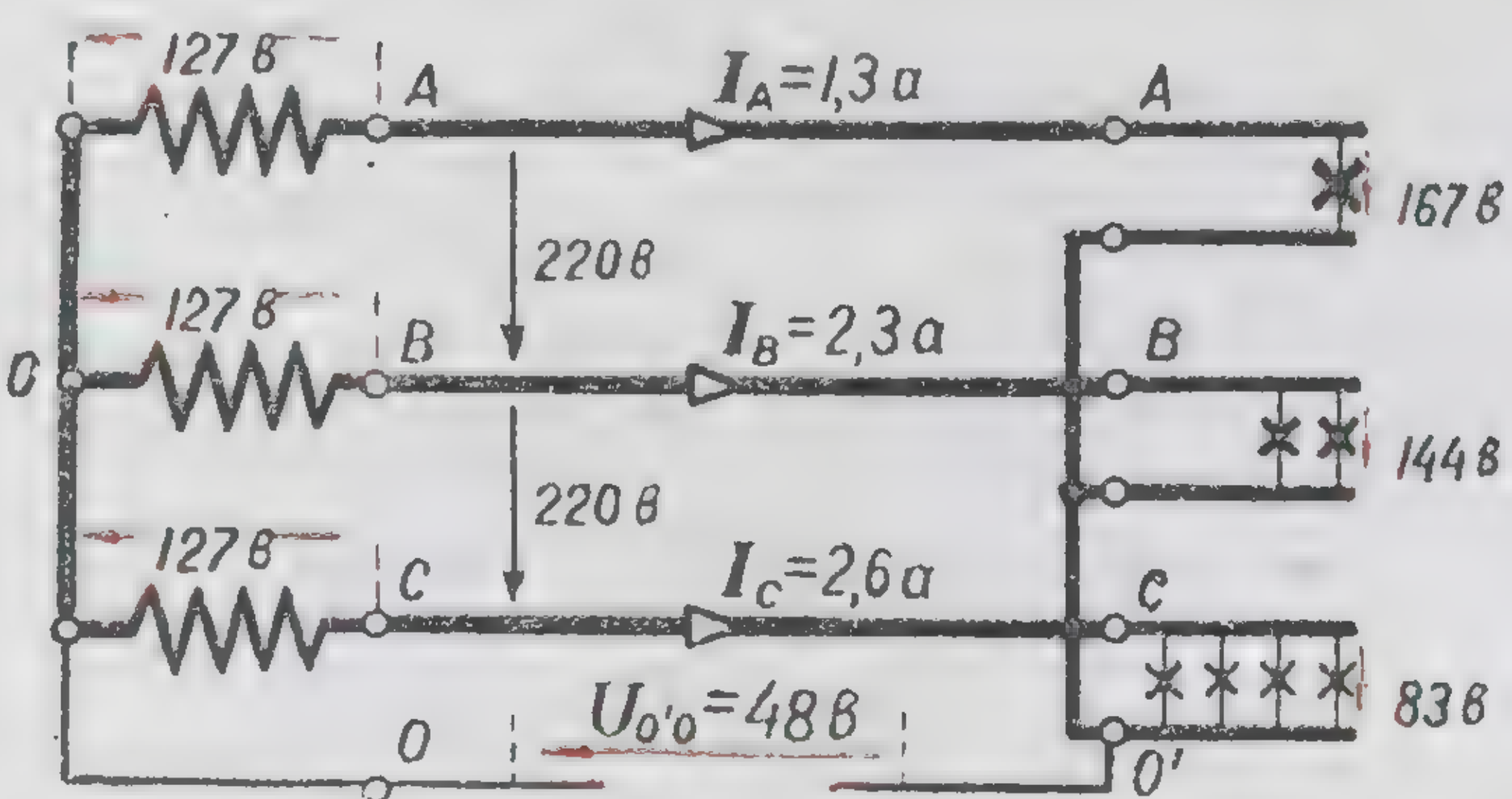
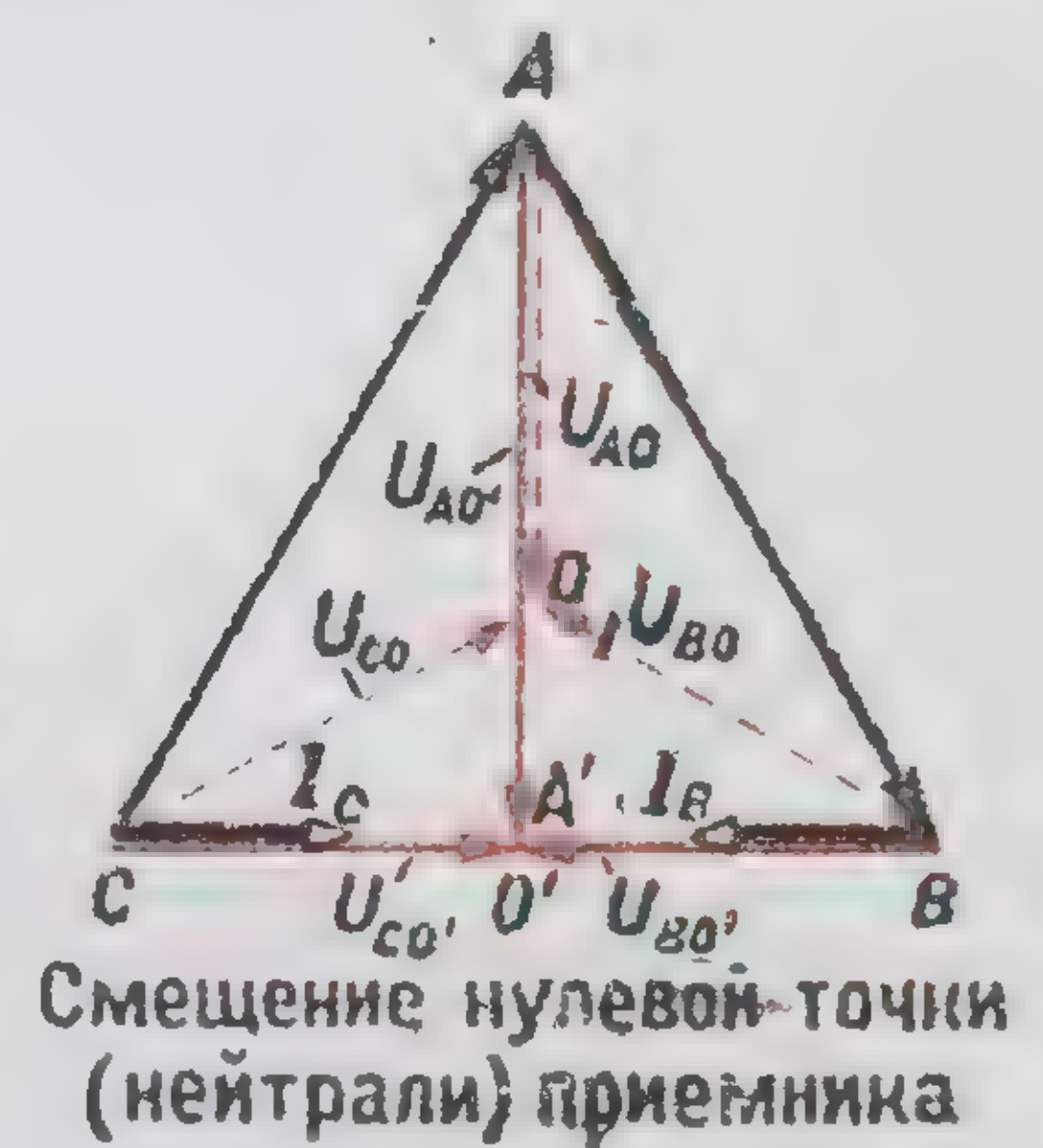
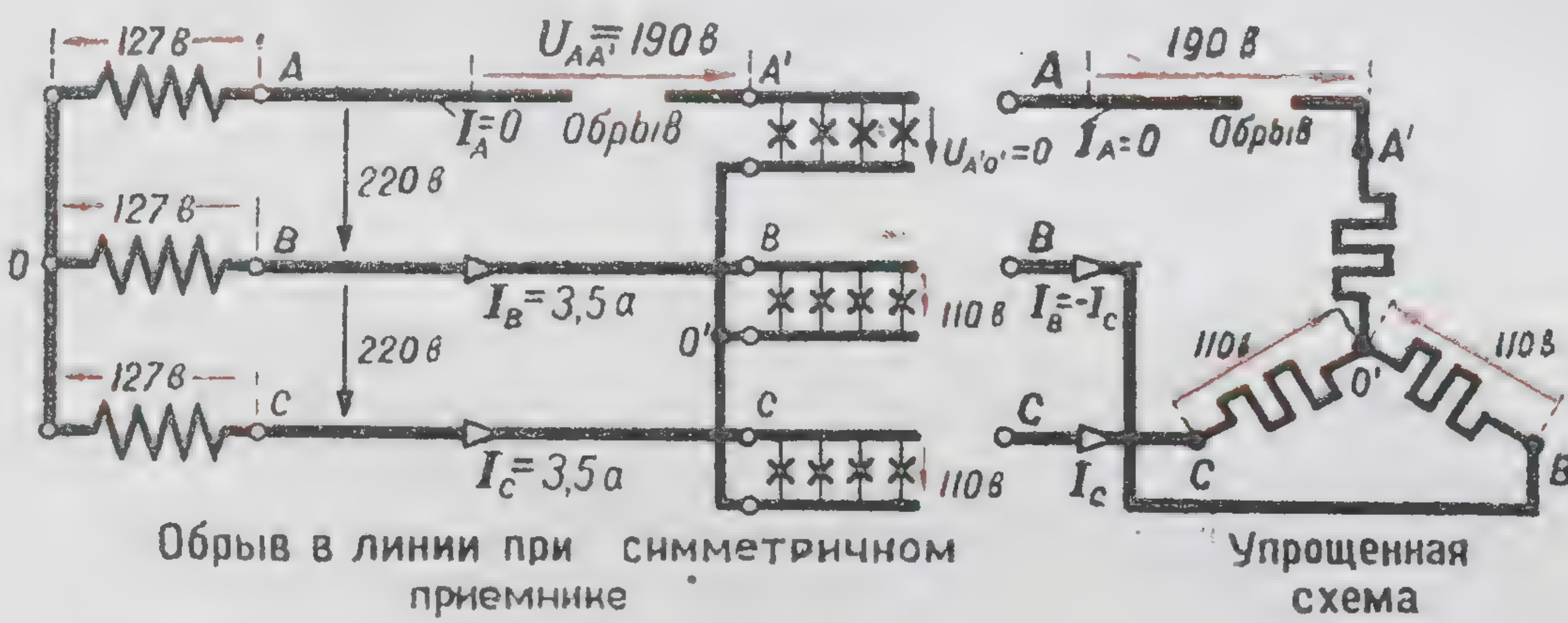
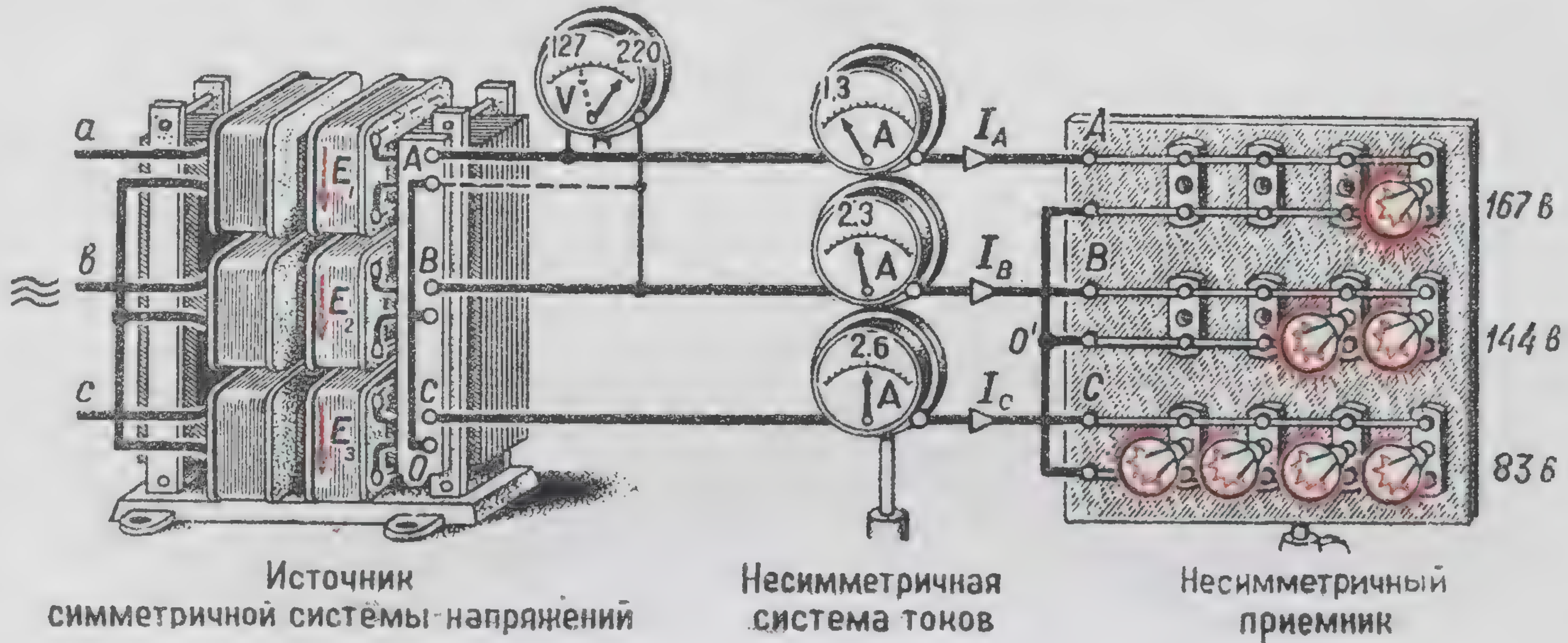
# НЕСИММЕТРИЧНАЯ НАГРУЗКА ПРИ СОЕДИНЕНИИ ЗВЕЗДОЙ (ЧЕТЫРЕХПРОВОДНАЯ СИСТЕМА)



При соединении осветительной нагрузки звездой обязательно применение нулевого провода



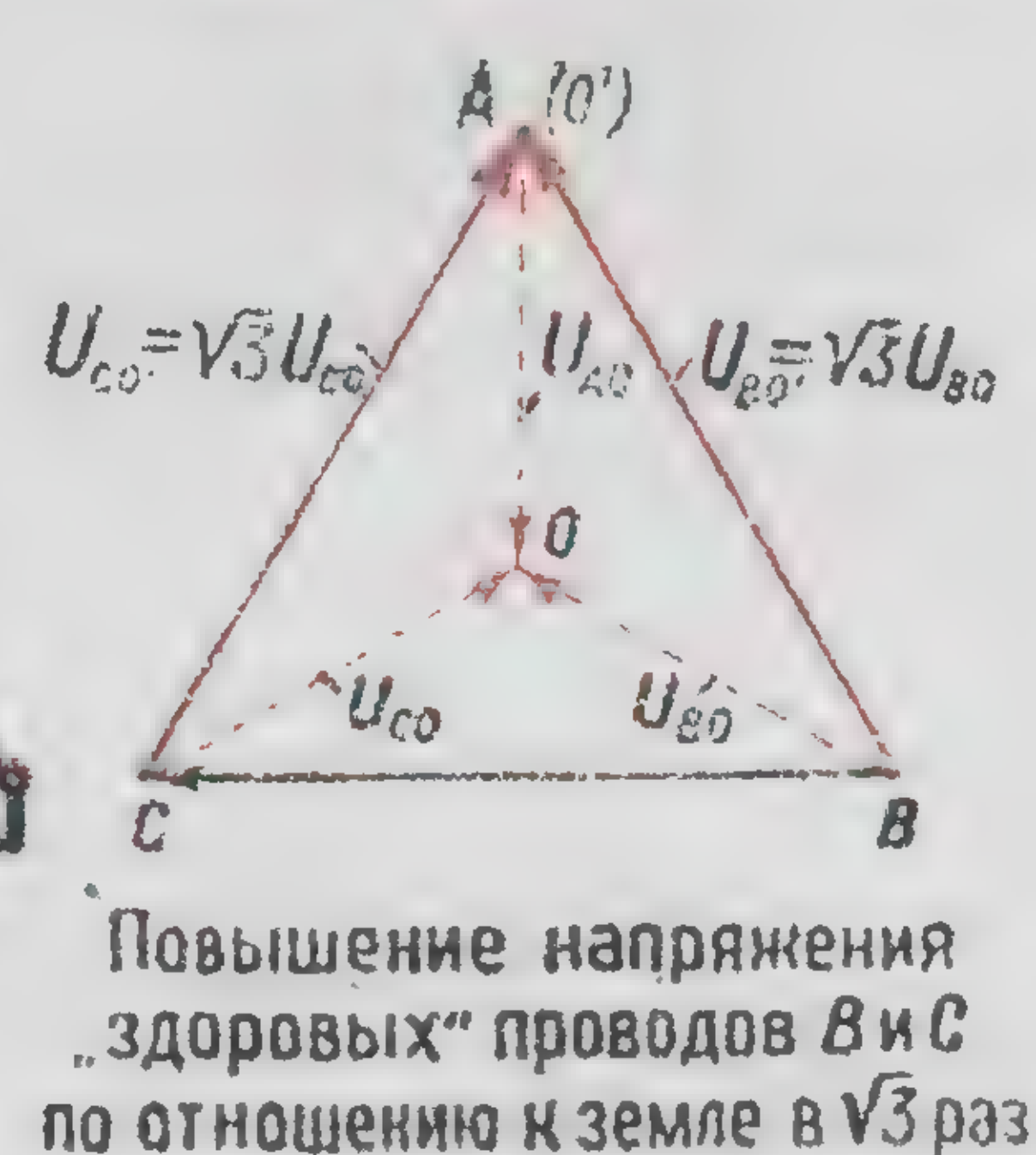
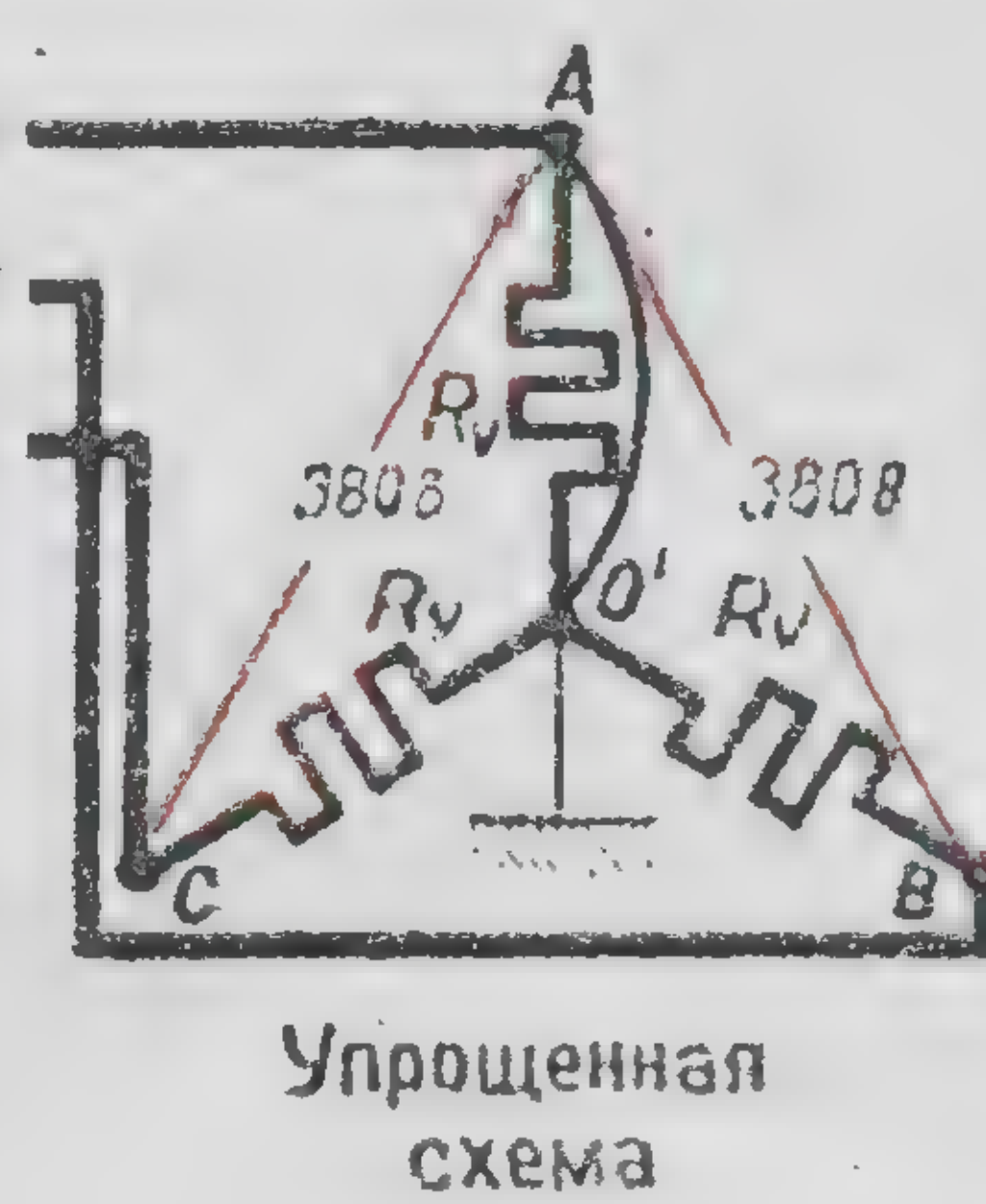
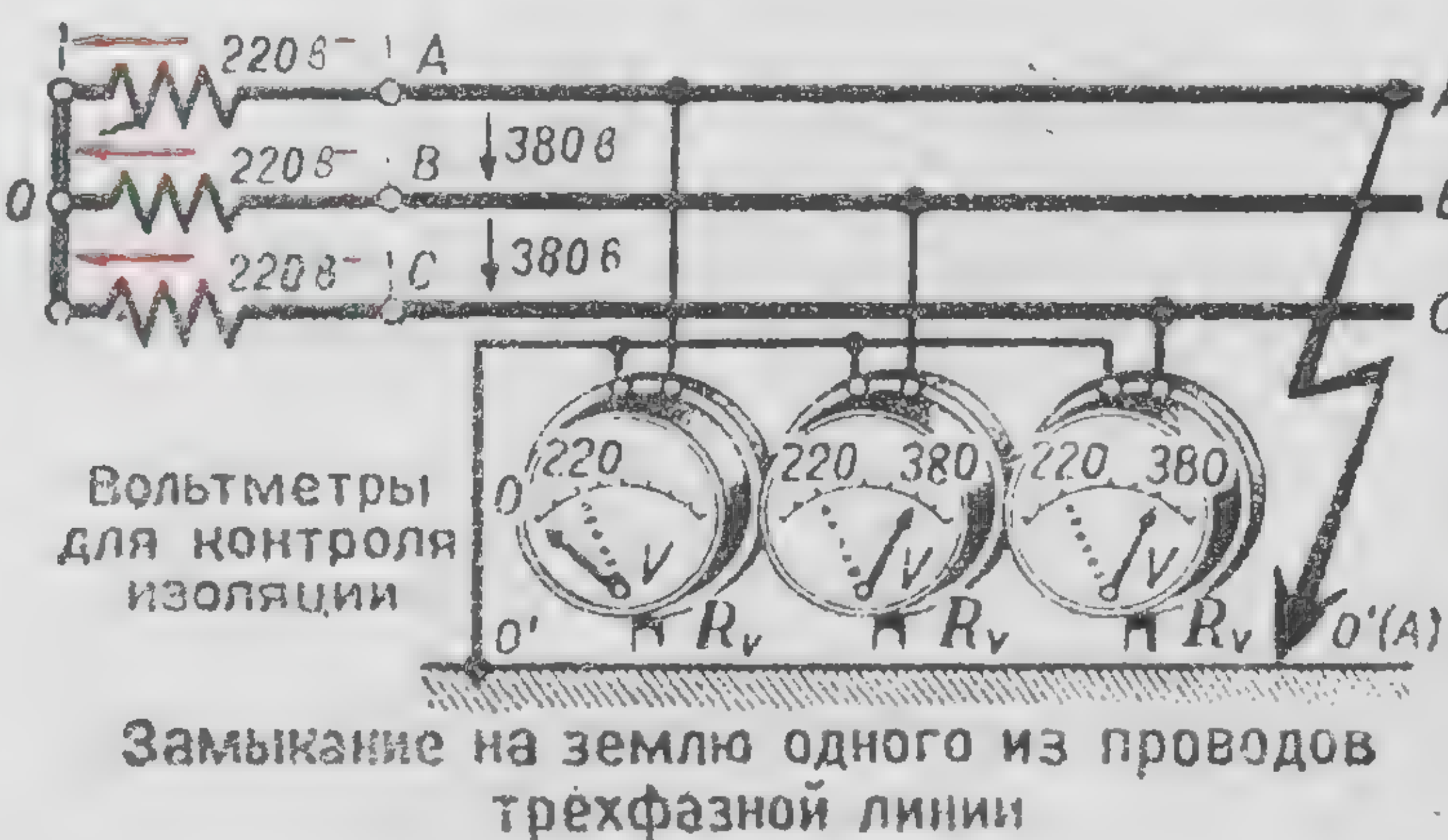
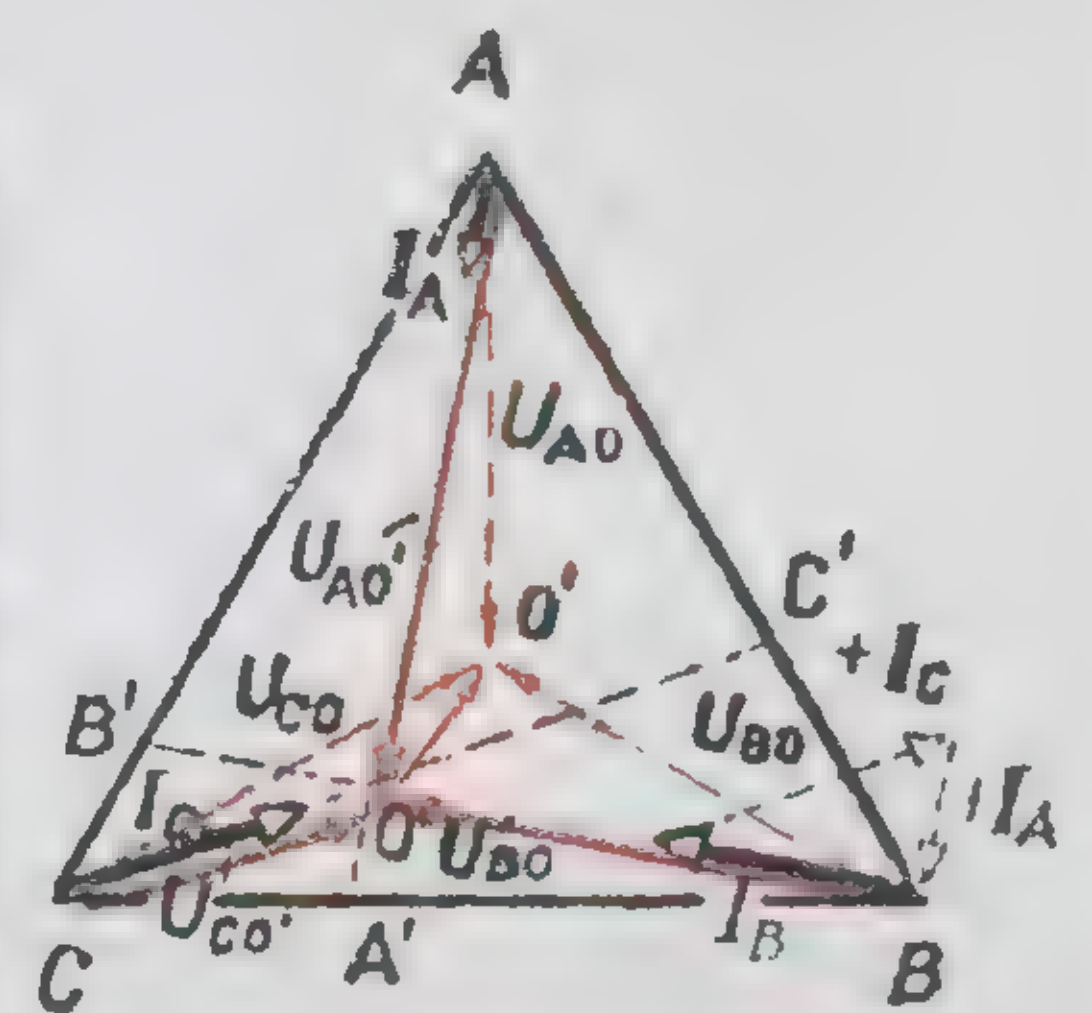
# НЕСИММЕТРИЧНАЯ НАГРУЗКА ПРИ СОЕДИНЕНИИ ЗВЕЗДОЙ (ТРЕХПРОВОДНАЯ СИСТЕМА)



$$\frac{AC'}{C'B} = \frac{R_1}{R_2}, \frac{BA'}{A'C} = \frac{R_2}{R_3}, \frac{CB'}{B'A} = \frac{R_3}{R_1}$$

$$R_{23} = \frac{R_2 \cdot R_3}{R_2 + R_3}$$

$$\frac{AO'}{O'A'} = \frac{R_1}{R_{23}}$$



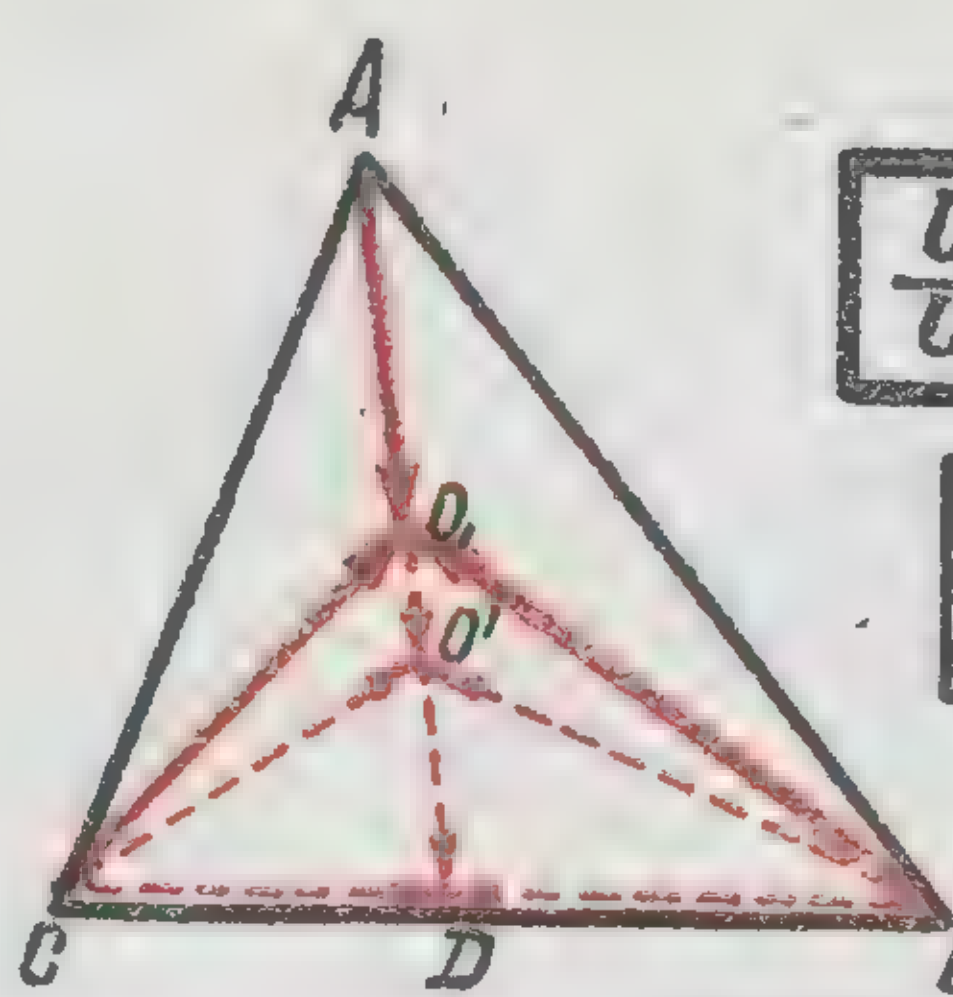
З.И. Расовский



# СМЕЩЕНИЕ НЕЙТРАЛИ



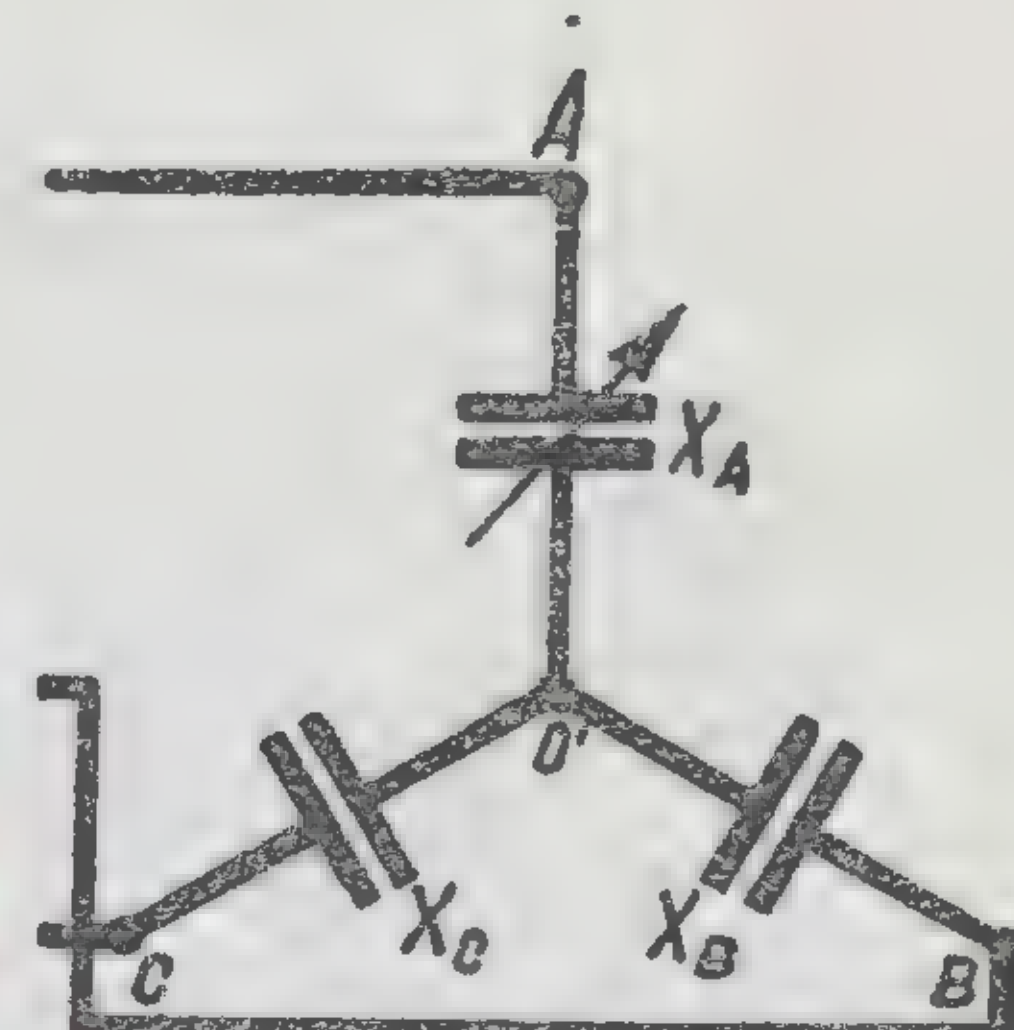
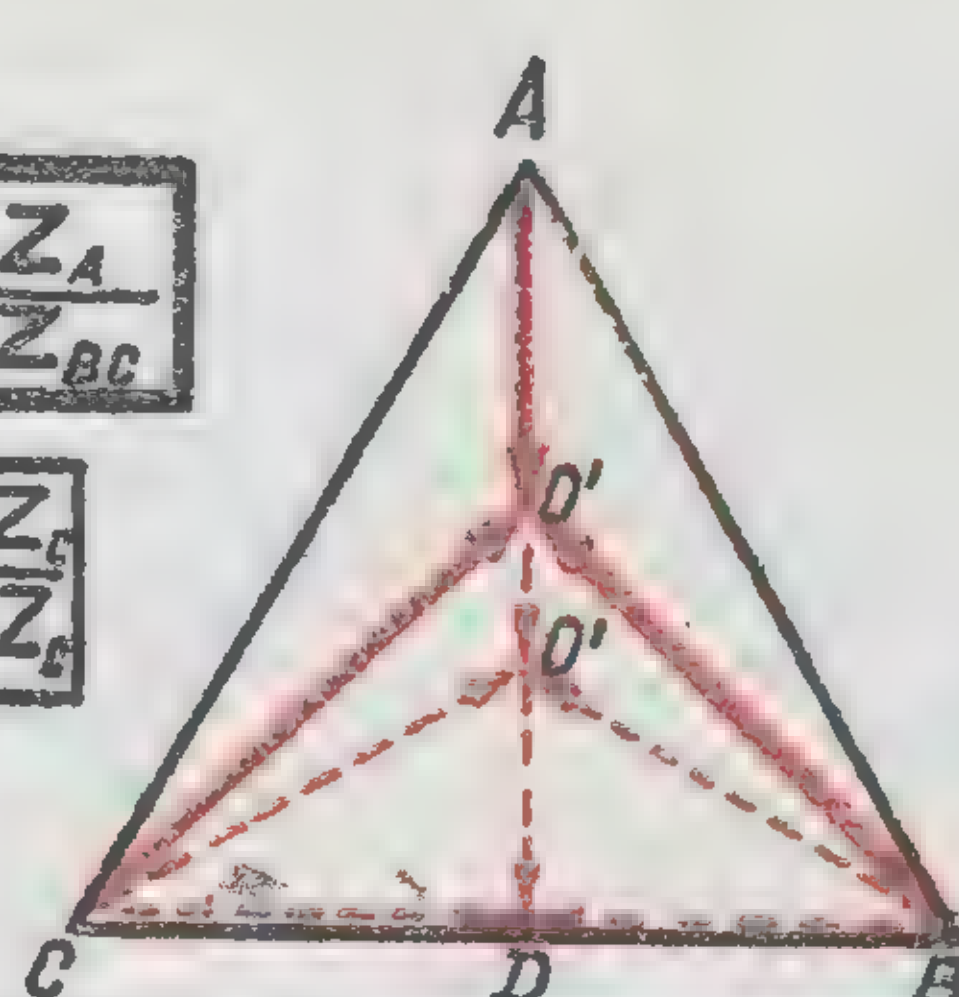
Активная нагрузка



$$\frac{U_{AO'}}{U_{O'D}} = \frac{Z_A}{Z_{BC}}$$

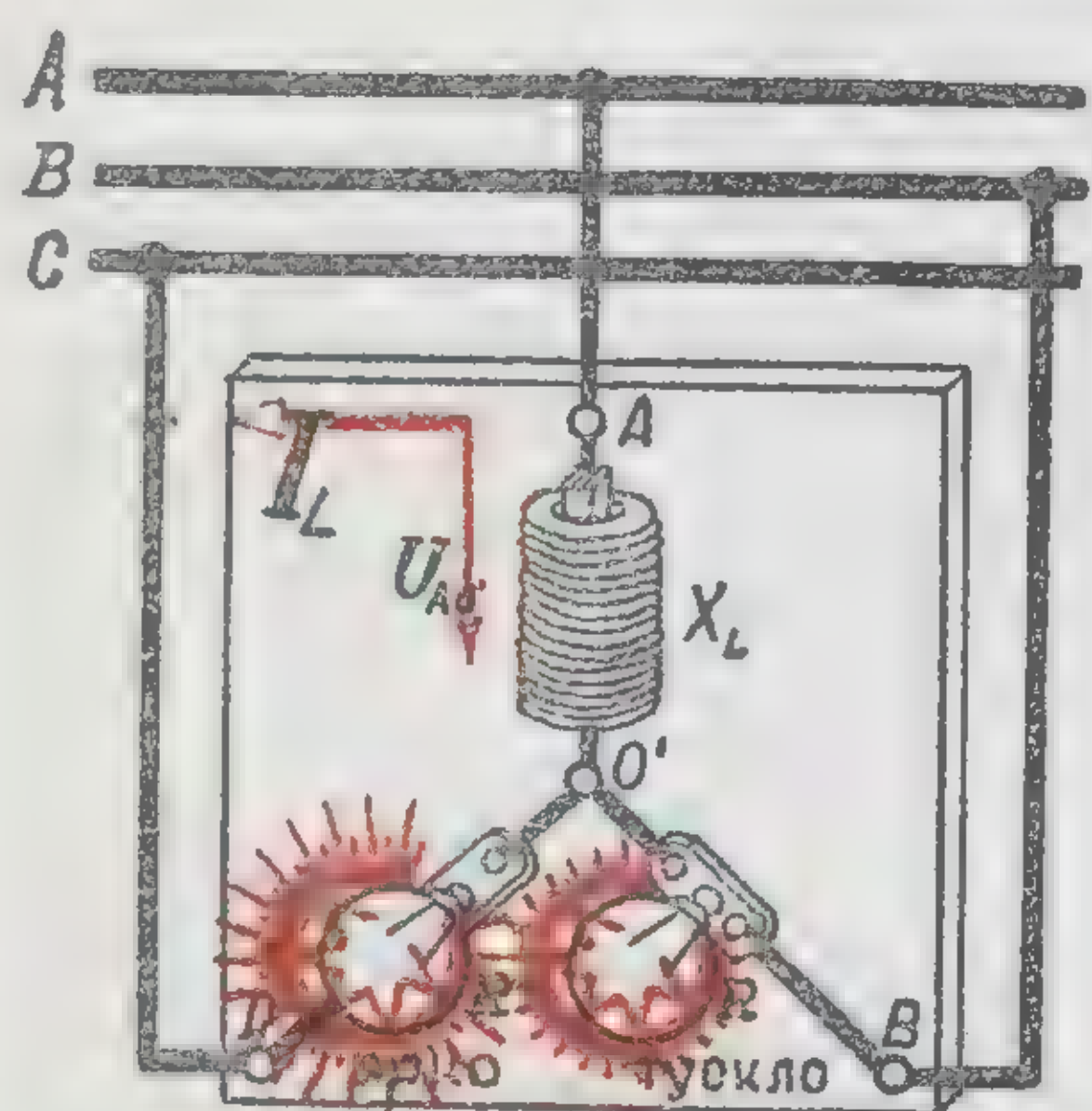
$$Z_{BC} = \frac{Z_B Z_C}{Z_B + Z_C}$$

$$\frac{BD}{DC} = \frac{Z_B}{Z_C}$$

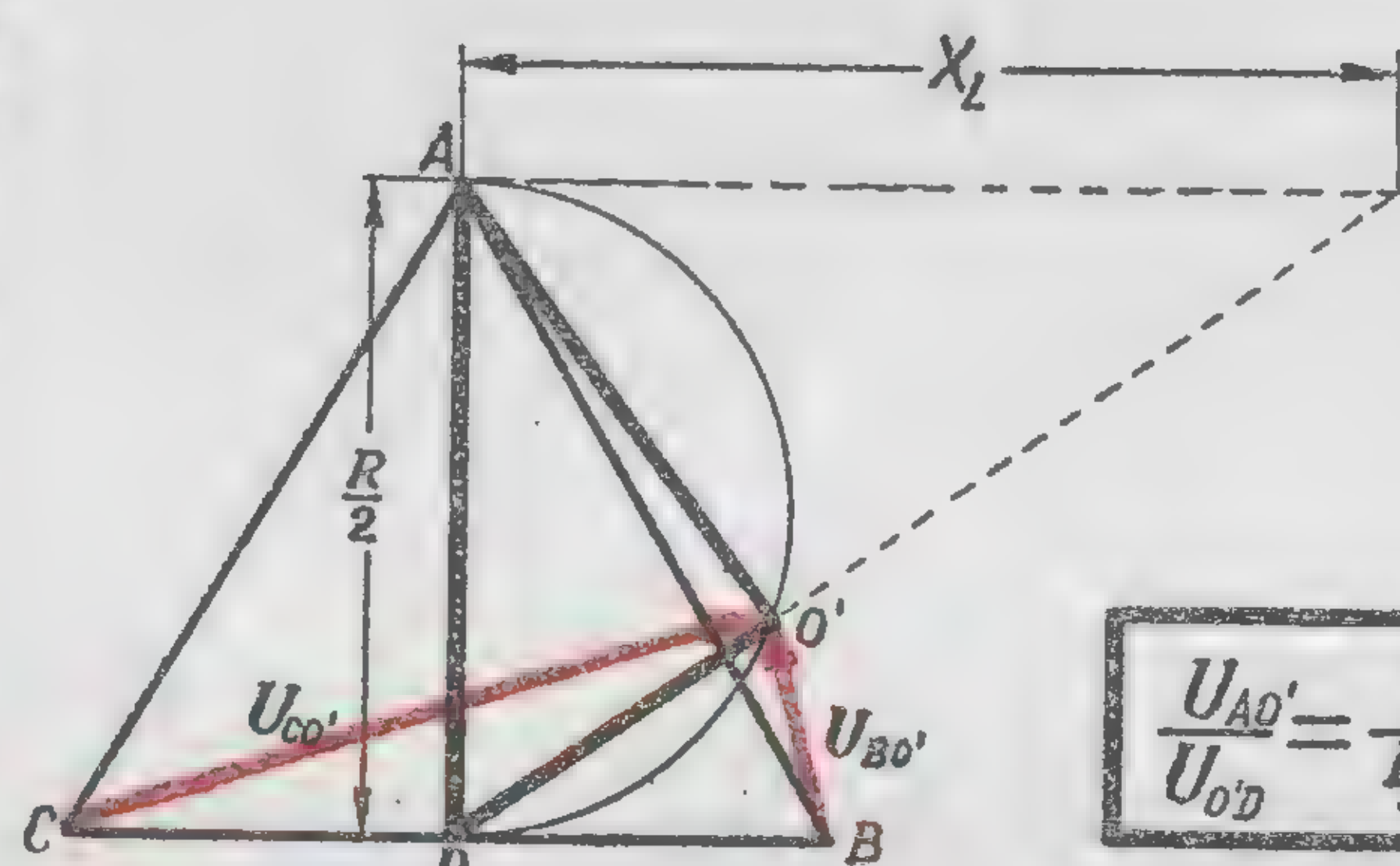


Емкостная нагрузка

Смещение нейтрали однородного приемника при изменении сопротивления одной из его фаз

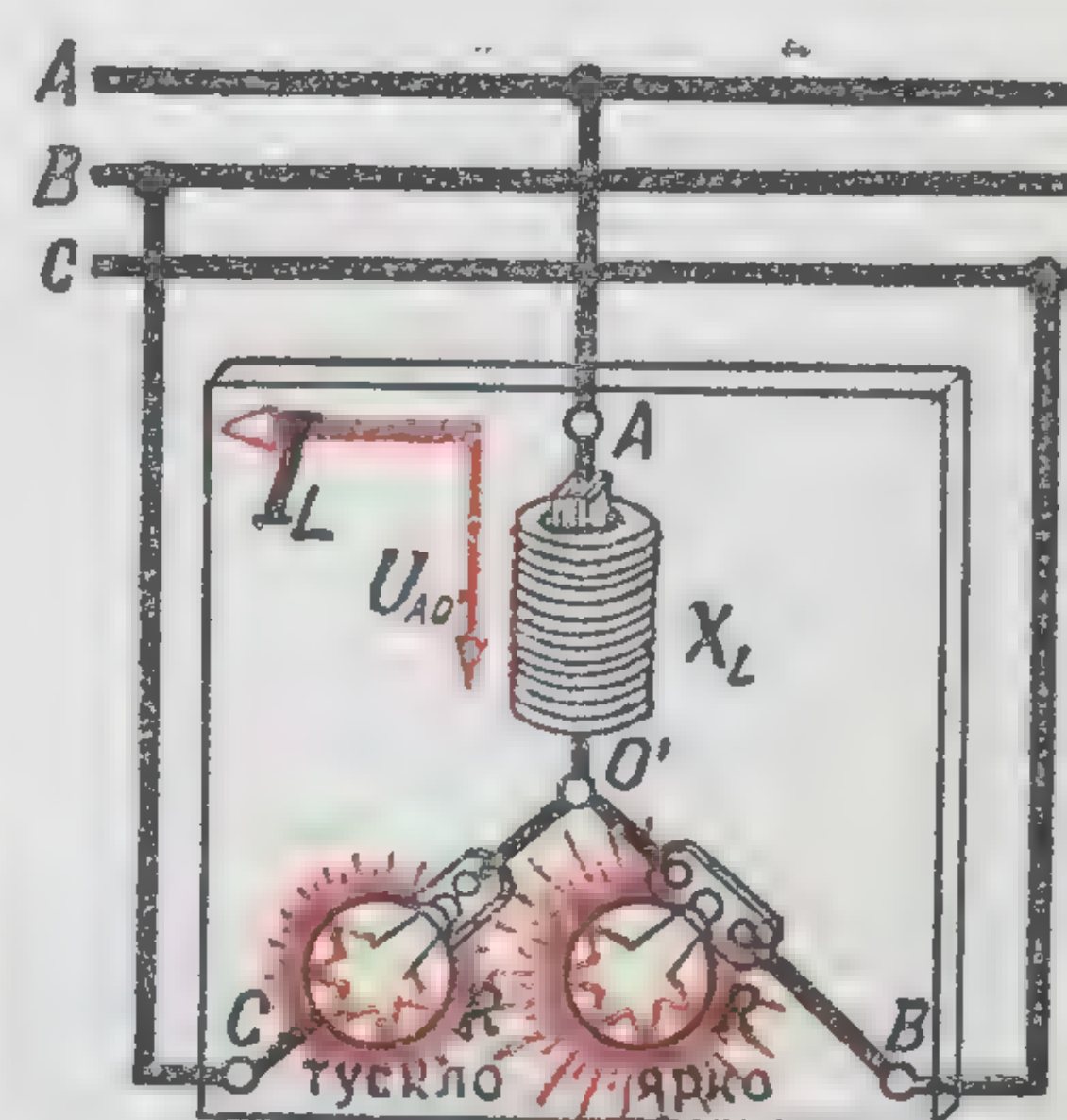


Совпадение последовательности фаз сети и фазоуказателя



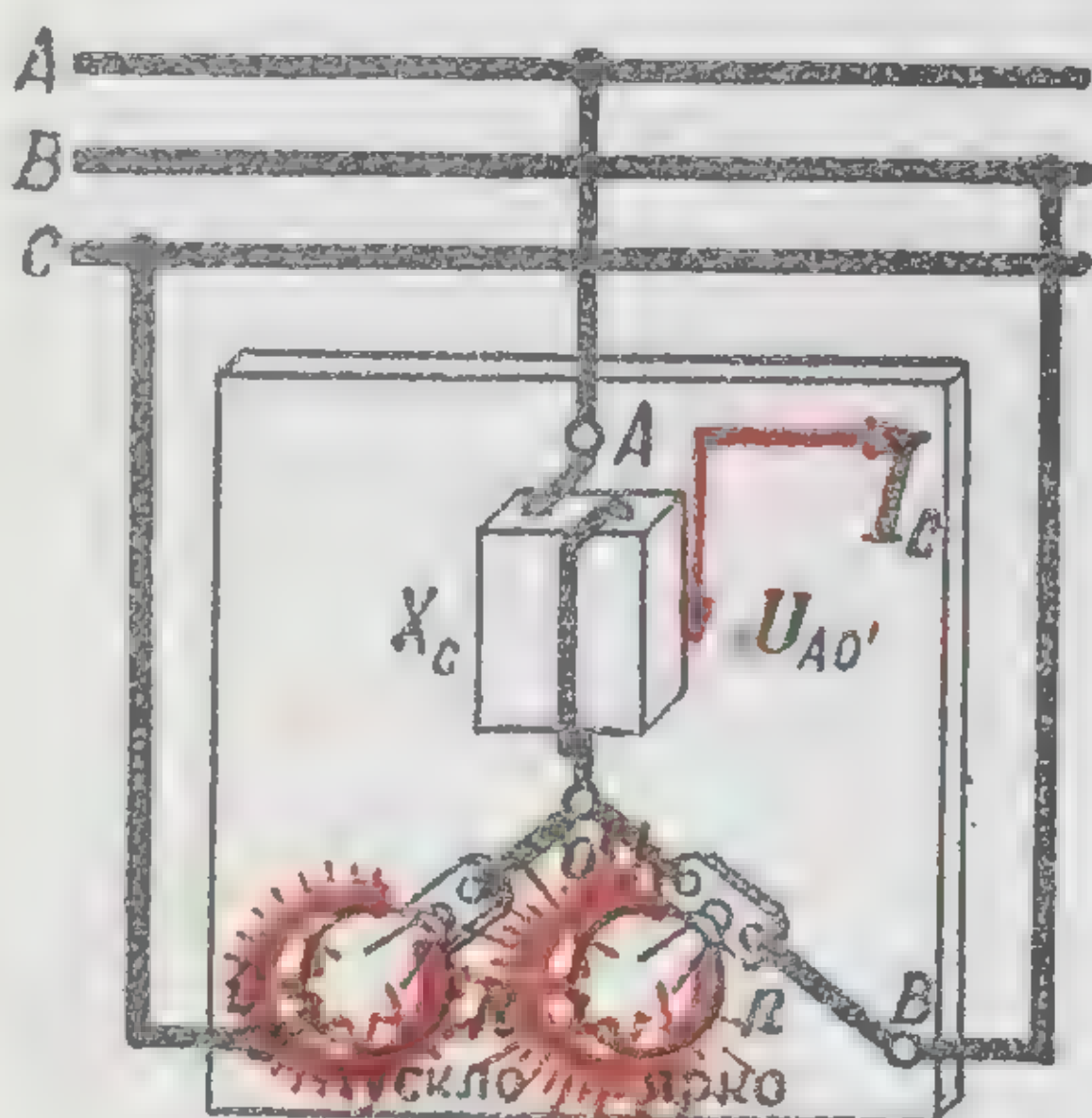
$$\frac{U_{AO'}}{U_{O'D}} = \frac{X_L}{R/2}$$

Графический метод определения положения нейтрали

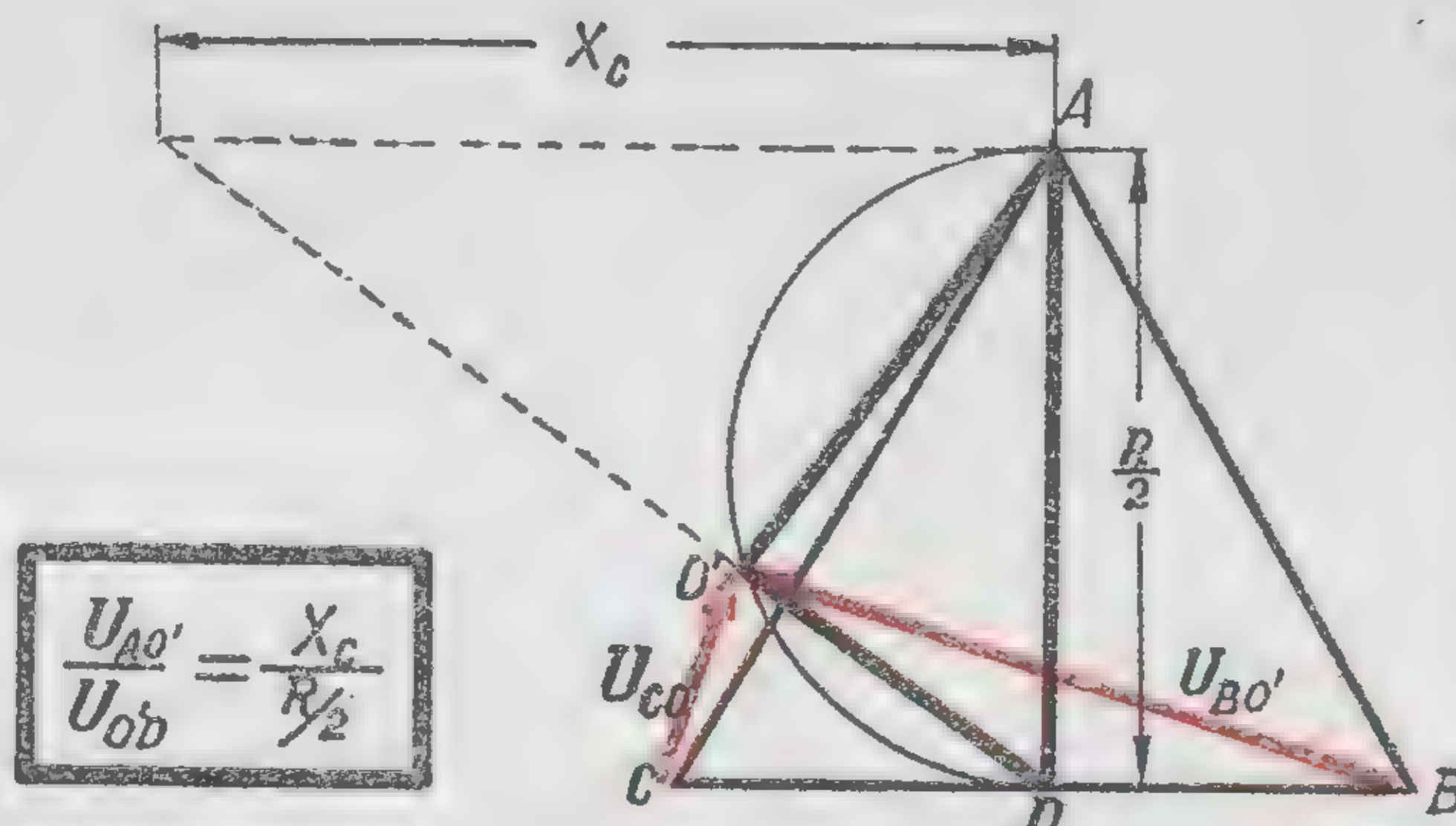


Несовпадение последовательности фаз сети и фазоуказателя

Фазоуказатель с индуктивной катушкой в фазе А

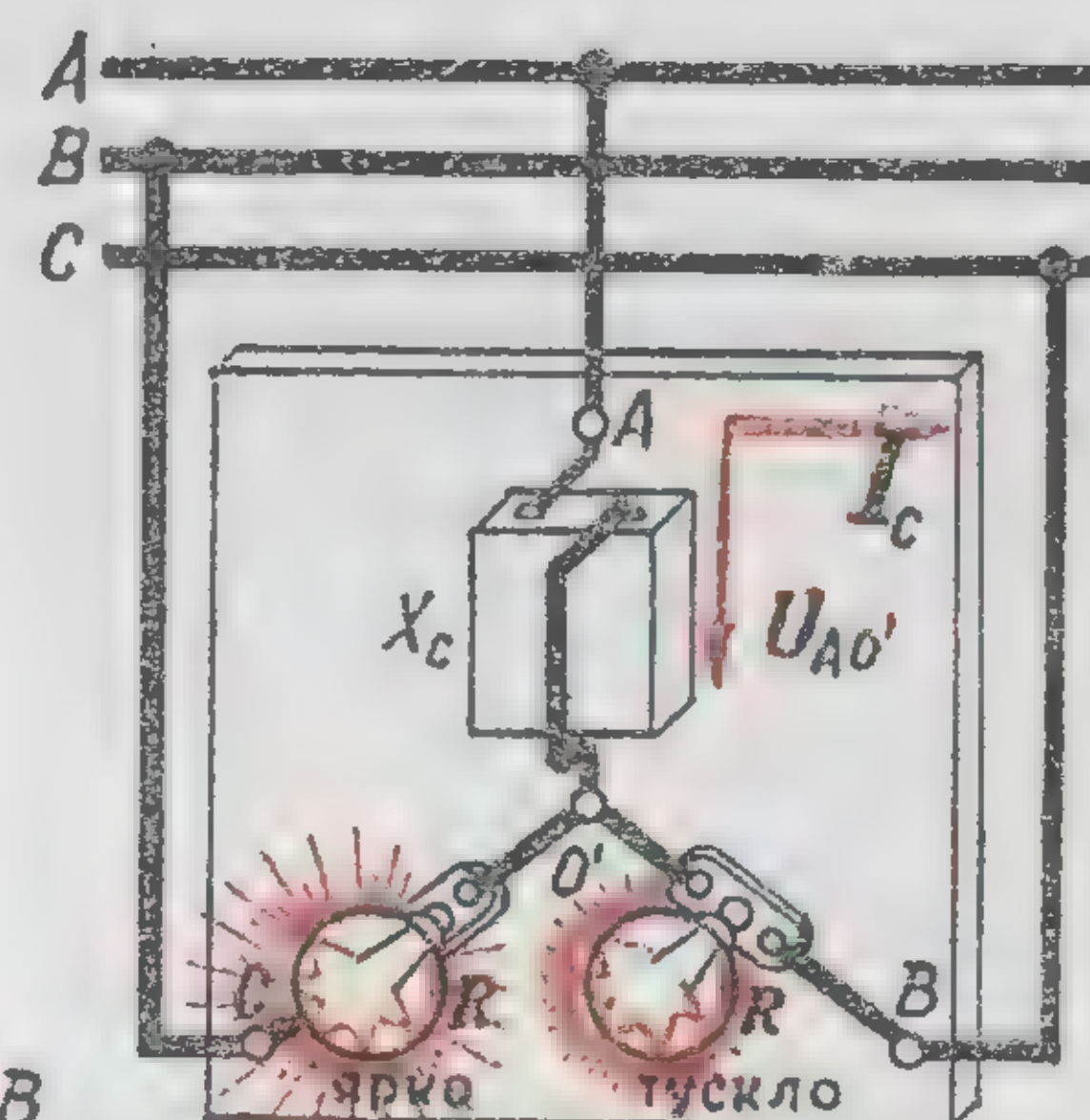


Совпадение последовательности фаз сети и фазоуказателя



$$\frac{U_{AO'}}{U_{O'D}} = \frac{X_C}{R/2}$$

Графический метод определения положения нейтрали



Несовпадение последовательности фаз сети и фазоуказателя

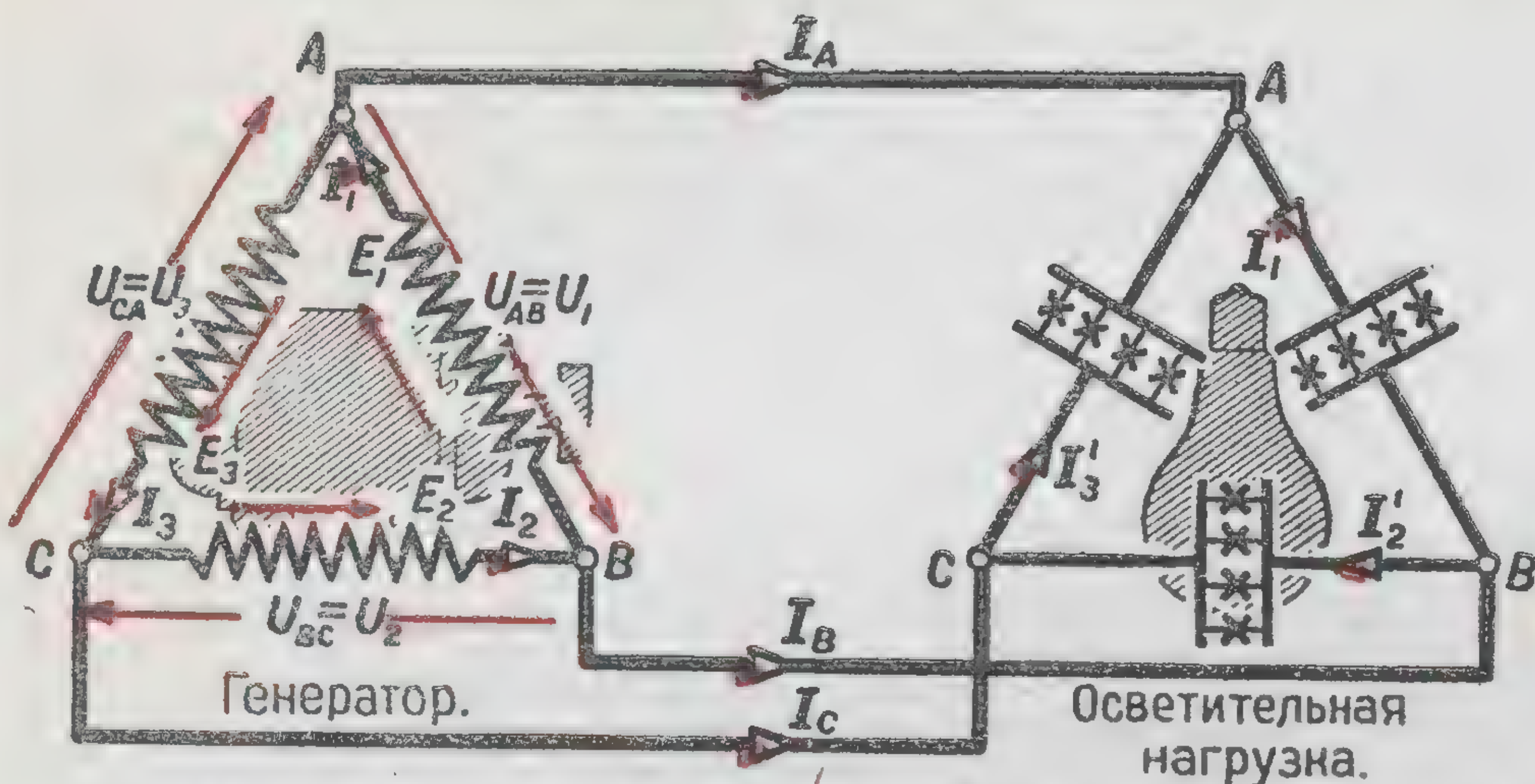
Фазоуказатель с конденсатором в фазе А

При совпадении последовательности фаз сети и фазоуказателя ярче горит лампа, расположенная под вектором тока фазы А ( $I_L$  или  $I_C$ )

Специальная звезда – указатель последовательности фаз



# СОЕДИНЕНИЕ ТРЕУГОЛЬНИКОМ ( $\Delta$ )



Соединение источника и приемника треугольником

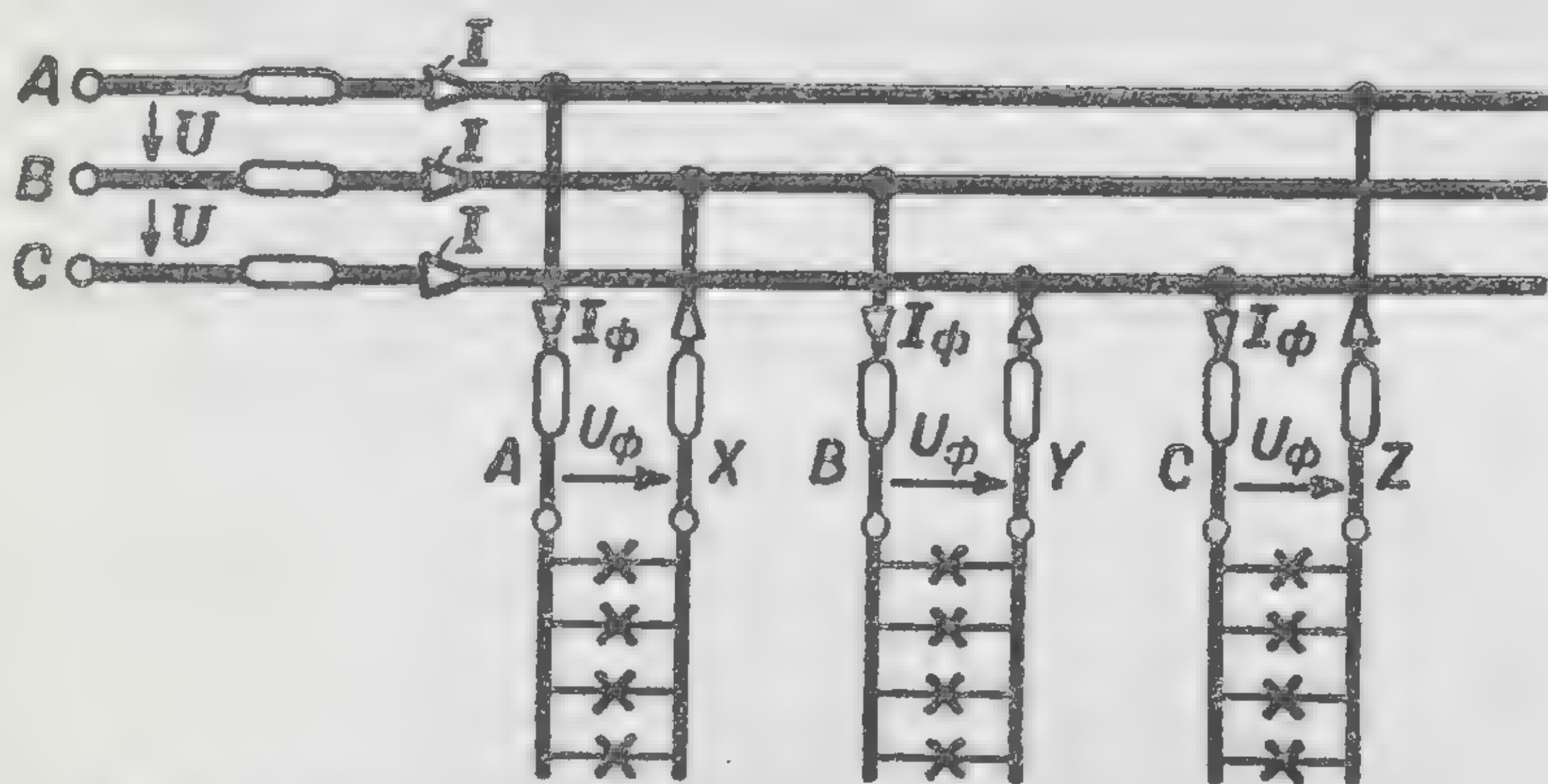


Схема соединения осветительной нагрузки.

$$\dot{U}_{AB} = \dot{U}_1; \dot{U}_{BC} = \dot{U}_2; \dot{U}_{CA} = \dot{U}_3 \quad (U = U_\phi) \quad \beta$$

$$\dot{I}_A = \dot{I}_1 - \dot{I}_3; \dot{I}_B = \dot{I}_2 - \dot{I}_1; \dot{I}_C = \dot{I}_3 - \dot{I}_2 \quad \alpha$$

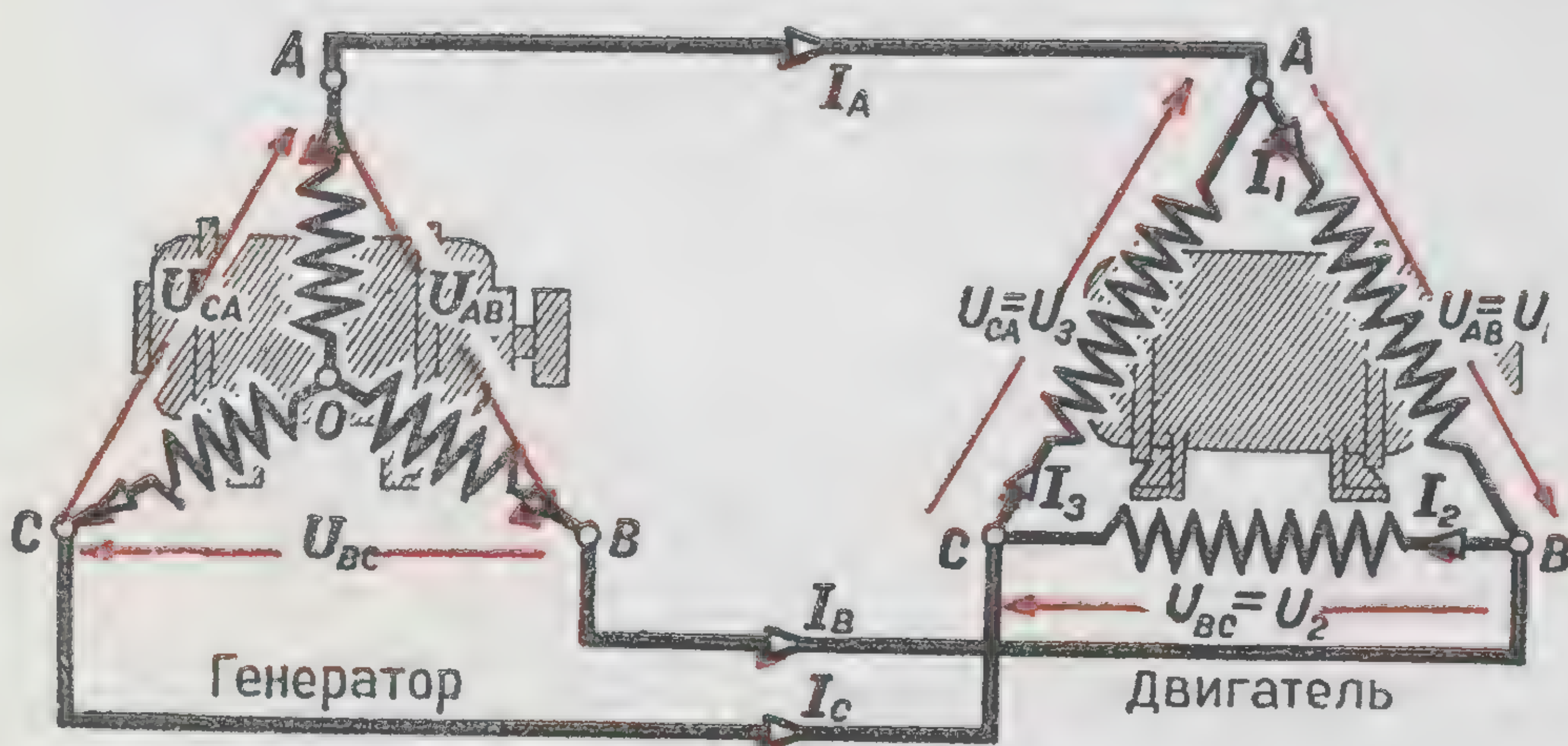
Соотношения между линейными и фазовыми напряжениями и токами.

При соединении треугольником линейное напряжение ( $U$ ) является фазовым ( $U_\phi$ ), а линейный ток ( $I$ ) равен геометрической разности двух смежных фазовых токов ( $I_\phi$ ).

$$\dot{U}_{AB} + \dot{U}_{BC} + \dot{U}_{CA} = 0 \quad \beta$$

В трехпроводной системе сумма линейных токов, как и сумма линейных напряжений, равна нулю.

$$\dot{I}_A + \dot{I}_B + \dot{I}_C = 0 \quad \alpha$$



Соединение источника звездой, а приемника треугольником.

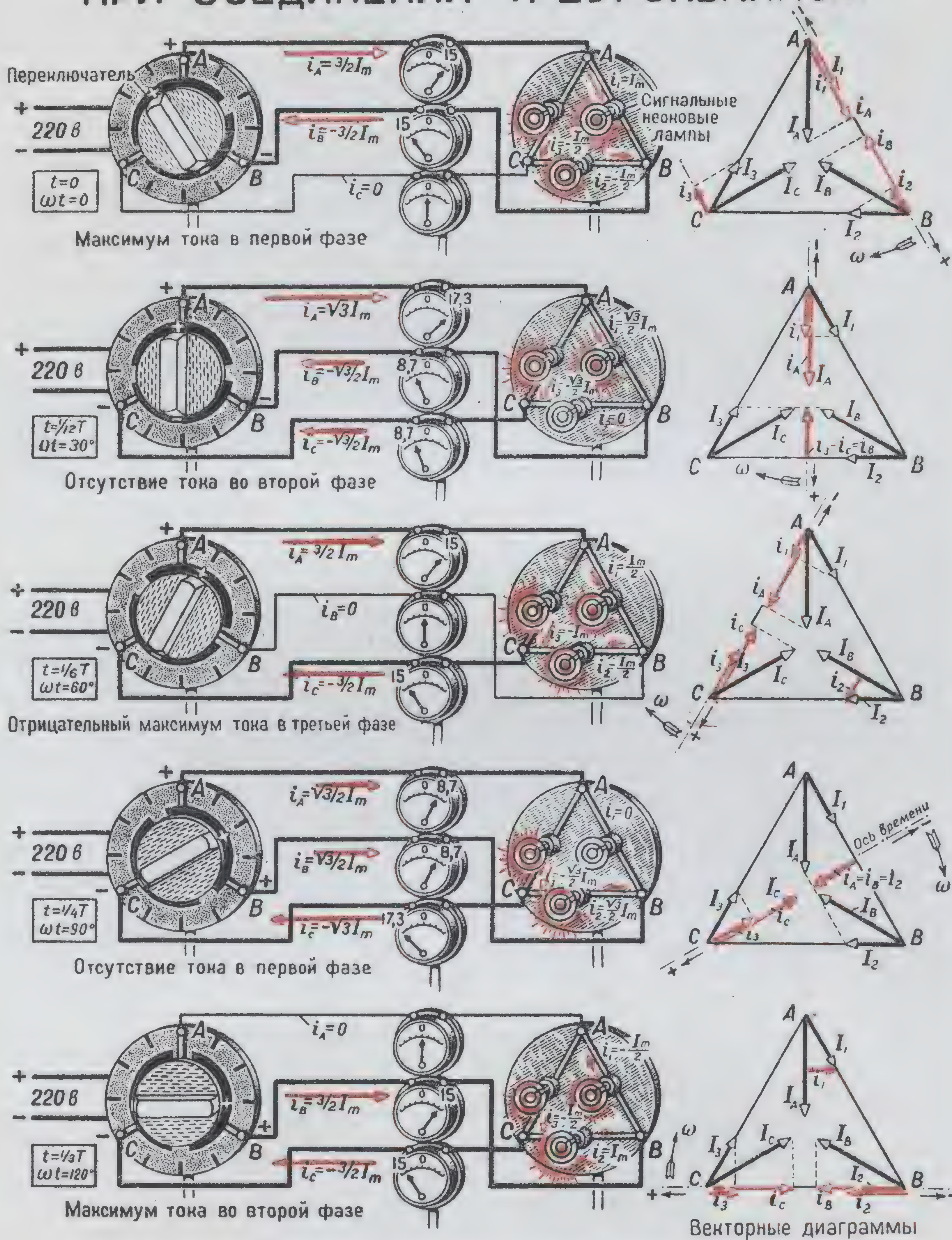


$$I = \sqrt{3} I_\phi \quad \alpha$$

В симметричной системе, соединенной треугольником линейный ток больше фазового в  $\sqrt{3}$  раз и отстает от него по фазе на  $30^\circ$



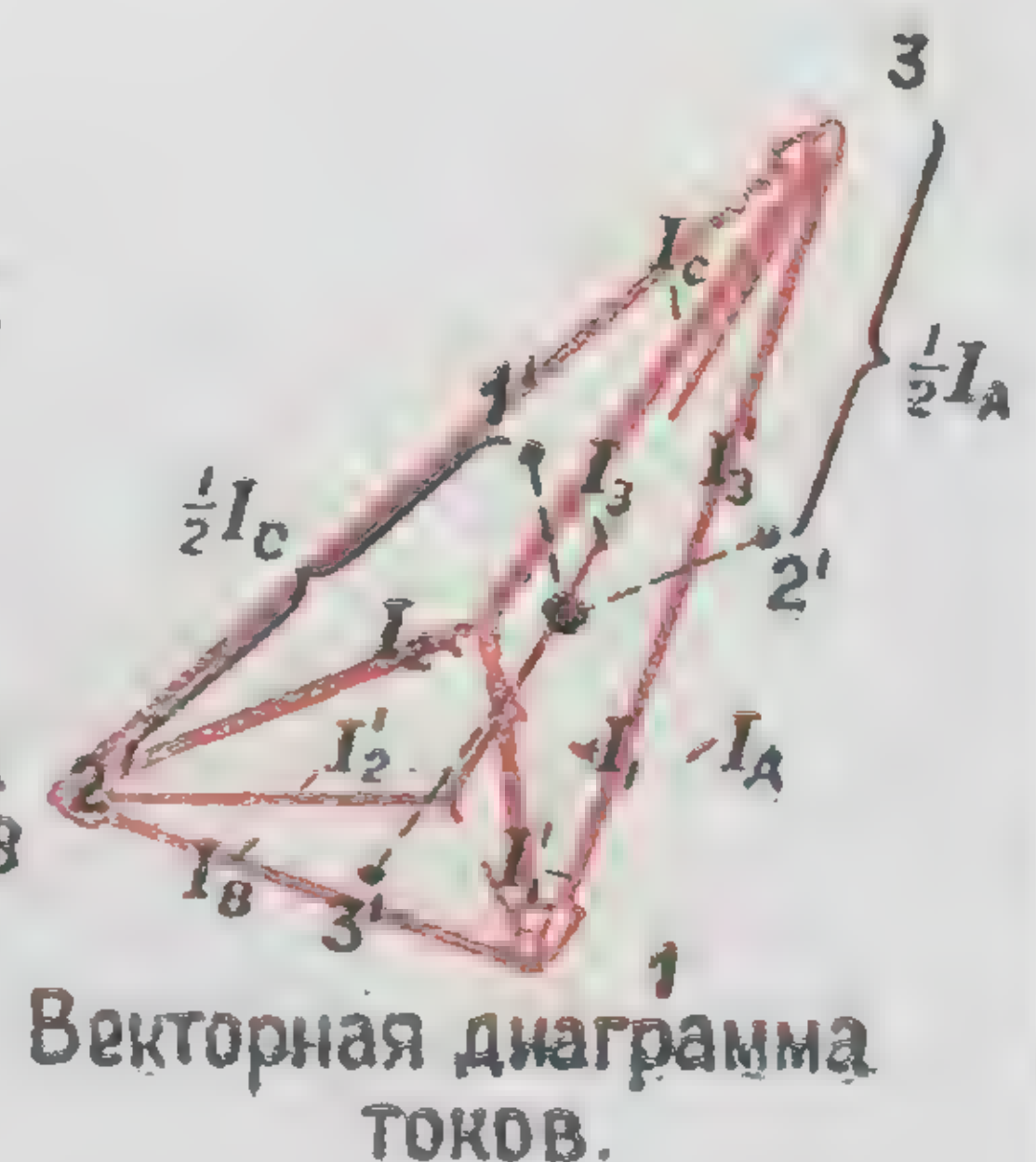
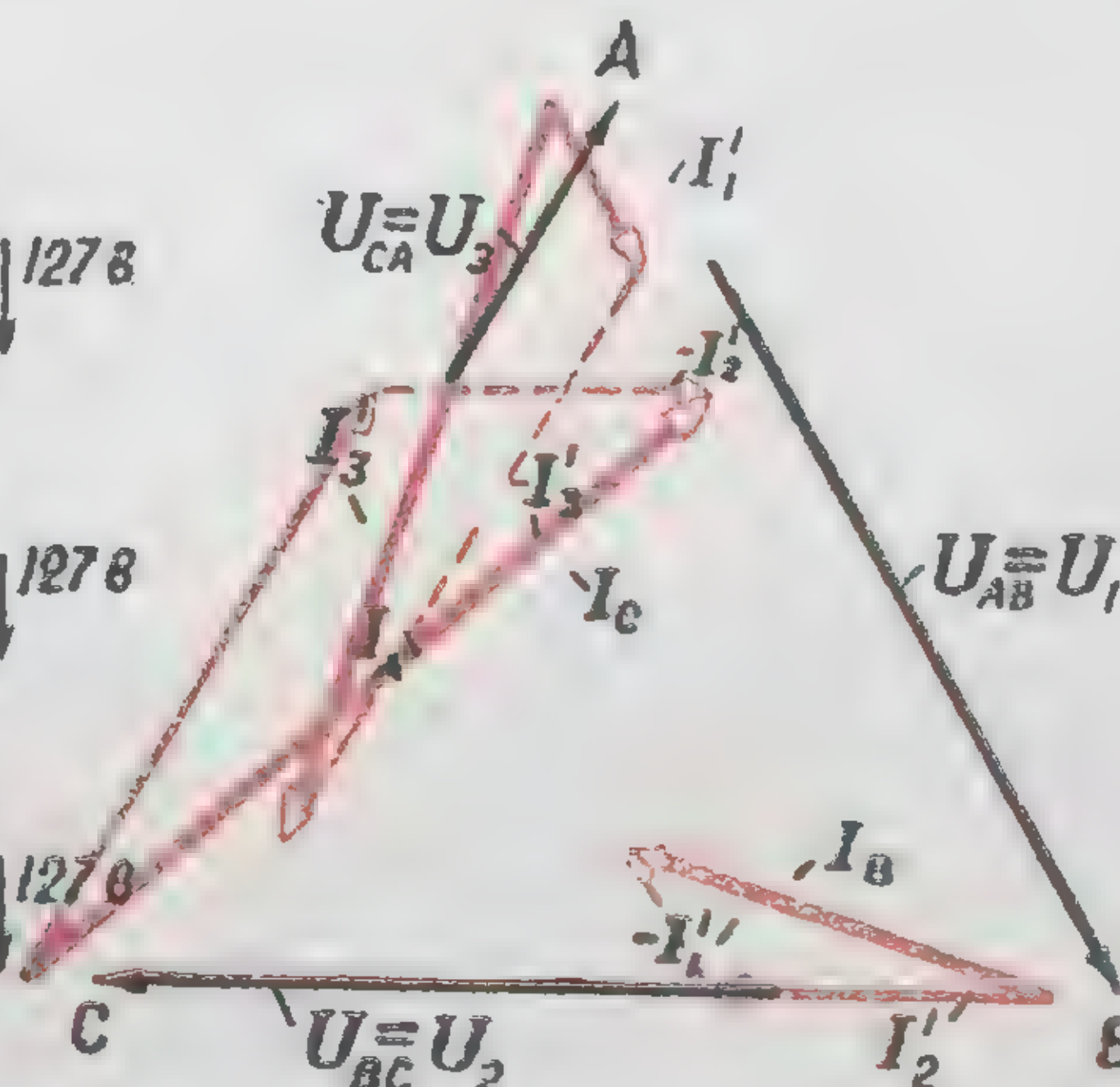
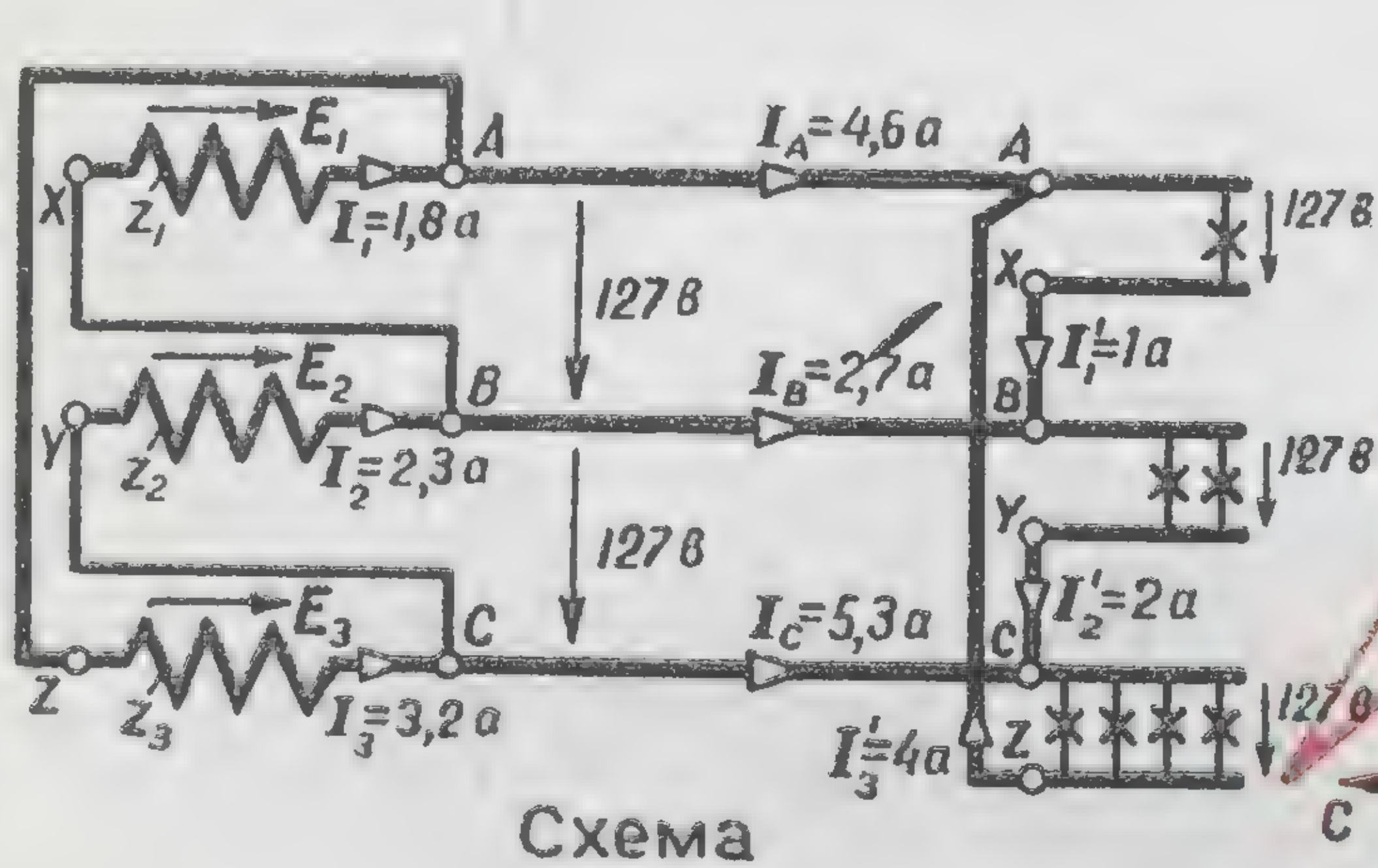
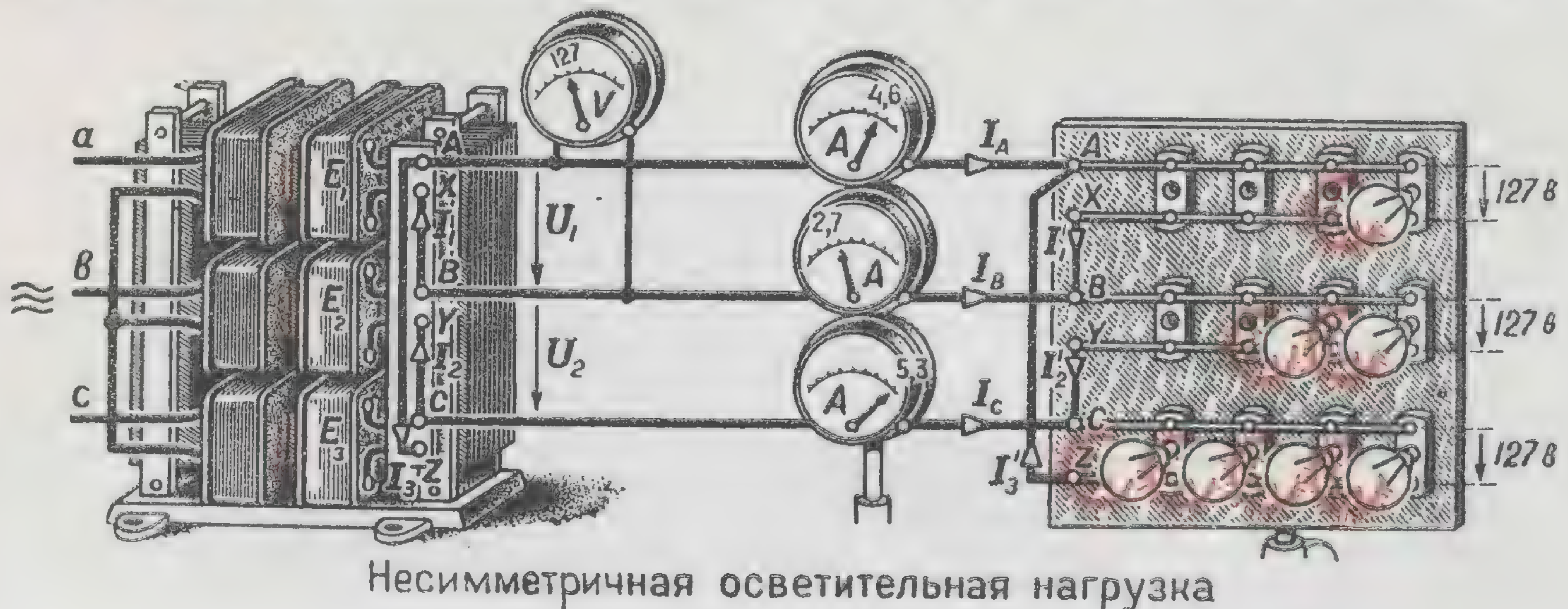
# МГНОВЕННОЕ ТОКОРАСПРЕДЕЛЕНИЕ ПРИ СОЕДИНЕНИИ ТРЕУГОЛЬНИКОМ



Мгновенные значения фазовых и линейных токов  
через интервалы в  $1/12$  периода ( $30^\circ$ )



# НЕСИММЕТРИЧНАЯ НАГРУЗКА ПРИ СОЕДИНЕНИИ ТРЕУГОЛЬНИКОМ



$$E_1 = E_2 = E_3 \quad \text{В}$$

$$Z_1 = Z_2 = Z_3 \quad \text{Ом}$$

Эдс и сопротивления симметричного трехфазного источника

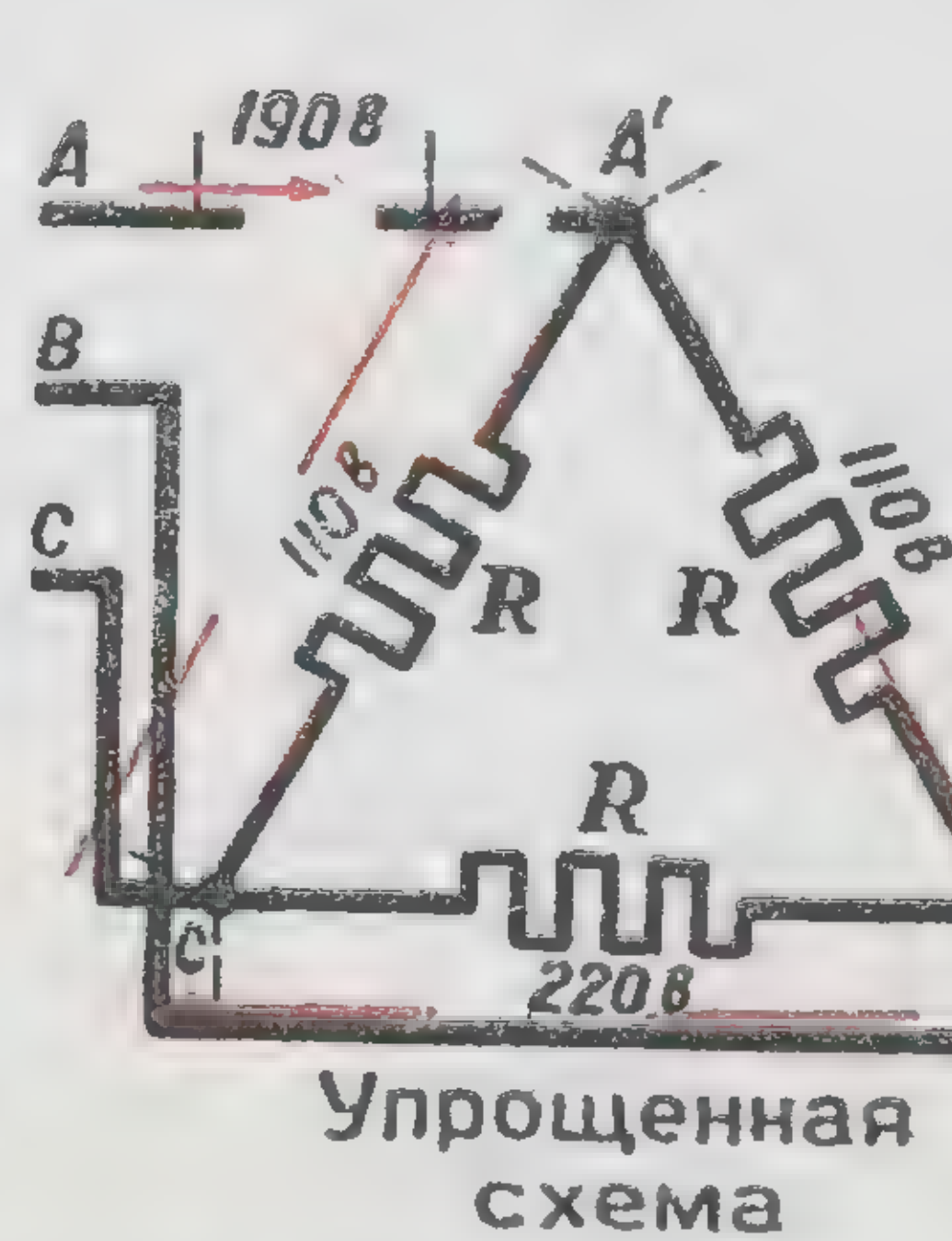
$$\begin{aligned} I_A &= I_1 - I_3 = I_1' - I_3' \\ I_B &= I_2 - I_1 = I_2' - I_1' \\ I_C &= I_3 - I_2 = I_3' - I_2' \\ I_A + I_B + I_C &= 0 \end{aligned}$$

Линейные токи

$$\begin{aligned} I_1 &= \frac{1}{3} (I_A - I_B) \\ I_2 &= \frac{1}{3} (I_B - I_C) \\ I_3 &= \frac{1}{3} (I_C - I_A) \\ I_1 + I_2 + I_3 &= 0 \end{aligned}$$

Фазовые токи симметричного источника

Начало векторов фазовых токов симметричного источника лежит в центре тяжести треугольника линейных токов

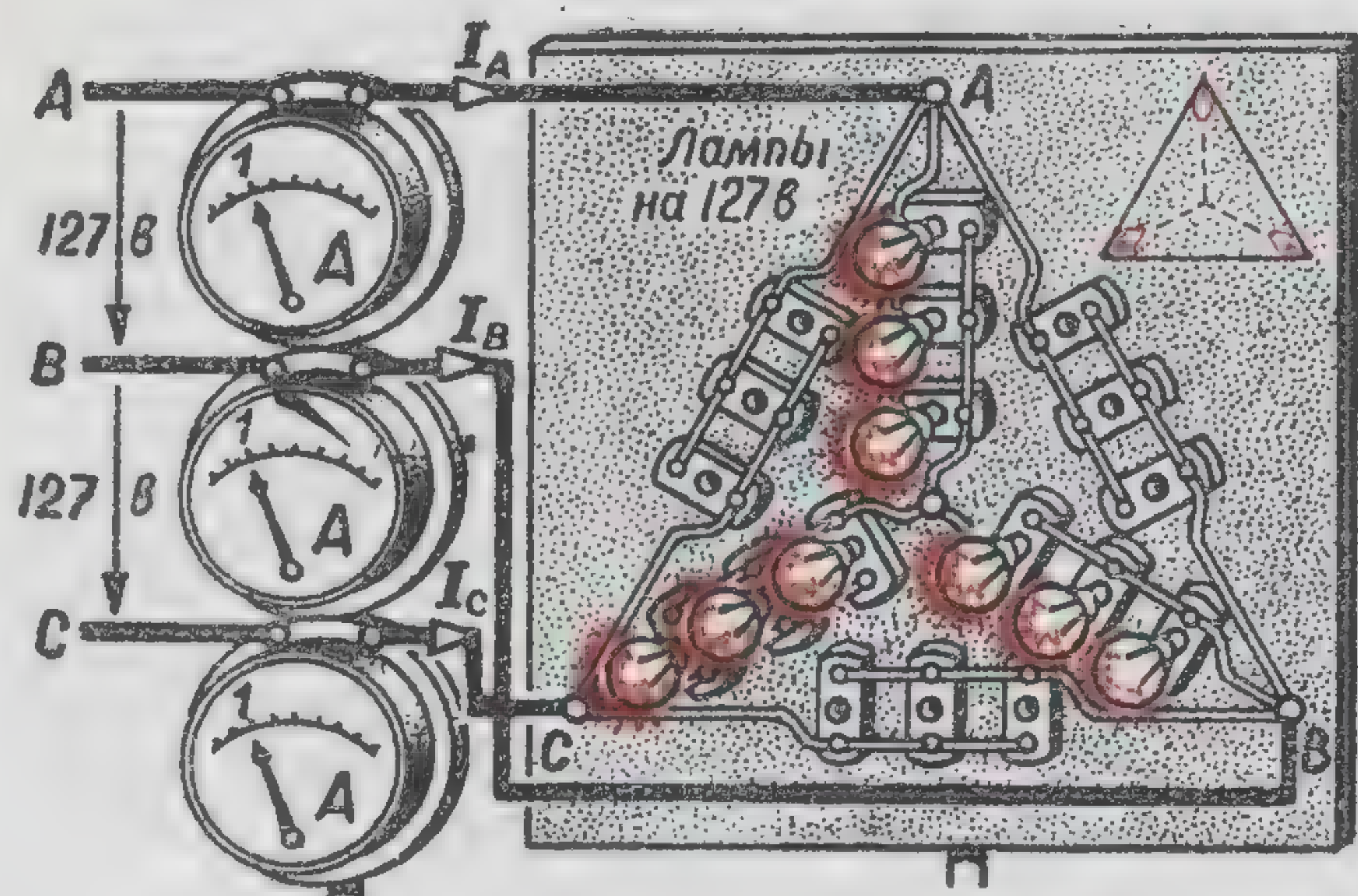


Частный случай несимметричной нагрузки: обрыв в линии

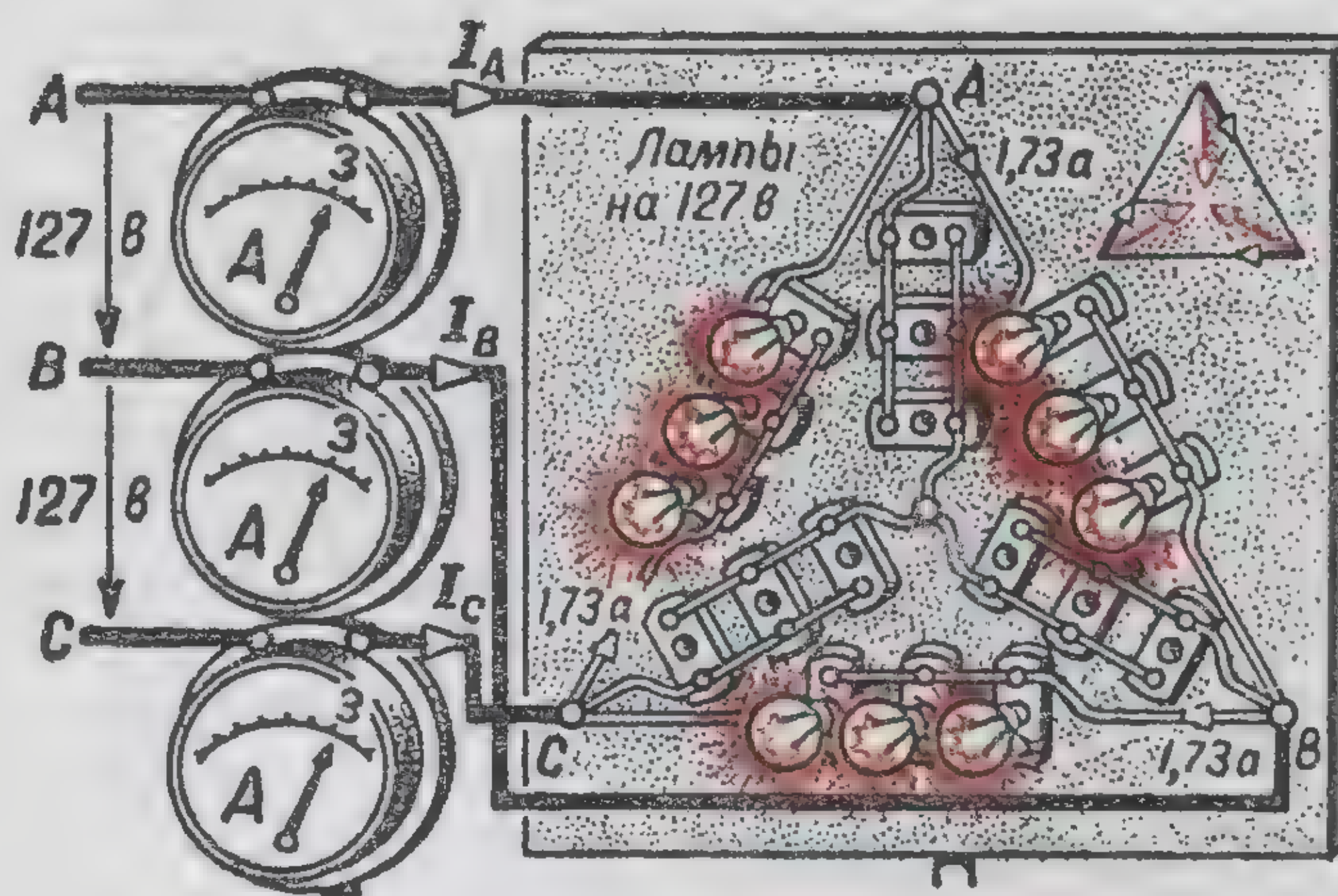
Э.И.Расовский



# ПЕРЕКЛЮЧЕНИЕ СО ЗВЕЗДЫ НА ТРЕУГОЛЬНИК

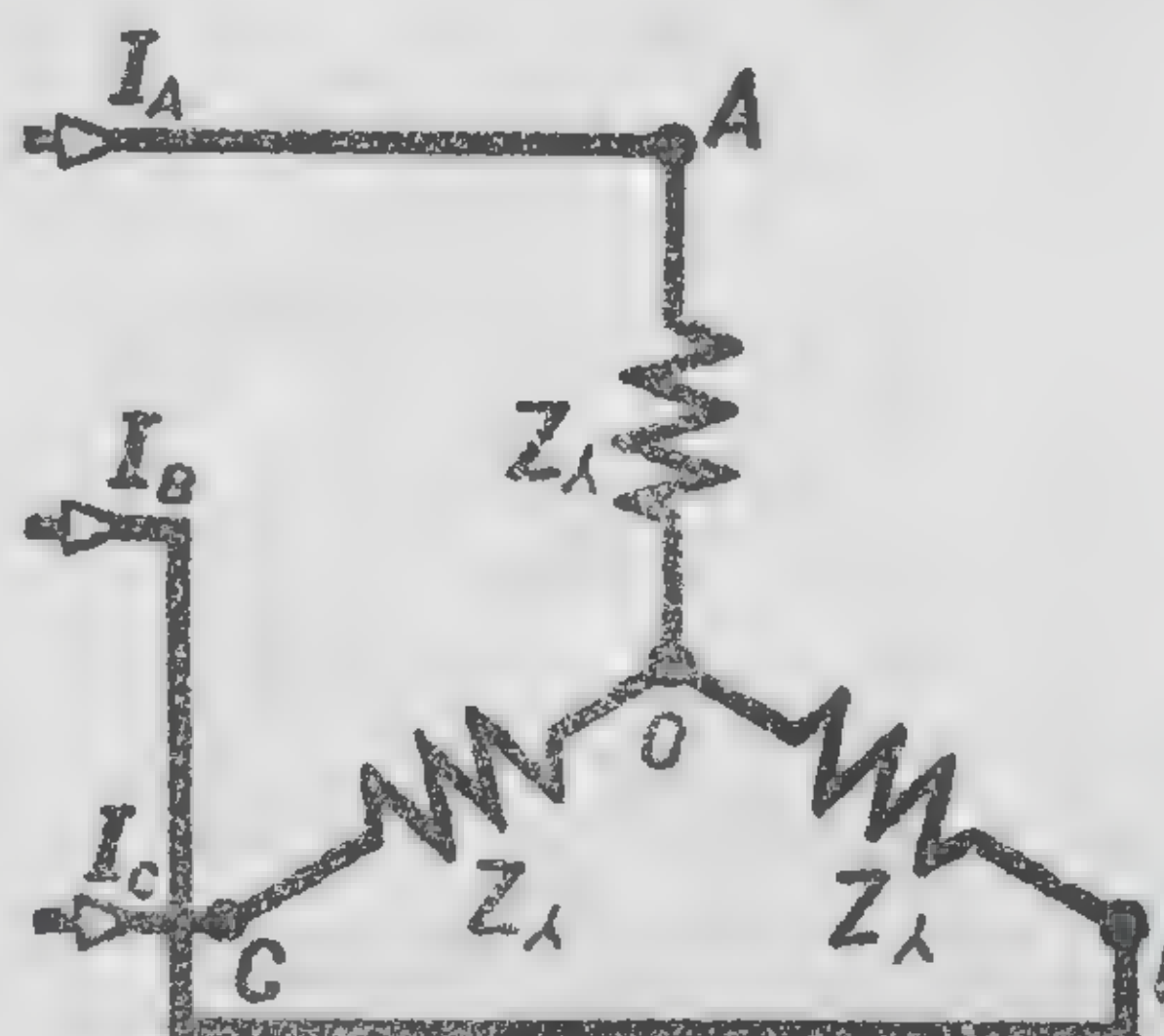


Соединение звездой



Соединение треугольником

При переключении трех одинаковых сопротивлений со звезды на треугольник фазовые токи возрастают в  $\sqrt{3}$  раз, а линейные — в 3 раза



Соединение звездой

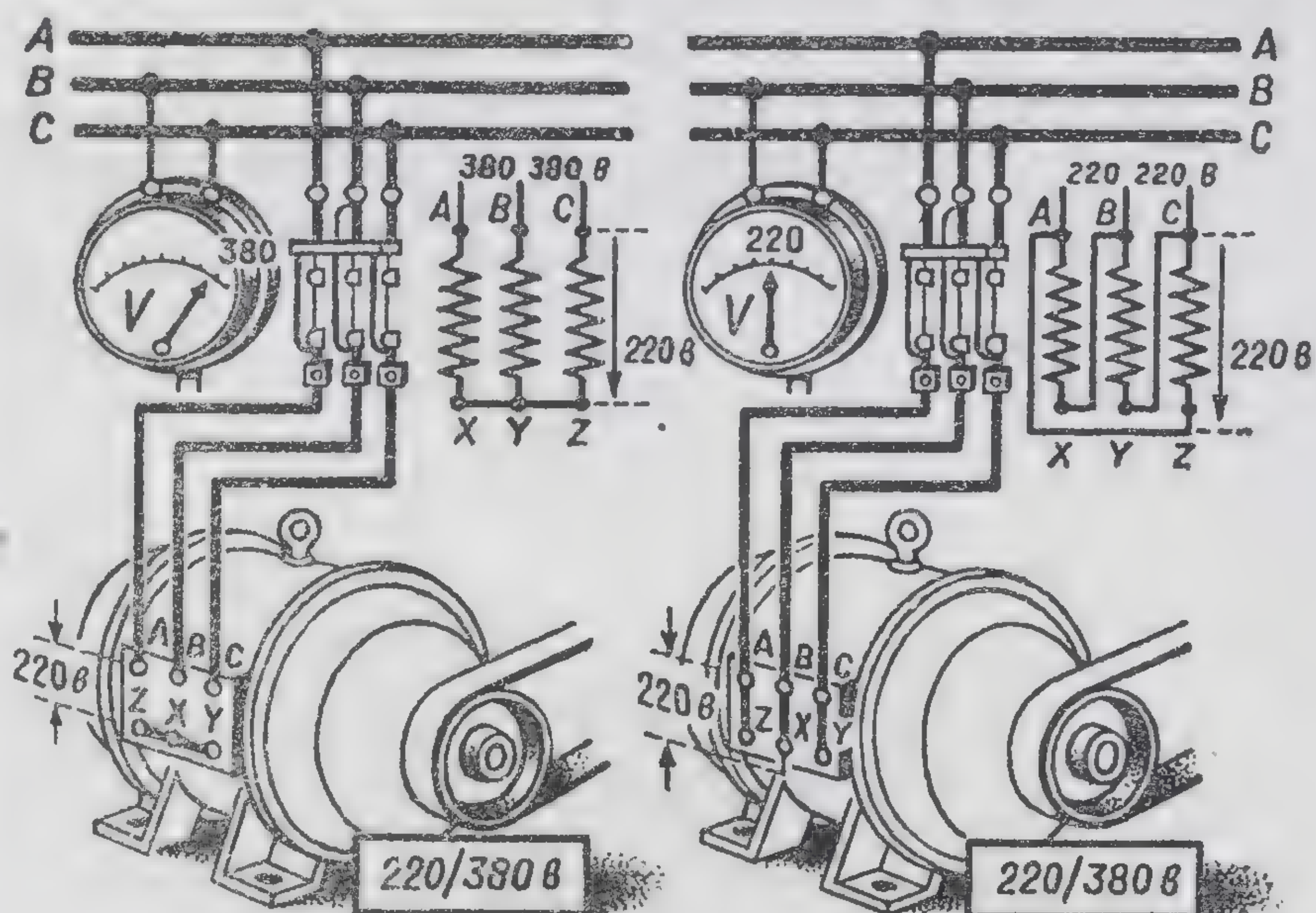


Векторная диаграмма линейных напряжений и токов для соединения звездой или треугольником



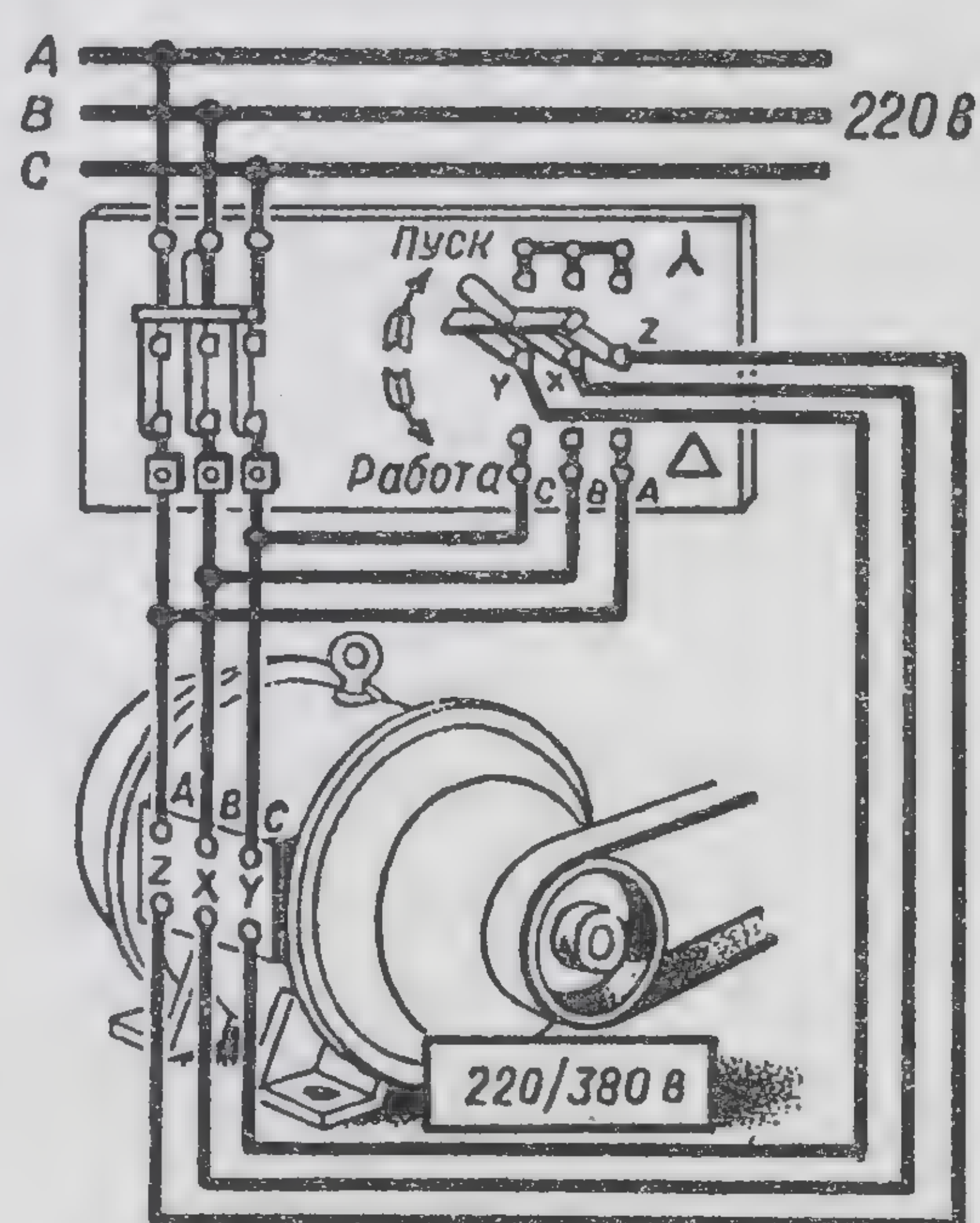
Эквивалентный треугольник

Преобразование симметричной звезды сопротивлений в эквивалентный треугольник



Соединение звездой Соединение треугольником (фазовое напряжение одинаково)

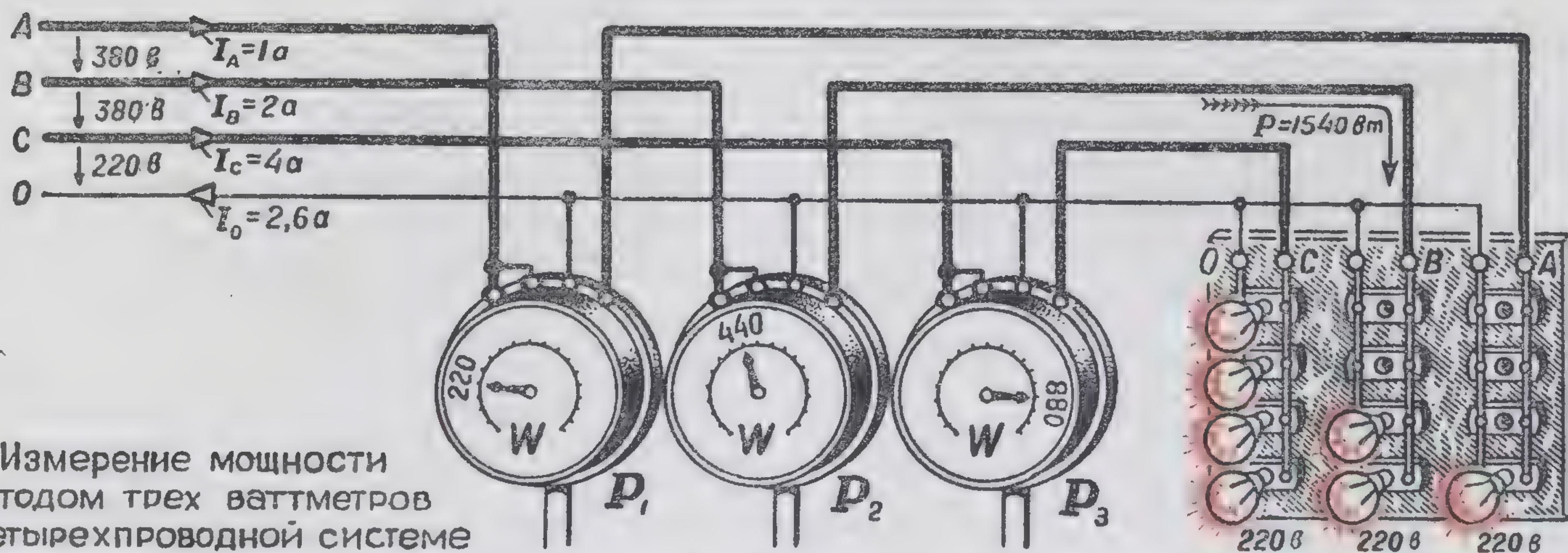
Соединение обмоток трехфазного двигателя звездой или треугольником в соответствии с напряжением сети и номинальным напряжением двигателя.



Пуск в ход трехфазного двигателя путем переключения его обмоток со звезды (пусковой режим) на треугольник (рабочий режим)



# МОЩНОСТЬ ТРЕХФАЗНОЙ ЦЕПИ



Измерение мощности методом трех ваттметров в четырехпроводной системе при произвольной (симметричной или несимметричной) нагрузке

Несимметричная нагрузка

$$P = P_{1\phi} + P_{2\phi} + P_{3\phi} = \sum U_{\phi} I_{\phi} \cos \varphi$$

Активная мощность

$$P_r = P_{1r} + P_{2r} + P_{3r} = \sum U_{\phi} I_{\phi} \sin \varphi$$

Реактивная мощность

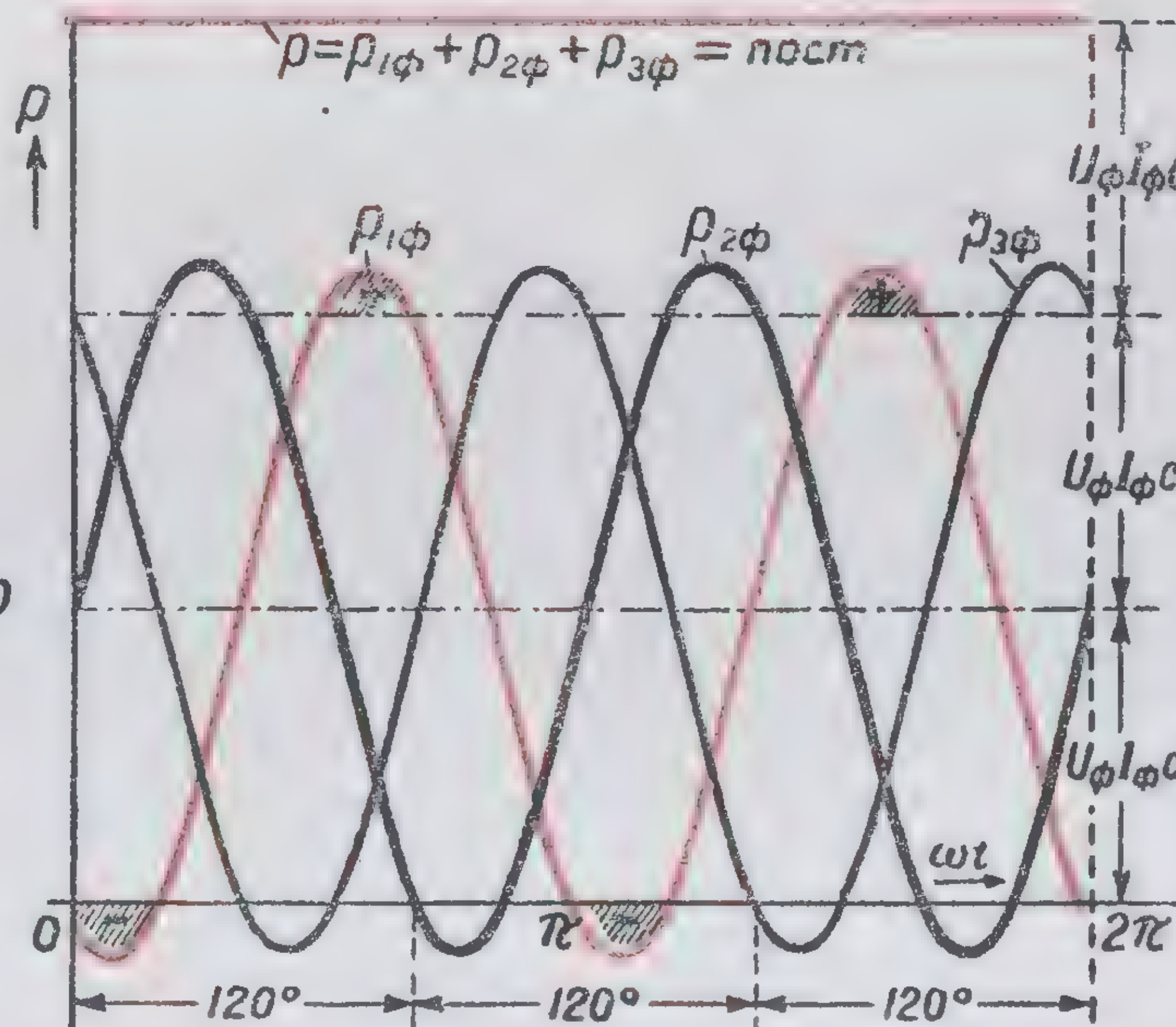
$$P_i = \sqrt{P^2 + P_r^2}$$

Кажущаяся мощность

$$\cos \varphi = \frac{P}{\sqrt{P^2 + P_r^2}}$$

Коэффициент мощности

Несимметричная нагрузка



$$p = p_{1\phi} + p_{2\phi} + p_{3\phi} = 3U_{\phi} I_{\phi} \cos \varphi = \sqrt{3} UI \cos \varphi = P = \text{const}$$

Мгновенная мощность трехфазной цепи при симметричной нагрузке является постоянной величиной

$$P = 3P_{\phi} = 3U_{\phi} I_{\phi} \cos \varphi = \sqrt{3} UI \cos \varphi$$

Активная мощность

$$P_r = 3U_{\phi} I_{\phi} \sin \varphi = \sqrt{3} UI \sin \varphi$$

Реактивная мощность

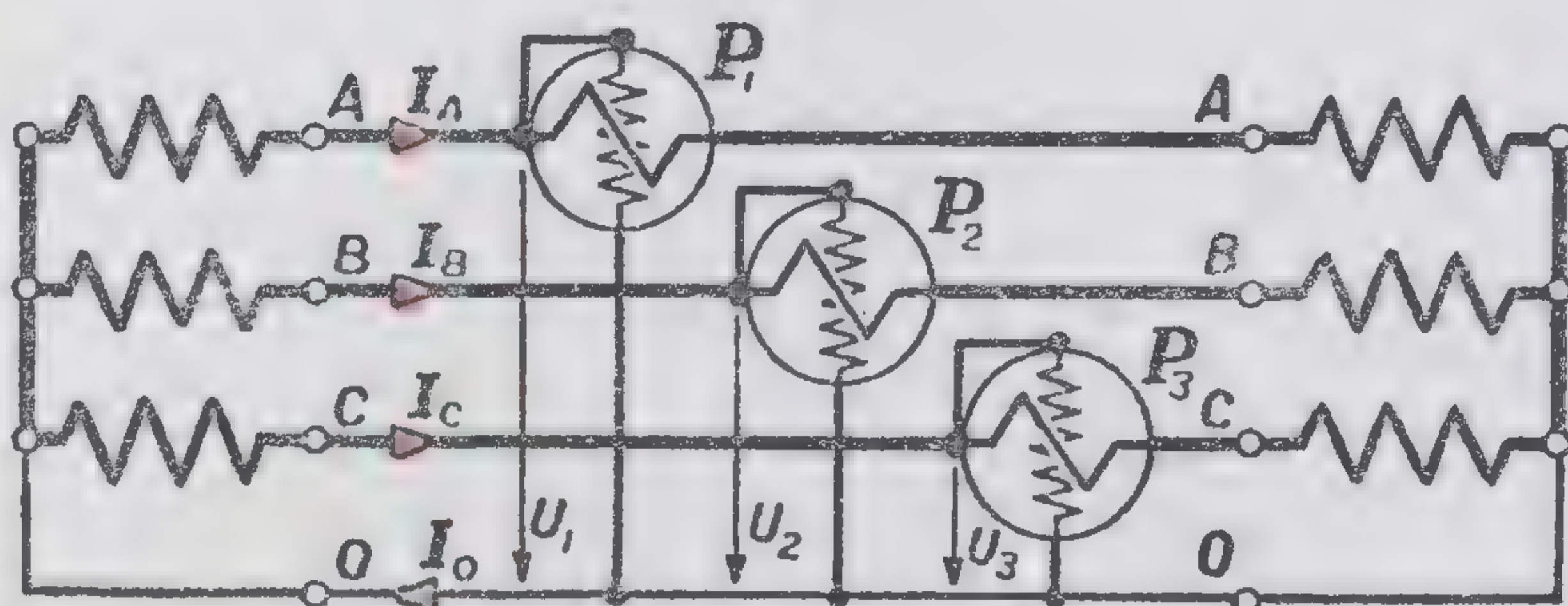
$$P_i = 3U_{\phi} I_{\phi} = \sqrt{3} UI$$

Кажущаяся мощность

$$\cos \varphi = \frac{P}{\sqrt{3} UI}$$

Коэффициент мощности

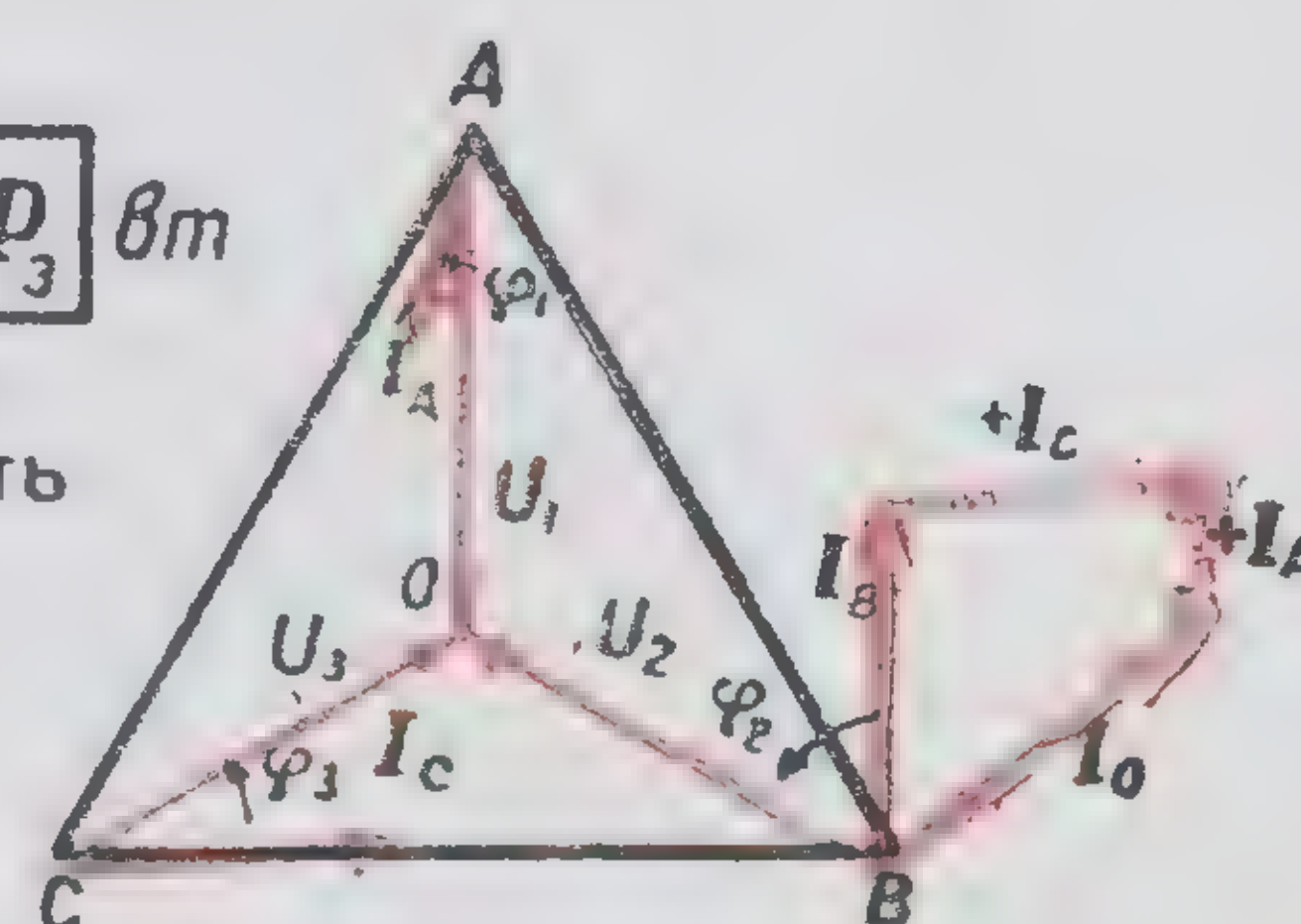
Симметричная нагрузка



Метод трех ваттметров в четырехпроводной системе

$$P = P_1 + P_2 + P_3$$

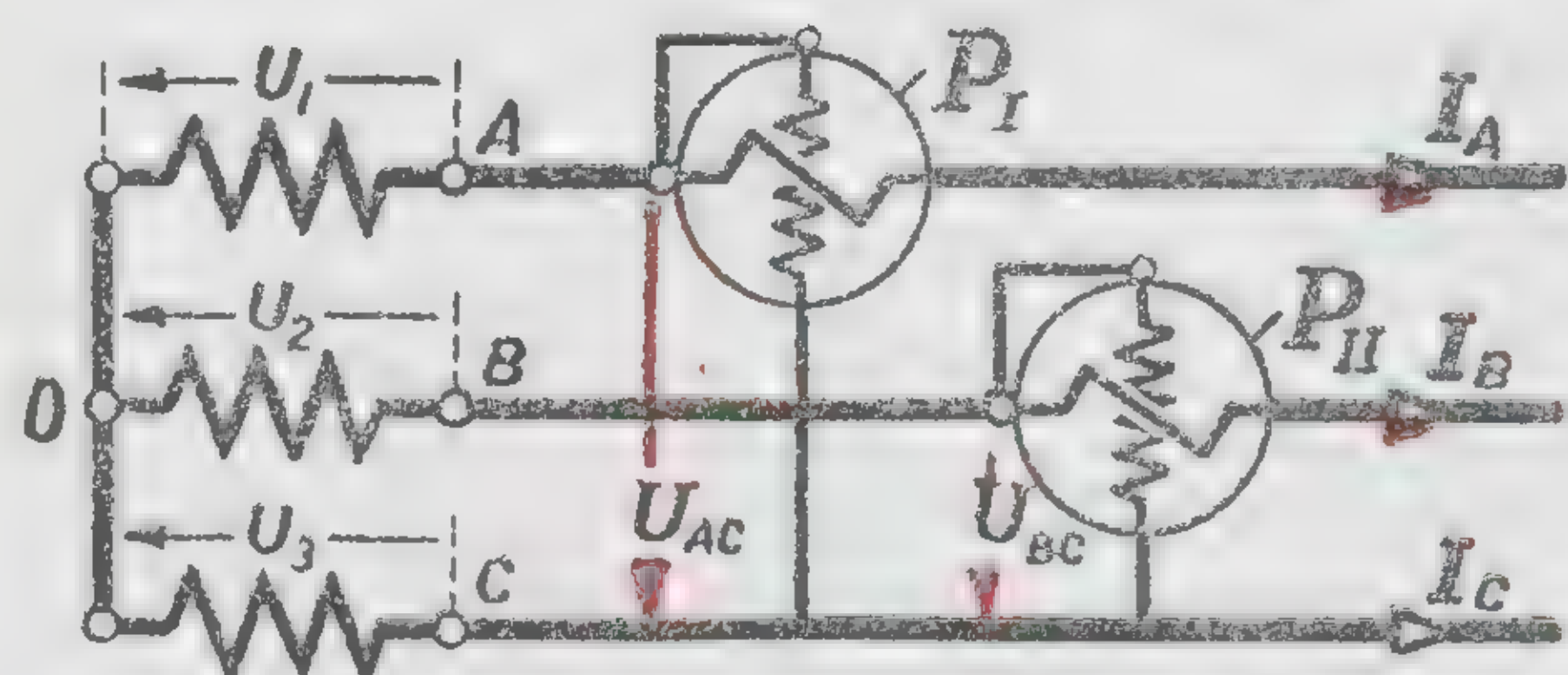
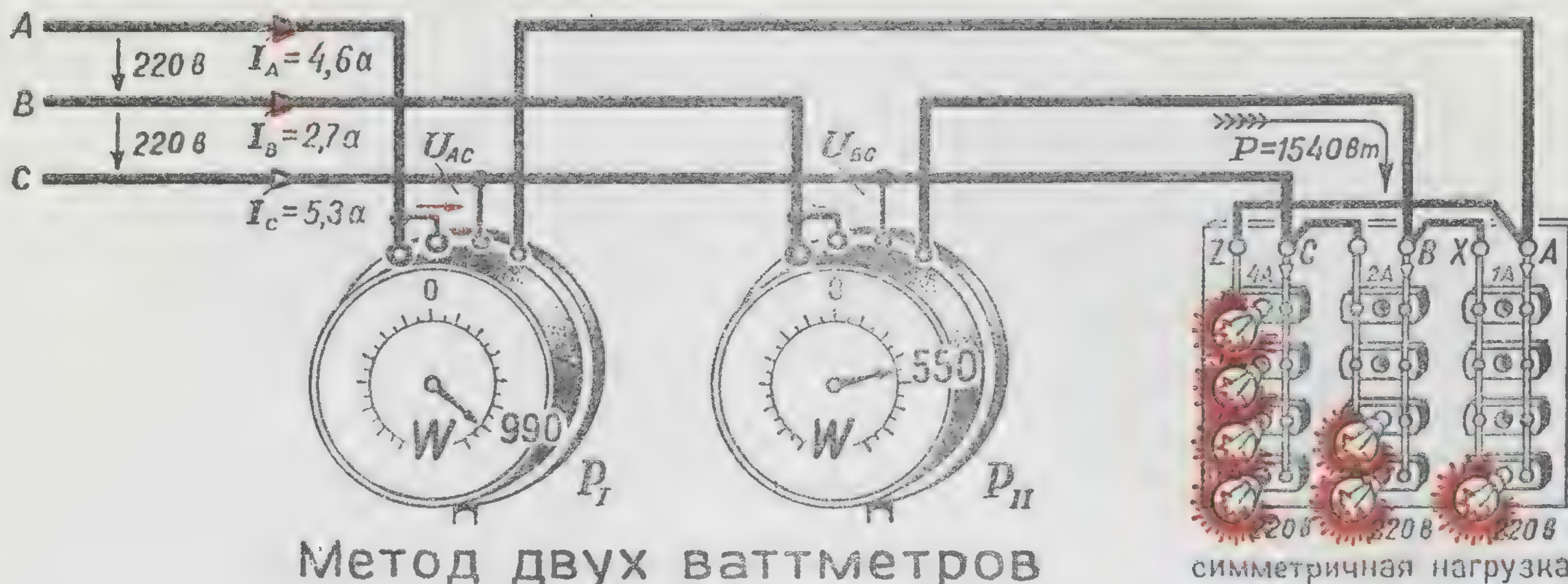
Общая мощность



З.И. Расовский



# ИЗМЕРЕНИЕ МОЩНОСТИ В ТРЕХПРОВОДНОЙ СИСТЕМЕ



$$p = p_1 + p_2 + p_3 = u_1 i_A + u_2 i_B + u_3 i_C = (u_1 - u_3) i_A + (u_2 - u_3) i_B = u_{AC} i_A + u_{BC} i_B = p_I + p_{II} \text{ Вт}$$

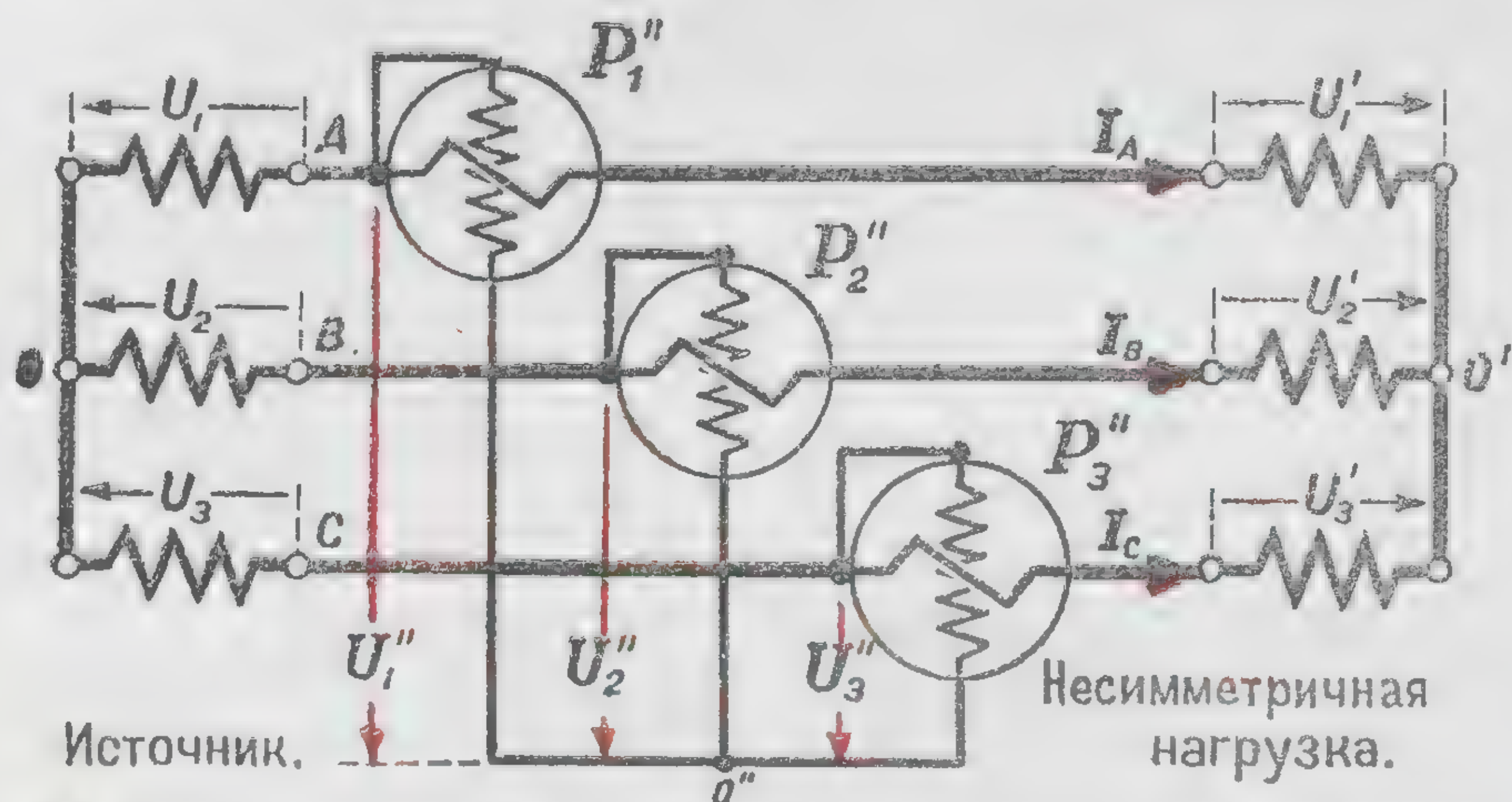
мгновенная

$$P = P_I + P_{II} \text{ Вт}$$

активная

Общая мощность.

Мощность трехфазной трехпроводной системы при произвольной, симметричной или несимметричной, нагрузке равна алгебраической сумме показаний двух ваттметров



Метод трех ваттметров в трехпроводной системе (имеет ограниченное применение)

$$p_1 + p_2 + p_3 = u_1 i_A + u_2 i_B + u_3 i_C = u_1'' i_A + u_2'' i_B + u_3'' i_C + u_{0''0} (i_A + i_B + i_C) = p_1'' + p_2'' + p_3'' \text{ Вт}$$

мгновенная

$$P_1 + P_2 + P_3 = P_1'' + P_2'' + P_3'' = P_1' + P_2' + P_3' \text{ Вт}$$

активная

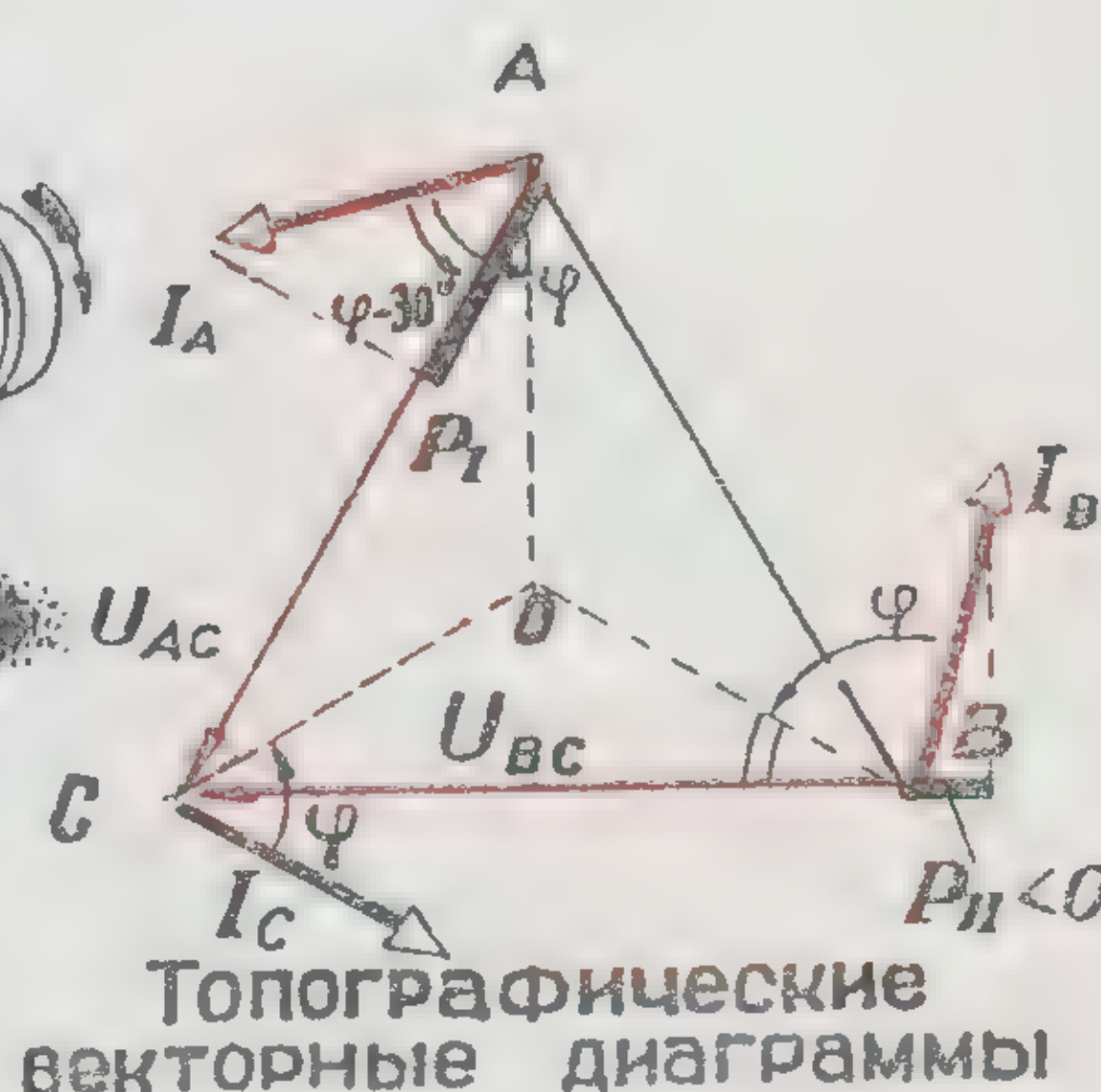
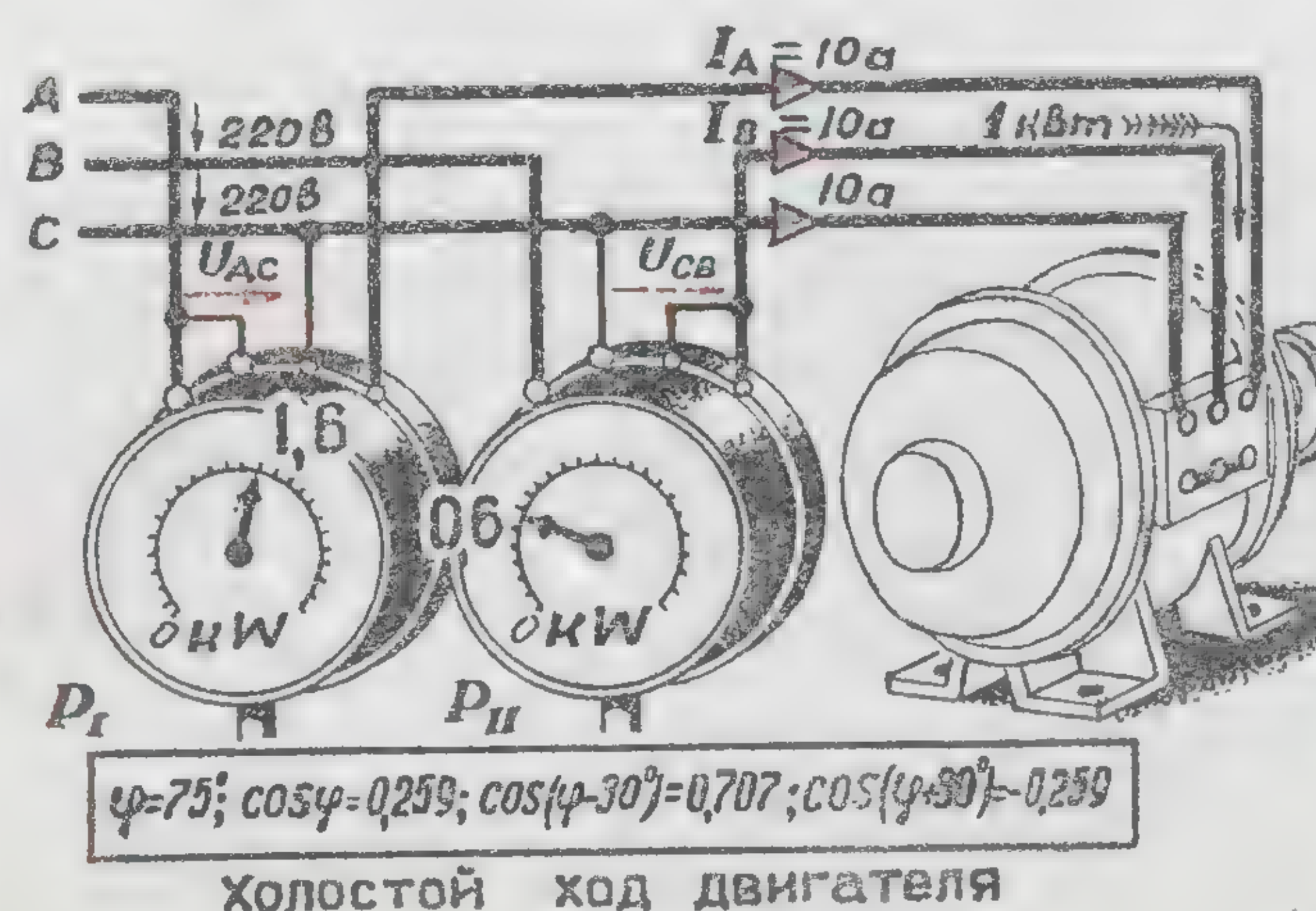
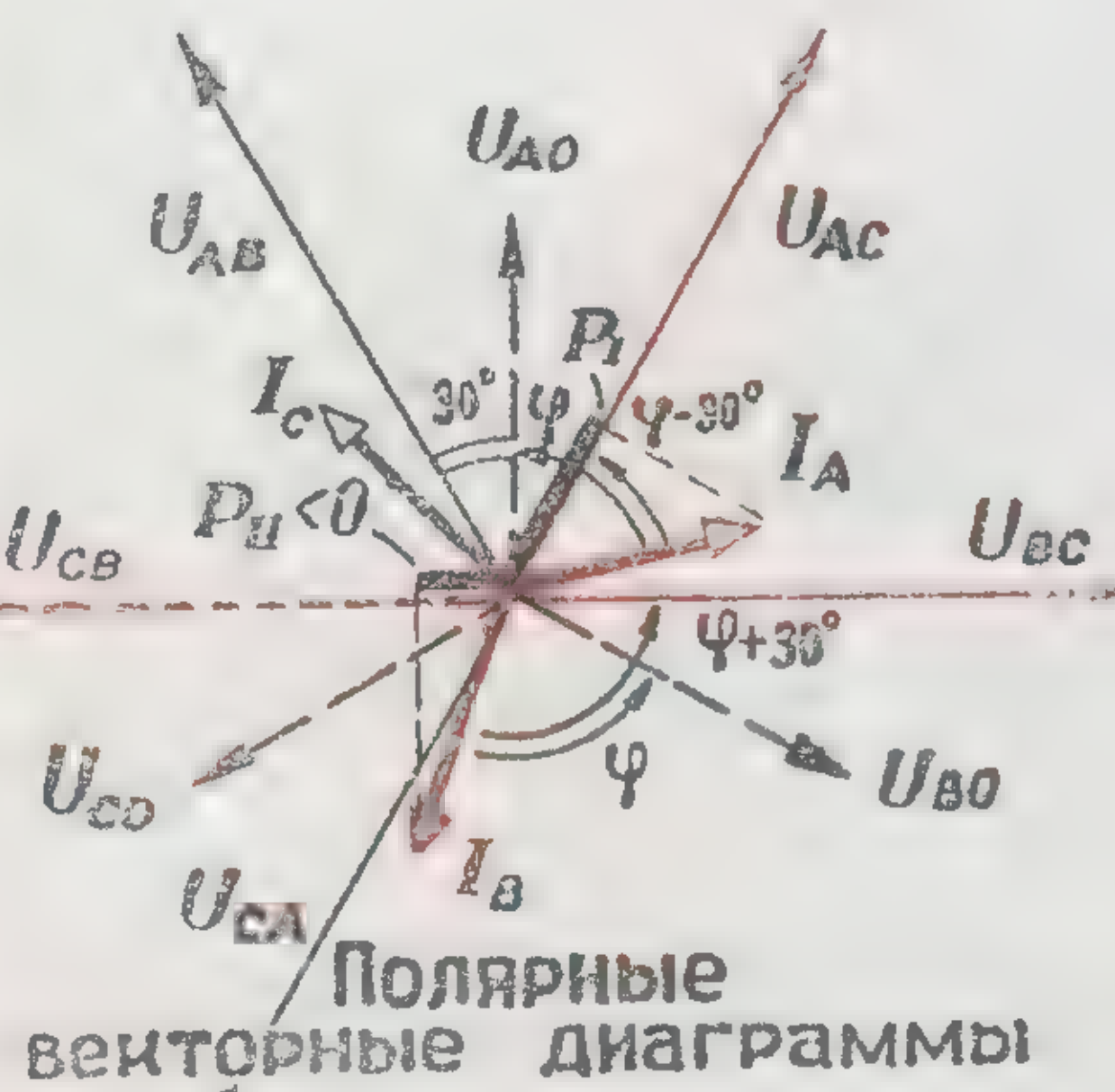
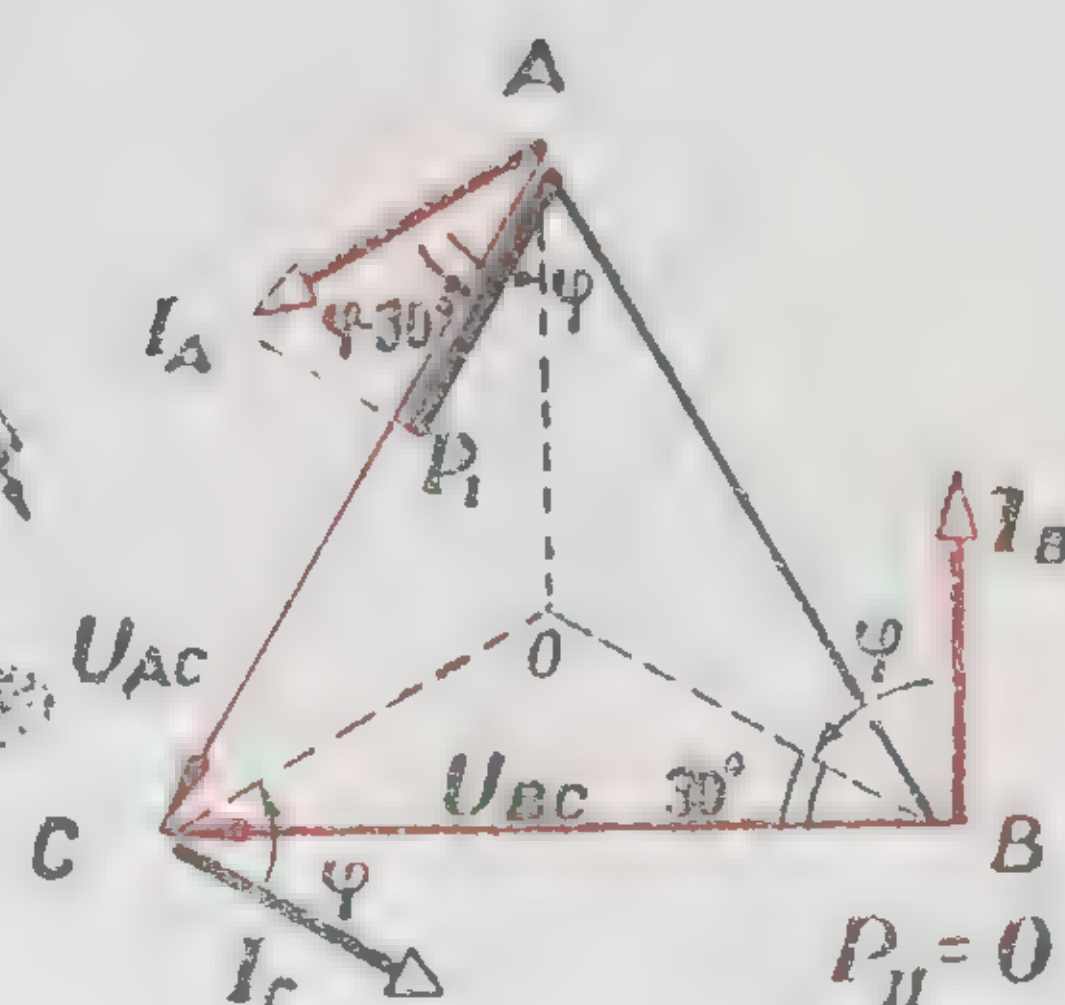
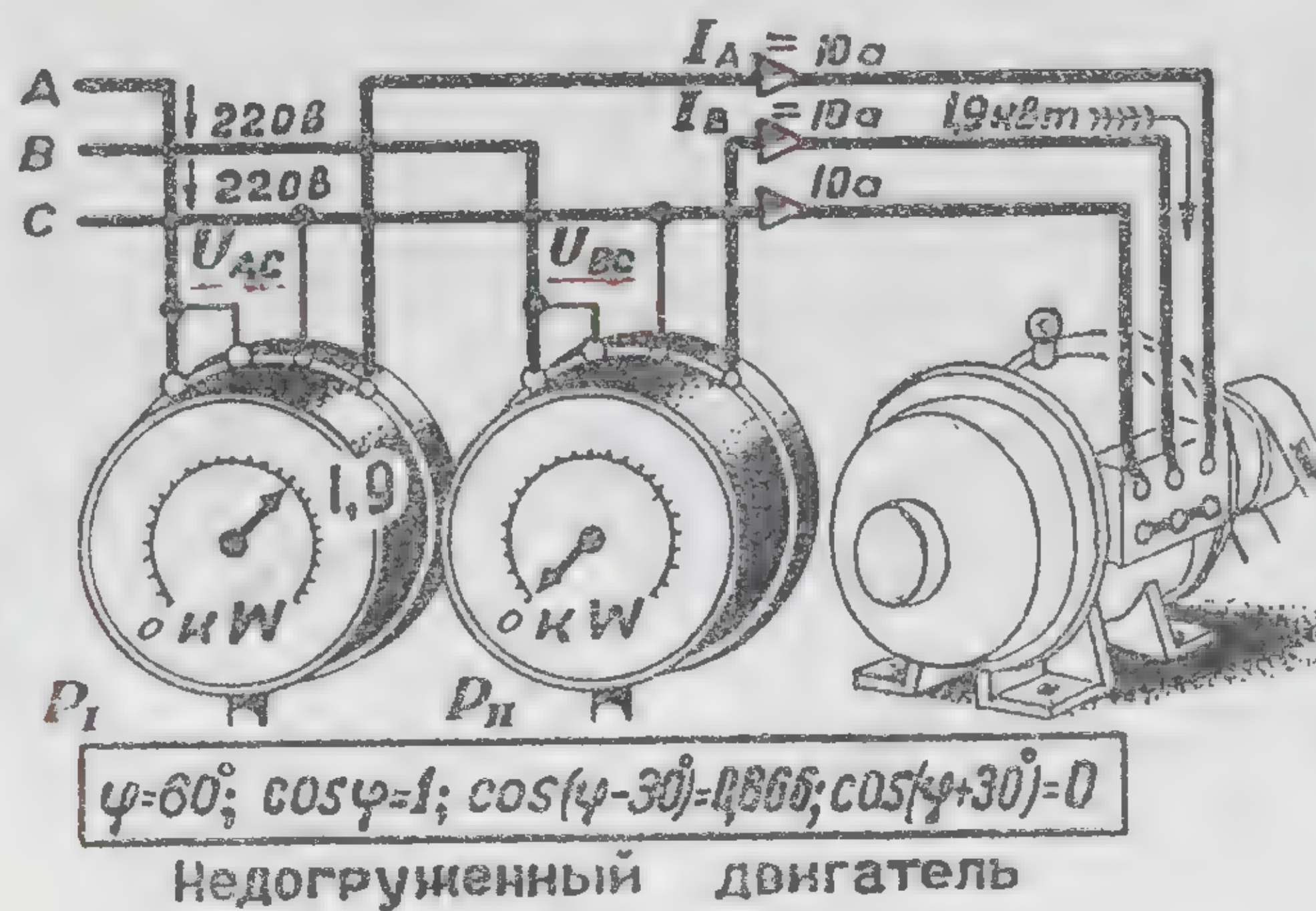
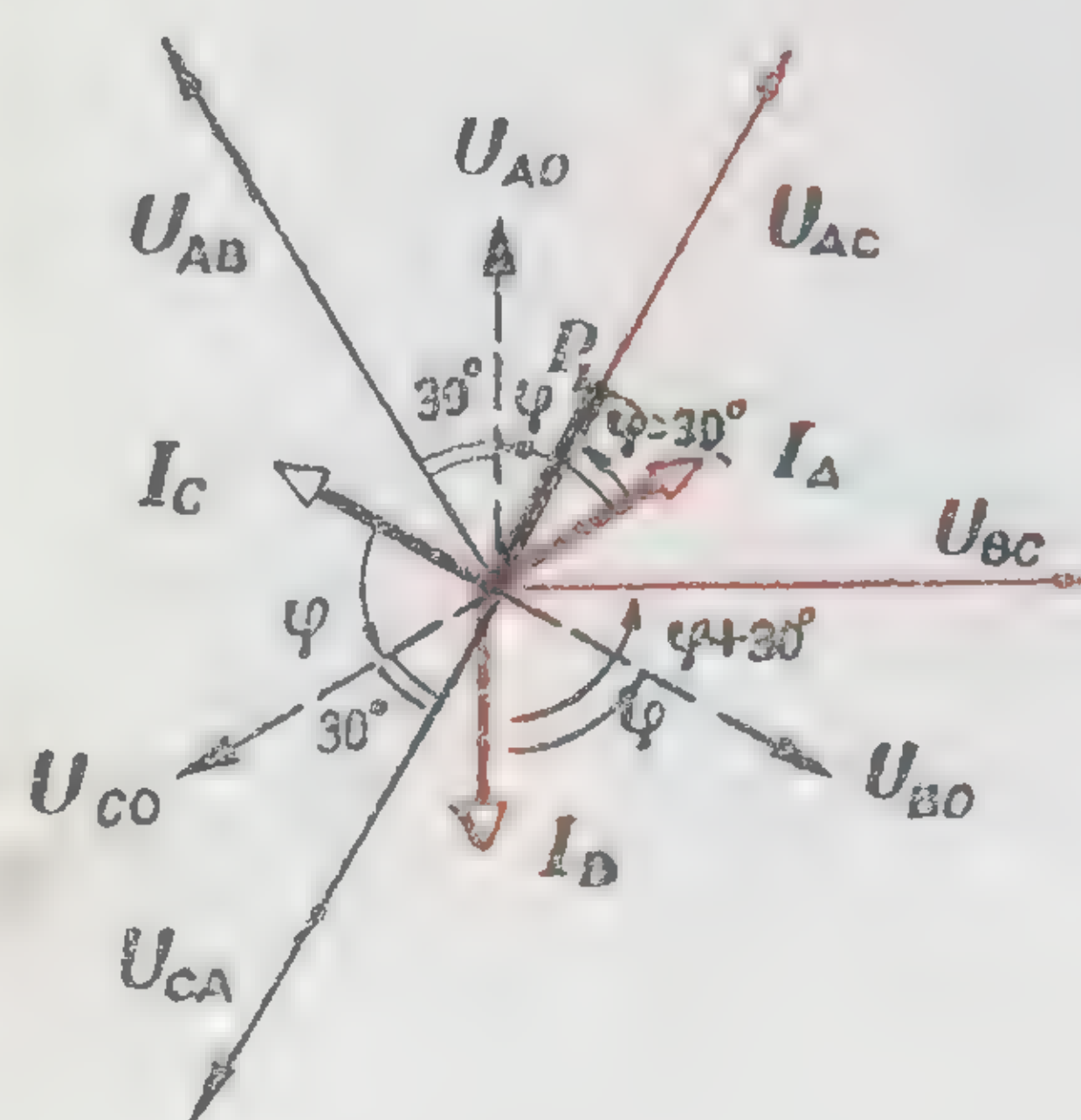
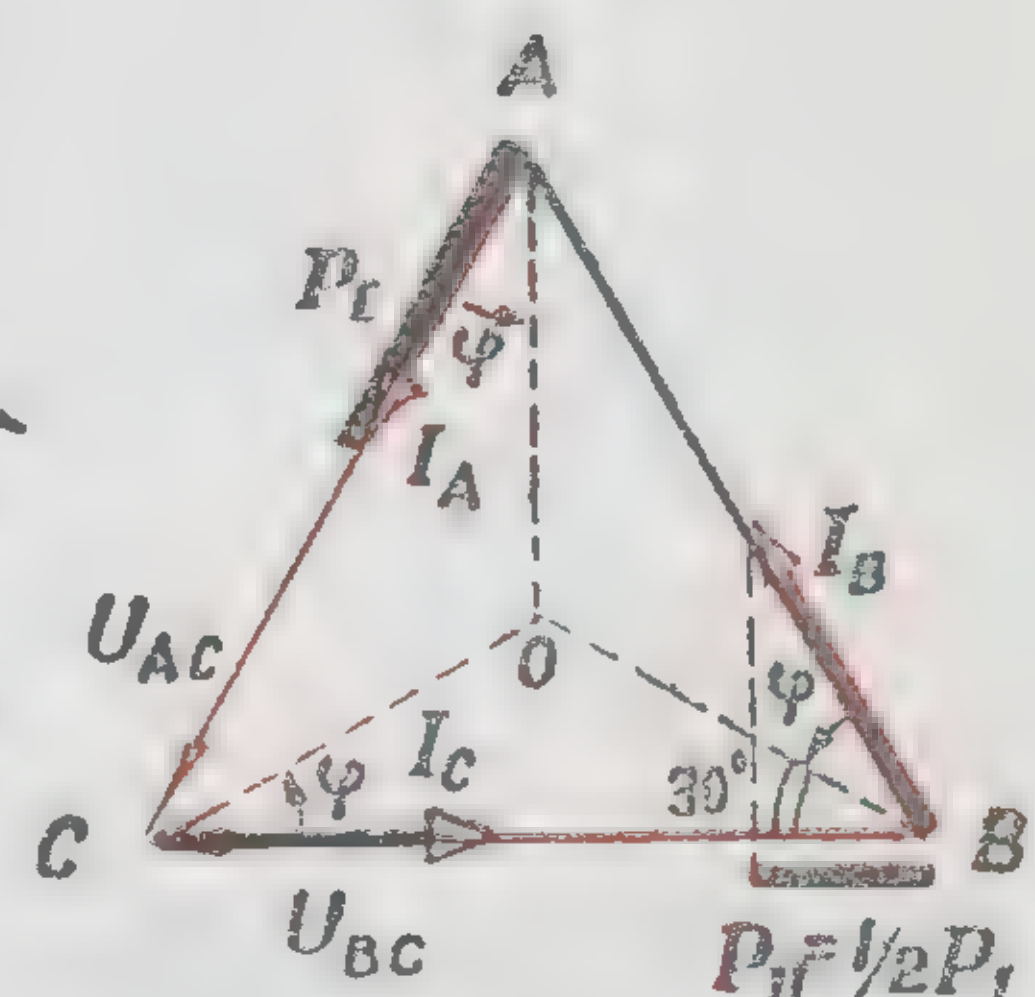
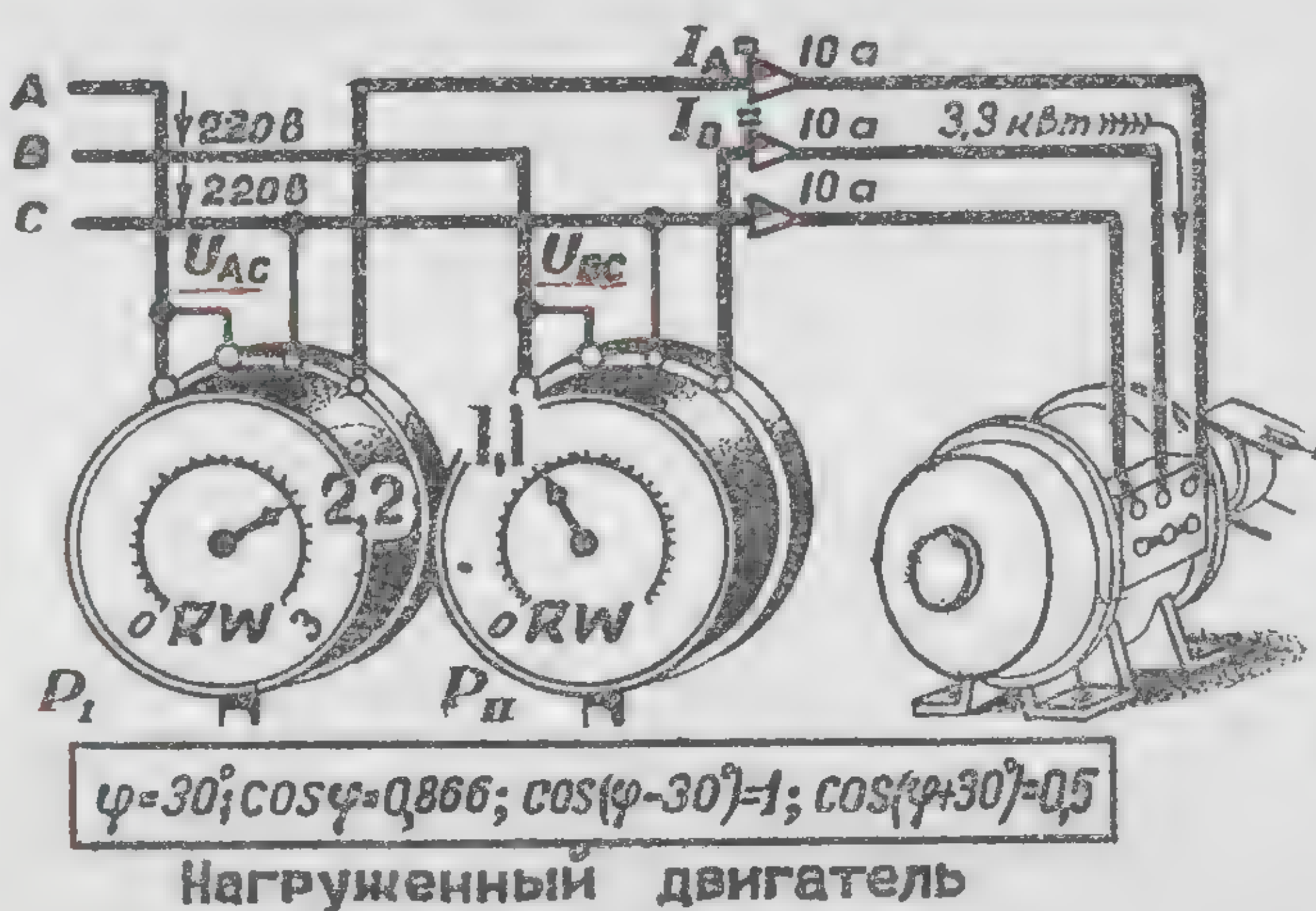
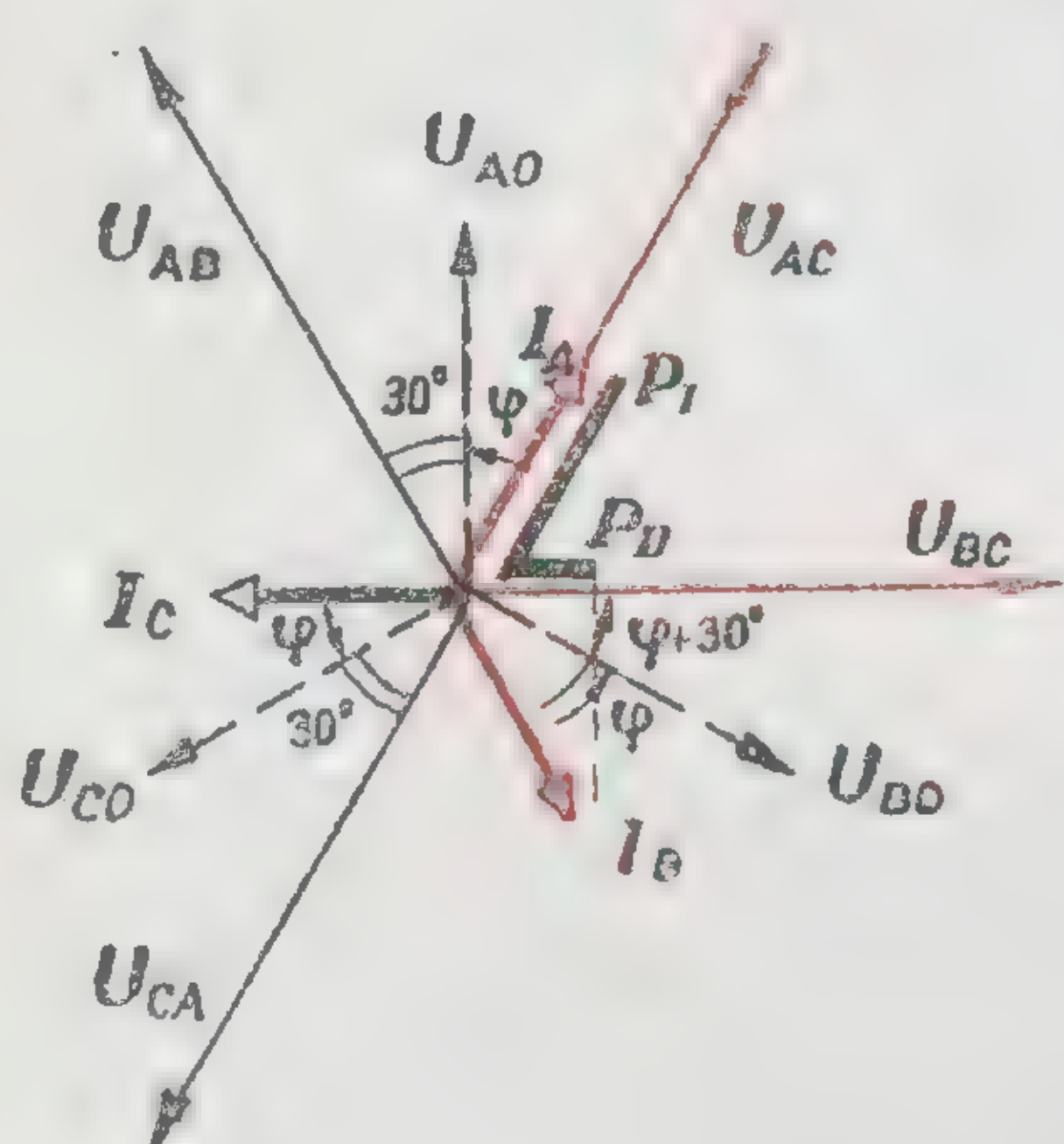
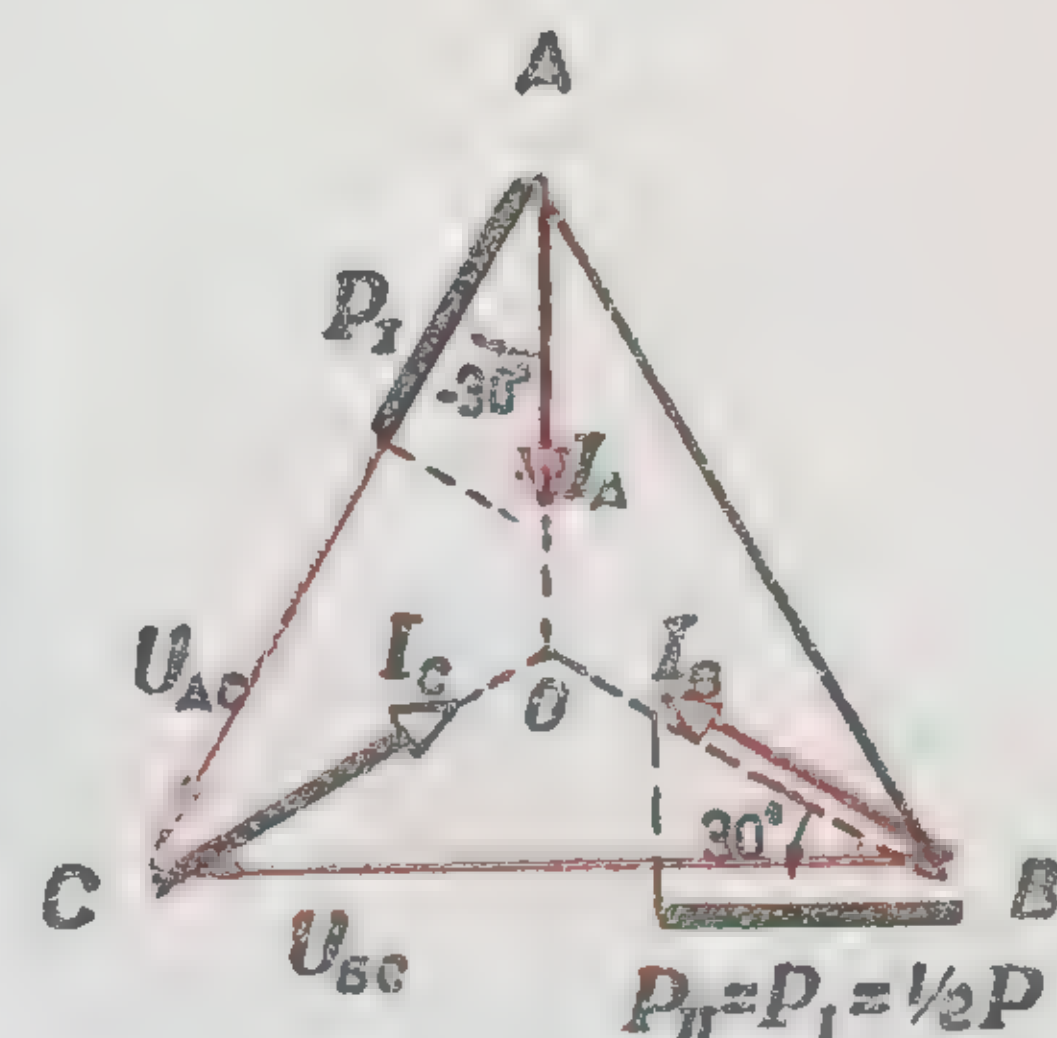
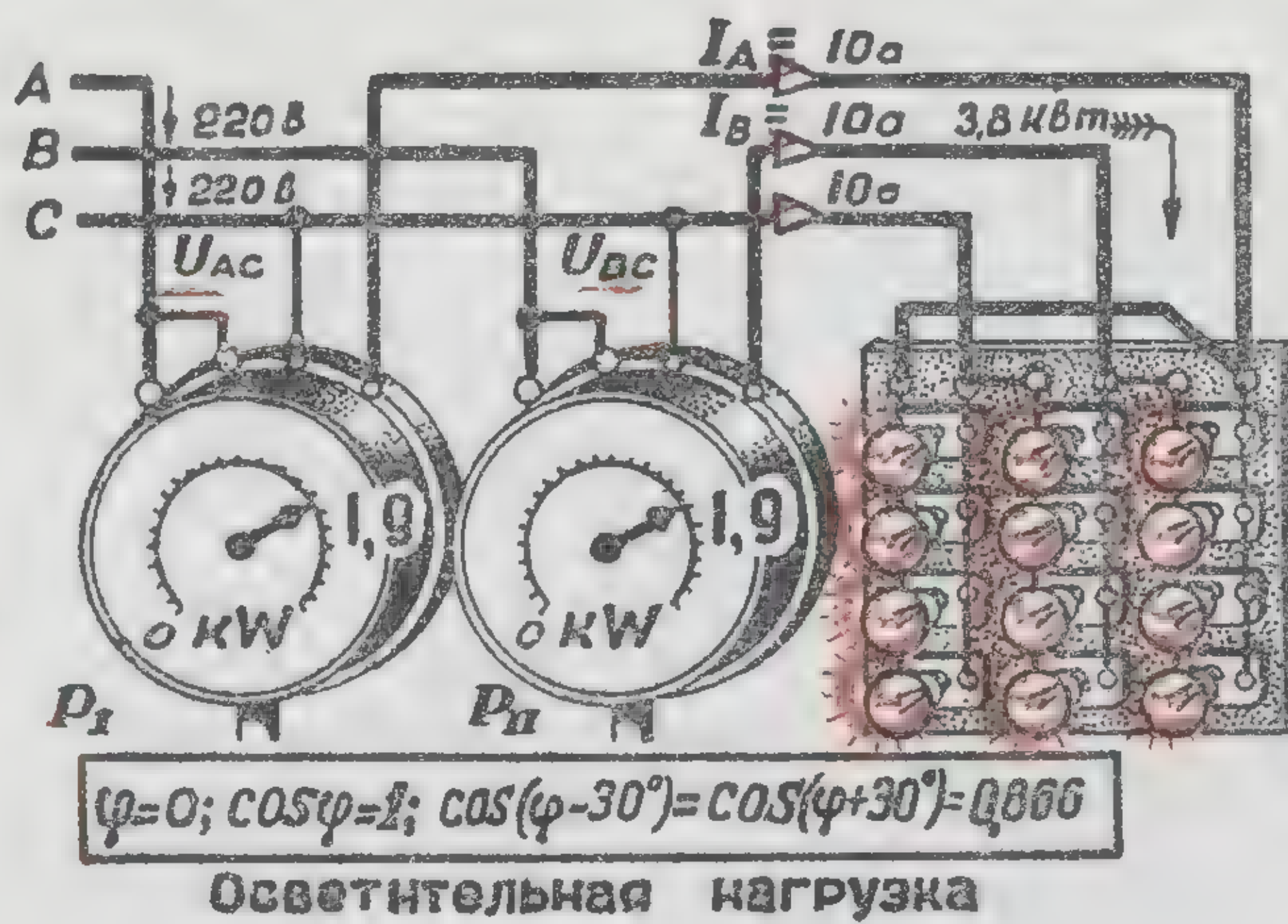
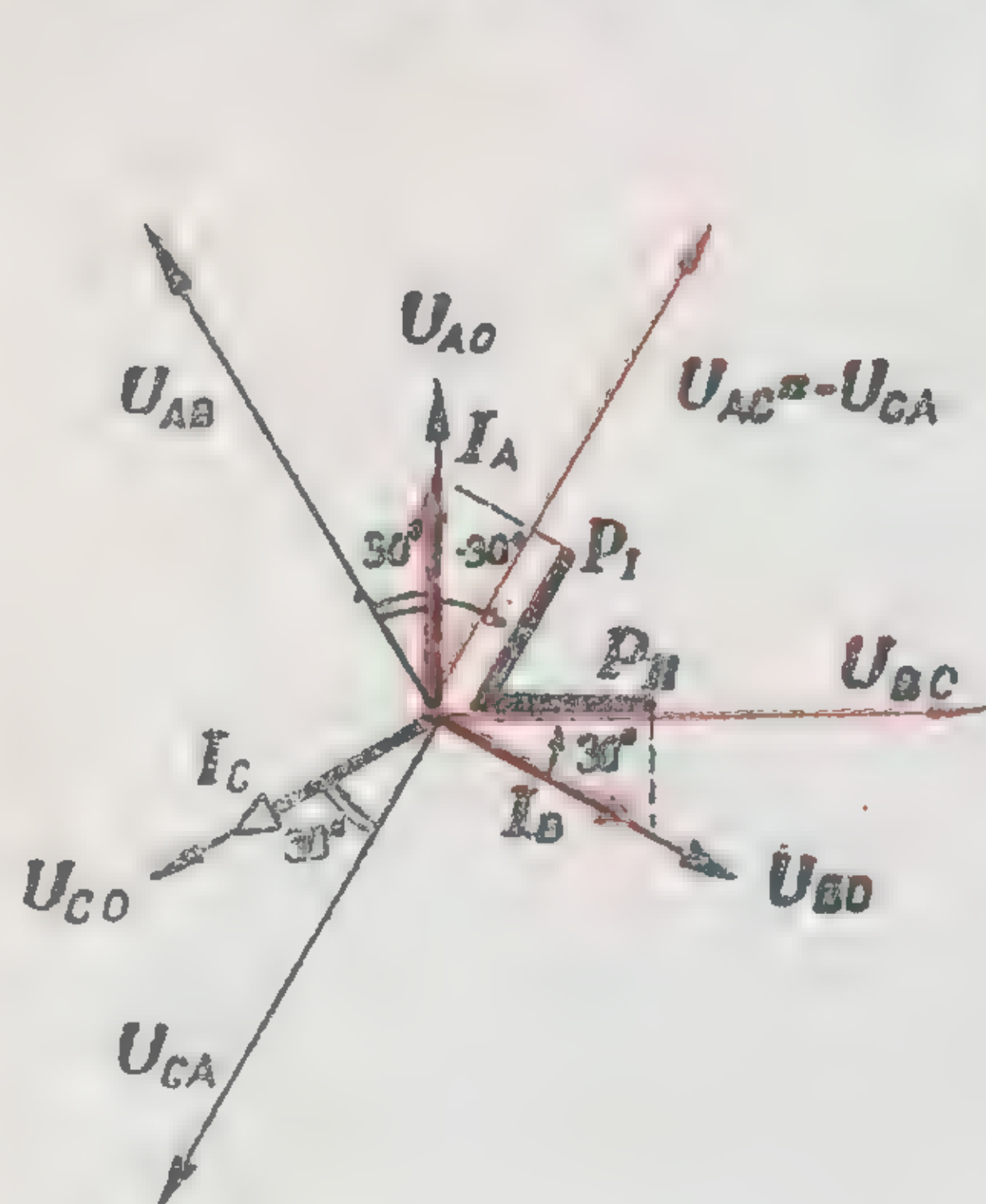
Общая мощность.

Метод двух ваттметров является частным случаем метода трех ваттметров, когда  $u_3'' = 0 (R_{V3} = 0)$





# МЕТОД ДВУХ ВАТТМЕТРОВ ПРИ СИММЕТРИЧНОЙ НАГРУЗКЕ



$$P_I = U_{AC} I_A \cos(\varphi - 30^\circ) \text{ Вт}$$

$$P_{II} = U_{BC} I_B \cos(\varphi + 30^\circ) \text{ Вт}$$

Показания ваттметров

$$P_I + P_{II} = \sqrt{3} U I \cos\varphi = P \text{ Вт}$$

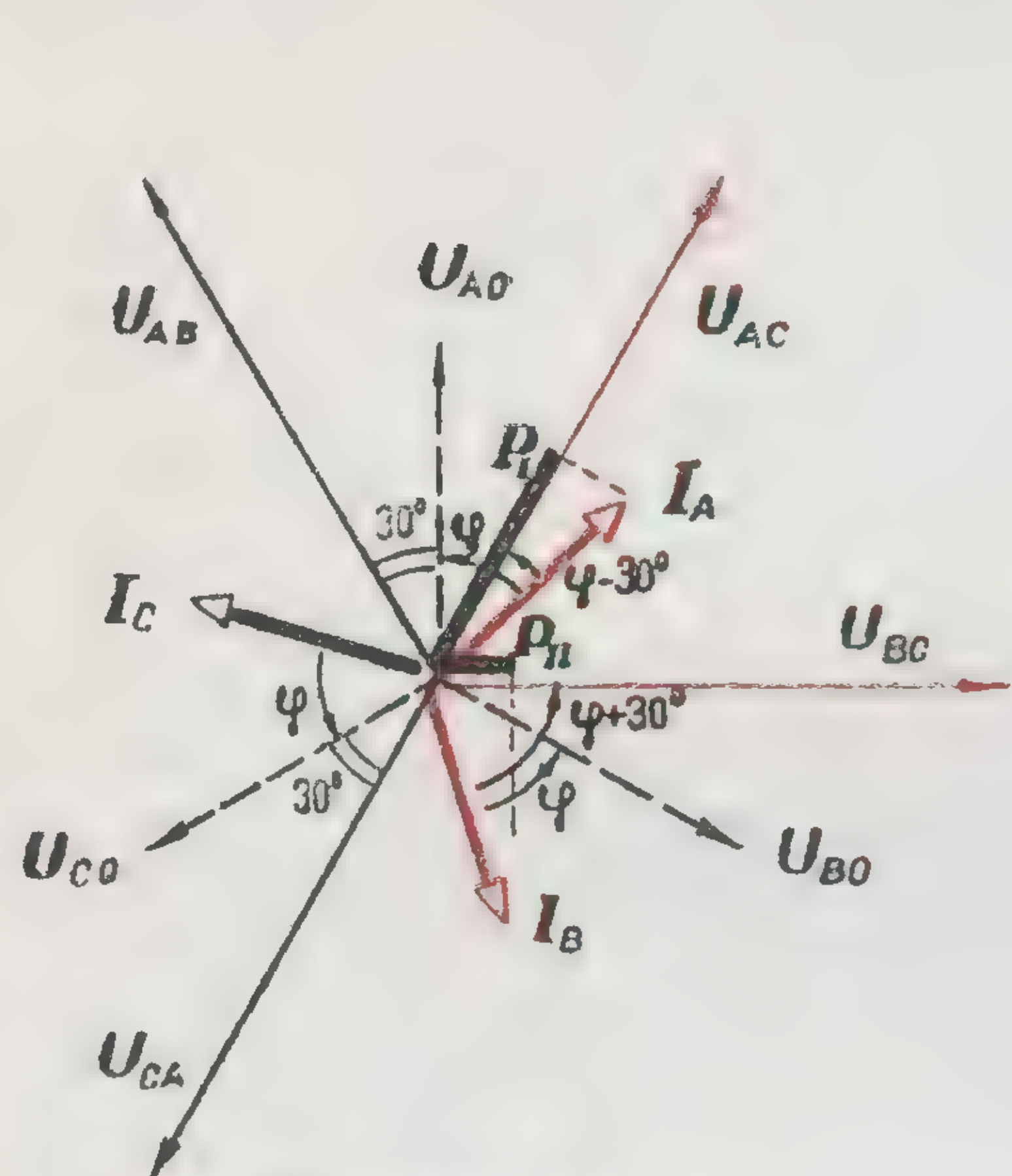
Сумма показаний

$$P_I - P_{II} = U I \sin\varphi = \frac{P}{\sqrt{3}} \text{ вар}$$

Разность показаний



# МЕТОД ДВУХ ВАТТМЕТРОВ ПРИ СИММЕТРИЧНОЙ НАГРУЗКЕ (ПРОДОЛЖЕНИЕ)



Полярная векторная диаграмма

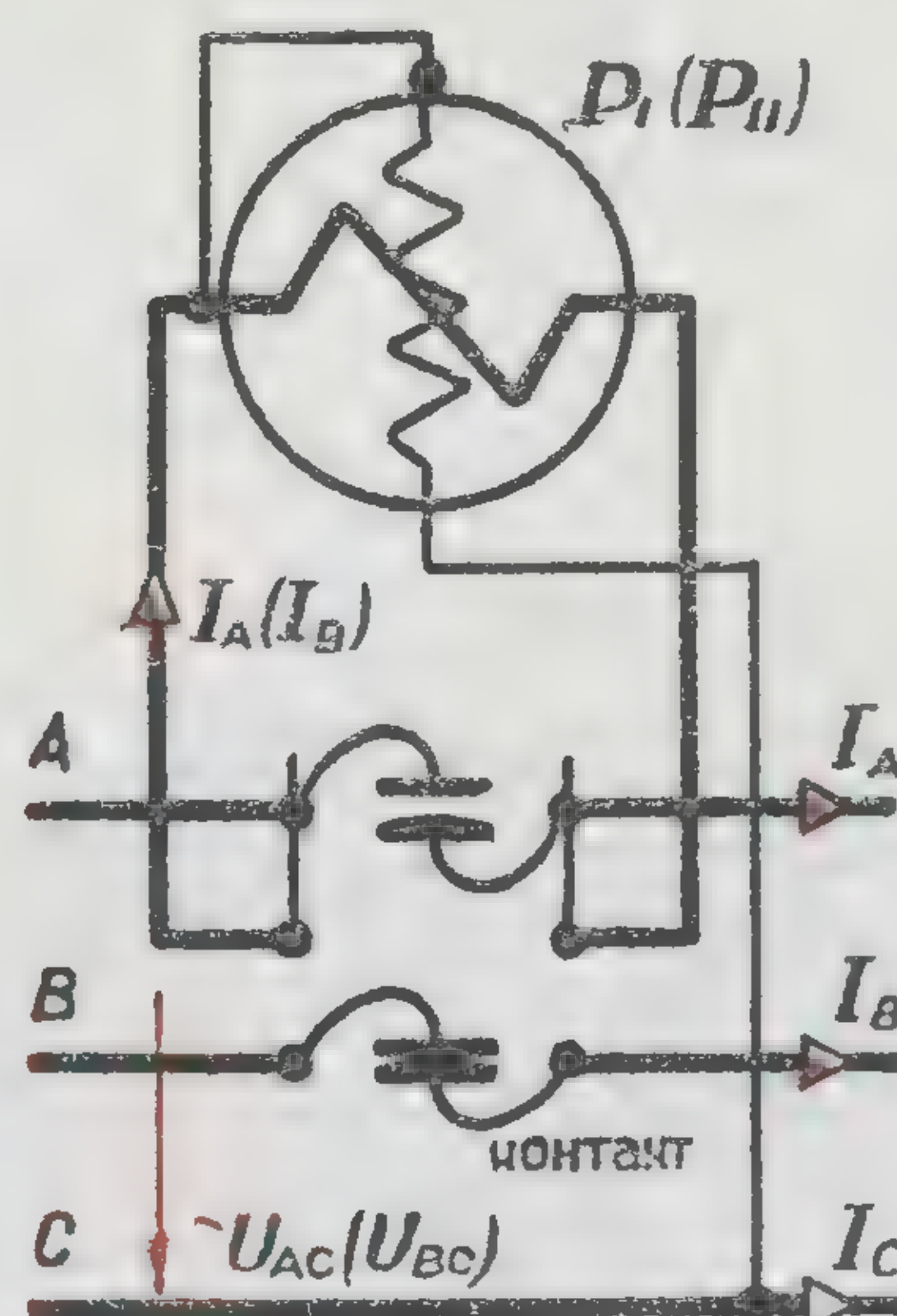
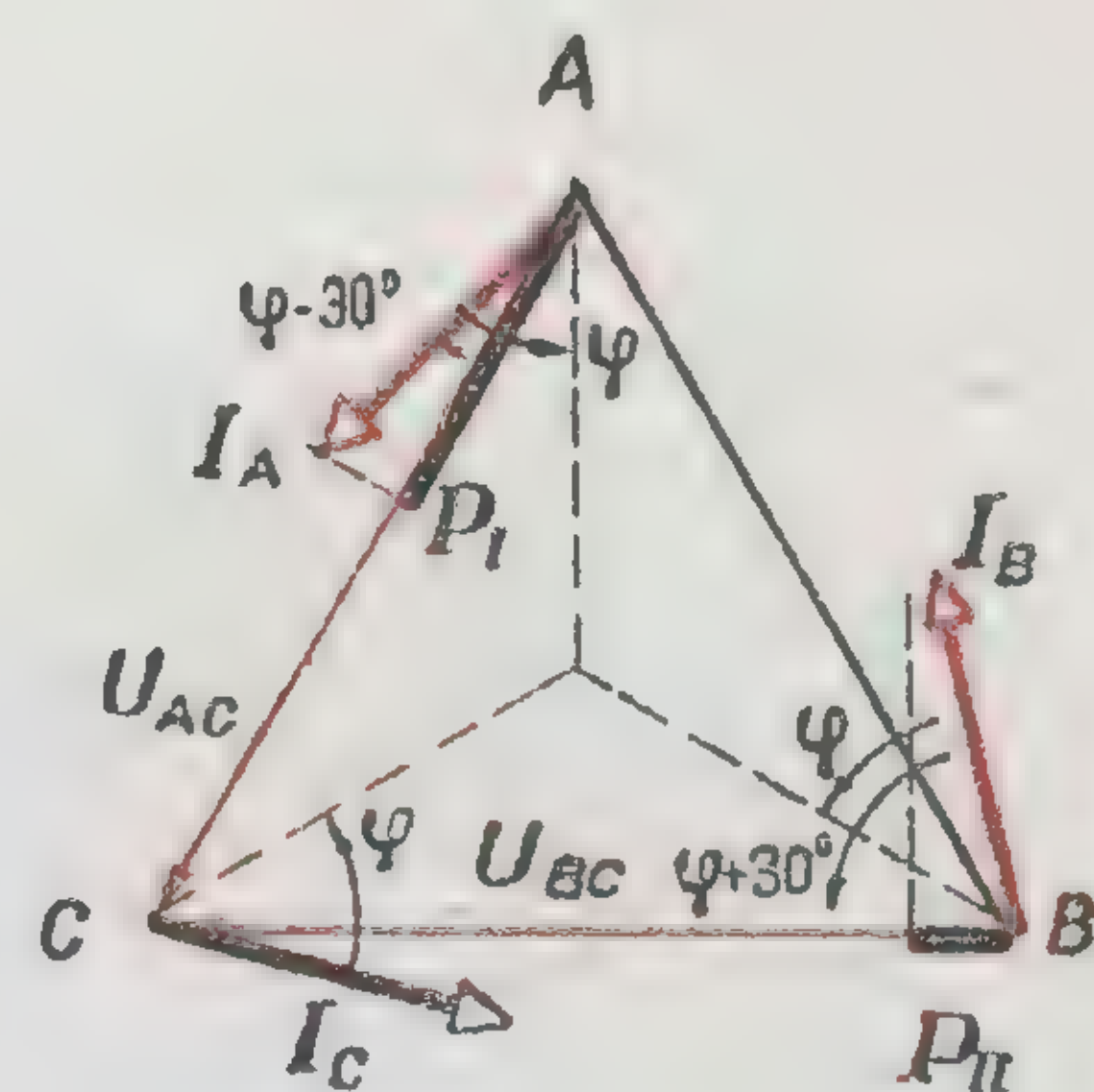


Схема с переключателем токовой обмотки ваттметра



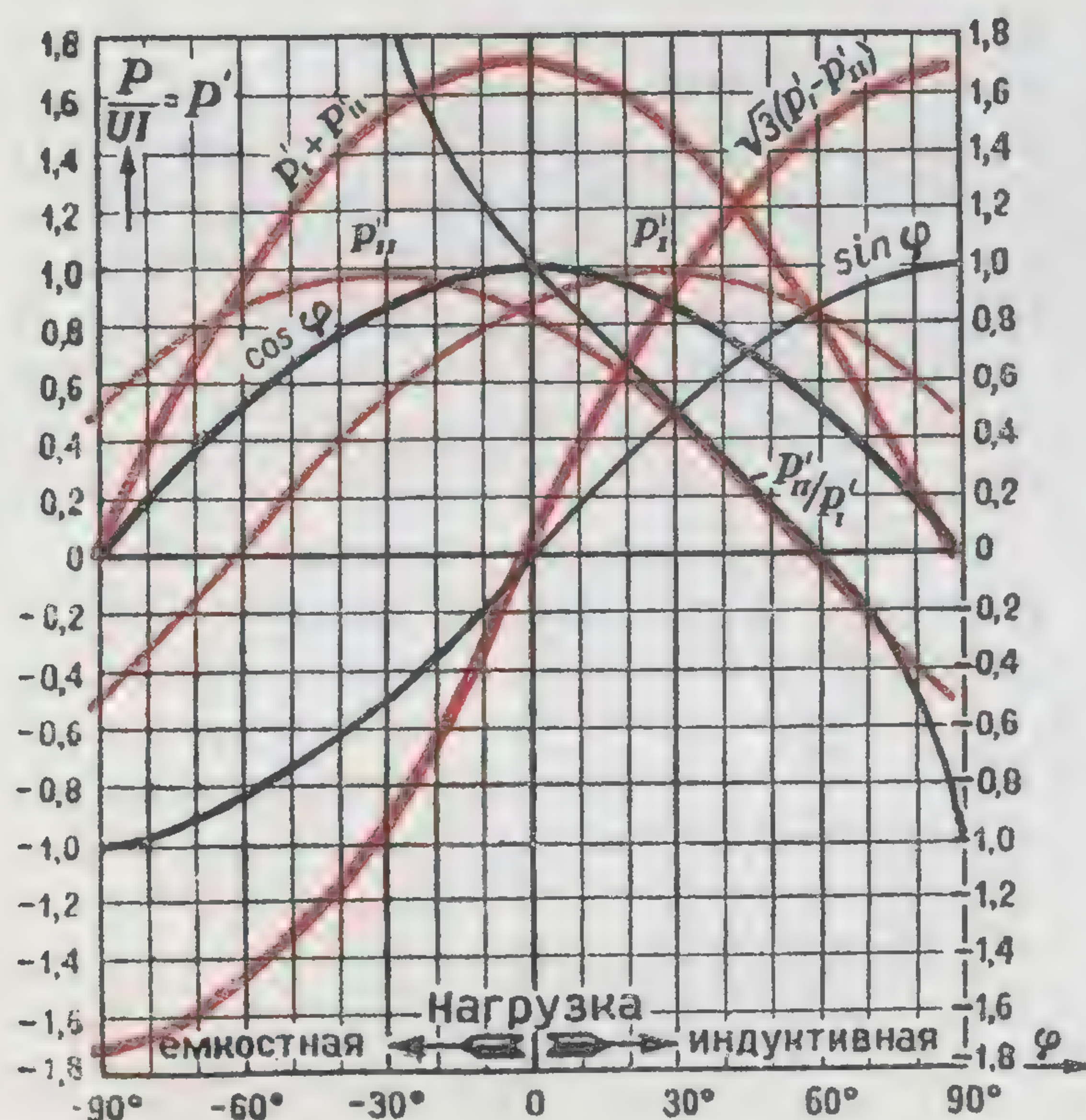
Топографическая векторная диаграмма

$$P_I = UI \cos(\varphi - 30^\circ) \text{ Вт} \quad P_{II} = UI \cos(\varphi + 30^\circ) \text{ Вт}$$

Показания ваттметров

$$P = \sqrt{3} UI \cos \varphi = P_I + P_{II} \text{ Вт} \quad P_r = \sqrt{3} UI \sin \varphi = \sqrt{3} (P_I - P_{II}) \text{ Вар}$$

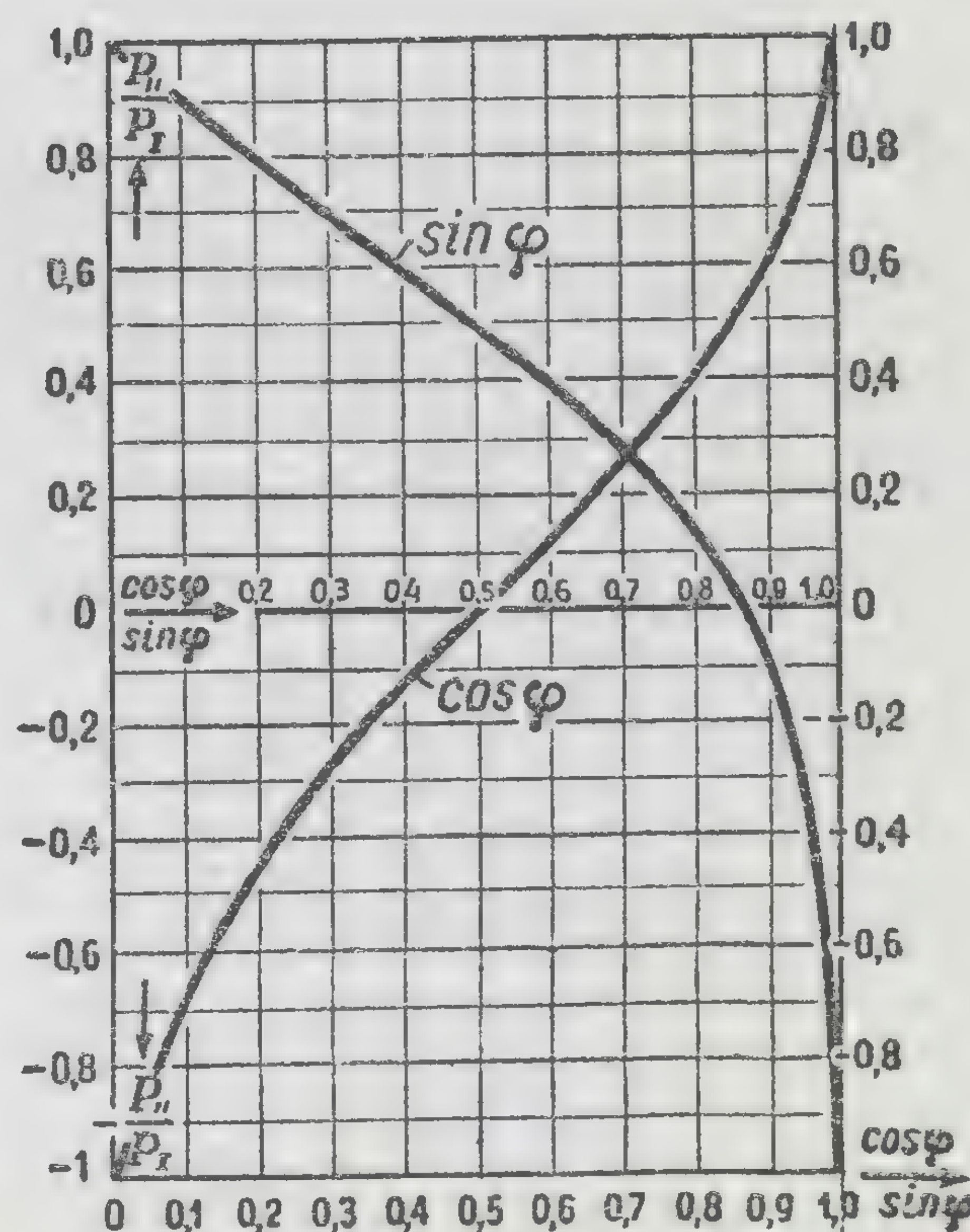
Активная мощность      Реактивная мощность



$$P_I = \frac{P}{UI} = \cos(\varphi - 30^\circ); \quad P_{II} = \frac{P}{UI} = \cos(\varphi + 30^\circ);$$

$$P_I + P_{II} = \sqrt{3} \cos \varphi; \quad \sqrt{3} (P_I - P_{II}) = \sqrt{3} \sin \varphi$$

Кривые показаний двух ваттметров

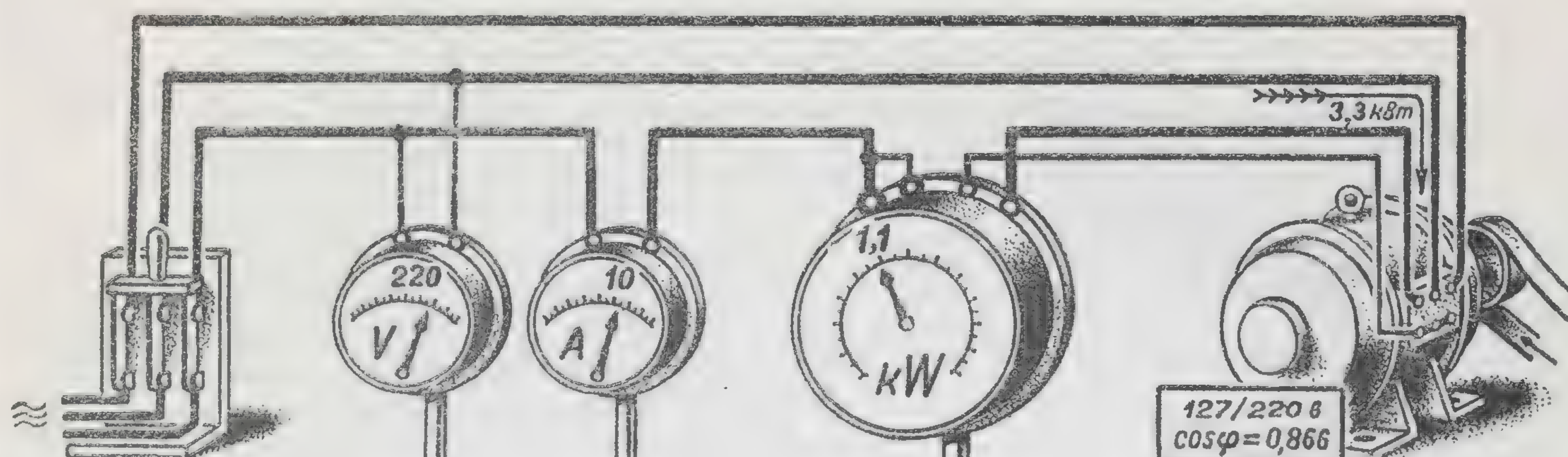


$$\operatorname{tg} \varphi = \sqrt{3} \frac{P_I - P_{II}}{P_I + P_{II}} = \sqrt{3} \frac{1 - P_{II}/P_I}{1 + P_{II}/P_I}$$

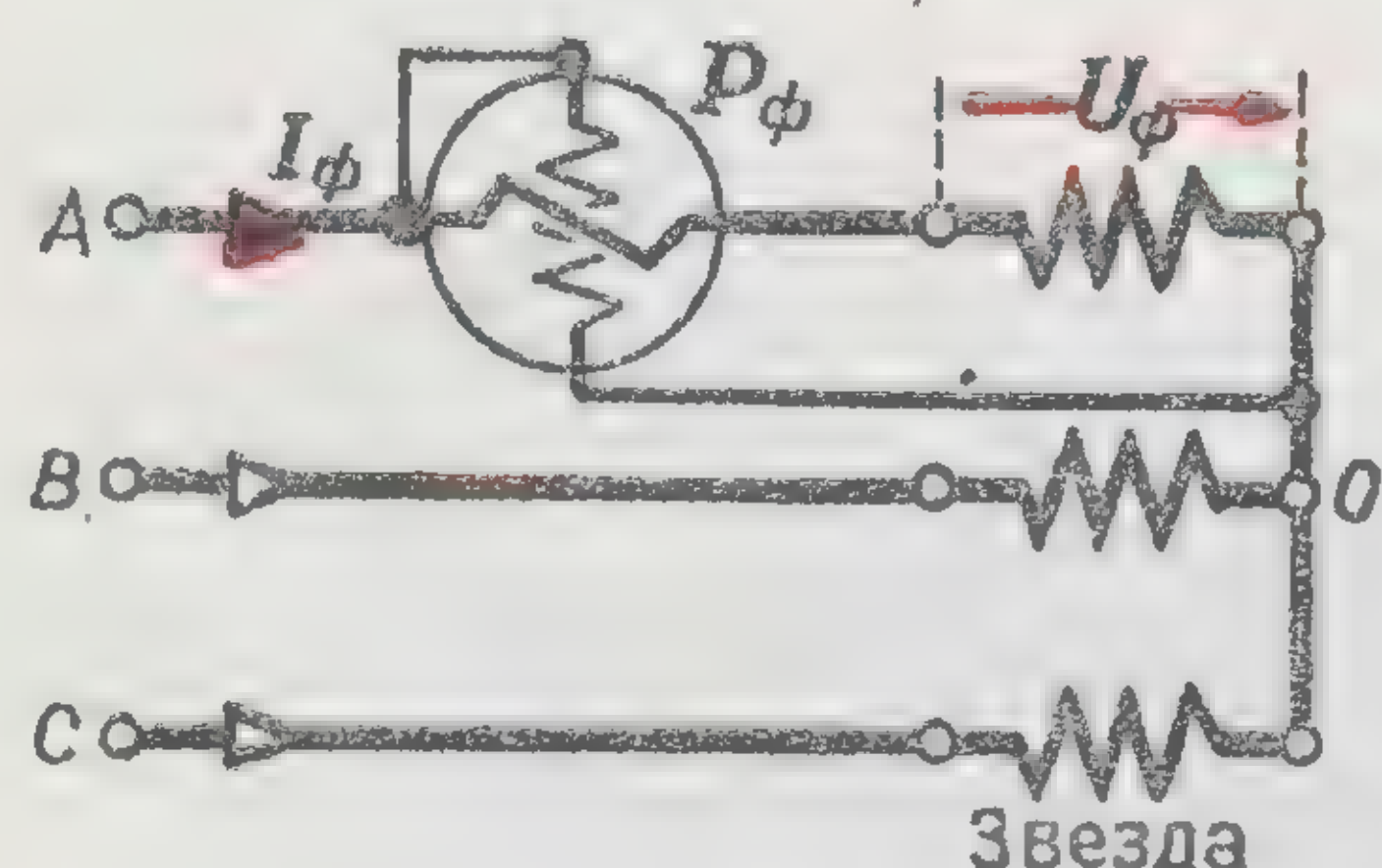
Определение  $\cos \varphi$  и  $\sin \varphi$  по известному отношению показаний двух ваттметров



# МЕТОД ОДНОГО ВАТТМЕТРА (СИММЕТРИЧНАЯ НАГРУЗКА ФАЗ)



Измерение мощности одним ваттметром



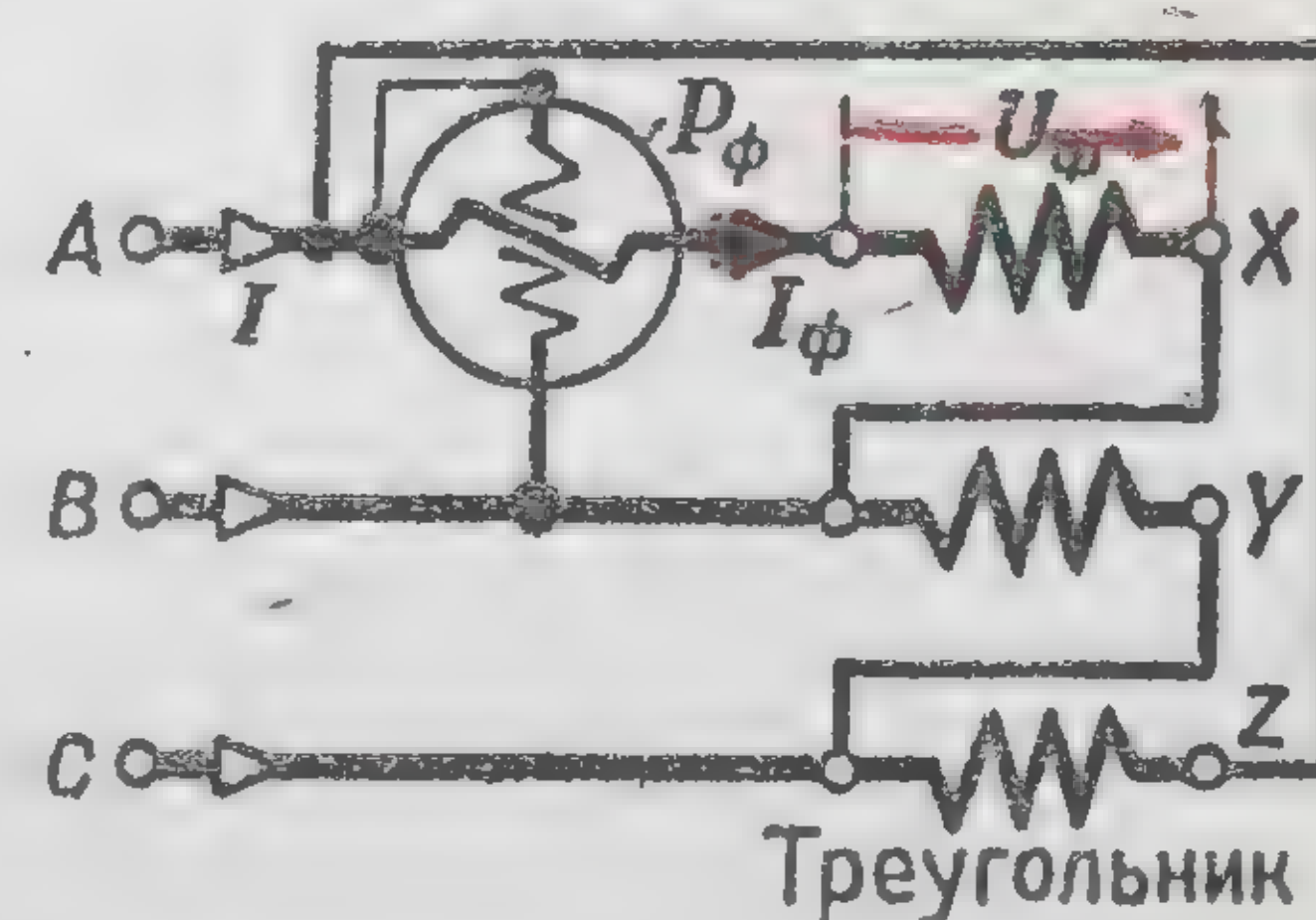
Звезда

$$P_{\phi} = U_{\phi} I_{\phi} \cos \varphi \quad \text{Вт}$$

Показание ваттметра

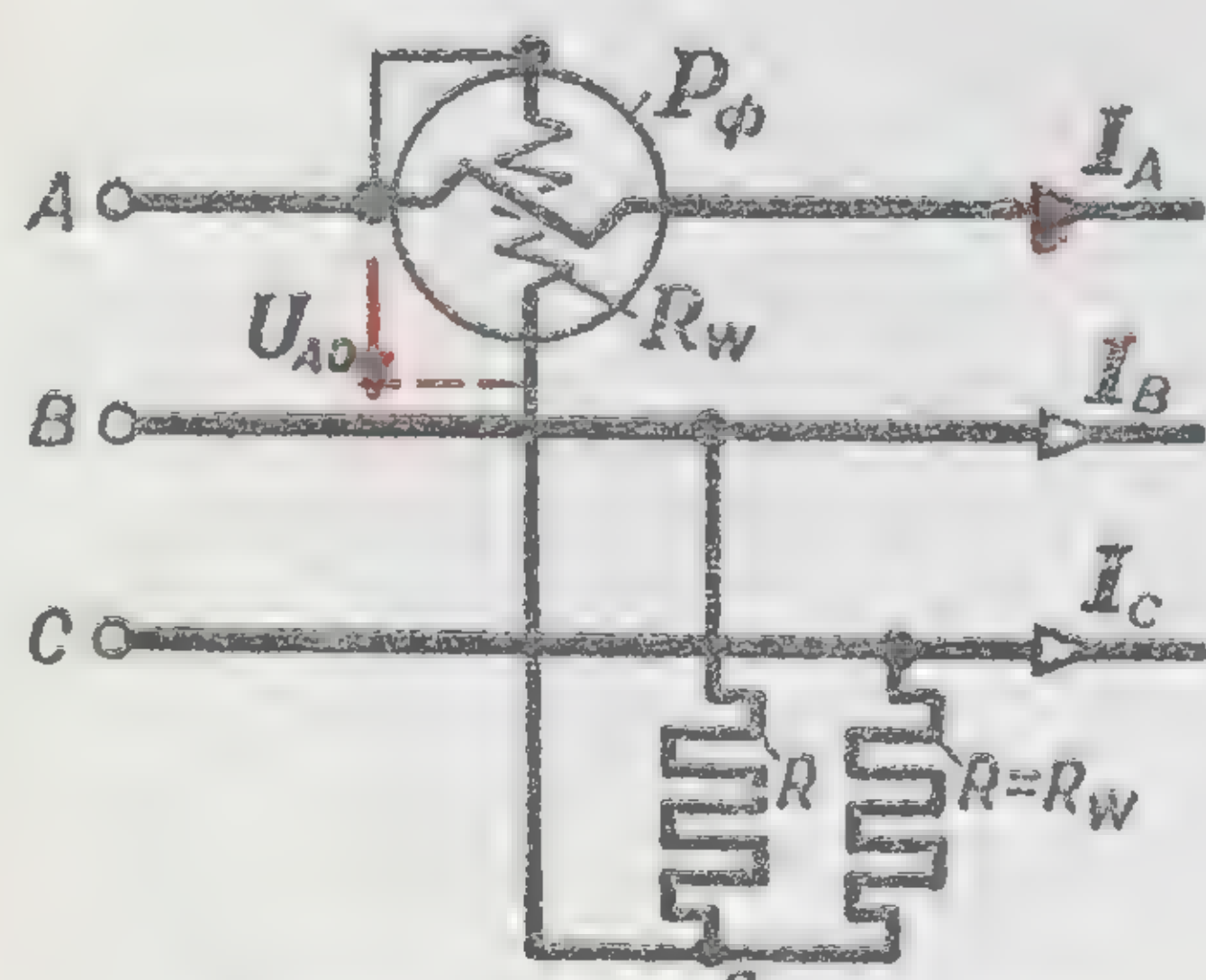
$$P = 3P_{\phi} \quad \text{Вт}$$

Общая мощность



Треугольник

Измерение фазовой мощности



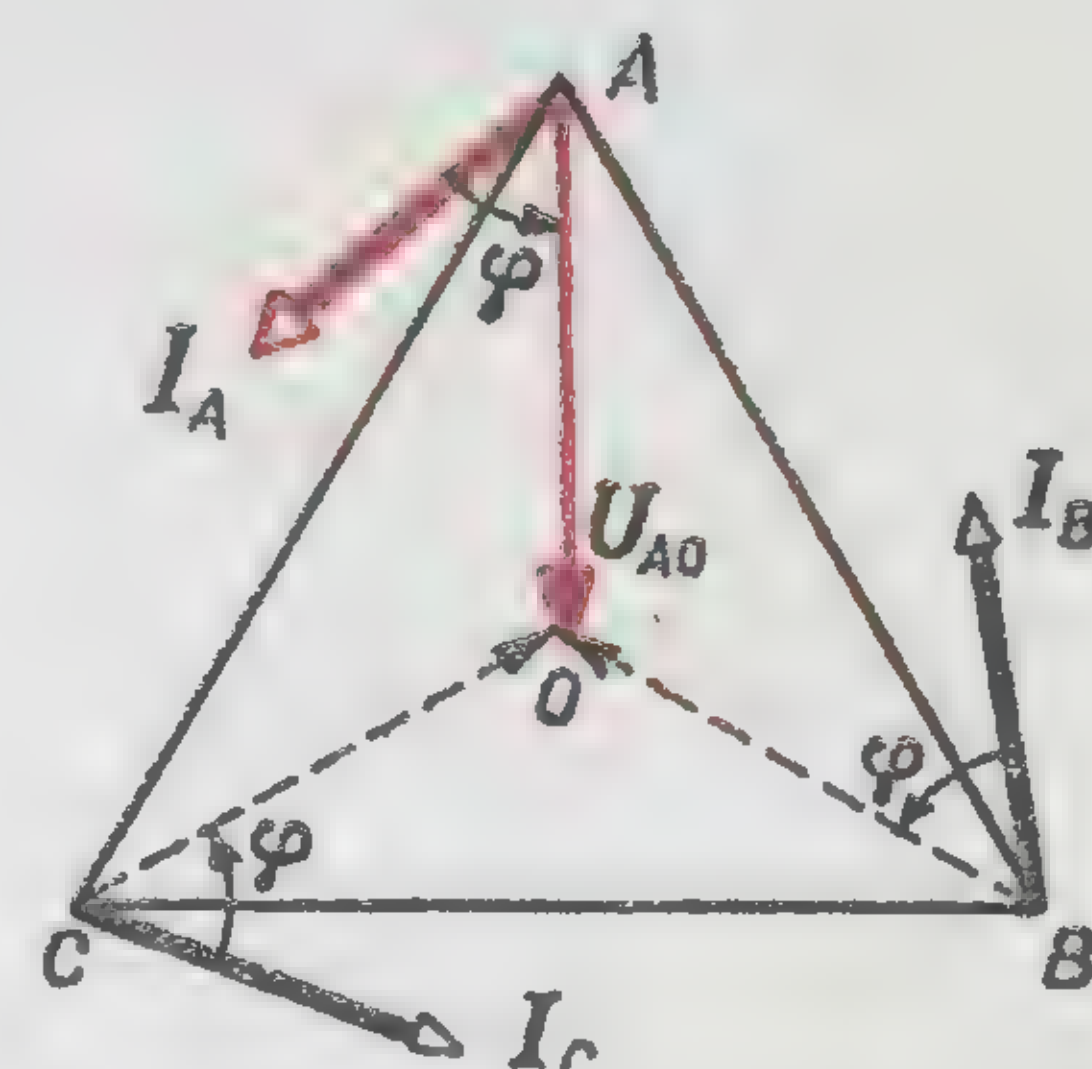
Искусственная звезда

$$P_W = U_{A0} I_A \cos \varphi = P_{\phi} \quad \text{Вт}$$

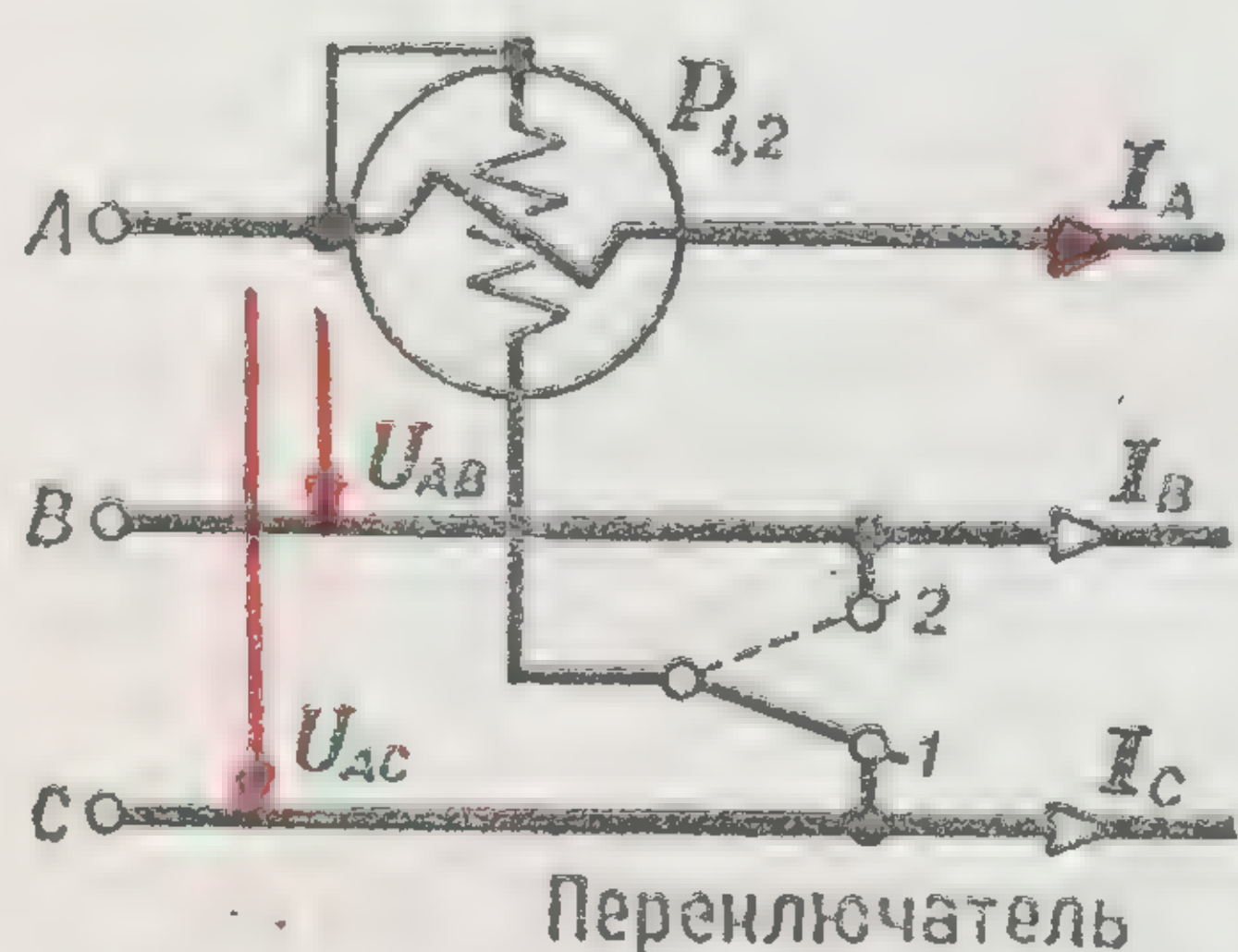
Показание ваттметра

$$P = 3P_{\phi} \quad \text{Вт}$$

Общая мощность



Измерение мощности при помощи искусственной нулевой точки



Переключатель

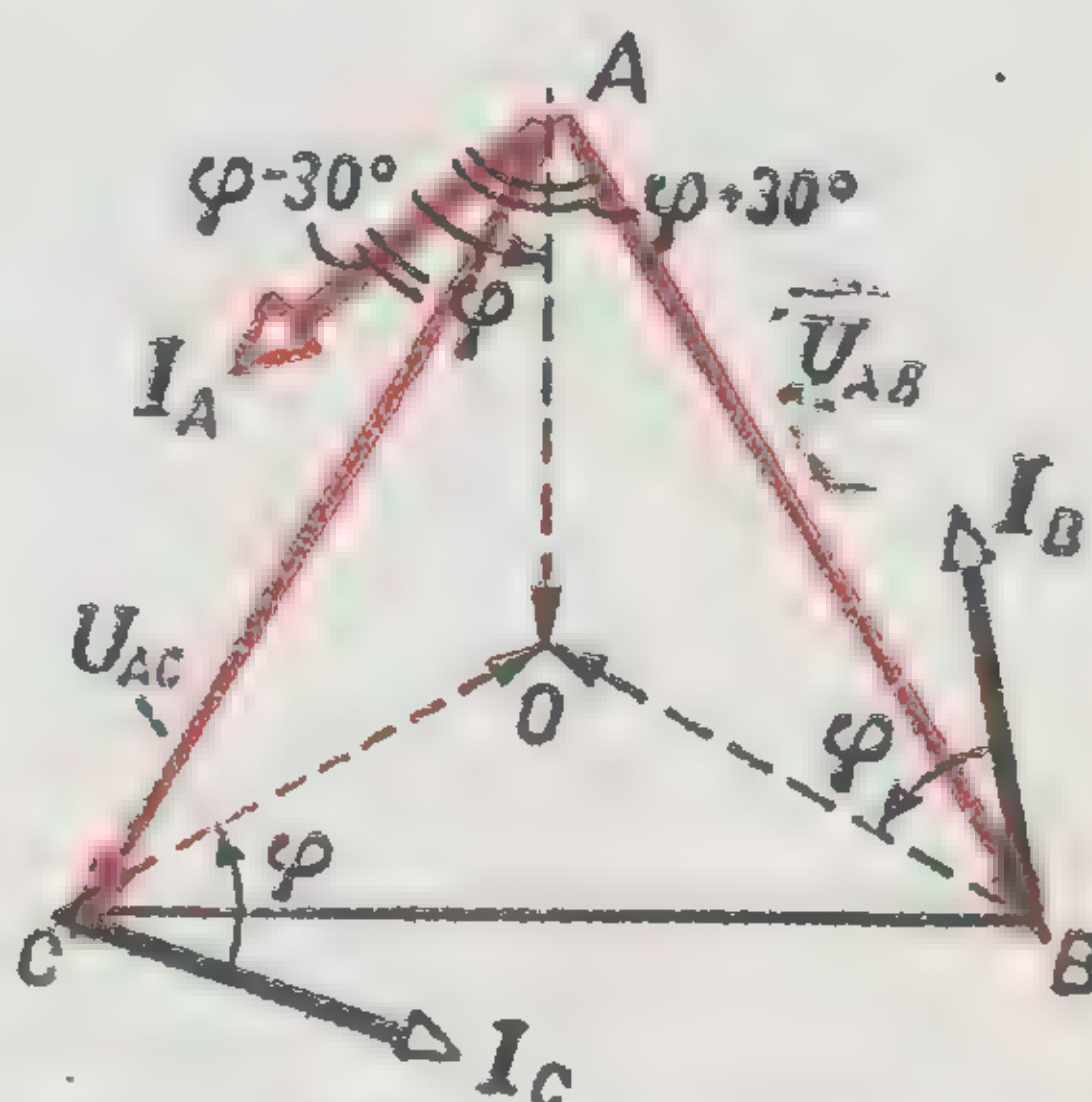
$$P_1 = U_{AC} I_A \cos(\varphi - 30^\circ) \quad \text{Вт}$$

$$P_2 = U_{AB} I_A \cos(\varphi + 30^\circ) \quad \text{Вт}$$

Два показания ваттметра

$$P = \sqrt{3} U I \cos \varphi = P_1 + P_2 \quad \text{Вт}$$

Общая мощность



Измерение мощности одним ваттметром путем переключения конца его обмотки напряжения



# ИЗМЕРЕНИЕ РЕАКТИВНОЙ МОЩНОСТИ

при симметричной системе напряжений:  $\dot{U}_{AO} + \dot{U}_{BO} + \dot{U}_{CO} = 0$

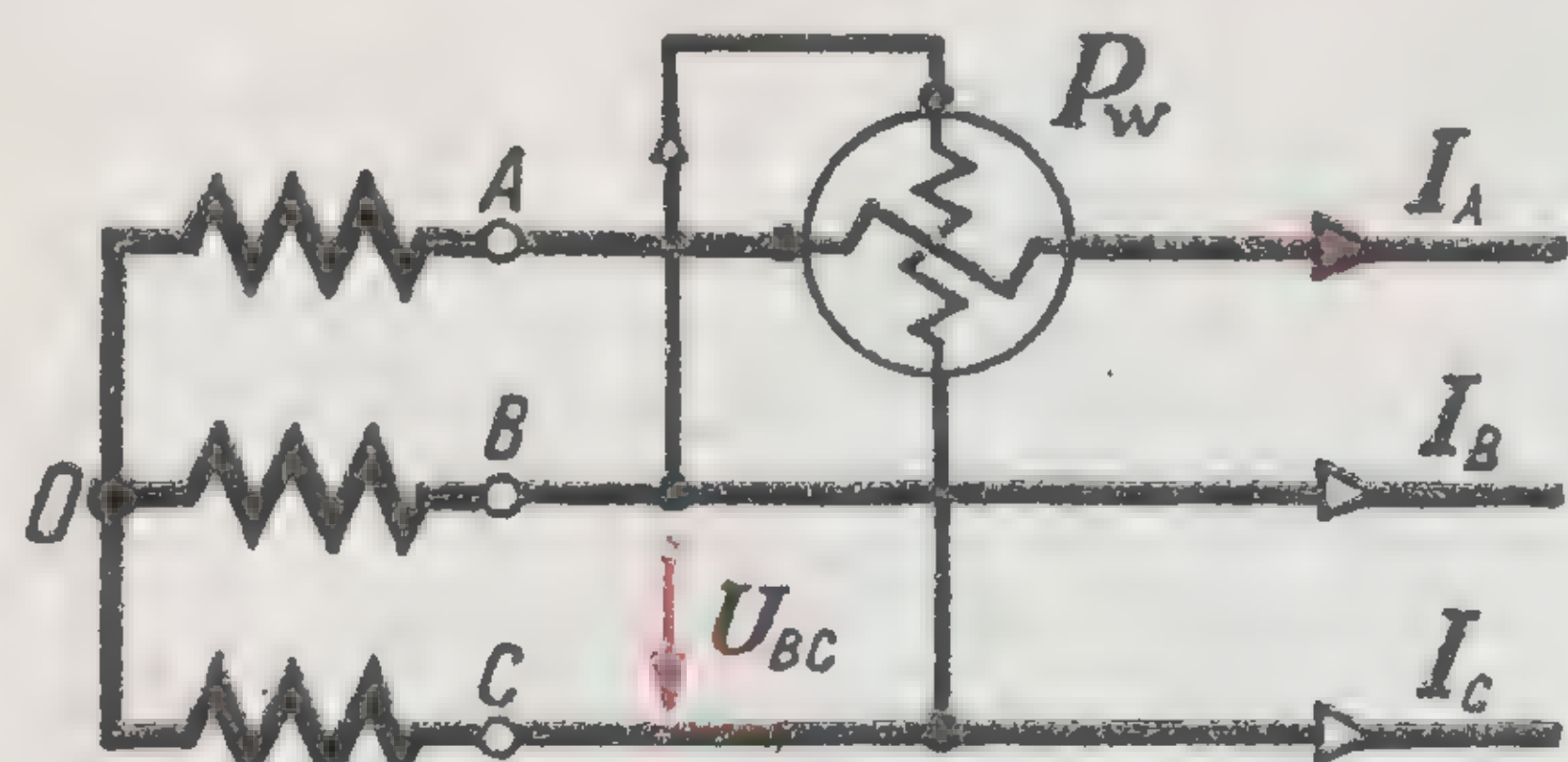
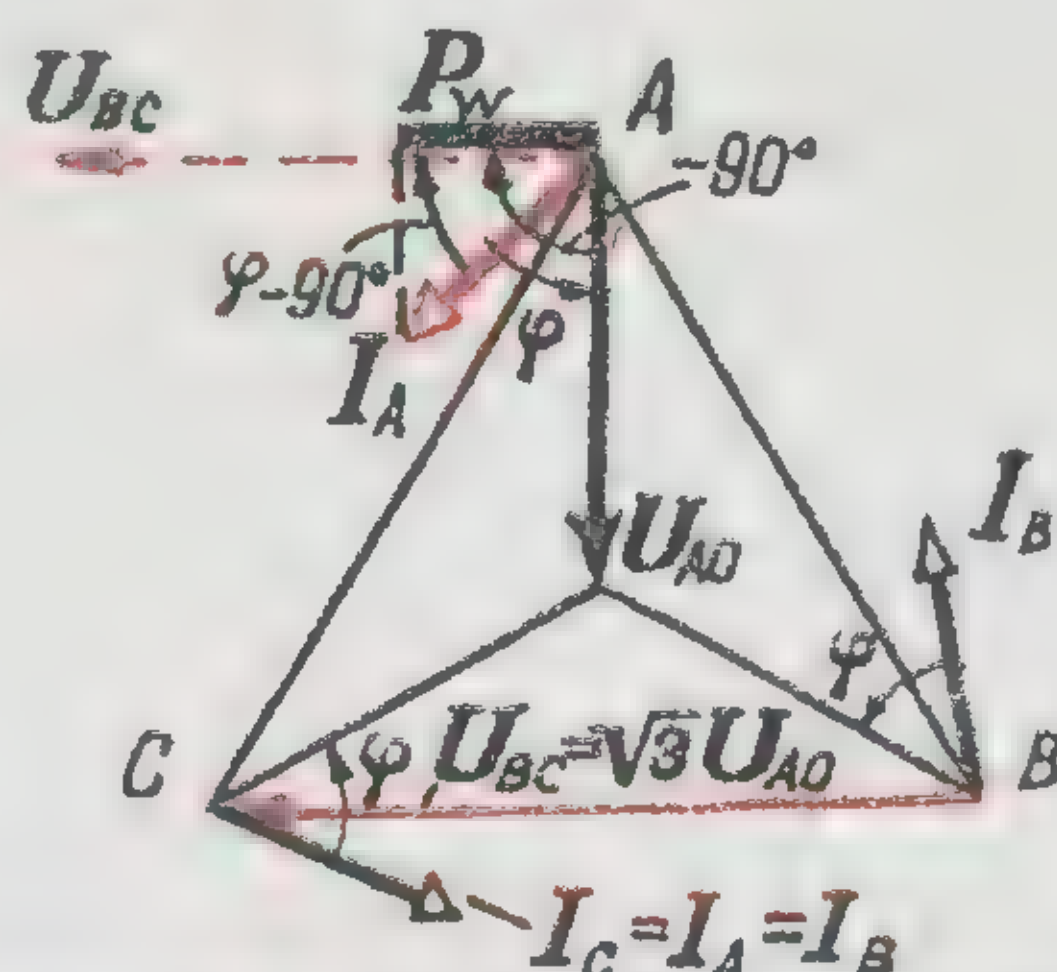


Схема синусного включения активного ваттметра



$$P_w = U_{BC} I_A \cos(\widehat{U_{BC} I_A}) = U_{BC} I_A \cos(\varphi - 90^\circ)$$

Показание ваттметра

$$P_r = \sqrt{3} P_w \quad \text{вар}$$

Реактивная мощность

$$P_r = \sqrt{3} UI \sin \varphi = 3 U_{AO} I_A \sin \varphi = \sqrt{3} U_{BC} I_A \cos(\varphi - 90^\circ)$$

доказательство

Метод одного ваттметра при симметричной нагрузке фаз

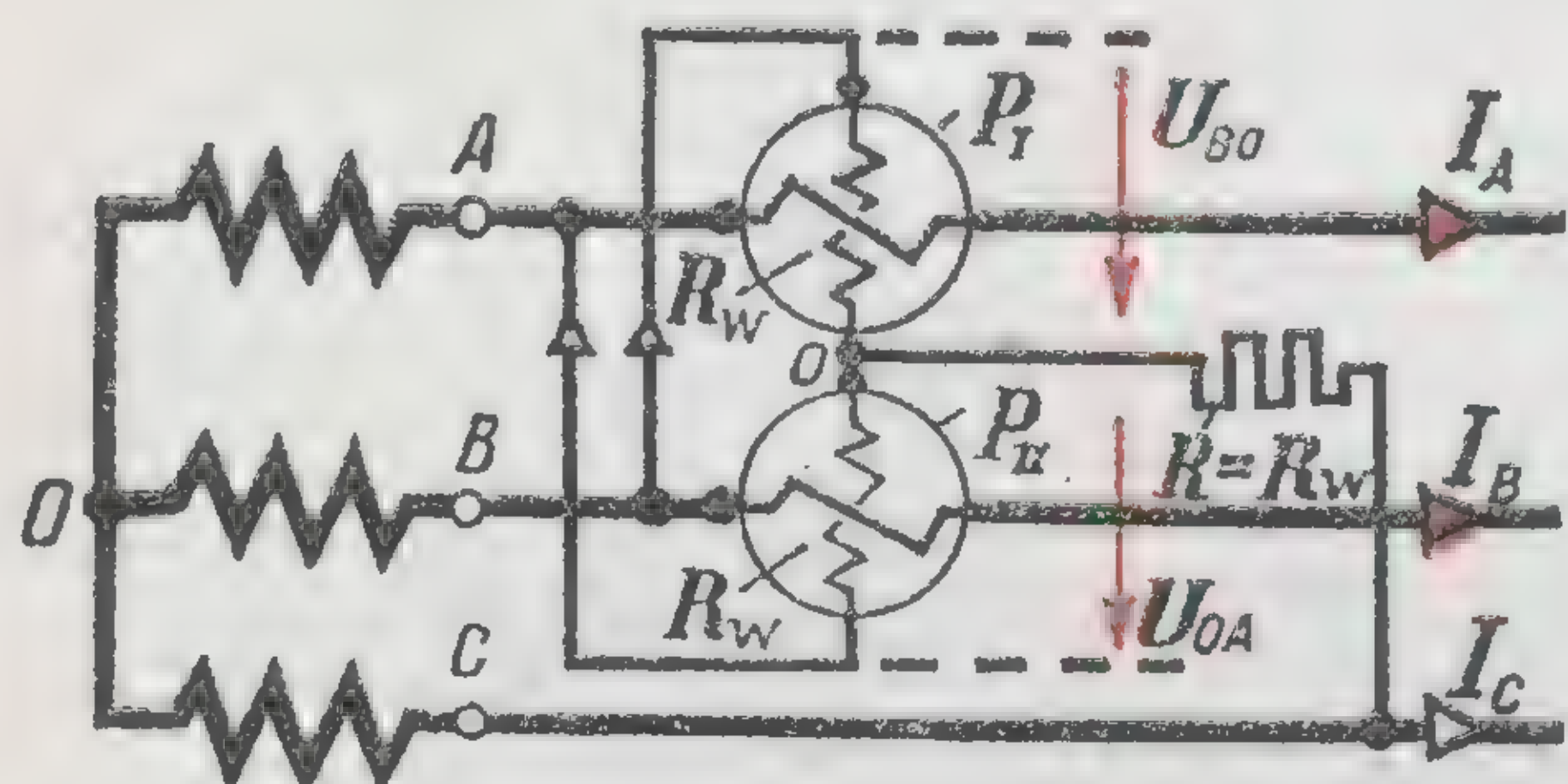
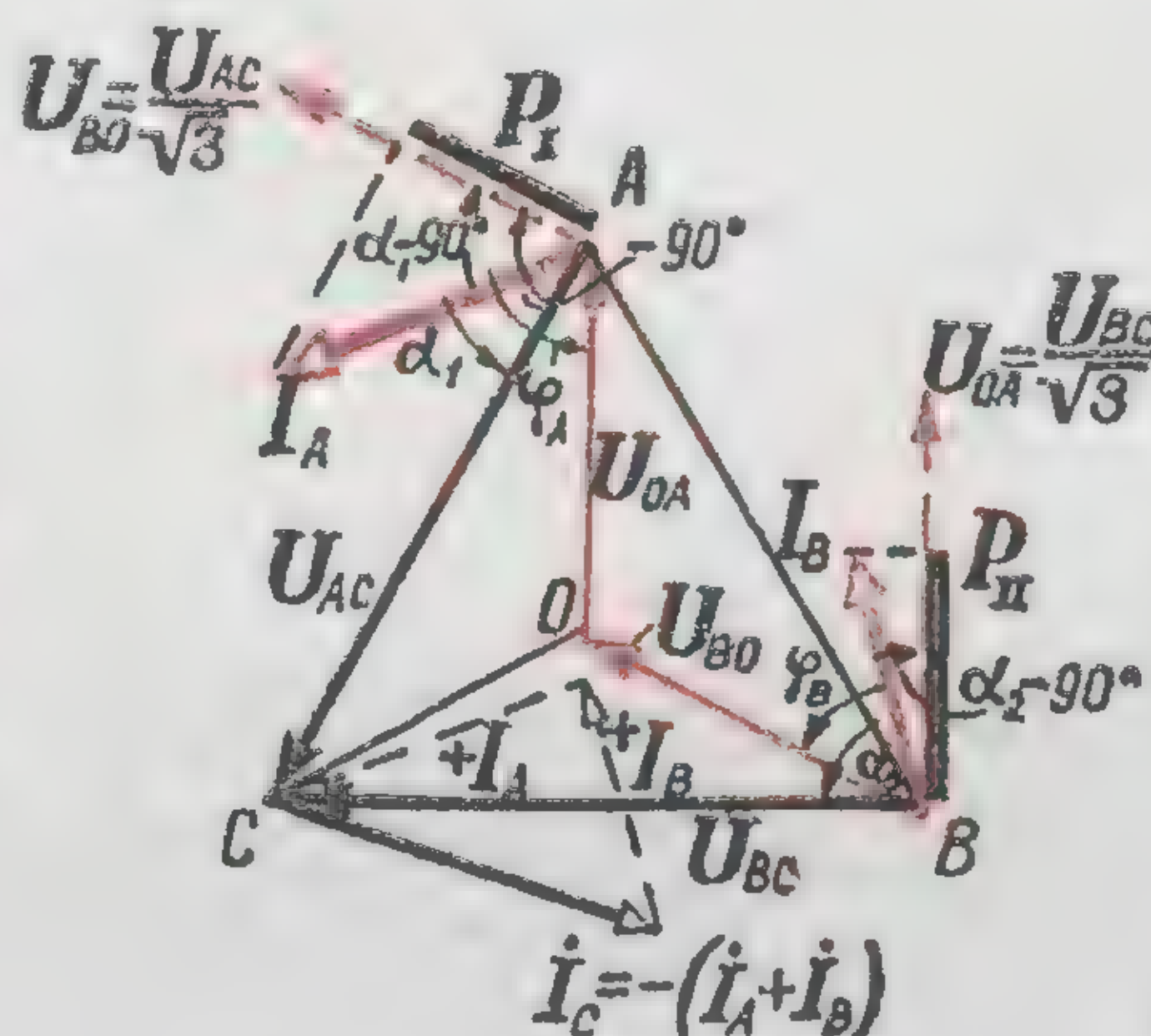


Схема синусного включения двух активных ваттметров с искусственной нулевой точкой



$$P_1 = U_{BO} I_A \cos(\alpha_1 - 90^\circ)$$

$$P_2 = U_{OA} I_B \cos(\alpha_2 - 90^\circ)$$

Показания ваттметров

$$P_r = \sqrt{3} (P_1 + P_2) \quad \text{вар}$$

Реактивная мощность

$$\begin{aligned} \dot{P} &= P_1 - jP_r = \hat{U}_{AO} \hat{I}_A + \hat{U}_{BO} \hat{I}_B - \hat{U}_{CO} (\hat{I}_A + \hat{I}_B) = (\hat{U}_{AO} - \hat{U}_{CO}) \hat{I}_A + (\hat{U}_{BO} - \hat{U}_{CO}) \hat{I}_B = \hat{U}_{AC} \hat{I}_A + \hat{U}_{BC} \hat{I}_B = \\ &= U_{AC} I_A \cos \alpha_1 + U_{BC} I_B \cos \alpha_2 - j(U_{AC} I_A \sin \alpha_1 + U_{BC} I_B \sin \alpha_2). \end{aligned}$$

$$\text{Реактивная мощность: } P_r = U_{AC} I_A \sin \alpha_1 + U_{BC} I_B \sin \alpha_2 = \sqrt{3} U_{BO} I_A \cos(\alpha_1 - 90^\circ) + \sqrt{3} U_{OA} I_B \cos(\alpha_2 - 90^\circ) = \sqrt{3} (P_1 + P_2)$$

доказательство

Метод двух ваттметров при произвольной нагрузке фаз  
(трехпроводная система:  $\dot{I}_A + \dot{I}_B + \dot{I}_C = 0$ )

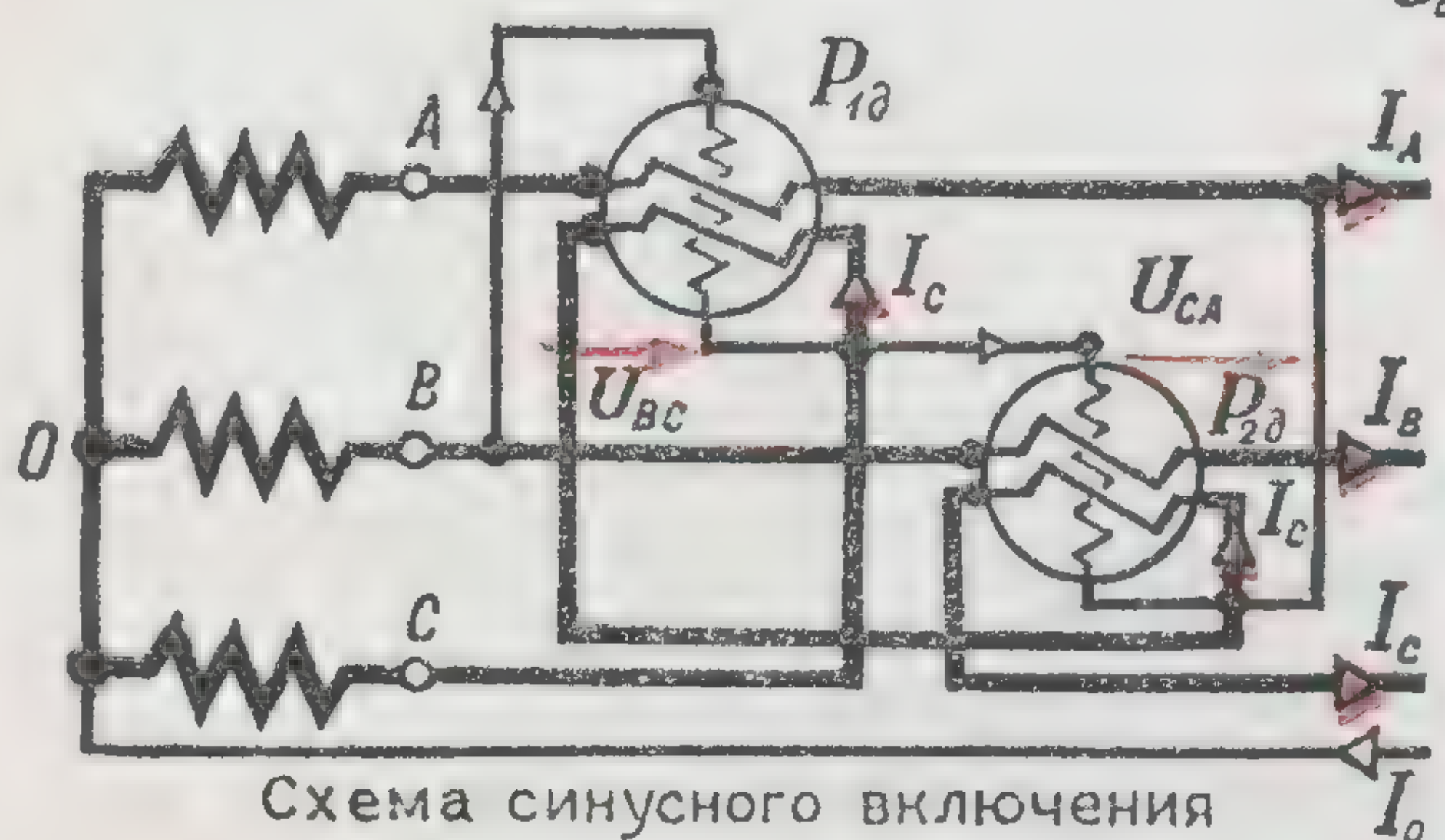
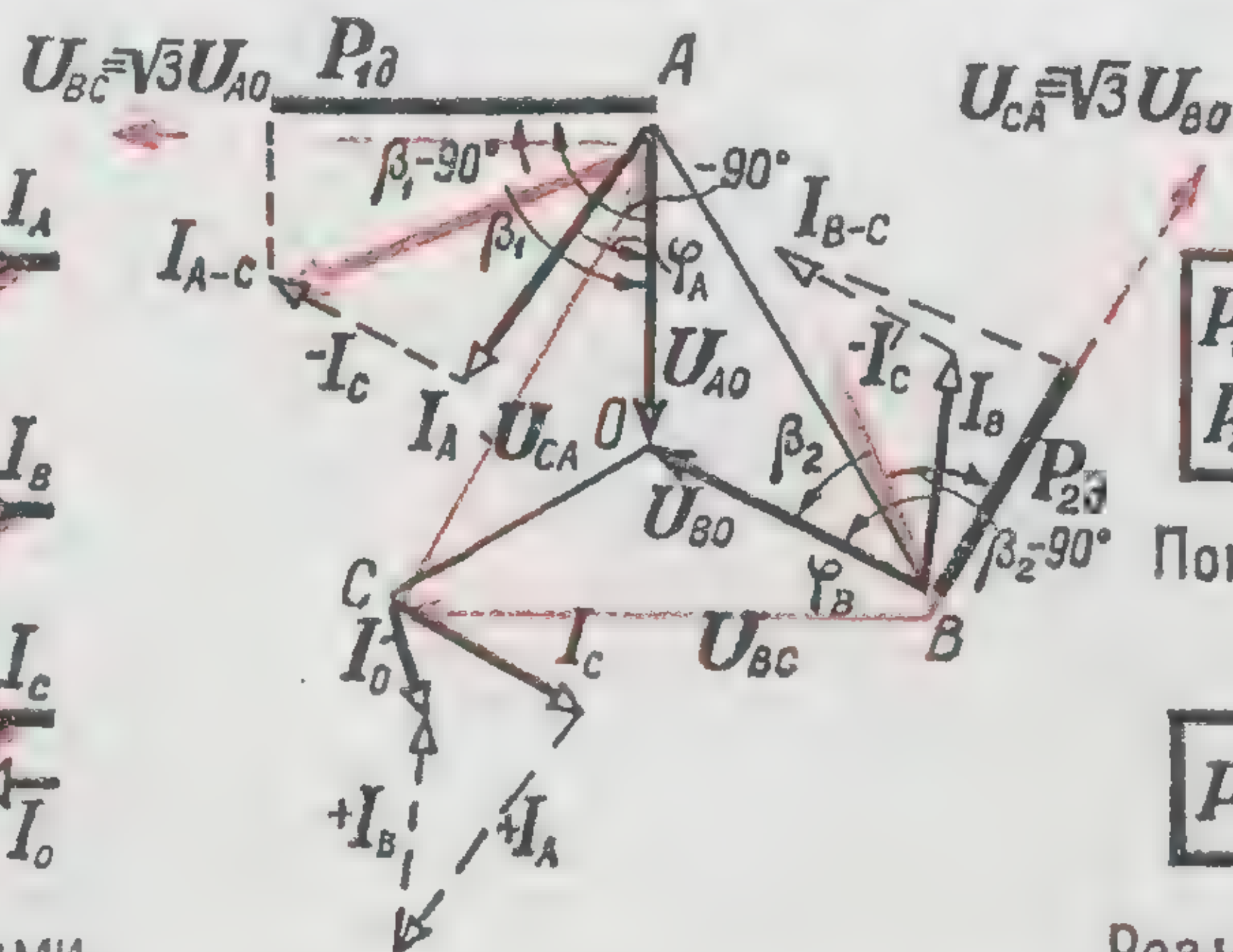


Схема синусного включения двух активных ваттметров с дифференциальными токовыми обмотками



$$P_{1d} = U_{BC} I_{A-C} \cos(\beta_1 - 90^\circ)$$

$$P_{2d} = U_{CA} I_{B-C} \cos(\beta_2 - 90^\circ)$$

Показания ваттметров.

$$P_r = \frac{1}{\sqrt{3}} (P_{1d} + P_{2d}) \quad \text{вар}$$

Реактивная мощность

$$\begin{aligned} \dot{P} &= P_{1d} - jP_r = \hat{U}_{AO} \hat{I}_A + \hat{U}_{BO} \hat{I}_B - (\hat{U}_{AO} + \hat{U}_{BO}) \hat{I}_C = \hat{U}_{AO} (\hat{I}_A - \hat{I}_C) + \hat{U}_{BO} (\hat{I}_B - \hat{I}_C) = \hat{U}_{AO} \hat{I}_{A-C} + \hat{U}_{BO} \hat{I}_{B-C} = \\ &= U_{AO} I_{A-C} \cos \beta_1 + U_{BO} I_{B-C} \cos \beta_2 - j(U_{AO} I_{A-C} \sin \beta_1 + U_{BO} I_{B-C} \sin \beta_2). \end{aligned}$$

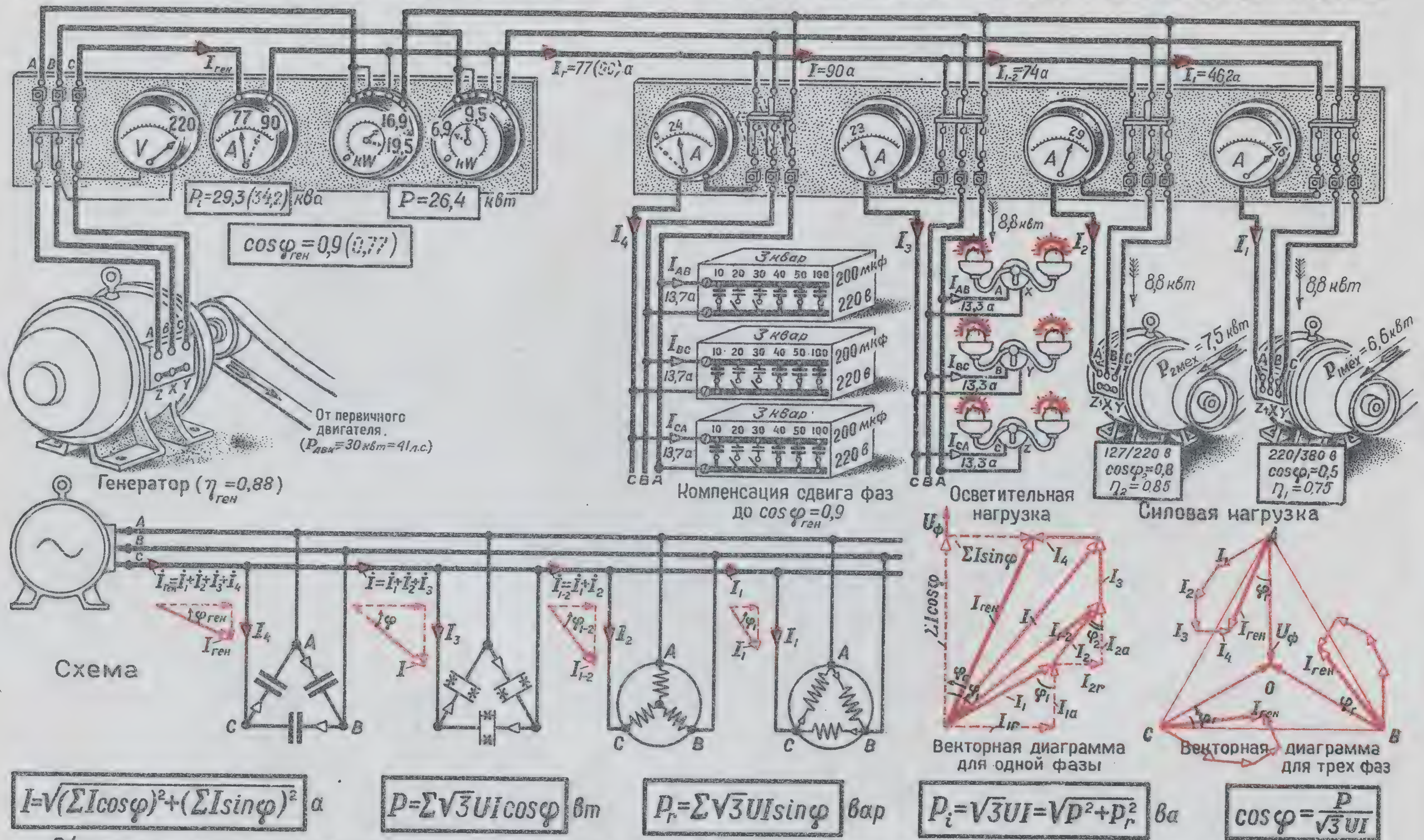
$$\text{Реактивная мощность: } P_r = U_{AO} I_{A-C} \sin \beta_1 + U_{BO} I_{B-C} \sin \beta_2 = \frac{1}{\sqrt{3}} U_{BC} I_{A-C} \cos(\beta_1 - 90^\circ) + \frac{1}{\sqrt{3}} U_{CA} I_{B-C} \cos(\beta_2 - 90^\circ) = \frac{1}{\sqrt{3}} (P_{1d} + P_{2d})$$

доказательство

Метод двух ваттметров с дифференциальными токовыми обмотками  
(произвольная нагрузка фаз при трех-или четырехпроводной системе)



# ПАРАЛЛЕЛЬНОЕ СОЕДИНЕНИЕ ПОТРЕБИТЕЛЕЙ ТРЕХФАЗНОГО ТОКА

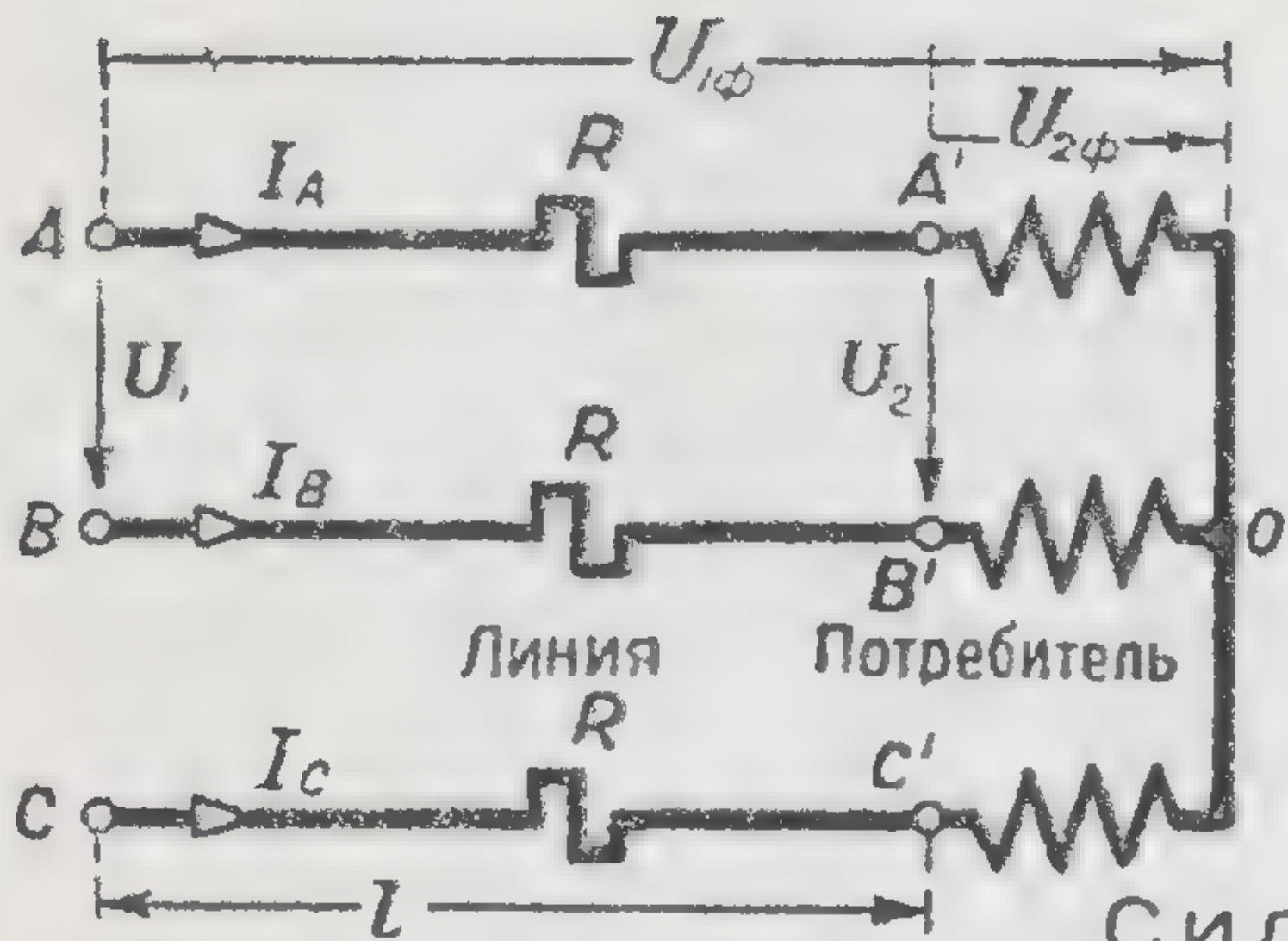




# ПОТЕРЯ НАПРЯЖЕНИЯ В ПРОВОДАХ



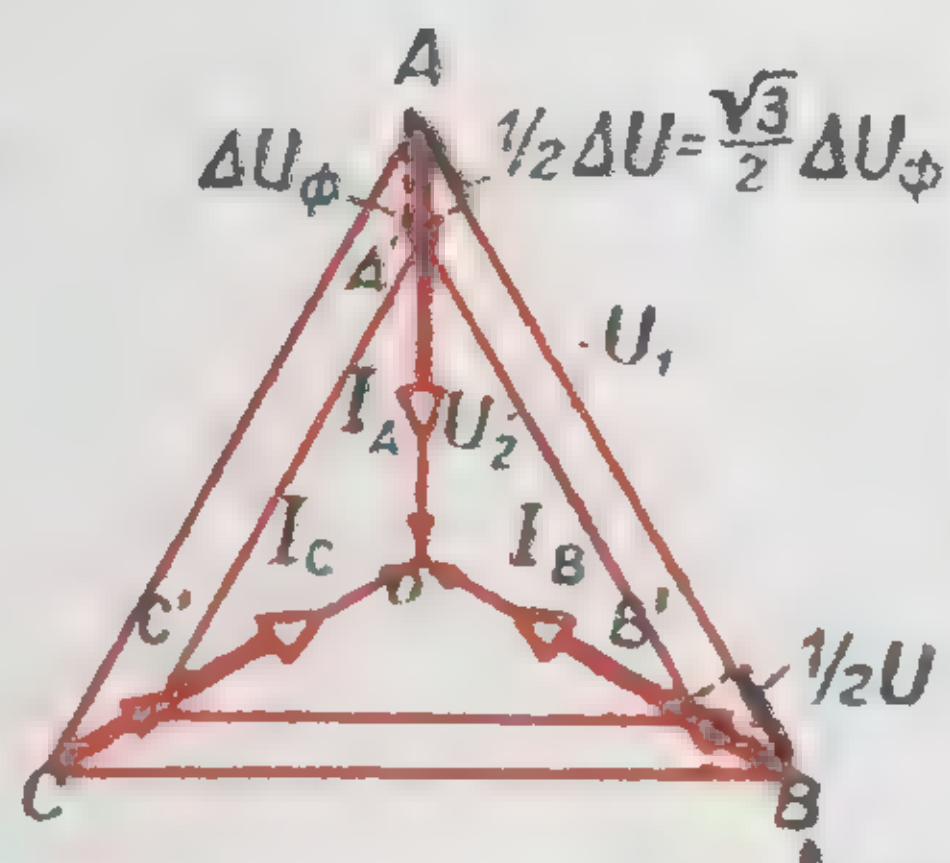
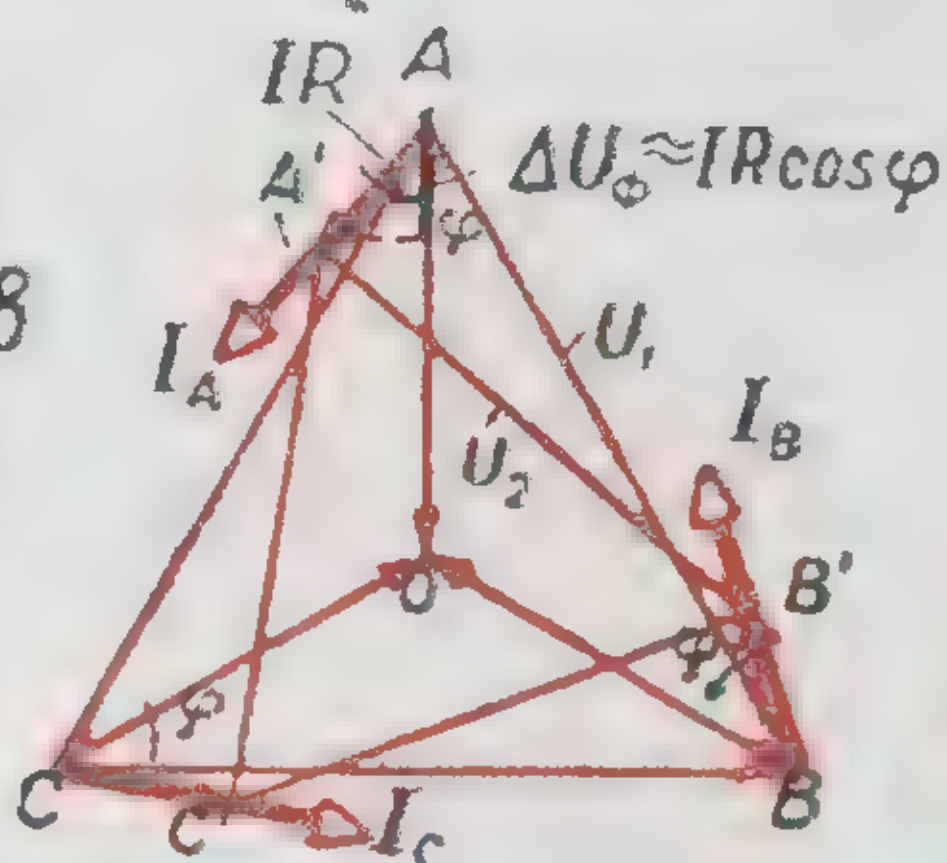
Низковольтная воздушная линия



$$\Delta U_\phi = U_\phi - U_{2\phi} \approx I \cos \varphi \frac{l}{\gamma S}$$
$$\Delta U = U_1 - U_2 = \sqrt{3} \Delta U_\phi$$

Потеря напряжения

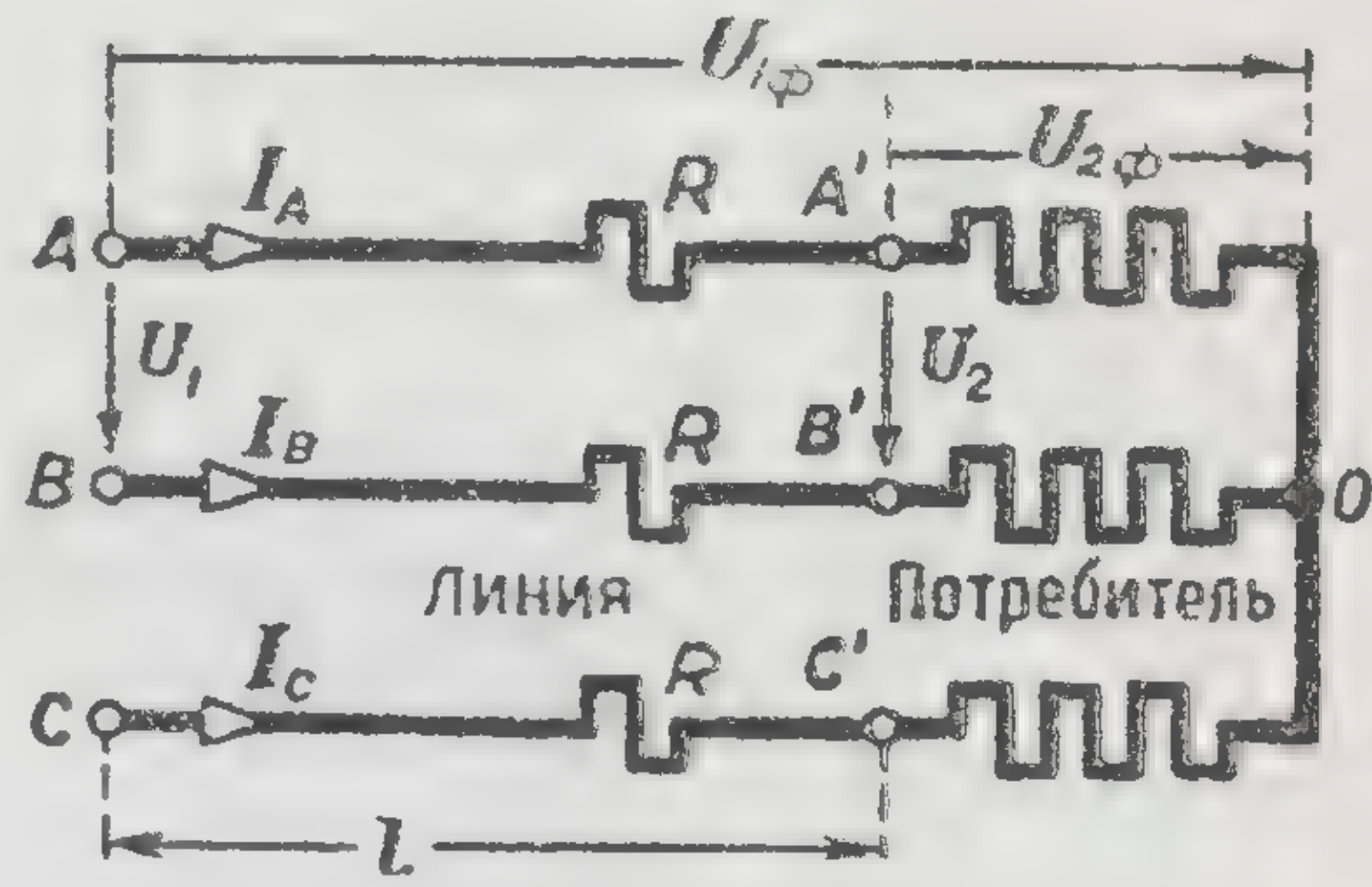
Силовая нагрузка



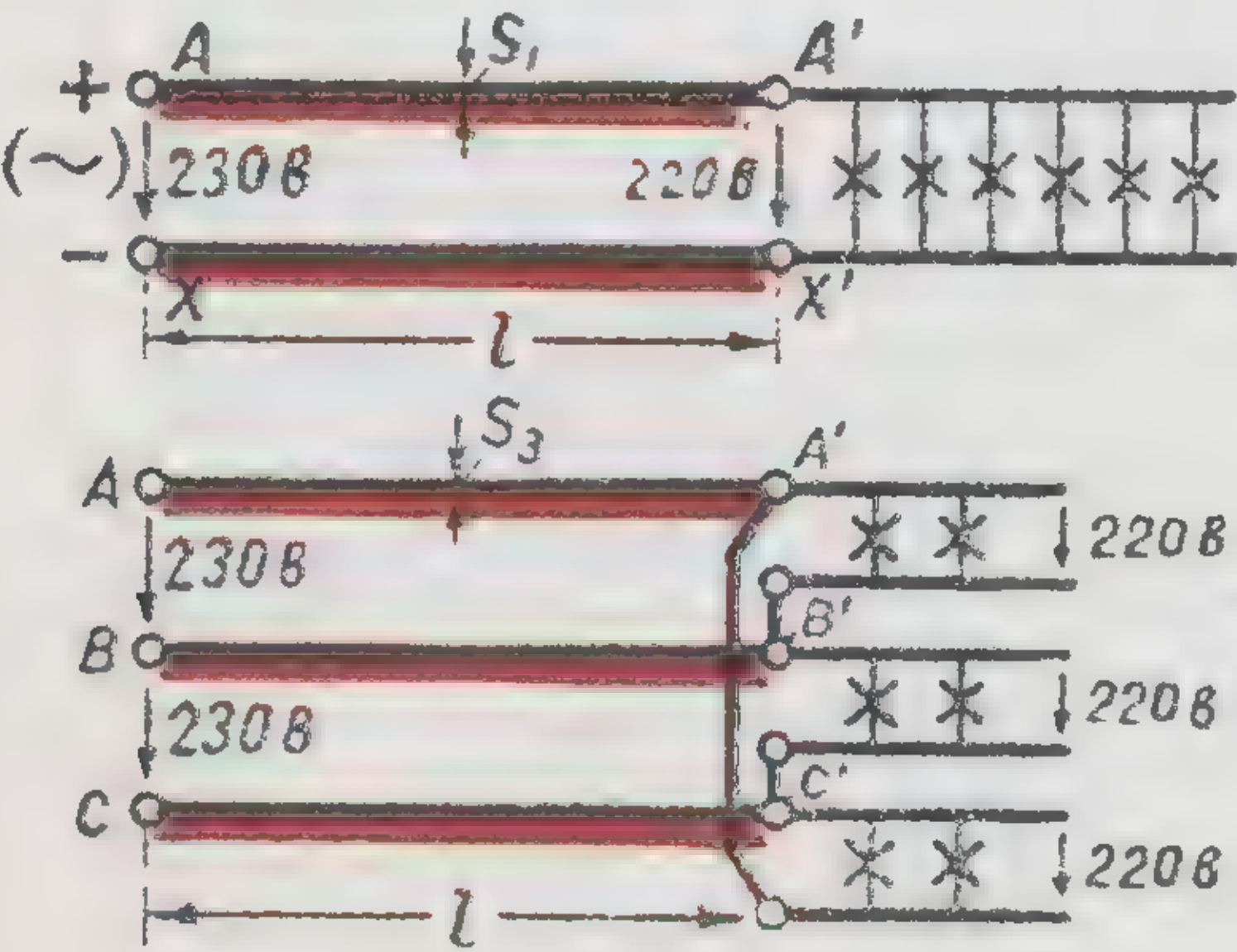
$$\Delta U_\phi = I \frac{l}{\gamma S}$$
$$\Delta U = \sqrt{3} \Delta U_\phi$$

Потеря напряжения

Активная нагрузка



Потеря напряжения в низковольтной трехфазной линии

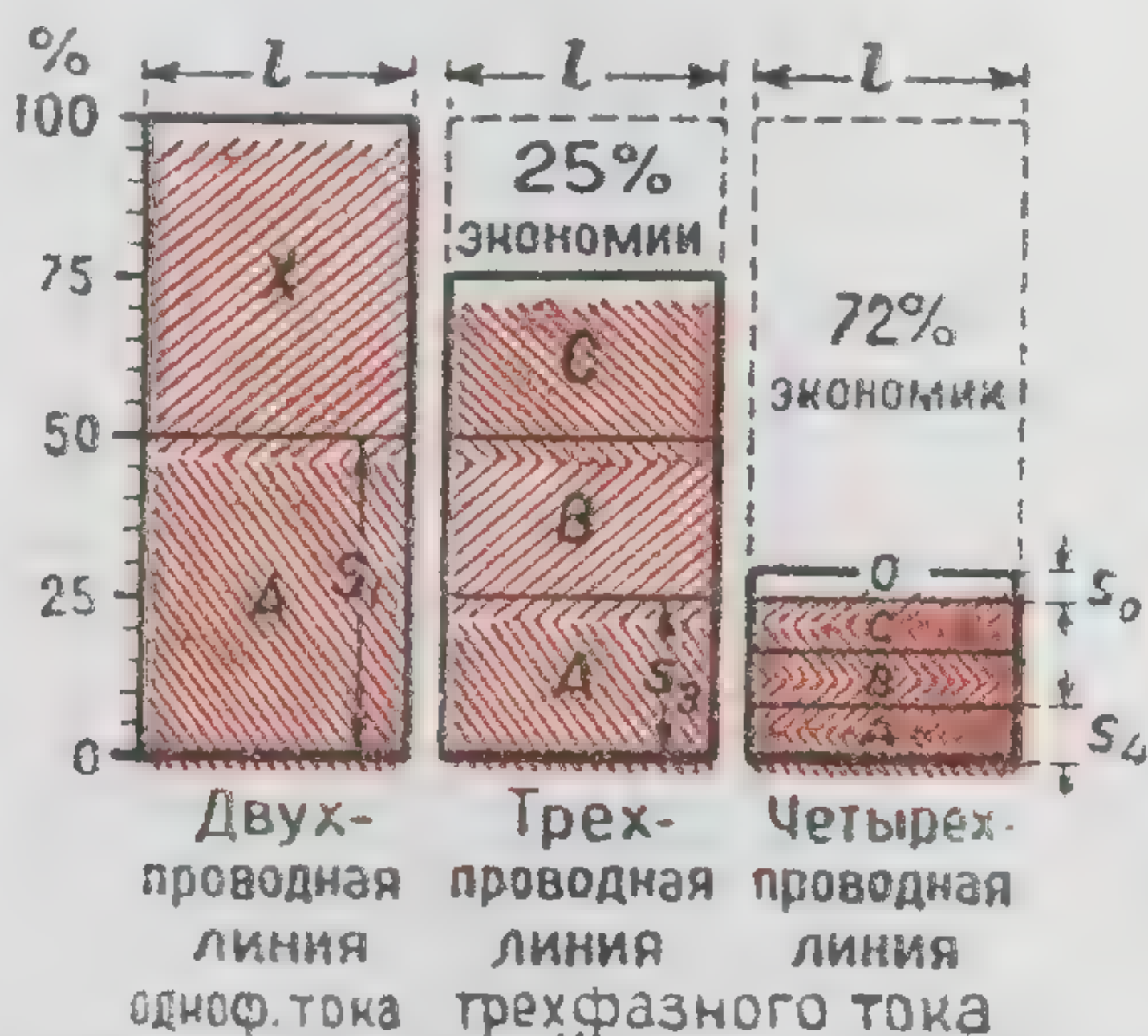


$$S_1 = \frac{200 \cdot P l}{\gamma \cdot \Delta U \% \cdot U^2} \text{ мм}^2$$

Сечение

$$S_3 = \frac{100 \cdot P l}{\gamma \cdot \Delta U \% \cdot U^2} \text{ мм}^2$$

Сечение



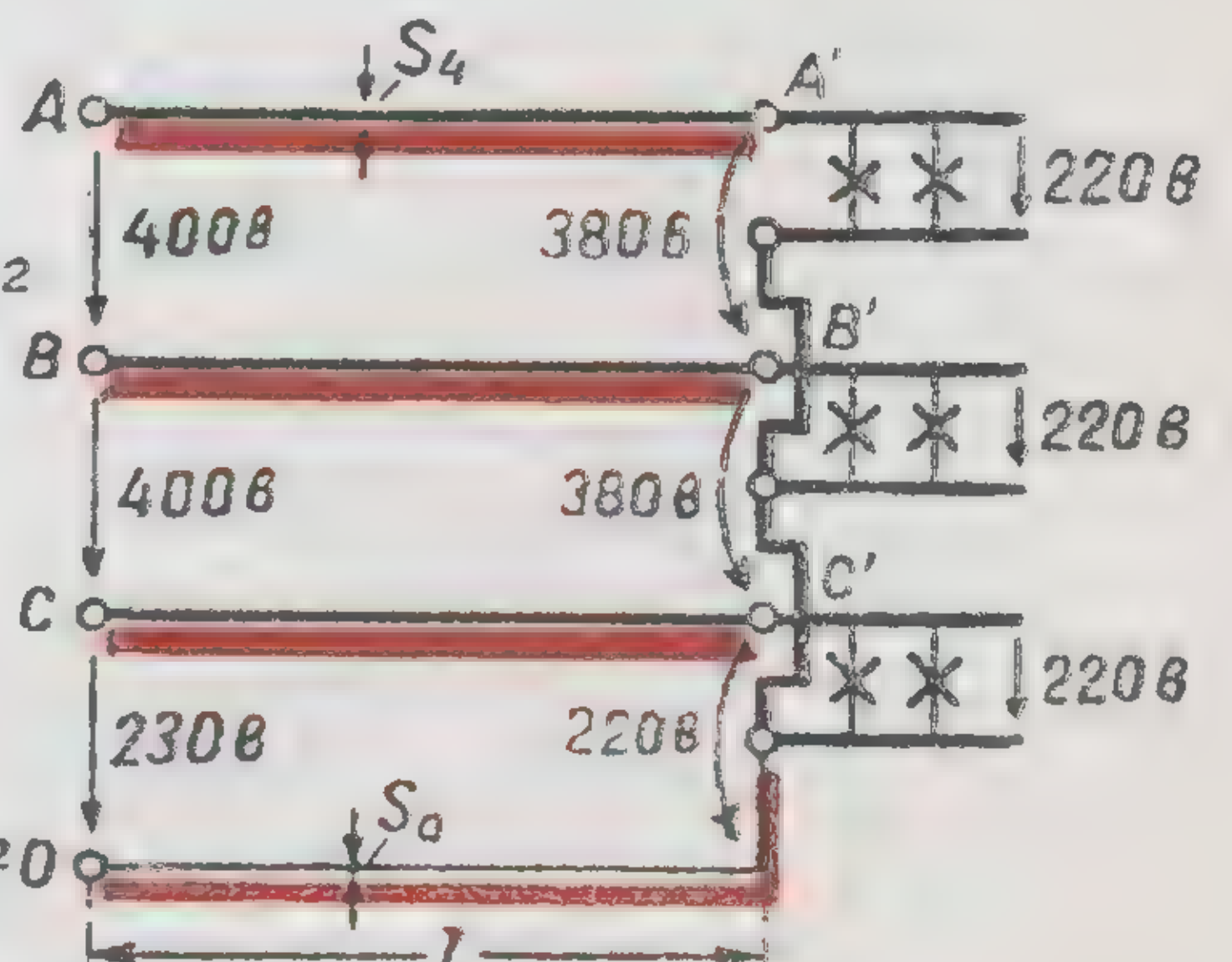
Сравнительный вес проводов

$$S_4 = \frac{100 \cdot P l}{\gamma \cdot \Delta U \% \cdot U^2} \text{ мм}^2$$

Сечение

$$S_3 = \frac{1}{2} S_1$$
$$S_4 = \frac{1}{3} S_3 = \frac{1}{6} S_1$$
$$S_0 = \frac{1}{2} \div \frac{1}{3} S_4 \text{ мм}^2$$

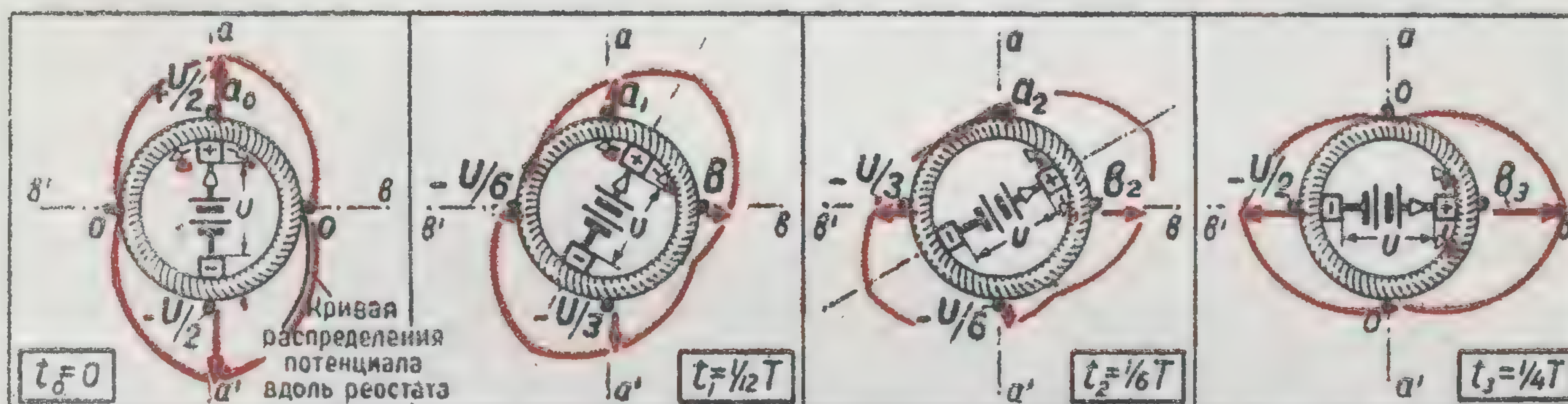
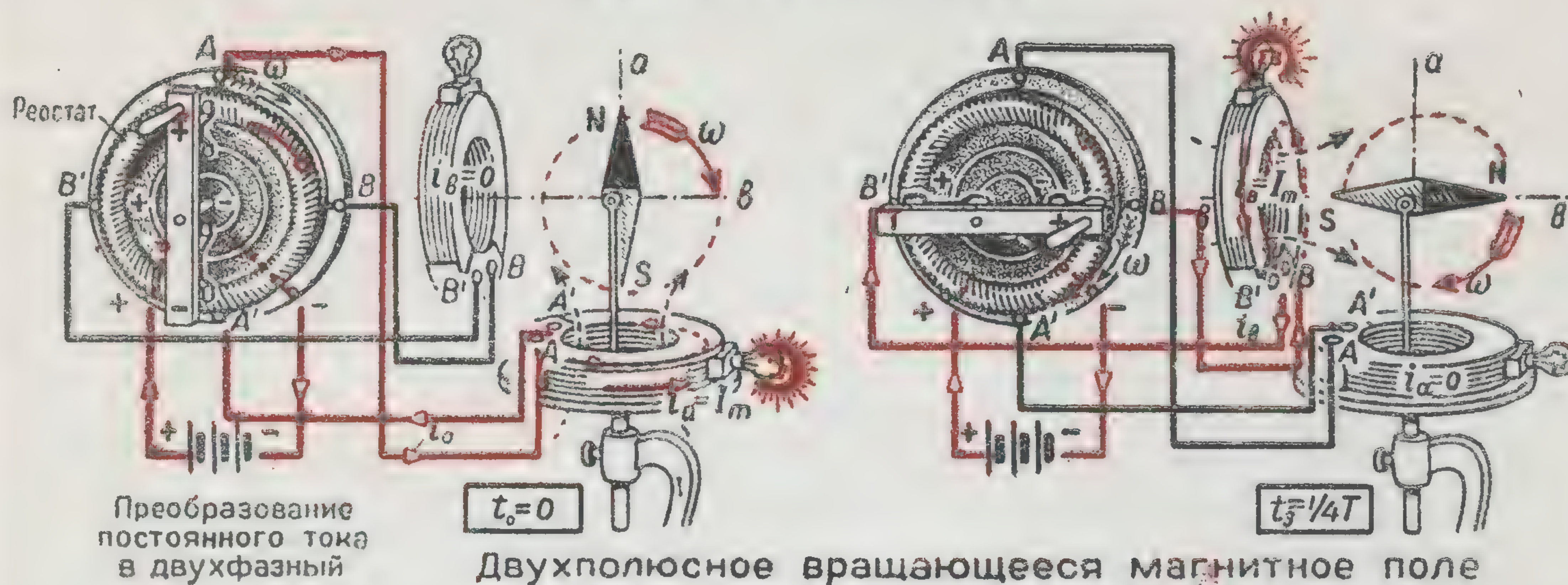
Сопоставление сечений



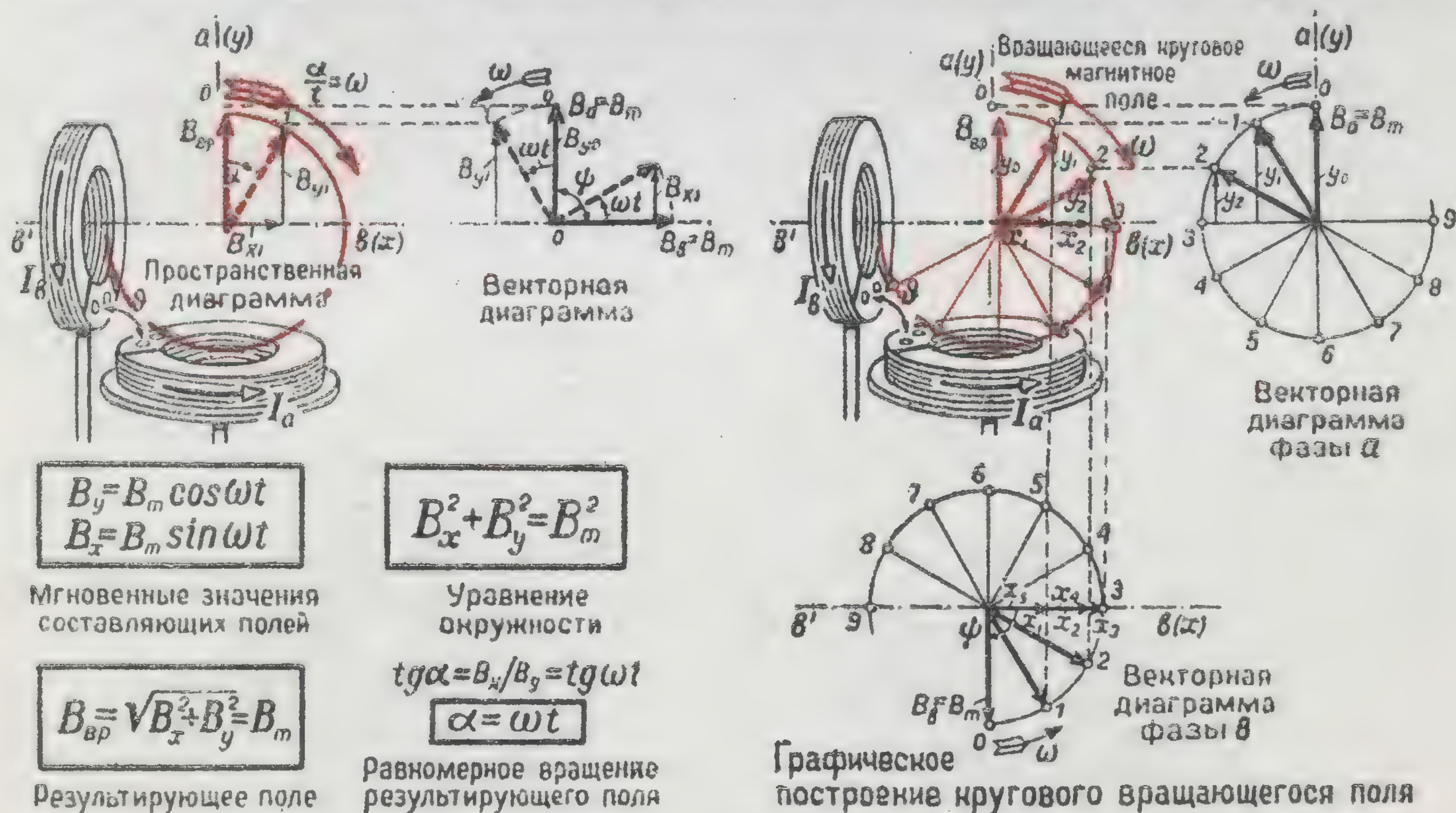
при передаче одинаковой мощности постоянным, однофазным и трехфазным током при одном и том же напряжении потребителя



## ВРАЩАЮЩЕЕСЯ МАГНИТНОЕ ПОЛЕ ( ДВУХФАЗНОЕ )



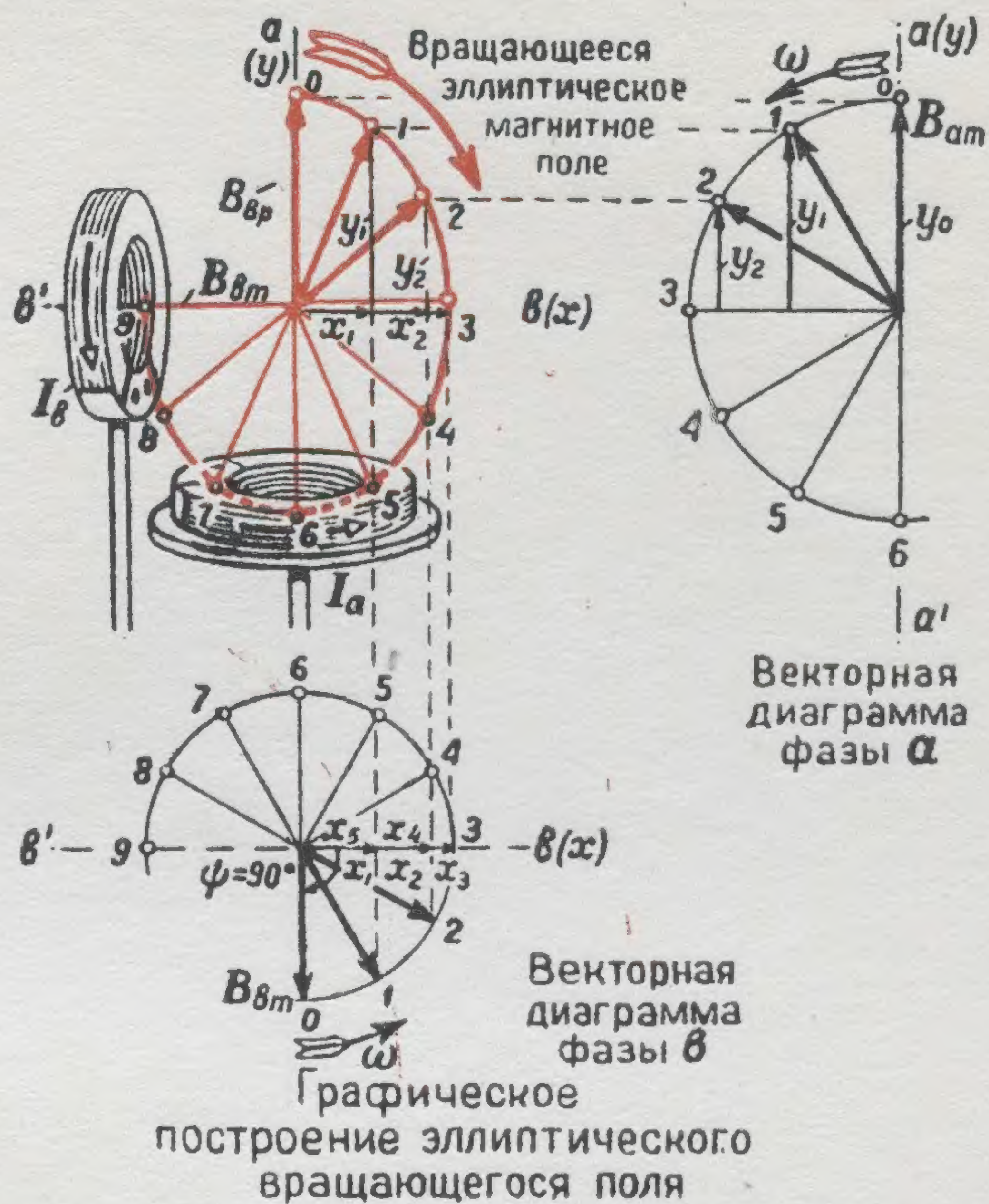
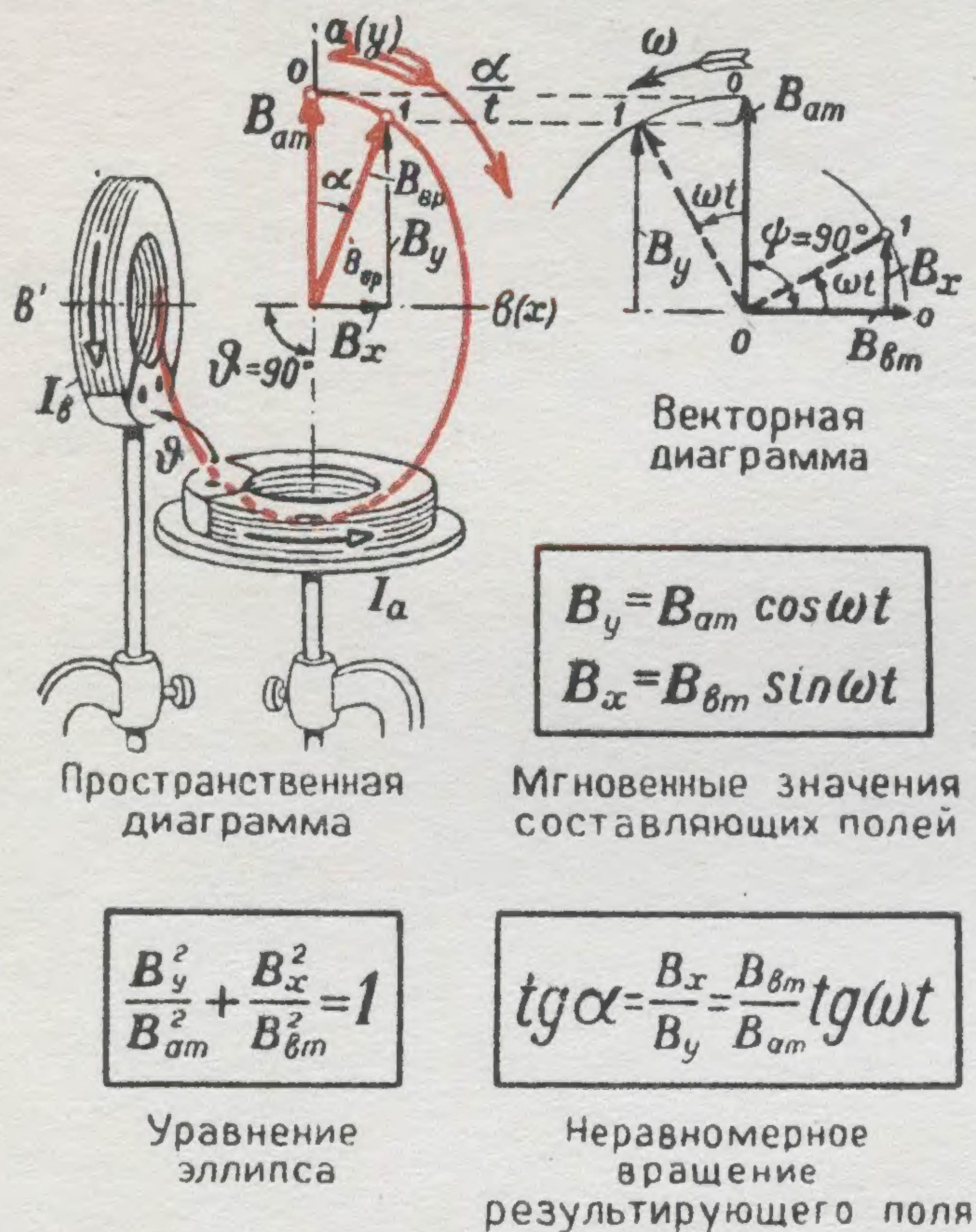
Мгновенные напряжения на зажимах преобразователя через интервалы в  $1/12$  периода ( $30^\circ$ )



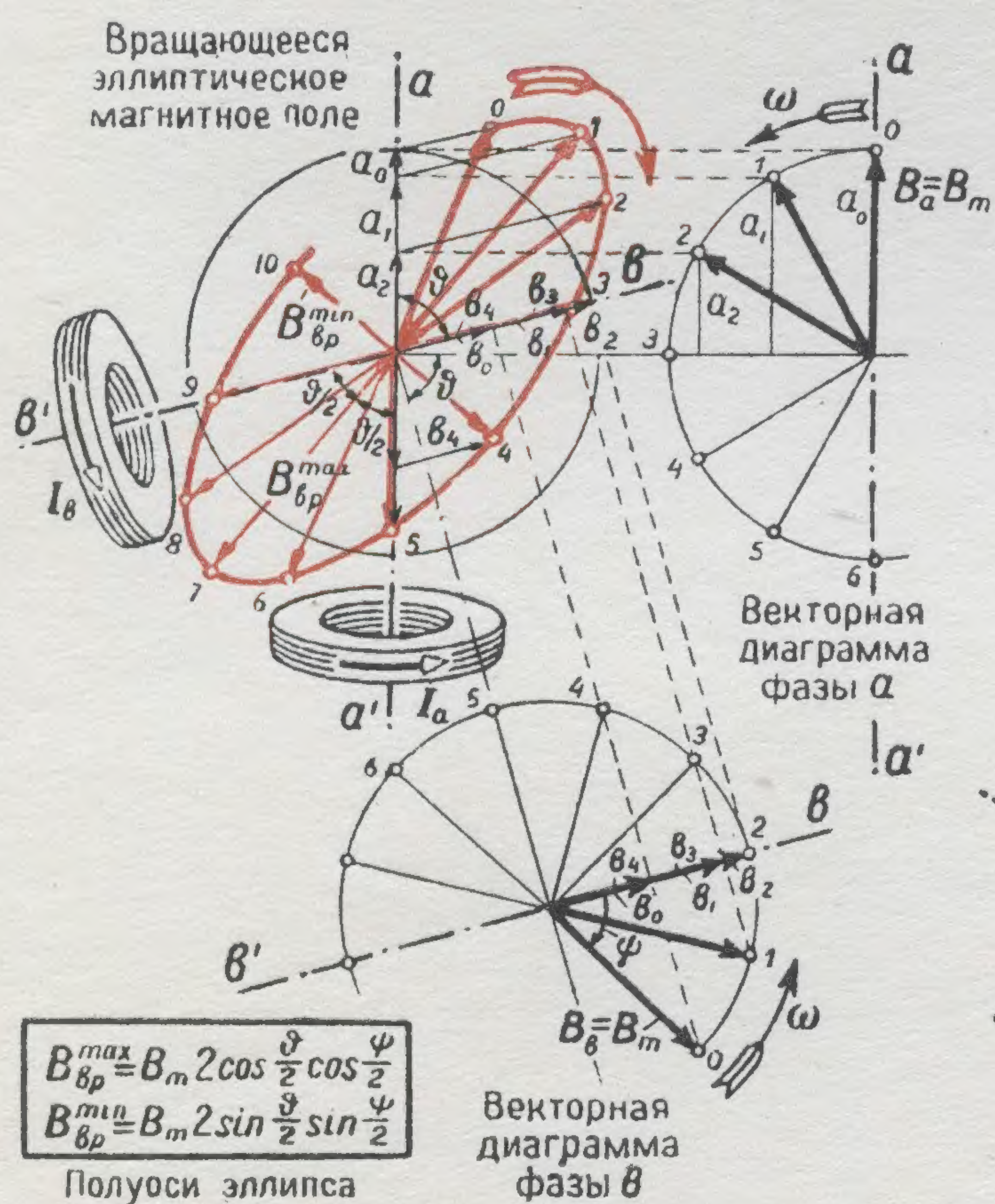
В результате наложения двух одинаковых пульсирующих магнитных полей, сдвинутых в пространстве ( $\vartheta$ ) и во времени ( $\psi$ ) на  $90^\circ$ , образуется неизменное по величине и равномерно вращающееся в пространстве (круговое) магнитное поле



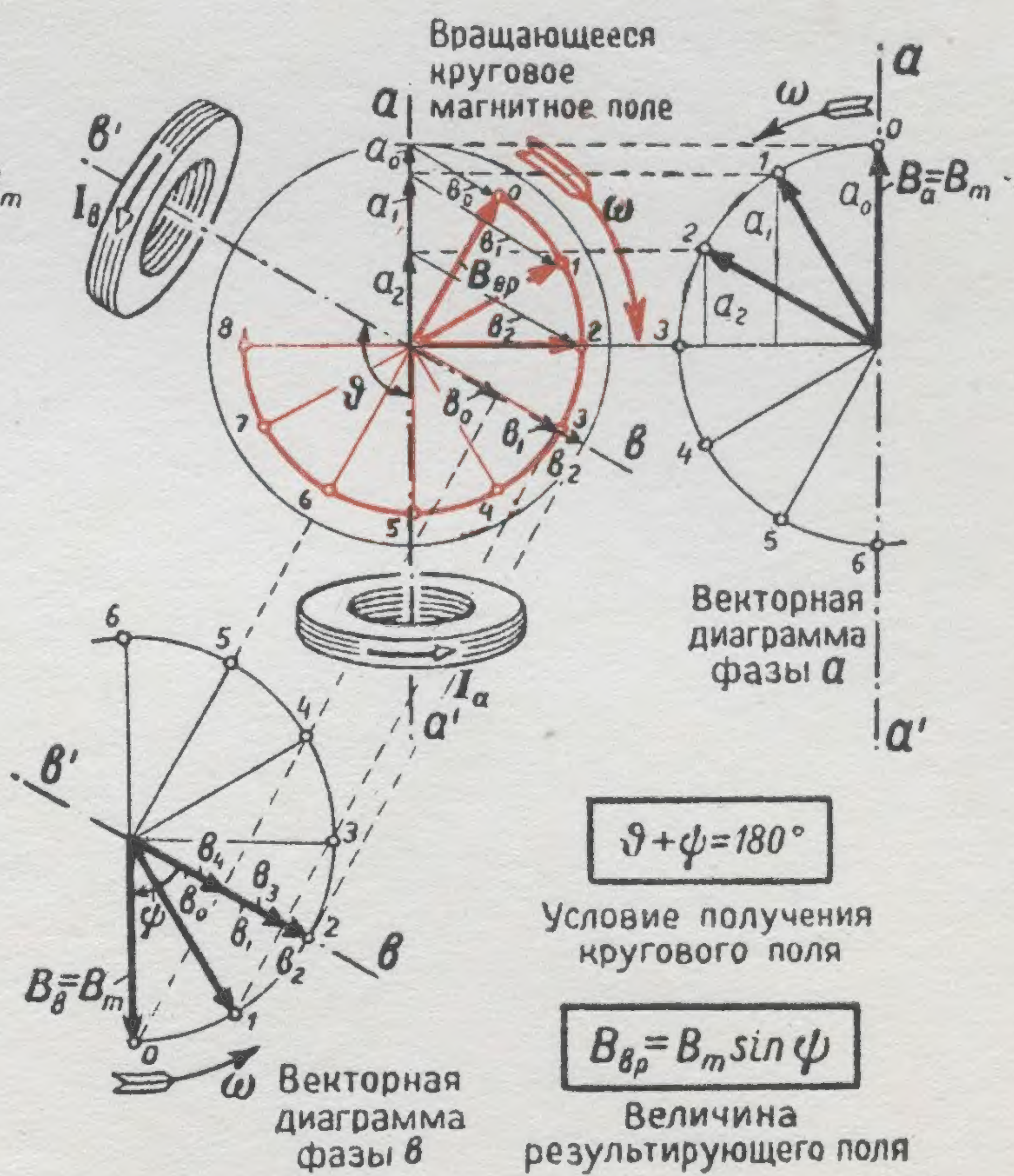
# ВРАЩАЮЩЕЕСЯ ЭЛЛИПТИЧЕСКОЕ МАГНИТНОЕ ПОЛЕ



Наложение двух неодинаковых по величине пульсирующих магнитных полей, сдвинутых в пространстве ( $\vartheta$ ) и во времени ( $\psi$ ) на  $90^\circ$



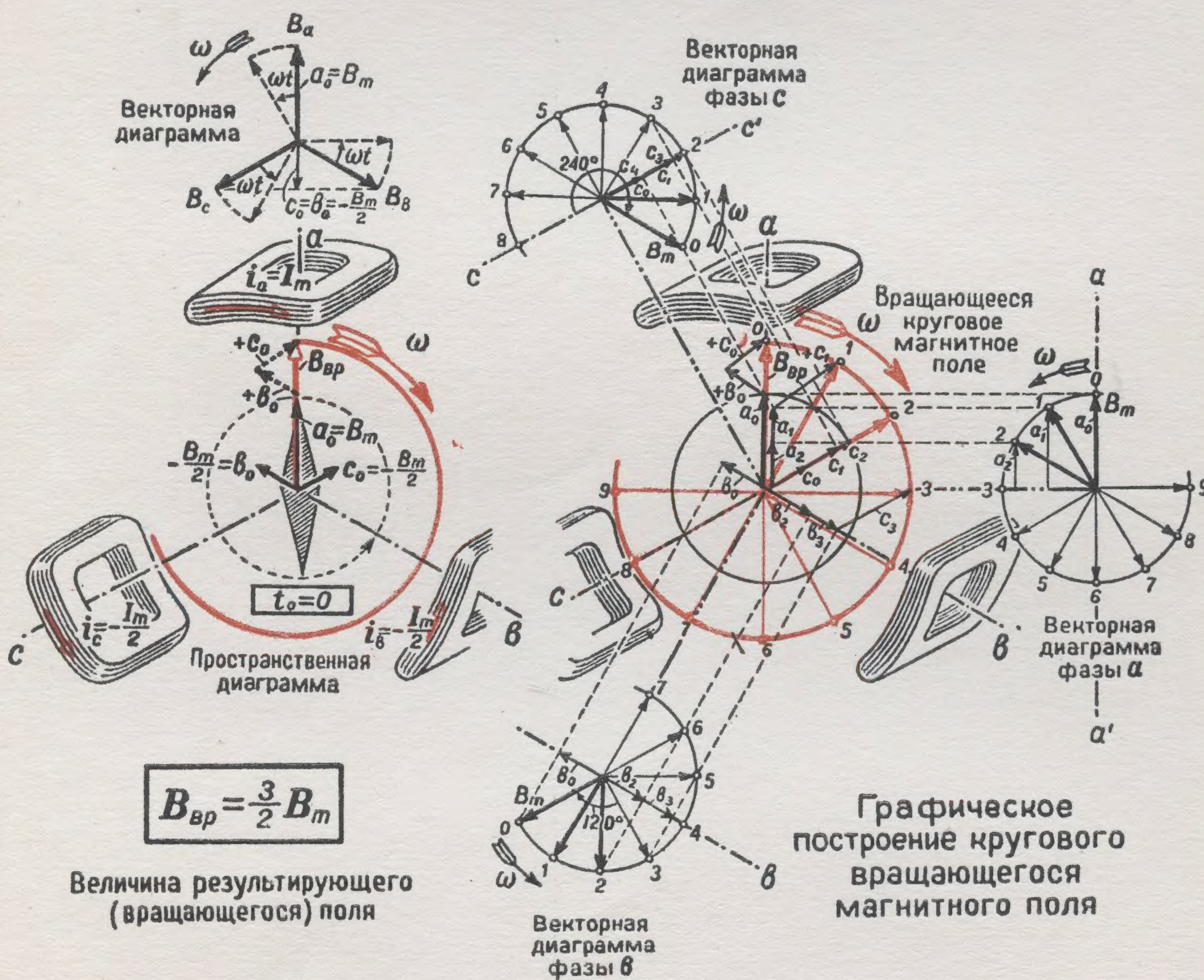
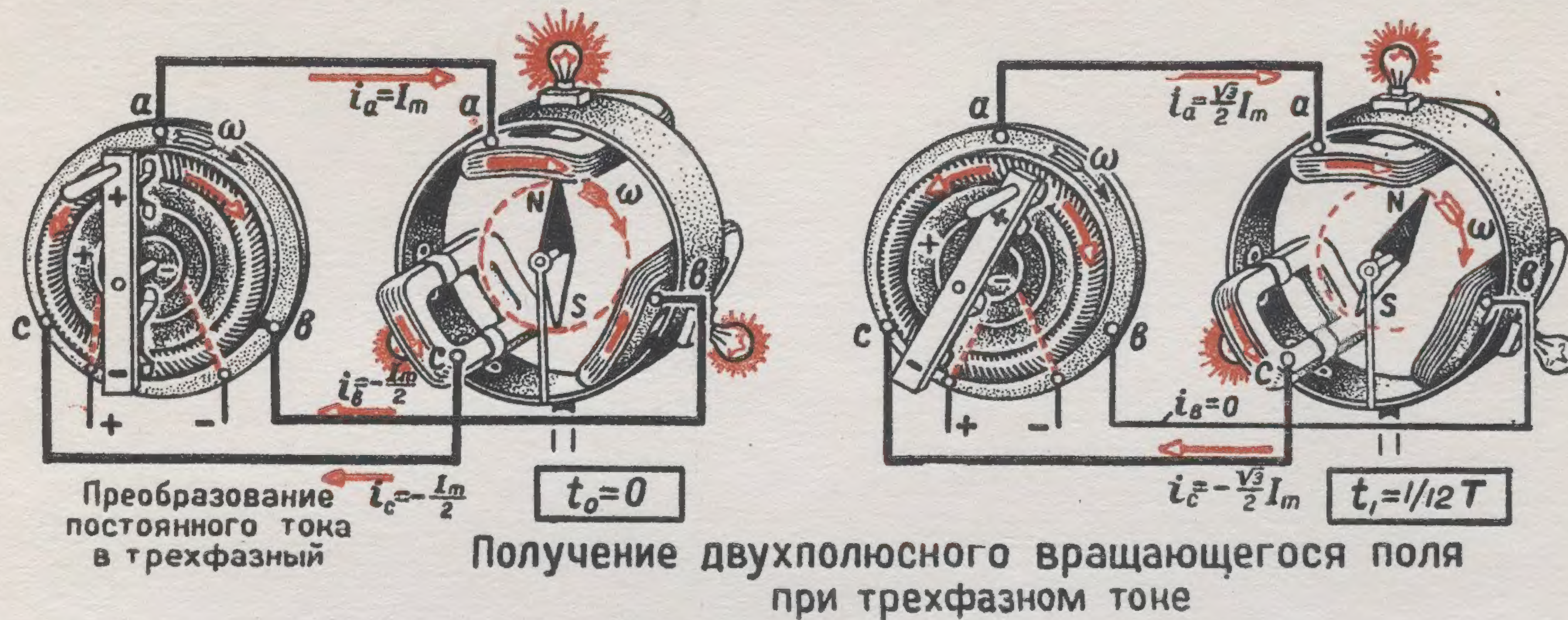
Наложение двух одинаковых пульсирующих полей, произвольно сдвинутых в пространстве ( $\vartheta$ ) и во времени ( $\psi$ )



Наложение двух одинаковых пульсирующих полей, сдвинутых в пространстве ( $\vartheta$ ) на  $120^\circ$ , а во времени ( $\psi$ ) на  $60^\circ$



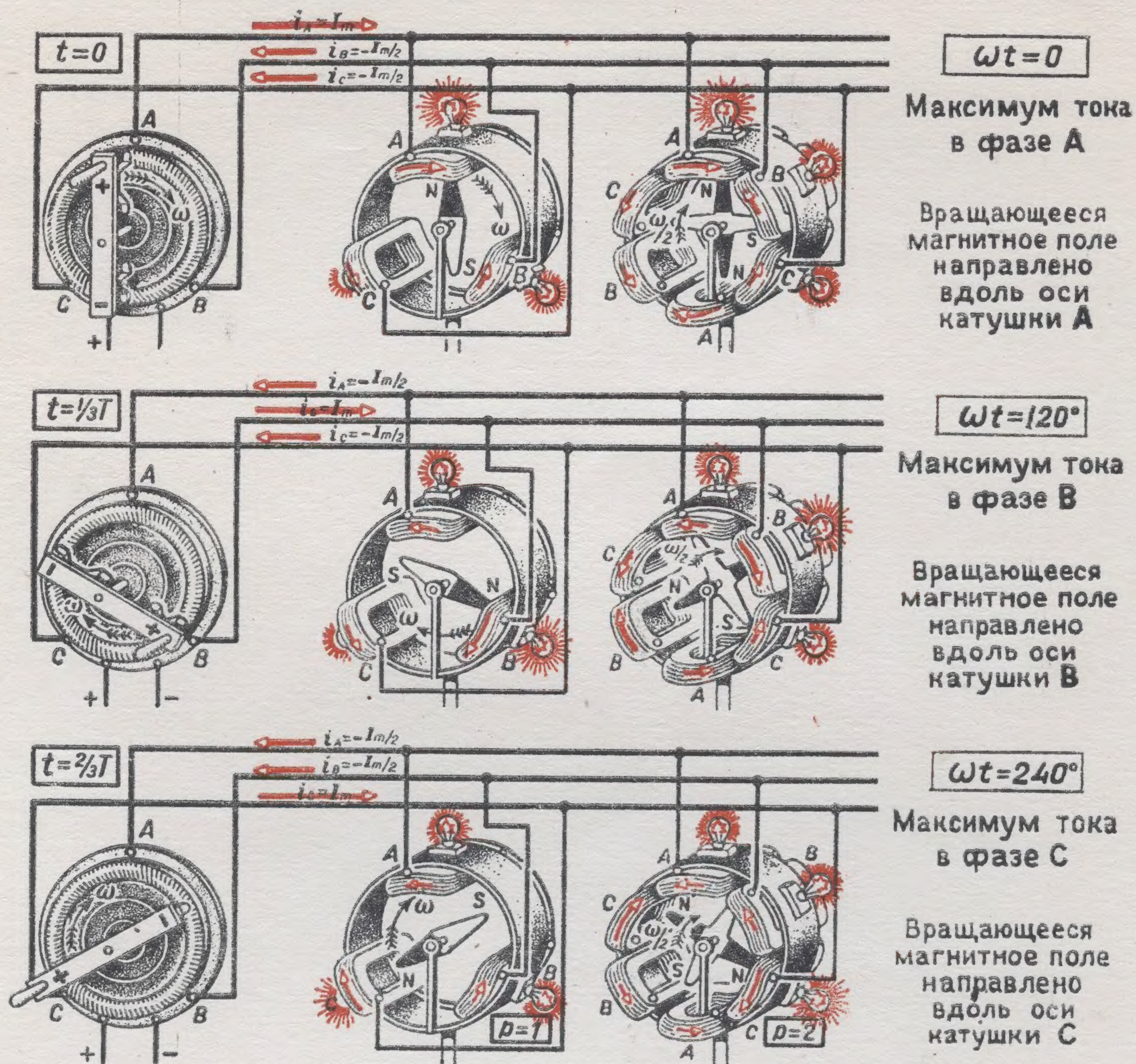
# ДВУХПОЛЮСНОЕ ВРАЩАЮЩЕЕСЯ МАГНИТНОЕ ПОЛЕ



В результате наложения трех одинаковых пульсирующих магнитных полей, сдвинутых в пространстве ( $\vartheta$ ) и во времени ( $\psi$ ) на  $120^\circ$ , образуется неизменное по величине и вращающееся в пространстве (круговое) магнитное поле



# МНОГОПОЛЮСНОЕ ВРАЩАЮЩЕЕСЯ МАГНИТНОЕ ПОЛЕ

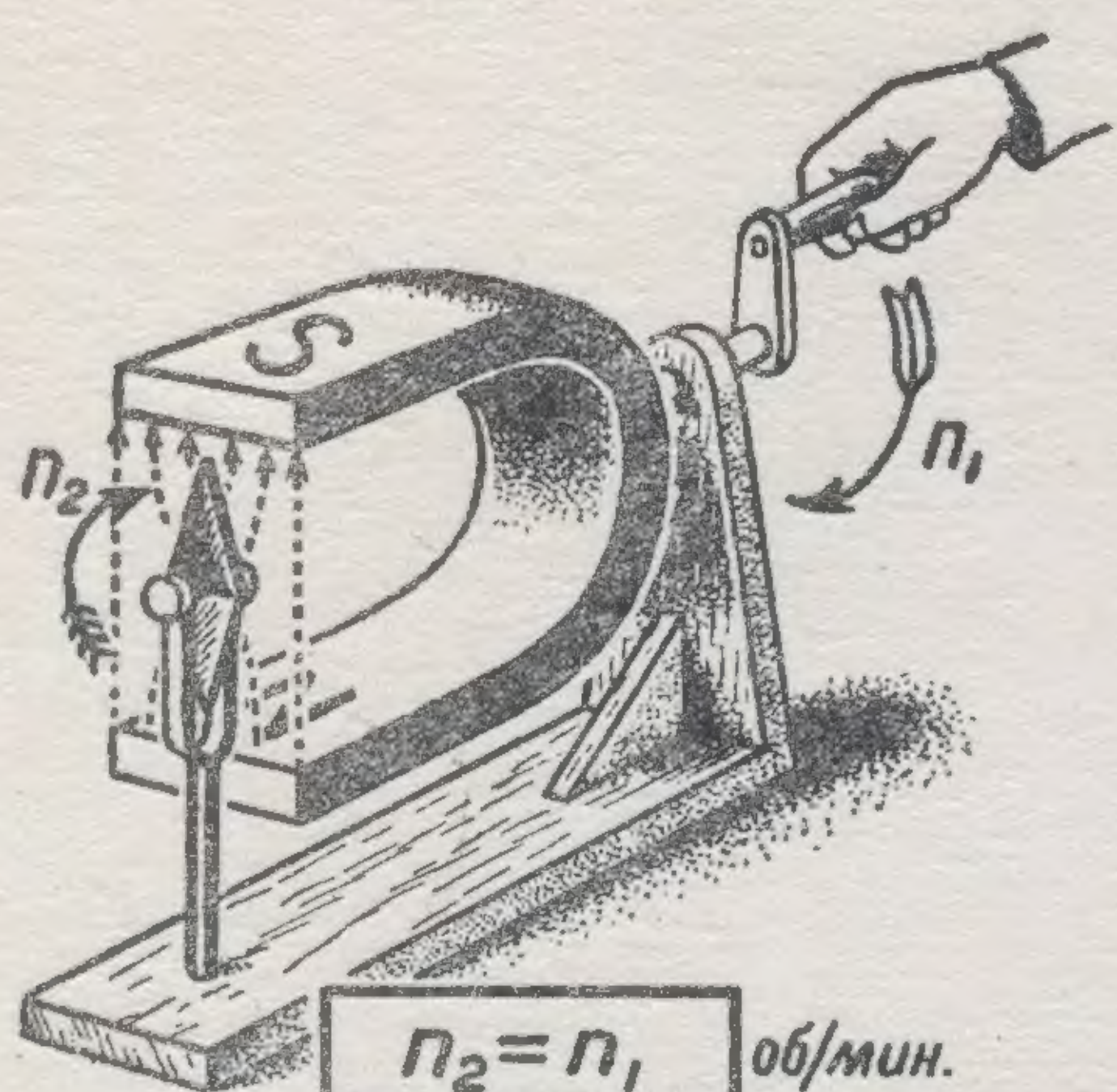


Зависимость скорости вращающегося магнитного поля от числа пар полюсов

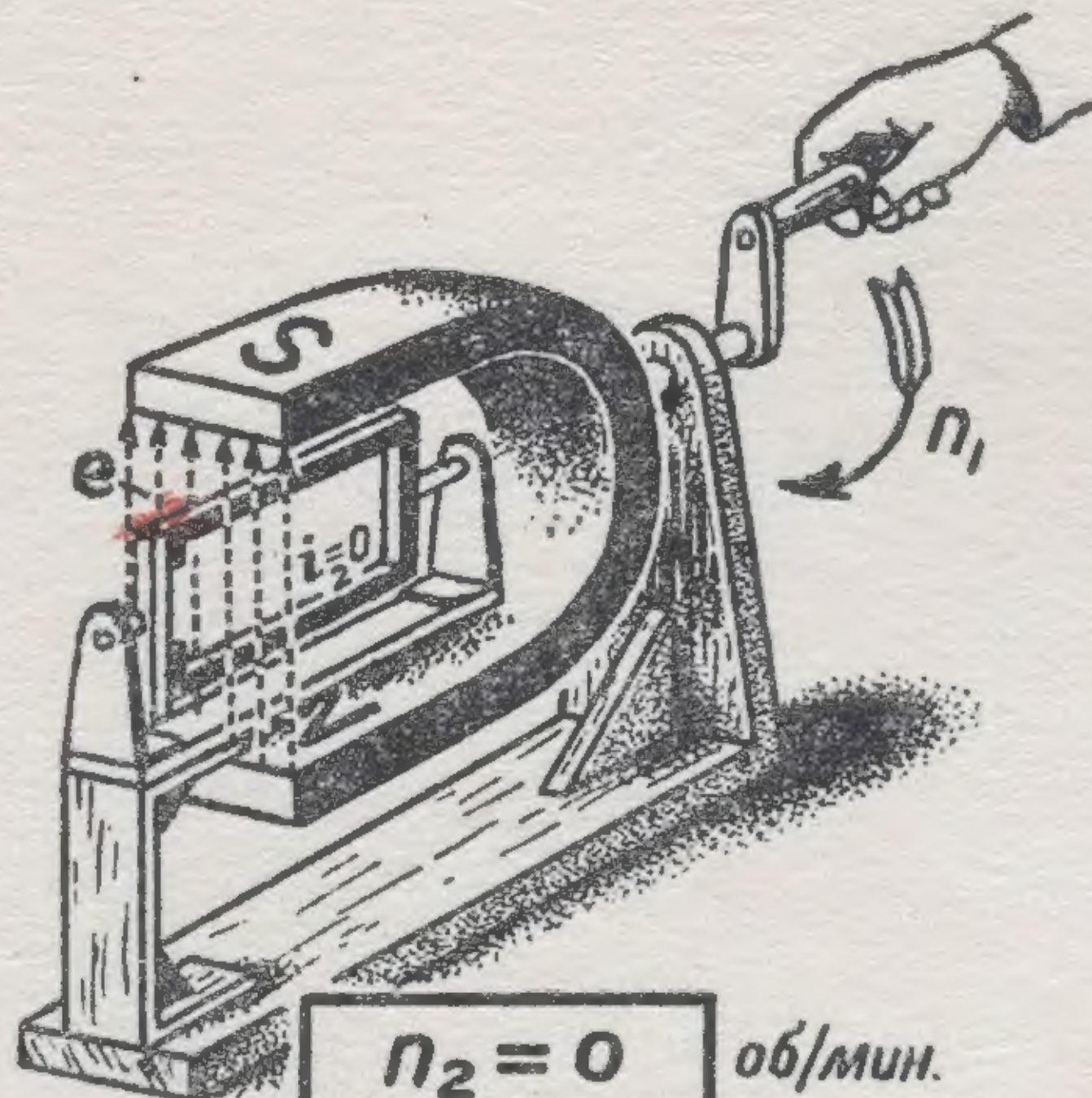




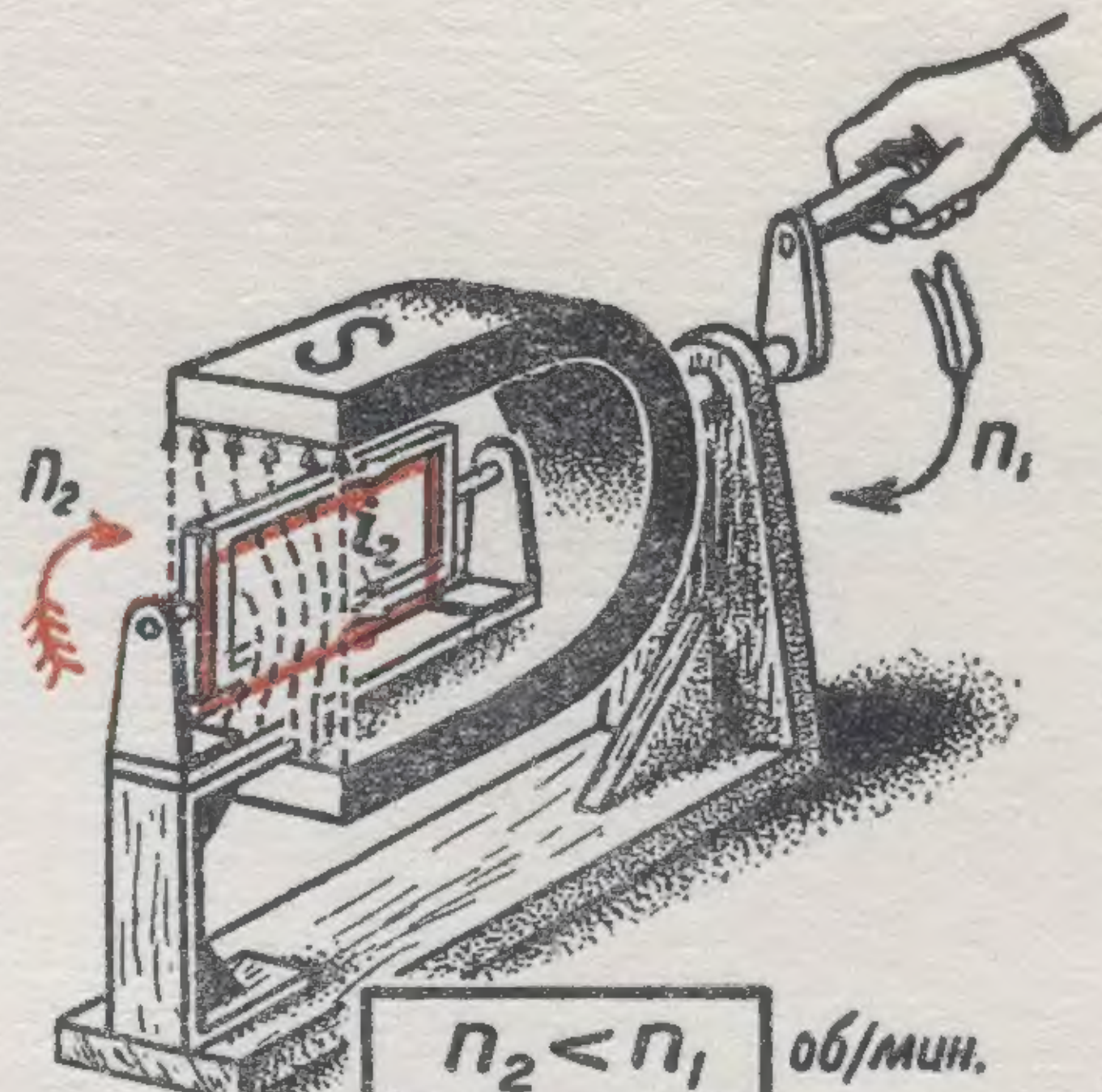
# ЗАМКНУТЫЙ КОНТУР ВО ВРАЩАЮЩЕМСЯ МАГНИТНОМ ПОЛЕ



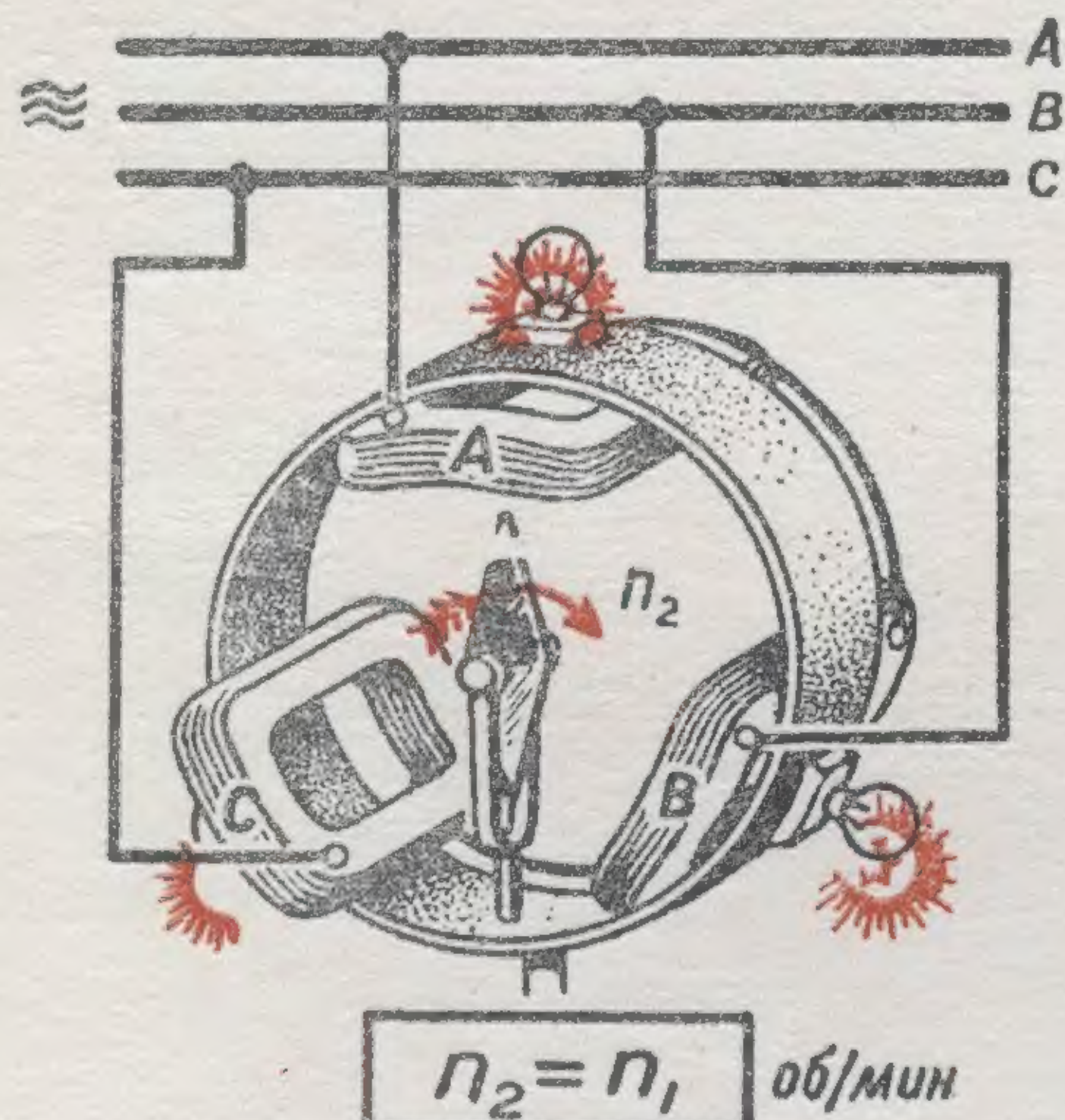
$n_2 = n_1$  об/мин.  
синхронное вращение  
магнитной стрелки,  
увлекаемой вращающимся  
магнитным полем



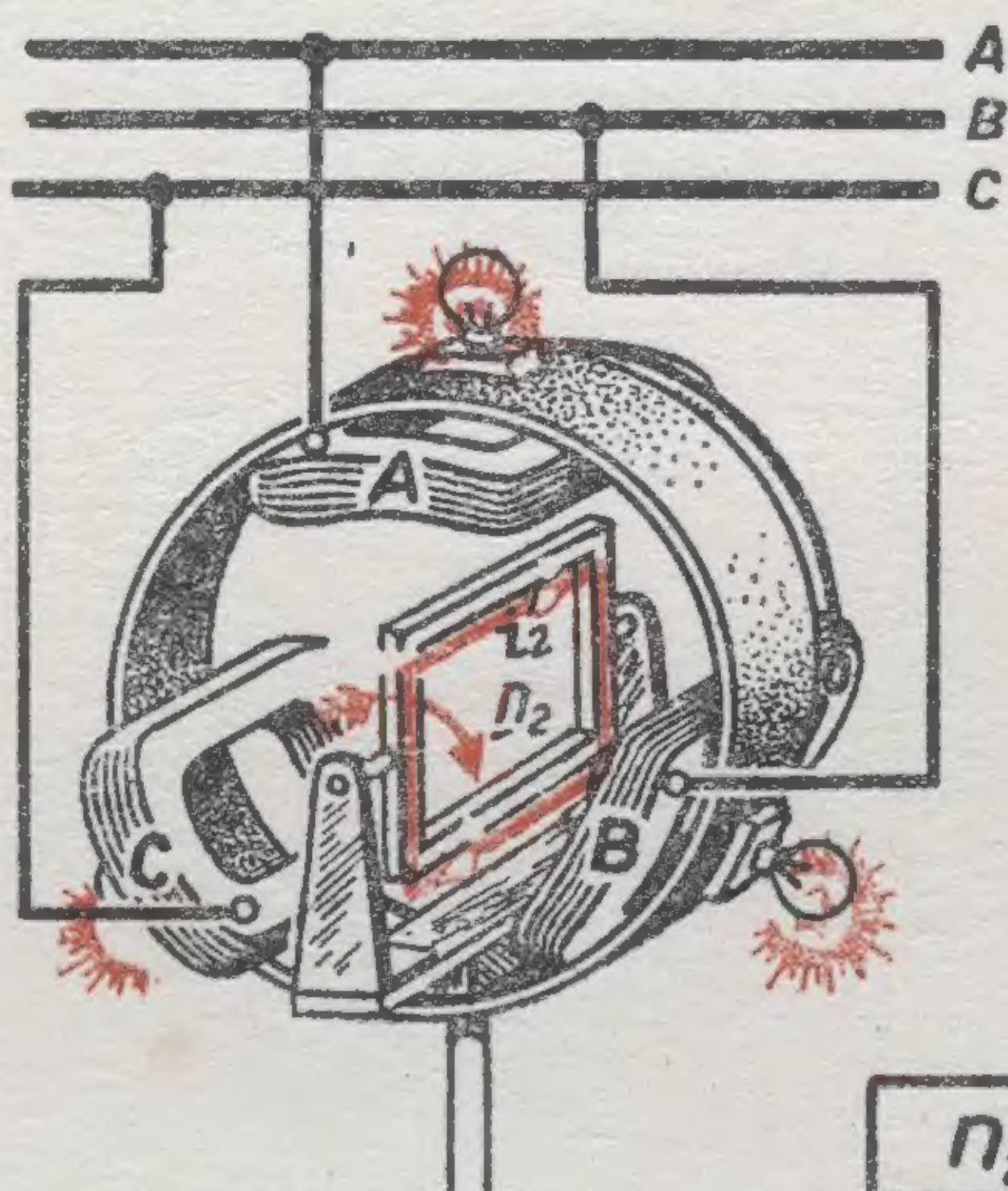
$n_2 = 0$  об/мин.  
Наведение э.д.с.  
в РАЗОМКНУТОМ витке  
вращающимся  
магнитным полем



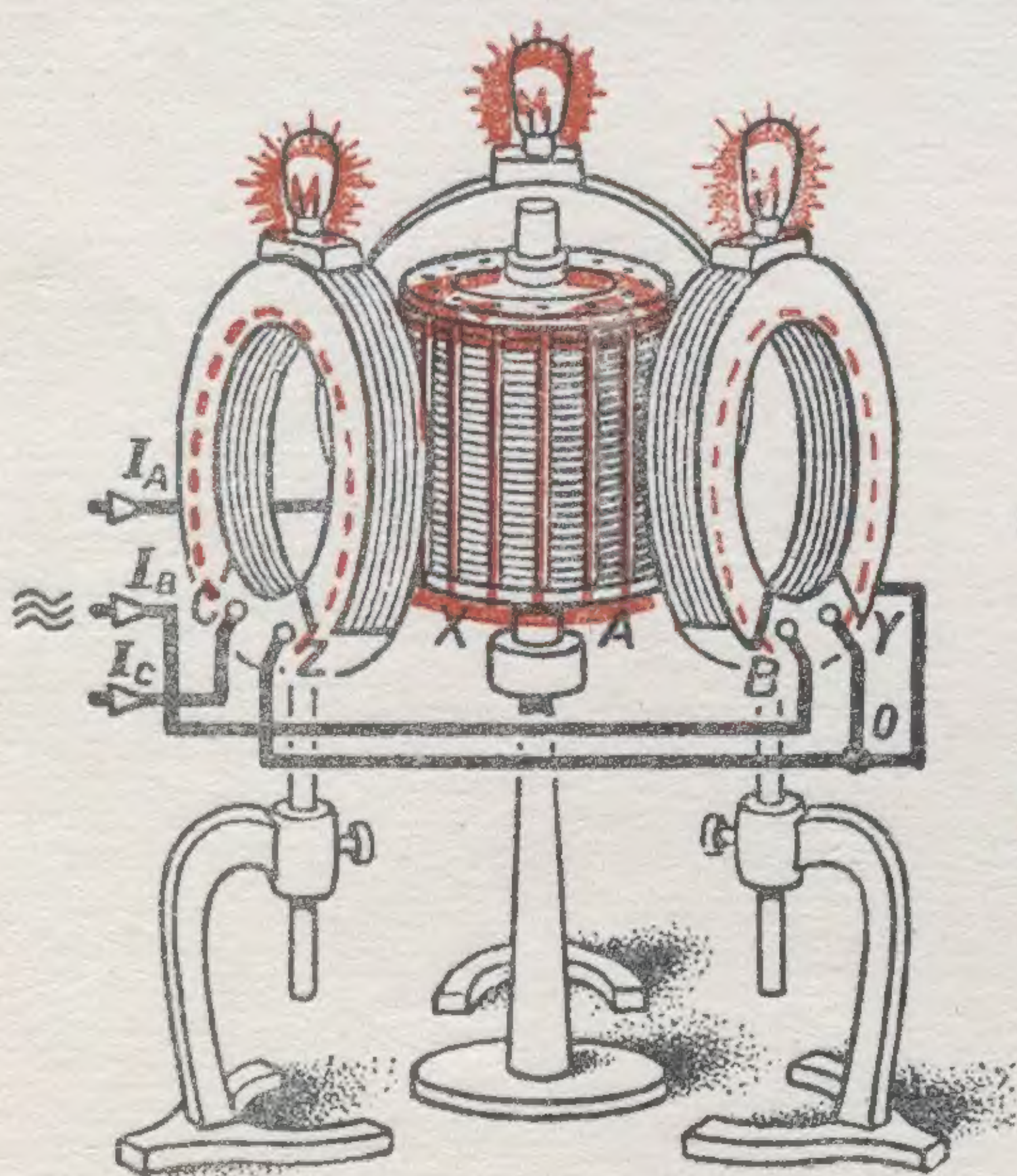
$n_2 < n_1$  об/мин.  
Асинхронное вращение  
ЗАМКНУТОГО витка,  
увлекаемого вращающимся  
магнитным полем



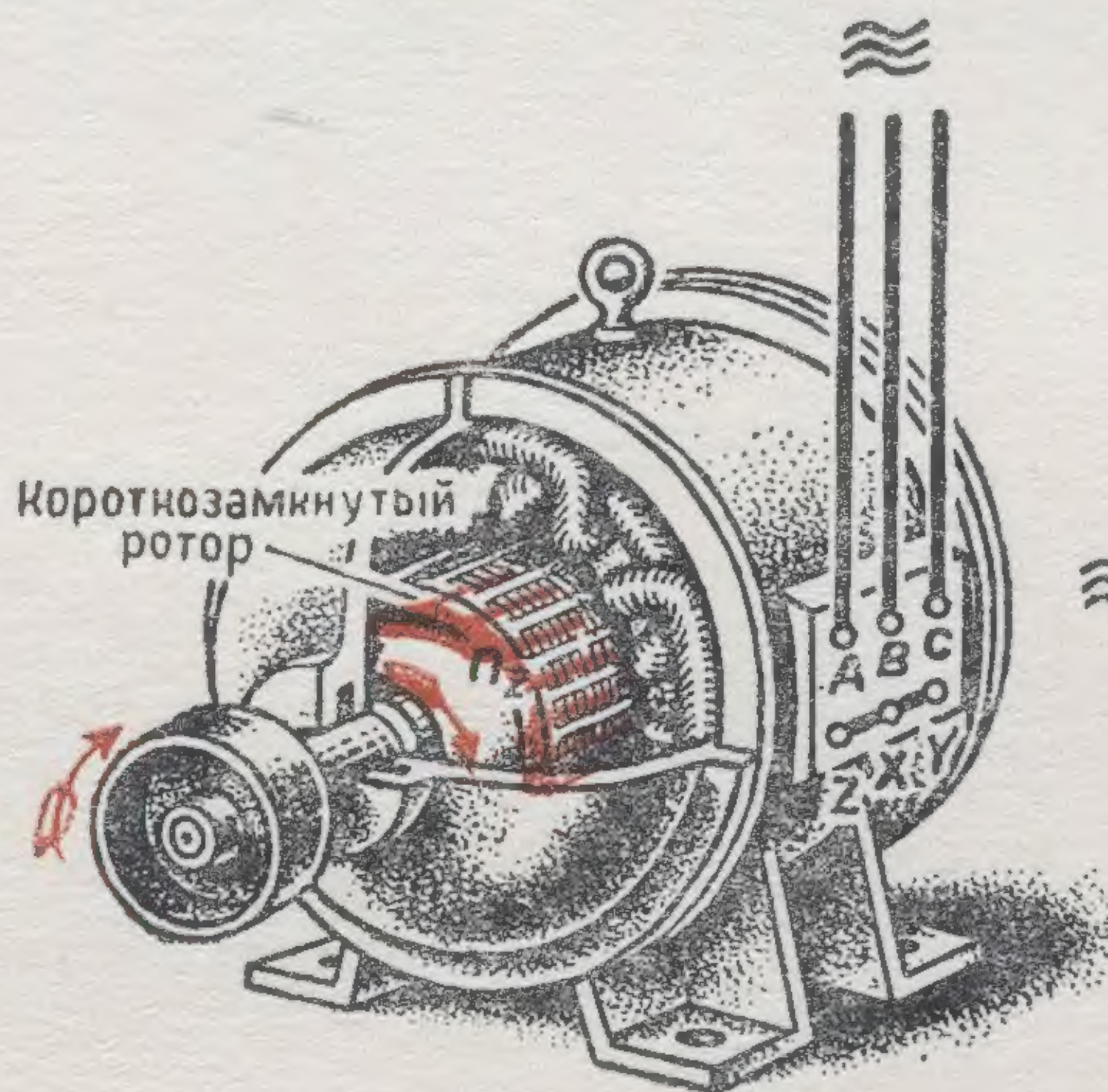
$n_2 = n_1$  об/мин  
синхронное вращение  
магнитной стрелки



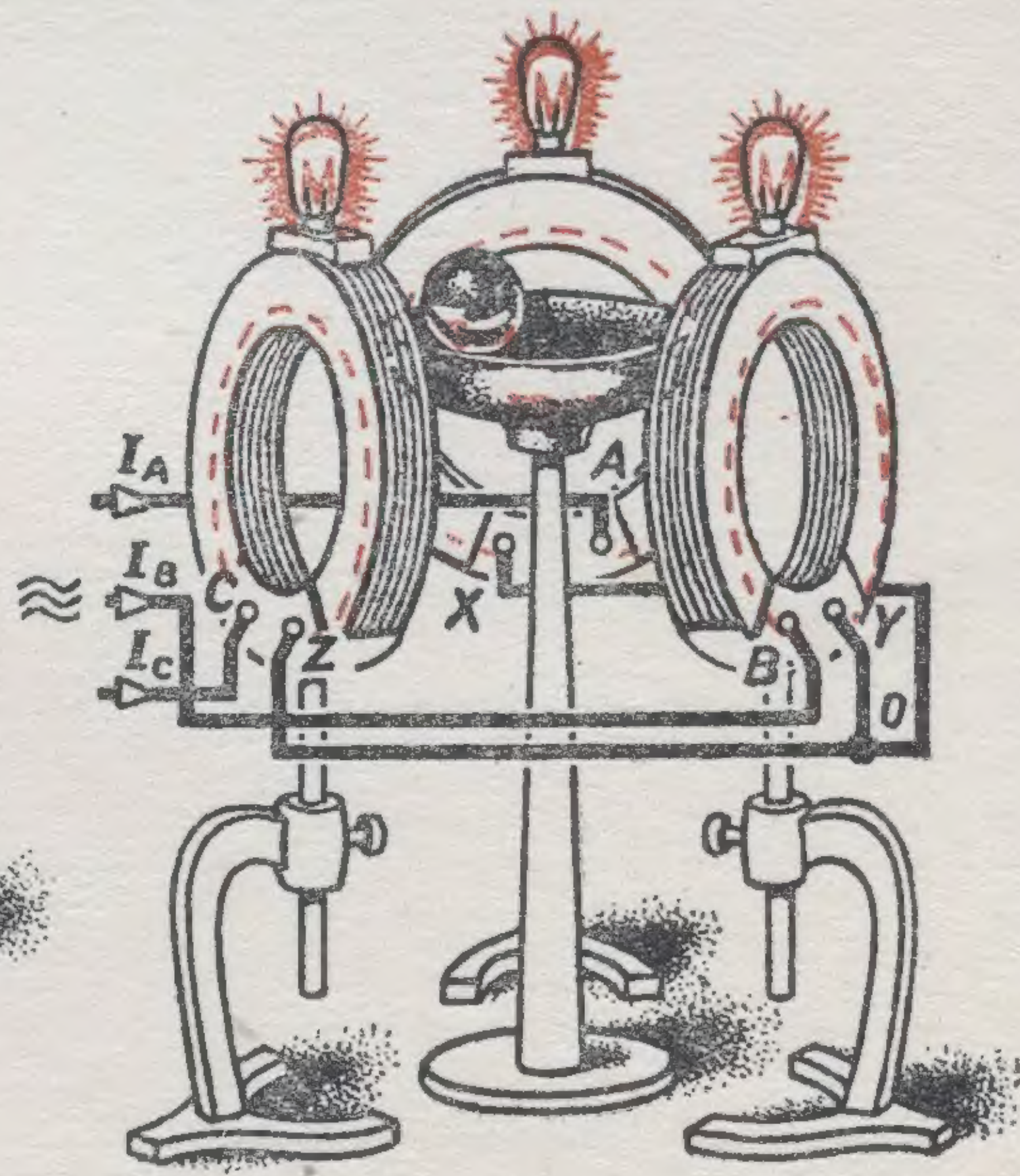
$n_2 < n_1$  об/мин.  
Асинхронное вращение  
замкнутого витка и беличьего колеса



Вращение  
короткозамкнутого ротора  
в поле трех катушек



Асинхронный двигатель  
(изобретен М.О. Доливо-  
Добровольским в 1891 г.)



Вращение стального шара  
по часовой стрелке  
и качение его  
против часовой стрелки

Э.И. Расовский.